

**Universidad Nacional de Ingeniería**

**Programa Académico de Ingeniería Civil**



**«Análisis Estructural y Diseño  
Sismorresistente de una Estructura  
de Concreto Armado»**

**TESIS**

**Presentada por:**

**Julio César Ugaz Castillo**

**Para optar el Título de  
INGENIERO CIVIL**

**PROMOCION 1977 2**

**LIMA - PERU**

**1979**

### D E D I C A T O R I A

Con todo cariño dedico éste humilde trabajo  
a mis padres y a mis hermanos, por su cons-  
tante ayuda y apoyo moral sin el cual hubie-  
se sido imposible la culminación de mi ca-  
rrera.

### A G R A D E C I M I E N T O

Mi mas sincero agradecimiento al Ingeniero  
Asesor de mi tesis Eduardo Temeche Mercado,  
así como a todos los profesores, que con -  
sus enseñanzas han hecho posible la termi-  
nación de éste trabajo.

"ANALISIS ESTRUCTURAL Y DISEÑO SISMO-RESISTENTE DE UNA  
ESTRUCTURA DE CONCRETO ARMADO"

	<u>PAG.</u>
<b>INTRODUCCION</b>	1
<b>CAPITULO I</b>	
1.00 DESCRIPCION DEL PROYECTO	2
1.10 Generalidades	2
1.20 Estructuración	2
1.30 Materiales y Cargas de Diseño	2
<b>CAPITULO II</b>	
2.00 DIMENSIONAMIENTO PRELIMINAR DE ELEMENTOS ESTRUCTURALES	4
2.10 Generalidades	4
2.20 Dimensionamiento de Losas Aligeradas	4
2.30 Dimensionamiento Preliminar de Vigas	5
2.40 Dimensionamiento Preliminar de Columnas	9
2.50 Dimensionamiento Preliminar de Placas	15
2.60 Estudio Preliminar de Tanque Elevado y Cisterna	19
<b>CAPITULO III</b>	
3.00 LOSAS ALIGERADAS	25
3.10 Introducción	25
3.20 Caracteristicas Generales	25
3.30 Análisis Estructural	25
3.40 Diseño de las losas aligeradas	27
<b>CAPITULO IV</b>	
4.00 ANALISIS SISMICO	63
4.10 Generalidades	63
4.20 Metrada de Cargas	67

4.30 Cálculo de la fuerza Cortante Total "H" en la Base de la Edificación.	7
4.40 Método de Muto	81
 <u>CAPITULO V</u>	
5.00 ANÁLISIS ESTRUCTURAL	19
5.10 Generalidades	19
5.20 Metrados de cargas para vigas	20
5.30 Cálculo de los momentos Flectores por cargas verticales	20
 <u>CAPITULO VI</u>	
6.00 ENVOLVENTES DE MOMENTOS FLECTORES Y FUERZAS CORTANTES	20
6.10 Estudio en la Dirección Principal Y-Y	20
 <u>CAPITULO VII</u>	
7.00 DISEÑO DE VIGAS	28
7.10 Generalidades	28
7.20 Diseño de Vigas Principales de Portico 4-4	29
7.30 Diseño del Refuerzo por Cortante	29
7.40 Control de deflexiones	30
7.50 Diseño de Vigas del Portico Secundario C-C	30
 <u>CAPITULO VIII</u>	
8.00 DISEÑO DE COLUMNAS	31
8.10 Generalidades	31
8.20 Metrados de Cargas para columna	31
8.30 Diseño de Columnas como miembros en Flexocompresión	32
8.40 Dirección Principal (Y-Y)	32
8.50 Diseño del Refuerzo Longitudinal	33

CAPITULO IX

9.00 DISEÑO DE PLACAS	344
9.10 Generalidades	344
9.20 Diseño de la Placa "4"	344
9.30 Diseño de la Caja de Ascensores	361

CAPITULO X

10.00 DISEÑO DE ESTRUCTURAS COMPLEMENTARIAS	
10.10 Generalidades	377
10.20 Diseño de escaleras	37
10.30 Diseño de la Cisterna	38
10.40 Diseño del tanque elevado	39

CAPITULO XI

11.00 DISEÑO DE LAS CIMENTACIONES	401
11.10 Generalidades	401
11.20 Diseño de la Cimentación para Columnas	401
11.30 Diseño de Cimentación corrida para la placa 5	40
11.40 Diseño de Cimentación corrida para la placa 4	411
11.50 Cimentación de la Caja de Ascensores	413
CONCLUSIONES	42

## INTRODUCCION

La presente tesis trata del diseño estructural y Sismo-Resistente de un edificio de 7 pisos.

Hemos empezado asumiendo un dimensionamiento preliminar de los distintos elementos estructurales que conforman la estructura, en el Capítulo II, éstos criterios se basan en estudios hechos al respecto e en recomendaciones prácticas.

En el Capítulo III para el diseño de las lesas ligeradas hemos considerado un peralte total de la lo sa de e: 25 cm. inclusive en la azotea.

En el Capítulo IV, que trata del análisis sismo-resistente de la estructura se ha usado el Reglamento actual vigente.

En el capítulo V, el análisis por cargas verticales se ha hecho por el método de KANI que resulta eficiente para estructuras de éste tipo.

En el Capítulo VI, se ha calculado las envolventes de momentos flectores y esfuerzos cortantes, para hallar los máximos esfuerzos a que estará sometida la estructura.

Del Capítulo VII al XI trata del diseño de vigas columnas, placas, escalera, tanque elevado, tanque - cisterna, cimentaciones y que además nos comprueba - que las dimensiones preliminares asumidas fueran óptimas.

CAPITULO I : DESCRIPCION DEL PROYECTO

## CAPITULO I

### 1.00 DESCRIPCION DEL PROYECTO

#### 1.10 GENERALIDADES

El presente proyecto, se trata del cálculo estructural y diseño sísmo-resistente de un edificio de concreto armado.

El uso del edificio, según proyecto arquitectónico será el siguiente:

El primer piso será destinado a una cafetería y tiendas comerciales.

El segundo piso cumplirá la función de un hotel.

Del tercer piso al sexto será destinado a oficinas.

El último piso (7º) será destinado a vivienda (pent-house)

#### 1.20 ESTRUCTURACION

La estructuración del edificio en estudio es a base de pórticos en las dos direcciones principales, es decir tendremos pórticos principales y pórticos secundarios. Así mismo el edificio se ha estructurado con placas en la zona del ascensor y de las escaleras, las cuales además de servir de apoyo de los últimos ayudan a resistir notablemente las fuerzas de sismo.

Los pórticos principales se han armado según la dirección Y-Y y están identificados con números así tenemos: pórtico principal 1-1, 2-2, etc. Los pórticos principales como sabemos son aquellos sobre los cuales se apeyan las losas del techo, por lo tanto se han armado según la mayor rigidez de las columnas.

Los pórticos secundarios sirven de arriestre a los pórticos principales y su misión principalmente es absorber las fuerzas de sismo en esa dirección. Se han armado según la dirección principal X-X y los hemos identificado con letras así: pórtico secundario A-A, B-B, etc. Las placas de la zona de ascensores también tomarán un gran porcentaje de la fuerza de sismo en caso de que éste se produzca en las dos direcciones principales, ayudando así a los pórticos y distribuyendo mejor los esfuerzos.

Nuestra estructura presenta distribución asimétrica de masas y rigideces por lo tanto se presentará torsión.

#### 1.30 MATERIALES Y CARGAS DE DISEÑO

Los materiales usados y cargas de diseño son los siguientes:

### 1.31 CONCRETO

Usaremos concreto de resistencia a la compresión a los 28 días de  $f'_c = 210 \text{ kg/cm}^2$

Este tipo de concreto se usará en todos los elementos estructurales que conforman la estructura: losa de techo aligeradas, columnas, vigas, placas, zapatas, etc.

Esta solución de usar concreto de  $f'_c = 210 \text{ kg/cm}^2$  también para los aligerados, no es económica; pero le hemos considerado así porque de lo contrario se produciría un empotramiento imperfecto entre las viguetas de las losas aligeradas y las vigas. Ver capítulo III.

### 1.32 ACERO

Usaremos acero de fabricación nacional cuyo punto de fluencia es  $f_y = 4200 \text{ kg/cm}^2$

### 1.33 RESISTENCIA DE TERRENO.-

Consideramos para efectos de nuestro estudio una capacidad portante del terreno útil  $f = 2.50 \text{ kg/cm}^2$

### 1.34 CARGAS VIVAS

Las cargas vivas o sobrecargas ( $S/c$ ) el Reglamento Nacional de Construcciones (que en adelante denominaremos R.N.C.) las ha normado de acuerdo al uso de la estructura.

En nuestro caso usaremos las siguientes sobrecargas:

$S/c$  para oficinas representativa :  $250 \text{ kg/m}^2$

$S/c$  escaleras :  $500 \text{ kg/m}^2$

$S/c$  azotea (7º piso: pent-house):  $150 \text{ kg/m}^2$

Siempre el proyectista debe conocer el uso exacto al que será destinada la estructura para poder evaluar así con bastante aproximación las cargas vivas ya que éstas siempre presentan gran incertidumbre en cuanto a magnitud y ubicación.

CAPITULO II: DIMENSIONAMIENTO PRELIMINAR DE  
ELEMENTOS ESTRUCTURALES.

## CAPITULO II

### 2.00 DIMENSIONAMIENTO PRELIMINAR DE ELEMENTOS ESTRUCTURALES

#### 2.10 GENERALIDADES

En todo proyecto estructural debe de hacerse un estudio preliminar de los distintos elementos estructurales que lo conforman para determinar aproximadamente sus dimensiones y puedan soportar los esfuerzos a que estarán sometidos.

El dimensionamiento preliminar se hace a fin de obtener las características mecánicas de los elementos tales como área, sección transversal, rigideces, etc y por lo tanto poder realizar el metrado de cargas.

Estas dimensiones de los elementos estructurales, preliminares nos servirán para hacer el análisis estructural, y después con el cálculo se verificarán o de lo contrario nos dirán lo errado de nuestra suposición; para no caer en éste error lo que se hace es suponer las dimensiones preliminares en base a recomendaciones prácticas o estudios hechos al respecto.

Por lo tanto el dimensionamiento previo de los elementos estructurales lo haremos en base a criterios prácticos y tratando de uniformizar resultados.

Gabe destacar que en algunos casos debido al tipo de estructura y a los esfuerzos a que estará sometida no se puede dar un dimensionamiento a-priori, en éstos adquiere primordial importancia la experiencia del Ingeniero proyectista y su "intuición".

#### 2.20 DIMENSIONAMIENTO DE LOSAS ALIGERADAS

En nuestro medio es muy común el emplear losas aligeradas para los techos con el fin de disminuir el peso.

El R.N.C. en su sección 909 da el siguiente criterio para determinar el peralte total  $h$  de las losas.

ESPESOR O PERALTE MINIMO DE ELEMENTOS SUJETOS  
A FLEXION CUANDO NO SE CALCULAN DEFLEXIONES.

Elementos.	Espesor o peralte minimo $h$		
	Libremente apoyados	Con un extremo continuo	Ambos extremos continuos.
Lesas macizas.	$L/25$	$L/30$	$L/35$
Vigas y lesas nervadas	$L/20$	$L/23$	$L/26$

$L$ = luz de la viga o lesa  
En la práctica se usa:

$L \text{ MAX}/25 \leq h \leq L \text{ MAX}/20$ , pudiendo variar éstos valores si la sobrecarga es alta.

Además para lesas aligeradas en voladizo se usa:

$$h \leq L \text{ vel}/10.$$

En nuestro caso ya que la sobrecarga que tenemos en la mayoría de los niveles es la correspondiente a la sobrecarga de oficinas emplearemos:

$$h = L/25$$

$$h = \underline{5.10\text{m.}} = 0.204\text{m.}$$

25

Aceptamos:  $h = 0.25\text{m.}$  en todos los niveles como altura de la lesa aligerada.

### 2.30 DIMENSIONAMIENTO PRELIMINAR DE VIGAS

Se utilizan 2 criterios: Uno para vigas principales y el otro para las vigas secundarias.

### 2.31 DIMENSIONAMIENTO DE VIGAS PRINCIPALES

Una viga es un elemento estructural sujeto mayormente a esfuerzos de flexión. El concreto como se sabe tiene una resistencia relativamente grande a los esfuerzos de compresión pero no a la tracción; éstos esfuerzos de tracción deben de ser absorbidos por las varillas de acero que para tal fin se colocan en las zonas traccionadas del concreto.

Por lo tanto según el estudio hecho al respecto ( Predimensionamiento de vigas) por los Ingenieros: Arango Ortiz- Yamashiro Kamimoto que nos dicen que para

una cuantía escogida de  $p = 0.61$  ( $1\%$ ) que generalmente es la que se usa para el acero positivo en vigas y que permite diseños, sin exageración, de armadura tanto para la sección positiva como para la negativa y para vigas que separan losas armadas en un sentido, el peralte total  $h$  se pone de hallar según la siguiente tabla :

USO	DEPARTAMENTOS Y OFICINAS	GARAJES Y TIENDAS	DEPOSITOS
$s_e$ ( $\text{kg/m}^2$ )	250	500	1000
$h$	$\frac{L}{11}$	$a \quad \frac{L}{12}$	$L/18$

TABLA 2.1 : PERALTE TOTAL PARA VIGAS CONTINUAS  
DE DOS O MAS TRAMOS

Según este estudio hecho por los Ingenieros antes mencionados el caso en que la viga sea de un solo tramo con  $p = 0.61\%$  los valores de la tabl. deben de aumentarse en un  $40\%$ .

Así mismo para obtener el ancho  $b$  de la sección de la viga se usa el siguiente criterio :

$$(2.1) \quad b = \frac{B}{20} \quad \Rightarrow \quad \text{Para el caso de vigas principales interiores.}$$

donde  $B$  es el área de influencia/metro lineal de viga.

Para el caso de vigas exteriores es una práctica común aumentar el valor  $b = \frac{B}{20}$  en un  $20\%$ .

$$\text{Luego : (2.2)} \quad b = 1.20 \frac{B}{20} \quad \Rightarrow \quad \text{Para el caso de vigas principales exteriores.}$$

Si se desea mantener una de las dimensiones de la viga constante que generalmente es el ancho  $b$  con el fin de reducir al mínimo los costos

de encofrado o por razones de arquitectura se desean modificar los valores obtenidos con el método expuesto se pueden cambiar las dimensiones de acuerdo con la siguiente relación:

Aproximadamente se cumple:

$$bh^2 = b_e h_e^2 \quad \dots \dots \dots (2.3)$$

En donde en la fórmula 2.3:  $b_e$  y  $h_e$  son las dimensiones de la viga obtenidas usando la tabla 2.1;  $b$  y  $h$  son las nuevas dimensiones requeridas de acuerdo a las exigencias arquitectónicas. Esto es posible siempre y cuando la cuantía  $p$  se mantenga constante.

Por lo tanto para nuestro proyecto, el peralte de las vigas principales será :

$$h = \frac{L}{12} = \frac{5.25m}{12}$$

$$\Rightarrow h = 43.7\text{cm}$$

Adoptamos  $h = 45\text{cm}$ . tanto para vigas exteriores como para vigas interiores y en todos los niveles.

- Ancho b:

$$b = \frac{B}{20} \rightarrow \text{case de vigas interiores.}$$

$$b = \frac{5.10m}{20}$$

$$b = 25.5 \text{ cm.}$$

Adoptamos  $b = 30 \text{ cm}$ . como ancho de todas las vigas interiores en todos los niveles.

Para el caso de las vigas exteriores tendremos según la relación 2.2 :

$$b = 1.2 \frac{B}{20}$$

$$\text{Luego: } b = \frac{1.20 (2.55 + .95)}{20} = 21.0 \text{ cm.}$$

Use 30 cm.

RESUMEN:

Por razones constructivas y de encofrado, además de buscar uniformizar los elementos estructurales para un mejor comportamiento de la estructura frente a un sismo usaremos vigas principales de 30 cm x 45 cm. en todos los niveles tanto interiores como exteriores.

USE VIGAS PRINCIPALES DE: 30 cm x 45 cm.

### 2.32 DIMENSIONAMIENTO DE VIGAS SECUNDARIAS

Se usan vigas chatas o vigas peraltadas. Para luces de mas de 4.0 mts. el coste de la estructura con vigas chatas es caro según el estudio hecho por el Ingeniero Fernando Albujar.

Se usa el siguiente criterio para dimensionar vigas secundarias.

$$h = \frac{L}{14} \quad \dots \quad (2.4)$$

dónde:  $h$  = peralte total de la viga.

$L$  = luz del claro.

Entonces:  $h = \frac{5.10m}{14} = 0.36m$

Para hallar el ancho  $b$  de la viga se emplea el siguiente criterio:

$$b = \frac{h}{2} \quad \dots \quad (2.5)$$

Se pueden modificar las dimensiones con el criterio siguiente:

$$be^3 = b h^3$$

$$\dots \quad (2.6)$$

Donde en la fórmula (2.6)  $be$  y  $he$  se obtienen con las relaciones (2.4) y (2.5) respectivamente, y  $b$  e  $h$  son cualquiera de las dos dimensiones que nosotros nos prefijemos.

Las vigas secundarias basicamente reciben solo fuerzas de sismo, de allí su importancia en el diseño puesto que en caso de un terremoto moderado deben comportarse satisfactoriamente juntas con las vigas principales para resistirlo.

Por lo expuesto anteriormente es conveniente que las vigas secundarias al igual que las vigas principales sean peraltadas, pero respetando siempre también hasta donde se pueda el diseño arquitectónico.

Por lo tanto usaremos vigas secundarias de . 30mx. 40m. en todos los niveles.

### RESUMEN:

USE VIGAS SECUNDARIAS DE: .30mx. 40m.

### 2.33 NOMENCLATURA

Emplearemos la siguiente nomenclatura:

(Nivel) (Viga) ( ejes que la limitan)

Ej: 3º V-A-B

Significa Viga del 3º piso limitado entre los ejes A y B.

#### 2.4.6 DIMENSIONAMIENTO PRELIMINAR DE COLUMNAS

Al igual que otros elementos de la estructura en estudio es necesario también el predimensionamiento de las columnas para poder hacer el análisis estructural, ya que conociendo las dimensiones se puede factorizar las rigideces, metradas de cargas, etc.

Para determinar las dimensiones preliminares de las columnas usaremos el estudio desarrollado por los Ingenieros :

Edisen Zegarra-Yanashiro Kamimoto.

Este método de predimensionamiento de columnas se basa en un diseño por carga axial teniendo en cuenta un factor de aumento, según la ubicación de la columna, tanto en planta como en altura.

Los momentos que se producen en las columnas debido al sistema de vientos laterales causan un incremento en el freno que fue determinada por carga axial. Este incremento puede ser del orden del 10 % para columnas interiores, en las cuales los momentos no balanceados no son muy grandes. Sin embargo para columnas exteriores especialmente en los pisos superiores se puede tener incrementos hasta de un orden del 50 %.

El procedimiento para el dimensionamiento preliminar de columnas en síntesis es el siguiente :

1.- Se determina las dimensiones de las columnas del segundo y tercer piso utilizando la siguiente relación :

$$A_g = k \cdot A_t \quad \dots \dots \dots \dots \quad (2.7)$$

donde :  $A_g$  = área de la sección de la columna.

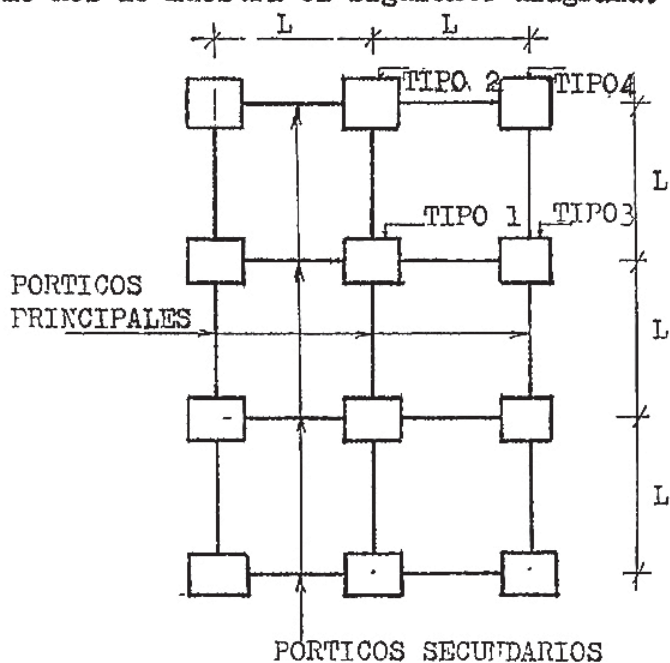
$A_t$  = área tributaria de la columna.

$k$  = coeficiente dado en la tabla 2.2

PISO	LUZ (mts.)	AREA TRIBUTARIA POR PISO (m <sup>2</sup> )	TIPO DE COLUNA			
			1	2	3	4
ANTE PE- MULTIMO PISO	4.0	16.0	0.0013	0.0025	0.0021	0.0021
	6.0	36.0	0.0011	0.0020	0.0016	0.0016
	8.0	64.0	0.0011	0.0017	0.0015	0.0015
SEGUNDO	4.0	16.0	0.0011	0.0014	0.0011	0.0011
	6.0	36.0	0.0012	0.0014	0.0011	0.0011
PISO	8.0	64.0	0.0012	0.0014	0.0011	0.0011

TABLA 2.2: COEFICIENTES "k" PARA DETERMINAR EL AREA DE COLUMNAS CUADRADAS PARA DIFERENTES LUCES ENTRE EJES

Los cuatro tipos de columnas han sido clasificados de acuerdo a la posición que ocupen tal como nos lo muestra el siguiente diagrama:



Las columnas tipo 1 y 2 son la interior y la exterior respectivamente de un pórtico principal interior. Las columnas tipo 3 y 4 son respectivamente la interior y la exterior de un pórtico principal exterior. Por lo tanto la columna tipo 4 es una columna en una esquina del edificio.

Se hace notar que para determinar los coeficientes k. se adoptó una cuantía de acero constante pt. para todas las columnas igual a 0.02.

2.- Se determina los lados  $t$  de las columnas de los pisos considerados sumiéndoles cuadrados.

3.- Calcule las dimensiones de las columnas de los pisos intermedios por interpolación lineal.

4.- Calcule las dimensiones de las columnas del primer piso de la siguiente manera:

- Per extrapolación lineal, si la altura del primer piso es igual a la del segundo.
- Sumando 7 cm. a las del 2º piso si la altura del 1º piso es 1.5 veces la del segundo.
- Per interpolación e extrapolación entre los valores calculados según a) o b) para otras condiciones.

5.- Use las dimensiones de las columnas del piso antepenúltimo para las del penúltimo y último piso.

El procedimiento ha sido desarrollado para edificios de entre 8 y 12 pisos.

2.41 NOMENCLATURA

Emplearemos la siguiente nomenclatura:

(Nivel) ( Columna ) ( intersección de ejes) Ejm: 3º C-1-A

Significa: Columna del 3º piso en el cruce de los ejes 1 y A.

A continuación aplicando el método expuesto precedemos al predimensionamiento en detalle de las columnas de los pórticos 1-1 y pórtico 2-2; las dimensiones de las otras columnas se obtienen de manera similar ya que las áreas tributarias son iguales.

PÓRTICO PRINCIPAL 1-1

TIPO COL.	NIVEL	K	(m <sup>2</sup> ) A. TRIB.	(m <sup>2</sup> ) A.ACUM.	(cm <sup>2</sup> ) AG	(cm x cm) SECCION
EJE B TIPO IV	Az					
	6		6.69	~		
	5	.0028	6.69	13.38	374.0	
	4		6.69	20.08		
	3		6.69	26.77		
	2	.0015	11.48	38.25	574.0	24 x 24
EJE C TIPO III	1					
	Az		11.67			
	6		13.39	25.06		
	5	.0016	13.39	38.45	615.0	
	4		13.39	51.84		
	3		13.39	65.23		
EJE D TIPO IV	2	.0014	13.39	78.62	1100.0	33 x 33
	1					
	Az		6.69	.		
	6		6.69	13.38		
	5	.0028	6.69	20.08	562.0	
	4		6.69	26.77		
	3		6.69	33.47		
	2	.0015	6.69	40.16	602.0	25 x 25
	1					

PORTICO PRINCIPAL 2-2

TIPO COL.	NIVEL	K	(m <sup>2</sup> ) A.TRIB.	(m <sup>2</sup> ) A.ACUM.	(cm <sup>2</sup> ) AG	SECCION
EJE B TIPO I	Az					
	6		13.39			
	5	0.0011	13.39	26.78	147.0	
	4		13.39	40.17		
	3		13.39	53.56		
	2	0.0012	22.95	76.51	918.0	30 x 30
	1					
EJE C TIPO I	Az		11.67			
	6		26.78	38.46		
	5	0.0011	26.78	65.23	717.0	
	4		26.78	92.01		
	3		26.78	118.79		
	2	0.0012	26.78	145.57	1746.0	38 x 38
	1					
EJE D TIPO II	Az		13.39			
	6		13.39	26.78		
	5	0.0020	13.39	40.16	803.0	
	4		13.39	53.55		
	3		13.39	66.94		
	2	0.0014	13.39	80.33	1125	34 x 34
	1					

Debemos uniformizar secciones por razones prácticas y constructivas,  
luego sintetizando las secciones serán:

PORTECO PRINCIPAL 1-1

NIVEL COL.	(cm x cm) EJE A	(cm x cm) EJE B	(cm x cm) EJE C	(cm x cm) EJE D
72 (Az)	—	—	—	30 x 40
62	—	30 x 40	30 x 40	30 x 40
52	—	40 x 50	40 x 50	40 x 50
42	—	40 x 50	40 x 50	40 x 50
32	—	40 x 50	40 x 50	40 x 50
22	40 x 40	40 x 60	40 x 60	40 x 60
12	40 x 40	40 x 60	40 x 60	40 x 60

PORTECO PRINCIPAL 2-2 = 3-3 = 6-6

NIVEL COL.	(cm x cm) EJE A	(cm x cm) EJE B	(cm x cm) EJE C	(cm x cm) EJE D
72 (Az)	—	—	30 x 40	30 x 40
62	—	30 x 40	30 x 40	30 x 40
52	—	40 x 50	40 x 50	40 x 50
42	—	40 x 50	40 x 60	40 x 50
32	—	40 x 50	40 x 60	40 x 50
22	40 x 40	40 x 60	40 x 70	40 x 60
12	40 x 40	40 x 60	40 x 70	40 x 60

PORTEICO PRINCIPAL 4-4 = 5-5

NIVEL COL.	(cm x cm) EJE A	(cm x cm) EJE B	(cm x cm) EJE C
72 (Az)	—	—	30 x 40
62	—	30 x 40	30 x 40
52	—	40 x 50	40 x 50
42	—	40 x 50	40 x 60
32	—	40 x 50	40 x 60
22	40 x 40	40 x 60	40 x 70
12	40 x 40	40 x 60	40 x 70

PORTEICO PRINCIPAL 7-7

NIVEL COL.	(cm x cm) EJE A	(cm x cm) EJE B	(cm x cm) EJE C	(cm x cm) EJE D
72 (Az)	—	30 x 40	30 x 40	30 x 40
62	—	30 x 40	30 x 40	30 x 40
52	—	40 x 50	40 x 50	40 x 50
42	—	40 x 50	40 x 60	40 x 50
32	—	40 x 50	40 x 60	40 x 50
22	40 x 40	40 x 60	40 x 70	40 x 60
12	40 x 40	40 x 60	40 x 70	40 x 60

PORTECO PRINCIPAL 8-8

NIVEL COL.	EJE A	EJE B	EJE C
7° (Az.)	30 x 40	30 x 40	30 x 40
6°	30 x 40	30 x 40	30 x 40
5°	40 x 50	40 x 50	40 x 50
4°	40 x 50	40 x 50	40 x 50
3°	40 x 50	40 x 50	40 x 50
2°	40 x 60	40 x 60	40 x 60
1°	40 x 60	40 x 60	40 x 60

2.50 DIMENSIONAMIENTO PRELIMINAR DE PLACAS

Para la estructuración del presente proyecto, hemos considerado placas en la zona donde se encuentran ubicadas las escaleras y el ascensor; éstas placas juntas con los perímetros deberán complementarse para resistir satisfactoriamente las fuerzas de sismo en caso de que éste se produzca.

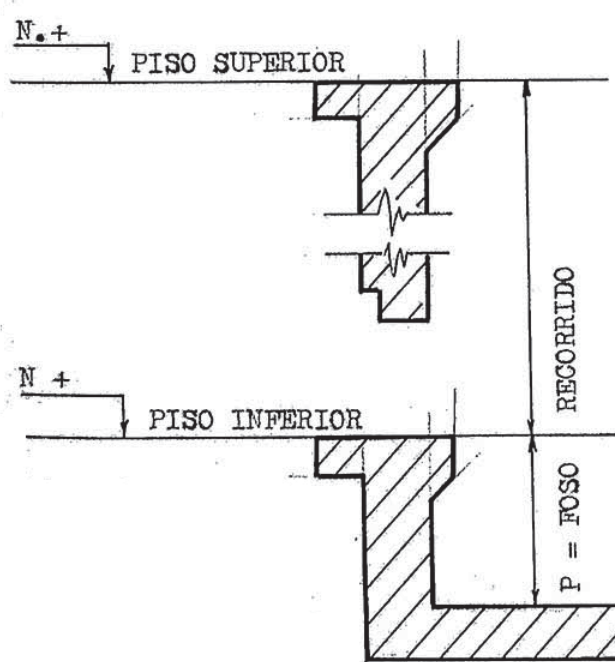
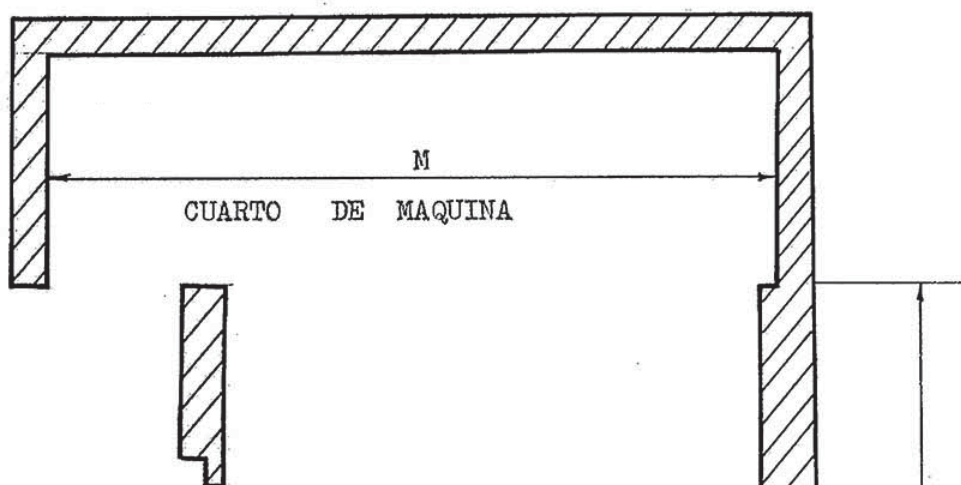
2.51 DIMENSIONAMIENTO PRELIMINAR DE CAJA DE ASCENSORES

Según el reglamento A.C.I, la caja de ascensores tendrá un espesor no menor de 15 cm. en los 5 m. superiores y por cada 7 m. hacia abajo o fracción el espesor mínimo se aumentará en 2.5 cm.

Luego de acuerdo a la demanda de pasajeros (transporte vertical) considerando las horas "punta" y guíandones del manual "Consejos para la instalación de Ascensores" con las normas "NEMI" mas utilizadas para el diseño (publicada por el Ingeniero Antonie Ferreccio Nesiglia- Lima UNI-1974) escogemos un ascensor Westinghouse para pasajeros con cabina doble de 800 lbs. de capacidad por cabina con una velocidad de 150 p.p.m. (p.p.m. = pies por minute)

ESQUEMA TIPICO DE CAJA DE ASCENSORES

+15



+20+

Luego del manual de ascensores y para las características antes mencionadas obtenemos que:

$$U = 13' 00'' = 3.96 \text{ m.}$$

$$\Rightarrow U = 4.0 \text{ m.}$$

$$P = 4' 00'' = 1.21 \text{ m.}$$

$$P = 1.20 \text{ m.}$$

Por lo tanto el espesor de las paredes de la caja de ascensores será:

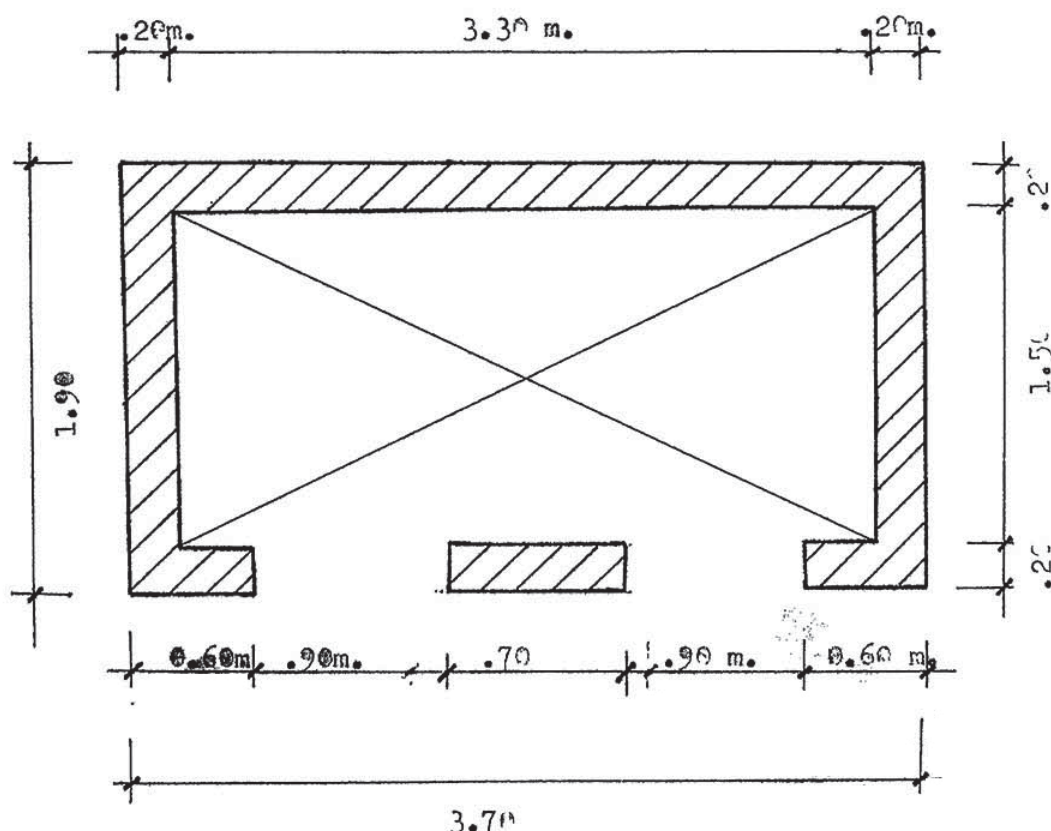
$$L = 15 \text{ cm.} + (\underline{1.20 \text{ m.} + 16.80 \text{ m.} + 4.0 \text{ m.} - 5.0 \text{ m.}}) \times 2.5 \text{ cm.}$$

$$L = 15 \text{ cm.} + 6.08 \text{ cm.}$$

$$L = 21 \text{ cm.}$$

Con un criterio práctico escogemos  $L = 20 \text{ cm.}$  a lo largo de toda su altura, para las paredes laterales.

Entonces las dimensiones en planta de la caja de ascensores serán:

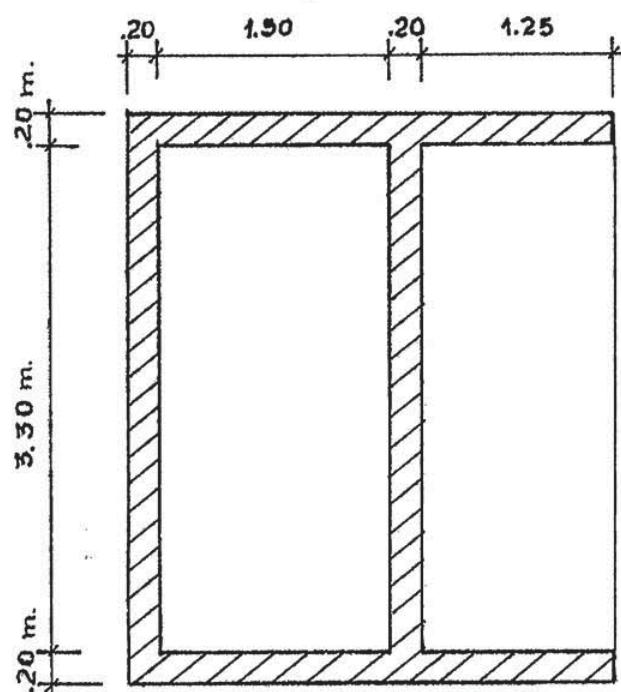
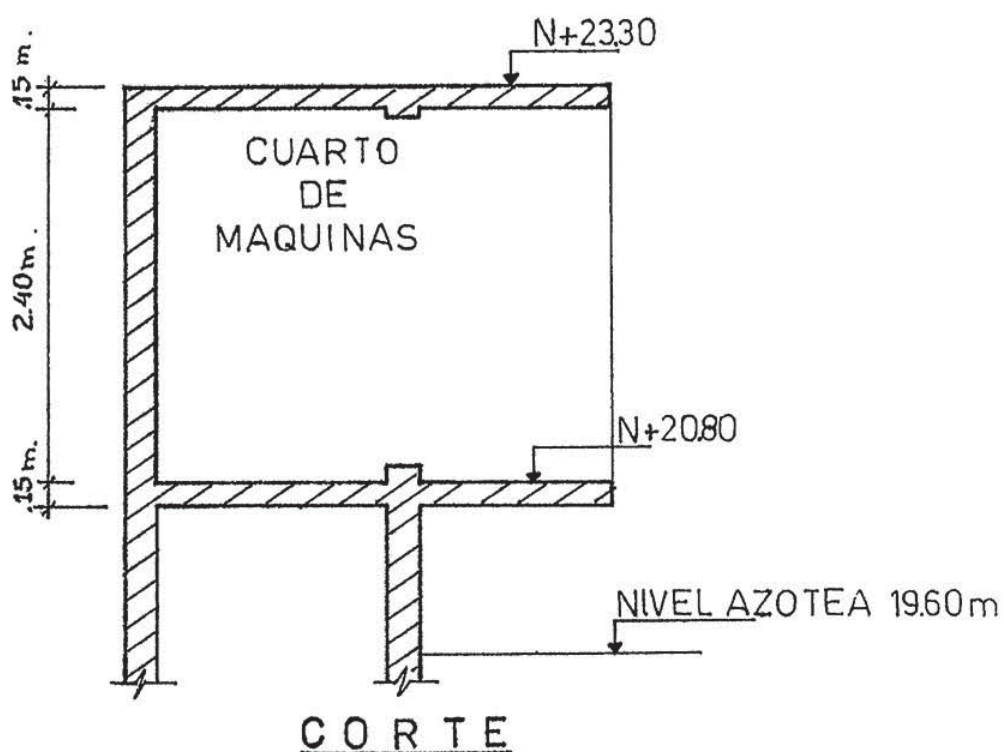


ESCALA : 1:50

## 2.52 DIMENSIONAMIENTO PRELIMINAR DE CUARTO DE MAQUINAS

De manera análoga a como hicimos con la caja de ascensores, para el dimensionamiento del cuarto de máquinas nos guiaremos del manual "Consejos para la instalación de ascensores"

Un corte típico será el siguiente:



PLANTA      ESC. 1:50

Criterio para escoger el espesor:

Lesa del piso:

- 1.- Lesa encima de la caja de ascensores ( lesa armada en 2 sentidos)
- 2.- Lesa que sobresale fuera de la caja del ascensor ( lesa armada en un sentido apoyada en vigas en voladizo que salen de la caja del ascensor)

Para escoger el espesor tendremos que:

$$t_1 \geq \begin{cases} 1.-) 9\text{cm.} \\ 2.-) \frac{\text{perímetro}}{180} = \frac{2(3.50+1.70)}{180} = \\ \quad = \frac{2 \times 5.20}{180} = 5.7\text{cm.} \end{cases}$$

$$t_2 = \frac{L}{35} + 3\text{cm.} = \frac{350\text{cm.}}{35} + 3\text{ cm} \\ = 10\text{ cm} + 3\text{cm.} \\ = 13\text{ cm.}$$

Por lo tanto adoptaremos las siguientes medidas:

lesa del piso = 15 cm. (encima de la caja de ascensores)  
lesa del techo= 15 cm.  
paredes laterales= 20 cm.

#### 2.53 DIMENSIONAMIENTO PRELIMINAR DE CAJA DE ESCALERAS

El espesor de las placas de la caja de escaleras adoptaremos aplicando el mismo criterio anterior a= 20 cm.

Para el techo de la caja de escaleras a= 20 cm, encima del cual irá el tanque elevado para abastecimiento de agua del edificio.

#### 2.60 ESTUDIO PRELIMINAR DE TANQUE ELEVADO Y CISTERNA

Haremos el dimensionamiento en base a la dotación diaria de agua y de acuerdo a la demanda, según dotaciones especificadas por el Reglamento Nacional de Construcciones (R.N.C.)

Entonces tendremos:

a.- 1º PISO.-

El primer piso será dedicado íntegramente a cafetería mas locales comerciales.

Área que ocupa la cafetería= 173.0 m<sup>2</sup>

Según el R.N.C en su sección X- III- 3.18, la dotación de agua para bares, fuentes de soda, cafeterías y similares se calculará de acuerdo a la siguiente tabla:

<u>Área de locales en m<sup>2</sup></u>	<u>Dotación diaria.</u>
Hasta 30	1,500 Lts.
De 31 a 60	60 Lts/m <sup>2</sup>
De 61 a 100	50 Lts/m <sup>2</sup>
Mayer de 100	40 Lts/m <sup>2</sup>

En nuestro caso:  $173.0 \text{ m}^2 > 100.0 \text{ m}^2$ , luego estamos en el último caso por lo tanto:

$$173.0 \text{ m}^2 \times 40 \text{ Lts/m}^2 = 6920.0 \text{ Lts.}$$

La zona de locales comerciales en el 1º piso será:

$$703.0 \text{ m}^2 - 173.0 \text{ m}^2 = 530.0 \text{ m}^2$$

Según el R.N.C X-III- 3.11, la dotación de agua para locales comerciales dedicados a comercio de mercancías secas, bodegas, supermercados, etc y similares se calculará a razón de 20 Lts/dfa por m<sup>2</sup> de área del local, considerándose una dotación mínima de 400 Lts/dfa.

Luego:

$$530.0 \text{ m}^2 \times 20 \text{ Lts/dfa} \text{ m}^2 = 10,600 \text{ Lts.}$$

La demanda total per dfa para el primer piso será:

$$6920.0 \text{ Lts} + 10,600 \text{ Lts.} = 17,520 \text{ Lts.}$$

demanda diaria 1º piso= 17,520.0 Lts.

#### b.- 2º PISO.

El segundo piso del edificio en estudio será dedicado a hotel por lo tanto según el R.N.C X-III- 3.4, las dotaciones de agua, para hoteles, pensiones y establecimientos de hospedaje se calcularán de acuerdo con la siguiente tabla:

<u>Tipo de establecimiento</u>	<u>Dotación diaria</u>
- Hoteles	500 Lts/dormitorio
- Pensiones	350 Lts/dormitorio
- Establecimientos de hospedaje	25 Lts per m <sup>2</sup> de área destinado a dormitorio

Entonces en el primer caso lo que implica:

$$17 \text{ dormitorios} \times 500 \text{ Lts/dormitorio} = 8500 \text{ Lts.}$$

$$\boxed{\text{detación diaria } 2^{\circ} \text{ piso} = 8,500.0 \text{ Lts.}}$$

c.- PISO TÍPICO

Según el uso que se ha establecido en el proyecto arquitectónico a nuestro edificio en estudio tenemos que del 3º piso al 6º será dedicado íntegramente a oficinas, por lo tanto según: R.N.C X-III- 3- 9, la detación de agua para oficinas se calculará a razón de 6 Lts/día por  $\text{m}^2$  de área útil de local.

$$\text{Área per piso} = 410.0 \text{ m}^2$$

$$4 \text{ pisos} = 4 \times 410.0 \text{ m}^2 = 1640.0 \text{ m}^2$$

$$\text{demanda} = 1640.0 \text{ m}^2 \times 6 \text{ Lts/día} \times \text{m}^2$$

$$\boxed{\text{demanda} = 9,840.0 \text{ Lts.}}$$

d.- 7º PISO (pent house)

El 7º piso será dedicado a vivienda y se le denomina pent house, por lo tanto la demanda de agua se obtiene según el R.N.C X-III- 33 que dice: " Los edificios multifamiliares deberán estar dotados de agua potable de acuerdo con el número de dormitorios de cada departamento según la siguiente tabla:

<u>Número de dormitorios per departamento</u>	<u>Detación diaria en litros departamento</u>
1	500
2	850
3	1200
4	1350
5	1500

En nuestro caso el pent house consta de 3 dormitorios



$$\boxed{\text{detación diaria} = 1,200.0 \text{ Lts.}}$$

e.- Agua contra incendios

Según R.N.C X-III - 12.3 consideraremos 2 mangueras funcionando durante media hora simultáneamente y con un gasto de 8 Lts/sg.

Luego:  $2 \times 1800 \text{ sg} \times 8 \text{ Lts}/\text{sg} = 28,800 \text{ Lts}$

Aqua contra incendie = 28,800.0 Lts.

El volumen de agua total será igual a la suma de las demandas por piso mas el agua contra incendie.

$$V_t = 17,520.0 + 8,500.0 + 9,840.0 + 1,200.0 + 28800$$

$$V_t = 65,860.0 \text{ Lts.}$$

La capacidad del tanque elevado será según R.N.C X-III- 65

$$V_{te} = \frac{1}{3} V_t$$

$$V_{te} = \frac{1}{3} (65,860) = 21,953 \text{ Lts.}$$

reduciendo a  $\text{m}^3$  obtenemos:

$$V_{te} = 21.95 \text{ m}^3$$

Las dimensiones interiores del tanque elevado serán:

$$axb = 5.10 \times 2.50 = 12.75 \text{ m}^2$$

Altura útil de agua = hu

$$hu = \frac{V_{te}}{a \times b}$$

$$hu = \frac{21.95 \text{ m}^3}{12.75 \text{ m}^2} = 1.72 \text{ m.}$$

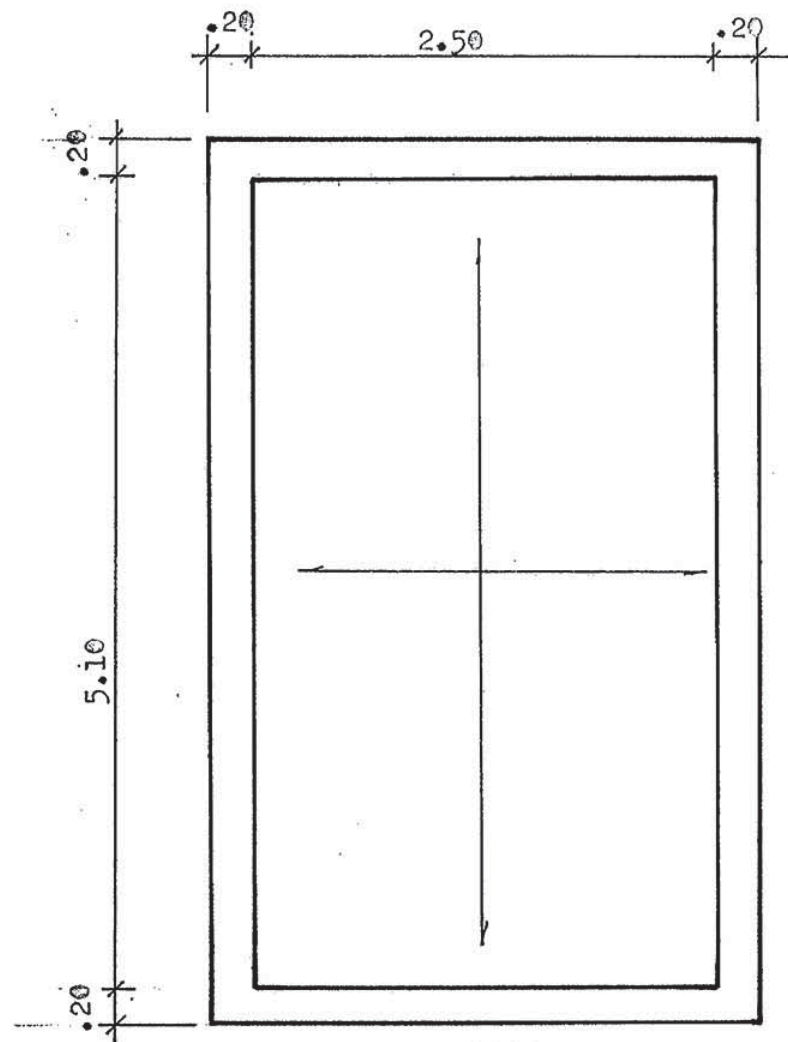
Tomamos como altura útil hu = 1.80 m.

Entonces:

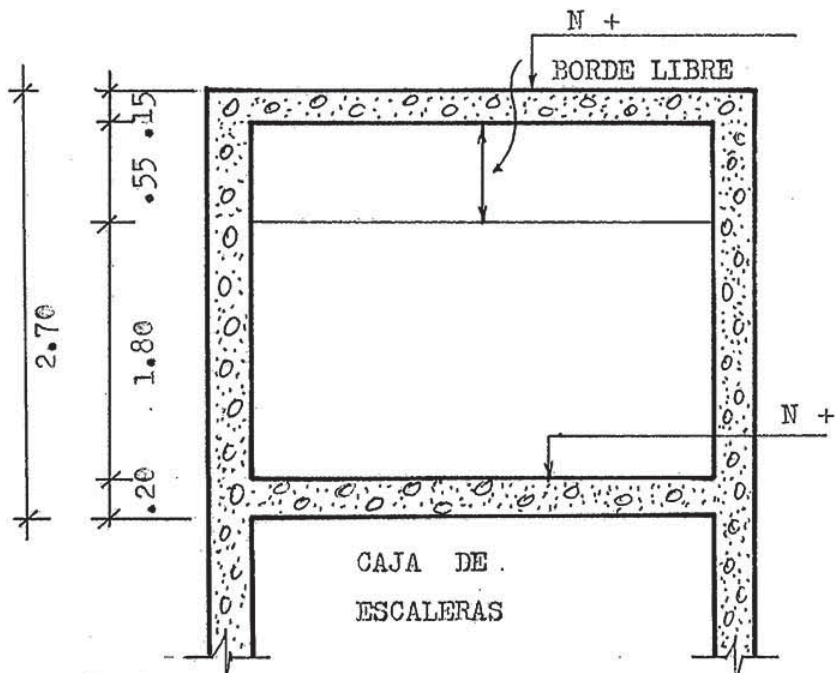
$$hu = 1.80 \text{ m.}$$

Según R.N.C X-III- 6.7, X-III- 6.8 y X-III- 6.9 por berde libre, tubes de rebote, y además para uniformizar con la altura de la caseta de máquinas dejamos un berde libre de: 55 m.

Luego las dimensiones del tanque elevado serán:



PLANTA TANQUE ELEVADO



CORTE TANQUE ELEVADO DE AGUA POTABLE

ESCALA 1:50

$$t = \frac{L}{35} + 3$$

$$t = \frac{500 \text{ cm.}}{35} + 3$$

$$t = 17.3 \text{ cm.}$$

Luego escogemos el piso del tanque elevado: losa armada en 2 sentidos de espesor = 20 cm.

Techo del tanque elevado = 15 cm.

paredes laterales = 20 cm.

#### TANQUE CISTERNA.-

La capacidad de la cisterna será según R.N.C X-III- 6.5 las  $\frac{3}{4}$  partes del volumen total, pero se admite generalmente para casos prácticos  $\frac{2}{3}$  de  $V_t$ .

Luego: Volumen de la cisterna =  $\frac{2}{3} V_t$ .

$$V_c = \frac{2}{3} \times 65,860 = 43,906 \text{ Lts.}$$

$$V_c = 43.90 \text{ m}^3$$

Consideramos una cisterna cuadrada de lado: 4.30 m.

correspondiéndole una altura de agua:

$$h = \underline{43.90} = 2.37 \text{ m.}$$

$$4.30 \times 4.30$$

$$\text{digamos } h = 2.40 \text{ m.}$$

Luego la altura total será:

$$h_t = h (\text{agua}) + h (\text{rebese})$$

$$h_t = 2.40 + 0.20 \implies h = 2.60$$

$$h_t = 2.60 \text{ m.}$$

CAPITULO III : LOSAS ALIGERADAS

### CAPITULO III

#### 3.0 LOSAS ALIGERADAS

##### 3.10 INTRODUCCION

Nuestro sistema de techos del edificio en estudio será a base de losas aligeradas, las cuales son losas nervadas con unidades de relleno. Las unidades de relleno son los elementos aligerantes (con el fin de disminuir el peso y costo) y generalmente son ladrillos de arcilla o de concreto. El uso de éstos elementos aligeradores, simplifica notablemente la construcción, aumenta el aislamiento acústico y se logra una superficie inferior plana que puede ser conveniente en muchos casos. Esta solución se adoptó debido a que las cargas son repartidas y moderadas.

##### 3.20 CARACTERISTICAS GENERALES

El R.N.C. en su anexo de concreto cielópolo y armado nos da las características mínimas de diseño recomendables :

- a) La parte superior de las nervaduras podrá ser conectada mediante una losa de concreto. Esta losa se considerará como parte del sistema estructural cuando se llene monolíticamente con las nervaduras. El espesor de la losa estructural no será menor de  $1/12$  de la distancia libre entre nervaduras, ni menor de 3 cm. Se preverá en ésta losa una armadura mínima perpendicular a las nervaduras para tomar los esfuerzos de contracción y temperatura.
- b) El ancho mínimo de la nervadura será de 7.5 cm. El peralte sin incluir la losa estructural, cuando éste existe no será mayor de cuatro veces el ancho.
- c) Cuando no se prevé losa estructural conectando la parte superior de las nervaduras, éstas serán arriostradas perpendicularmente mediante nervaduras de la misma dimensión ubicadas a una distancia no menor entre ejes de 30 veces el ancho de la nervadura. La cuantía mínima  $P_{min}$  de éstas nervaduras transversales será 0.02

##### 3.30 ANALISIS ESTRUCTURAL

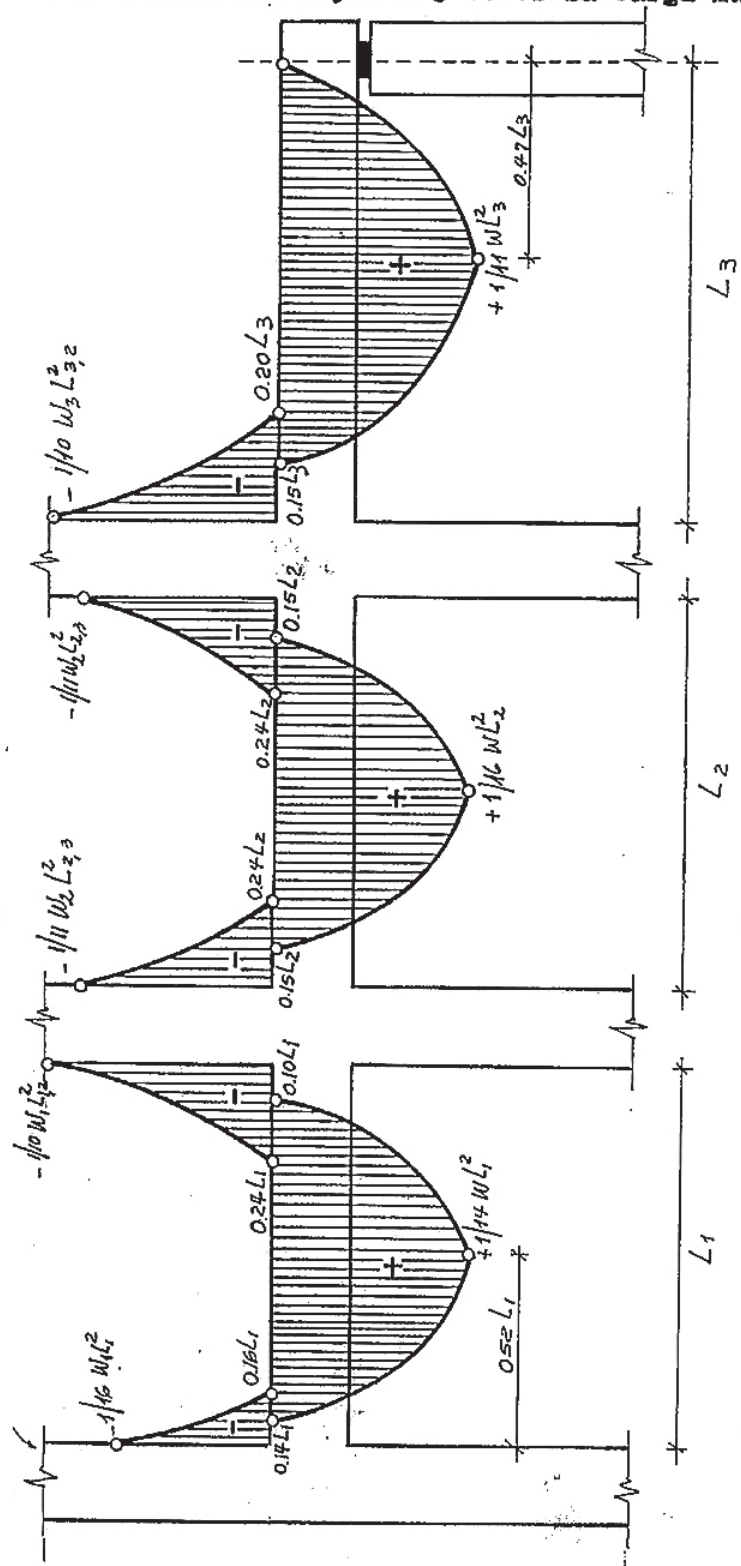
Para el cálculo de los esfuerzos tales como momentos flexores y esfuerzos cortantes se usan los métodos del análisis estructural siendo el más empleado el método de Hardy CROSS; ya que las viguetas de las losas aligeradas funcionan como vigas continuas y que se apeyan en las vigas principales.

También el Instituto Americano del Concreto (A.C.I.) da unos coeficientes

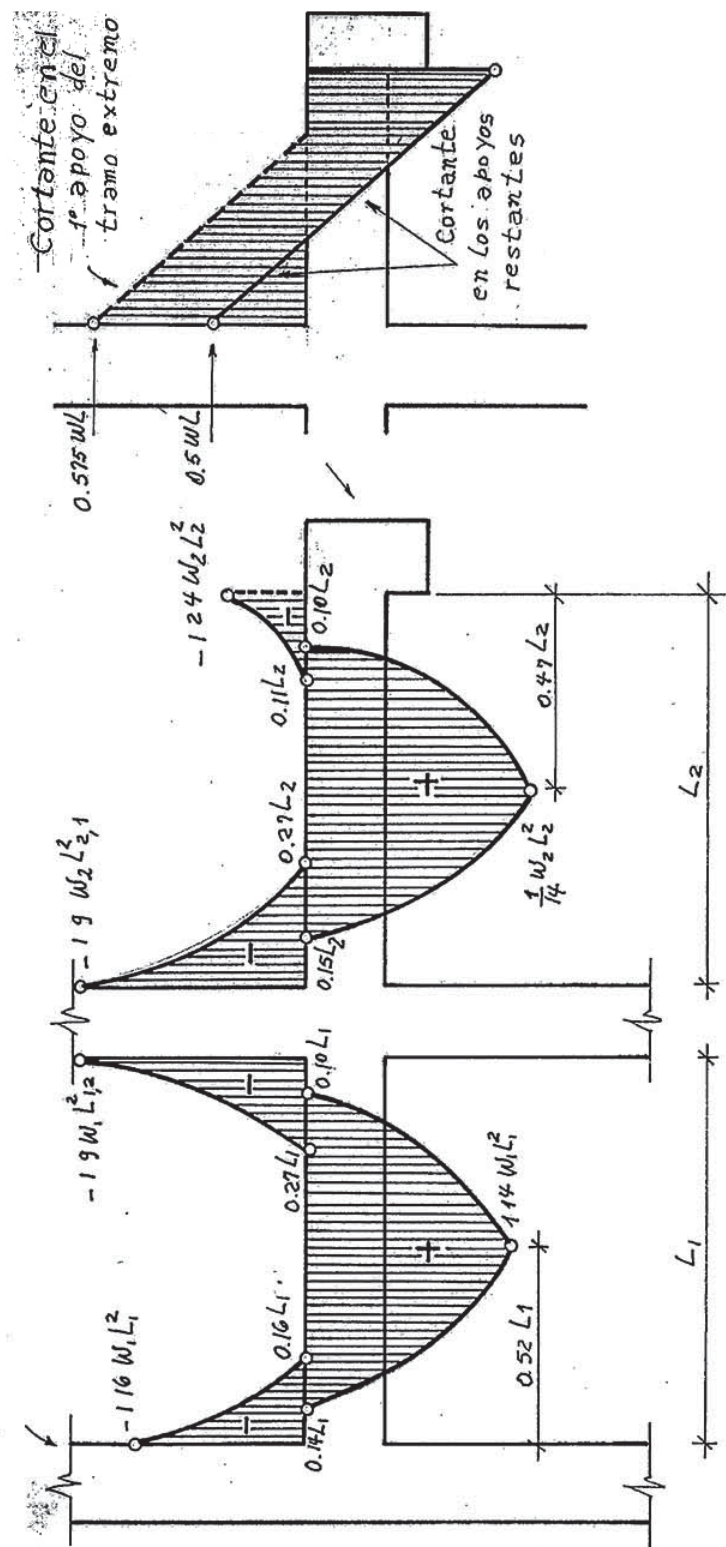
que permiten hallar en forma bastante aproximada los momentos de flexión y fuerzas cortantes máximas. Para aplicar el "METODO DE LOS COEFICIENTES DEL ACI" se deben cumplir las siguientes condiciones :

- Las luces de los tramos deberán ser aproximadamente iguales aceptándose una diferencia máxima del 20% entre tramos adyacentes.
- Las cargas vivas deben ser uniformemente distribuidas
- La carga viva no debe ser mayor a 3 veces la carga muerta.

### 30 MAS TRAMOS



## 2 TRAMOS



### 3.40 DISEÑO DE LAS LOSAS ALIGERADAS

Para el diseño de las losas emplearemos el método a la retara o de la resistencia última, aplicando las fórmulas que nos dà el R.N.C (Concrete sielópe y armado en su sección 1600)

### 3.41.- CALCULOS POR FLEXION

- a) Momento resistente a la retara. - El momento resistente a la retara de diseño en vigas rectangulares con refuerzo de tracción únicamente será :

$$M_u = \phi A_s f_y (d - a_e / 2)$$

$$\text{donde } a_e = \frac{A_s f_y}{0.85 f'_e b}$$

En las fórmulas anteriores:

M<sub>u</sub> = momento resistente a la retira

$\phi$  = factor de reducción de capacidad: ( se especifica que el coeficiente  $\phi$  deberá ser 0.9 para flexión y tracción simple)

A<sub>s</sub> = área del refuerzo en tracción solamente.

f<sub>y</sub> = límite de fluencia del acero de refuerzo.

d = peralte efectivo.

a = altura del bloque de Whitney.

b = ancho del alma. Se tomará como 40 cm (para momento positivo, y 10 cm. para momento negativo).

El área de acero se calcula por iteraciones sucesivas con el momento último obtenido del análisis estructural.

b) Cuantía máxima ( p max. )

El reglamento Nac. de Construcciones para asegurar la fluencia del acero en tracción ( falla dúctil), limita la cuantía al 75 % de la cuantía balanceada.

$$p_{\max} = 0.75 p_b$$

c) Cuantía balanceada ( p<sub>b</sub> )

Como la falla en compresión es de naturaleza frágil, una buena práctica consiste en mantener la cantidad de refuerzo suficientemente pequeña de tal manera que cuando el elemento sea sobrecargado, la falla se inicie por la fluencia del refuerzo metálico. Esto se logra manteniendo la cuantía menor que un cierto límite que se denomina cuantía balanceada (p<sub>b</sub>) y que representa la cuantía necesaria para que el elemento en flexión falle simultáneamente por compresión del concreto y por fluencia del acero y su valor está dado por la fórmula siguiente:

$$p_b = 0.85 k_1 \frac{f'_c}{f_y} \times \frac{6100}{(6100 + f_y)}$$

$$\text{para: } f'_c = 210 \text{ kg/cm}^2, \quad k_1 = 0.85$$

$$\begin{aligned} \text{Luego } p_b &= 0.85 \times 0.85 \times \frac{210}{4200} \times \frac{(6100)}{(6100 + 4200)} \\ p_b &= 0.021 \end{aligned}$$

d) Cuantía de deflexiones (p<sub>f</sub>) :

El Reglamento especifica que para no comprobar flechas la cuantía debe ser menor que una cierta cuantía. Esta cuantía  $p_f$  está dada por la siguiente relación.

$$p_f = 0.18 f_c/f_y$$

d.- Cuantía mínima ( p. min.)

La cuantía mínima p. min a usarse está dada por la relación:

$$p. \text{ min} = 14/f_y$$

También se puede tomar como acero mínimo  $4/3$  del área de acero calculado.

3.42 CALCULO POR FUERZAS CORTANTES.-

- El esfuerzo cortante nominal en la retira, como medida de la tracción diagonal se calculará según especifica el R.N.C. en su sección 1701 (a) por la relación:

$$v_u = V_u/bd$$

Para el diseño, se considerará como la fuerza cortante máxima la situada a una distancia "d" de la cara del apeo.

- El esfuerzo cortante permisible en un alma sin reforzar no excederá el dada por:

$$v_c = \phi \times 0.5 \sqrt{f_c} \quad (\text{Ecuación 17-2 R.N.C.})$$

3.43 CALCULO DE LOS ESFUERZOS POR ADHERENCIA Y ANCLAJE.

El R.N.C. en su sección 1801 (a) nos dice que " En elementos sujetos a flexión, en los cuales el refuerzo de tracción es paralelo a la cara de compresión, el esfuerzo máximo de adherencia por flexión en cualquier sección transversal se calculará según la siguiente fórmula:

$$U_u = \frac{V_u}{\phi E_e j_d}$$

donde:  $j = 7/8$ ;  $\phi = 0.85$

$E_e$ = Suma de perímetros de todas las barras efectivas que cruzan la sección en el lado de tracción, si son del mismo tamaño. Para tamaños diversos, se utiliza  $4 A_s/D$  donde  $A_s$  es el área total de acero y  $D$  es el diámetro de la barra mayor

$U_u$  = resistencia máxima de adherencia.

$V_u$  = fuerza cortante total máxima

$d$  = peralte efectivo (útil)

El esfuerzo máximo de adherencia por flexión no excederá los sgts. límites:

- a) Para barras de capa superior (Existe 30 cm. o más de concreto, por debajo de las barras):

Si el recubrimiento  $r \geq 4$  cm.

$$\mu_u = \frac{4.5 \sqrt{f_c}}{D}, \text{ pero no mayor a } 39.0 \text{ kg/cm}^2$$

Si el recubrimiento  $r$  está comprendido entre:

$$2 \text{ cm.} \leq r \leq 4 \text{ cm.}$$

$$\mu_u = 1.77 \sqrt{\frac{f_c}{D}}$$

D= diámetro nominal de la barra (cm.)

b) Para otras barras:

Si el recubrimiento  $r > 4$  cm:

$$\mu_u = \frac{6.39 \sqrt{f_c}}{D} \leq 56.0 \text{ kg/cm}^2$$

Si el recubrimiento  $r$  está comprendido entre:

$$2 \text{ cm.} \leq r \leq 4 \text{ cm.}$$

$$\mu_u = 2.5 \sqrt{\frac{f_c}{D}}$$

c) Para todas las barras corrugadas en compresión:

$$\mu_u = 3.4 \sqrt{\frac{f_c}{D}} \leq 56.0 \text{ kg/cm}^2$$

d) Se proporcionará un anclaje adecuado al refuerzo de tracción en todos los elementos sujetos a flexión.

e) Si no se quiere comprobar la adherencia por flexión, el largo de desarollo deberá hacerse 25 % mayor que el calculado.

f) La longitud de desarollo  $L_d$  está dado por la siguiente relación:

$$L_d = \frac{A_s f_y}{\phi E_e M_u}$$

para no comprobar adherencia por flexión:

$$L_d = \frac{A_s f_y}{0.8 \phi E_e M_u}$$

### 3.44 ENSANCHE DE LAS VIGUETAS EN LOS EXTREMOS

Tenemos 2 casos:

a) Cuando  $M_u > M_{u \max}$ : (Ensanche por flexión)

Es decir cuando el momento resistente a la rotura actuante es mayor que el momento que le corresponde con cuantía máxima.

$M_{u \max} = \phi A_s f_y (d-a/2) \Rightarrow$  para la cuantía máxima p.m. será:

$M_{u \max} = \phi f_y (d-a/2) b d p.m. \max.$

La distancia hasta la cual se requiere el ensanche será x y estará dada por la siguiente relación:

$$x = \frac{L}{2} \left( 1 - \sqrt{1 - \frac{M_u - M_{u \max}}{M}} \right)$$

$$\text{donde } M = \frac{W L^2}{8}$$

b) Ensanche por corte.

El ensanche por corte debe de hacerse cuando el cortante a la distancia "d" de la cara del apeye Vd es mayor que el cortante máximo que puede tomar el concreto; luego:

$$\text{para } V_d > V_{uc}$$

$$\Rightarrow b_n = \frac{V_d}{V_{uc} d}$$

La longitud de ensanche estará dada por la relación:

$$x = \frac{V_d - V_{uc}}{W}$$

### 3.45 CORTADO DE VARILLAS

Tendremos 2 casos:

a) Cuando se utiliza el método de CROSS:

- Como las viguetas se comportan como vigas continuas primero se halla la envolvente general de Momentos flectores.
- A partir del punto de inflexión de momento negativo debe prolongarse por lo menos la tercera parte del área de acero una distancia mayor o igual que las siguientes dimensiones: "d",  $12\phi$ ,  $L_n/16$ , la que sea mayor.

A partir del punto de inflexión de momento positivo, debe de pasar hasta el apeye e introducirse 15 cm. en él por lo menos la cuarta parte del acero de refuerzo positivo.

Usaremos la siguiente nomenclatura:

d = peralte útil

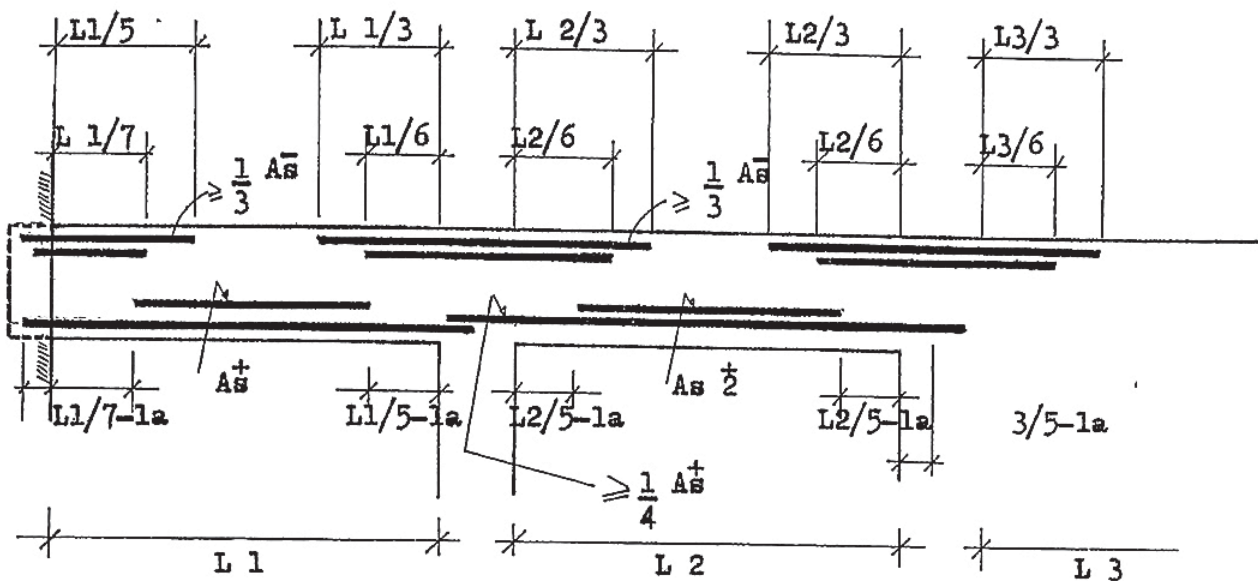
d PI = distancia de la cara del apeye al punto de inflexión y se obtiene del diagrama de Momentos flectores.

$\phi$  = diámetro de las varillas de acero de refuerzo.

$L_n$  = luz libre entre apoyos.

b) Cuando se usa el "Método de Coeficientes del A.C.I."

Cuando se aplica éste método el A.C.I. nos da un esquema de corte práctico de las varillas de refuerzo tal y como nos lo muestra el siguiente diagrama:



- NOMENCLATURA

La= largo de anclaje.

$$La \geq \begin{cases} 12 D \\ d \end{cases} \Rightarrow \text{El que sea mayor}$$

D= diámetro de la varilla.

d= peralte efectivo.

3.46 REFUERZO POR CONTRACCION Y TEMPERATURA

El R.N.C. en su sección 808 a) nos dice que: "En entrepisos y techos en que refuerzo principal se extienda en una dirección solamente, se preverá refuerzo perpendicular al principal para tomar los esfuerzos de contracción y temperatura".

Tal refuerzo en el caso de lesas donde se usan barras lisas se preverá en una cuantía  $p = 0.0025$

Además se especifica que por ningún motivo el espaciamiento de las barras de dicho refuerzo será mayor que 5 veces el espesor de la lesa  $t$  ni tampoco mayor de 45 cm. (el que sea menor).

3.47 DISEÑO DE LOS ALIGERADOS DE LA AZOTEA

Para entrar al diseño haremos el metrado de cargas para los aligerados:

a.- Cargas muertas (Wd)

peso propio -----  $350 \text{ kg/m}^2$

piso terminado -----  $\frac{100 \text{ kg/m}^2}{Wd = 450 \text{ kg/m}^2}$

b) Cargas vivas ( WL )

Sobrecarga ----- WL = 150 kg/m<sup>2</sup>

c) Carga última de rotura

$$W_u = 1.5 W_d + 1.8 WL$$

$$W_u = 1.5 (450) + 1.8 (150) = 675 + 270$$

$$W_u = 945 \text{ kg/m}^2$$

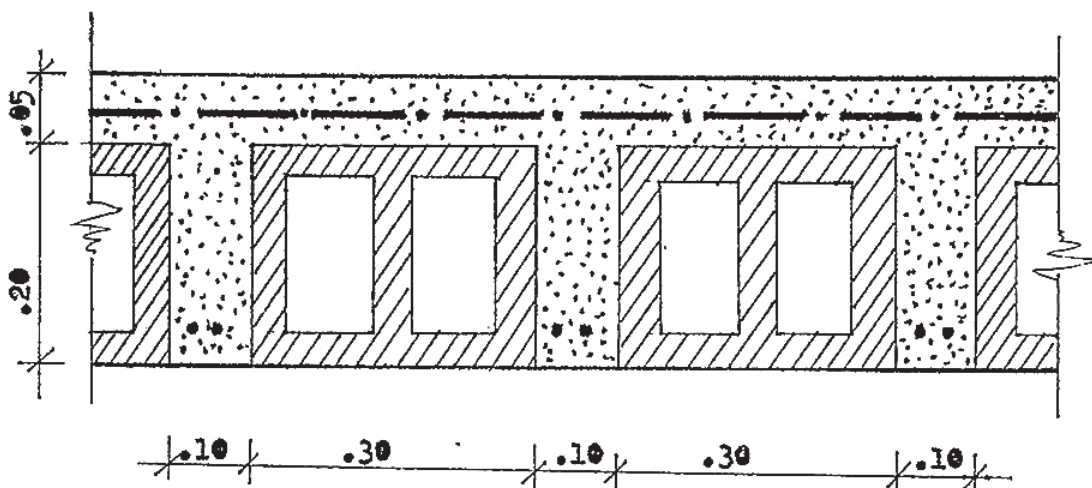
d) Carga repartida por vigueta ( w\_u )

Sabemos que en un metro entran 2.5 viguetas  
per lo tanto:

$$w_u = \frac{945}{2.5} = 378 \text{ kg/m. L.}$$

$$\text{Luego: } w_u = 378 \text{ kg/m. L.} = 0.378 \text{ t/m. L.}$$

e) Esquema típico de aligerado.



f) Cálculo del peralte útil ( d )

Se sabe que:  $d = h - \text{rec.}$

Considerando 2.5 cm. de recubrimiento, tendremos que:

$$d = 25 \text{ cm} = 0.25 \text{ m.}$$

$$d = 22.5 \text{ cm} = 0.225 \text{ m.}$$

3.47.10 CARACTERISTICAS MAXIMAS Y MINIMAS DE DISEÑO

3.47.11 MOMENTOS MAXIMOS

a) Cuantía máxima ( p máx )

Se sabe que  $p_{\max} = 0.75 \text{ pb.}$

$$pb = 0.85 k_1 \times \frac{f_c}{f_y} \left( \frac{6100}{6100+f_y} \right)$$

$$\text{Luego: } p_{\max} = 0.75 \text{ pb}$$

$$p_{\max} = 0.75 \left[ 0.85 \times 0.85 \times \frac{210}{4200} \left( \frac{6100}{6100 + 4200} \right) \right]$$
$$p_{\max} = 0.016$$

b.-) Momento máxime positivo para el cual la viga trabaja como sección rectangular de ancho  $b = 40$  cm.

$$y \quad t = 5 \text{ cm.}$$

$$\text{Sabemos que: } a = k_1 t = 0.85 \times 5 = 4.25 \text{ cm.}$$

El área de acero será:

$$As = \frac{0.85 f'_c \times k_1 t b}{f_y}$$

$$As = \frac{0.85 \times 210 \times 0.85 \times 5 \times 40}{4200}$$

$$As = 7.23 \text{ cm}^2$$

$$Mu = \phi [ As \cdot f_y ( d - a/2 ) ] = 0.9 [ 7.23 \times 4200 ( 22.5 - \frac{4.25}{2} ) ]$$

$$Mu = 556.8 \text{ T-cm} = 5.56 \text{ T-m.}$$

c.-) Momento máxime negativo, a partir del cual la viga necesita ensanche por momentos.

$$As = p_{\max} bd = 0.016 \times 10 \times 22.5 = 3.60 \text{ cm}^2$$

$$a = \frac{As f_y}{0.85 f'_c b}$$

$$a = \frac{3.60 \times 4200}{0.85 \times 210 \times 10} = 8.47 \text{ cm.}$$

$$Mu_{\max} = \phi As f_y 0.85 ( d - a/2 )$$

$$Mu_{\max} = 0.9 \times 8.47 \times 4200 \times 0.85 ( 22.5 - \frac{8.47}{2} ) = 248.5 \text{ T-cm.}$$

$$\text{Luego: } Mu_{\max} = 2.49 \text{ T-m.}$$

d.-) Cuantía per deflexiones (  $p_f$  )

$$p_f = 0.18 \times \frac{f'_c}{f_y}$$

$$p_f = 0.18 \times \frac{210}{4200} = 0.009$$

e.-) Momento máxime para no verificar flechas:

$$As = p_f b d = 0.009 \times 40 \times 22.5$$

$$As = 8.10 \text{ cm}^2$$

$$a = \frac{8.10 \times 4200}{0.85 \times 210 \times 40} = 4.76 \text{ cm.}$$

$$\text{Luego: } Mu_{\max f} = 0.9 \times 8.1 \times 4,200 ( 22.5 - \frac{4.76}{2} )$$

$$Mu_{\max f} = 6.16 \text{ T-m}$$

### 3.47.12 MOMENTOS MINIMOS

a.-) Quantia minima ( p min )

$$p_{\min} = \frac{14}{f_y} = \frac{14}{4200}$$

$$p_{\min} = 0.0033$$

b.-) Area de acero minima ( As. min )

$$As_{\min} = p_{\min} b d = 0.0033 \times 10 \times 22.5 = 0.74 \text{ cm}^2$$

$$As_{\min} = 0.74 \text{ cm}^2 \approx 0.71 \text{ cm}^2 = 1 \phi 3/8"$$

c.- Momento minimo positivo

Se calcula tomando b = 40 cm.

$$a = \frac{As_{\min} f_y}{0.85 f'_c b}$$

$$a = \frac{0.74 \times 4200}{0.85 \times 210 \times 40} = 0.435 \text{ cm.}$$

$$Mu_{\min} = \phi As_{\min} f_y (d - a/2)$$

$$Mu_{\min} = 0.9 \times 0.74 \times 4200 (22.5 - \underline{0.435})$$

2

$$Mu_{\min} = 60503 \text{ kg - cm} = 0.605 \text{ T - m}$$

### 3.47.13 FUERZA CORTANTE MAXIMA QUE TOMA EL CONCRETO

Se sabe que:

$$v_{uc} = 1.1 \times \phi \times 0.5 \sqrt{f'_c} = 1.1 \times 0.85 \times 0.5 \sqrt{210} = 6.77 \text{ kg/cm}^2$$

$$v_{uc} = v_{uc} b d$$

$$v_{uc} = 6.77 \text{ kg/cm}^2 \times 10 \times 22.5 = 1523 \text{ kg. (admissible)}$$

Si el certante actuante excede este valor admisible la vigueta requiere de ensanche.

### 3.47.14 CALCULOS POR ADHERENCIA Y ANCLAJE

a) Esfuerzo de adherencia:

Para nuestro caso tenemos que el recubrimiento es 2.5 cm. por lo tanto el esfuerzo maximo por adherencia sera:

$$\sigma_u = 2.5 \sqrt{f'_c}$$

$$\sigma_u = 2.5 \sqrt{210} = 36.22 \text{ kg/cm}^2$$

b) Largo de desarrelle

Para no comprobar adherencia por flexion incrementaremos el largo de desarrelle en el 25 % ; es decir:

$$L_d = \frac{As_{\min} f_y}{0.8 \phi E_c Mu}$$

Luego de acuerdo a los diametros generalmente usados en las lesas

aligeradas tendremos que:

Para el diámetro de  $\phi 3/gm.$

$$E_\phi = 3 \text{ cm.}$$

$$\phi = 0.85 \text{ ( constante )}$$

$$As = 0.71 \text{ cm}^2$$

$$Ld = \frac{0.71x \ 4200}{0.8x \ 0.85x \ 3x \ 36.22} = 40.3 \text{ cm.}$$

$$\phi \frac{1}{2^n} (E_0 = 4 \text{ cm.}) \longrightarrow I_d = \frac{1.29 \times 4200}{0.8 \times 0.85 \times 4 \times 36.22} = 54.99 \text{ cm.}$$

$$\phi \frac{5}{8}n \text{ (E}_0 = 5 \text{ cm. )} \longrightarrow Ld = \frac{2.00 \times 4200}{0.8 \times 0.85 \times 5 \times 36.22} = 68.2 \text{ cm.}$$

### 3.47.15 REFUERZO POR CONTRACCION Y TEMPERATURA

$$Ast = 0.0025 \quad bt = 0.0025 \quad (100) \quad (5)$$

$$A_{st} = 1.25 \text{ cm}^2$$

La separación " s " será:

Si usamos  $\phi = \frac{1}{4^n}$

$$s = \frac{0.32 \times 100}{1.25}$$

$s = 25.6 \text{ cm}$

$$\text{Sabemos que } S \leq \begin{cases} 5 t = 5x 5 = 25\text{cm.} \\ 45 \text{ cm.} \end{cases}$$

Luege usamis  $\phi$  1/ $\frac{4^n}{25m}$

### 3.47.16 RESUMEN DE MOMENTOS MAXIMOS Y MINIMOS ASI COMO LAS CORTANTES

## **PARA LOS ALTEGRADOS DE LA AZOTEA**

$$h = 25\text{cm}; \quad d = 22.5\text{cm}; \quad f_c^* = 210 \text{ kg/cm}^2; \quad f_y = 4200 \text{ kg/cm}^2$$

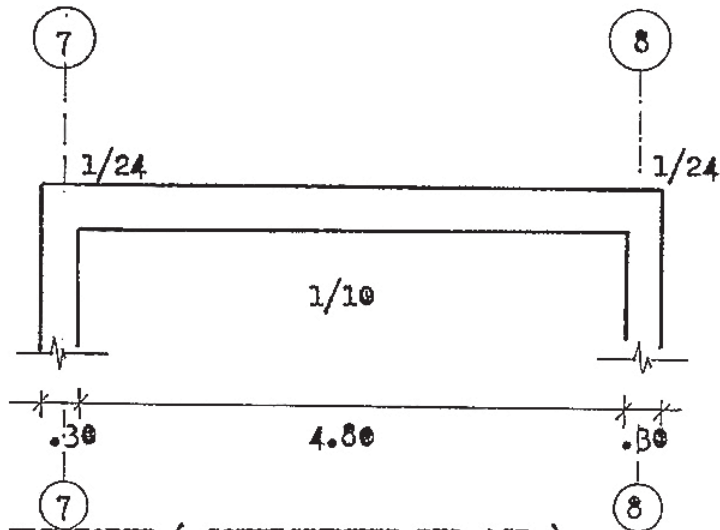
MAXIMOS (T.m)	MOM. MAXIMO POR FLECHA	MOMENTOS MINIMOS			CORTANTE MAX. QUE TOMA EL CONCRETO	ACERO					
T-m	T-m	T-m		Ten							
p max	M <sub>max</sub>	p f	p min	M <sub>min</sub>	M <sub>min</sub>	vuc kg/cm <sup>2</sup>	Vac (Ten.)	A <sub>s</sub> min (cm <sup>2</sup> )	A <sub>s</sub> t (cm <sup>2</sup> )		
0.016	5.56	2.49	0.009	.16	0.0033	0.62	0.605	6.77	1.523	0.71	1.50

3.47.20 CALCULO DE LOS MOMENTOS FLECTORES, FUERZAS CORTANTES

Y AREAS DE ACERO

Lo haremos para los distintos tipos de aligerados que conforman la azetaa y cuyos modelos expusimos a continuación

A.-) ALIGERADO AZ : (TIPO XIV)



a) MOMENTOS FLECTORES ( COEFICIENTES DEL ACT )

$$WL^2 = (0.378 \frac{t}{m}) (4.80)^2 = 8.709$$

- tramo : Momento positivo

$$M_{7-8}^+ = \frac{1}{16} WL^2 = \frac{1}{16} (8.709) = 0.87 t \text{-m.}$$

- apoyos : Momentos negativos

$$M_7^- = M_8^- = \frac{1}{24} WL^2 = \frac{1}{24} (8.709) = 0.36 \text{ T.m.}$$

Areas de acero

Para el cálculo del acero por momento negativo como 0.36 T-m

$M_{\min}^- = 0.605 \text{ t-m}$ , tomamos el área de acero que corresponde al momento mínimo

Luego use 1  $\phi$  3/8"

- tramo 7-8 :  $M_{7-8}^+ = 0.87 \text{ t-m.}$

$$Mu = \phi f_y (\frac{d-a}{2}) As \implies As = \frac{Mu}{\phi f_y (\frac{d-a}{2})}$$

$$a = \frac{As f_y}{0.85 f'_y b} ; \text{ el acero lo calculamos por tantos.}$$

Suponemos  $a = 0.60$ ; luego :

$$As = \frac{0.87 \times 10^5 \text{ kg-cm}}{0.9 \times 4200 (22.50 - 0.60)}$$

$$A_s = 1.03 \text{ cm}^2$$

$$a = \frac{1.03 \times 4200}{0.85 \times 210 \times 40} = 0.69 \Rightarrow \text{Lo que compruebe el valor de } a \text{ supuesto.}$$

Luego  $A_s = 1.03 \text{ cm}^2$ ; Use :  $1 \# 1/2"$  ( $1.29 \text{ cm}^2$ )

c) Comprobación por corte

$$V = V_{7-8} = 0.5 \times w_u L$$

$$V = 0.5 \times (0.378) (4.80) = 0.90 \text{ t}$$

El corte a la distancia "d" será

$$V_d = V_{7-8} - w_u d = 0.90 - 0.378 (.225) = 0.90 - 0.08$$

$V_d = 0.82 \text{ ton} < V_{us} = 1.52 \text{ ton}$ , luego la vigueta no necesita ex-  
sanche.

d) Corteado de varillas :

- Largo de anclaje :  $la \geq \begin{cases} 12 D \\ d \end{cases}$

$\phi$	D (cm.)	12 D (cm.)	d (cm.)	la (cm.)
$3/8"$	0.953	11.43	22.5	22.5
$1/2"$	1.270	15.24	22.5	22.5

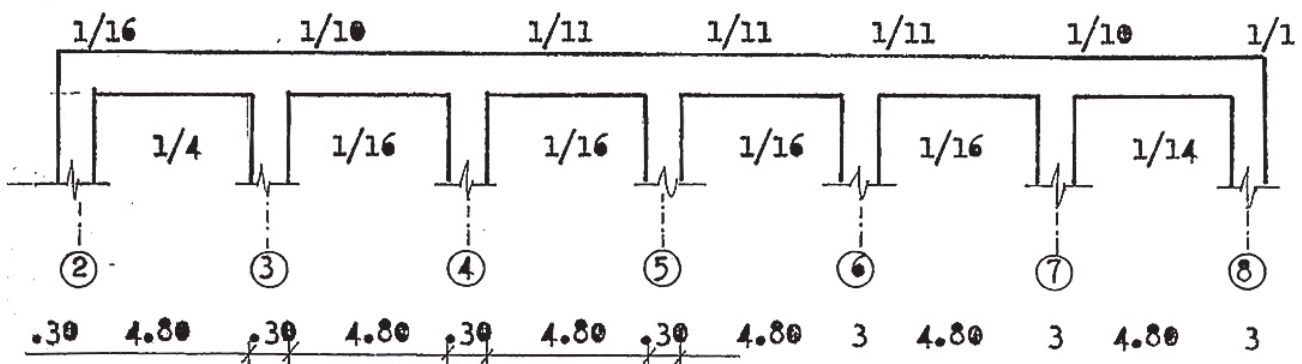
- Posición de los puntos de corteado :

En éste caso como para zeros positive solo existe  $1 \# 1/2"$  se prelonga a lo largo de todo el tramo y penetra 15 cm. en cada apoyo.

Para Momento negativo como solo hay  $1 \# 3/8"$  en cada apoyo los cortantes a  $\frac{L}{5} = \frac{4.80}{5} = 0.96 \text{ m.}$

Use : 0.95 m.

B.-) ALIGERADO AZ : (TIPO XI)



Como  $L = 4.80 = L_1 = L_2 = L_3 = L_4 = L_5$ ; usaremos el método de coeficientes del A.C.I.

a) Momentos flectores (Coeficientes del A.C.I.)

$$w_u L^2 = (0.378 t - m) (4.80 \text{ m})^2 = 8.709$$

- Apoyos : Momentos negativos.

$$M_2^- = M_8^- = 1/16 \quad w_u L^2 = 1/16 (8.709) = 0.54 t - m < M_{\min}^-$$

$$M_3^- = M_7^- = 1/10 \quad w_u L^2 = \frac{1}{10} (8.709) = 0.871 t - m > M_{\min}^-$$

$$M_6^- = M_4^- = M_5^- = 1/11 \quad w_u L^2 = \frac{1}{11} (8.709) = 0.792 t - m > M_{\min}^-$$

- tramos : Momentos positivos

$$M_{2-3}^+ = M_{7-8}^+ = 1/14 \quad w_u L^2 = \frac{1}{14} (8.709) = 0.622 t - m = M_{\min}^+$$

$$M_{6-7}^+ = M_{3-4}^+ = M_{4-5}^+ = M_{5-6}^+ = \frac{1}{16} \quad w_u L^2 = \frac{1}{16} (8.709) = 0.544 t - m < M_{\min}^+$$

b) Áreas de acero

Solo calcularemos las áreas de acero para momentos mayores al momento mínimo.

Luego para :  $M_4^- = M_5^- = 0.792 \text{ t-m}$  (apoyos).

tendremos :

$$A_s = \frac{M_u}{\phi f_y (d - z/2)} \quad ; \quad a = \frac{A_s f_y}{0.85 f'_e b}$$

Suponemos  $a = 2.30 \text{ cm.}$

$$A_s = \frac{0.79 \times 10^5 \text{ kg-cm.}}{0.9 \times 4200(22.5 - 2.30)} \cdot \frac{1}{2}$$

$$A_s = 0.98 \text{ cm}^2$$

$$a = \frac{0.98 \times 4200}{0.85 \times 210 \times 10} = 2.30 \Rightarrow ; \underline{\text{bien!}} \text{ (Es la comprobación del valor asumido de } a \text{)}$$

$$A_s = 0.98 \text{ cm}^2; \text{ Use } 1 \phi 1/2'' = 1.29 \text{ cm}^2.$$

En forma análoga para  $M_u^- = 0.871 \text{ t-n.}$

Suponemos :  $a = 2.55 \text{ cm.}$

$$A_s = \frac{0.871 \times 10^5}{0.9 \times 4200 \times (22.5 - 2.55)} \cdot \frac{1}{2}$$

$$A_s = 1.08 \text{ cm}^2$$

$$a = \frac{1.08 \times 4200}{0.85 \times 210 \times 10} = 2.55 ; \underline{\text{bien!}} \text{ (Comprobación del } a \text{ asumido)}$$

Luego :  $A_s = 1.08 \text{ cm}^2 \rightarrow \text{Use } 1 \phi 1/2'' = 1.29 \text{ cm}^2$

c.- Comprobación por corte.

Chequeamos para el mayor cortante :

$$V = V_{3-2} = V_{6-7} = 0.575 \text{ Wu L} =$$

$$V = 0.575 (0.378) (4.80) = 1.04 \text{ t-n}$$

Cortante crítico :  $a$  a la distancia "d" de la cara del apoyo :

$$V_d = V_w u d = 1.04 - (0.378) (0.225) = 0.95 \text{ ton.} < V_{ac} = 1.52 \text{ ton.}$$

Luego no se requiere ensanche de viguetas.

d.- Certado de varillas

Tendremos que :

Como para  $M_e^+$  positive tenemos  $A_s \text{ min}$  (Una sola varilla de  $\phi 3/8''$ )  
no necesitamos certar por  $M_e^-$  positive

Para Momentos negativos :

- En los apoyos extremos : 1  $\phi 3/8''$  certado a una distancia del

$$\text{Apoyo} = \frac{L}{5} = \frac{4.80}{5} = 0.96 \text{ m} \rightarrow \text{digamos } 0.95 \text{ m.}$$

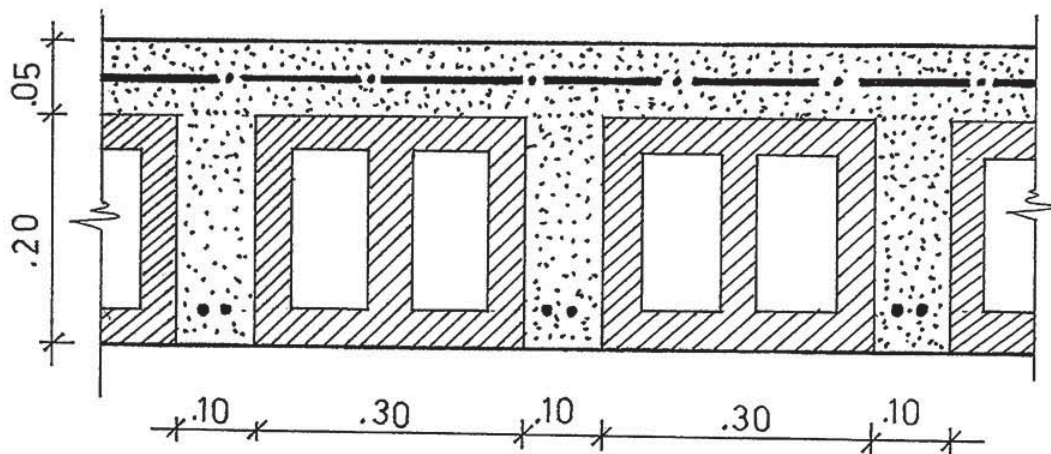
Para los otros apoyos tenemos 1  $\phi 1/2''$  se corta a una distancia del

$$\text{Apoyo} = \frac{L}{3} = \frac{4.80}{3} = 1.60 \text{ m.}$$

- Apoyo 3 = Apoyo 5  $\rightarrow$  refuerzo : 1  $\phi$   $3/8"$  cortado a  $\frac{L}{5} = \frac{4.80}{5} = 0.95\text{m}$ .

- Apoyo 4 =  $\rightarrow$  refuerzo : 1  $\phi$   $1/2"$  cortado a  $\frac{L}{3} = \frac{4.80}{3} = 1.60\text{m}$  del apoyo.

### 3.48 DISEÑO DE LOS ALIGERADOS DE PLANTA TIPICA



Haremos el metraje de cargas :

#### a.-) Cargas muertas ( $W_d$ )

peso propio	-----	$350 \text{ kg/m}^2$
piso terminado	-----	$100 \text{ kg/m}^2$
peso de tabiquería	-----	$100 \text{ kg/m}^2$
		$W_d = 550 \text{ kg/m}^2$

#### b.-) Cargas vivas ( $W_L$ )

$$\text{Sobrescarga} \quad ----- \quad W_L = 250 \text{ kg/m}^2$$

#### c.-) Garga última de retorno :

$$W_u = 1.5 W_d + 1.8 W_L$$

$$W_u = 1.5 (550) + 1.8 (250) = 1275 \text{ kg/m}^2$$

#### d.-) Carga repartida por vigueta ( $w_u$ )

En un metro lineal hay 2.5 viguetas

$$\text{Luego : } w_u = \frac{1275}{2.5} = 510 \text{ kg/m}$$

$$\Rightarrow w_u = 0.510 \text{ t/m.}$$

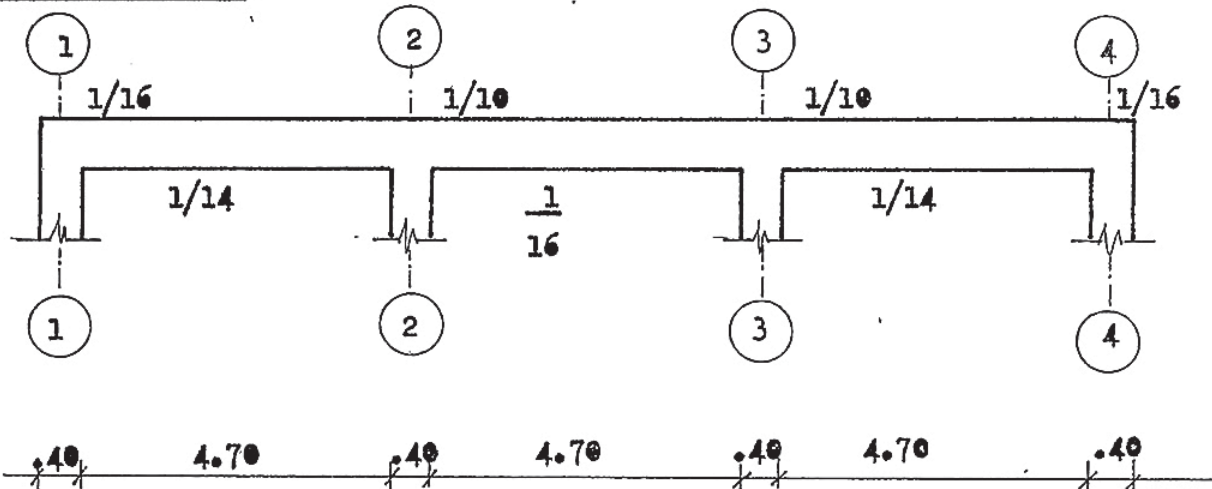
### 3.48.20 CARACTERISTICAS MAXIMAS Y MINIMAS DE DISEÑO

Por ser un aligerado de 25 cm. de espesor total, presenta las mismas características de los aligerados de la azotea.

### 3.48.30 CALCULO DE LOS ESFUERZOS Y ACERO DE REFUERZO

Lo haremos para los distintos tipos de aligerados:

#### A.-) ALIGERADO TIPO V<sub>1</sub>



Como  $L_1 = L_2 = L_3 = 4.70 \text{ m} = L$  usamos el método de Coeficientes del A.C.I.

#### Momentos flectores:

$$W_u L^2 = (0.510 \text{ t/m}) (4.70 \text{ m})^2 = 11.26 \text{ t-m}$$

Apoys: Momentos negativos

$$M_{1-} = M_{4-} = \frac{1}{16} (w_u L^2) = \frac{1}{16} (11.26) = 0.704 \text{ t-m.}$$

$$M_{2-} = M_{3-} = \frac{1}{10} (w_u L^2) = \frac{1}{10} (11.26) = 1.126 \text{ t-m.}$$

trames: Momentos positivos

$$M_{1-2+} = M_{3-4+} = \frac{1}{14} (w_u L^2) = \frac{1}{14} (11.26) = 0.804 \text{ t-m.}$$

$$M_{2-3+} = \frac{1}{16} (w_u L^2) = \frac{1}{16} (11.26) = 0.704 \text{ t-m.}$$

#### i) Areas de acero:

$$A_s = \frac{\bar{M}_u}{\rho f_y (d - a/2)} ; a = \frac{A_s f_y}{0.85 f'_c b}$$

Para  $\bar{M}_u = 0.704 \text{ t-m.}$

Suponemos  $a = 2.00 \text{ cm.}$

$$A_s = \frac{0.704 \times 10^5}{0.9 \times 4200 (22.5 - 2.0)} = 0.86 \text{ cm}^2$$

$$a = \frac{0.86x 4200}{0.85x 210x 10} = 2.02 ; \underline{\text{bien!}}$$

Luego  $A_s = 0.86 \text{ cm}^2 \longrightarrow \text{Use } 1 \phi 1/2^n (1.29 \text{ cm}^2)$

- Para  $M_u = 1.126 \text{ t-m.}$

Sea  $a = 33 \text{ cm.}$

$$A_s = \frac{1.126x 10^5}{0.9x 4200 (22.5 - \frac{330}{2})} = 1.43 \text{ cm}^2$$

$$a = \frac{1.43x 4200}{0.85x 210x 10} = 3.36 ; \underline{\text{bien!}}$$

Luego  $A_s = 1.43 \text{ cm}^2 \longrightarrow \text{Use } 2 \phi 3/8^n (1.42 \text{ cm}^2)$

- Para  $M_u^+ = 0.804 \text{ t-m.}$

suponemos  $a = 0.56 \text{ cm.}$

$$A_s = \frac{0.804x 10^5}{0.9x 4200 (22.5 - 0.56)} = 0.96 \text{ cm}^2$$

$$a = \frac{0.96x 4200}{0.85x 210x 40} = 0.56 \text{ cm.} ; \underline{\text{bien!}}$$

Use:  $1 \phi 1/2^n (1.29 \text{ cm}^2)$

- Para  $M_u^+ = 0.704 \text{ t-m.}$

Sea  $a = 0.50 \text{ cm.}$

$$A_s = \frac{0.704x 10^5}{0.9x 4200 (22.5 - 0.50)} = 0.83 \text{ cm}^2$$

$$a = \frac{0.83x 4200}{0.85x 210x 40} = 0.49 \text{ cm} ; \underline{\text{bien!}}$$

Use  $1 \phi 1/2^n (1.29 \text{ cm}^2)$

c) Comprobación por corte

El esfuerzo certante mas desfavorable será:

$$V_{2-1} = V_{3-4} = 0.575 \text{ wu Li} = V$$

$$V = 0.575 (0.51 \text{ t-m}) (4.70 \text{ m.}) = 1.38 \text{ t-m.}$$

El cortante crítico a la distancia "d" de la cara del apoyo será:

$$V_d = V - w_u d = 1.38 \text{ t-m} - (0.51) (.225) = 1.27 \text{ t-m}$$

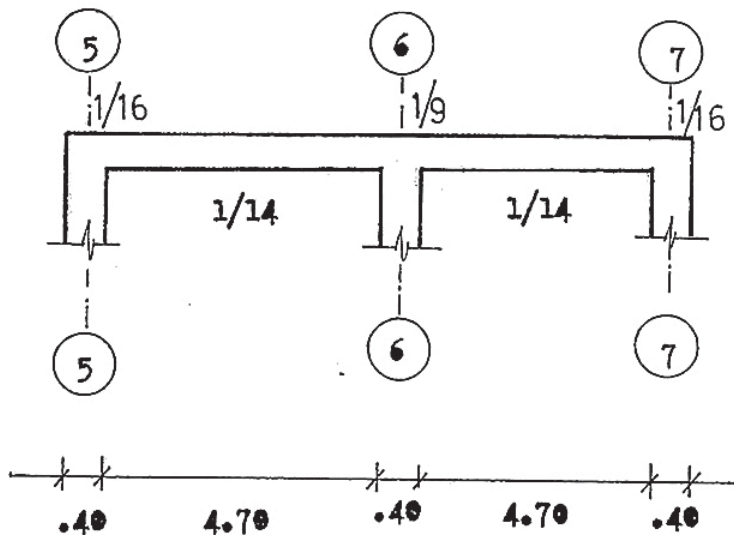
Luego como  $1.27 \text{ t} < V_{uc} = 1.52 \text{ t};$  no se necesita ensanche de viguetas.

d) Certado de varillas

EJE	La (cm.)	L (m.)	L/3 (m.)	L/5 (m.)	L/6 (m.)
1	22.5	4.70	—	0.94	—
2	22.5	4.70	1.57	—	0.78
3	22.5	4.70	1.57	—	0.78
4	22.5	4.70	—	0.94	—

( Ver esquema de aligerados ).

B.-) ALIGERADO TIPO VI



$$L_1 = L_2 = L = 4.70 \text{ m}, \text{ usamos el método de Coeficientes del A.C.I.}$$

a) Momentos flectores

Se calculan los momentos flectores en el apoyo 6, ya que los otros momentos ya se han calculado anteriormente en el aligerado tipo I (son similares).

$$\text{Luego: } M_6 = \frac{1}{9} w u L^2 = \frac{1}{9} (11.26) = 1.25 \text{ t-m.}$$

b) Areas de acero.

$$M_u = 1.25 \text{ t-m.}$$

$$\text{suponemos } a = 3.80 \text{ cm.}$$

$$A_s = \frac{1.25 \times 10^5}{0.9 \times 4200 (22.5 - 3.80)} \quad 2$$

$$A_s = 1.60 \text{ cm}^2$$

$a = 3.77 \text{ cm}$ ; bien!

Use 1  $\phi$   $3/8\text{in}$  + 1  $\phi$   $1/2\text{in}$  ( $2.0 \text{ cm}^2$ )

c) Comprobación por certeza:

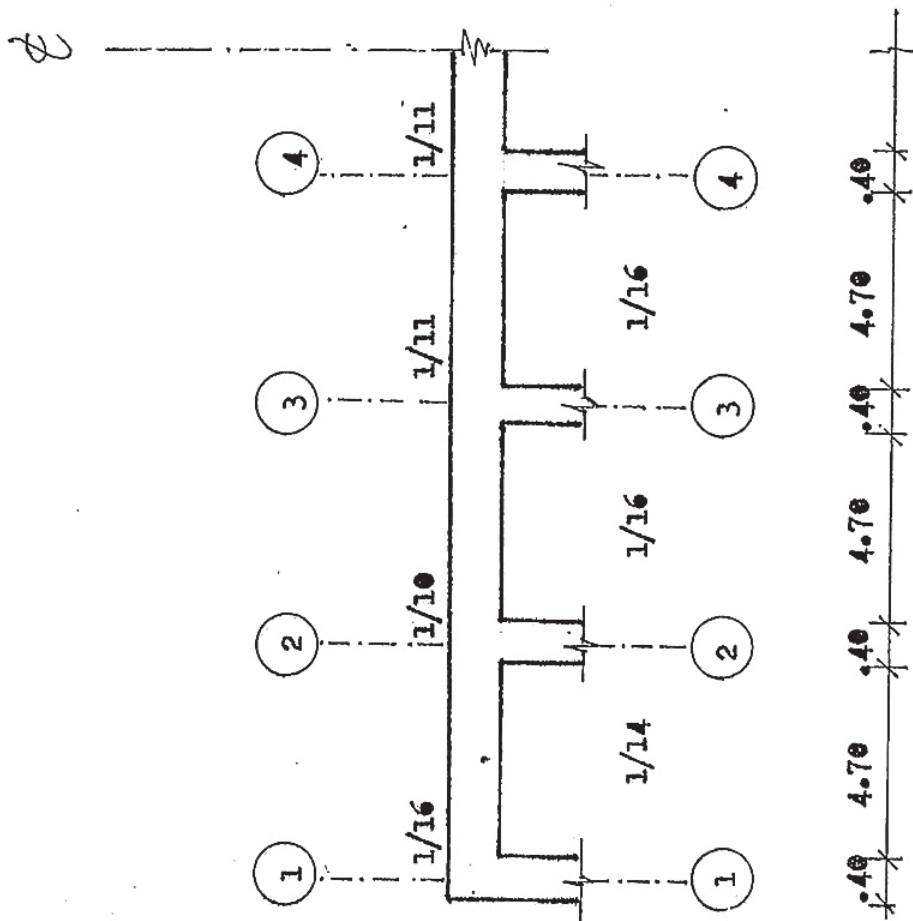
$$V_d = 1.27 t < V_{uc} = 1.52 t \quad (\text{No requiere ensanche de viguetas})$$

d) Cortado de varillas

EJE	$L_a$ (cm.)	$L$ (m.)	$L/3$ (m.)	$L/5$ (m.)	$L/6$ (m.)
5	22.5	4.70	—	0.94	—
6	22.5	4.70	1.57	—	0.78
7	22.5	4.70	—	0.94	—

( Ver esquema de aligerados.)

c.-) ALIGERADO N° II



Observando los coeficientes de los momentos flectores del aligerado tipo III, vemos que son similares a los del aligerado tipo V.  
Luego solo nos quedaría por calcular el Momento que tiene por coeficiente  $\frac{1}{11}$ . Entonces:

a) Momentos flectores:

$$M = M_2 = M_3 = M_4 = M_5 = M_6 = \frac{1}{11} (w u L^2) = \frac{1}{11} (11 \cdot 26) = 1.02 \text{ t-m}$$

b) Areas de acero:

$$M = 1.02 \text{ t-m}$$

$$\text{Sea } a = 3.0 \text{ cm}$$

$$A_s = \frac{1.02 \times 10^5}{0.9 \times 4200 \left( \frac{22.5 - 3.0}{2} \right)} = 1.28 \text{ cm}^2$$

$$a = \frac{1.28 \times 4200}{0.85 \times 210 \times 10} = 3.01 \text{ cm} ; \text{ bien!}$$

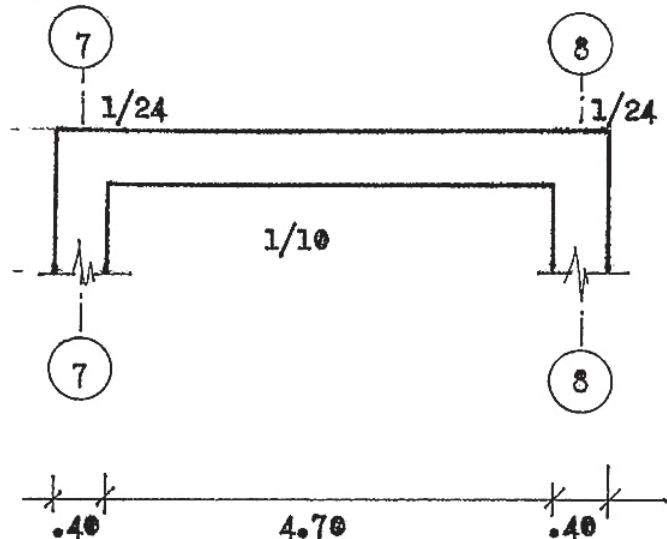
Use 1  $\phi$   $1/2$  (1.29  $\text{cm}^2$ )

c) Cortado de Varillas

EJE	L <sub>a</sub> (cm.)	L (m.)	L / 3 (m.)	L / 5 (m.)	L / 6 (m.)
1	22.5	4.70	—	0.94	—
2	22.5	4.70	1.57	—	0.78
3	22.5	4.70	1.57	—	—
4	22.5	4.70	1.57	—	—
5	22.5	4.70	1.57	—	—
6	22.5	4.70	1.57	—	—
7	22.5	4.70	1.57	—	0.78
8	22.5	4.70	—	0.94	—

( Ver esquema de aligerados. )

D.-> ALIGERADO N° IX



a) Momentos flectores (Coeficientes del A.C.I.)

- Apoyos: Momento negativo:

$$M_{\bar{7}} = M_{\bar{8}} = \frac{1}{24} (w u L^2) = \frac{1}{24} (11.26) = 0.47 \text{ t-m} < M \text{ min.}$$

- tramo: Momento positivo

$$M_{7-8} = \frac{1}{10} (w u L^2) = \frac{1}{10} (11.26) = 1.126 \text{ t-m}$$

b) Areas de acero:

- Para momento negativo tomamos el acero correspondiente al momento minimo: 1 φ 3/8"

- Para  $M_u = 1.126 \text{ t-m}$ :

$$\text{sea } a = 0.79$$

$$A_s = \frac{1.126 \times 10^5}{0.9 \times 4200 (22.5 - 0.79)} \frac{2}{2}$$

$$A_s = 1.35 \text{ cm}^2$$

$$a = 0.79 ; \underline{\text{bien!}}$$

$$\text{Use } 2 \phi 3/8" = 1.42 \text{ cm}^2$$

c) Cortado de Varillas

EJE	La (cm.)	L (m.)	L / 5	L / 5-La
1	22.5	4.70	0.94	0.72
2	22.5	4.70	0.94	0.72

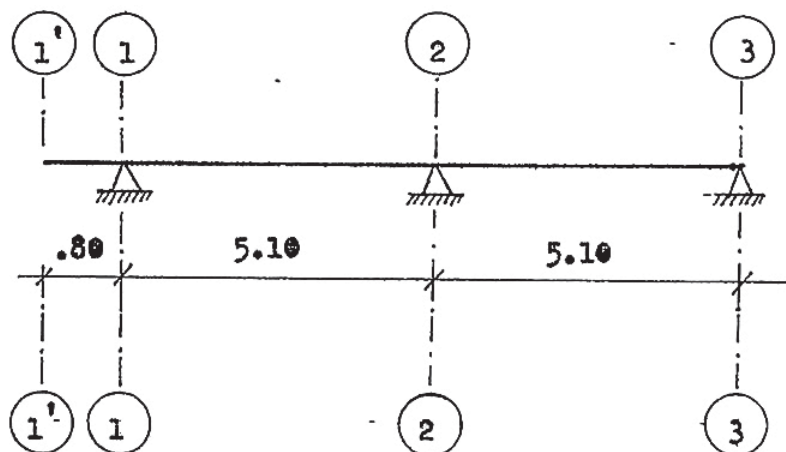
Los aligerados antes estudiados son los mas representativos tanto del 1º, 2º piso como de los pisos típicos los otros aligerados en lo único que varían solo es en el número de tramos ( Ver esquema de aligerados )

Nos quedaría solo por estudiar el aligerado tipo 5, en el cual no podemos aplicar el método de coeficientes del A.C.I.

E) ALIGERADO N° VIII

a.-) Cálculo de los esfuerzos

Para el cálculo de los esfuerzos aplicaremos el método de CROSS ya que por existir un valado no se puede aplicar el método de coeficientes del A.C.I.



Las rigideces relativas serán:

$$k_{21} = \frac{3}{4} \times \frac{1}{5.10} = 0.147 = k$$

$$k_{23} = \frac{3}{4} \times \frac{1}{5.10} = \frac{0.147}{\sum k} = 0.294$$

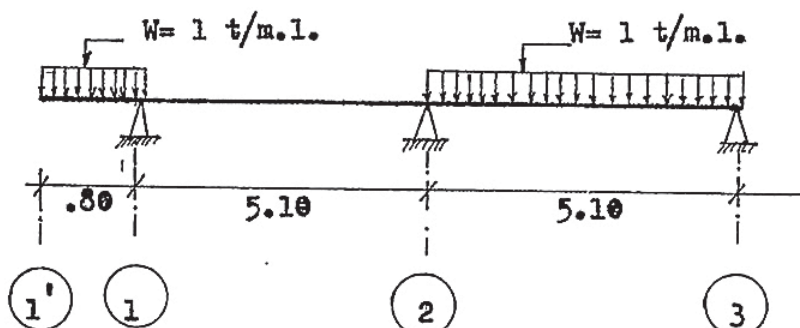
Los coeficientes de distribución " C " serán:

$$C_{1-2} = C_{3-2} = 1 \text{ (simplemente apoyados)}$$

$$C_{2-1} = C_{2-3} = \frac{k}{k} = \frac{0.147}{0.294} = 0.50$$

Efectuaremos el análisis para una carga unitaria ( $w = 1 \text{ t/m.L.}$ ) y a los resultados les afectaremos de los respectivos coeficientes debidos a la carga real.

### 1.- PRIMERA VARIACION DE CARGAS:



Como los apoyos no actúan como "simplemente apoyados" observarán ciertos momentos. generalmente se consideran que los apoyos cuando son vigas de berde observen un momento de

$$\frac{1}{24} W u L^2; \text{ luego: } M_A = \frac{1}{24} (1.0) (5.10)^2 = 1.08 \text{ t-m}$$

- Momentos de empotramiento perfecto:

$$M_{2-3} = -M_{3-2} = -\frac{1}{12} WL^2 = -\frac{1}{12} (1.0) (5.10)^2 = -2.17 \text{ t-m.}$$

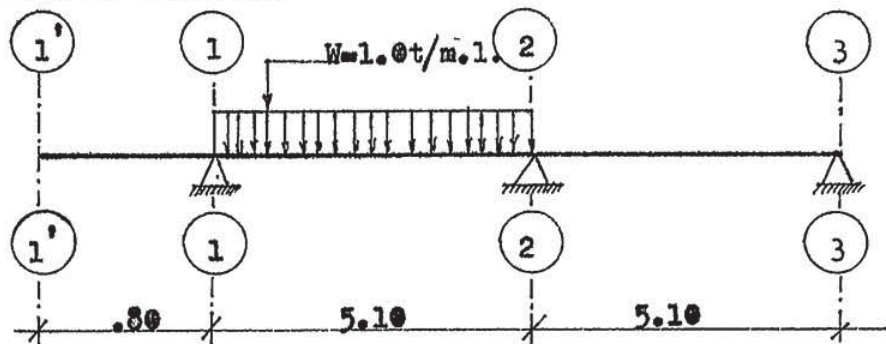
- Momento en el voladizo:

$$M_{1-1'} = \frac{1}{2} WL^2 = \frac{1}{2} (1.0) (0.80)^2 = 0.32 \text{ t-m}$$

- Distribución de momentos:

	1	0.50	0.50	1	
+0.32	- 0.00	+0.00	- 2.17	+ 2.17	- 1.08
	- 0.32	-0.16	- 0.55	- 1.09	
		+1.44	+ 1.44		
+0.32	- 0.32	+1.28	- 1.28	+ 1.08	- 1.08

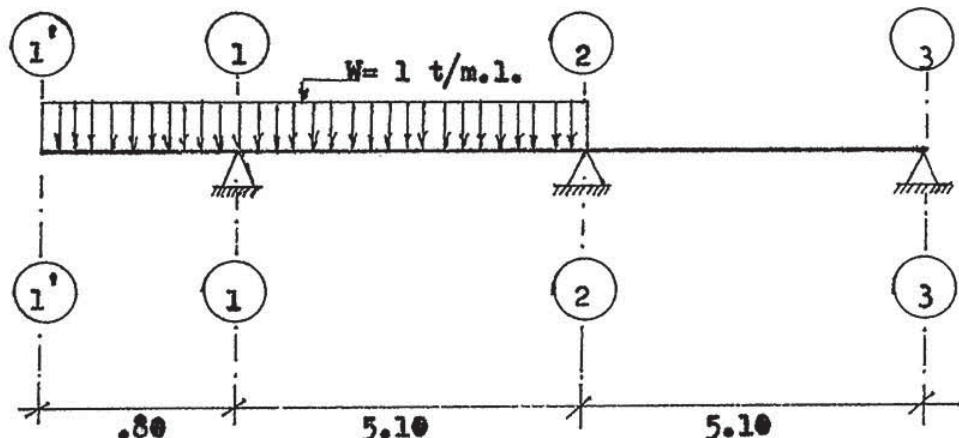
2) SEGUNDA VARIACION DE CARGAS



- Distribución de momentos:

1	0.50	0.50	1
+1.00	-2.17	+2.17	- 0.00
+1.00	+0.55		+0.00
	-1.36	-1.36	
+1.00	-1.36	+1.36	- 0.00

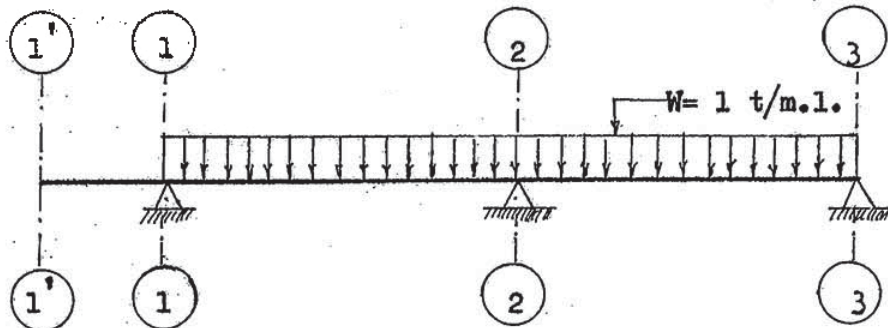
3) TERCERA VARIACION DE CARGAS



- Distribución de momentos:

1	0.50	0.50	1
+0.32	- 2.17	+ 2.17	0.00
+1.00	+ 0.77	+ 0.39	
	- 1.28	-1.28	
+1.40	- 1.40	+1.28	- 0.00

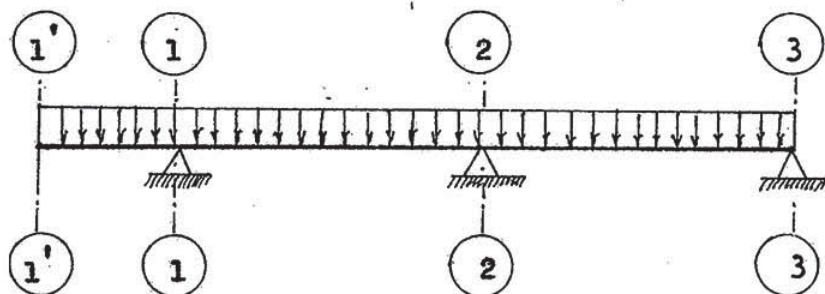
4) CUARTA VARIACION DE CARGAS



- Distribución de momentos:

1	0.50	0.50	1
+1.00	-2.17	+2.17	-2.17
+ 1.00	+0.55	-0.55	+2.17
	0.00	0.00	-1.00
+1.00	-1.00	+2.72	-2.72
			+1.00 -1.00

5) QUINTA VARIACION DE CARGAS ( CARGA PLENA UNITARIA )



Para obtener los momentos aplicamos el principio conocido de Resistencia de Materiales de " Superposición de efectos "

Luego para obtener los momentos, superponemos los casos 1 y 2 de variación de cargas, obteniendo los siguientes momentos:

1	0.50	0.50	1
+1.40	- 1.40	+ 2.64 - 2.64	+1.00 -1.00

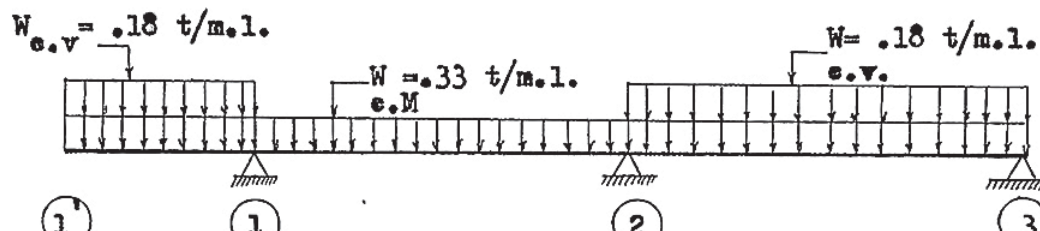
6.-) COMBINACIONES DE CARGA

Tendremos los siguientes casos, combinando las cargas reales:  
carga muerta mas carga viva.

CASO I

Tendremos que:  $w_{c.m.} = \frac{1.5 WD}{2.5} = \frac{1.5 \times 550}{2.5} = 0.33 \text{ t/m L.}$

$$w_{c.v.} = \frac{1.8 WL}{2.5} = \frac{1.8 \times 250}{2.5} = 0.18 \text{ t/m L.}$$



COEF C.M.	+1.40	-1.40	+2.64	-2.64	+1.08	-1.08
COEF c.v.	+0.32	-0.32	+1.28	-1.28	+1.08	-1.08
$M^o$ C.M. =	+0.46	-0.46	+0.87	-0.87	+0.36	-0.36
$M^o$ c.v. =	+0.05	-0.05	+0.23	-0.23	+0.19	-0.19
MOMENTOS						
FINALES	+0.51	-0.51	+1.10	-1.10	+0.55	-0.55

En el cuadro anterior los momentos por carga muerta y viva se obtienen las siguientes relaciones:

$$M^o_{c.m.} = (\text{COEF. C.M.}) (w_{c.m.})$$

$$M^o_{c.v.} = (\text{COEF. C.V.}) (w_{c.v.})$$

El momento final en cada apoyo será igual a la suma del momento por carga muerta y carga viva.

Cálculo de los cortantes

$$V_{1\ 2} = \frac{33x 5.10}{2} - \left( \frac{-0.51 + 1.10}{5.10} \right) = 0.84 - 0.12 = 0.72 \text{ ton.}$$

$$V_{2\ 1} = -\frac{33x 5.10}{2} - \left( \frac{-0.51 + 1.10}{5.10} \right) = -0.84 - 0.12 = -0.96 \text{ ton.}$$

$$V_{2\ 3} = \frac{(0.51x 5.10)}{2} - \left( \frac{-1.10 + 0.55}{5.10} \right) = 1.30 - (-0.10) = 1.40 \text{ ton.}$$

$$V_{3\ 2} = \frac{(0.51x 5.10)}{2} - \left( \frac{-1.10 + 0.55}{5.10} \right) = -1.30 + 0.10 = -1.20 \text{ ton.}$$

CASO II

COEF C.M.	+1.40	- 1.40	+2.64	- 2.64	+1.08	-1.08
COEF e.v.	+1.08	- 1.08	+1.36	- 1.36	+0.00	0.00
Mº C.M.	= +0.46	- 0.46	+0.87	- 0.87	+0.35	-0.35
Mº e.v.	= +0.19	- 0.19	+0.24	- 0.24	0.00	0.00
	+0.65	- 0.65	+1.11	- 1.11	+0.35	-0.35

Cálculo de los Certantes

$$V_{12} = \frac{0.51 \times 5.10}{2} - \frac{(-0.65 + 1.11)}{5.10} = +1.30 - 0.09 = +1.21 \text{ ton.}$$

$$V_{21} = \frac{-0.51 \times 5.10}{2} - \frac{(-0.65 + 1.11)}{5.10} = -1.30 - 0.09 = -1.39 \text{ ton.}$$

$$V_{23} = \frac{0.33 \times 5.10}{2} - \frac{(-1.11 + 0.35)}{5.10} = 0.84 + 0.14 = +0.98 \text{ ton.}$$

$$V_{32} = \frac{-0.33 \times 5.10}{2} - \frac{(-1.11 + 0.35)}{5.10} = -0.84 + 0.14 = -0.70 \text{ ton.}$$

CASO III

COEF. C.M.	+1.40	- 1.40	+2.64	- 2.64	+1.08	-1.08
COEF. C.v.	+1.40	- 1.40	+1.28	- 1.28	0.00	0.00
Mº C.M.	= +0.46	- 0.46	+0.87	- 0.87	+0.35	-0.35
Mº e.v.	= +0.25	- 0.25	+0.23	- 0.23	0.00	0.00
MOMENTOS FINALES :	+0.71	- 0.71	+1.10	- 1.10	+0.35	-0.35

Cálculo de los certantes:

$$V_{1-2} = \frac{.51x 5.10}{2} - \left( -\frac{0.71 + 1.10}{5.10} \right) = +1.30 - 0.08 = +1.22$$

$$V_{2-1} = \frac{.51x 5.10}{2} - \left( -\frac{0.71 + 1.10}{5.10} \right) = -1.30 - 0.08 = -1.38$$

$$V_{2-3} = \frac{.33x 5.10}{2} - \left( -\frac{1.10 + 0.35}{5.10} \right) = +0.84 - 0.14 = +0.98$$

$$V_{3-2} = \frac{.33x 5.10}{2} - \left( -\frac{1.10 + 0.35}{5.10} \right) = -0.84 + 0.14 = -0.70$$

CASO IV

						$W_{e.v.} = .18 \text{ t/m.l.}$
						$W_{C.M.} = .33 \text{ t/m.l.}$
1	1	2	3			
COEF. C.M.	+1.40	-1.40	+2.64	-2.64	+1.08	-1.08
COEF. e.v.	+1.08	-1.08	+2.72	-2.72	+1.08	-1.08
$M^o_{C.M.}$	+0.46	-0.46	+0.87	-0.87	+0.36	-0.36
$M^o_{e.v.}$	+0.19	-0.19	+0.49	-0.49	+0.19	-0.19
<hr/>						
MOMENTOS FINALES :	+0.65	-0.65	+1.36	-1.36	+0.55	-0.55

Cálculo de los Certantes:

$$V_{1-2} = \frac{1}{2} (.51x 5.10) - \left( -\frac{0.65 + 1.36}{5.10} \right) = +1.30 - 0.14 = +1.16$$

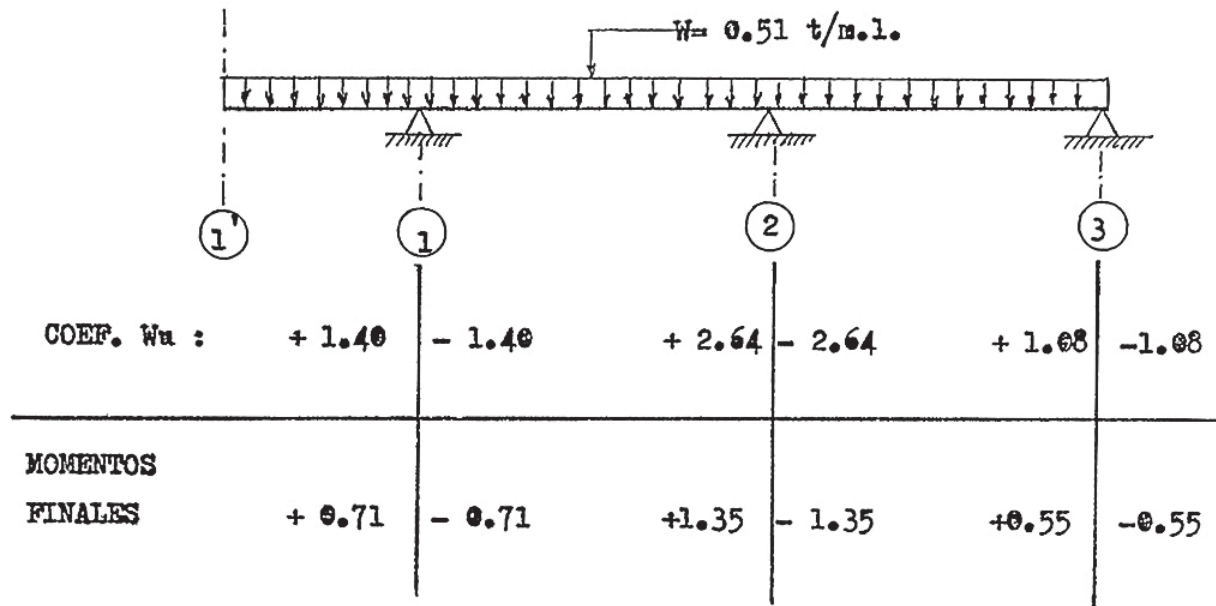
$$V_{2-1} = -\frac{1}{2} (.51x 5.10) - \left( -\frac{0.65 + 1.36}{5.10} \right) = -1.30 - 0.14 = -1.44$$

$$V_{2-3} = \frac{1}{2} (.51x 5.10) - \left( -\frac{1.36 + 0.55}{5.10} \right) = +1.30 - (-0.16) = +1.46$$

$$V_{3-2} = -\frac{1}{2} (.51x 5.10) - \left( -\frac{1.36 + 0.55}{5.10} \right) = -1.30 - (-0.16) = -1.14$$

CASO V

En éste caso consideramos carga muerta plena más carga viva plena.



Cálculo de los Coeficientes

$$V_{1-2} = \frac{1}{2} (.51 \times 5.10) - \frac{(-0.71 + 1.35)}{5.10} = + 1.30 - 0.13 = + 1.17$$

$$V_{2-1} = - \frac{1}{2} (.51 \times 5.10) - \frac{(-0.71 + 1.35)}{5.10} = - 1.30 - 0.13 = - 1.43$$

$$V_{2-3} = + 1.30 - \frac{(-1.35 + 0.55)}{5.10} = + 1.30 + 0.16 = + 1.46$$

$$V_{3-2} = - 1.30 + 0.16 = - 1.14$$

b- Momentos esestáticos

Los momentos esestáticos se calculan en el centro de cada tramo con la relación:

$$M_{ISOS} = \frac{1}{8} W L^2$$

- Por carga muerta plena tendremos que:

$$M = \frac{1}{8} W L^2 = \frac{1}{8} (.33) (5.10)^2 = 1.07 \text{ t-m.}$$

- Por carga muerta plena más carga viva tendremos que:

+ - + - / - + - + - + -

Cálculo de las áreas de acero :

Apeye 1 :  $M_u = 0.44 \text{ t-m} \longrightarrow \text{Use } A_{\text{min}}$

Apeye 3 :  $M_u = 0.55 \text{ t-m} \longrightarrow \text{Use } A_{\text{min}} = 1 \frac{1}{8} 3/8"$

Apeye 2 :  $M_u = 1.0 \text{ t-m}$ .

$$\text{Sea } a = 0.80 \longrightarrow \left( d - \frac{a}{2} \right) = \left( 22.5 - \frac{0.80}{2} \right) = 22.10$$

$$A_s = \frac{M_u}{f_y \left( d - \frac{a}{2} \right)} = \frac{1.0 \times 10^5}{0.9 \times 4200(22.10)} = 1.20 \text{ cm}^2$$

$$a = \frac{A_s f_y}{0.85 f'_e b} = \frac{1.20 \times 4200}{0.85 \times 210 \times 10} = 2.82 \text{ cm.}$$

$$A_s = 1.25 \text{ cm}^2; a = 2.95 \Rightarrow A_s = 1.17; a = 2.76; A_s = 1.25 \text{ cm}^2 \\ a = 2.95 ; \underline{\text{bien!}}$$

Luego :  $A_s = 1.25 \text{ cm}^2 \longrightarrow \text{Use } 1 \frac{1}{8} 1/2"$

tramo 1-2 :

$M_u = 0.67 \text{ t-m.}$

$$\text{Sea } a = 1.0 \quad A_s = \frac{0.67 \times 10^5}{0.9 \times 4200(22)} = 0.80$$

$$a = \frac{0.80 \times 4200}{0.85 \times 210 \times 40} = 0.47 \longrightarrow A_s = 0.79 \quad ; \quad a = 0.47 ! \text{ bien}$$

Luego :  $A_s = 0.79 \text{ cm}^2 \longrightarrow \text{Use } 1 \frac{1}{8} 1/2"$

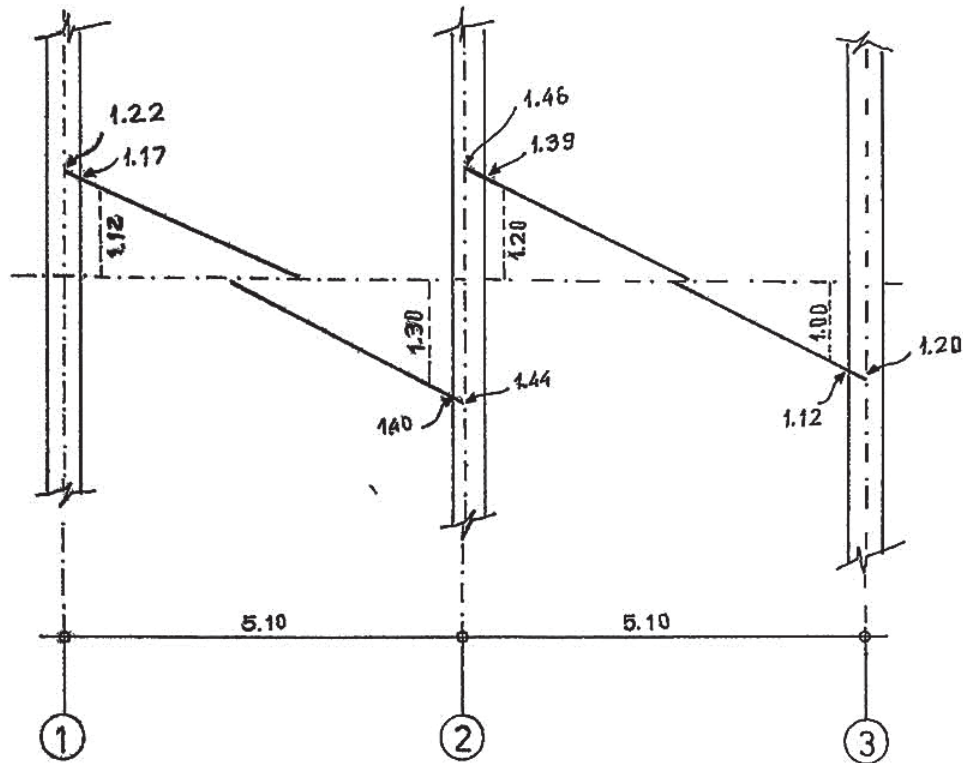
En forma similar para el tramo 2-3 use  $1 \frac{1}{8} 1/2"$

NOTA.- Comparando la armadura del apeye 1 ( armadura negativa ) en los aligerados tipo II y VIII, vemos que en el aligerado tipo VIII por el método de CROSS se obtiene  $1 \frac{1}{8} 3/8"$ . Con el "método de coefficientes" en el aligerado tipo II, hemos obtenido  $1 \frac{1}{8} 1/2"$ . Por lo tanto conservaderamente seleccionamos  $1 \frac{1}{8} 1/2"$  en el apeye 1 para el aligerado tipo VIII ( en vez de  $1 \frac{1}{8} 3/8"$  ).

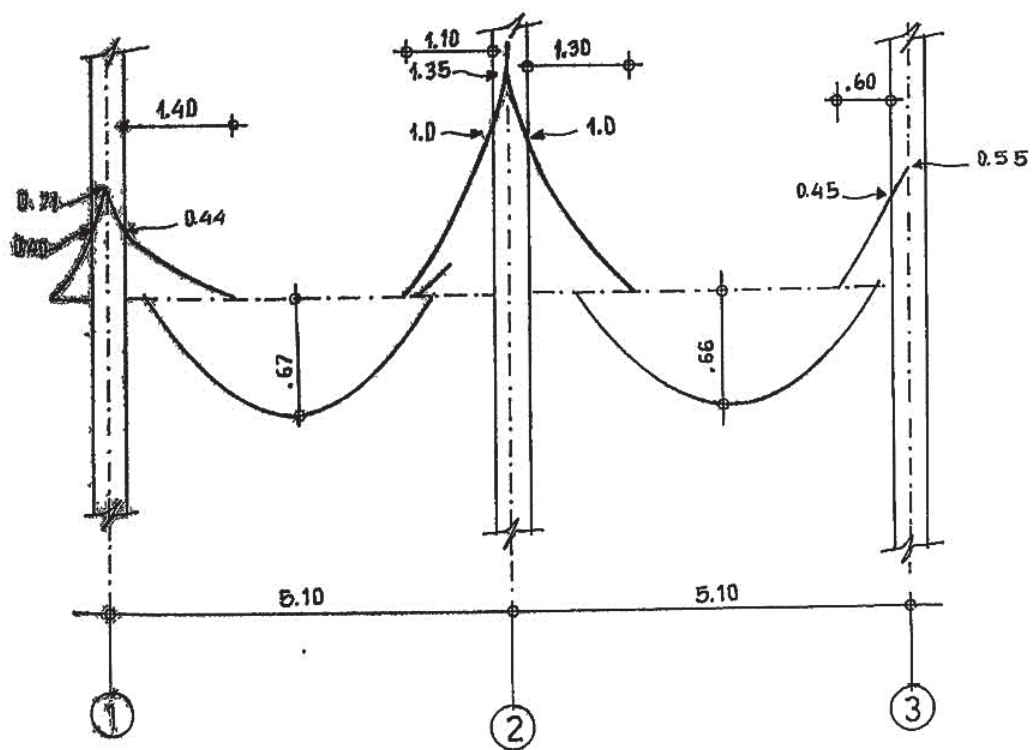
En forma análoga aplicando el mismo criterio uniformizamos la armadura en el apeye 1 para los aligerados tipo I y tipo II ( Ver cuadro de aligerados ).

RESUMEN.- Hemos diseñado los aligerados tipos más representativos en detalle; los otros tipos de aligerados son similares ( Ver planos de aligerados : E 3 y E 4 )

### ENVOLVENTE TOTAL DE FUERZAS CORTANTES

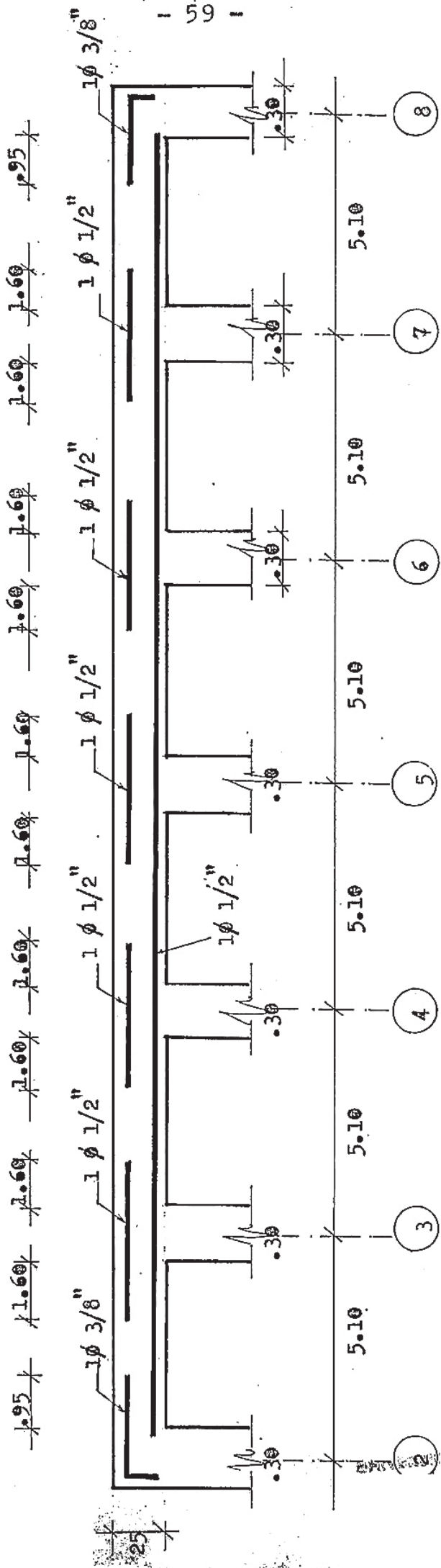


### ENVOLVENTE DE MOMENTOS ELECTORES



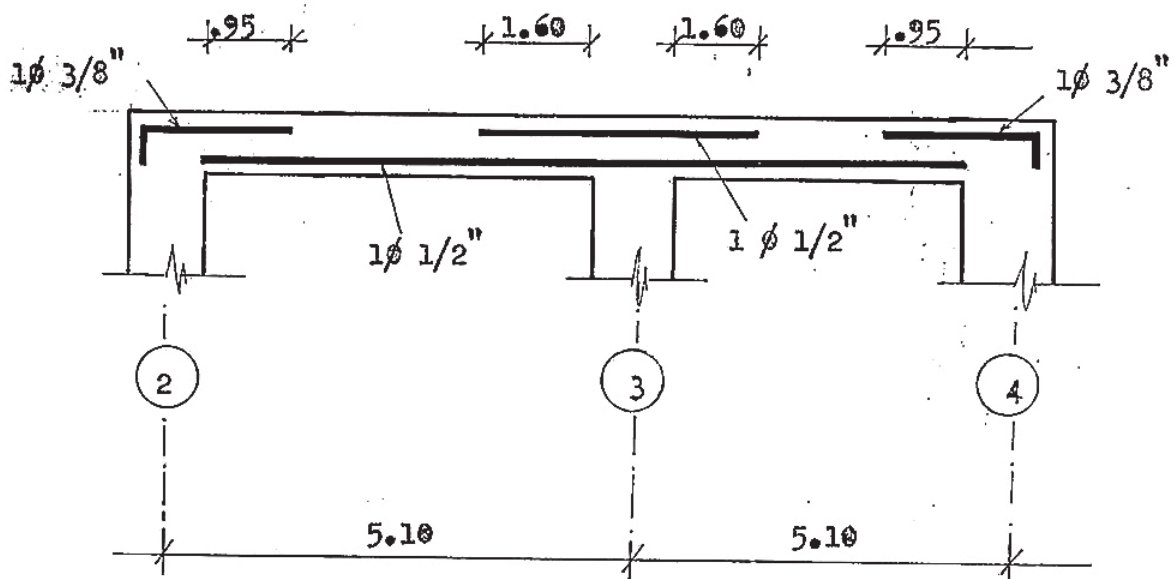
ATIGERADOS DE AZOTEA

TIPO : XI

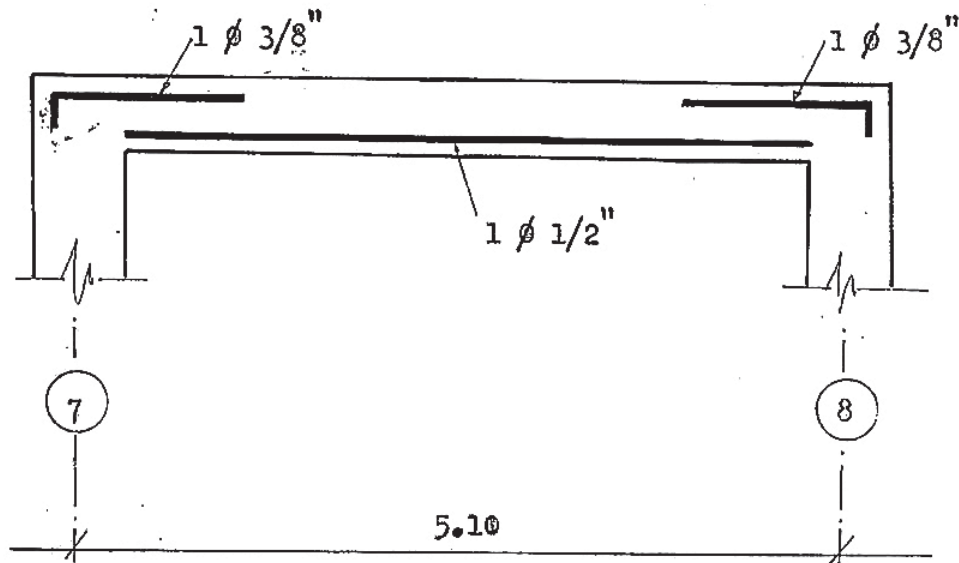


ALIGERADOS DE AZOTEA

TIPO XII

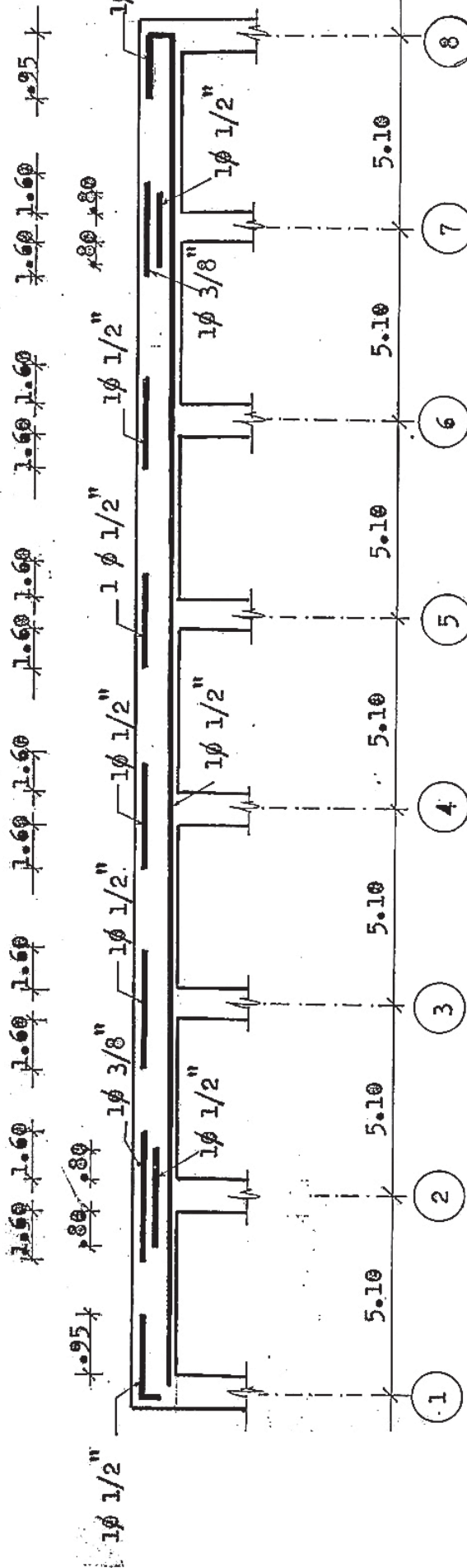


TIPO XIV

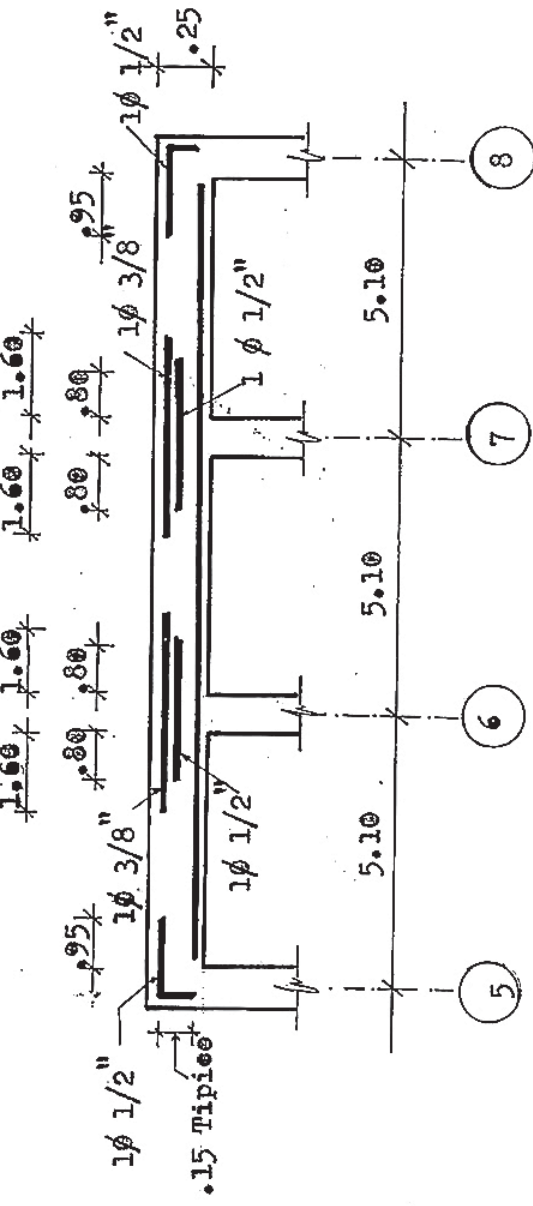


ALIGERADOS VALIDOS DEL 1º AL 6º PISO :

TIPO III

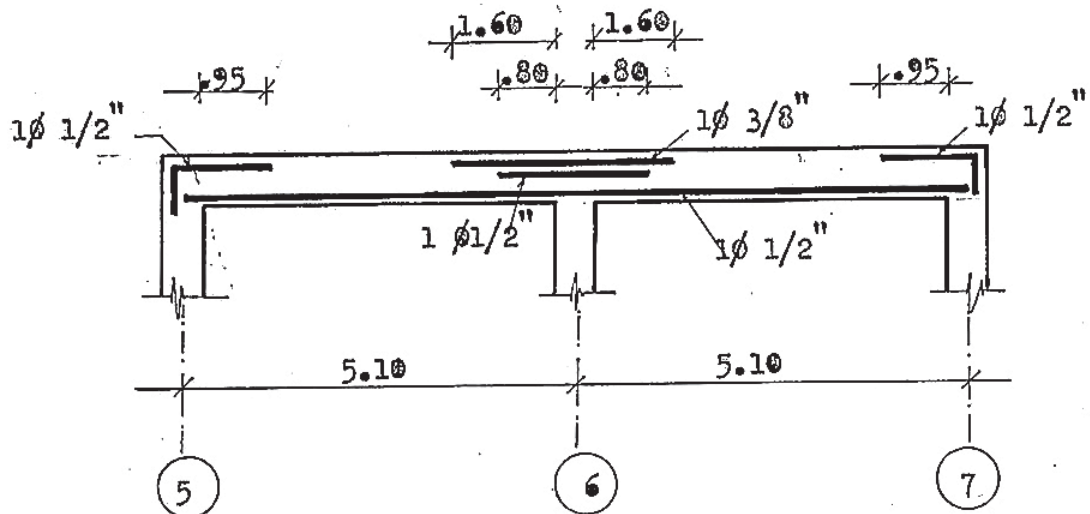


TIPO V

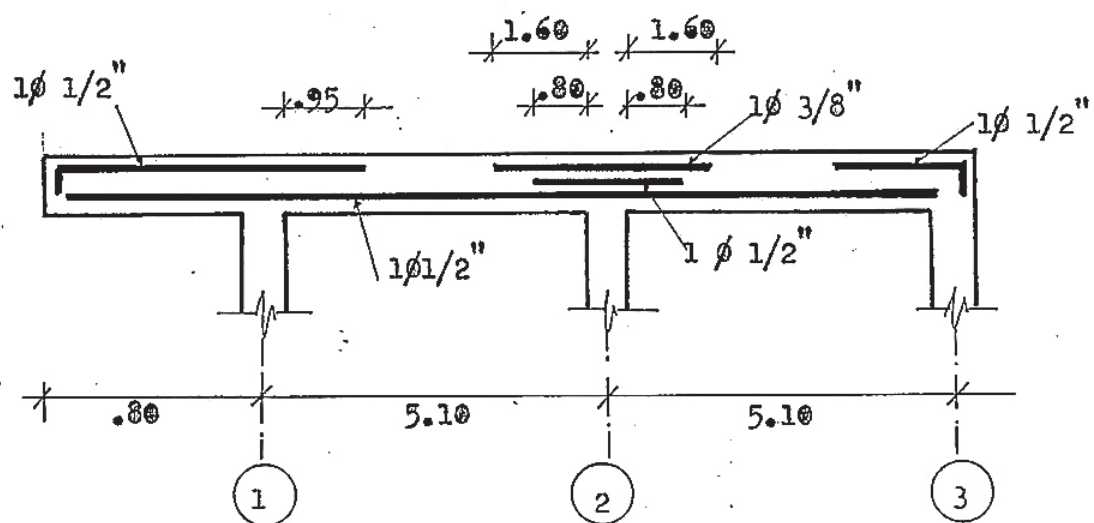


ALIGERADOS VALIDOS DEL 1º AL 6º PISO

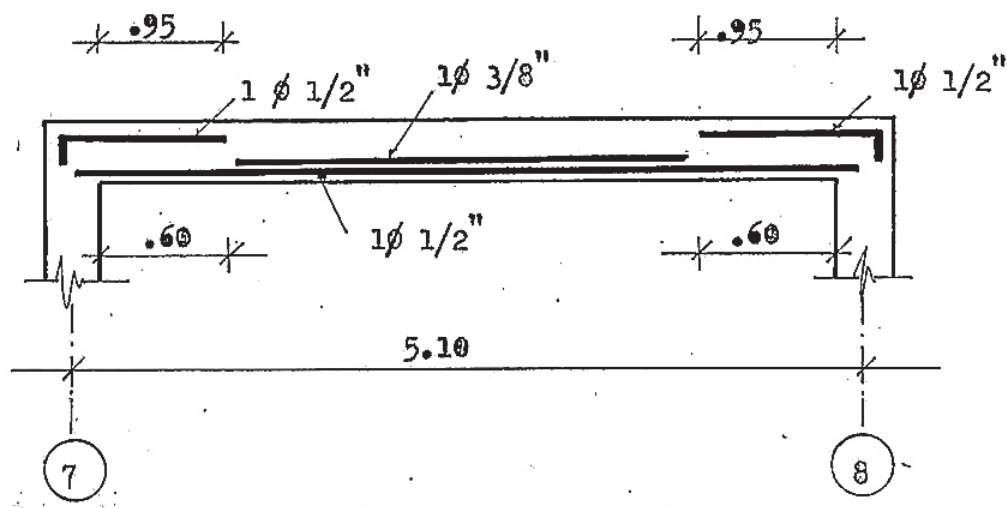
TIPO VI



TIPO VIII



TIPO IX



CAPITULO IV : ANALISIS SISMICO

## CAPITULO IV

### 4.00 ANALISIS SISMICO

#### 4.10 GENERALIDADES

El análisis sísmico de nuestra estructura en estudio se efectuará de acuerdo a la "Propuesta de Normas Básicas de Diseño Sismo-Resistente" publicada por el Comité de Ing. Antisísmica de la Universidad Nacional de Ingeniería (UNI-PERU- 1977); el cual al presente año con ligeras modificaciones ha sido incorporado en el Reglamento Nacional de Construcciones, complementándose. Por lo tanto para nuestro estudio nos basamos en el documento oficial publicado por el Ministerio de Vivienda y Construcción.

#### 4.11 CRITERIOS DE DISEÑO SISMORRESISTENTE

Nuestro objetivo de considerar el diseño sismorresistente es proyectar estructuras que se comporten frente a un sismo de tal manera que:

- Resistan sismos leves sin daño alguno
- Resistan sismos moderados considerando probables daños estructurales leves.
- Resistan sismos severos con probables daños importantes en la estructura, pero con una probabilidad remota del colapso de la edificación

#### 4.12 CONSIDERACIONES PARA EL DISEÑO SISMICO

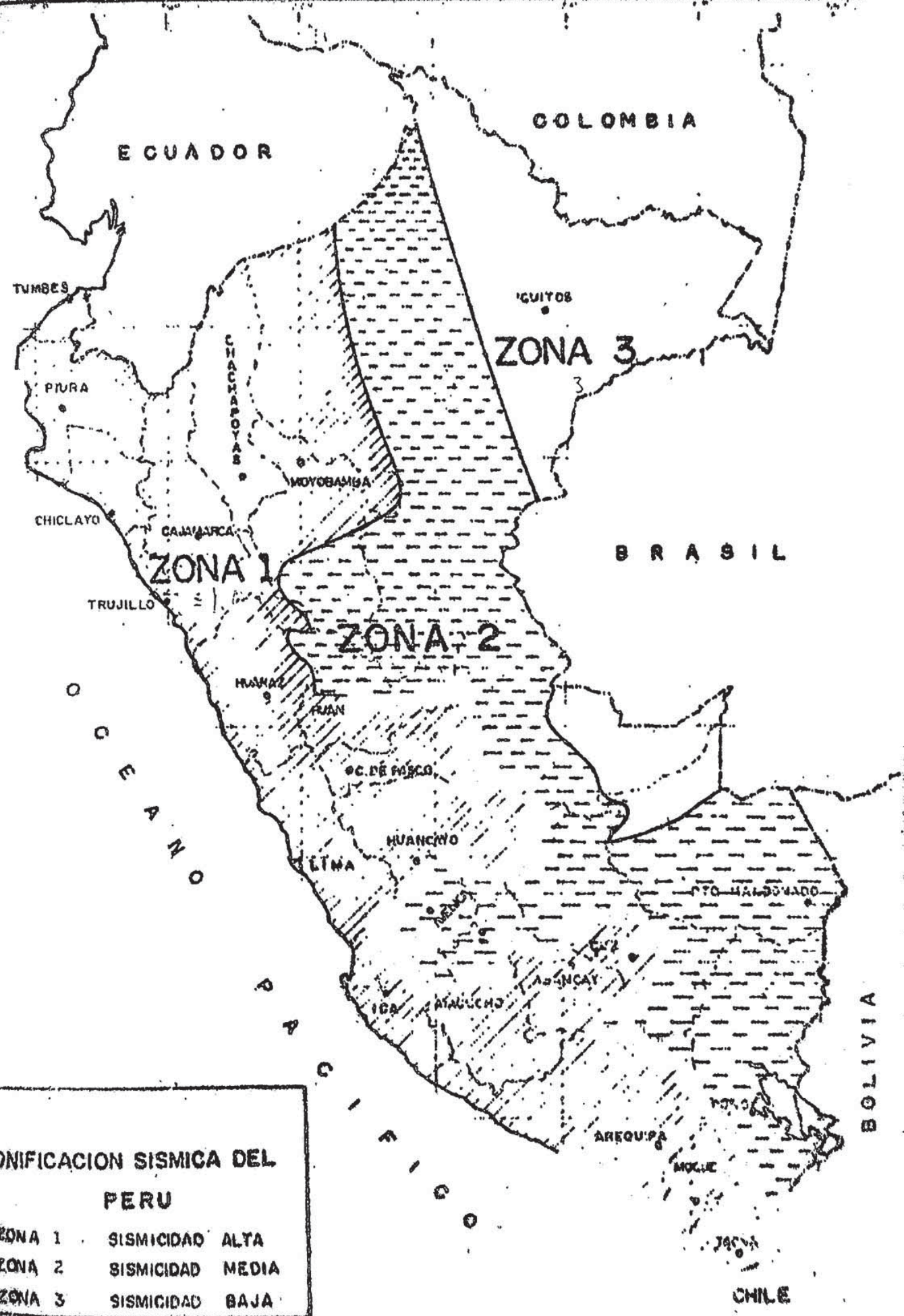
- Toda edificación y cada una de sus partes serán diseñadas y construidas para resistir las solicitudes sísmicas.
- Se considerará que las fuerzas horizontales del sismo, actúan según las dos direcciones principales de la estructura o en las direcciones que resulten más desfavorables.

#### 4.13 ZONIFICACION SISMICA

- El territorio Peruano se considera dividido en tres zonas de acuerdo a la sismicidad observada y la potencialidad sísmica de dichas zonas. Estas zonas se indican en el mapa N° 1.

#### 4.14 CLASIFICACION DE LOS SUELOS

Los suelos se han clasificado en tres grupos por el tipo de suelos de cimentación y por el período predominante Ts de la estratigrafía, tal como nos muestra el siguiente cuadro.



CLASIFICACION	TIPO DE SUELO DE CIMENTACION	PERIODO (SEGUNDOS)
TIPO I	Reca, grava densa, grava arenosa densa.	$T_s = 0.3$
TIPO II	Arena densa, suelo cohesivo duro e firme	$T_s = 0.6$
TIPO III	Suelos granulares sueltos, suelos cohesivos medianos e blandos.	$T_s = 0.9$

#### 4.15 METODO GENERAL PARA DETERMINAR LAS FUERZAS SISMICAS HORIZONTALES

La fuerza horizontal o cortante total en la base debido a la acción sísmica se determinará por la fórmula siguiente:

$$H = \frac{Zx Ux Sx Gx P}{R_d} \quad \dots \dots \dots (4.1)$$

dónde en la fórmula ( 4.1 ):

Z= factor de zona, que depende de la zona sísmica donde está ubicada la edificación.

Así tenemos que:

ZONA	ZONA 1	ZONA 2	ZONA 3
FACTOR	1.0	0.7	0.3

U= factor de Uso e Importancia, el cual depende de la categoría de la edificación.

CATEGORIA	CATEGORIA B	CATEGORIA C
FACTOR	1.3	1.0

- Las edificaciones de categoría "B" son importantes cuando ocurre un sismo por prestar servicios vitales que no deben ser interrumpidos. Pertenece a este tipo: los hospitales tanques de agua, almacenes,

estaciones de radio, almacenes, salas de espectáculos, etc.

- Las edificaciones de categoría "C" son edificaciones comunes cuya falla ocasionalmente perdidas de magnitud intermedia tales como casas-habitación, edificios de departamentos u oficinas, hoteles, etc.

S= factor de suelo, considera los efectos de amplificación de la acción sísmica que se producen por las características del subsuelo de cimentación

Factor "S"

Suelo I	1.0
Suelo II	1.2
Suelo III	1.4

C= coeficiente sísmico, el cual es la " fracción del peso de la edificación "P" que debe tomarse para la determinación de la fuerza cortante en la base, el que se calculará mediante el espectro de respuesta de aceleraciones generalizado y expresado mediante fórmula función del período fundamental de la estructura (T) y del período predominante del suelo (Ts ) "

$$\Rightarrow C = \frac{0.8}{\frac{T}{T_s} + 1.0} \quad \dots \dots \dots \quad (4.2)$$

El valor de C está comprendido entre los valores:

$$0.16 \leq C \leq 0.40$$

El valor de Ts:  $0.3 \text{ sg} \leq T_s \leq 0.9 \text{ sg}$

Rd= Factor de ductilidad que se define como la relación entre las deformaciones correspondientes a la rotura y la correspondiente al límite elástico, del material del elemento, o de la estructura.

Para el cálculo de las fuerzas internas en la estructura, el coeficiente sísmico obtenido por cada dirección se dividirá entre el correspondiente factor Rd, que da el reglamento.

P= Peso de la edificación que comprende carga permanente más un porcentaje de carga viva. Para edificaciones categoría C se considera el 25 % de la carga viva

En la fórmula (4.2) T es el período de vibración fundamental de la Estructura. Para su evaluación el reglamento nos da las siguientes fórmulas prácticas:

T= 0.08 N : Para edificaciones cuya estructura está conformada por columnas y vigas, exclusivamente.

$T = \frac{0.09 h}{\sqrt{D}}$  : Para edificios cuyos elementos resistentes a la fuerza sísmica lo constituyen: pórticos y los muros de la caja de ascensores.

$T = \frac{0.07 h}{\sqrt{D}}$  : Para edificios con las características anteriores en los que además se incluye muros de corte.

$T = \frac{0.05 h}{\sqrt{D}}$  : Edificios cuyos elementos resistentes corresponden predominantemente a muros de corte.

$h$ = Altura de la edificación respecto al nivel del terreno en metros.

$D$ = Dimensión horizontal en metros de la edificación en la dirección del sismo.

$N$ = Número de pisos de la edificación

#### 4.16 DISTRIBUCION DE LA FUERZA "H" EN LA ALTURA DEL EDIFICIO

La fuerza horizontal "H" calculada en la base, según la relación (4.1) en cada dirección se distribuirá en la altura de la edificación según la siguiente fórmula:

$$F_i = f H \frac{P_i \times h_i}{\sum P_i h_i} \quad \text{--- (4.3)}$$

dónde:  $f = 0.85$  para edificios cuya relación alto/ ancho en la dirección considerada excede de 6

$f = 1.00$ , cuando esta relación no excede de 3.

Para relaciones alto/ ancho entre 3 y 6 se deberá interpolar linealmente.

El resto de la fuerza  $H$  se aplicará en el último nivel.

$F_i$  = fuerza horizontal en el nivel " $i$ "

$P_i$  = peso del piso considerado " $i$ "

$h_i$  = Altura del nivel " $i$ " respecto de la base.

$H$  = Fuerza horizontal o cortante total en la base del edificio.

#### 4.20 METRADO DE CARGAS

Haremos el metrado de cargas para el análisis sísmico para cada nivel.

El peso de cada nivel estará constituido por la zona comprendida entre los puntos medios de cada entrepiso.

##### 1.- METRADO DE ELEMENTOS SOBRE NIVEL AZOTEA

a.-) tanque elevado:

tapa :  $(2.90 \times 5.30) \times .15 \times 2400 = 5638 \text{ kg.}$

paredes:  $2.35 \times 15.80 \times .20 \times \frac{2400}{P_D} = 17,822 \text{ kg}$

$$P_D = 23,460 \text{ kg}$$

Sobrecarga: agua= 1.80 mx 2.50x 5.10x 1000 = 22,500= P

b.-) Caja de escaleras:

techo: 2.90x 5.30x .20x 2400 = 7517.0

paredes: 1.00x 15.80x .20x 2400 = 7,584.0  
15,101.0 kg

c.-) Cuarto de máquinas

techo : 3.15 x 3.70 x. 15 x 2400 = 4196 kg.

piso : 3.15 x 3.70 x. 15 x 2400 = 4196 kg.

paredes: 2.40 x 9.60 x. 20 x 2400 = 11059 kg.  
 $P_D = 19,451.0 \text{ kg.}$

s/<sub>C</sub>: 500 kg/m<sup>2</sup> =  $P_L = 500 \times 3.15 \times 3.70 = 5,828 \text{ kg.}$

d.-) Caja de ascensores:

1.05x 10.40x .20x 2400 ----- = 5,242.0 kg.

Peso total= peso tanque elevado más caja de escaleras más cuarto  
de máquinas más caja de ascensores.

Peso total sobre nivel de azotea =  $P_T = ( 23,460 + 22,500 ) +$   
 $+ ( 15,101.0 ) + ( 19,451 + 5,828 ) + 5242.0$

$$P_T = 91,582.0 \text{ kg}$$

Según el Reglamento Nacional de Construcciones, el 20 % de todos los elementos situados encima del plano del último techo (casetas de ascensores, tanques de agua, etc.) se consideran que actúan en la parte alta del edificio.

Entonces, la fuerza horizontal adicional que actúa en la parte alta del edificio será:

$$F_{H.A.} = 0.20 P_T = 0.20 (91,582.0)$$

$$F_{H.A.} = 18,316.0 \text{ kg}$$

Para el metrado de cargas del resto de niveles consideramos dos zonas:

La zona 1 : Zona de aligerados, vigas, columnas, etc.

La zona 2 : Zona de ascensores, escaleras, etc.

## 2.- METRADO DE CARGAS NIVEL 7º (AZOTEA)

- Lasa aligerada:

$$\text{p.p.} = ( 7.20 \times 25.50 + 11.25 \times 5.10 ) \times 350 \text{ kg/m}^2 = 84,341.0 \text{ kg}$$

$$\text{acabados} = ( 7.20 \times 25.50 + 11.25 \times 5.10 ) \times 100 \text{ kg/m}^2 = 24,098.0 \text{ kg}$$

$$\text{sobrecarga} = 25 \% \text{ L} = ( 7.20 \times 25.50 + 11.25 \times 5.10 ) \times 150 \text{ kg/m}^2 \times 0.25 = 9,037.0$$

- Vigas principales:

$$5(0.30 \times 0.45 \times 7.20) \times 2400 + 2(0.30 \times 0.45 \times 11.25) \times 2400 = 18,954.0 \text{ kg.}$$

- Vigas secundarias:

$$7(0.30 \times 0.40 \times 5.10) \times 2400 = 10,496.0 \text{ kg}$$

- Carga de ventanales metálicos perimetrales:

$$28.0 \times 1.275 \times 150 \text{ kg/m}^2 = 5355.0 \text{ kg}$$

$$\text{- tajquería} = (7.20 \times 25.50 + 11.25 \times 5.10) \times 100 \text{ kg/m}^2 = 24,098 \text{ kg}$$

- Columnas:

$$\sum \frac{1}{2} \text{ sup.} = 16 \left( \frac{0.30 \times 0.40 \times 2.35}{2} \right) \times 2400 \text{ kg/m}^3 = 5414.0 \text{ kg.}$$

- Peso de caja de ascensores: ( $\frac{1}{2}$  caja inferior):

$$10.40 \times 0.20 \times \frac{2.55}{2} \times 2400 = 6365.0 \text{ kg}$$

$$\text{descontamos los huecos de entrada: } -(2 \times 0.90 \times 0.20) \left( \frac{2.55 - 2.10}{2} - 0.45 \right) \times 2400 \\ = - 907.0 \text{ kg.}$$

$$\text{Peso caja de ascensores} = 5,458.0 \text{ kg}$$

- Peso de caja de escaleras:

$$12.80 \times 0.20 \times 1.90 \times 2400 = 11,674.0 \text{ kg.}$$

$$\text{descontando huecos: } 2.10 \times 0.90 \times 0.20 \times 2400 = - 907 \text{ kg.}$$

$$\text{peso caja de escaleras} = 10,766 \text{ kg.}$$

$$\text{Peso de escaleras} = 12,400 \text{ kg.}$$

#### RESUMEN PESO NIVEL 7°

$$\text{Peso zona } ① = 181,793.0 \text{ kg.}$$

$$\text{Peso zona } ② = 28,624.0 \text{ kg}$$

---

$$\text{Peso total} = 210,417.0 \text{ kg.}$$

#### METRADO DE CARGAS NIVEL 6°

- Losa aligerada:

$$p.p.= (.80 \times 5.00 + 6 \times 5.25 \times 5.10 + 11.25 \times 5.10) \times 350 \text{ kg/m}^2 = 77,709 \text{ kg}$$

$$\text{- acabados} = (.80 \times 5.0 + 6 \times 5.25 \times 5.10 + 11.25 \times 5.10) \times 100 \text{ kg/m}^2 = 22,203 \text{ kg.}$$

$$0.25 s_c = 0.25 (.80 \times 5.0 + 6 \times 5.25 \times 5.10 + 11.25 \times 5.10) \times 250 \text{ kg/m}^2 = 13,877 \text{ kg.}$$

- Vigas principales:  $[6(0.30 \times 0.45 \times 10.50) + 2(0.30 \times 0.45 \times 11.25)] \times 2400 \text{ kg/m}^3 = 27,702 \text{ kg}$

- Vigas secundarias:  $20 \times (0.30 \times 0.40 \times 5.10) \times 2400 \text{ kg/m}^3 = 29,376.0 \text{ kg}$

- Ventanales metálicos:

$$57.0 \times 1.50 \times 150 \text{ kg/m}^2 = 12,825 \text{ kg.}$$

- Muro perimetral de concreto:

$$[29.0 \times 20 \times 90 + 28.0 \times 15 \times 90] \times 2400 = 22,608 \text{ kg.}$$

- tequierfa:

peso = 22,203 kg.

- Columnas: ( $\sum \frac{1}{2}$  piso sup. +  $\sum \frac{1}{2}$  piso inf.)

$$= \left[ 16 (.30 \times .40 \times \frac{2.35}{2}) + 22 (.30 \times .40 \times \frac{2.35}{2}) \right] \times 2400 \text{ kg/m}^3 = 12,859$$

- Caja de ascensores: ( $\sum \frac{1}{2}$  piso sup. +  $\sum \frac{1}{2}$  piso inf.)

$$\sum \frac{1}{2} \text{ piso superior} = (10.40 \times 0.20 \times 1.275) \times 2400 = 6365.0 \text{ kg}$$

$$\sum \frac{1}{2} \text{ piso inferior} = (10.40 \times 0.20 \times 1.275) \times 2400 = 6365.0 \text{ kg.}$$

- huecos de entrada = ~ 2009.0 kg.

peso caja de ascensores = 10,721.0 kg.

- Caja de escaleras:

$$12.80 \times 0.20 \times 2.80 \times 2400 \text{ kg/m}^3 = 17,203 \text{ kg.}$$

descontando huecos: ~ 907.0 kg.

peso de caja de escaleras = 16,296 kg.

- Peso de escaleras: 12,400 kg.

#### RESUMEN PESO NIVEL 6°

Peso zona ① = 241,362.0 kg

Peso zona ② = 39,417.0 kg.

Peso total = 280,779.0 kg.

#### 4.- METRADO DE CARGAS NIVEL 5°

El peso del nivel 5° será igual al peso del nivel 6° menos el peso de las columnas del nivel 6° más el peso de las columnas del nivel 5° (Considerando solo la zona N° 1)

- peso columnas nivel 5°: ( $\sum \frac{1}{2}$  sup. +  $\sum \frac{1}{2}$  piso inf.)

$$= \left[ 22 (.30 \times .40 \times \frac{2.35}{2}) + 22 (.40 \times .50 \times \frac{2.35}{2}) \right] \times 2400 = 19,853 \text{ kg.}$$

Luego en la zona ① tendremos que:

$$P.N.5° = P.N.6° - P.col. N6° + P.col. N5°$$

$$P.N.5° = 241,362 - 12,859 + 19,853 = 248,356 \text{ kg.}$$

#### RESUMEN PESO NIVEL 5°

Peso zona ① = 248,356.0 kg.

Peso zona ② = 39,417.0 kg.

Peso total = 287,773.0 kg.

#### 5.- METRADO DE CARGAS NIVEL 4°

El peso del nivel 4º será: (Consideramos sola la zona 1 ya que el peso de la zona ② es constante)

$$P.N. 4º = P.N. 5º - P_{col.} N.5º + P_{col.} N.4º$$

- El peso de las columnas del 4º nivel =

$$P_{col.} N.4º = \sum \frac{1}{2} \text{ piso sup.} + \sum \frac{1}{2} \text{ piso inf.}$$

$$\begin{aligned} P_{col.} N.4º &= \left[ 22(.40 \times 50 \times 2.35) + 16(.40 \times 50 \times 2.35) \right] \times 2,400 \\ &\quad + 6(.40 \times 60 \times 2.35) \times 2400 = 25,493 \text{ kg.} \end{aligned}$$

$$P.N.4º (\text{zona } ①) = 241,362 - 12,859 + 25,493 = 253,996 \text{ kg.}$$

#### RESUMEN PESO NIVEL 4º

$$\text{Peso zona } ① = 253,996$$

$$\text{Peso zona } ② = 39,417$$

$$\text{Peso total} = 293,413.0 \text{ kg.}$$

#### 6.- METRADO DE CARGAS NIVEL 3º

En forma análoga para el 3º nivel tendremos que:

$$P.N.3º = P.N.6º - P_{col.} N.6º + P_{col.} N.3º$$

$$P_{col.} N.3º = \frac{1}{2} (\sum \text{piso sup.} + \sum \text{piso inf.})$$

$$\begin{aligned} \sum \frac{1}{2} \text{ piso sup.} &= 16(.40 \times 50 \times 2.35) \times 2400 + 6(.40 \times 60 \times 2.35) \\ &\quad \times 2400 = 13,085 \text{ kg.} \end{aligned}$$

$$\sum \frac{1}{2} \text{ piso inf.} = 13,085 \text{ kg.} = \frac{1}{2} \text{ piso sup.}$$

$$P_{col.} N.3º = 26,170.0 \text{ kg.}$$

$$P.N.3º = 241,362 - 12,859 + 26,170 = 254,943.0 \text{ kg}$$

#### RESUMEN PESO NIVEL 3º

$$\text{Peso zona } ① = 254,943.0 \text{ kg.}$$

$$\text{Peso zona } ② = 39,417.0 \text{ kg.}$$

$$\text{Peso total} = 294,360.0 \text{ kg.}$$

#### 7.- METRADO DE CARGAS NIVEL 2º

- Losa aligerada:

$$\begin{aligned} p.p. &= (7.20 \times 25.50 + 11.25 \times 5.10 + 3.85 \times 15.30 + 3.85 \times 10.20) \times 350 \text{ kg/m}^2 \\ &= (339.15 \text{ m}^2) (350 \text{ kg/m}^2) = 118,703.0 \text{ kg.} \end{aligned}$$

- acabados:

$$= (339.15) \times 100 \text{ kg/m}^2 = 33,915 \text{ kg.}$$

- sobrecarga: 25 % L

$$= (339.15) \times 0.25 \times 250 \text{ kg/m}^2 = 21,197.0 \text{ kg.}$$

- Vigas principales:

$$= [6(0.30 \times 0.45 \times 10.50) + 2(0.30 \times 0.45 \times 11.25) + 7(3.85 \times 3.0 \times 0.45)] \times 2400$$

$$= 36,434.0 \text{ kg.}$$

- Vigas secundarias:

$$= [20(.30 \times .40 \times 5.10) + 1 \times (.30 \times .40 \times 15.30) + (.30 \times .40 \times 10.20)] \times 2400 \\ = 36,720.0 \text{ kg.}$$

- Columnas

$$\sum \frac{1}{2} \text{ piso sup.} = 13,085 \text{ kg.}$$

$$\sum \frac{1}{2} \text{ piso inf.} = \left[ 16(.40 \times .60 \times \frac{2.35}{2}) + 6(.40 \times .70 \times \frac{2.35}{2}) \right] \times 2400 \\ + 8(.40 \times .40 \times \frac{2.35}{2}) \times 2,400 = 32,261.0 \text{ kg.}$$

$$\text{peso columnas nivel } 2^{\circ} = 32,261.0 \text{ kg.}$$

- mure perimetral de concreto ( $h=.90 \text{ m}$ )

$$\text{peso mure} = 51.0 \times .90 \times 15 \times 2400 = 16,524.0 \text{ kg.}$$

- peso de ventanales metálicos:

$$= 12,825.0 \text{ kg.}$$

- tabiquería:

$$= 33,915.0 \text{ kg.}$$

- Para la zona ② : peso de caja de ascensores, caja de escaleras, escaleras, el peso es igual a los niveles anteriores: 39,417.0 kg.

#### RESUMEN PESO NIVEL 2°

$$\text{Peso zona } ① = 342,494.0 \text{ kg.}$$

$$\text{Peso zona } ② = 39,417.0 \text{ kg.}$$

$$\text{Peso total} = 381,911.0 \text{ kg.}$$

#### 8.- METRADO DE CARGAS NIVEL 1°

El peso del primer piso será igual al peso del segundo nivel adicionado del piso de la escalera tipo 2 ( Ver planos )

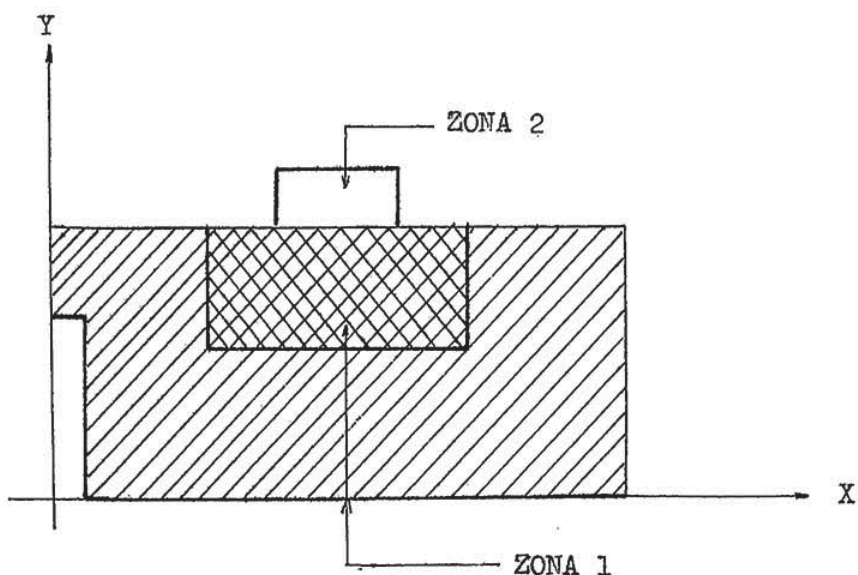
$$P_N 1^{\circ} = 381,911 \text{ kg.} + 3045 \text{ kg} = 384,956.0 \text{ kg. (incluye pesos de zonas } ① \text{ y } ② \text{ )}$$

#### RESUMEN PESO NIVEL 1°

$$\text{Peso zona } ① = 345,539.0 \text{ kg.}$$

$$\text{Peso zona } ② = 39,417.0 \text{ kg.}$$

$$\text{Peso total} = 384,956.0 \text{ kg.}$$



ESQUEMA DE EDIFICIO EN PLANTA.

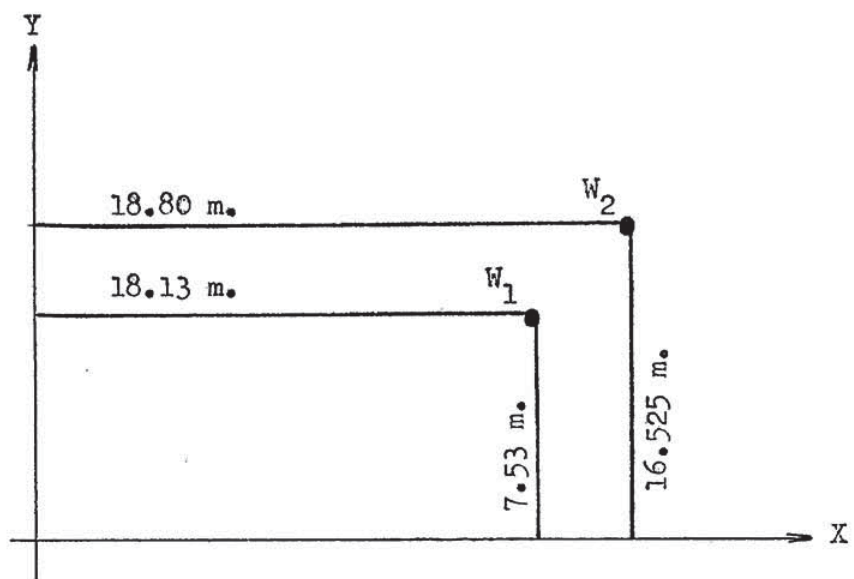
4.21 RESUMEN DE CARGAS

NIVEL	PESOS (W) KILOS		PESO TOTAL ( kg. )
	ZONA 1	ZONA 2	
7º	181,793.0	28,624.0	210,417.0
6º	241,362.0	39,417.0	280,779.0
5º	248,356.0	39,417.0	287,773.0
4º	253,996.0	39,417.0	293,413.0
3º	254,943.0	39,417.0	294,360.0
2º	342,494.0	39,417.0	381,911.0
1º	345,539.0	39,417.0	384,956.0
$\Sigma$		PESO TOTAL	2'133,609.0

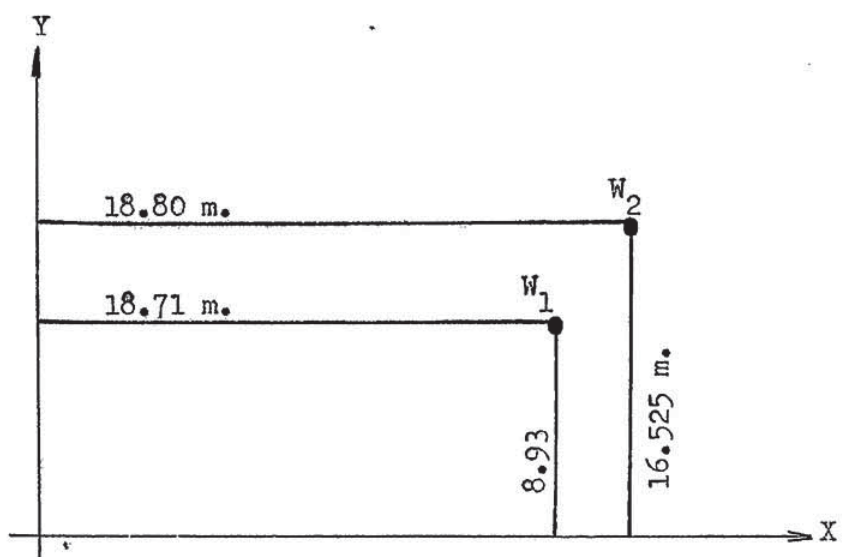
4.22 CENTRO DE APLICACION DE MASAS EN CADA PISO

Consideramos cada peso parcial concentrado en el centro de gravedad de la zona que ocupa.

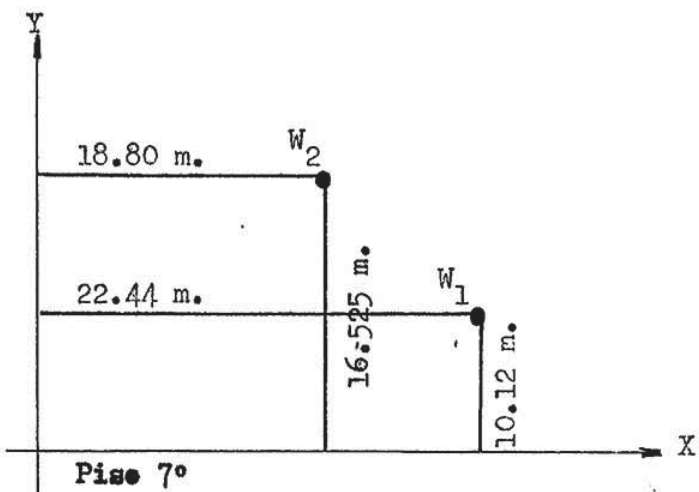
Los centros de gravedad de las zonas ① y ② para cada piso serán :



1º, 2º NIVEL.



PISOS TIPICOS : ( 3º, 4º, 5º, 6º )



#### 4.22.10 COORDENADAS PARCIALES DEL CENTRO DE MASA

NIV.	$W_1$	$X_1$ $Y_1$	$W_1 X_1$ $W_1 Y_1$	$W_2$	$X_2$ $Y_2$	$W_2 X_2$ $W_2 Y_2$	$W_1 + W_2$ (kg)	$X_{c.p.}$ (m.)	$Y_{c.p.}$ (m.)
7	181,793	22.4 10.1	4079,435 1839,745	28,624	18.8 16.5	538,131 473,155	210,417	21.94	10.99
6	241,362	18.7 8.9	4515,883 2155,363	39,417	18.8 16.5	741,039 651,563	280,779	18.72	9.99
5	248,356	18.7 8.9	4646,741 2217,819	39,417	18.8 16.5	741,039 651,563	287,773	18.72	9.97
4	253,996	18.7 8.9	4752,265 2268,184	39,417	18.8 16.5	741,039 651,563	293,413	18.72	9.95
3	254,943	18.7 8.9	4769,983 2276,641	39,417	18.8 16.5	741,039 651,563	294,360	18.72	9.94
2	342,494	18.1 7.5	6209,416 2578,980	39,417	18.8 16.5	741,039 651,563	381,911	18.19	8.46
1	345,539	18.1 7.5	6264,622 2601,908	39,417	18.8 16.5	741,039 651,563	384,956	18.19	8.45

Las coordenadas parciales del centro de masa en el cuadro anterior se obtienen con la sgte. relación :

$$X_{c.p.} = \frac{\sum_{i=1}^2 W_i X_i}{\sum_{i=1}^2 W_i} = \frac{W_1 X_1 + W_2 X_2}{W_1 + W_2}$$

$$Y_{c.p.} = \frac{\sum_{i=1}^2 W_i y_i}{\sum_{i=1}^2 W_i} = \frac{W_1 y_1 + W_2 y_2}{W_1 + W_2}$$

COORDENADAS FINALES DEL CENTRO DE MASA (X & Y)

Nº	W(tn.)	W(tn.)	X c.p. (m.s.)	Y c.p. (m.s.)	W <sub>x</sub> c.p.	W <sub>y</sub> c.p.	W <sub>x</sub> c.p.	W <sub>y</sub> c.p.	X (m.s.)	Y (m.s.)
72	210.417	210.417	21.94	10.99	4616.54	4616.55	2312.48	2312.48	21.94	10.99
62	280.779	491.196	18.72	9.99	5256.18	9872.73	2804.98	5117.46	20.09	10.42
52	287.773	778.969	18.72	9.97	5387.11	15259.84	2869.09	7986.56	19.60	10.25
42	293.413	1072.388	18.72	9.95	5492.69	20752.93	2919.46	10906.02	19.35	10.16
32	294.360	1366.748	18.72	9.94	5510.42	26262.95	2925.94	13831.96	19.21	10.12
22	381.911	1748.659	18.19	8.46	6946.96	33209.91	3230.97	17062.93	18.99	9.75
12	384.956	2133.615	18.19	8.45	7002.35	40212.26	3252.88	20315.80	18.84	9.52

En el cuadro anterior :  $X = \frac{\sum Wx_{c.p.}}{\sum W}$

$$Y = \frac{\sum Wy_{c.p.}}{\sum W}$$

#### 4.30 CALCULO DE LA FUERZA CORTANTE TOTAL "H" EN LA BASE DE LA EDIFICACION

Tendremos dos casos: Según la dirección principal Y-Y y según la dirección secundaria X-X

##### 4.30.10 FUERZA CORTANTE TOTAL SEGUN LA DIRECCION PRINCIPAL Y-Y (HY)

Se sabe que "Hy" está dada por la relación (4.1):

$$\boxed{Hy = \frac{Z \times U \times S \times C \times P}{R_d}}$$

Para el caso de nuestro edificio en estudio tendremos que:

Z= 1.0  $\rightarrow$  El edificio se encuentra ubicado en la zona 1

U= 1.0  $\rightarrow$  La edificación en estudio pertenece a la categoría "C"

S= 1.0  $\rightarrow$  Suele catalogado aproximadamente como tipo I

- Cálculo del factor "C" (Coeficiente sísmico)

El factor C está definido por la relación (4.2)

$$C = \frac{0.8}{\frac{T}{T_s} + 1.0}$$

En este caso:  $T = \frac{0.09 h}{\sqrt{D'}}$

h= 19.60 m.

$$D' = \frac{14.35 + (14.35 + 3.40)}{2} = 16.05 \text{ mts.}$$

Luego:  $T = \frac{0.09 \times 19.60}{\sqrt{16.05}} = \frac{1.76}{4.0} = 0.44$

$T_s = 0.3$  sg  $\rightarrow$  suelo tipo I

Reemplazando valores en la fórmula de C:

$$C = \frac{0.8}{\frac{0.44}{0.30} + 1} = 0.32$$

- Cálculo del factor de ductilidad "Rd".

Para el caso de nuestra edificación; edificación tipo C con las características antes mencionadas se considera

Rd= 4.0

- Cálculo de la carga P:

$$P = 2,133.609 \text{ ton. (Ver cuadro resumen de cargas.)}$$

Por lo tanto:

$$H_y = \frac{1.0 \times 1.0 \times 1.0 \times 0.32 \times 2,133.6 \text{ ton}}{4}$$

$$H_y = 170.0 \text{ Ton.}$$

#### 4.30.20 FUERZA CORTANTE TOTAL SEGUN LA DIRECCION SECUNDARIA X-X ( $H_x$ )

$$H_x = \frac{Z \times U_x \times S \times C \times P}{R_D}$$

$$h = 19.60 \text{ mts.}$$

$$D = 36.65 \text{ mts.}$$

$$T = \frac{0.09 h}{\sqrt{D}}$$

$$T = \frac{0.09 \times 19.60}{\sqrt{36.65}} = 0.29$$

$$C = \frac{0.8}{\frac{0.29}{0.30} + 1} = 0.405 > 0.40$$

Tomamos  $C = 0.40$

Entonces:  $H_x = \frac{1.0 \times 1.0 \times 1.0 \times 0.40 \times 2133.609}{4} = 213.36 \text{ ton.}$

$$H_x = 213.36 \text{ ton.}$$

#### 4.30.30 DISTRIBUCION DEL CORTANTE POR NIVELES

De acuerdo al reglamento la fuerza cortante será distribuida en la altura de la edificación según la relación (4.3)

$$F_i = \frac{f H_i P_i \times h_i}{\sum P_i \times h_i}$$

Como en nuestro caso:

$$\frac{\text{alto}}{\text{ancho}} < 3 ; f = 1.0$$

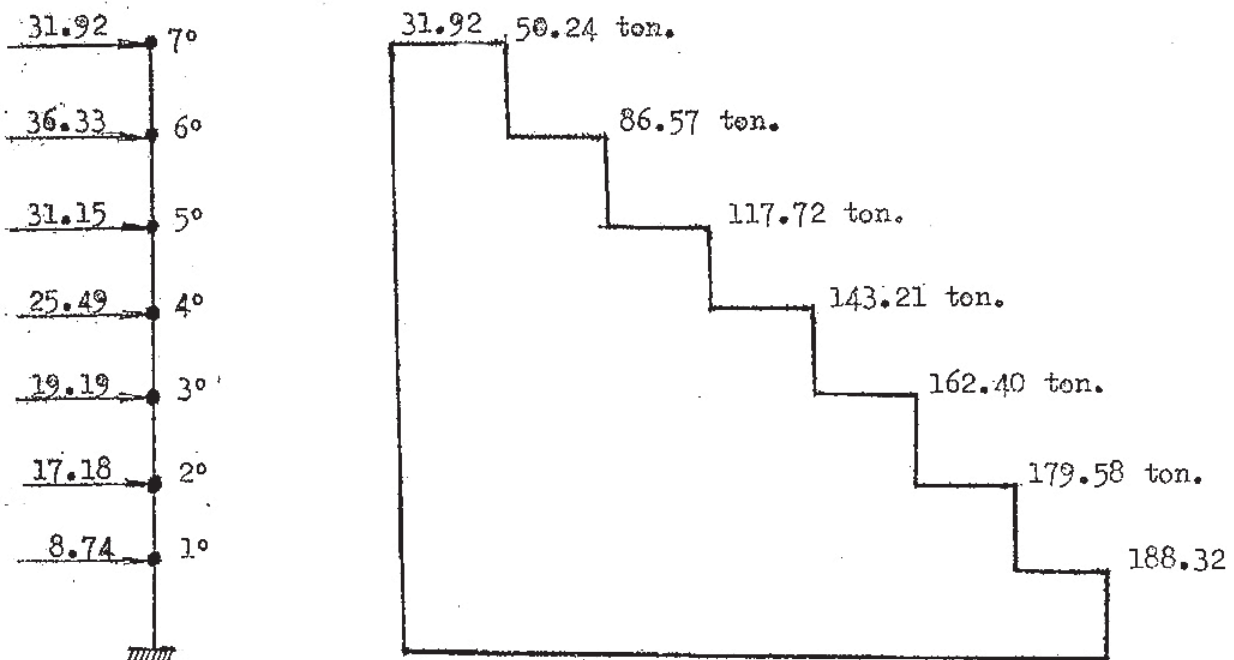
ancho

NIVEL	COTA (m.)	Pi (ton.)	hi (m.)	Pi x hi	Fy (ton.)	Fx (ton.)
7º	19.60	181.793	19.60	3563.143	31.92	40.08
6º	16.80	241.362	16.80	4054.882	36.33	45.61
5º	14.0	248.356	14.0	3476.984	31.15	39.11
4º	11.20	253.996	11.20	2844.352	25.49	31.99
3º	8.40	254.946	8.40	2141.546	19.19	24.09
2º	5.60	342.494	5.60	1917.966	17.18	21.57
1º	2.80	345.539	2.80	967.509	8.74	10.91
				$\Sigma$ Pi hi = 18,966.382		

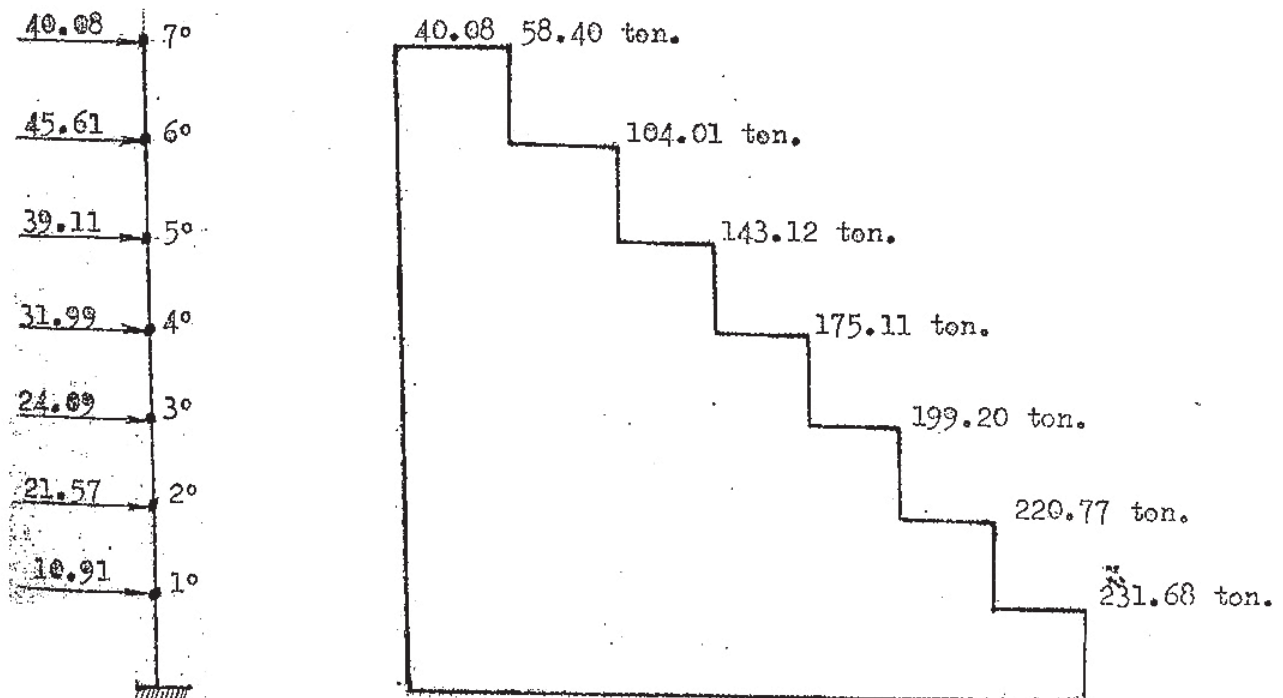
Cortante acumulado en cada nivel

Se ha adicionado en el último nivel ( $7^{\circ}$ ) el 20 % de los pesos que actúan sobre encima de éste =  $20 \times 91,582 = 18,316$  ton.

DIRECCION Y-Y



DIRECCION X - X



#### 4.40 METODO DE MUTO

- a) HIPOTESIS.— Para poder aplicar el método de MUTO se aceptan las siguientes hipótesis válidas:
- En el análisis solo se considera la componente horizontal de la fuerza sísmica.
  - La fuerza sísmica horizontal, actúa separadamente en las direcciones longitudinal y transversal.
  - La fuerza sísmica actúa en el nivel de cada piso.
  - Los elementos del piso en estudio son suficientemente rígidos( losas y vigas) en el sentido horizontal comportándose como un diafragma, teniendo por lo tanto los mismos desplazamientos relativos todos los elementos del entrepiso.
  - Para la distribución del cortante y el análisis de esfuerzos de los elementos resistentes, se hace de acuerdo a la teoría elástica.

b) EXPOSICION BREVE DEL METODO

- Mediante el método de Muto se determinan los cortes y momentos a que están sometidos los elementos resistentes de una estructura, cuando actúa la componente horizontal de la fuerza sísmica.
- La distribución del cortante en un entrepiso se hace proporcionalmente al factor "D" (COEFICIENTE DE DISTRIBUCION). "D" se define como la fuerza de corte que actúa en un elemento, cuando el desplazamiento relativo en el piso considerado, tiene un valor unitario
- Cuando hay excentricidad entre el centro de corte (centro de masas ) y el centro de rigidez ( centro de valores D ), la tensión resultante debe tomarse en cuenta.

c) METODO DE ANALISIS

Se procederá de la siguiente manera:

- 1.- Evaluación de los valores D de las columnas y valores D aproximados para placas.
- 2.- Distribución del corte del entrepiso a los elementos mediante la relación:

$$V_n = V_T \times \frac{D_n}{\sum D_n}$$

donde:

$V_n$ = Corte en el elemento.

Vt= Corte total en el piso considerado.

Dn= Valer "D" del elemento.

3.- Se corregirá el certante por interacción de pórticos y placas sísmicas

4.- Se corregirá por tensión

5.- Se calcularán los puntos de inflexión para columnas sin interacción, mediante tablas que da el método de MUTO.

6.- Cálculo de fuerzas y momentos, corregidos.

D) FORMULAS EMPLEADAS PARA HALLAR EL VALOR D DE LAS COLUMNAS

- En general:

$$D = a \cdot k_c$$

a= constante que depende de la rigidez relativa.

$k_c = \frac{K_c}{K_e}$  = coeficiente de rigidez relativa de columnas.

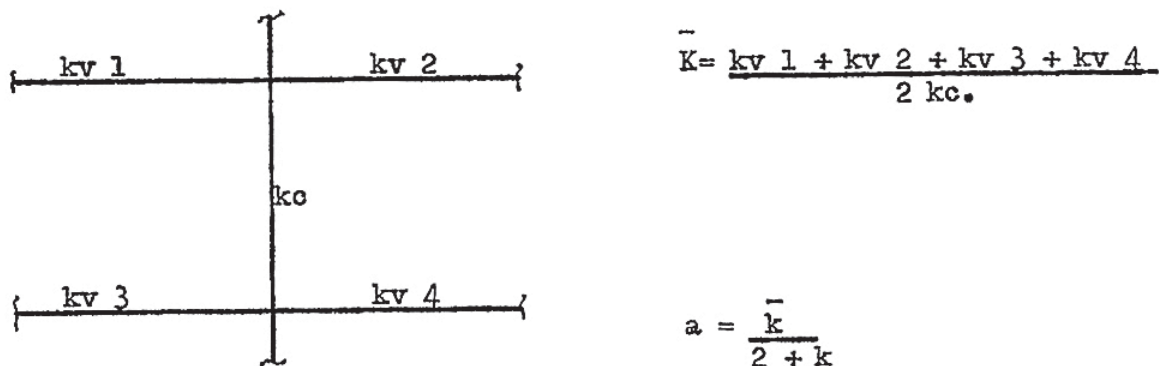
También definimos los siguientes términos:

$k_v = \frac{K_v}{K_e}$  = coeficiente de rigidez relativa de vigas.

$k_v = \frac{I_v}{V}$ : coeficiente de rigidez de vigas.

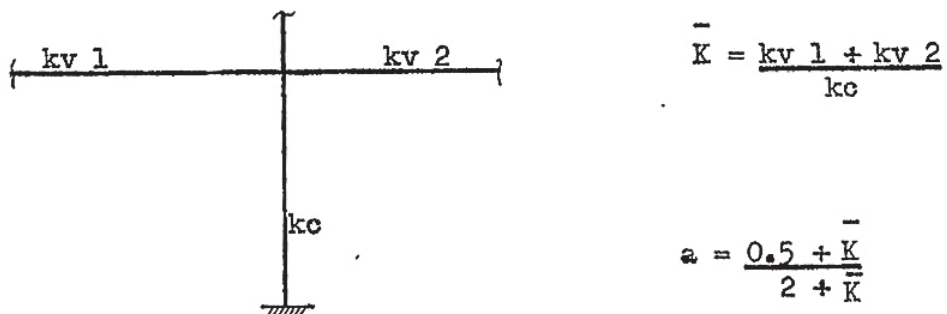
$k_c = \frac{I_c}{c}$ : coeficiente de rigidez de columnas.

- Para columnas de pisos superiores:



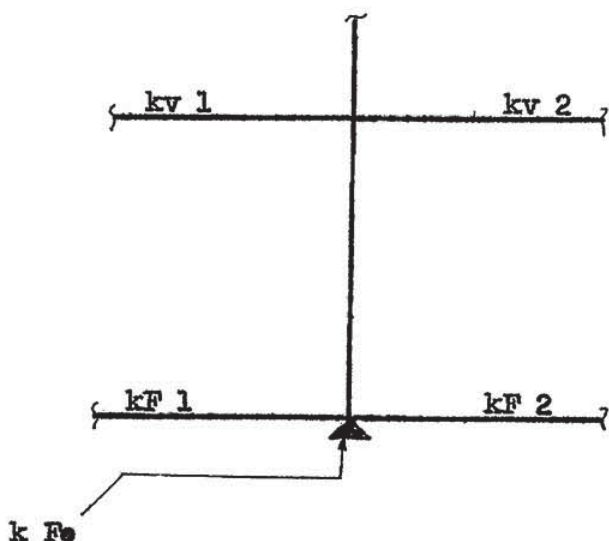
$$a = \frac{k}{2 + k}$$

- Para columnas de extremo empotrado:



$$a = \frac{0.5 + \frac{k}{2 + k}}{2 + \frac{k}{2 + k}}$$

Para el caso de columnas del piso inferior (1º piso) que descansen en suelo blando:



kF1, kF2 = coeficientes de rigidez relativa de las vigas de cimentación.

kFe = Coeficiente de rigidez relativa equivalente del suelo de cimentación.

$$\bar{k} = \frac{k_{v1} + k_{v2} + k_{F2} + k_{Fe}}{2 k_c}$$

$$a = \frac{\bar{k}}{2 + \bar{k}}$$

#### 4.41 CALCULO DE LAS RIGIDEZES RELATIVAS Y DE LOS VALORES K a y D (PORTICOS)

- Para porticos principales:

Sea  $K_c = 10^3$

Vigas:

$$I_v = \frac{30 \times 45^3}{12} = 227.81 \times 10^3$$

$$K_{v1} = \frac{I_v}{L_{v1}} = \frac{227.81 \times 10^3}{525} = 0.43 \times 10^3 ; \quad k_{v1} = 0.43$$

$$K_{v2} = 0.43$$

$$K_{v2} = \frac{227.81 \times 10^3}{370} = 0.62 \times 10^3 ; \quad k_{v2} = 0.62$$

Columnas :

$$K_{c1} = \frac{40 \times 60^3 / 12}{280} = 2.57 \times 10^3$$

$$K_{c2} = \frac{30 \times 40^3 / 12}{280} = 0.57 \times 10^3 ; \quad k_{c2} = 0.57$$

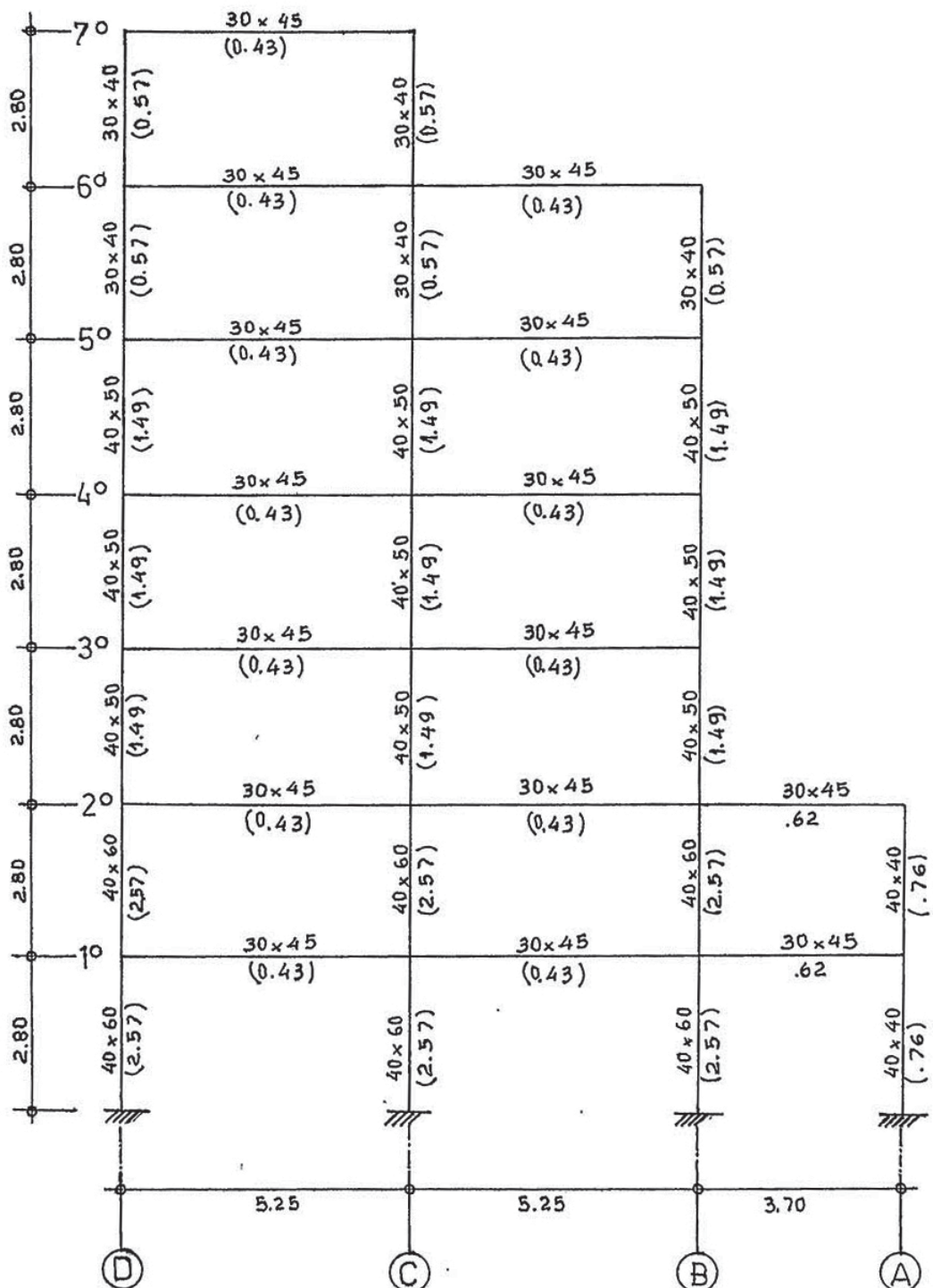
$$K_{c3} = \frac{40 \times 50^3 / 12}{280} = 1.49 \times 10^3 ; \quad k_{c3} = 1.49$$

$$Kc4 = \frac{40 \times 70^3 / 12}{280} = 4.08 \times 10^3 \quad Kc4 = 4.08$$

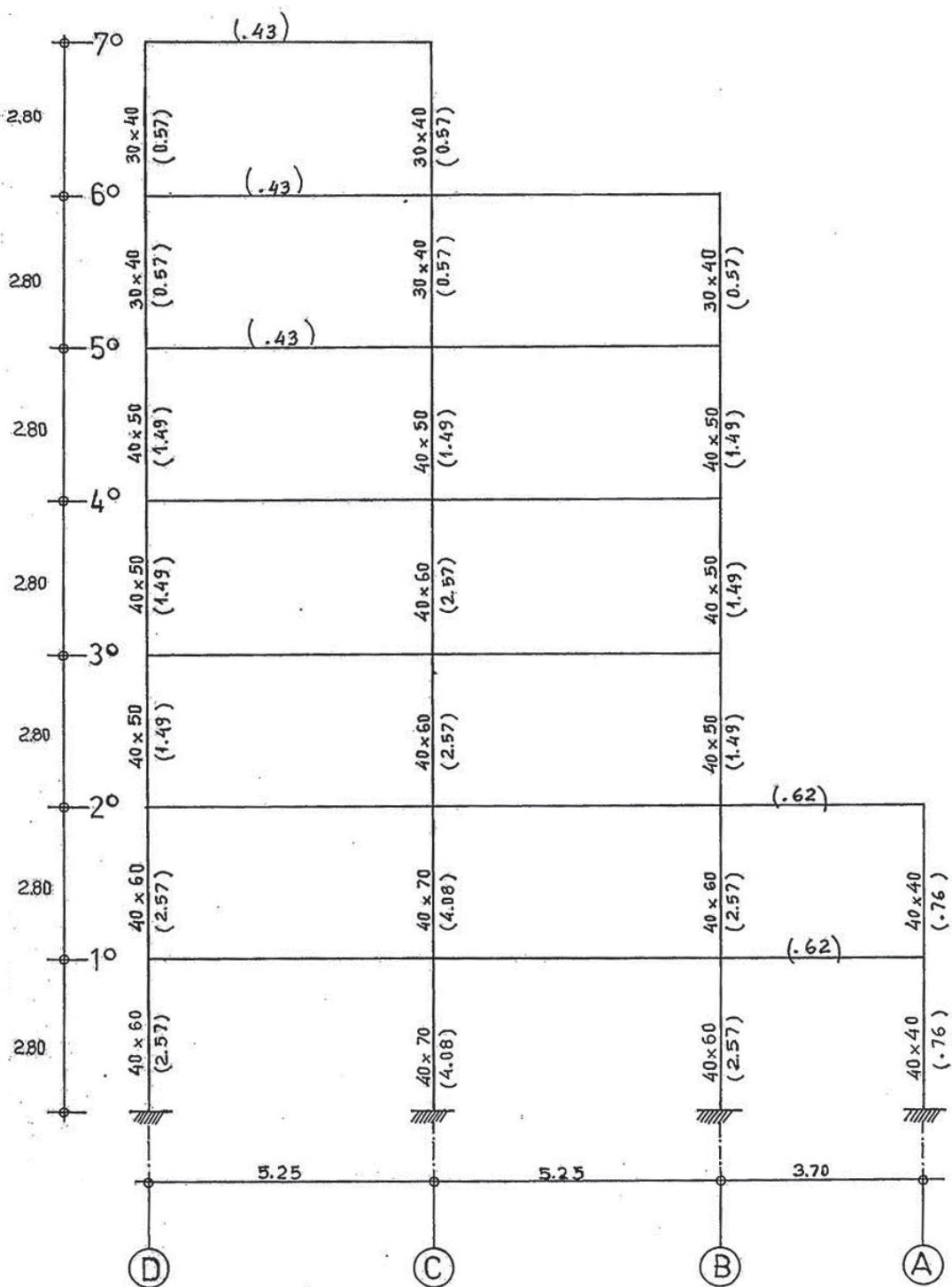
$$Kc5 = \frac{40 \times 40^3 / 12}{280} = 0.79 \times 10^3 \quad Kc5 = 0.79$$

PORTECO PRINCIPAL 1-1

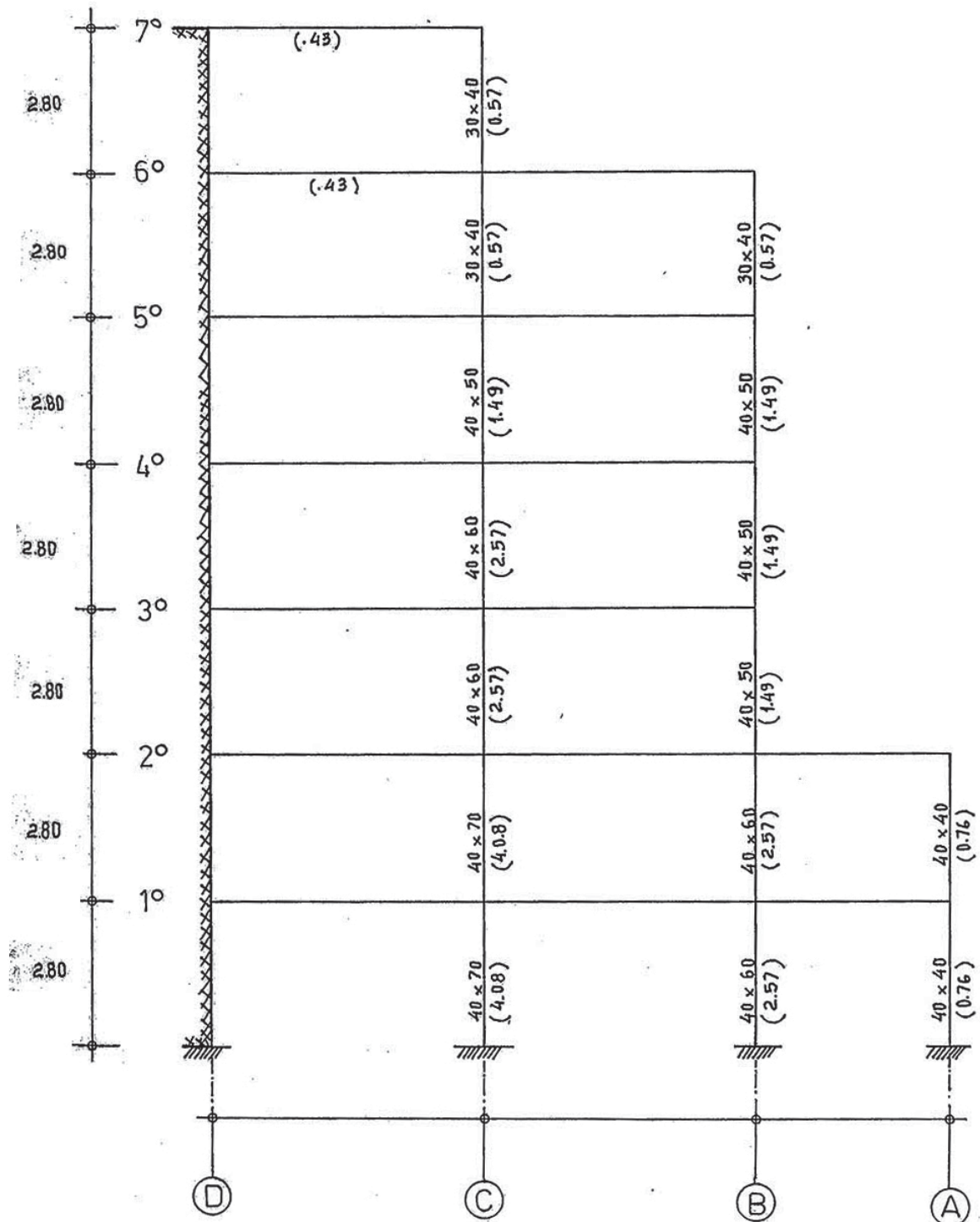
Las rigideces relativas se encuentran entre paréntesis:



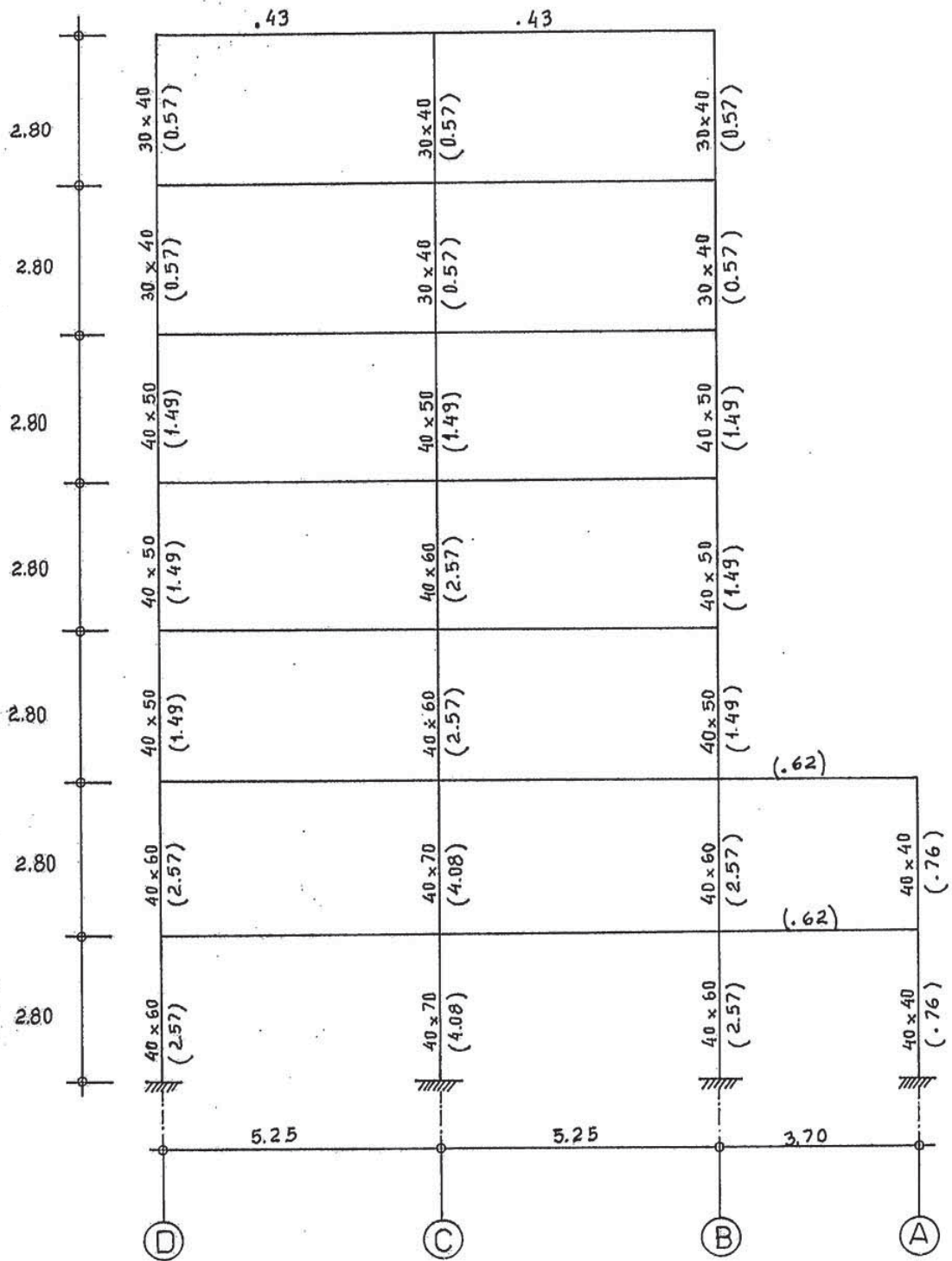
PORTICO PRINCIPAL 2-2=3-3=6-6



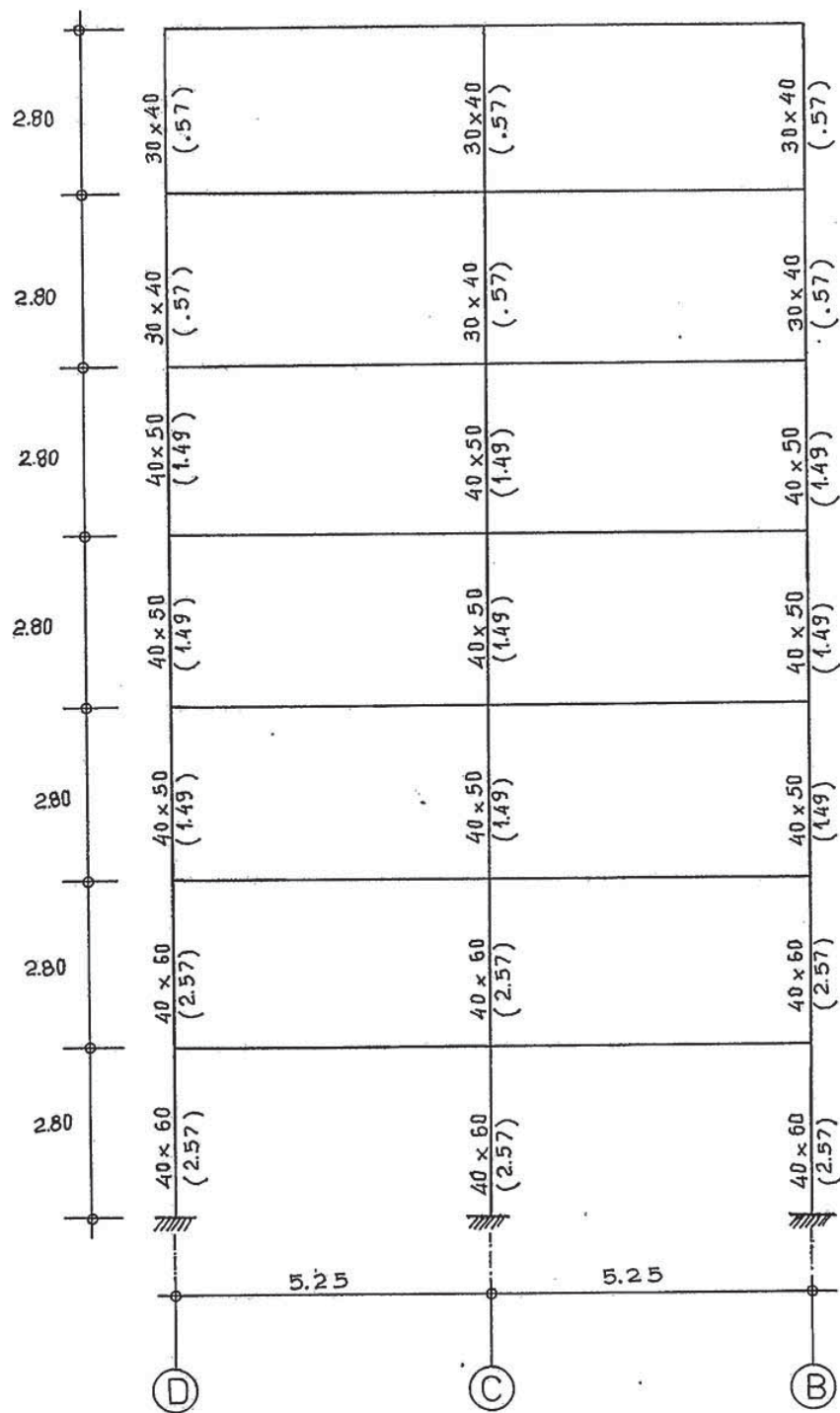
PORTICO PRINCIPAL 4-4 = 5-5



PORTECO PRINCIPAL 7-7



PORICO PRINCIPAL 8-8



Para pórticos secundarios:

$$K_e = 10^3$$

$$\text{Vigas: } K_{v1} = \frac{30 \times 40^3 / 12}{510} = 0.31 \times 10^3 \quad k_{v1} = 0.31$$

Columnas:

$$K_{c1} = \frac{40 \times 40^3 / 12}{280} = 0.76 \times 10^3 \quad k_{c1} = 0.76$$

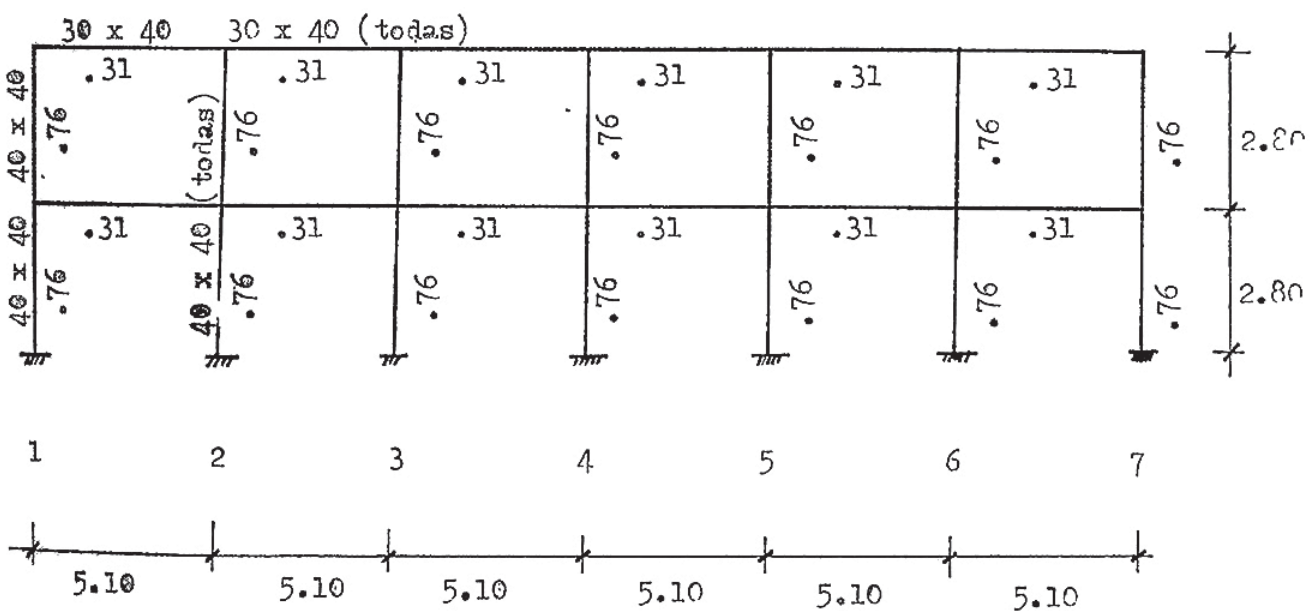
$$K_{c2} = \frac{60 \times 40^3}{12 \times 280} = 1.14 \times 10^3 \quad k_{c2} = 1.14$$

$$K_{c3} = \frac{50 \times 40^3}{12 \times 280} = 0.95 \times 10^3 \quad k_{c3} = 0.95$$

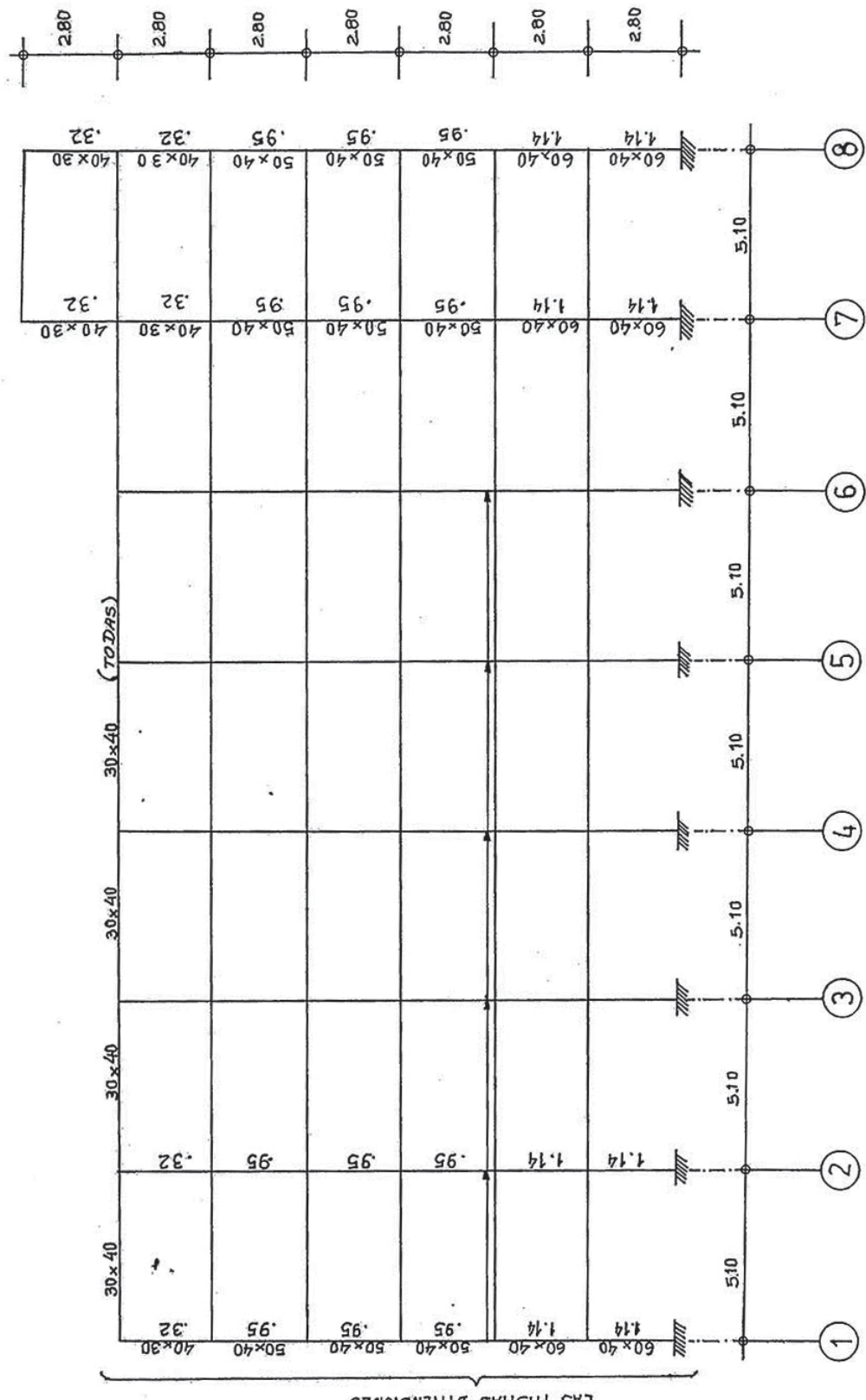
$$K_{c4} = \frac{40 \times 30^3}{12 \times 280} = 0.32 \times 10^3 \quad k_{c4} = 0.32$$

$$K_{c5} = \frac{70 \times 40^3}{12 \times 280} = 1.34 \times 10^3 \quad k_{c5} = 1.34$$

PÓRTICO SECUNDARIO A-A

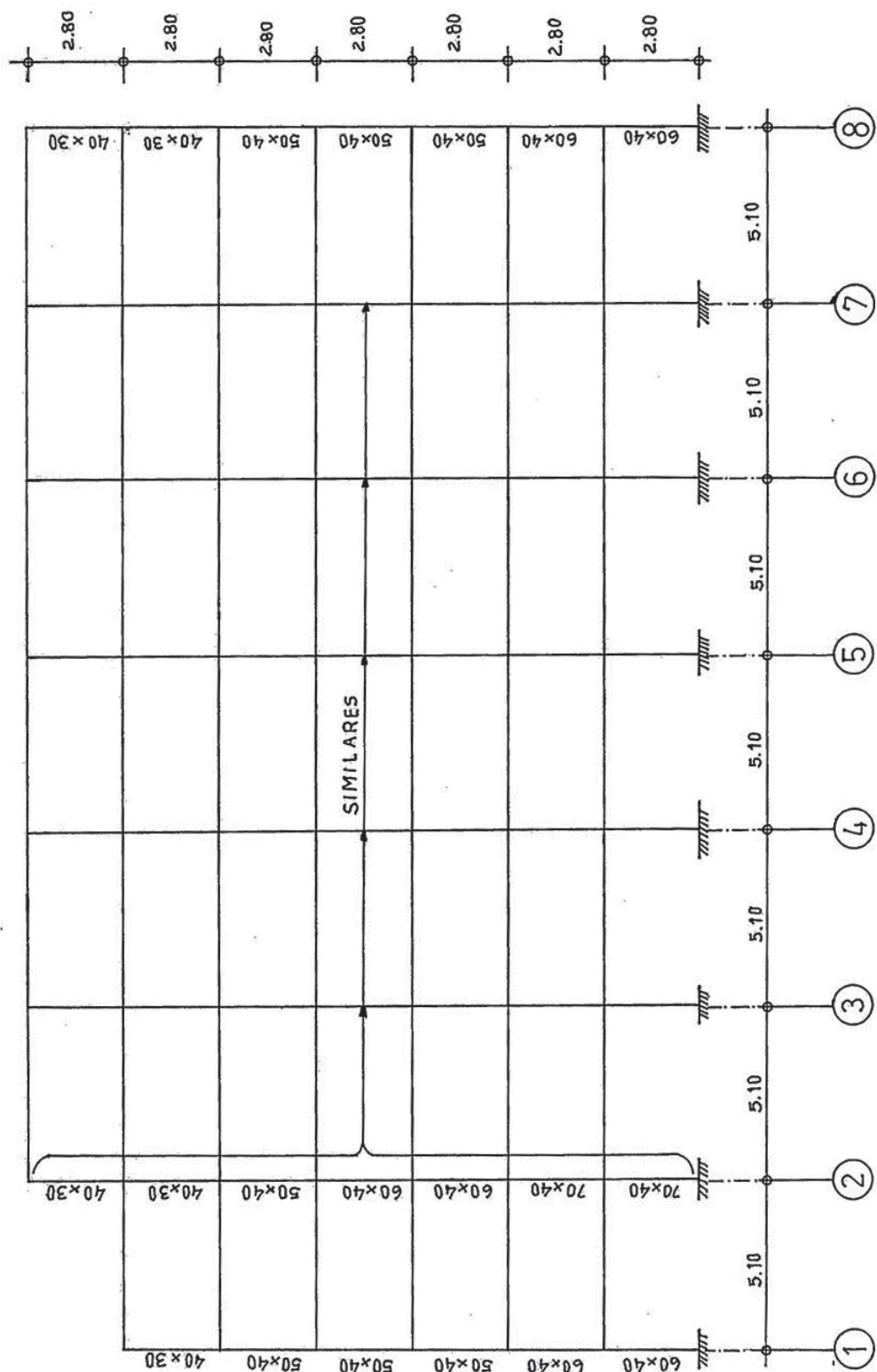


PORTECO SECUNDARIO B-B

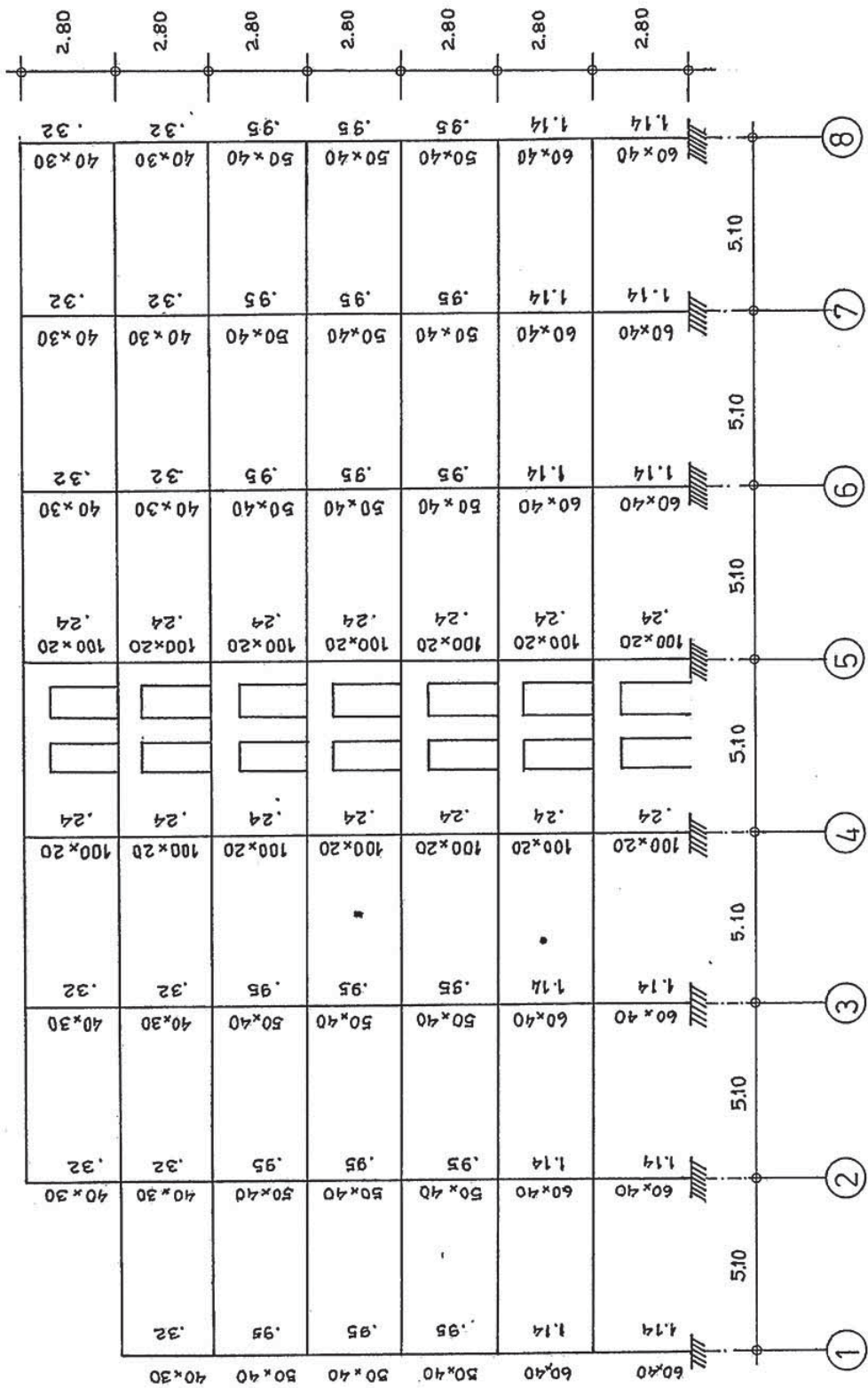


LAS MISMAS DIMENSIONES

PORTEICO SECUNDARIO C-C



PORTICO SECUNDARIO D - D  
ESC. 1/200



K<sup>1</sup> a D PARA COLUMNAS DE LOS PORTICOS:

Los valores se han calculado y tabulado, aplicando las fórmulas dadas en ( 4.40. d )

PORICO PRINCIPAL 1-1

NIVEL	EJE A				EJE B				EJE C				EJE D			
	kg	$\bar{K}$	a	D	kg	$\bar{K}$	a	D	kg	$\bar{K}$	a	D	kg	$\bar{K}$	a	D
7°	—	—	—	—	—	—	—	—	•57	1.13	0.36	0.21	•57	0.75	0.27	0.16
6°	—	—	—	—	0.57	0.75	0.27	0.16	•57	1.51	0.43	0.25	•57	0.75	0.27	0.16
5°	—	—	—	—	1.49	0.29	0.13	0.19	1.49	0.58	0.22	0.33	1.49	0.29	0.13	0.19
4°	—	—	—	—	1.49	0.29	0.13	0.19	1.49	0.58	0.22	0.33	1.49	0.29	0.13	0.19
3°	—	—	—	—	1.49	0.50	0.20	0.30	1.49	0.58	0.22	0.33	1.49	0.29	0.13	0.19
2°	0.76	0.82	0.29	•22	2.57	0.41	0.17	0.44	2.57	0.33	0.14	0.37	2.57	0.18	0.08	0.20
1°	0.76	0.57	0.42	•32	2.57	0.41	0.38	0.97	2.57	0.33	0.36	0.92	2.57	0.17	0.31	0.79

PORTEGO PRINCIPAL 2-2 = 3-3 - 6-6

NIVEL	EJE A			EJE B			EJE C			EJE D		
	Kc	$\bar{K}$	a	D	Kc	$\bar{K}$	a	D	Kc	$\bar{K}$	a	D
72	—	—	—	—	—	—	—	—	0.57	1.13	0.36	0.21
60	—	—	—	—	0.57	0.75	0.27	0.16	0.43	1.51	0.43	0.25
50	—	—	—	—	1.49	0.29	0.13	0.19	1.49	0.58	0.22	0.33
40	—	—	—	—	1.49	0.29	0.13	0.19	2.57	0.33	0.14	0.37
30	—	—	—	—	1.49	0.50	0.20	0.30	2.57	0.33	0.14	1.49
20	0.76	0.82	0.29	0.22	2.57	0.41	0.17	0.44	4.08	0.21	0.10	0.39
10	0.76	0.57	0.42	0.32	2.57	0.41	0.38	0.97	4.08	0.21	0.32	1.31

PORTECO PRINCIPAL 4-4 = 5-5

Ni	E J E A				E J E B				E J E C			
	Kc	$\bar{K}$	a	D	Kc	$\bar{K}$	a	D	Kc	$\bar{K}$	a	D
7°	—	—	—	—	—	—	—	—	0.57	0.75	0.27	0.16
6°	—	—	—	—	0.57	0.75	0.27	0.16	0.57	1.51	0.43	0.25
5°	—	—	—	—	1.49	0.29	0.13	0.19	1.49	0.58	0.22	0.33
4°	—	—	—	—	1.49	0.50	0.20	0.30	2.57	0.33	0.14	0.37
3°	—	—	—	—	1.49	0.50	0.20	0.30	2.57	0.33	0.14	0.39
2°	0.76	0.82	0.29	0.22	2.57	0.41	0.17	0.44	4.08	0.21	0.10	0.39
1°	0.76	0.57	0.42	0.32	2.57	0.41	0.38	0.97	4.08	0.21	0.32	1.31

PORTECO PRINCIPAL 8-8

Ni	E J E B				E J E C				E J E D			
	Kc	$\bar{K}$	a	D	Kc	$\bar{K}$	a	D	Kc	$\bar{K}$	a	D
7°	0.57	0.75	0.27	0.16	0.57	1.51	0.43	0.25	0.57	0.75	0.27	0.16
6°	0.57	0.75	0.27	0.16	0.57	1.51	0.43	0.25	0.57	0.75	0.27	0.16
5°	1.49	0.29	0.13	0.19	1.49	0.58	0.22	0.33	1.49	0.29	0.13	0.19
4°	1.49	0.29	0.13	0.19	1.49	0.58	0.22	0.33	1.49	0.29	0.13	0.19
3°	1.49	0.29	0.13	0.19	1.49	0.58	0.22	0.33	1.49	0.29	0.13	0.19
2°	2.57	0.18	0.08	0.20	2.57	0.33	0.14	0.37	2.57	0.18	0.08	0.20
1°	2.57	0.17	0.31	0.79	2.57	0.33	0.36	0.92	2.57	0.17	0.31	0.79

PORTECO PRINCIPAL 7-7

NIV	E J E A				E J E B				E J E C				E J E D			
	Kc	$\bar{K}$	a	D												
7	—	—	—	—	0.57	0.75	0.27	0.16	0.57	1.51	0.43	0.25	0.57	0.75	0.27	0.16
6	—	—	—	—	0.57	0.75	0.27	0.16	0.57	1.51	0.43	0.25	0.57	0.75	0.27	0.16
5	—	—	—	—	1.49	0.29	0.13	0.19	1.49	0.58	0.22	0.33	1.49	0.29	0.13	0.19
4	—	—	—	—	1.49	0.29	0.13	0.19	2.57	0.33	0.14	0.37	1.49	0.29	0.13	0.19
3	—	—	—	—	1.49	0.50	0.20	0.30	2.57	0.33	0.14	0.37	1.49	0.29	0.13	0.19
2	0.76	0.82	0.29	0.22	2.57	0.41	0.17	0.44	4.08	0.21	0.10	0.39	2.57	0.18	0.08	0.20
1	0.76	0.57	0.42	0.32	2.57	0.41	0.38	0.97	4.08	0.21	1.32	1.31	2.57	0.17	0.31	0.79

PORTECO SECUNDARIO A-A

NIVEL	EJES: 1-1, 7-7				EJES: 2-2,3-3,4-4,5-5,6-6			
	Kc	$\bar{K}$	a	D	$\bar{K}c$	$\bar{K}$	a	D
2a	0.76	0.41	0.17	0.13	0.76	0.82	0.29	0.22
1a	0.76	0.41	0.38	0.29	0.76	0.82	0.47	0.36

PÓRTICO SECUNDARIO B-B

Nº.	E J B : 1-1				E J E : 2-2, 3-3, 4-4, 5-5, 6-6				E J E : 7-7				E J E : 8-8			
	Kc	$\bar{K}$	a	D	Kc	$\bar{K}$	a	D	Kc	$\bar{K}$	a	D	Kc	$\bar{K}$	a	D
7°	—	—	—	—	—	—	—	—	.33	.33	.32	.32	.33	.33	.33	.33
6°	0.32	0.37	0.33	0.30	0.32	1.94	.49	.16	0.32	1.94	.49	.16	0.32	.97	.33	.10
5°	0.95	.33	.14	.13	0.95	.65	.25	.23	0.95	.65	.25	.23	0.95	.33	.14	.13
4°	0.95	.33	.14	.13	0.95	.65	.25	.23	0.95	.65	.25	.23	0.95	.33	.14	.13
3°	0.95	.33	.14	.13	0.95	.65	.25	.23	0.95	.65	.25	.23	0.95	.33	.14	.13
2°	1.14	.27	.12	.14	1.14	.54	.21	.24	1.14	.54	.24	1.14	.24	.12	.12	.14
1°	1.14	.27	.34	.39	1.14	.54	.41	.47	1.14	.54	.41	.47	1.14	.27	.34	.39

PORTECO SECUNDARIO C-C

EJE : 1-1				EJE : 2-2				EJES : 3-3, 4-4, 5-5, 6-6, 7-7,				EJE : 8-8			
Kc	$\bar{K}$	a	D	Kc	$\bar{K}$	a	D	Kc	$\bar{K}$	a	D	Kc	$\bar{K}$	a	D
72	—	—	—	•32	•97	•33	•10	•32	1.94	•49	•16	•32	•97	•33	•10
62	•32	•97	•33	•10	•32	1.94	•49	•16	•32	1.94	•49	•16	•32	•97	•33
52	•95	•33	•14	•13	•95	•65	•25	•23	•95	•65	•25	•23	•95	•33	•14
42	•95	•33	•14	•13	•1.14	•54	•21	•24	1.14	•54	•21	•24	•95	•33	•14
32	•95	•33	•14	•13	•1.14	•54	•21	•24	1.14	•54	•21	•24	•95	•33	•14
22	1.14	•27	•12	•14	1.34	•46	•19	•25	1.34	•46	•19	•25	1.14	•27	•12
12	1.14	•27	•34	•39	1.34	•46	•39	•52	1.34	•46	•39	•52	1.14	•27	•34

PORTEICO SECUNDARIO D-D

NIVEL	EJE : 1-1				EJES: 2-2, 3-3, 6-6, 7-7				EJES: 4-4, 5-5				EJE : 8-8			
	Kc	$\bar{K}$	a	D	Kc	$\bar{K}$	a	D	Kc	$\bar{K}$	a	D	Kc	$\bar{K}$	a	D
72	—	—	—	—	•32	•97	•33	•10	•24	1•79	•47	•11	•32	•97	•33	•10
62	•32	•97	•33	•10	•32	1•94	•49	•16	•24	1•79	•47	•11	•32	•97	•33	•10
52	•95	•33	•14	•13	•95	•65	•25	•23	•24	1•79	•47	•11	•95	•33	•14	•13
42	•95	•33	•14	•13	•95	•65	•25	•23	•24	1•79	•47	•11	•95	•33	•14	•13
32	•95	•33	•14	•13	•95	•65	•25	•23	•24	1•79	•47	•11	•95	•33	•14	•13
22	1•14	•27	•12	•14	1•14	•54	•21	•24	•24	1•79	•47	•11	1•14	•27	•12	•14
12	1•14	•27	•34	•39	1•14	•54	•41	•47	•24	1•29	•54	•13	1•14	•27	•34	•39

#### 4.42 VALORES INICIALES "D" PARA PLACAS

Para calcular el valor inicial "D" de las placas se supone que existe articulaciones en la zona de entrega de vigas a placas ( solo se transmite cortante). Luego las placas se comportan como elementos aislados sometidos a cargas horizontales y se analizan como libre volteo. Estos valores "D" posteriormente serán corregidos, para tomar en cuenta la interacción entre placa y pórticos.

##### 4.42.10 METODO ITERATIVO PARA CALCULAR EL VALOR INICIAL "D" PARA PLACAS

El factor "D" está dado por la siguiente expresión:

$$D = \frac{V}{f(\delta_{Bn} + \delta_{Sn} + \delta_{\phi})}$$

donde:

V= fuerza cortante.

$\delta_{Bn}$ = deformación por flexión

$\delta_{Sn}$ = deformación por corte.

$\delta_{\phi}$  = deformación por rotación de la cimentación ( para suelos blandos)

En síntesis el método consiste en lo siguiente:

- 1.- Se asume un valor del cortante V y se encuentran las deformaciones mediante las relaciones siguientes:

$$\delta_{Sn} = \frac{R \cdot Vn}{A} \cdot \frac{27.6 \cdot Kc}{h} \beta = \Delta_{Sn} \times \frac{27.6 \cdot Kc}{h} \beta$$

$$\delta_{Bn} = 4 \left[ \sum_{i=1}^{n-1} \frac{M_i}{K_i} + \frac{1}{2} \frac{M_n}{K_n} \right] \cdot \frac{3}{h} = 4 \Delta_{Bn} \times \frac{3}{h}$$

$$\delta_{\phi} = 0$$

- 2.- Una vez calculadas las deformaciones, se calcula D y se distribuye la fuerza cortante total, proporcional a estos valores, se compara en cada elemento y en cada nivel, el cortante asumido con el distribuido, hasta que la diferencia sea mínima.

En las fórmulas anteriores:

$\beta$ = Coeficiente de deformación plástica del concreto (Varía de 1 a 4), en el rango elástico se toma,  $B=1$

R= Coeficiente de forma, R= 1.2 para secciones rectangulares.

A= Área de la sección en el piso considerado.

3er Los cálculos se disponen en forma práctica en cuadros tal como le muestramos a continuación:

donde:

n= número de pisos.

h= altura del piso en cm.

A= área de la sección en  $\text{cm}^2$

K= rigidez en  $\text{cm}^3$

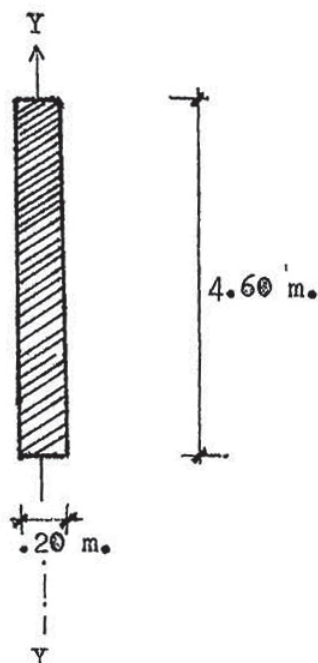
$K_n$ = rigidez relativa.

V= fuerza certante en Ton.

4.43 ANALISIS SISMICO DE PLACAS SEGUN LA DIRECCION PRINCIPAL(EJE Y-Y)

Para nuestro estudio, hacemos el cálculo para la placa 4, que es similar a la placa del eje 5-5; además consideraremos la placa 4<sup>a</sup>

1.- PLACA 4 PRIMERA ITERACION



Momento de Inercia

$$I = \frac{1}{12} b h^3$$

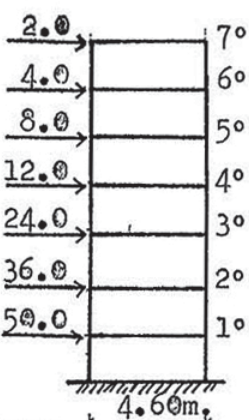
$$I = \frac{1}{12}$$

$$I = \frac{1}{12} (20) (460)^3 = 16.22 \times 10^7 \text{ cm}^4$$

$$A = 20 \text{ cm} \times 460 \text{ cm} = 9200 \text{ cm}^2$$

N	h (cm)	A ( $\times 10^3$ ) ( $\text{cm}^2$ )	I ( $\times 10^7$ ) $\text{cm}^4$	I/h=K ( $\times 10^5$ ) ( $\text{cm}^3$ )	K <sub>0</sub> ( $\times 10^3$ )	K <sub>n</sub> = K/K <sub>0</sub> ( $\text{cm}^3$ )
7	280	9.20	16.22	5.79	1.0	579
6	280	9.20	16.22	5.79	1.0	579
5	280	9.20	16.22	5.79	1.0	579
4	280	9.20	16.22	5.79	1.0	579
3	280	9.20	16.22	5.79	1.0	579
2	280	9.20	16.22	5.79	1.0	579
1	280	9.20	16.22	5.79	1.0	579

Suponemos que la placa toma los cortantes mostrados en el siguiente diagrama:



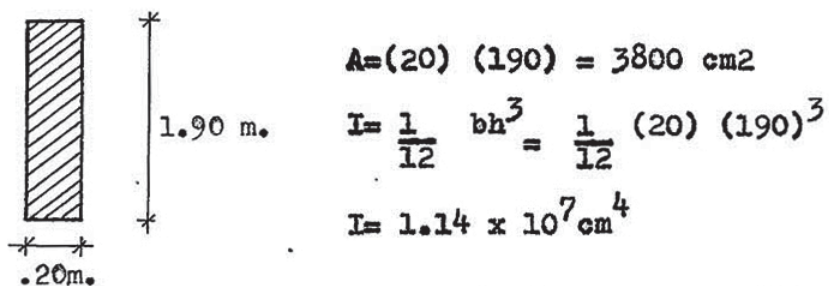
N	(ton)	A (x10 <sup>3</sup> )	R	$\Delta S_n$ (x10 <sup>-3</sup> )	$27.6 K_o \beta / h$	$\delta S_n$
7	2.0	9.20	1.20	.261	98.57	0.026
6	4.0	9.20	1.20	.522	98.57	0.051
5	8.0	9.20	1.20	1.043	98.57	0.103
4	12.0	9.20	1.20	1.565	98.57	0.154
3	24.0	9.20	1.20	3.130	98.57	0.309
2	36.0	9.20	1.20	4.696	98.57	0.463
1	50.0	9.20	1.20	6.522	98.57	0.643

N	V <sub>h</sub> (x10 <sup>2</sup> )	M' <sub>n</sub> (x10 <sup>2</sup> ) (x10 <sup>2</sup> )	2Mn Kn	$\frac{2Mn}{Kn}$	4ΔBn	3/h	$\delta B_n$
7	5.60 → 5.60	5.60	579	0.97 → 486.49	0.0107	5.212	
6	11.20 → 16.80 → 22.40	579	3.87 → 481.65	0.0107	5.161		
5	22.40 → 39.20 → 56.00	579	9.67 → 468.11	0.0107	5.015		
4	33.60 → 72.80 → 112.00	579	19.34 → 439.10	0.0107	4.705		
3	67.20 → 140.00 → 212.80	579	36.75 → 383.01	0.0107	4.104		
2	100.80 → 240.80 → 380.80	579	65.77 → 280.49	0.0107	3.005		
1	140.00 → 380.80 → 621.6	579	107.36 → 107.36	0.0107	1.150		

N	V	$\delta_{Sn}$	$\delta_{Bn}$	$\delta_{Wn} = \delta_{Sn} + \delta_{Bn}$	Dplaca
7	2.0	0.026	5.212	5.238	0.382
6	4.0	0.051	5.161	5.212	0.767
5	8.0	0.103	5.015	5.118	1.563
4	12.0	0.154	4.705	4.899	2.470
3	24.0	0.309	4.104	4.413	5.438
2	36.0	0.463	3.005	3.468	10.381
1	50.0	0.643	1.150	1.793	27.885

2.- PLACA 4º PRIMERA ITERACION



N	h (cm)	$A(x10^3)$ (cm <sup>2</sup> )	$I \times 10^7$ (cm <sup>4</sup> )	$I/h = K$ (cm <sup>3</sup> )	$K_o$ ( $x10^3$ )	$K_n = K/K_o$ (cm <sup>3</sup> )
7	280	3.80	1.14	0.41	1.0	41
6	280	3.80	1.14	0.41	1.0	41
5	280	3.80	1.14	0.41	1.0	41
4	280	3.80	1.14	0.41	1.0	41
3	280	3.80	1.14	0.41	1.0	41
2	280	3.80	1.14	0.41	1.0	41
1	280	3.80	1.14	0.41	1.0	41

N	V (ton.)	A ( $\times 10^3$ )	R	$\Delta Sn(\times 10^{-3})$	$27.6Ko \beta/h$	$\int Sn$		
7	1.0	3.8	1.2	0.316	98.57	0.031		
6	2.0	3.8	1.2	0.632	98.57	0.062		
5	4.0	3.8	1.2	1.263	98.57	0.124		
4	7.0	3.8	1.2	2.211	98.57	0.218		
3	11.0	3.8	1.2	3.474	98.57	0.342		
2	16.0	3.8	1.2	5.053	98.57	0.498		
1	22.0	3.8	1.2	6.947	98.57	0.640		
N	$Vh^2$ ( $\times 10^2$ )	$M'n^2$ ( $\times 10^2$ )	$2Mn^2$ ( $\times 10^2$ )	Kn	$2\frac{Mn}{Kn}$	$4 Bn$	$3/h$	$\int Bn$
7	2.80	2.80	2.80	41	6.83	3339.5	0.01071	35.77
6	5.60	8.40	11.20	41	27.23	3305.35	0.01071	35.40
5	11.20	19.60	28.0	41	68.29	3209.74	0.01071	34.38
4	19.60	39.20	58.80	41	143.41	2998.04	0.01071	32.11
3	30.80	70.00	109.2	41	266.34	2588.29	0.01071	27.72
2	44.80	114.80	184.8	41	450.73	1871.22	0.01071	20.04
1	61.60	176.40	291.2	41	710.24	710.24	0.01071	7.61
N	V	$\int Sn$	$\int Bn$	$\int Wn = \int Sn + \int Bn$	$Dplc = V / \int Wn$			
7	1.0	0.031	35.77	35.801	0.028			
6	2.0	0.062	35.40	35.462	0.056			
5	4.0	0.124	34.38	34.504	0.116			
4	7.0	0.218	32.11	32.328	0.217			
3	11.0	0.342	27.72	28.062	0.392			
2	16.0	0.498	20.04	20.538	0.779			
1	22.0	0.640	7.61	8.25	2.667			

3.- COMPARACION Y DISTRIBUCION DE CORTANTES

N <sub>i</sub>	$\Sigma D_{por.}$	D <sub>p1.4</sub>	D <sub>p1.5</sub>	D <sub>p1.4'</sub>	$\Sigma D_{TOT.}$	V <sub>TOT.</sub>	V <sub>p1.4</sub>	V <sub>p1.5</sub>	V <sub>p1.4'</sub>
7	2.94	.382	.382	.028	3.732	50.24	5.14	5.14	0.38
6	4.24	.767	.767	.056	5.83	86.57	11.39	11.39	0.83
5	4.78	1.563	1.563	.116	8.022	117.72	22.93	22.93	1.70
4	5.54	2.47	2.47	.217	10.69	143.21	33.07	33.07	2.91
3	6.42	5.438	5.438	.392	17.68	162.40	49.93	49.93	3.60
2	9.56	10.38	10.38	.779	31.10	179.58	59.94	59.94	4.50
1	24.76	27.88	27.88	2.667	83.19	188.32	63.12	63.12	6.04

4.- SEGUNDA ITERACION PLACA <sup>4</sup> = PLACA 5

N	V (ton)	A ( $\times 10^3$ )	R	$\Delta S_n$ ( $\times 10^{-3}$ )	$27.6 K_0 \beta / h$	$d S_n$
7	5.14	9.20	1.2	.67	98.57	0.066
6	11.39	9.20	1.2	1.48	98.57	0.146
5	22.93	9.20	1.2	2.991	98.57	0.296
4	33.07	9.20	1.2	4.313	98.57	0.425
3	49.93	9.20	1.2	6.513	98.57	0.642
2	59.94	9.20	1.2	7.818	98.57	0.771
1	63.12	9.20	1.2	8.233	98.57	0.811

N	Vh (x10 <sup>2</sup> )	M <sup>n</sup> (x10 <sup>2</sup> )	2Mn (x10 <sup>2</sup> )	Kn	2Mn/Kn	4ΔBn	3/h	ΔBn
7	14.39	14.39	14.39	579	2.49	1083.21	0.0107	11.601
6	31.89	46.28	60.67	579	10.48	1070.24	0.0107	11.462
5	64.20	110.48	156.76	579	27.07	1032.69	0.0107	11.060
4	92.60	203.08	313.56	579	54.16	951.46	0.0107	10.190
3	139.8	342.88	545.96	579	94.29	803.01	0.0107	8.60
2	167.83	510.71	853.59	579	147.42	561.30	0.0107	6.011
1	176.74	687.45	1198.16	579	206.94	206.94	0.0107	2.216
N	V	ΔSn	ΔBn	ΔWn = ΔSn + ΔBn	Dpl. = V/ΔWn			
7	5.14	0.066	11.601	11.667	0.441			
6	11.39	0.146	11.462	11.608	0.981			
5	22.93	0.295	11.060	11.355	2.01			
4	33.07	0.425	10.190	10.615	3.118			
3	49.93	0.642	8.60	9.242	5.403			
2	59.94	0.771	6.011	6.782	8.838			
1	63.12	0.811	2.216	3.027	20.85			

5.- PLACA 4: SEGUNDA ITERACION

N	A (x10 <sup>3</sup> )	I (x10 <sup>7</sup> ) (cm <sup>4</sup> )	I/h=K(cm <sup>3</sup> ) (x10 <sup>5</sup> )	Ko (x10 <sup>3</sup> )	Kn = K/Ko (cm <sup>3</sup> )
	8	8	4	0.41	41
		8	4	0.41	41
		8	14	0.41	41
		8	14	0.41	41
	60	.8	1.14	0.41	41
4	0	8		0.41	41
4	8	1.14	0.41	1.0	41

N	V	$A_3$ ( $\times 10^3$ )	R	$\Delta S_{n_3}$ ( $\times 10^{-3}$ )	27.6 K o /h	$\delta S_n$
7	0.38	3.8	1.2	0.12	98.57	0.012
6	0.83	3.8	1.2	0.262	98.57	0.026
5	1.70	3.8	1.2	0.537	98.57	0.053
4	2.91	3.8	1.2	0.919	98.57	0.091
3	3.60	3.8	1.2	1.137	98.57	0.112
2	4.50	3.8	1.2	1.421	98.57	0.140
1	6.04	3.8	1.2	1.907	98.57	0.188
N	Vh	M <sup>+</sup> n	2Mn	Kn	2Mn/Kn	$4\Delta B_n$
7	1.064	1.064	1.064	41	2.60	1190.4
6	2.324	3.388	4.452	41	10.86	1176.94
5	4.76	8.148	11.536	41	28.14	1137.94
4	8.148	16.296	24.444	41	59.62	1050.18
3	10.08	26.376	46.672	41	104.08	886.48
2	12.60	38.976	65.352	41	159.40	623
1	16.912	55.888	94.864	41	231.38	231.38
N	V	$\delta S_n$	$\delta B_n$	$\delta W_n$	Dplac.	
7	0.38	0.012	12.749	12.761	0.029	
6	0.83	0.026	12.605	12.631	0.066	
5	1.70	0.053	12.187	12.217	0.139	
4	2.91	0.091	11.247	11.338	0.257	
3	3.60	0.112	9.494	9.606	0.375	
2	4.50	0.140	6.672	6.812	0.66	
1	6.04	0.188	2.478	2.666	2.266	

COMPARACION Y DISTRIBUCION DEL CORTANTE

NIVEL	$\Sigma D_{por.}$	Dpl. <sup>4</sup>	Dpl. <sup>5</sup>	Dpl. <sup>4†</sup>	$\Sigma D_{tot}$	Vtot	Vpl. <sup>4</sup>	Vpl. <sup>5</sup>	Vpl <sup>4†</sup>
7	2.94	.441	.441	0.029	3.851	50.24	5.75	5.75	0.378
6	4.24	.981	.981	0.066	6.268	86.57	12.81	12.81	0.862
5	4.78	2.01	2.01	0.139	8.939	117.72	26.47	26.47	1.83
4	5.54	3.118	3.118	0.257	12.033	143.21	37.11	37.11	3.38
3	6.42	5.403	5.403	0.375	17.601	162.40	49.85	49.85	3.46
2	9.56	8.838	8.838	0.660	27.896	179.58	56.89	56.89	4.25
1	24.76	20.85	20.85	2.266	68.726	188.32	57.13	57.13	6.21

7\*\* TERCERA ITERACION

Por un proceso análogo al anterior obtenemos para las placas:

PLACA 4 = PLACA 5

N	V	$\sqrt{S_n}$	$\sqrt{B_n}$	$\sqrt{W_n}$	Dpl = V/ $\sqrt{W_n}$
7	5.75	0.073	12.304	12.377	0.465
6	12.81	0.165	12.148	12.313	1.041
5	26.47	0.340	11.693	12.033	2.199
4	37.11	0.477	10.705	11.182	3.318
3	49.85	0.641	8.937	9.578	5.205
2	56.89	0.731	6.167	6.897	8.249
1	57.13	0.734	2.252	2.986	19.13

PLACA 4†

N	V	$\sqrt{S_n}$	$\sqrt{B_n}$	$\sqrt{W_n}$	Dpl = V/ $\sqrt{W_n}$
7	.378	0.011	13.23	13.241	0.028
6	.862	0.027	13.09	13.117	0.065
5	1.83	0.057	12.66	12.717	0.143
4	3.38	0.105	11.65	11.755	0.287
3	3.46	0.108	9.76	9.868	0.351
2	4.25	0.132	6.81	6.942	0.612
1	6.21	0.193	2.52	2.713	2.99

COMPARACION Y DISTRIBUCION DEL CORTANTE

N	$\Sigma D_{por.}$	Dpl.4	Dpl.5	Dpl4'	$\Sigma D_{tot}$	Vtot.	Vpl.4	Vpl.5	Vpl.4'
7	2.94	.465	.465	.028	3.898	50.24	5.99	5.99	.36
6	4.24	1.040	1.040	.065	6.385	86.57	14.10	14.10	.881
5	4.78	2.199	2.199	.143	9.321	117.72	27.77	27.77	1.806
4	5.54	3.318	3.318	.287	12.463	143.21	78.13	38.13	3.30
3	6.42	5.205	5.205	.351	17.181	162.40	49.20	49.20	3.32
2	9.56	8.249	8.249	.612	26.67	179.58	55.54	55.54	4.12
1	24.76	19.13	19.13	2.29	65.31	188.32	55.61	55.61	6.60

Área de la sección = 9200 cm<sup>2</sup> (placa 4)

Corte máximo que toma el concreto:

$$(9200) (1.1 \times 0.85 \times 0.5) \sqrt{210} = 62.33 \text{ Ton.}$$

Corte máximo actuante en placas 4 y 5:

$$55.61 \text{ ton} < 62.33 \text{ Ton. ; bien !}$$

Aceptamos que los valores D y los cortantes de la tercera iteración son los correctos ya que no difieren notablemente de los valores encontrados en la segunda iteración.

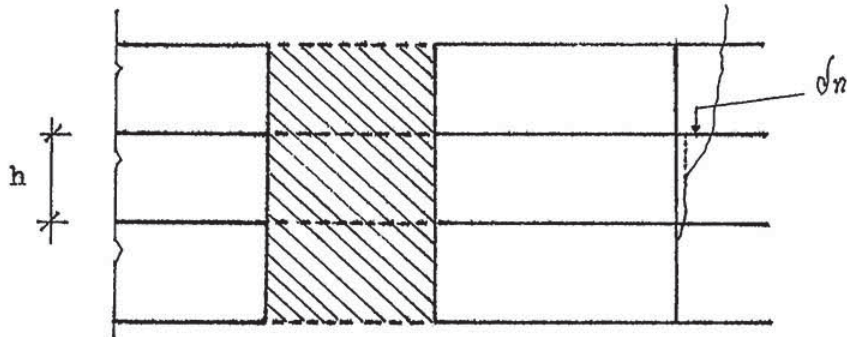
#### 4.43 CALCULO DE LOS VALORES FINALES D

- Para hallar los valores iniciales D, hemos considerado como si la placa estuviese en voladizo. Para el cálculo de los valores finales D, debemos considerar el llamado "Efecto Límite"; es decir que debe considerarse el efecto de la interacción entre placa y viga en los pérteces vecinos a la placa. Este efecto tiende a voltear la placa en la dirección opuesta a la fuerza sísmica.
- Para calcular la interacción entre placa y pértece vecino se aplica un método iterativo que se muestra a continuación:
  - 1.- Se supone la continuidad de las deformaciones de muros y pérteces. Las

deformaciones se calculan con las siguientes fórmulas:

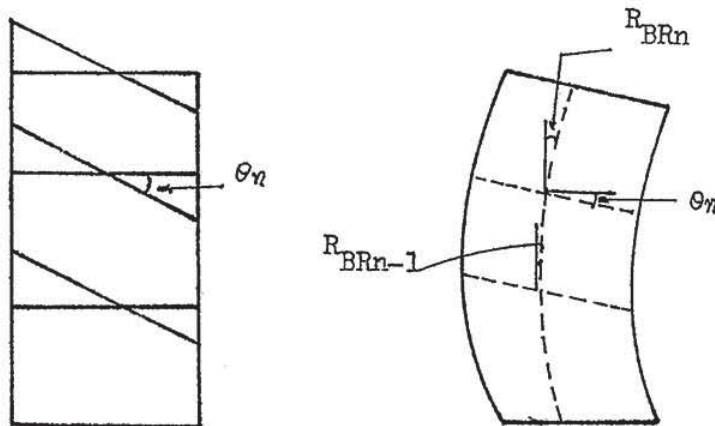
- Retención de columna:

$$R_c = \frac{\delta_n}{h} = \left( \frac{V}{D} \right) \times \frac{h}{2}$$



- Retención de la pared:

$$\theta_n = \frac{R_{BRn} + R_{Bn} - 1}{2}$$



dónde:

$$R_{BRn} = R_C - R_{Sn} = R_c - \frac{\delta_n}{h} \times \frac{h}{2}$$

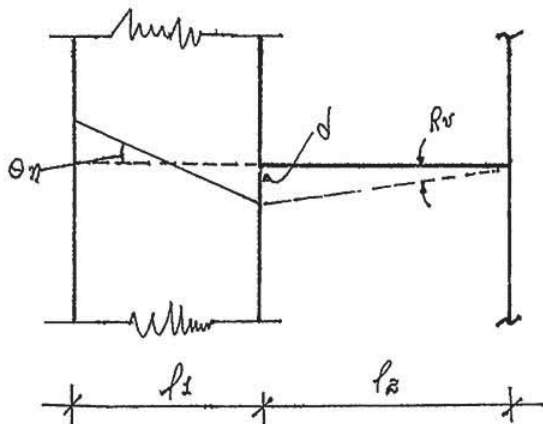
$R_{BRn}$  = Retención debida a la deformación por flexión.

$R_{Sn}$  = Retención debida a la deformación por corte.

ión de la viga adyacente a la placa:

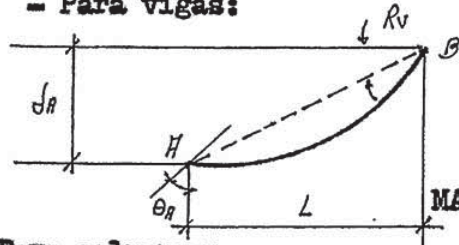
$$RV = -(\theta_m/2) \times (L_1/L_2)$$

$$RV = \frac{f}{L_2}$$



2.- Calculamos los momentos en los extremos debido a las deformaciones anteriores con las siguientes fórmulas:

- Para vigas:



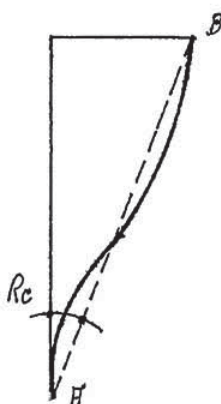
$\theta_A$  = rotación de la pared.

$RV$  = rotación de la viga

$\theta_B = 0$

$$MAB = (kv/3) (2 \theta_A + 3 RV); MBA = (kv/3)(\theta_A + 3 RV)$$

- Para columnas:



$\theta_A = \theta_B = 0$

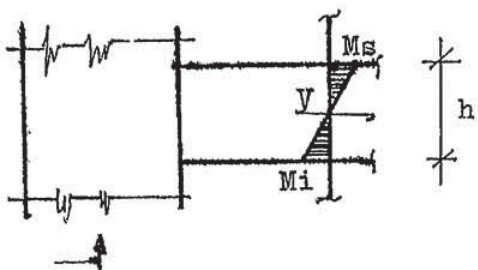
$$MAB = MBA = K_c R_c$$

$K_v$  = rigidez relativa de viga.

$K_c$  = rigidez relativa de columna.

3.- A continuación se distribuyen los momentos.

4.- Se calculan los valores D de las columnas adyacentes a las placas.



$$V = (M_s + M_i) / h$$

$$D = V/\delta = -(M_s + M_i)/2 R_c$$

PLACA

5.- Determinación de la viga y cálculo del momento debido al efecto límite.

6.- Obtenemos nuevos valores D y comparamos certantes.

7.- Continuamos con un nuevo ciclo de iteración, hasta que convenga.

#### 4.44 CICLOS ITERATIVOS PARA CALCULAR LA INTERACCION DEL PORTICO

##### 4-4 CON LA PLACA 4.-

##### - PRIMERA INTERACCION.-

N	V	1/DWu	h/2	Rc	$\delta_{Sn}$	RSn	RBRn	$\Theta_n$	Rv
7	5.99	1/.465	140	1803.44	0.073	10.22	1793.22	1793.22	-785.6
6	14.10	1/1.040	140	1898.07	0.165	23.10	1874.97	1834.09	-803.5
5	27.77	1/2.199	140	1767.99	0.340	47.60	1720.38	1797.7	-787.5
4	38.13	1/3.318	140	1608.86	0.477	66.78	1542.08	1631.2	-714.6
3	49.20	1/5.205	140	1323.34	0.641	89.74	1233.60	1387.8	-608.0
2	55.54	1/8.249	140	942.61	0.731	102.34	840.27	1036.9	-454.2
1	55.61	1/19.13	140	406.97	0.734	102.76	304.21	572.2	-250.7

En el cuadro anterior:

V, DWu, se obtienen del cuadro de comparación y distribución del certante  
(tercera iteración para D iniciales)

$\delta_{Sn}$ : deformación por certe, también de la tercera iteración.

ROTACIONES

	Re	Rv	θn	7°
	1803.44 ←	-785.60	1793.22	
	1898.07 ←	-803.51	1834.09	6°
	1767.99 ←	-787.56	1797.68	5°
	1608.86 ←	-714.63	1631.23	4°
	1323.34 ←	-608	1387.84	3°
	942.61 ←	-454.20	1036.94	2°
	406.97 ←	-250.69	572.24	1°
		L <sub>1</sub> = 5.25 m.	L <sub>2</sub> = 4.60 m.	
A	B	C	D	

2.- MOMENTOS DE EMPOTRAMIENTO PERFECTO DEBIDO A LA DEFORMACION

a) En vigas :

Las fórmulas a emplearse son :

$$MDC = \frac{kv}{3} (2\theta_e - 3(-Rv)) = \frac{kv}{3} (2\theta_e + 3Rv)$$

$$MCD = \frac{kv}{3} (\theta_e - 3(-Rv)) = \frac{kv}{3} (\theta_e + 3Rv)$$

Entonces los momentos para los distintos niveles serán :

NIVEL AZOTEA (7°)

$$MDC = \frac{kv}{3} (2\theta_e + 3Rv) = .43/3 \cdot 2(1793.22) + 3(785.6) = 851 \text{ Tn-cm.}$$

$$MCD = \frac{kv}{3} (\theta_e + 3Rv) = .43/3 \cdot 1793.22 + 3(785.60) = 594 \text{ Tn-cm.}$$

NIVEL 6°

$$MDC = \frac{kv}{3} (2\theta_e + 3Rv) = .43/3 \cdot 2(1834.09) + 3(803.51) = 871 \text{ Tn-cm.}$$

$$MCD = \frac{kv}{3} (\theta_e + 3Rv) = .43/3 \cdot 1834.09 + 3(803.51) = 608 \text{ Tn-cm.}$$

NIVEL 5°

$$MDC = \frac{43}{3} [2(1797.68) + 3(787.56)] = 853 \text{ Tn-cm.}$$

$$MCD = \frac{43}{3} [1797.68 + 3(787.56)] = 596 \text{ Tn-cm.}$$

NIVEL 4°

$$MDC = \frac{43}{3} [2(1631.23) + 3(714.63)] = 774 \text{ Tn-cm.}$$

$$MCD = \frac{43}{3} [1631.23 + 3(714.63)] = 541 \text{ Tn-cm.}$$

NIVEL 3°

$$MDC = \frac{43}{3} [2(1387.84) + 3(608)] = 659 \text{ Tn-cm.}$$

$$MCD = \frac{43}{3} [1387.84 + 3(608)] = 460 \text{ Tn-cm.}$$

NIVEL 2°

$$MDC = \frac{43}{3} [2(1036.94) + 3(454.2)] = 492.5 \text{ Tn-cm.}$$

$$MCD = \frac{43}{3} [1036.94 + 3(454.2)] = 343.9 \text{ Tn-cm.}$$

NIVEL 1°

$$MDC = \frac{43}{3} [2(572.24) + 3(250.69)] = 271 \text{ Tn-cm.}$$

$$MCD = \frac{43}{3} [572.24 + 3(250.69)] = 189 \text{ Tn-cm.}$$

Nuestra unidad para determinar las rotaciones normalizadas será: 6 E K o R c =

$$1803.44$$

Por lo tanto los momentos a usarse en vigas serán:

M. viga \ NIVEL	7°	6°	5°	4°	3°	2°	1°
MDC/1803.4	0.47	0.48	0.47	0.43	0.37	0.27	0.15
MCD/1803.4	0.33	0.34	0.33	0.30	0.26	0.19	0.10

columnas:

Momento en la columna será :

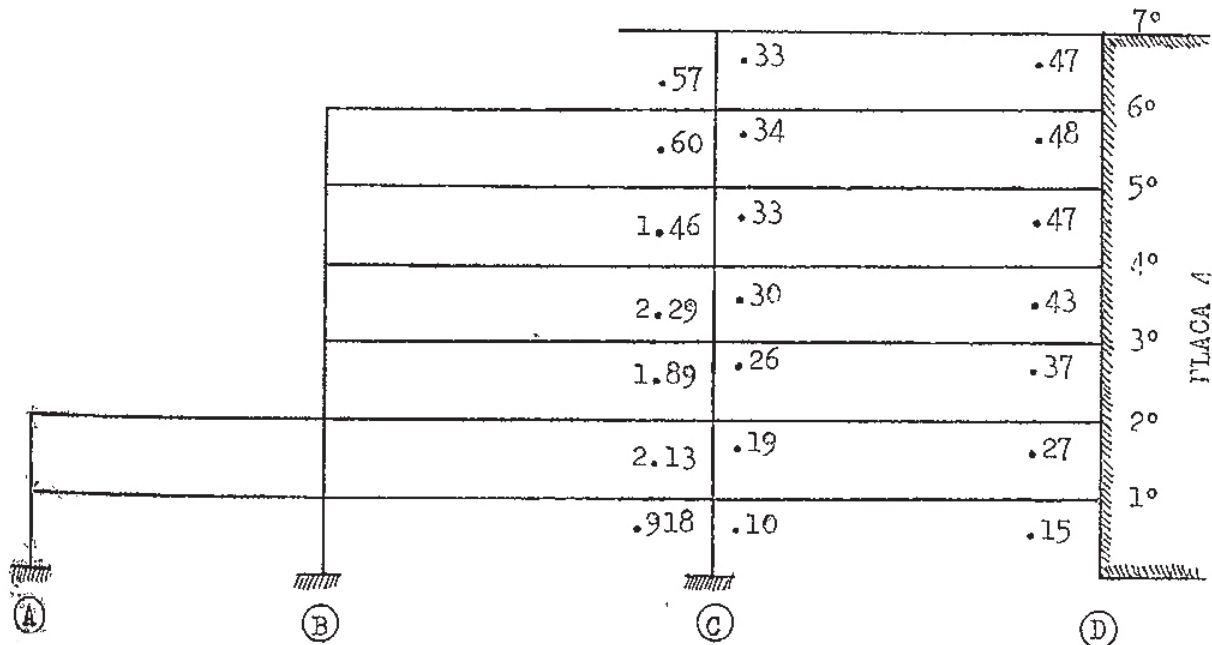
$M_{col.} = \text{Momento superior} = \text{Momento inferior} = K_c R_c$ .

Retención normalizada:  $6 E K_o R_c = 1803.44$

Entonces:  $M_{col.} = K_c R_c / 1803.44$

PISO $M_{col.}$	7°	6°	5°	4°	3°	2°	1°
$K_c$	.57	.57	1.49	2.57	2.57	4.08	4.08
$C_n = R_c / 1803.44$	1.0	1.052	0.98	0.892	0.734	0.523	0.225
$M_{col.} = K_c C_n$	0.57	0.60	1.46	2.29	1.89	2.13	0.918

MOMENTOS DE EMPOTRAMIENTO FIJO:



3.- DISTRIBUCION DE MOMENTOS:

Coeficientes de distribución:

Ya que el efecto límite se produce para la columna "contigua" a la placa, columnas del eje C tendremos que:

•;

•43

$$C_v = .43 / 1.0 = .43$$

$$C_c = .57 / 1.0 = .57$$

•1.00

Nudo 6°:

kvi = .43  
kvd = .43  
kes = .57  
kci = .57  
 $\Sigma K = 2.00$

Cvi = .43/2.00 = .21  
Cvd = .43/2.00 = .21  
Ccs = .57/2.00 = .29  
Cci = .57/2.00 = .29

Nudo 5°

kvi = .43  
kvd = .43  
kes = .57  
kci = 1.49  
 $\Sigma K = 2.92$

Cvi = .43/2.92 = .15  
Cvd = .43/2.92 = .15  
Ccs = .57/2.92 = .19  
Cci = 1.49/2.92 = .51

Nudo 4°

kvi = .43  
kvd = .43  
kes = 1.49  
= 2  
 $\Sigma K = 4.92$

Cvi = .43/4.92 = 0.09  
Cvd = .43/4.92 = 0.09  
Ccs = 1.49/4.92 = 0.30  
Cci = 2.57/4.92 = 0.52

Nudo 3°

kvi = .43  
kvd = .43  
kes = 2.57  
= 6.0  
 $\Sigma K = 6.0$

Cvi = .43/6.0 = 0.07  
Cvd = 2.53/6.0 = 0.07  
Ccs = 2.57/6.0 = .43  
Cci = 2.57/6.0 = .43.

Nudo 2°

kvi = .43  
kvd = .43  
kes = 2.57  
 $\Sigma K = 7.51$

Cvi = .43/7.51 = 0.06  
Cvd = .43/7.51 = 0.06  
Ccs = 2.57/7.51 = 0.34  
Cci = 4.08/7.51 = 0.54

Nudo 1°

kvi = .43  
kvd = .43  
kes = 4.08  
 $\Sigma K = 9.02$

Cvi = .43/9.02 = .05  
Cvd = .43/9.02 = .05  
Ccs = 4.08/9.02 = .45  
Cci = 4.08/9.02 = .45

DISTRIBUYENDO LOS MOMENTOS :

Cvi	Ces	Cei	Cvd	
0.00		.57	.43	
		-0.57	+0.33	+0.47
		+0.14	+0.10	+0.05
		<u>-0.43</u>	<u>+0.43</u>	<u>+0.52</u>
.21	.29	.21	.29	
		-0.57	-0.60	+0.48
		+0.24	+0.24	+0.08
		<u>-0.33</u>	<u>-0.36</u>	<u>+0.56</u>
.15	.19	.51	.15	
		-0.60	-1.46	+0.47
		+0.33	+0.88	+0.15
		<u>-0.27</u>	<u>-0.58</u>	<u>+0.62</u>
.09	.30	.52	.09	
		-1.46	-2.29	+0.43
		+1.04	+1.79	+0.16
		<u>-0.42</u>		<u>+0.59</u>
.07	.43	.43	.07	
		-2.29	-1.89	+0.37
		+1.69	+1.69	+0.14
		<u>-0.60</u>	<u>-0.20</u>	<u>+0.51</u>
.06	.34	.54	.06	
		-1.89	-2.13	+0.27
		+1.30	+2.07	+0.12
		<u>-0.59</u>	<u>-0.06</u>	<u>+0.39</u>
.05	.45	.45	.05	
		-2.13	-0.918	+0.15
		+1.33	+1.33	+0.07
		<u>-0.80</u>	<u>+0.41</u>	<u>+0.22</u>

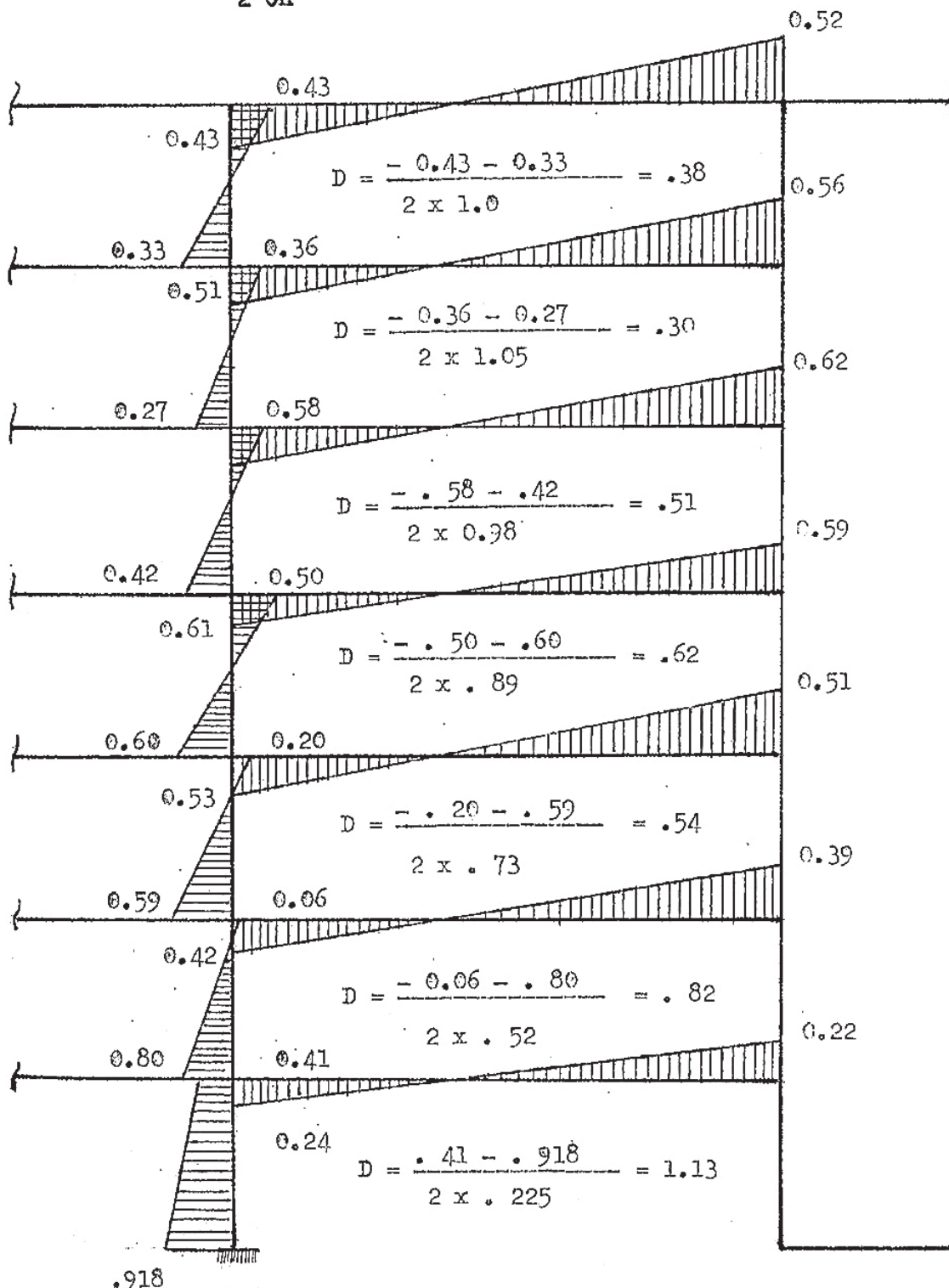
(C)

(D)

NOTA.— Se le hace un solo círculo de distribución de Momentos, ya que el método da errores hasta del 15 %, por lo que es innecesario demasiado refinamiento.

4.- VALORES "D" PARA COLUMNA ADYACENTE A LA PLACA 4

$$D = \frac{(M_s + M_i)}{2 C_n}$$



(C)

(D)

5.- CALCULO DE LOS FACTORES "D" PARA COLUMNAS CORREGIDOS

PILOS	D (INICIALES)			D (CORREGIDOS)		
	TOTAL ELEMENTOS	DEL	ELEMENTOS	DEL	ELEMENTOS	DEL
	PORTICO 4	PORTICO 5	PORTICO 4	PORTICO 5	PORTICO 5	Σ D <sub>C</sub>
Σ D <sub>i</sub>	D <sub>i4</sub>	D <sub>i5</sub>	D <sub>c4</sub>	D <sub>c5</sub>	D <sub>c5</sub>	Σ D <sub>C</sub>
7 2.94	.16	.16	.38	.38	.38	3.40
6 4.24	.25	.25	.30	.30	.30	4.34
5 4.78	.33	.33	.50	.50	.50	5.12
4 5.54	.37	.37	.62	.62	.62	6.04
3 6.42	.37	.37	.54	.54	.54	6.76
2 9.56	.39	.39	.82	.82	.82	10.42
1 24.76	1.31	1.31	1.13	1.13	1.13	24.40

D<sub>ik</sub> = D inicial decolumna

D<sub>C</sub> = D corregido de columna

$$\Sigma D_C = (\Sigma D_i - D_{i4} - D_{i5}) + D_{c4} + D_{c5}$$

DISTRIBUCION DEL CORTANTE

N	$\Sigma Dc$	Dpl.	$4^*$	D placa C (p14 + p15)	$\Sigma D$	V total	V portico	V placa 4*	V placas (p14 + p15)	V p14	V p15
7	3.40	.028	.930	4.358	50.24	39.20	.32	10.72	5.360		
6	4.34	.065	2.080	6.485	86.57	57.94	.87	27.77	13.850		
5	5.12	.143	4.398	9.661	117.72	62.39	1.74	53.59	26.695		
4	6.04	.287	6.636	12.963	143.21	66.73	3.17	73.31	36.655		
3	6.76	.351	10.410	17.521	162.40	62.66	3.25	96.49	48.245		
2	10.42	.612	16.498	27.530	179.58	67.97	3.99	107.62	53.81		
1	24.40	2.29	38.260	64.950	188.32	70.75	6.64	110.93	55.46		

DISTRIBUCION DEL CORTANTE

CONTINUA

		$7^{\circ}$
	$D = .38$ $V = 4.38$ $Vh = 12.26$ $m = 16.137$	$D = .465$ $V = 5.36$
	$D = .30$ $V = 4.01$ $Vh = 11.228$ $m = 17.822$	$6^{\circ}$ $D = 1.04$ $V = 13.85$
	$D = .50$ $V = 6.09$ $Vh = 17.052$ $m = 17.052$	$5^{\circ}$ $D = 2.19$ $V = 26.69$
	$D = .62$ $V = 6.85$ $Vh = 19.18$ $m = 17.44$	$4^{\circ}$ $D = 3.31$ $V = 36.65$
	$D = .54$ $V = 5.01$ $Vh = 14.02$ $m = 17.757$	$3^{\circ}$ $D = 5.20$ $V = 48.24$
	$D = .82$ $V = 5.35$ $Vh = 14.98$ $m = 17.419$	$2^{\circ}$ $D = 8.25$ $V = 53.81$
	$D = 1.13$ $V = 3.28$ $Vh = 9.18$ $m = 18.08$	$1^{\circ}$ $D = 19.13$ $V = 55.46$

donde :  $V = \frac{(V_{\text{port.}} \times D_c)}{\sum D_c}$

$$\sum D_c$$

$$m = e = \frac{Vh}{M_s + M_i}$$

MOMENTOS FINALES EN LOS EXTREMOS DE VIGAS Y COLUMNAS

N	MOMENTOS EN COLUMNAS ADYACENTES				MOMENTOS EN VIGAS: $M_{ij} = \frac{(M_B + M_t) + (M_{ik} + M_{jk})}{2}$				$M_{ij}$				
	$c=m$	$M_B$	$M_t$	$M_B' = cM_t$	$M_t = cM_t$	$M_B + M_t$	$M_{DC}$	$M_{GD}$	$M_{CB}$	$M_{CD} + M_{CB}$	$M_{DC}$	$M_{GD}$	$M_{CB}$
7	16.137	—	•43	—	—	6.94	6.94	0.52	0.43	0.43	8.391	6.94	—
6	17.822	•33	•36	5.88	6.42	12.30	0.56	0.51	0.17	0.68	9.980	9.225	3.075
5	17.052	•27	•58	4.60	9.89	14.49	0.62	0.63	0.30	0.93	10.572	9.816	4.674
4	17.440	•42	•50	7.32	8.72	16.04	0.59	0.61	0.31	0.92	10.290	10.635	5.405
3	17.757	•60	•20	10.65	3.50	14.15	0.51	0.53	0.27	0.80	9.056	9.374	4.776
2	17.419	•59	0.06	10.28	1.05	11.33	0.39	0.42	0.23	0.65	6.793	7.321	4.009
1	18.080	•80	0.41	14.46	7.41	7.05	0.22	0.24	0.14	0.38	3.978	4.453	2.597
			•918										

$$M_{DC} = cM_{DC}$$

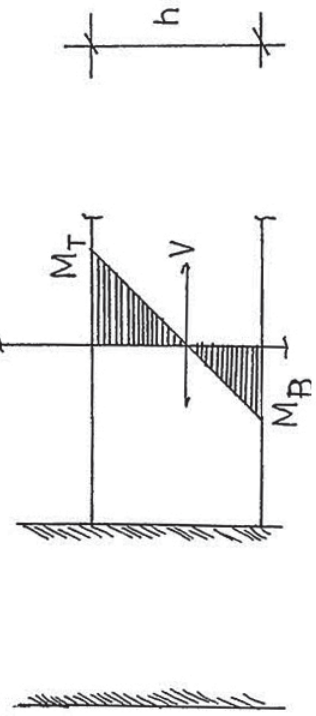


DIAGRAMA DE MOMENTOS EN COLUMNAS

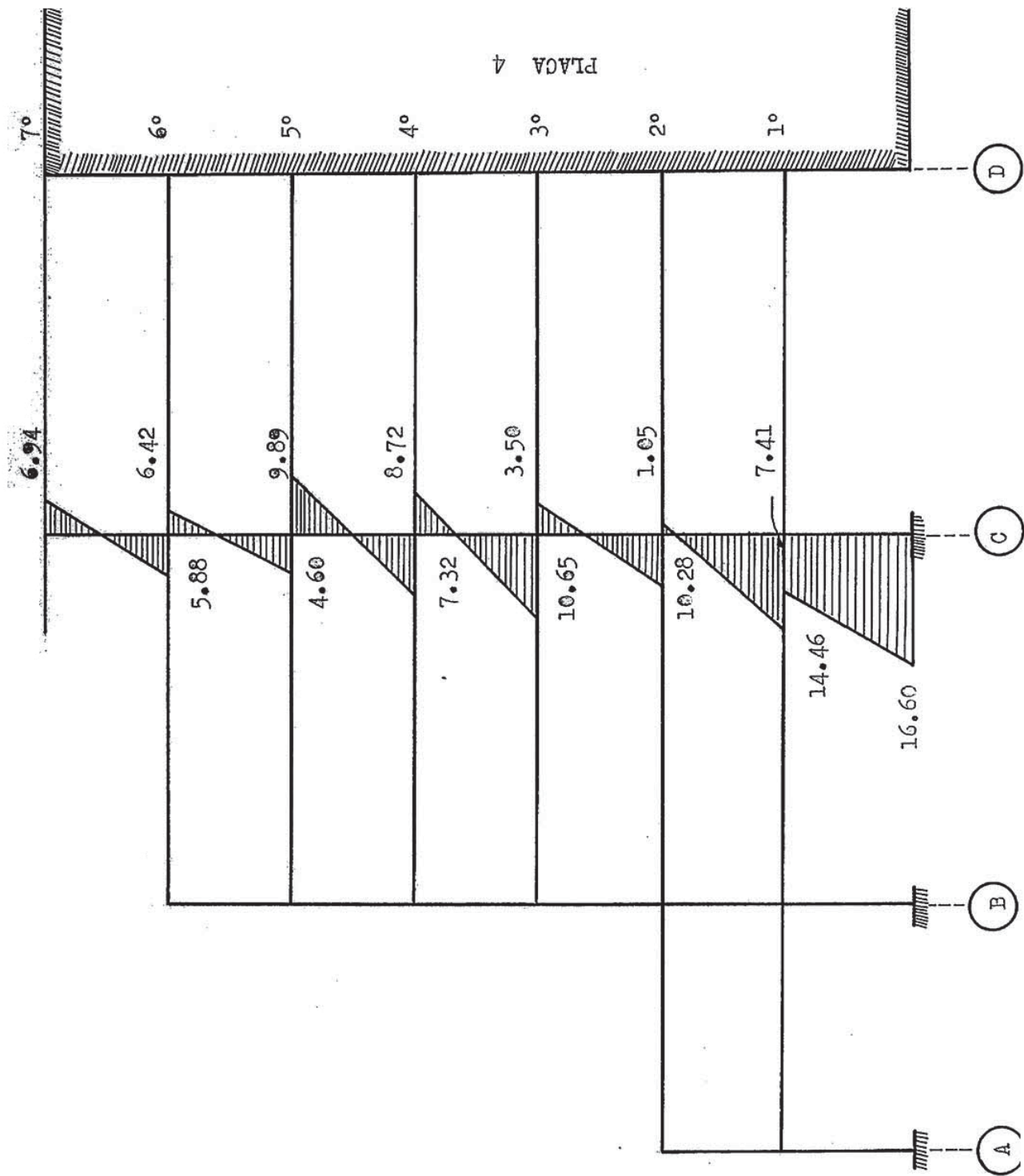
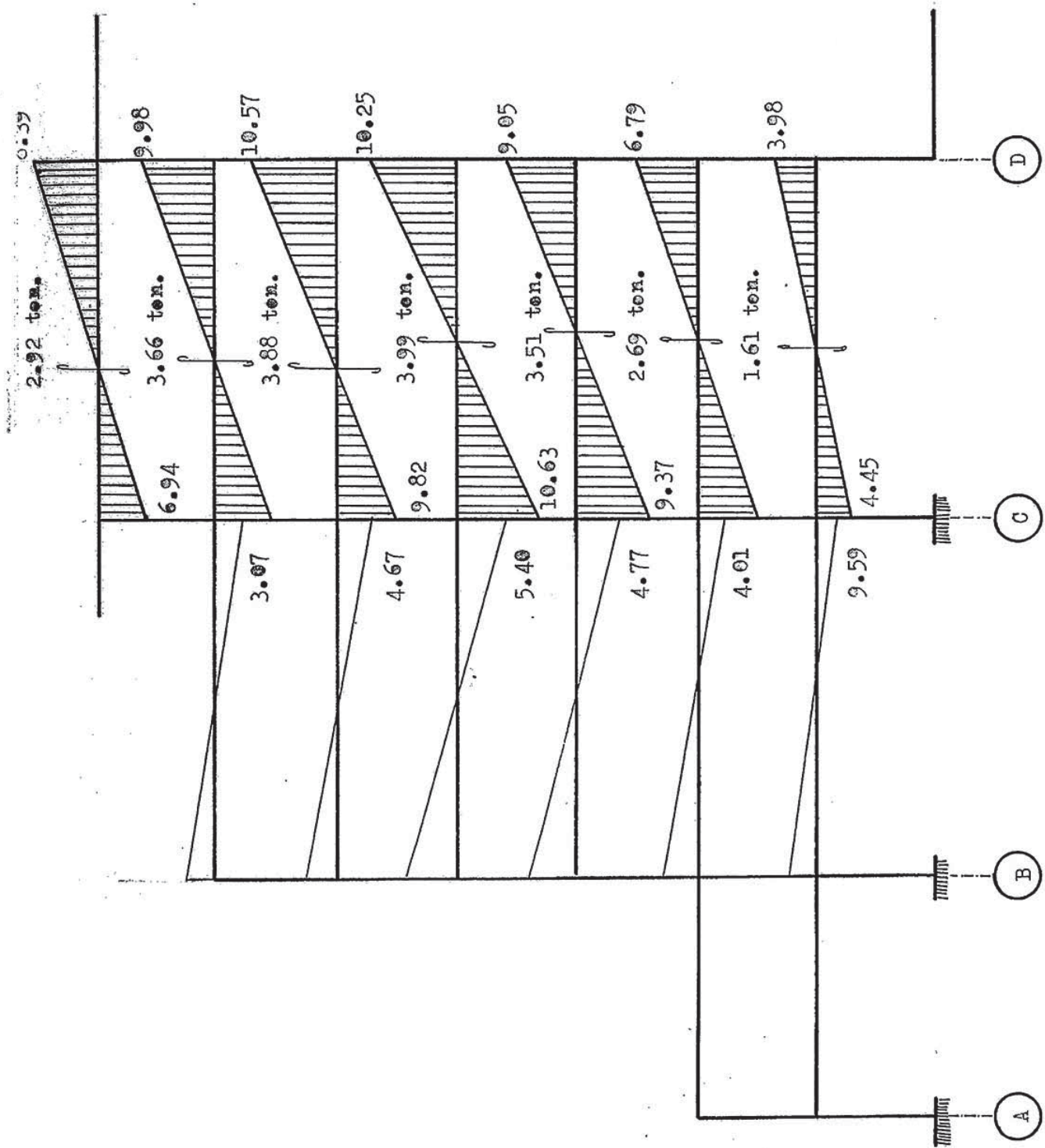
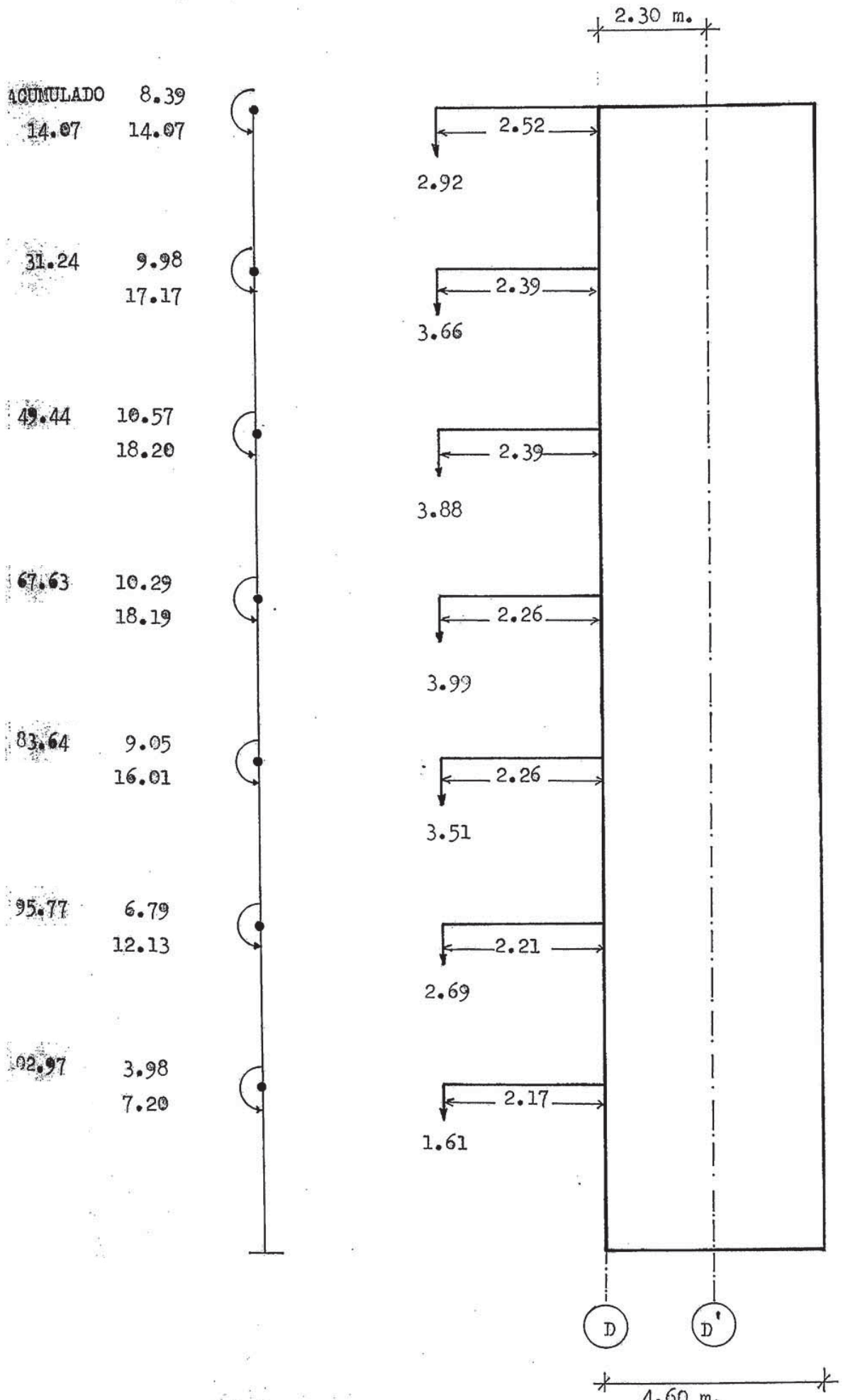


DIAGRAMA DE MOMENTOS EN VIGAS



MOMENTOS MAXIMOS ACUMULADOS EN PLACA 4 o 5



CHEQUEO DE LOS VALORES "D"

CON INTERACCION

MOMENTO CORRECTOR PLAGA 4

N	$2Mn \times 10^2$	K	$2Mn/K$	$4\Delta M_2$	$4\Delta M_1$	$4\Delta M$	$\int^t B_n$	$\int^t t$	V	Dpl.	Dvol.
7	28.14	579	4.86	$\rightarrow 302.41$	1148.86	846.45	9.065	9.13	5.36	587	465
6	62.48	579	10.79	$\rightarrow 286.76$	1134.32	847.56	9.077	9.24	13.85	1.49	1.04
5	98.88	579	17.08	$\nearrow \rightarrow 258.89$	1091.81	832.92	8.921	9.26	26.69	2.88	2.19
4	135.26	579	23.36	$\nearrow \rightarrow 218.44$	999.56	781.12	8.366	8.84	36.65	4.14	3.31
3	167.28	579	28.89	$\nearrow \rightarrow 166.19$	834.51	668.32	7.158	7.80	48.24	6.18	5.20
2	191.54	579	33.08	$\nearrow \rightarrow 104.22$	575.79	471.57	5.05	5.78	53.81	9.30	8.24
1	205.94	579	35.57	$\nearrow \rightarrow 35.57$	210.31	174.74	1.87	2.60	55.46	21.29	19.13

DISTRIBUCION DE CORTANTES: (PRIMERA ITERACION DE INTERACCIONES)

N	D port	Dpl 4*	(pl4) DSi	(pl4) DCi	$\Sigma D$	Vtot.	V port.	Vpl 4*	(pl4) VSi	(pl4) VCi
7	3.40	.028	.465	.587	4.48	50.24	38.12	.314	5.215	6.58
6	4.34	.065	1.04	1.499	6.94	86.57	54.10	.81	12.96	18.69
5	5.12	.143	2.199	2.883	10.34	117.72	58.26	1.627	25.02	32.81
4	6.04	.287	3.318	4.145	13.79	143.21	62.72	2.980	34.54	43.04
3	6.76	.351	5.205	6.186	18.50	162.40	59.34	3.081	45.68	54.29
2	10.42	.612	8.249	9.306	28.58	179.58	65.45	3.845	51.82	58.46
1	24.40	2.29	19.13	21.292	67.11	188.32	68.47	6.426	53.68	59.74

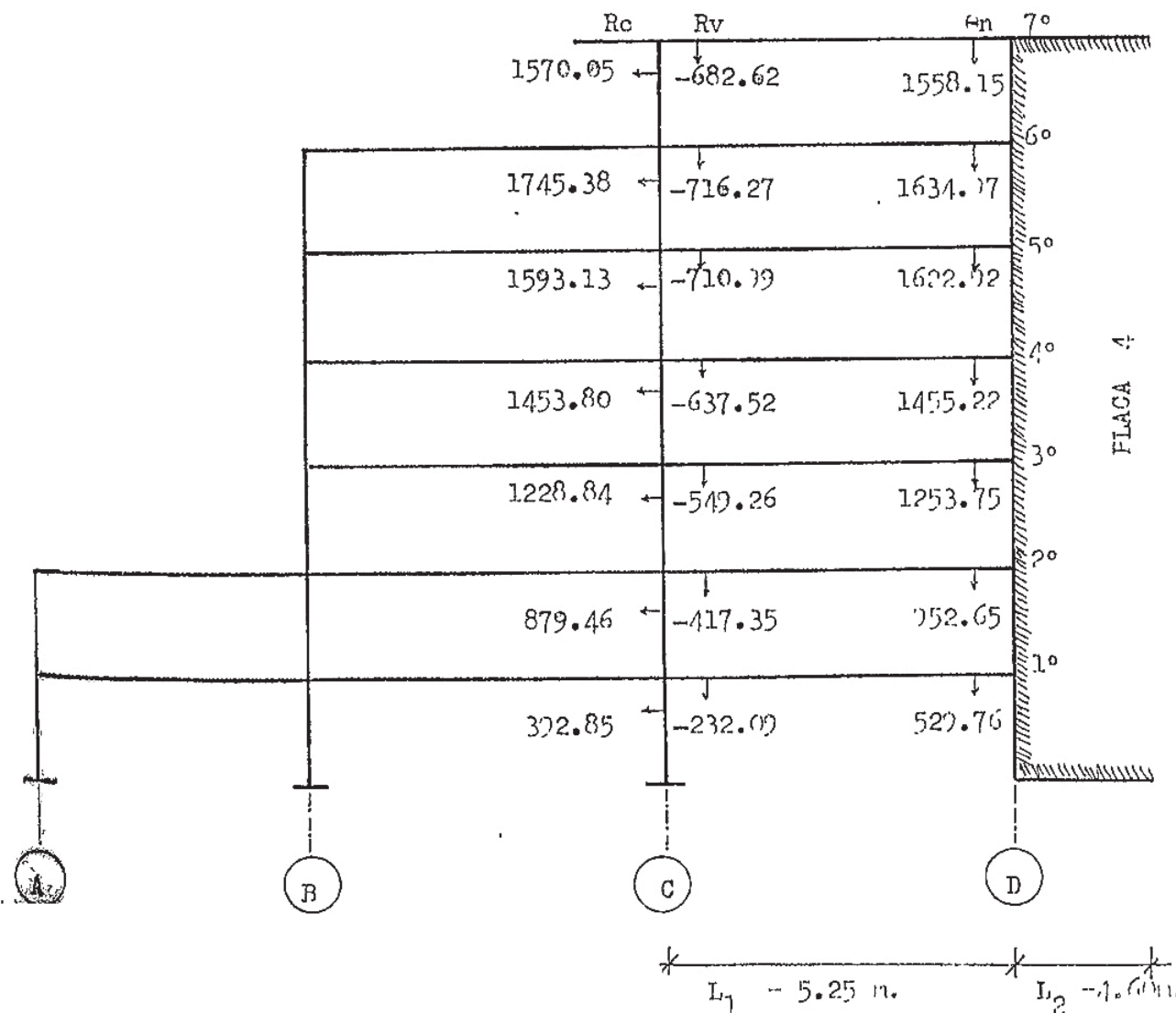
V<sub>Si</sub> = Cortante de la placa sin interacción

V<sub>Ci</sub> = Cortante de la placa con interacción

SEGUNDA INTERACCION DEL PORTICO 4-4 CON LA PLACA 4

N.	$1/DWn$	$h/2$	Rc	Sn	Rsn	RBRn	On	Rv	V
7	1.587	140	1570.05	0.085	11.90	1558.15	1558.15	-682.62	6.58
6	1.499	140	1745.38	0.240	33.60	1711.78	1634.97	-716.27	18.69
5	2.883	140	1593.13	0.422	59.08	1534.05	1622.92	-710.99	32.80
4	4.145	140	1453.80	0.553	77.42	1376.38	1455.22	-637.52	43.04
3	6.186	140	1228.84	0.698	97.72	1131.12	1253.75	-549.26	54.29
2	9.306	140	879.46	0.752	105.28	774.18	952.65	-417.35	58.45
1	21.292	140	392.85	0.768	107.52	285.33	529.76	-232.09	59.74

1.- ROTACIONES



2.- MOMENTOS DE EMPOTRAMIENTO PERFECTO DEBIDO A LA DEFORMACION

a) En vigas:

$$MDC = \frac{kv}{3} (2\theta_c + 3R_v)$$

$$MCD = \frac{kv}{3} (\theta_c + 3R_v)$$

NIVEL AZOTEA (7°)

$$MDC = 0.143 (2 \times 1558.15 + 3 \times 682.62) = 738 \text{ Ton-cm.}$$

$$MCD = 0.143 (1558.15 + 3 \times 682.62) = 516 \text{ Ton-cm.}$$

NIVEL 6°

$$MDC = 0.143 (2 \times 1634.97 + 3 \times 716.27) = 775 \text{ Ton-cm.}$$

$$MCD = 0.143 (1634.97 + 3 \times 716.27) = 541 \text{ Ton-cm.}$$

NIVEL 5°

$$MDC = 0.143 (2 \times 1622.92 + 3 \times 710.99) = 769 \text{ Ton-cm.}$$

$$MCD = 0.143 (1622.92 + 3 \times 710.99) = 537 \text{ Ton-cm.}$$

NIVEL 4°

$$MDC = 0.143 (2 \times 1455.22 + 3 \times 637.52) = 690 \text{ Ton-cm.}$$

$$MCD = 0.143 (1455.22 + 3 \times 637.52) = 482 \text{ Ton-cm.}$$

NIVEL 3°

$$MDC = 0.143 (2 \times 1253.75 + 3 \times 549.26) = 594 \text{ Ton-cm.}$$

$$MCD = 0.143 (1253.75 + 3 \times 549.26) = 415 \text{ Ton-cm.}$$

NIVEL 2°

$$MDC = 0.143 (2 \times 952.65 + 3 \times 417.35) = 452 \text{ Ton-cm.}$$

$$MCD = 0.143 (952.65 + 3 \times 417.35) = 315 \text{ Ton-cm.}$$

NIVEL 1°

$$MDC = 0.143 (2 \times 529.76 + 3 \times 232.09) = 251 \text{ Ton-cm.}$$

$$MCD = 0.143 (529.76 + 3 \times 232.09) = 175 \text{ Ton-cm.}$$

La Unidad de rotación normalizada será:

$$6 E K_e R_c = 1570.05$$

Por lo tanto los momentos a usar serán:

NIVEL M <sub>v</sub> viga	7°	6°	5°	4°	3°	2°	1°
M <sub>DG</sub> /1570.05	0.47	0.49	0.49	0.44	0.38	0.29	0.16
M <sub>CD</sub> /1570.05	0.33	0.34	0.34	0.31	0.26	0.20	0.11

b) En Vigas:

$$M_{cel.} = k_e R_c$$

Unidad de rotación normalizada:  $6 E K_e R_c = 1570.05$

PISO M <sub>c</sub> cel	7°	6°	5°	4°	3°	2°	1°
k <sub>e</sub>	.57	.57	1.49	2.57	2.57	4.08	4.08
$R_c / 1570.05$	1.00	1.11	1.01	0.93	0.78	0.56	0.25
M <sub>c</sub> cel.	.57	.63	1.50	2.39	2.00	2.28	1.02

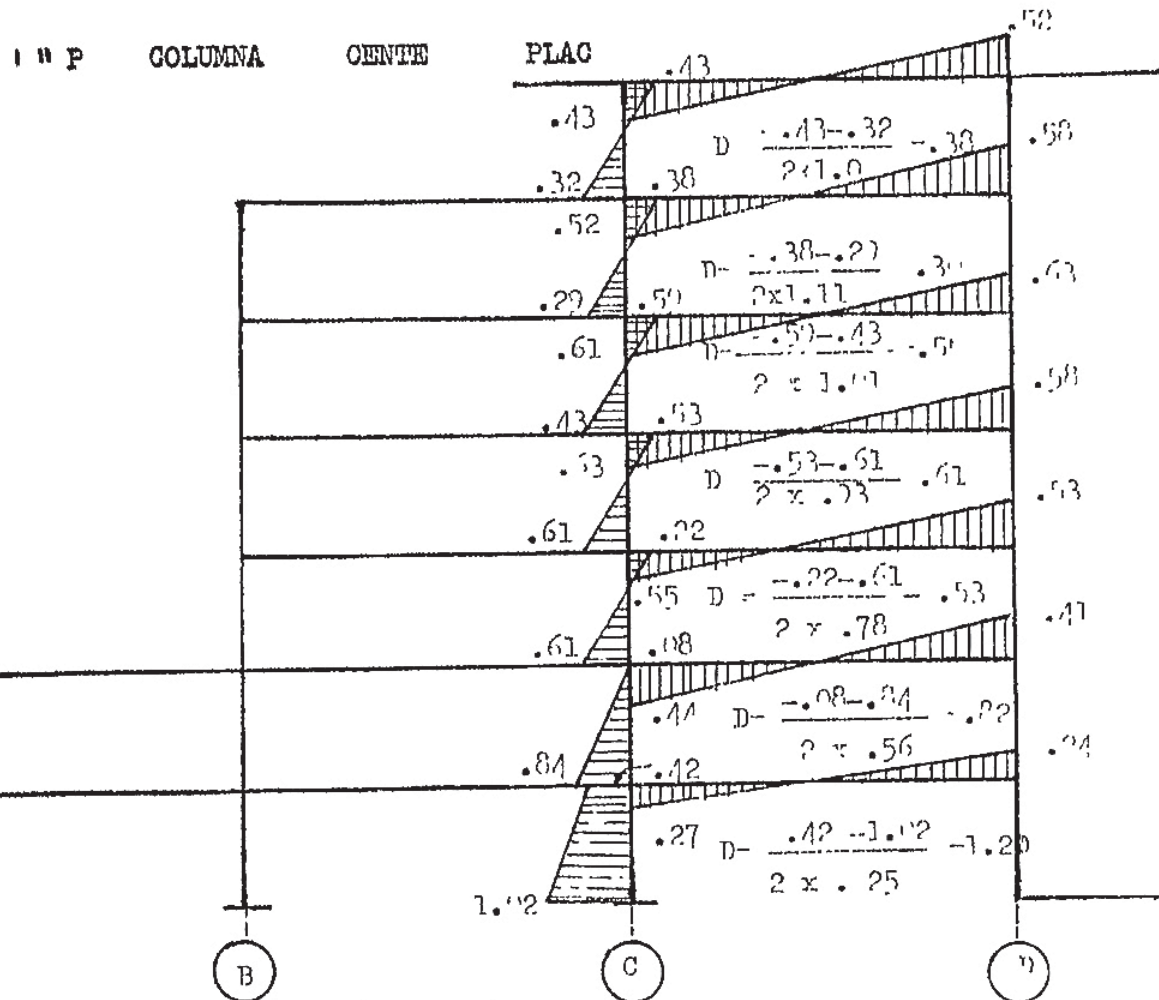
MOMENTOS DE EMPOTRAMIENTO FIJO

0.57	.33	.47	7°
0.63	.34	.40	6°
1.50	.34	.40	5°
2.39	.31	.42	4°
2.00	.26	.38	3°
2.28	.20	.29	2°
1.02	.11	.16	1°

DISTRIBUYENDO LOS MOMENTOS TENDREMOS QUE :

.57 .43	7°
-.57 +.33	+.47 ^
<u>+.14</u> <u>+.10</u>	<u>+.05</u> ^
-.43 +.43	<u>+.52</u> ^
.21 .29 .29 .21	^ 6°
-.57 -.63 +.34	+.49 ^
<u>+.18</u> <u>+.2</u> <u>+.2</u> <u>+.18</u>	<u>+.02</u> ^
<u>+.18</u> <u>-.32</u> <u>-.38</u> <u>+.52</u>	<u>+.58</u>
.15 .19 .51 .15	^ 5°
-.63 -1.50 +.34	+.49
<u>+.2</u> <u>+.1</u> <u>+.1</u> <u>+.2</u>	<u>+.14</u>
<u>+.27</u> <u>-.29</u> <u>-.59</u> <u>+.61</u>	<u>+.63</u> ^
.09 .30 .52 .09	^ 4°
-1.50 -2.39 +.31	+.42
<u>+.32</u> <u>+.0</u> <u>+.86</u> <u>+.32</u>	<u>+.16</u> ^
<u>+.32</u> <u>-.43</u> <u>-.53</u> <u>+.63</u>	<u>+.58</u>
.07 .43 .43 .07	^ 3°
-2.39 -2.0 +.26	+.38
<u>+.29</u> <u>+.78</u> <u>+.78</u> <u>+.2</u>	<u>+.15</u>
<u>+.29</u> <u>-.61</u> <u>-.22</u> <u>+.55</u>	<u>+.53</u>
.06 .34 .54 .06	^ 2°
-2.00 -2.28 +.20	+.29
<u>+.2</u> <u>+.3</u> <u>+.90</u> <u>+.2</u>	<u>+.12</u> ^
<u>+.24</u> <u>-.61</u> <u>-.08</u> <u>+.44</u>	<u>+.41</u> ^
.05 .45 .45 .05	1°
-2.28 -1.02 +.11	+.16
<u>+.16</u> <u>+.4</u> <u>+.14</u> <u>+.16</u>	<u>+.08</u> ^
<u>+.16</u> <u>-.84</u> <u>+.42</u> <u>+.27</u>	<u>+.24</u> ^





En el diagrama anterior  $D = \frac{(M_s + M_i)}{2}$

#### FACTORES "D" CORREGIDOS PARA COLUMNAS

PIADOS	D iniciales		D corregidos		TOTAL
	S DEL	ELEMENTOS DEL	S DEL	ELEMENTOS DEL	
	ORTICO 4	PORTICO 5	PORTICO 4	PORTICO 5	
$\Sigma D_i$	Di 4	Di 5	Do 4	Do 5	$\Sigma D_o$
2.94	.1	.1	.	.3	3.3
24	.25	.25	.30	.30	4.34
	.33	.33	.50	.50	5.12
	.54	.37	.1	.1	.02
	6.42	.37	.53	.53	6.74
	9.56	.39	.82	.82	10.42
	.76	1.31	1.20	1.20	24.54

En el cuadro anterior:

$D_i$  = "D" inicial de columna.

$D_o$  = "D" corregido de columna.

$\sum D_i$  = Sumatoria de factores D iniciales.

$\sum D_o$  = Sumatoria de factores D corregidos.

La columna del eje C es la afectada.

#### DISTRIBUCION DEL CORTANTE

n	X DG (pértices)	D4'	(pl.4+pl.5) D plcs.	$\sum D_{TOT}$	V <sub>TOT.</sub>	V <sub>pert.</sub>	V4'	(plc.4+plc.5) V plcs.	(4 & 5) V plcs.
7	3.38	.028	1.174	4.582	50.24	37.06	.31	12.87	6.44
6	4.34	.065	2.998	7.403	86.57	50.75	.76	35.06	17.53
5	5.12	.143	5.766	11.029	117.72	54.65	1.53	61.54	30.77
4	6.02	.287	8.290	14.597	143.21	57.64	2.75	79.37	39.69
3	6.74	.351	12.372	19.463	162.40	56.24	2.93	103.23	51.62
2	10.42	.612	18.612	29.644	179.58	63.12	3.71	112.75	56.37
1	24.54	2.29	42.584	69.414	188.32	66.58	6.21	115.53	57.77

#### CALCULO DEL FACTOR " $m$ " Y DISTRIBUCION DEL CORTANTE

$$m = \frac{V h}{M_s + M_i}$$

$$V. col = \frac{V pert. D_{COL. corregido}}{\sum D_c p\acute{e}rtices}$$

Luego:

7°

$$D = .38$$

$$V = 4.17$$

$$D = .587$$

$$V_h = 11.67$$

$$V = 6.44$$

$$m = 15.568$$

z

6°

$$D = .30$$

$$V = 3.51$$

$$D = 1.497$$

$$V_h = 9.828$$

$$V = 17.53$$

$$m = 14.669$$

5°

$$D = .50$$

z

$$V = 5.34$$

$$= 2.883$$

$$V_h = 14.952$$

$$V = 30.77$$

$$m = 14.659$$

4°

$$D = .61$$

$$D = 4.14$$

$$V = 5.84$$

$$V = 30.69$$

$$V_h = 16.352$$

//

$$m = 14.344$$

o

$$D = .53$$

$$D = 6.18$$

$$V = 4.42$$

$$V = 51.62$$

$$V_h = 12.376$$

$$m = 14.911$$

o

$$D = .82$$

$$= 2.30$$

$$V = 4.97$$

$$J = 56.37$$

$$V_h = 13.916$$

$$m = 15.126$$

o

$$D = 1.20$$

$$= 21.20$$

$$V = 3.26$$

$$= 57.77$$

$$V_h = 9.128$$

$$m = 15.213$$

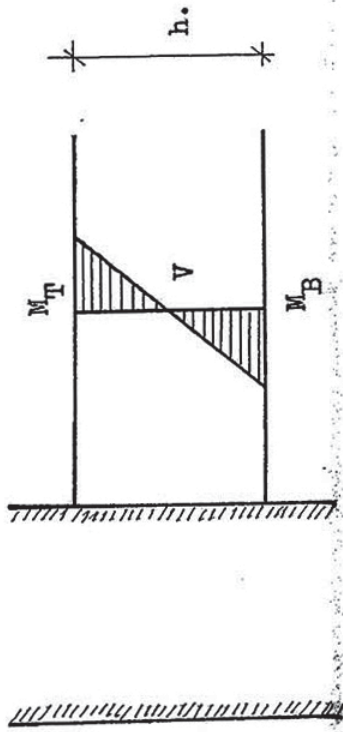
o



MOMENTOS FINALES EN LOS EXTREMOS DE VIGAS Y COLUMNAS

- 137 -

n	Momentos en columnas adyacentes						Momentos en Vigas : $M_{ij} = (M_B + M_T) / (m_i + m_j)$ mi.j.												
	$m$	$M_B$	$M_T$	$M_B' = c M_B$	$M_T' = c M_T$	$M_B + M_T'$	$m$	$M_D$	$m$	$cB$	$m$	$cD$	$m$	$cB$	$M_{De}$	$m$	$cD$	$m$	$cB$
7	15.57	—	0.43	—	6.69	6.69	.52	.43	—	.43	.43	.10	.10	.10	6.69	—	—	—	—
6	14.67	.32	.38	4.69	5.57	10.26	.58	.52	.18	.76	.76	.51	.51	.51	7.62	2.64	—	—	—
5	14.66	.29	.60	4.25	8.89	13.05	.63	.61	.27	.88	.88	.24	.24	.24	9.05	4.00	—	—	—
4	14.34	.43	.50	6.17	7.17	13.34	.58	.63	.32	.95	.95	.32	.32	.32	8.85	4.49	—	—	—
3	14.91	.61	.22	9.10	3.28	12.38	.53	.55	.29	.84	.84	.90	.90	.90	8.11	4.27	—	—	—
2	15.13	.61	.08	9.23	1.21	10.44	.41	.44	.24	.68	.68	.20	.20	.20	6.76	3.68	—	—	—
1	15.21	.84	-.42	12.82	-6.41	6.41	.24	.27	.16	.43	.43	.66	.66	.66	4.02	2.39	—	—	—
		1.C2																	



$$M_{DC} = \bullet m_{DC}$$

DIAGRAMA DE MOMENTOS EN COLUMNAS

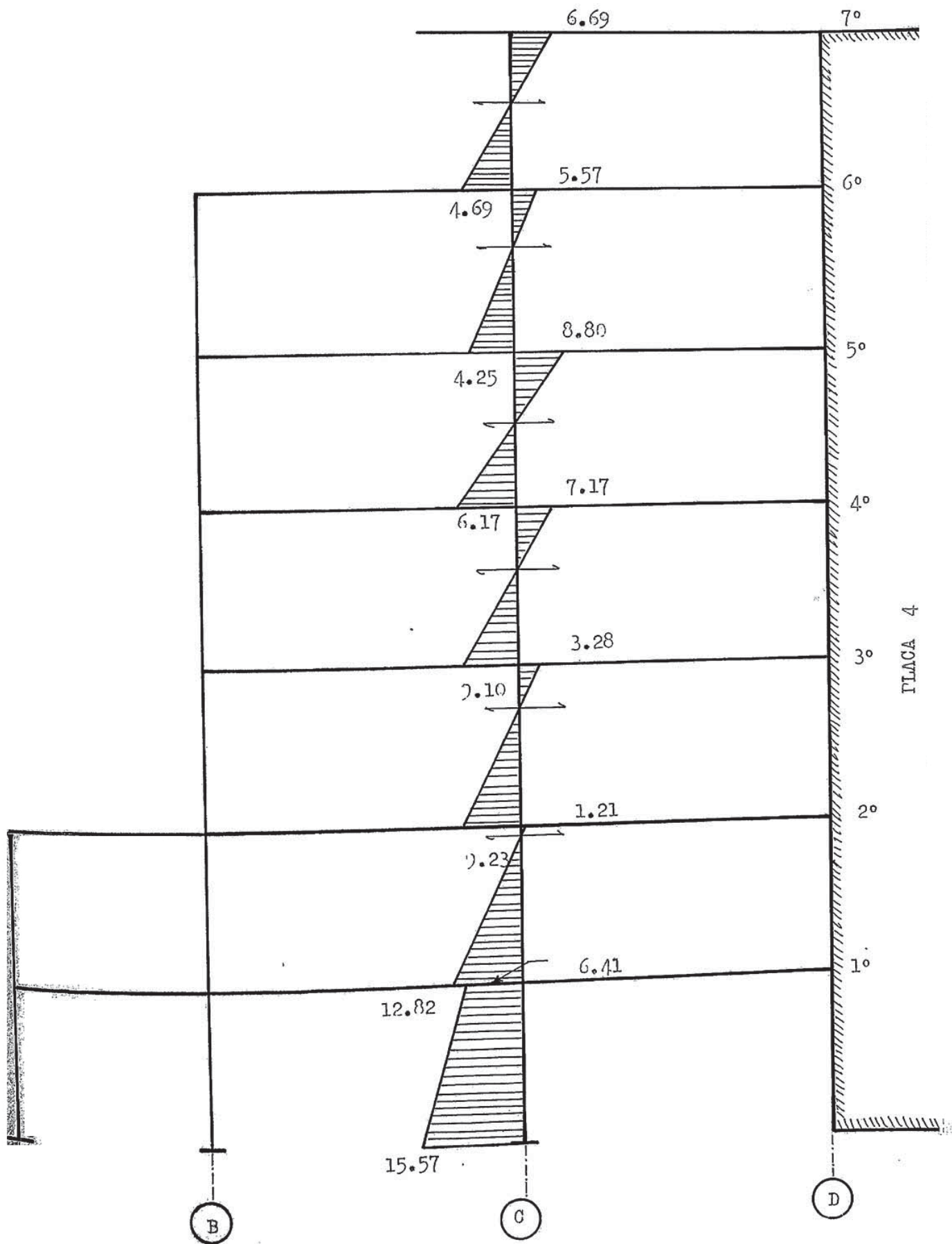


DIAGRAMA DE MOMENTOS EN VIGAS

2.82 ton.

3.10

6.69

3.07

8.51

7.62

3.48

2.24

2.05

3.27

8.32

8.85

3.05

7.90

8.11

2.47

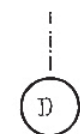
6.20

6.76

1.46

3.66

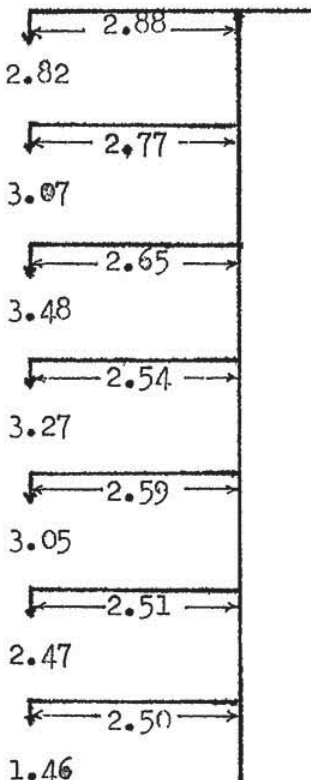
4.02



MOMENTOS MAXIMOS ACUMULADOS EN PLACA 4 o 5

ACUMULADO

	8.10
14.61	* 14.61
	8.51
30.17	* 15.56
	9.24
47.40	* 17.23
	8.32
.63.23	* 15.83
	7.90
78.14	* 14.91
	6.20
90.02	* 11.88
	3.66
97.03	* 7.01



Nota:- El momento considerado es el marcado: \*

n	V h	Mn x10 <sup>2</sup>	2 Mn x10 <sup>2</sup>	k	2 Mn/k	4 Δ M1	Δ Sn
7	18.03	18.03	18.03	579	3.11	1270.13	0.083
6	49.08	67.11	85.14	579	14.70	1252.32	0.225
5	86.16	153.27	220.38	579	38.06	1199.56	0.396
4	111.13	264.40	417.67	579	72.14	1089.36	0.510
3	144.64	409.04	673.44	579	116.31	900.91	0.664
2	157.84	566.88	975.92	579	168.55	616.05	0.725
1	161.76	728.64	1295.52	579	223.75	223.75	0.743

MOMENTO CORRECTOR ( placa )

	TO CORRECTOR	PLACA	2 Mn	k	Mn	Δ M 2	Δ M 1	Δ M	Jt	Ve	Dci
7	29.22	579	5.05		-285.51	1270.13	984.62	10.63	6.44	0.61	
6	60.34	579	10.42		-270.04	1252.32	982.28	10.75	17.53	1.63	
5	94.80	579	16.37		-243.25	1199.56	956.31	10.64	30.77	2.89	
4	126.46	579	21.84		-205.04	1089.36	884.32	9.98	39.69	3.98	
3	156.28	579	26.99		-156.21	900.91	744.70	8.64	51.62	5.97	
2	180.04	579	31.09		- 98.13	616.05	517.92	6.27	56.37	8.99	
1	194.06	579	33.52		-33 .52	223.75	190.23	2.78	57.77	20.78	

plc.4

n	D pert.	D plc.4'	Dsi	Dci	Σ D <sub>TOT</sub>	V <sub>TOT</sub>	V pert.	Vplc.4'	Vsi plc.4	Vciplc
7	3.38	.028	.465	.61	4.483	50.24	37.88	.314	5.211	6.83
6	4.34	.065	1.04	1.63	7.075	86.57	53.104	.795	12.725	19.94
5	5.12	.143	2.199	2.89	10.352	117.72	58.22	1.626	15.006	32.86
4	6.02	.287	3.318	3.98	13.605	143.21	63.37	3.021	34.92	41.89
3	6.74	.351	5.205	5.97	18.266	162.40	59.92	3.121	46.27	53.07
2	10.42	.612	8.249	8.99	28.271	179.58	66.18	3.887	52.40	57.10
1	24.54	2.29	19.130	20.7	66.74	188.32	69.24	6.462	53.98	58.63

NOTA: Dsi = Factor D sin interacción

Dci = Factor D con interacción

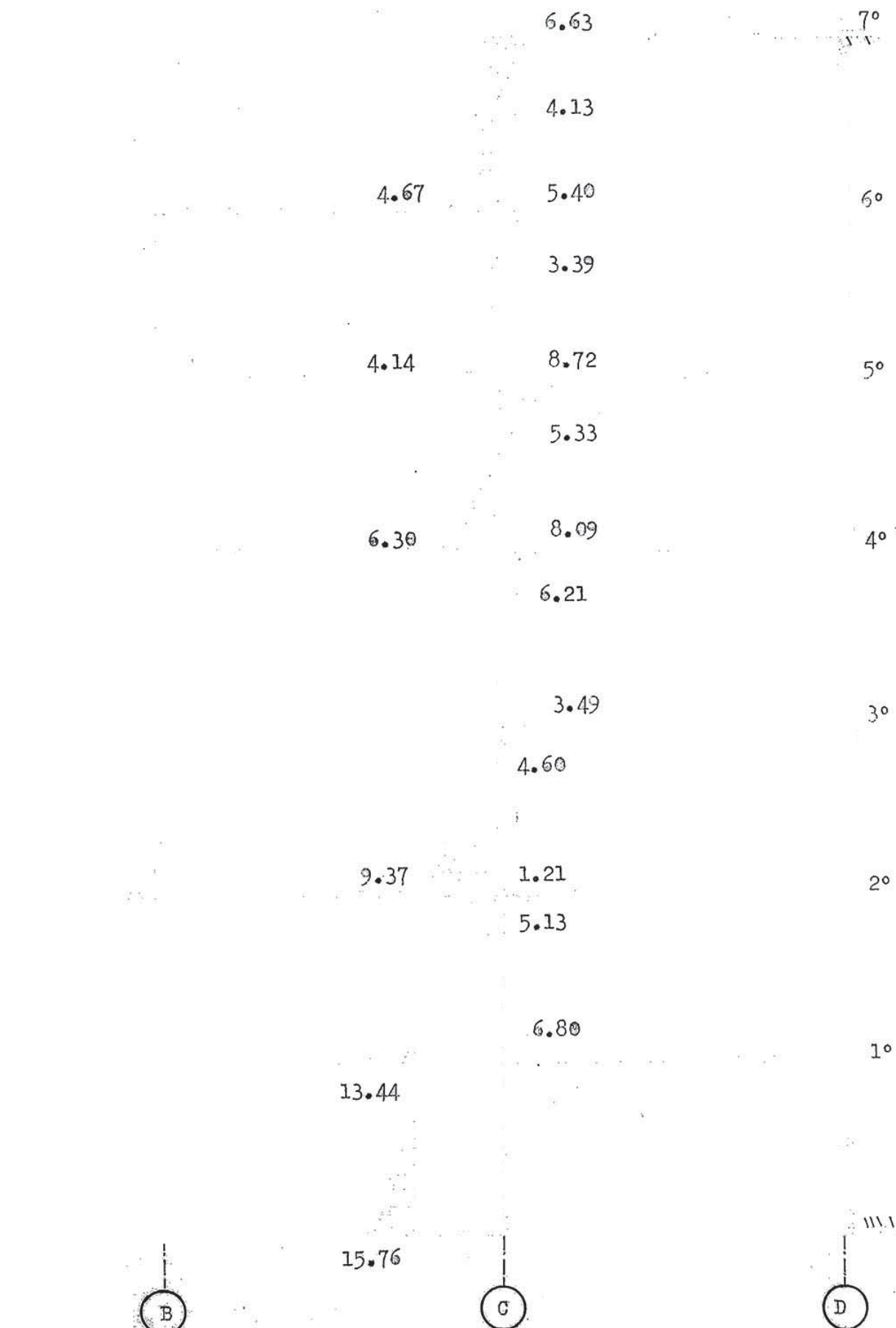
Vsi = Certante sin interacción

Vci = Certante con interacción.

SEGUNDA ITERACION DE INTERACCION DEL PORTICO 4-4 CON LA PLACA 4

Siguiendo un proceso análogo al anterior, obtenemos los diagramas de momentos en columnas y vigas :

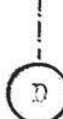
DIAGRAMA DE MOMENTOS EN COLUMNAS :



PARA EL DIAGRAMA DE MOMENTOS EN VIGAS, TENDREMOS QUE :

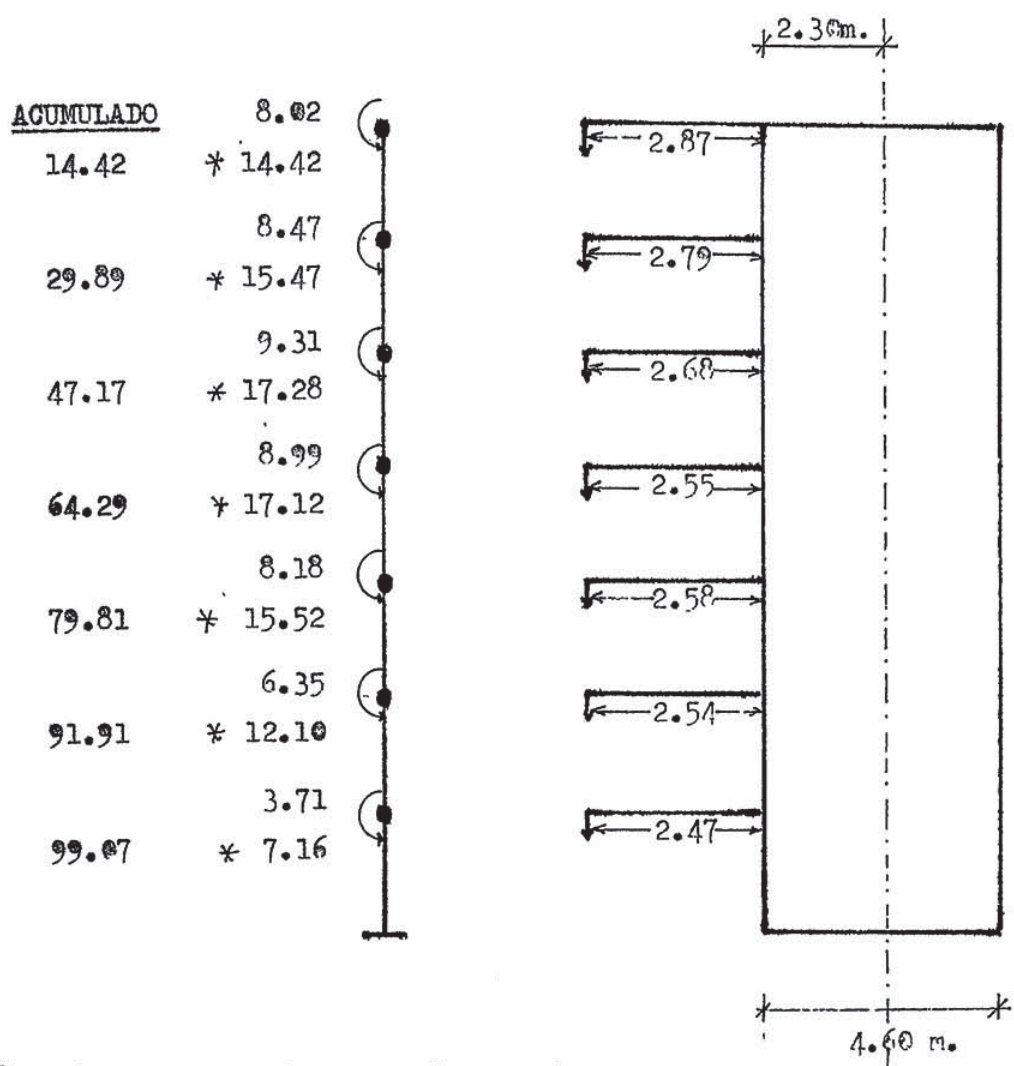
DIAGRAMA DE MOMENTOS EN VIGAS

		2.79	8.92
	6.63		
		3.04	8.47
	7.48		
		3.47	9.31
	8.91		
		3.53	9.22
	9.54		
		3.18	8.18
	8.49		
		2.50	6.35
	6.80		
		1.50	3.71
	4.17		



PLACA

MOMENTOS MAXIMOS ACUMULADOS EN PLACA 4



Momentos considerados marcados con \*

W <sub>h</sub>	M <sub>n</sub>	2M <sub>n</sub> × 10 <sup>2</sup>	k	2M <sub>n</sub> /k	4 Δ M 1	d <sup>2</sup> S <sub>n</sub>
18.54	18.54	18.54	579	3.20	1277.04	0.085
55	70.09	88.63	579	15.31	1258.53	0.237
26	156.35	226.44	579	39.11	1204.11	0.396
71	268.06	424.41	579	73.30	1091.70	0.513
49	410.55	678.61	579	117.20	901.20	0.654
70	566.25	976.80	579	168.70	615.30	0.715
40	726.65	1292.90	579	223.30	223.30	0.737

	CTOR		$\Delta M_2$	$\Delta M_1$	$\Delta M$	$D_t$	Vci	Dci
8	.8	-8.0	12.0	8.	10.6	6.622	0.62	
59.7	57	10.3	-274.40	1258.53	984.13	10.777	18.410	1.71
94.3	57	16.	-247.79	1204.11	956.32	10.638	30.828	2.90
5	57	22.	-209.29	1091.70	882.41	9.964	39.89	4.00
359.6	57	27.57	-159.51	901.20	741.69	8.597	50.89	5.92
163.8	57	31.7	-100.19	615.30	515.11	6.232	55.61	8.92
198.	57	34.	-34.22	223.30	189.08	2.762	57.29	20.74

DISTRIBUCION DEL CORTANTE

	plc 4		$\Sigma D_{TOT}$	$V_{TOT}$	Vpert.	$V_{plc\ 4'}$	$V_{si\ pl.4}$	$V_{ci\ pl.4}$
.028	.465	.6	4.49	50.24	37.82	.31	5.20	6.94
.065	1.04	1.71	7.16	86.57	52.47	.79	12.57	20.68
.143	2.199	2.9	10.36	117.72	58.18	1.62	24.99	32.95
.04	.287	3.318	4.00	13.65	143.21	63.37	3.01	34.81
5	.351	5.205	5.92	18.24	162.40	60.19	3.13	46.34
.44	.612	8.249	8.92	28.22	179.58	66.44	3.89	52.49
.46	2.29	19.13	20.74	66.62	188.32	69.14	6.47	59.08
								58.63

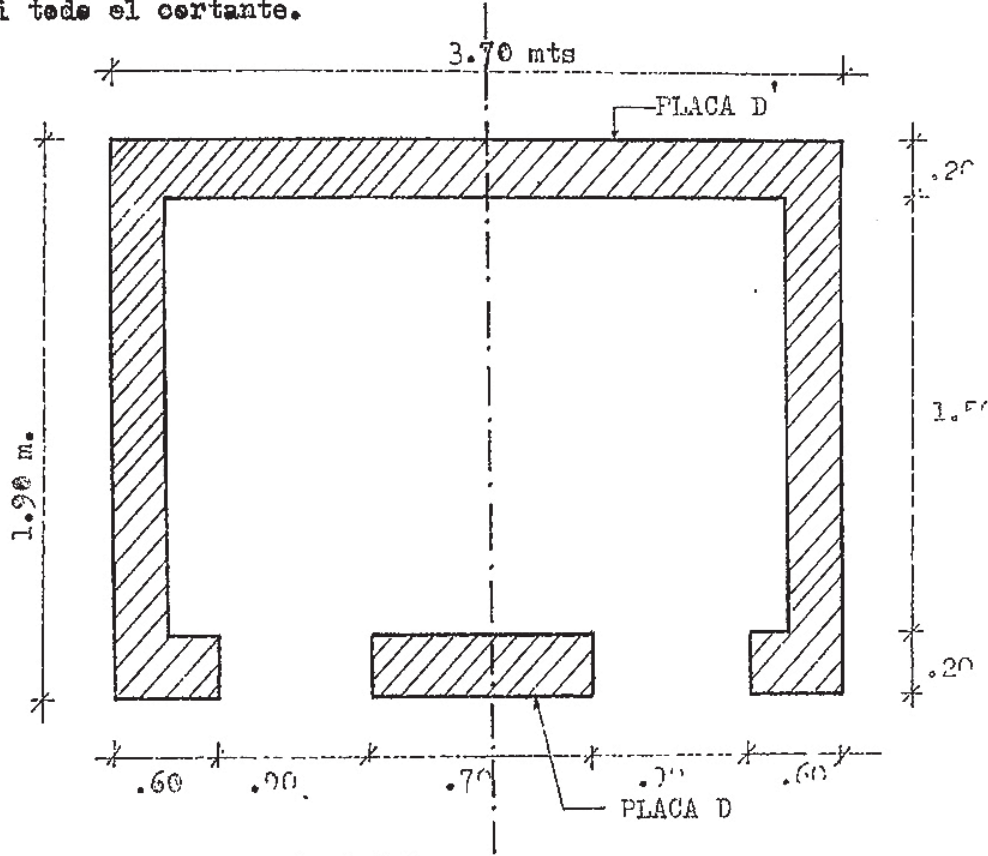
Los cortantes de la tercera iteración de interacciones no difieren mucho de los dadas en la 2<sup>a</sup> iteración, tomamos éstos últimos como los cortantes actuantes.

RESUMEN DE VALORES D Y CORTANTES PARA PLACA 4 e 5

D	CORTANTES: V t n.					
	a	a	a	a	a	a
	.610	.62	.	6.8	6.8	6.
	1.6	1.1	1.10	18.6	1	20.68
2.88	8	2.0	2.	280	286	2.
4.145	3.98	4.00	38.13	43.04	41.89	41.97
6.186	5.97	5.92	49.20	54.29	53.08	52.71
9.306	8.99	8.92	55.54	58.46	57.10	56.76
21.29	20.78	20.74	55.61	59.74	58.64	58.63

PLACAS DIRECCION SECUNDARIA ( DIRECCION X-X )

utilaremos la caja de ascensores por facilidad para nuestros cálculos si se tratara una unidad independiente de la placa 5, y ademas que muros que son paralelos a la dirección X-X serán los que tomen prácticamente casi todo el esfuerzo.



Cálculo del Momento de Inercia total:

mente de Inercia lo calcularemos con respecto al eje de simetría que pasa por el centro de gravedad del marco rígido que forma la caja de ascensor.

As.

placa D:

$$A_{wn} = 2 (20 \times 60) + (20 \times 70) \times 1$$

$$A_{wn} = 2400 + 1400 = 3,800 \text{ cm}^2$$

$$I_{c1} = \frac{1}{12} b h^3 = \frac{1}{12} (20) (60)^3 + (20 \times 60) (1.55)^2$$

$$I_{c1} = 291.9 \times 10^5 \text{ cm}^4$$

$$I_{c2} = \frac{1}{12} (20) (70)^3 = 5.72 \times 10^5 \text{ cm}^4$$

momento de Inercia total placa D será:

$$I_t = 2 (291.9 \times 10^4) + 5.72 \times 10^5 = 588.72 \times 10^5$$

- placa D':

$$I_t = \frac{1}{12} (20) (370)^3 = 844.22 \times 10^5$$

- placas laterales:

$$I_t = 2 [(150 \times 20) (175)^2] = (919.8 \times 10^5) (2) = 1839.5 \times 10^5 \text{ cm}^4$$

$$I_{\text{ascensor } X-X} = (588.72 + 844.22 + 1839.50) 10^5$$

$$I_{x-x} = 32.72 \times 10^7 \text{ cm}^4$$

Para distribuir el certante, inicialmente consideramos la placa como si estuviera en voladizo (sin interacción)

Ademas para el análisis consideramos que el certante solo lo toman las placas paralelas a la dirección sísmica considerada.

Dejemos:

DEFORMACION POR CORTE

	$\frac{x10^3}{wn \text{ cm}^2}$	R	$\Delta S_n \times 10^3$	$27.6 k \times 10^3$	hn	$\delta S_n$
2	11.20	1.2	.214	.099		.021
10	11.20	1.2	1.071	.099		.106
30	11.20	1.2	3.214	.099		.318
60	11.20	1.2	6.429	.099		.636
90	11.20	1.2	9.643	.099		.955
120	11.20	1.2	12.857	.099		1.273
150	11.20	1.2	16.071	.099		1.591

DEFORMACION POR FLEXION

Vn hm $\times 10^2$	Mn ( $\times 10^2$ )	2 Mn( $\times 10^2$ )	kn	2 Mn/kn	4 Δ B	3/hn	$\sqrt{B_n}$
5.60	5.60	5.60	1169.48	855.08	.0107	9.162	
28.0	33.60	39.20	3.35	851.25	.0107	9.121	
84.0	117.60	151.20	12.93	834.97	.0107	8.946	
168.0	285.60	403.20	34.49	787.55	.0107	8.438	
252.0	537.60		70.42	682.64	.0107	7.314	
336.0	873.60	1141.2	120.72	491.50	.0107	5.266	
420.0	1293.60	2167.2	185.39	185.39	.0107	1.986	

VALORES " D "

$\Sigma$ D.pert.	D placa	$\Sigma$ D tot.	V tot.	V pert.	Vplc. asc.
2.10	.218	2.318	58.40	52.908	5.492
3.38	1.084	4.464	104.01	78.753	25.257
4.68	3.238	7.918	143.12	84.592	58.528
4.74	6.612	11.352	175.11	73.117	101.993
4.74	10.884	15.624	199.20	60.433	138.767
6.54	18.351	24.891	220.77	58.006	162.764
13.06	41.935	54.455	231.68	55.564	178.413

Continuación presentamos un cuadro resumen de la segunda iteración y otra iteración siguiendo un proceso análogo al hecho para la primera iteración.

SEGUNDA ITERACION ( DISTRIBUCION DEL CORTANTE )

$\Sigma D_{pert.}$	D placa.	$\Sigma D_{tot.}$	Vtot.	V pert.	Vpl. asc.
2.10	.36	2.462	58.40	49.81	8.59
3.38	1.65	5.032	104.01	69.86	34.15
4.68	3.82	8.503	143.12	78.77	64.35
4.74	6.95	11.69	175.11	71.00	104.11
4.74	10.27	15.014	199.20	62.89	136.31
6.54	16.59	23.128	220.77	62.43	158.34
13.06	36.57	49.63	231.68	60.97	170.71

TERCERA ITERACION ( DISTRIBUCION DEL CORTANTE )

$\Sigma D_{pert.}$	D placa	$\Sigma D_{tot.}$	V tot.	V pert.	Vplc. asc.
2.100	.71	2.81	58.40	43.64	14.76
3.38	2.38	5.76	104.01	61.03	42.98
4.68	3.854	8.53	143.12	78.49	64.63
4.74	6.215	10.95	175.11	75.77	99.34
4.74	8.293	13.03	199.20	72.45	126.75
6.54	11.73	18.27	220.77	79.01	141.76
13.06	20.02	33.08	231.68	91.45	140.23

-150 -

ITERACION DE INTERACCION DE CAJA DE ASCENSORES  
CON COLUMNA : 6 D ( LADO DERECHO ) :

CAJA DE  
ASCENSORES

GEOMETRÍA

$L_1 = 3.50 \text{ m.}$

5

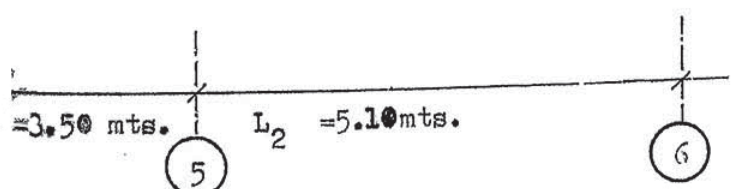
$L_2 = 5.10$

6

	$\frac{1}{Dwn}$	2	Re	$\frac{1}{Sn}$	Rsn	RBRn	θn	Rv
76	0. 10	140.0	2910.4	.126	17.64	2892.78	2892.78	1012.47
42.98	$\frac{1}{2.38}$	140.0	2528.2	.424	59.36	2468.88	2680.83	938.29
64.63	$\frac{1}{3.854}$	140.0	2347.7	1.396	195.44	2152.30	2310.59	808.71
99.34	$\frac{1}{6.215}$	140.0	2237.7	2.183	305.62	1932.13	2042.22	714.78
8.75	$\frac{1}{8.293}$	140.0	2139.7	4.317	604.38	1535.38	1733.76	606.82
76	$\frac{1}{11.733}$	140.0	1691.5	4.965	695.10	996.40	1265.89	443.06
9.23	$\frac{1}{20.02}$	140.0	980.4	5.342	747.88	232.50	614.45	215.06

	o	θn	Rv	Rc
			2910.4	
		2892.78	1012.47	
	6°			2528.2
				2680.83
				938.29
	5°			2347.7
				2310.59
				808.71
	4°			2237.7
DE				714.78
CAJA	ASCENSORES	2042.22		
				16)1.5
	3°			1733.76
				606.82
	2°			2139.7
				1265.89
				443.06
	1°			215.06
				614.45
				2890.4

CONTINUA



DE EMPOTRAMIENTO PERFECTO DEBIDO A LA DEFORMACION EN VIGAS

$$\frac{kv}{3} (2 \theta_c + 3 R_v)$$

$$= \frac{kv}{3} (\theta_c + 3 R_v)$$

TEA °

$$= \frac{0.31}{3} [2 (2892.78) + 3 (1012.47)] = 0.103 [5785.56 + 3037.41] = 908.76$$

$$= 0.103 [2892.78 + 3 (1012.47)] = 610.80$$

6°

$$= 0.103 [2 (2680.83) + 3 (938.29)] = 842.18$$

$$= 0.103 [2680.83 + 3 (938.29)] = 566.06$$

°

$$= 0.103 [2 (2310.59) + 3 (808.71)] = 725.87$$

$$= 0.103 [2310.59 + 3 (808.71)] = 487.88$$

$$= 0.103 [2 (2040.22) + 3 (714.78)] = 641.15$$

$$= 0.103 [2040.22 + 3 (714.78)] = 431.01$$

$$= 0.103 [2 (1733.76) + 3 (606.82)] = 544.66$$

$$= 0.103 [1733.76 + 3 (606.82)] = 366.08$$

$$= 0.103 [2 (1265.89) + 3 (443.06)] = 397.68$$

$$= 0.103 [1265.89 + 3 (443.06)] = 267.29$$

$$= 0.103 [2 (614.45) + 3 (215.06)] = 193.03$$

$$= 0.103 [614.45 + 3 (215.06)] = 129.74$$

a unidad para determinar las retaciones normalizadas es:

$$6 E Kc R_c = 2910.42$$

nes, los momentos a usar serán:

En Vigas:

		NIVEL →						
		°	6°	°	°	°	2°	1°
6		0 1 0	0 2	0. 2	0 1	0 1	0	0
M 65		0.21	0.19	0.17	0.15	0.13	0.09	0.0

1 :

$\mathbf{M}_{\text{el}} = \text{Momento superior} = \text{Momento inferior} = k_c R_c$

determinar las retaciones normalizadas, también  
enes:  $6 E K_c R_c = 2910.42$

$$M_{\text{el}} = k_c R_c / 2910.42$$

		ENTRE PISO →						
		°	6°	°	°	°	2°	1°
k <sub>c</sub>		. 2	. 2	.	.	.	1.1	1.1
2910.42		.00	.87	.81	.77	.74	.58	.34
		.32	.28	.77	.73	.70	.66	.39

#### DE LOS COEFICIENTES DE DISTRIBUCION

( NIVEL 7° )

• .31

$$C_{vi} = .31 / .94 = .33$$

• .31

$$C_{vd} = .31 / .94 = .33$$

• 0.00

• .32

$$C_{ci} = .32 / .94 = .34$$

• .94

NIVEL 6°

• .31

$$C_{vi} = .31 / 1.26 = .246$$

• .31

$$C_{vd} = .31 / 1.26 = .246$$

• .32

• .32

$$C_{os} = C_{oi} = \frac{.32}{1.26} = .254$$

o  
= .31                    Cvi = .31/1.89 = .16  
= .31                    Cvd = .31/1.89 = .16  
= .32                    Ces = .32/1.89 = .17  
= .95                    Cei = .95/1.89 = .51  
= 1.89

o  
= .31                    Cvi = .31/2.52 = .12  
= .31                    Cvd = .31/2.52 = .12  
s = .95                 Ces = Cei = .95/2.52 = .38  
i = .95  
k = 2.52

o  
= .31                    Cvi = Cvd = .12  
= .31  
s = .95                 Ces = Cei = .38  
i = .95  
k = 2.52

2°  
= .31                    Cvi = .31/2.71 = .11  
= .31                    Cvd = .31/2.71 = .11  
s = .95                 Ces = .95/2.71 = .35  
ei = 1.14               Cei = 1.14/2.71 = .43  
k = 2.71

1°  
vi = .31                 Cvi = .31/2.90 = .11  
= .31                    Cvd = .31/2.90 = .11  
es = 1.14               Ces = 1.14/2.90 = .39  
ei = 1.14               Cei = 1.14/2.90 = .39  
 $\Sigma k = 2.90$

DISTRIBUCION DE MOMENTOS

	Cvi	Cci	Ccs	Cvd
	.33	.32	.00	.33
+ .31		+.21	-.32	
<u>+ .02</u>	<u>+.94</u>	<u>+.04</u>		<u>+.04</u>
<u>+ .33</u>	<u>+.25</u>	<u>-.28</u>		<u>+.04</u>
	.246	.254	.254	.246
+ .29		+.19	-.28	-.32
<u>+ .05</u>	<u>+.10</u>	<u>+.10</u>	<u>+.10</u>	<u>+.10</u>
+ .34		+.29	-.18	-.22 +.10
	.16	.51	.17	.16
+ .25		+.17	-.77	-.28
<u>+ .07</u>	<u>+.14</u>	<u>+.45</u>	<u>+.1</u>	<u>+.1</u>
<u>+ .32</u>	<u>+.31</u>	<u>-.32</u>	<u>-.13</u>	<u>+.14</u>
	.12	.38	.38	.12
+ .22		+.15	-.73	-.77
<u>+ .08</u>	<u>+.16</u>	<u>+.51</u>	<u>+.1</u>	<u>+.16</u>
+ .30		+.31	-.22	-.26 +.16
	.12	.38	.38	.12
+ .19		+.13	-.70	-.73
<u>+ .08</u>	<u>+.16</u>	<u>+.16</u>	<u>+.1</u>	<u>+.16</u>
<u>+ .27</u>	<u>+.29</u>	<u>-.21</u>	<u>-.24</u>	<u>+.16</u>
	11	.43	.35	.11
+ .14		+.09	-.66	-.70
<u>+ .07</u>	<u>+.14</u>	<u>+.55</u>	<u>+.44</u>	<u>+.14</u>
<u>+ .21</u>	<u>+.23</u>	<u>-.11</u>	<u>-.26</u>	<u>+.14</u>
	.11	.39	.39	.11
+ .07		+.04	-.39	-.66
<u>+ .05</u>	<u>+.11</u>	<u>+.39</u>	<u>+.39</u>	<u>+.11</u>
+ .12		+.15	+.00	-.27 +.11

ASA DE ASCENSORES

CONTINUA

VALORES "D" PARA COLUMNAS DE EJE 6

$$D = \frac{-(M_s + M_i)}{2 C_n}$$

.25

.28

.33

$$D = \frac{-0.28 - 0.22}{2 \times 1.0} = .25$$

.29

.18

.22

.34

$$D = \frac{-0.18 - 0.13}{2 \times 0.87} = .178$$

.31

.32

.13

.32

$$D = \frac{-0.32 - 0.26}{2 \times 0.81} = .358$$

.31

.22

.30

.26

$$D = \frac{-0.22 - 0.24}{2 \times 0.77} = .299$$

.29

.21

.27

.24

$$D = \frac{-0.21 - 0.26}{2 \times 0.74} = .318$$

.23

.11

.21

.26

$$D = \frac{-0.11 - 0.27}{2 \times 0.58} = .328$$

.15

.1

.27

0.02

$$D = \frac{-0.39}{2 \times 0.34} = .574$$

.39

CAJA DE ASCENSORES

COMITIVA

5

6

PISOS	D INICIALES (Di TOT)		D CORREGIDO Dd	$\Sigma D_{TOT.}$ CORREGIDO
	TOTAL	Dd		
7	2.100	.16	.250	2.190
6	3.380	.16	.178	3.398
5	4.680	.23	.358	4.808
4	4.740	.23	.299	4.809
3	4.740	.23	.318	4.828
2	6.540	.24	.328	6.628
1	13.160	.47	.574	13.264

$$D_{TOT. CORREGIDO} = D_{I TOT} - D_d + D_d'$$

DISTRIBUCION DEL CORTANTE

n	$\Sigma D.$ por	D asc.	$\Sigma D$	V tot	V pert.	Vasc.
7	2.190	.710	2.90	58.40	44.10	14.30
6	3.398	2.380	5.78	104.01	61.15	42.83
5	4.808	3.854	8.66	143.12	79.44	63.68
4	4.809	6.215	11.02	175.11	76.39	98.72
3	4.828	8.293	13.12	199.20	73.30	125.90
2	6.628	11.733	18.36	220.77	79.69	141.08
1	13.264	20.025	33.29	231.68	92.31	139.37

DISTRIBUCION DEL CORTANTE

CÁJA DE ASCENSORES	7°	D = . 716 V = 14.30	D = .250 V = 5.03 Vh=14.08 m =28.16	
	6°	D = 2.38 V = 42.83	D = .178 V = 3.20 Vh=8.96 m =28.00	
	5°	D = 3.854 V = 63.68	D = .358 V = 5.92 Vh=16.58 m =28.59	
	4°	D = 6.215 V = 98.72	D = .299 V = 4.75 Vh=13.30 m =28.91	
	3°	D = 8.293 V = 125.90	D = .318 V = 4.83 Vh=13.52 m =28.77	
	2°	D = 11.733 V = 141.68	D = .328 V = 3.94 Vh=11.03 m =29.03	
	1°	D = 20.025 V = 139.37	D = .574 V = 3.29 Vh=11.17 m =28.64	
				6

CONTINUA

nota:  $V = \frac{(V_{\text{pert.}} \times D_c)}{\sum D_c}$

$m = c = \frac{V_h}{M_s + M_i}$



DIAGRAMA DE MOMENTOS EN COLUMNAS

CAJA DE ASCENSORES

CONTINUA

7.88

5.20

6.36

9.15

3.72

6.36

7.52

6.04

6.90

3.19

7.55

3.15

7.73

11.17

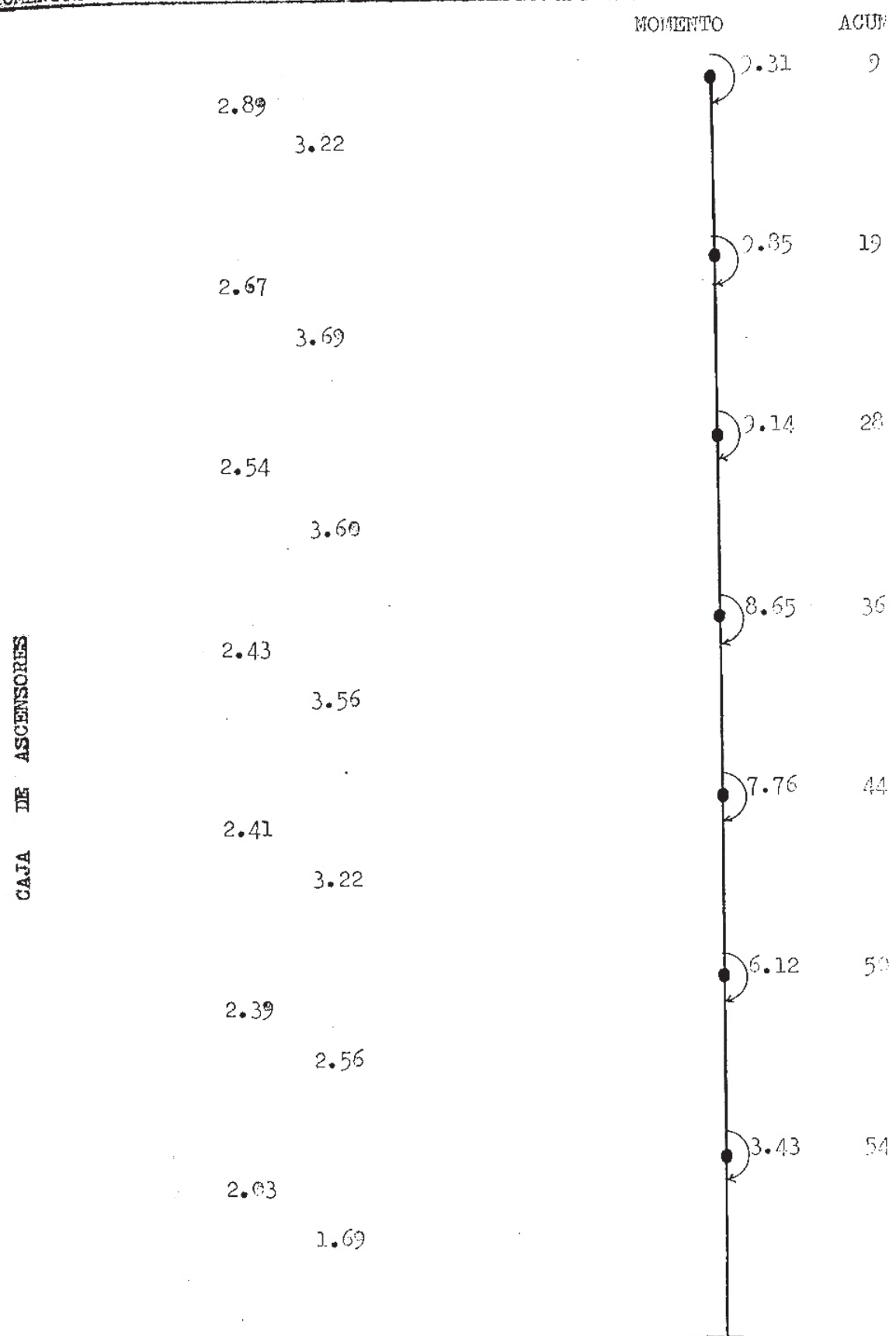
6

DIAGRAMA DE MOMENTOS EN VIGAS

		6.72	
	3.22	1.09	
0			
9.29		8.66	
		2.26	
	3.69		
6°			
9.83		8.87	
	3.60		
5°			
		2.15	
9.15		4.00	
	3.56		
4°			
8.67		8.34	
	3.22	4.73	
3°			
7.77		6.68	
	2.56	4.06	
2°			
6.10		5.92	
	1.69	4.60	
1°			
44			
	5.10 mts.		

CORTINUA

MOMENTOS MAXIMOS ACUMULADOS EN LA CAJA DE ASCENSORES



MOMENTO CORRECTOR

	$2 \text{ Mn} \times 10^2$	k	$2 \text{ Mn}/k$	$4 \Delta M_2$	$4 \Delta M_1$	$4 \Delta M$	$\sqrt{B_n}$	$\sqrt{t}$	Vas.
7	18.62	1169	1.59	-81.73	1544.90	1463.1	15.67	15.80	14.30
6	38.32	1169	3.28 →	-76.86	1526.82	1449.9	15.53	15.96	42.83
5	56.60	1169	4.84 →	-68.74	1470.94	1402.2	15.02	16.42	63.68
4	73.90	1169	6.32 →	-57.58	1349.05	1291.4	13.84	16.02	98.72
3	89.42	1169	7.65	-43.61	1129.18	1085.5	11.63	15.95	125.90
2	101.66	1169	8.70 →	-27.26	781.84	754.5	8.09	13.05	141.08
1	108.52	1169	9.28 →	-9.28	286.56	277.2	2.97	8.31	139.37

En el cuadro anterior:

$4 \Delta M_1$  = Valor de la caja de ascensor como velado.

$$\sqrt{B_n} = 4 \Delta M \left( \frac{3}{h} \right)$$

$$\sqrt{t} = \sqrt{B_n} + \sqrt{S_n}$$

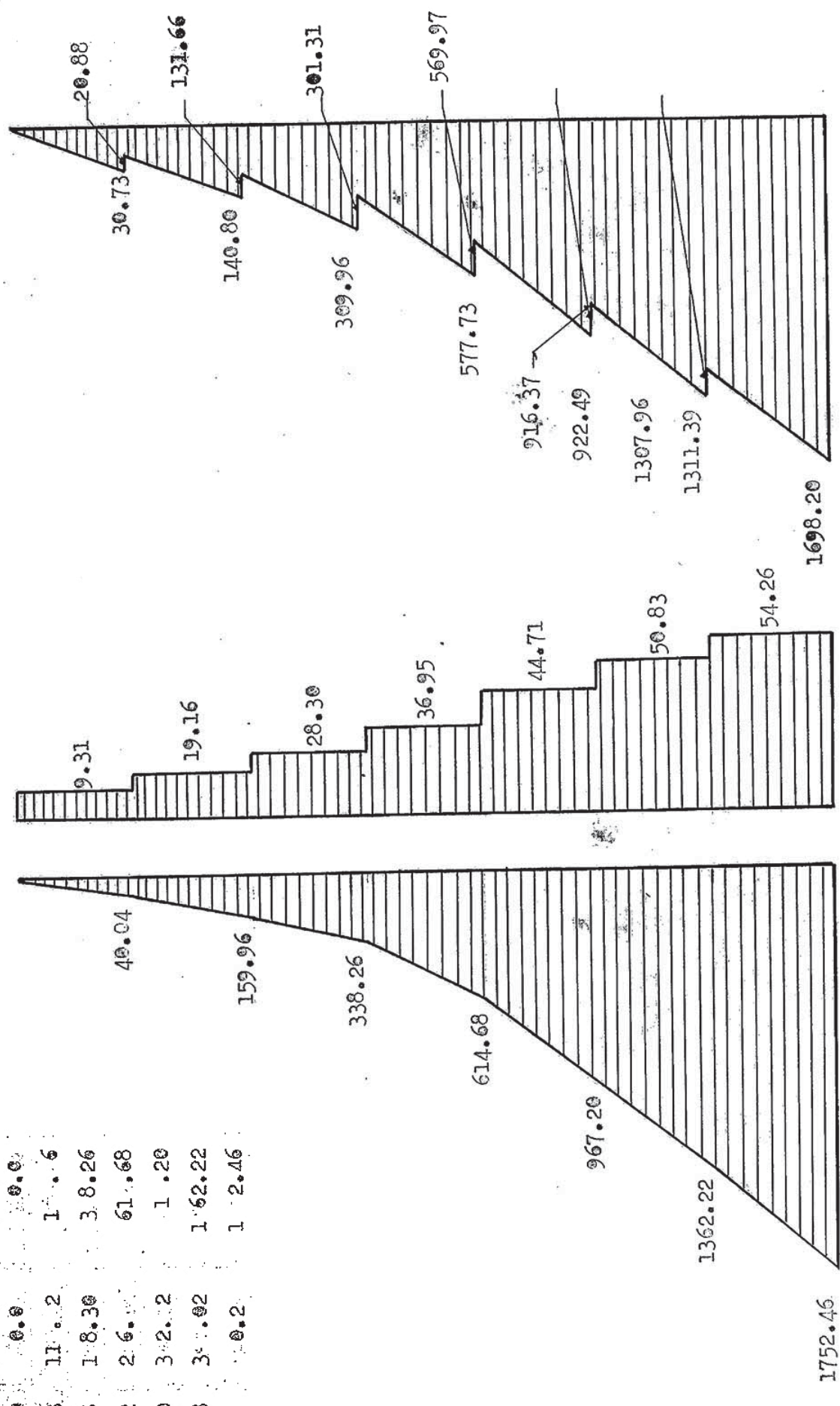
como velado

COMPARACION DE VALORES "D"

D →\n	7	6	5	4	3	2	1
(con interacción)							
D FINAL	.91	2.68	3.88	6.16	7.89	10.81	16.77
( como velado )							
D INICIAL	.71	2.38	3.85	6.21	8.29	11.73	20.02

Tomamos como suficiente aproximación la primera interacción ya que es un método aproximado.

**4.46 DIAGRAMA DE MOMENTOS FINALES POR SISMO EN LA  
DIRECCION X-X : ( Momentos en Tn- m.)**



### DEL CENTRO DE RIGIDEZ

entre de rigidez, es el centroide estático de las rigideces de los tramos verticales resistentes. Alrededor de este punto se produce la rotación por torsión de la estructura.

Las rigideces en el método del Dr. Muto están dadas por el coeficiente "D", según la dirección en que se está realizando el análisis.

Las fórmulas que nos determinarán el centro de rigidez serán:

$$\bar{X} = \frac{\sum (x^2 D_y)}{\sum D_y}$$

$$\bar{Y} = \frac{\sum (y^2 D_x)}{\sum D_x}$$

MOMENTO POLAR DE INERCIA.— El momento polar de Inercia es la resistencia que la estructura ofrece como un todo a la rotación. Es igual a la suma de los momentos de Inercia en las dos direcciones perpendiculares consideradas.

Para corregir por torsión se considera el momento polar de Inercia con respecto a los ejes que pasan por el centro de torsión.

$$M_p = I_{xx} + I_{yy}$$

$$I_{xx} = \sum (y^2 D_x) - \bar{Y}^2 \sum D_x$$

$$I_{yy} = \sum (x^2 D_y) - \bar{X}^2 \sum D_y$$

### CORTANTE DEBIDO A LA TORSION

Sea  $D_x$  el coeficiente de distribución de un elemento cuando se analiza la estructura en la dirección principal X-X, el corte debido a la torsión será:

$$V_T = (M_T/M_p) D_x Y$$

donde en la fórmula anterior

$M_T$  = momento tensor

$M_p$  = momento polar.

$Y$  = distancia del elemento considerado al eje X-X.

El momento polar, y la distancia "Y" se refieren a un sistema cartesiano (el origen de coordenadas es el centro de rigidez).

En forma análoga cuando se analiza en la dirección Y-Y tendremos que:

$$V_T = \left( \frac{M_T}{M_p} \right) D_y \cdot X$$

Debemos de hacer notar que la corrección por torsión se tiene en cuenta solo en aquellos elementos que tienen igual signo que el corte debido a la constante del entropiso.

Luego la corrección por torsión lo haremos nivel por nivel.

#### CORRECCION POR TORSION 7º NIVEL :

##### - CENTROS DE MASA

Los centros de masa han sido deducidos anteriormente y tenemos que para el 7º Nivel:

$$X_m = 21.94 \text{ m.}$$

$$Y_m = 10.99 \text{ m.}$$

- CALCULO DE LOS CENTROS DE RIGIDEZ :

ELEMENTO	D <sub>y</sub>	X	X D <sub>y</sub>	X <sup>2</sup> D <sub>y</sub>	D <sub>x</sub>	Y	Y D <sub>x</sub>	Y <sup>2</sup> D <sub>x</sub>
C B-7	.16	31.55	5.05	159.26	.10	3.85	.39	1.48
C B-8	.16	36.65	5.86	214.92	.10	3.85	.39	1.48
C C-2	.21	6.05	1.27	7.69	.10	9.10	.91	8.28
C C-3	.21	11.15	2.34	124.32	.16	9.10	1.46	13.25
C C-4	.38	16.25	6.18	100.34	.16	9.10	1.46	13.25
C C-5	.38	21.35	8.11	173.21	.16	9.10	1.46	13.25
C C-6	.21	26.45	5.55	146.92	.16	9.10	1.46	13.25
C C-7	.25	31.55	7.89	248.85	.16	9.10	1.46	13.25
C C-8	.25	36.65	9.16	335.81	.10	9.10	.91	8.28
C D-2	.16	6.05	.97	5.86	.10	14.35	.14	20.59
C D-3	.16	11.15	1.78	19.89	.16	14.35	2.30	32.95
C D-6	.16	21.35	3.42	72.93	.25	14.35	3.59	51.48
C D-7	.16	26.45	4.23	111.94	.16	14.35	2.30	32.95
C D-8	.16	31.55	5.05	159.26	.10	14.35	.14	20.59
P D-4	.62	16.15	10.01	161.71	.11	16.65	1.83	30.49
P D-4'	.028	17.60	.49	8.67	—	15.30	—	—
P D-5	.62	21.45	13.30	285.26	.11	16.65	1.83	30.49
Caja asc.	—	19.35	—	—	.71	15.67	11.13	174.34
	4.28		90.66	2336.84	2.90		33.16	479.65

Por lo tanto los centros de rigidez; X e Y serán:

$$\bar{X} = \frac{\sum X D_y}{\sum D_y} = \frac{90.66}{4.28} = 21.18 \text{ mts.}$$

$$\bar{Y} = \frac{\sum Y D_x}{\sum D_x} = \frac{33.16}{2.90} = 11.43 \text{ mts.}$$

Excentricidades:

$$\bar{e}_y = 11.43 - 10.99 = 0.44 \text{ mts.}$$

$$\bar{e}_x = 21.18 - 21.94 = - 0.76 \text{ mts.}$$

Momento polar:

$$I_{xx} = \sum Y^2 D_x - \bar{Y}^2 \sum D_x$$

$$I_{yy} = \sum X^2 D_y - \bar{x}^2 \sum D_y$$

$$I_{xx} = 479.65 - (11.43)^2 \times 2.90 = 100.78$$

$$I_{yy} = 2336.84 - (21.18)^2 \times 4.28 = 416.86$$

$$M_p = I_{xx} + I_{yy} = 100.78 + 416.86 = 517.64$$

Cálculo del Momento Tercer

$$M_{Tx} = F_x (1.5 e_y + 0.05 b_y)$$

$$M'_{Tx} = F_x (e_y - 0.05 b_y)$$

$$F_x = 58.40 \text{ ton.}$$

$$e_y = 0.44 \text{ mts.}$$

$$b_y = 10.28 \text{ mts.}$$

$$M_{Tx} = 58.40 (1.5 \times 0.44 + 0.05 \times 10.28) = 68.56 \text{ ton-m.}$$

$$M'_{Tx} = 58.40 (0.44 - 0.05 \times 10.28) = - 4.32 \text{ ton-m.}$$

Corte por tensión:

$$V_{Ter} = \frac{M_T}{M_p} (D_x Y) = \frac{68.56}{517.64} (D_x Y) = 0.1324 D_x Y$$

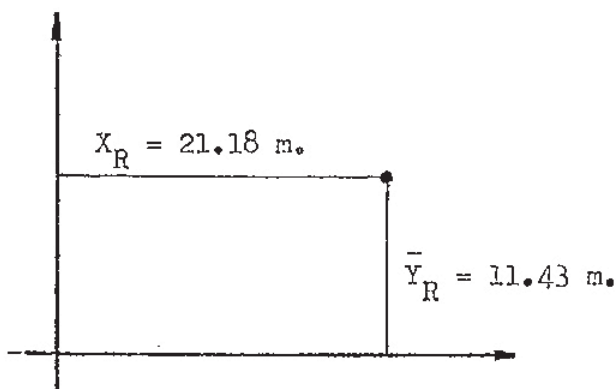
$$V'_{Ter} = \frac{M'_T}{M_p} (D_x Y) = - \frac{4.32}{517.64} (D_x Y) = - 0.0083 D_x Y$$

CORTE QUE TOMA CADA ELEMENTO ( DIRECCION X )

ELEMENTO	Dx	V <sub>F</sub>	Y	Y D <sub>x</sub>	V <sub>TOR</sub>	V' <sub>TOR</sub>	V <sub>CORR.</sub>
7 0 B-7	.10	+ 2.01	+7.58	+.76	+.10	—	+2.11
7 0 B-8	.10	+ 2.01	+7.58	+.76	+.10	—	+2.11
7 0 C-2	.10	+ 2.01	+2.33	+.23	+.03	—	+2.04
7 0 C-3	.16	+ 3.22	+2.33	+.37	+.05	—	+3.27
7 0 C-4	.16	+ 3.22	+2.33	+.37	+.05	—	+3.27
7 0 C-5	.16	+ 3.22	+2.33	+.37	+.05	—	+3.27
7 0 C-6	.16	+ 3.22	+2.33	+.37	+.05	—	+3.27
7 0 C-7	.16	+ 3.22	+2.33	+.37	+.05	—	+3.27
7 0 C-8	.10	+ 2.01	+2.33	+.23	+.03	—	+2.04
7 0 D-2	.10	+ 2.01	-3.12	-.31	—	+.0025	+2.01
7 0 D-3	.16	+ 3.22	-3.12	-.50	—	+.004	+3.22
7 0 D-6	.25	+ 5.03	-3.12	-.78	—	+.01	+5.04
7 0 D-7	.16	+ 3.22	-3.12	-.50	—	+.004	+3.22
7 0 D-8	.10	+ 2.01	-3.12	-.31	—	+.0025	+2.01
7 P D-4	.11	+ 2.22	-7.52	-.83	—	+.01	+2.23
7 P D-4'	—	—	-3.97	—	—	—	—
7 P D-5	.11	+ 2.22	-7.52	-.83	—	+.01	+2.23
7 caja asc.	.71	+14.30	-4.44	-3.15	—	+.03	+14.33
	2.90					-	

En el cuadro anterior:

$$V_F = \frac{D_i}{\sum D_i} F_x = \frac{D_i}{2.90} (58.40) = 20.1379 D_i$$



$$V_{CORR} = V_F + V_{TOR} \quad ; \quad V_{CORR} = V_F + V_{TOR}' \text{ (según corresponda).}$$

#### DIRECCION Y-Y

$$M_{TY} = F_y (e_x + 0.05 b_x)$$

$$M_{TY}' = F_y (e_x - 0.05 b_x)$$

$$F_y = 50.24 \text{ ton.}$$

$$b_x = 30.60 \text{ mts.}$$

#### Memento tercer:

$$M_{TY} = 50.24 [1.5 (-0.76) + 0.05 (30.60)] = 19.59 \text{ ton-mts.}$$

$$M_{TY}' = 50.24 [-0.76 - 0.05 (30.60)] = -115.05 \text{ ton-mts.}$$

#### Corte por torsión:

$$V_{TOR} = \frac{M_{TOR}}{M_p} D_y X = \frac{19.59}{517.64} D_y X = 0.0378 D_y X$$

$$V_{TOR}' = \frac{M_{TOR}'}{M_p} D_y X = -\frac{115.05}{517.64} = -0.2223 D_y X$$

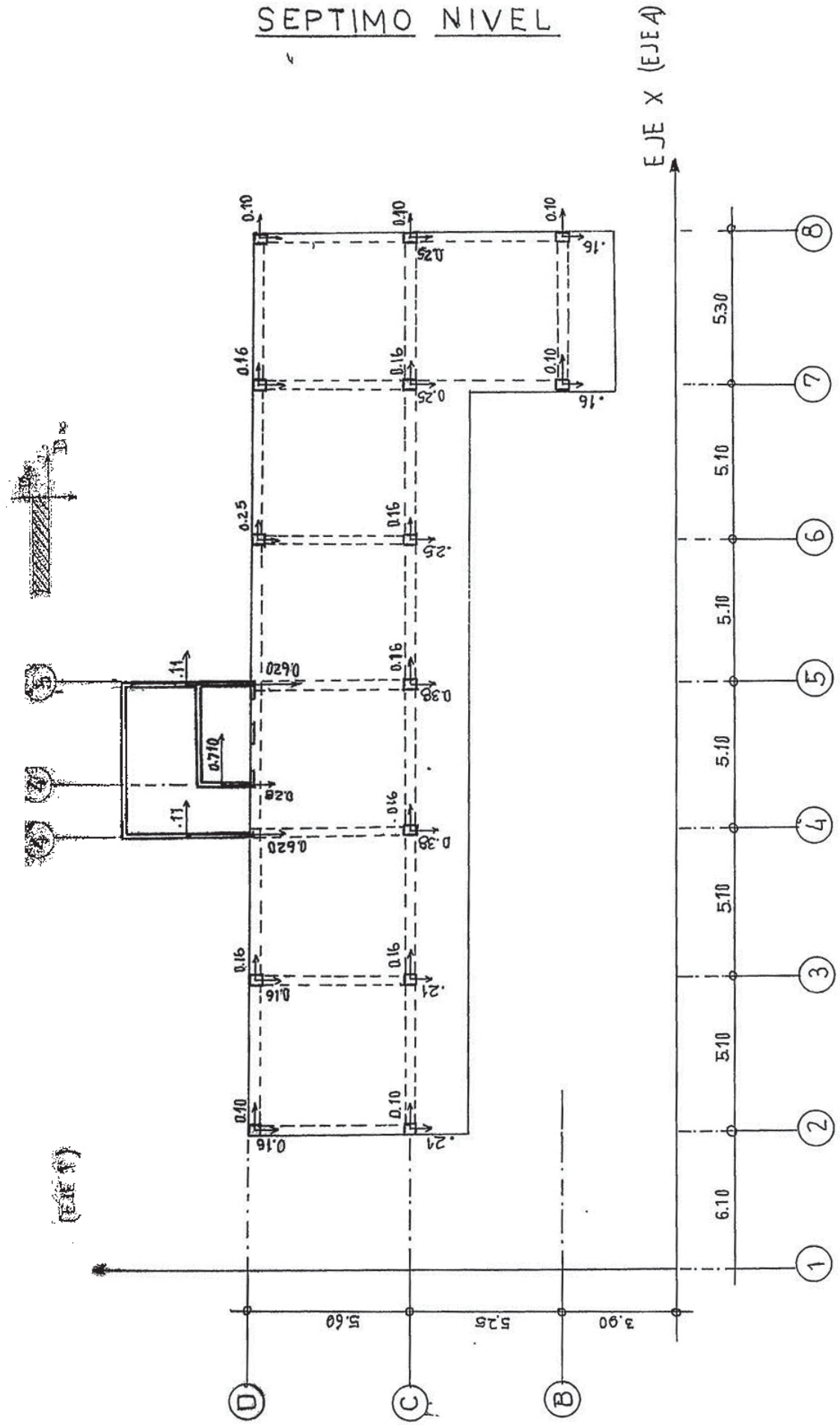
CORTANTE QUE TOMA CADA ELEMENTO DIRECCION Y

ELEMENTO	D <sub>y</sub>	V <sub>F</sub>	X	X D <sub>y</sub>	V <sub>TOR</sub>	V' <sub>TOR</sub>	V <sub>CORR</sub>
	.16	+ 1.88	- 10.37	- 1.66	—	+ .37	+ 1.88
Q B-8	.16	+ 1.88	- 15.47	- 2.48	—	+ .55	+ 1.88
7 Q 0-2	.21	+ 2.47	+ 15.13	+ 3.18	+ .12	—	+ 2.59
7 Q 0-3	.21	+ 2.47	+ 10.03	+ 2.11	+ .08	—	+ 2.55
7 Q 0-4	.38	+ 4.46	+ 4.93	+ 1.87	+ .07	—	+ 4.53
7 Q 0-5	.38	+ 4.46	- 0.17	- .06	—	+ .01	+ 4.47
7 Q 0-6	.21	+ 2.47	- 5.27	- 1.11	—	+ .25	+ 2.72
7 Q 0-7	.25	+ 2.93	- 10.37	- 2.59	—	+ .58	+ 3.51
7 Q 0-8	.25	+ 2.93	- 15.47	- 3.87	—	+ .86	+ 3.79
7 Q D-2	.16	+ 1.88	+ 15.13	+ 2.42	+ .09	—	+ 1.97
7 Q D-3	.16	+ 1.88	+ 10.03	+ 1.60	+ .06	—	+ 1.94
7 Q D-6	.16	+ 1.88	- 5.27	- .84	—	+ .19	+ 2.07
7 Q D-7	.16	+ 1.88	- 10.37	- 1.66	—	+ .37	+ 2.25
7 Q D-8	.16	+ 1.88	- 15.47	- 2.48	—	+ .55	+ 2.43
7 P D-4	.62	+ 7.28	+ 5.03	+ 3.12	+ .12	—	+ 7.40
7 P D-4'	.028	+ 0.33	+ 3.23	+ .09	—	—	+ 0.33
P D-5	.62	+ 7.28	- 0.27	- .17	—	+ .04	+ 7.42
suma abs.	—	—	+ 1.48	—	—	—	—

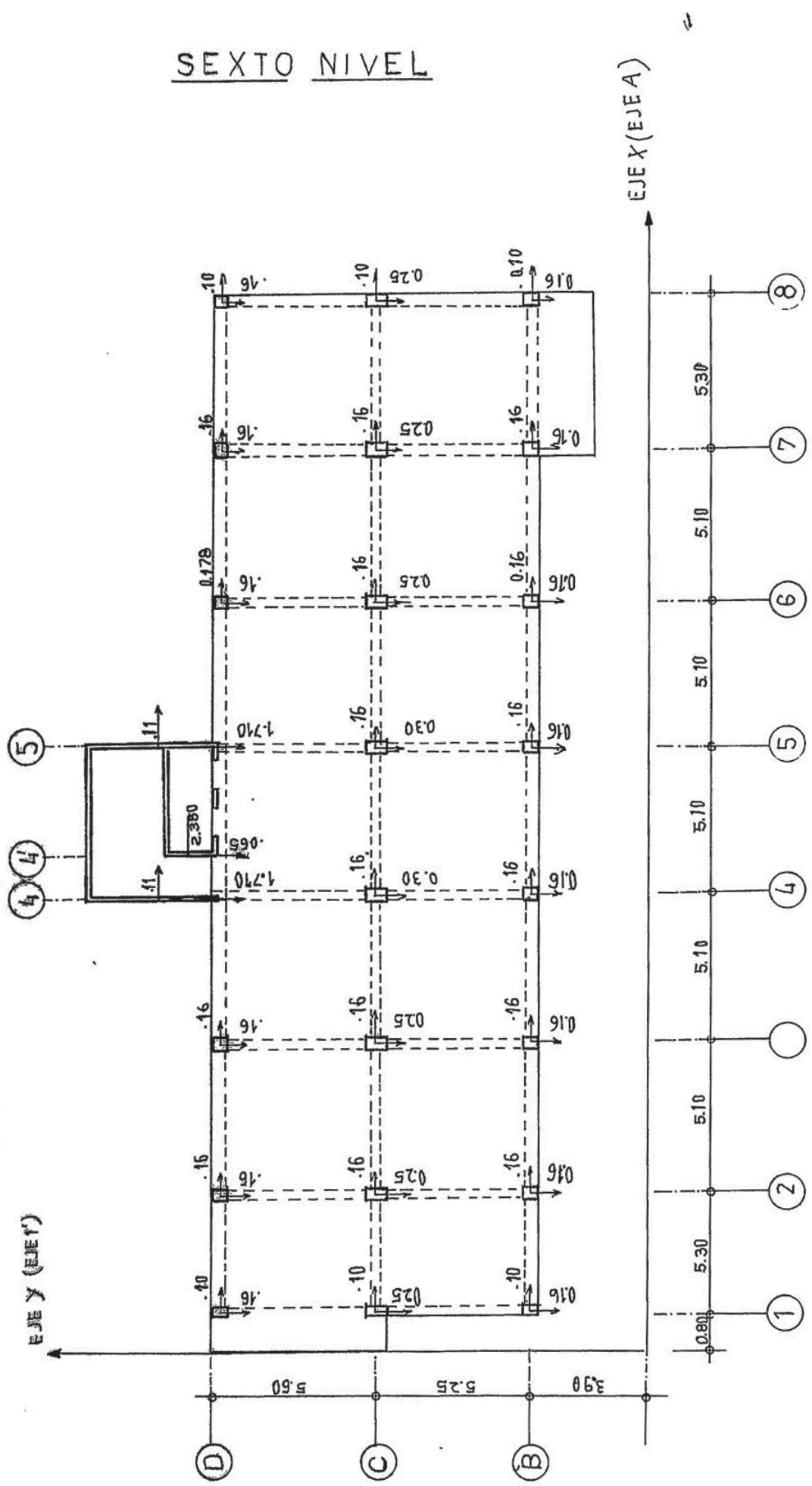
4.28

$$V_F = \frac{D_i}{\sum D_i} \quad F_y = 11.7383 \cdot D_i$$

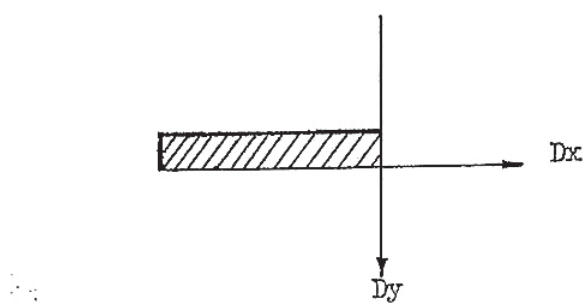
## SEPTIMO NIVEL



## SEXTO NIVEL



NIVEL 6°



D <sub>y</sub>	X	X D <sub>y</sub>	X <sup>2</sup> D <sub>y</sub>	D <sub>x</sub>	Y	Y D <sub>x</sub>	Y <sup>2</sup> D <sub>x</sub>
.1	.95	.15	.14	.10	3.85	.39	1.48
.16	6.05	.97	5.86	.16	3.85	.62	2.37
.16	11.15	1.78	19.89	.16	3.85	.62	2.37
.1	16.25	2.60	42.25	.16	3.85	.62	2.37
.1	21.35	3.42	72.93	.16	3.85	.62	2.37
.16	26.45	4.23	111.94	.16	3.85	.62	2.37
.16	31.55	5.05	159.26	.16	3.85	.62	2.37
.1	36.65	5.86	214.92	.10	3.85	.39	1.48
.25	.95	.24	.23	.10	9.10	.91	8.28
.25	6.05	1.51	9.15	.16	9.10	1.46	13.25
.25	11.15	2.79	31.08	.16	9.10	1.46	13.25
.30	16.25	4.88	79.22	.16	9.10	1.46	13.25
.30	21.35	6.41	136.75	.16	9.10	1.46	13.25
.25	26.45	6.61	174.90	.16	9.10	1.46	13.25
.25	31.55	7.89	248.85	.16	9.10	1.46	13.25
.25	36.65	9.16	335.81	.10	9.10	.91	8.28
.6	.95	.15	.14	.10	14.35	.14	20.59
.16	6.05	.97	5.86	.16	14.35	2.30	32.95
.1	11.15	1.78	19.89	.16	14.35	2.30	32.95
.1	26.45	4.23	111.94	.178	14.35	2.55	36.65
.3	31.55	5.05	159.2	.1	14.35	2.30	32.95
.3	36.65	5.86	214.92	.10	14.35	.14	20.59
.1	11.15	27.62	446.01	.11	16.65	1.83	30.49
	17.60	1.14	20.13	—	15.30	—	—
	21.45	36.68	786.78	.11	16.65	1.83	30.49
	19.35	—	—	2.38	15.67	37.29	584.41
		147.03	3408.11	5.78		65.76	935.31

Centros de masa:

$$X_m = 20.09 \text{ mts.}$$

$$Y_m = 10.42 \text{ mts.}$$

$$\bar{x} = \frac{\sum x D_y}{\sum D_y} = \frac{147.03}{7.83} = 18.78 \text{ mts.}$$

$$\bar{y} = \frac{\sum y D_x}{\sum D_x} = \frac{65.76}{5.78} = 11.38 \text{ mts.}$$

Distancias

$$y = \bar{y} - y_m = 11.38 - 10.42 = + 0.96 \text{ mts.}$$

$$x = \bar{x} - x_m = 18.78 - 20.09 = - 1.31 \text{ mts.}$$

Momento polar

$$I_{xx} = \sum y^2 D_x - \bar{y}^2 \sum D_x = (935.31) - (11.38)^2 (5.78) = 186.77$$

$$I_{yy} = \sum x^2 D_y - \bar{x}^2 \sum D_y = (3408.11) - (18.78)^2 (7.83) = 646.56$$

$$M_p = I_{xx} + I_{yy} = 186.77 + 646.56 = 833.33$$

DIRECCION X-X

Momento torsor:

$$M_x = F_x (1.5 e y + 0.05 b y); \quad F_x = 104.01 \text{ ten.}$$

$$M_x = F_x (e y - 0.05 b y) \quad ey = .96 \text{ mts} \\ by = 15.10 \text{ mts.}$$

$$M_x = 104.01 (1.5 \times 0.96 + 0.05 \times 15.10) = 228.30 \text{ tn-m.}$$

$$M_x = 104.01 (0.96 - 0.05 \times 15.10) = 21.32 \text{ ten-m.}$$

Por ser ambos momentos del mismo sentido, analizaremos con el mayor

Corte por torsión

$$V_{tor} = (M_x / M_p) D_x Y = (228.30 / 833.33) D_x Y = 0.274 D_x Y$$

CORTE QUE TOMA CADA ELEMENTO ( DIRECCION X )

ELEMENTO	D <sub>X</sub>	V <sub>F</sub>	Y	Y D <sub>X</sub>	V <sub>TOR</sub>	V <sub>CORR</sub>	
B-1	.10	1.80	+ .	0	.21	2.01	
2	.16	2.88	+7.53	1.20	.33	3.21	
3	.1	2.88	+7.53	1.20	.33	3.21	
B-4	.16	2.88	+7.53	1.20	.33	3.21	
6	B-5	.16	2.88	+7.53	1.20	.33	3.21
6	B-6	.16	2.88	+7.53	1.20	.33	3.21
B-7	.16	2.88	+7.53	1.20	.33	3.21	
B-	.10	1.0	+7.53	.75	.21	2.01	
1	.10	1.80	+2.28	.23	.06	1.86	
0-2	.16	2.88	+2.28	.36	.10	2.98	
3	.16	2.88	+2.28	.36	.10	2.98	
4	.16	2.88	+2.28	.36	.10	2.98	
5	.16	2.88	+2.28	.36	.10	2.98	
0-6	.16	2.88	+2.28	.36	.10	2.98	
0-7	.16	2.88	+2.28	.36	.10	2.98	
0-8	.10	1.80	+2.28	.23	.06	1.86	
1	.10	1.80	-2.97	—	—	1.80	
2	.16	2.88	-2.97	—	—	2.88	
B-3	.16	2.88	-2.97	—	—	2.88	
6	.178	3.20	-2.97	—	—	3.20	
7	.16	2.88	-2.97	—	—	2.88	
	.10	1.80	-2.97	—	—	1.80	
	.11	1.98	-5.17	—	—	1.9	
4'	—	—	—	—	—	—	
	.11	1.98	-5.17	—	—	1.98	
# a asc. 2.		42.8	-4.39	—	—	42.83	
Σ		5.78					

En el cuadro anterior:  $V_F = \left( \frac{D_i}{\sum D_i} \right) \times F_x = 17.9948 D_i$

DIRECCION Y

$M_y = F_y (1.5 e x + 0.05 b x) = 86.57 [1.5(-1.31) + 0.05(35.70)] = 15.58 \text{ tn-m.}$

$M'_y = F_y (e x - 0.05 b x) = 86.57 [-1.31 - (0.05)(35.70)] = -41.12 \text{ tn-m.}$

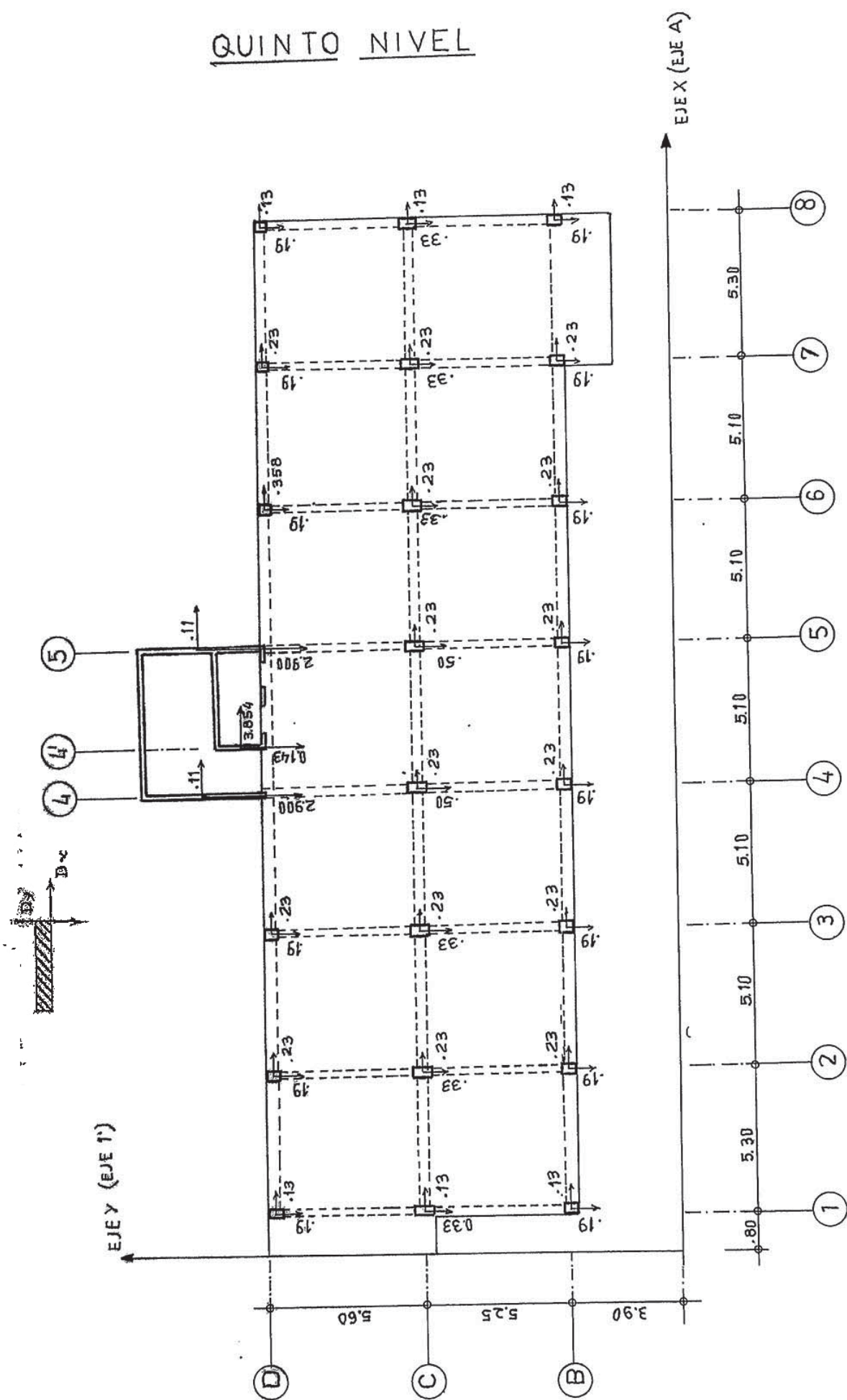
Corte por tensión:

$$V_{TOR}' \left( \frac{M_{TOR}}{M_p} \right) D_y X = - \frac{41.12}{833.33} D_x Y = - 0.0493 D_x Y$$

CORTE QUE TOMA CADA ELEMENTO ( DIRECCION Y )

ELEMENTO	D <sub>y</sub>	V <sub>F</sub>	X	X D <sub>y</sub>	V' <sub>TOR</sub>	V <sub>CORR.</sub>
B-1	.16	1.	+1.8	+2.8	—	1.
2	.16	1.	+12	+2.	—	1.
	.16	1.	+ .6	+1.22	—	1.
	.16	1.	+ 2.	+ 0 0	—	1.
	.16	1.	- 2.	- 0.	+ .02	1.
B-6	.16	1.	- .6	- 1.2	+ .06	1.8
	.16	1.	-12.	- 2.0	+ .10	1.8
B-8	.16	1.	-1.8	- 2.86	+ .1	1. 1
1	.2	2. 6	+1.8	+ .6	—	2. 6
2	.2	2. 6	+12.	+ .18	—	2. 6
	2	2. 6	+ .6	+ 1. 1	—	2. 6
	0	32	+ 2	+ 0. 6	—	2
G-	.30	2	- 2.	- 0.	+ .0	3.36
	.2	2. 6	- .6	- 1. 2	+ .	2.8
	2	2. 6	-12.	- 3.1	+ .16	2. 2
	.2	2. 6	-1.8	-	+ .22	2. 8
B-1	.16	1.	+1.8	+2.8	—	1.
B-2	.16	1.	+12.	+2 0	—	1.
	.16	1.	+ .6	+1.22	—	1.
6	.16	1.77	- 7.67	- 1.23	+ .06	1.83
7	.16	1.77	-12.77	- 2.04	+ .10	1.87
	.16	1.77	-17.87	- 2.86	+ .14	1.91
4	1.71	1.91	+ 2.63	+ 4.50	—	18.91
4'	.065	.72	- 0.92	- 0.06	—	0.72
	1.71	18.91	2.67	- 4.57	—	18.91
	—	—	—	—	+ .2	—

QUINTO NIVEL

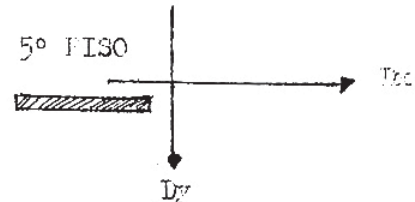


en forma análoga obtenemos los centantes corregidos por torsión para los otros niveles tal como mostramos en cuadros resumen continuación. ( El centante está dado en toneladas) :

### 5º NIVEL

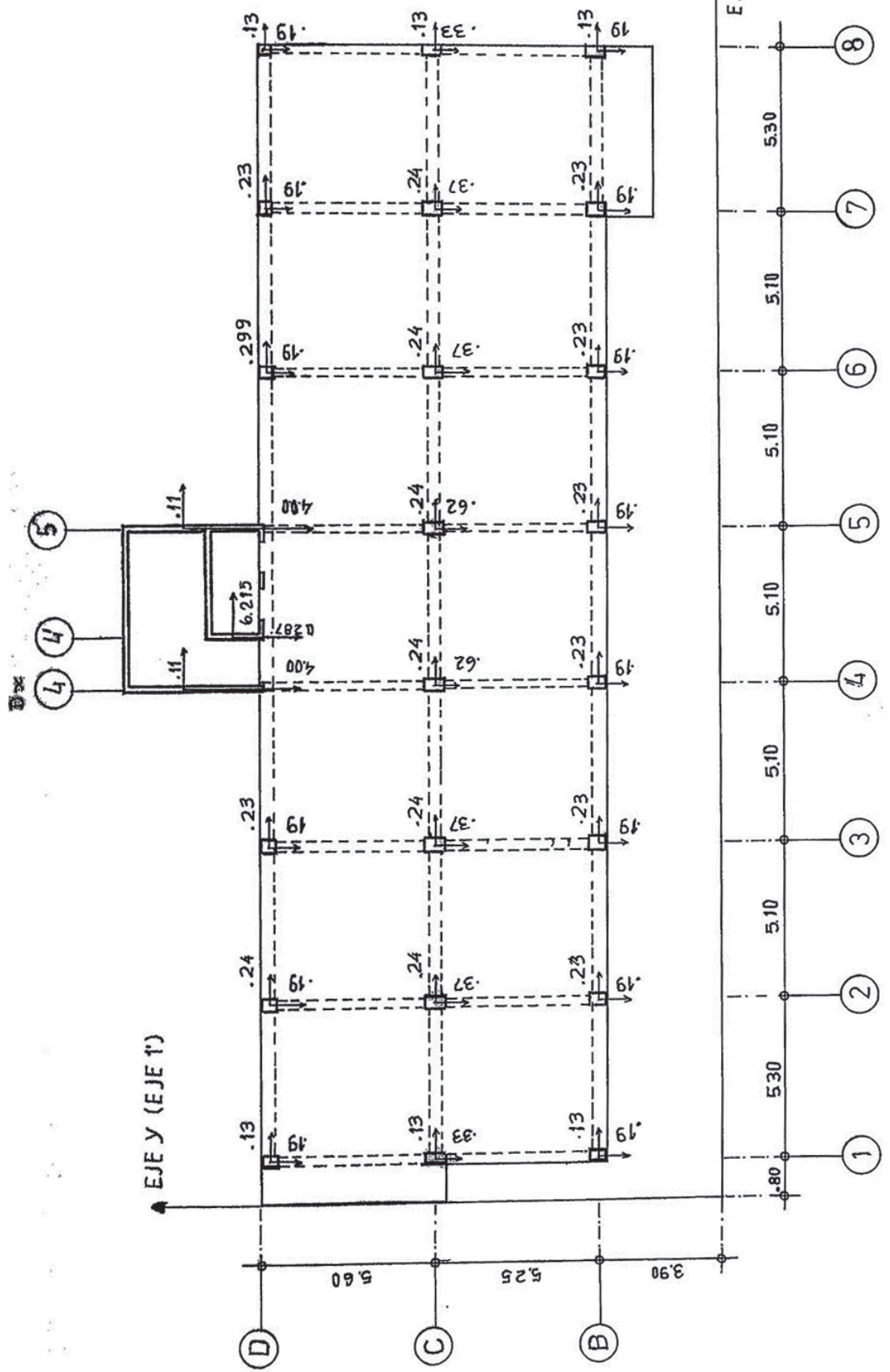
$$x_m = 19.69 \text{ m} \quad \bar{x} = 18.79 \text{ m}$$

$$y_m = 10.25 \text{ m} \quad \bar{y} = 12.04 \text{ m.}$$



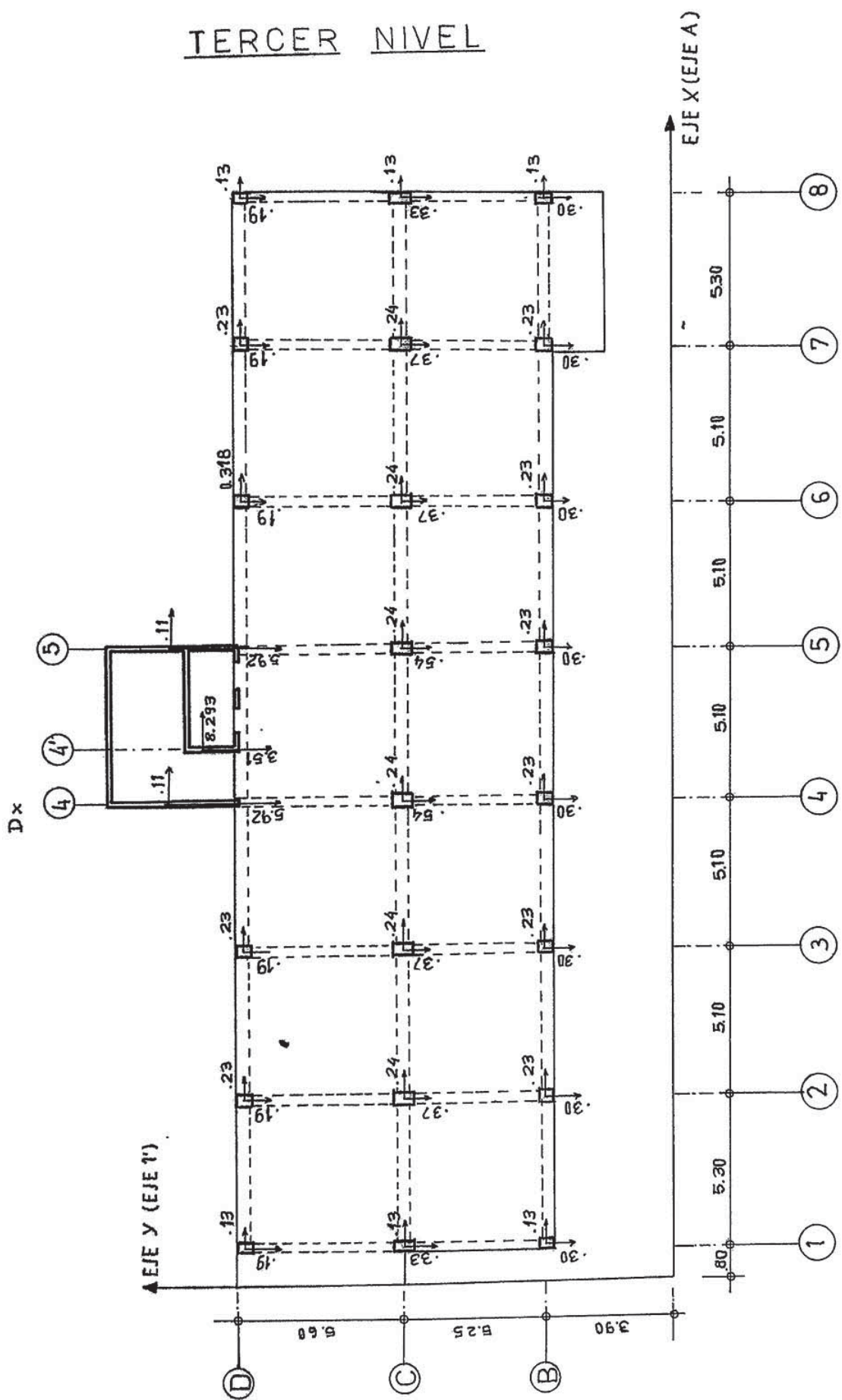
NTO	D <sub>y</sub>	X	D <sub>x</sub>	Y	DIRECCION X V <sub>F</sub>	X V <sub>CORR.</sub>	DIRECCION Y V <sub>F</sub>	Y V <sub>CORR.</sub>
.1	.	1	8	1			1.	2.16
.1	6.0	2	8	6	4.48	1.	2.0	
1	11.1	2	.8	.6	4.48	1	2.0	
1	16.2	.2	.8	6	4.48	1.	1.6	
.1	21.	2	.8	6	4.48	1.	2.08	
.1	6.4	.	.8	.6	4.48	1.	2.8	
.1	1.	2	.8	.6	4.48	1.	2.6	
1	6.6	.	.8	2.12	2.	1.	2.6	
.	.	.1	.10	2.12	2.2	.	.4	
.	6.0	2	.10	.6	4.02		.6	
.	11.1	2	.10	6	4.02			
0	16.2	2	.10	6	4.0	.08	1	
0	21.	2	.10	.6	4.0	.08	.08	
.	26.4	2	.10	6	4.02	.	4.12	
.	1	.	.10	6	4.0		4.6	
.	6.6	.1	.10	2.2	2.2	.	.1	
1	.	.1	14	2.12	2.12	1.	2.16	
.1	6.0	.2	14.	.6	.6	1.	2.0	
1	11.1	.2	14.	6	.6	1.	2.0	
1	26.4	.	8 14.	8	.8	1.	2.8	
1	.	.	14.	.6	6	1.	2.6	
.1	6.6	2	14.	.6	6	1.	2.6	
2.0	16.1	11	16.6	1.80	1.80	.48	2	
.4	1.60	—	1 0	—	—	1.42	1.46	
2.0	21.4	.11	16.6	1.80	1.80	2.48	1.8	
—	19.35	3.854	15.67	62.97	62.97	—	—	
11.58		8.76						

## CUARTO NIVEL



CUARTO NIVEL				4º PISO			
19.35 m.	X = 18.77 m.	10.16 m.	Y = 12.66 m.				Dr
				DIRECCION X		DIRECCION Y	
D <sub>Y</sub>	X	D <sub>X</sub>	Y	V <sub>F</sub>	V <sub>CORR.</sub>	V <sub>F</sub>	V <sub>CORR.</sub>
.19	.95	.13	3.85	2.07	2.42	1.	2 0
.	6 0		8				
.19	11.15	.23	3.85	3.6	4.2	1. 0	1.
1	6		8				
1	21.	2	8		4		
1	26 4	2	8	6	4		69
.1	1	2	8	6	4		
	6 6		8		4		
.							
	6.0	4		8	4		
	1	4		8			
6	6				4		
6		4					
.	26 4	4		8	4 0		4
.	1	24	0	8	4		
	6 6	1					
1		.1	14	0			
	6.0		4				
.	11		4	6			
	6 4			4			
1	1		4				
	6 6	1	1				
4	16 1						
.287	17.60	—	1 . 0	—	—	8	8
4.00	21.4	.11	16.65	1.	1.7	3.97	41. 8
—	19.35	6.215	15.67	98.76	98.76	—	—

### TERCER NIVEL



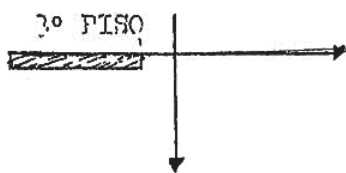
39 NIVEL

• 19.21 m.

$$\bar{x} = 18.78 \text{ m.}$$

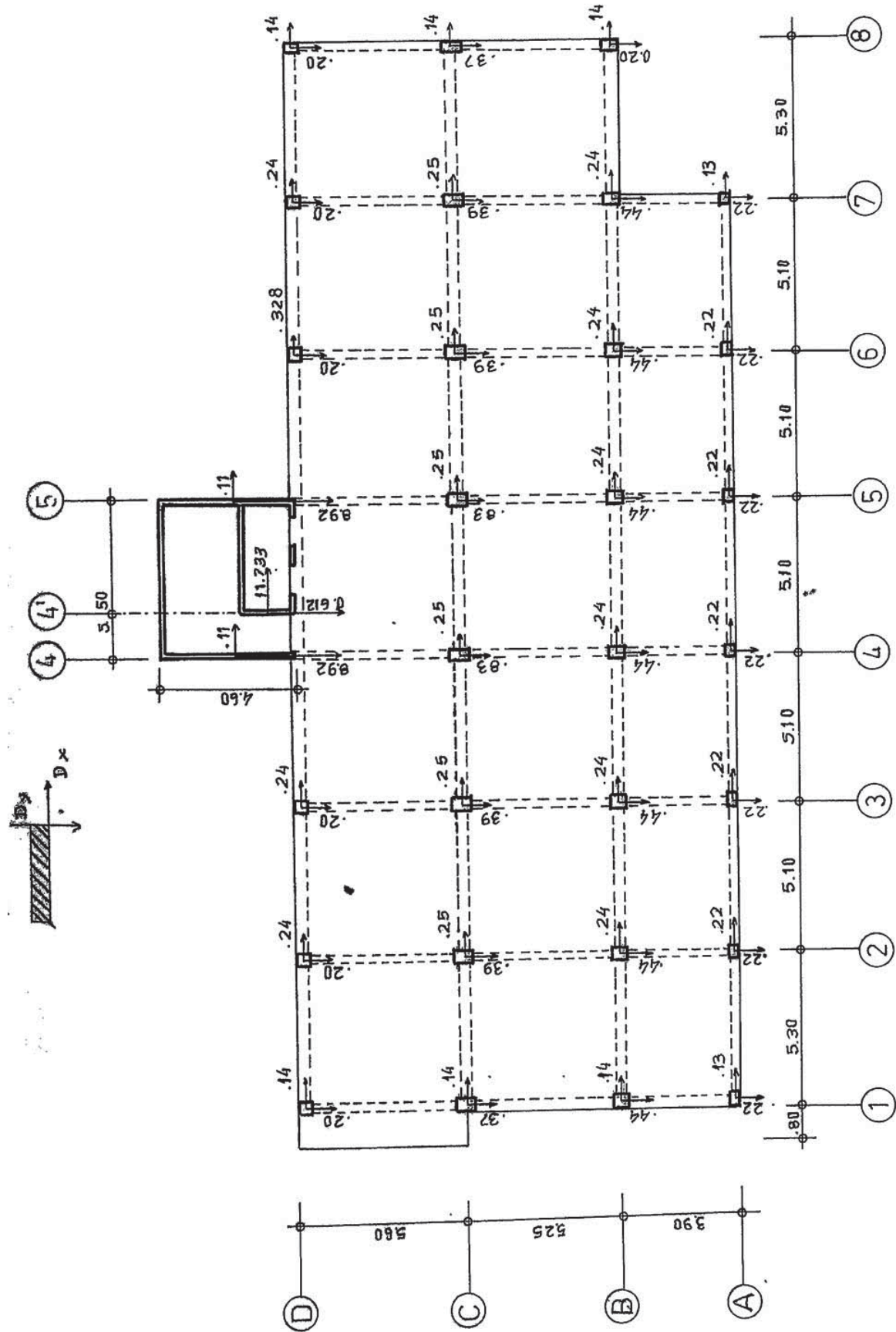
= 10.12 m.

$$Y = 13.23 \text{ m.}$$



M.	D <sub>Y</sub>	X	D <sub>X</sub>	Y	DIRECCION		X V <sub>CORR.</sub>	DIRECCION	
					V <sub>F</sub>	X		V <sub>F</sub>	Y V <sub>CORR.</sub>
B-1	.0	.95	.1	.8	1.9	3.05	2.	1	.8
B-2	.30	6.0	.23	.8	.49	.40	2.	1	.1
-	.0	11.1	.2	.8	.4	.40	2.	1	.2
B-4	.30	16.2	.2	.8	3.4	.40	2.	7	2.69
-	.0	21.	.2	.8	.4	.40	2.	1	2.80
6	.0	26.4	.2	.8	.4	.40	2.	1	.2
B-	.0	1.	.2	.8	.4	.40	2.	1	3.0
8	.0	6.6	.1	.8	1.	.0	2.	1	4.1
G-1	.	.	.1	.10	1.	2.4	2.8	1	.2
2	.	6.0	.24	.10	.64	4.51	.17	1	3.88
.	.	11.1	.24	.10	.64	4.1	.1	1	.60
4	.4	16.26	.24	.10	.64	4.1	4.6	1	4.84
.	.4	21.	.24	.10	.64	4.1	.6	1	.04
-6	.	26.4	.24	.10	.64	4.1	.1	1	4.01
G-	.	1.	.24	.10	.64	4.1	.1	1	4.6
-8	.	6.6	.1	.10	1.	2.4	2.8	1	4.
-1	.1	.	.1	14.	1.	1.	1.6	1	2.14
-2	.1	6.0	.2	14.	4	.4	1.6	1	2.00
-	.1	11.1	.2						
-6		6.4							2.06
-		1							
-8		6							
-4		6							
-1		4							
CAJA									
$\Sigma$	8.			8					

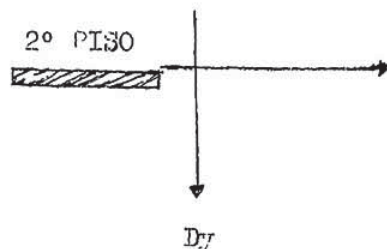
SEGUNDO NIVEL



2º NIVEL

$X_a = 18.99$  m;  $\bar{X} = 18.49$  m.

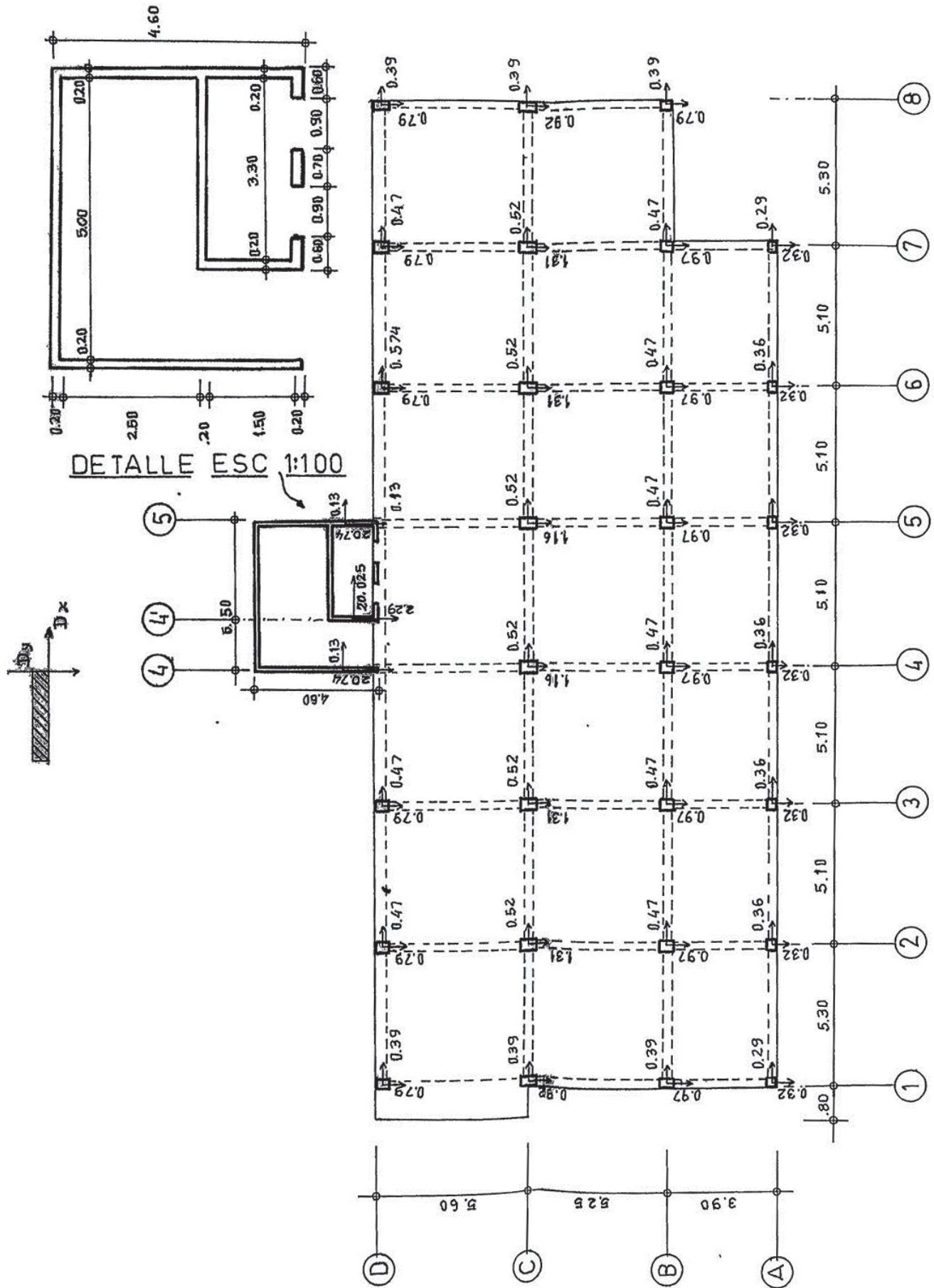
$Y_m = 9.75$  m;  $\bar{Y} = 12.66$  m.



D RECCIO				DIRECCION			
D <sub>X</sub>	X	D <sub>X</sub>	X	v <sub>F</sub>	v <sub>F</sub> <sub>CORR.</sub>	v <sub>F</sub>	v <sub>F</sub> <sub>CORR.</sub>

612	1 .60						
92	21.45	.11	6.65	1.34	1. 4	6. 4	5
.	.	.	.	2.79			

# PRIMER NIVEL



12 NIVEL

D <sub>X</sub>	X	D <sub>X</sub>	X	D RE G ON V	C O V V
4				4	
4				4	
4	8			4	6
4				4	
4				4 4	
6				4	
				4	0
6				4	4
6				4	
4				4	4
				0	
6				1	.8
				4	0
4	4				0
4	4				2
				4	
4					6
				—	—
				—	4
					6
—				8	—
—				—	—
6					

Momentos en columna : C -4- A

$$M_i = V_y h$$

$$M_s = V (1-y) h$$

n	$k_c$	$\bar{K}$	a	D	h	$y_o$	$1-y_o$	V	$M_i$	$M_s$
2	.76	.82	.29	.22	2.80	.40	.60	1.63	1.83	2.74
1	.76	.57	.42	.32	2.80	.63	.37	.07	1.71	1.00

Momentos en columna C - 4- B

n	$k_c$	$\bar{K}$	a	D	h	$y_o$	$1-y_o$	V	$M_i$	$M_s$
6	.57	.75	.27	.16	2.80	.30	.70	1.77	1.49	3.47
5	1.49	.29	.13	.19	2.8	.24	.76	1.96	1.34	4.17
4	1.49	.29	.13	.19	2.8	.35	.65	1.92	1.85	3.52
3	1.49	.50	.20	.30	2.8	.45	.55	2.69	3.39	4.14
2	2.57	.41	.17	.44	2.8	.50	.50	2.90	4.06	4.06
1	2.57	.41	.38	.97	2.8	.80	.20	2.96	6.59	1.70

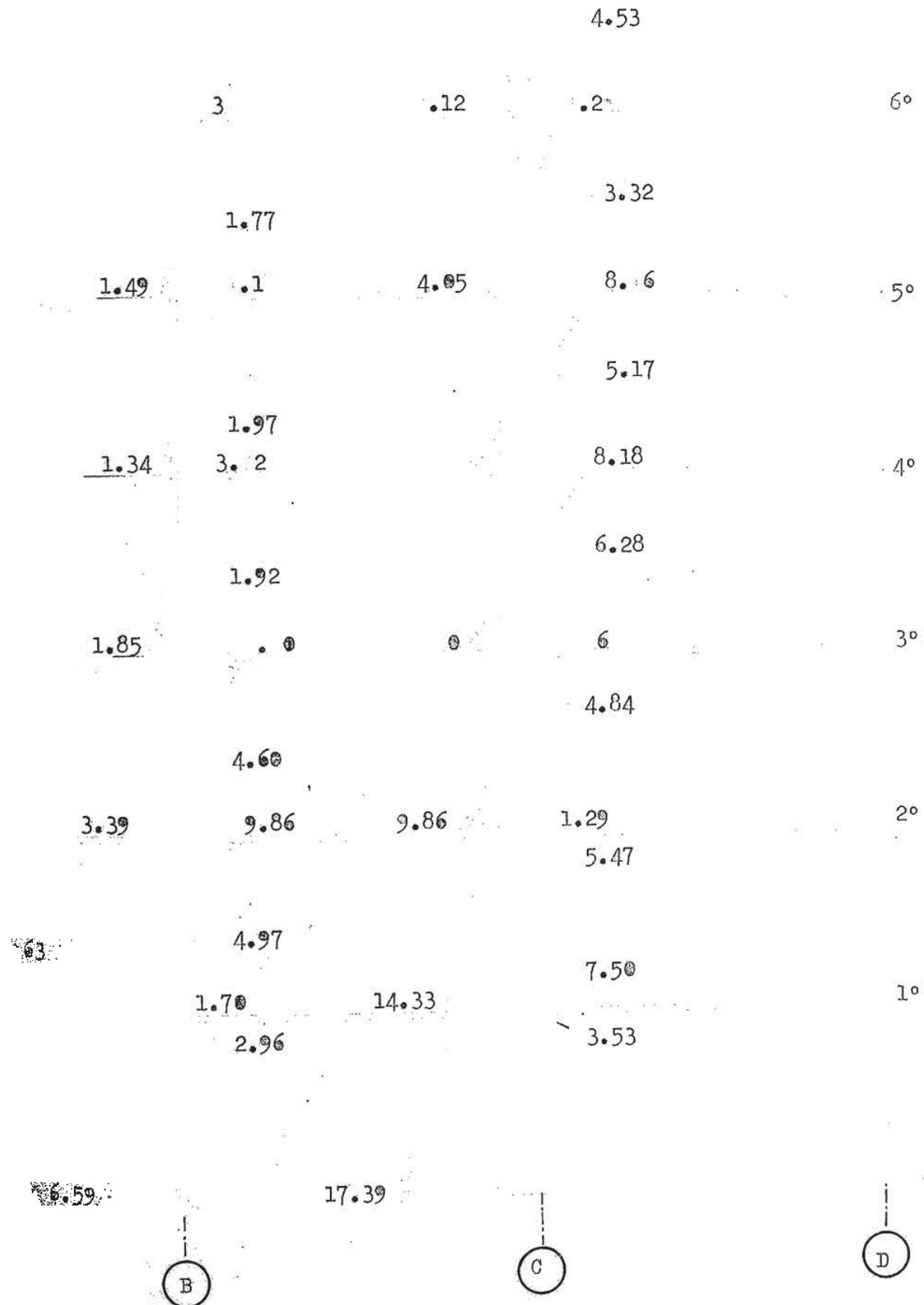
DIAGRAMA DE MOMENTOS FINALES PARA PORTICO PRINCIPAL 4-4 :

A) En columnas :

El momento final se obtendrá :

$$M = \left( \frac{V_{final}}{V_{última}} \right) \times \text{Memento de última iteración}.$$

$$(4.53/4.13)6.63 = 7.27 \text{ ton-m}$$



o) Ex Viges :

8.79 ton

7.27 2.05 tn.

9.57

1.96

6°

3.47

1.03

8.45 3.43

10.34

2.61

5°

5.66

1.58

9.90 3.86

8.92

4.82

4°

4.86

1.84

9.47 3.50

8.36

5.99

2.00

8.68 3.25

3°

4.40

3.98

6.70

2°

2674

2.36

3.05

1.34

7.17

2.64

6.03

3.40

4.02

1°

37

2.15

2.36

1.22

6.78

2.44



3.79 m.

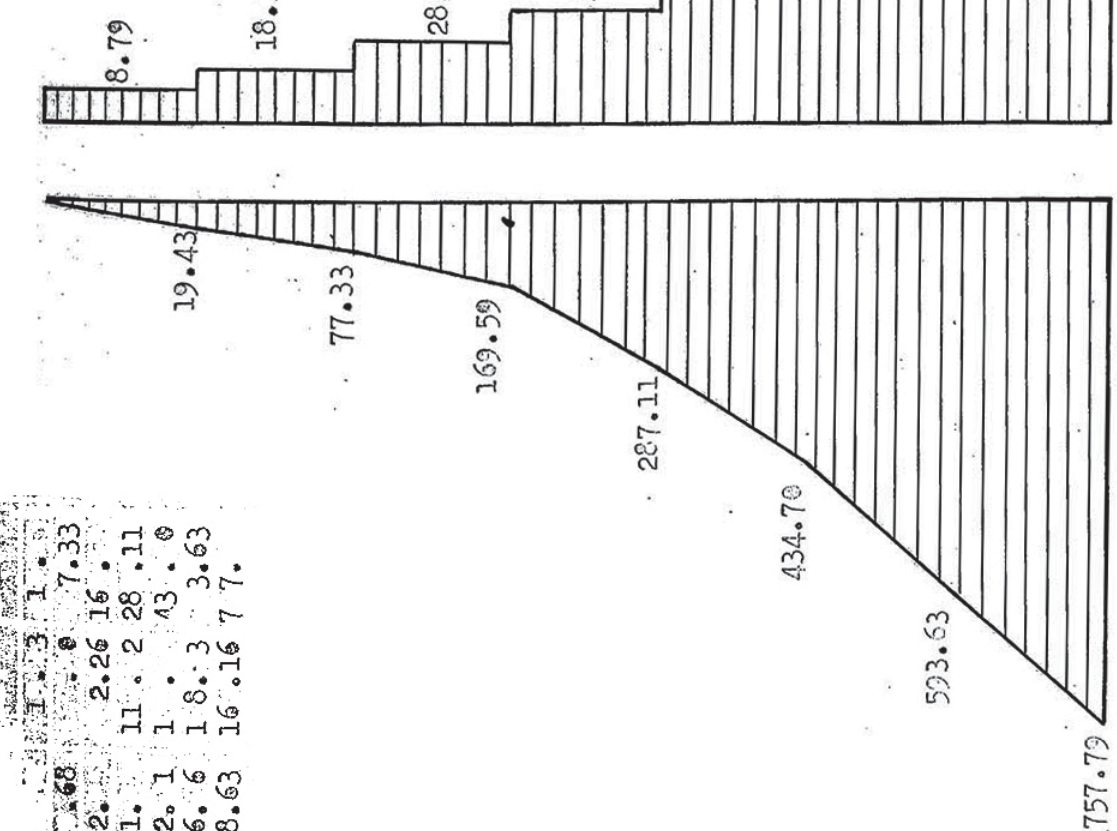
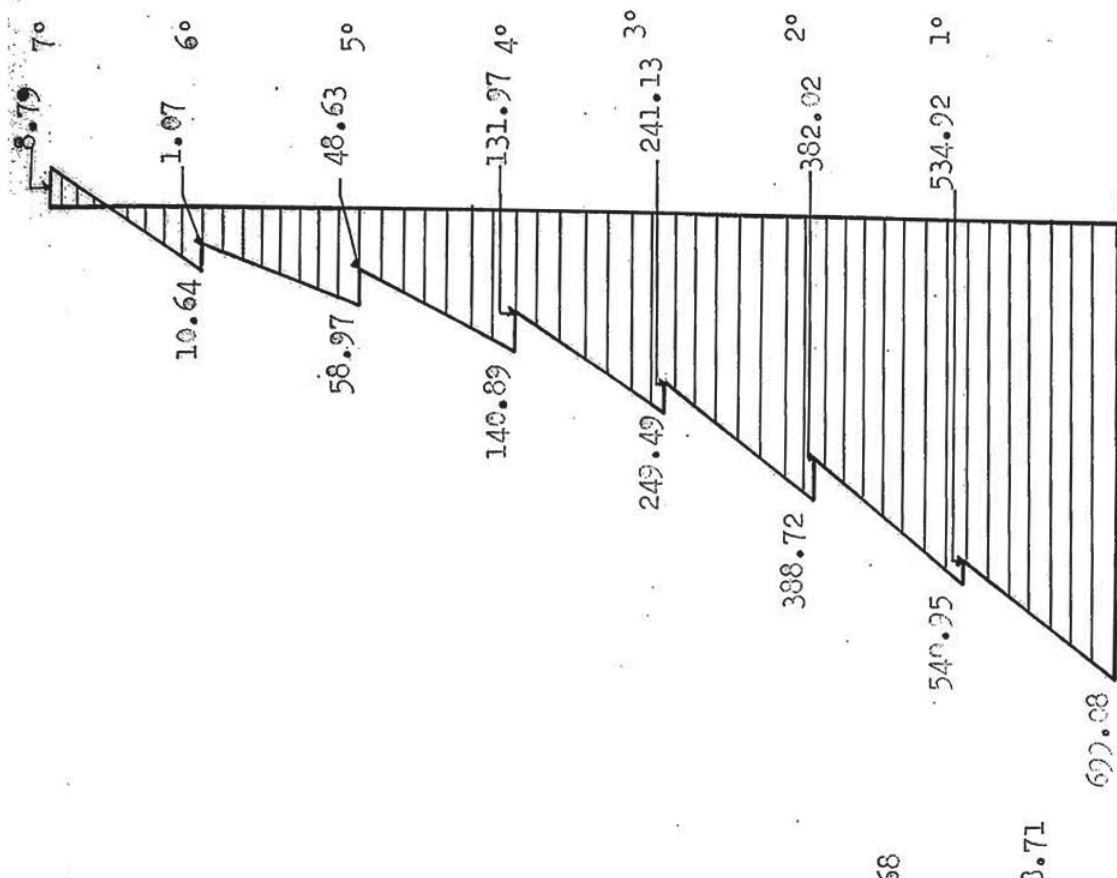
5.25 m.



5.25 m.



DIAGRAMA DE MOMENTOS FINALES POR SISMO EN LA  
DIRECCION Y-Y (Ton-m.)



PÓRTICO SECUNDARIO DE EJE C - C

Cálculo de los puntos de inflexión :

Columnas : C 3, C 4, C 5, C 6, C 7

PISOS	7°	6°	5°	4°	3°	2°	1°
K	1.94	1.94	0.65	0.54	0.54	0.46	0.46
y	0.40	0.45	0.40	0.42	0.45	0.50	0.77

Columna C 1 :

PISOS	6°	5°	4°	3°	2°	1°
K	.97	.33	.33	.33	.27	.27
y	.35	.26	.35	.41	.56	.92

Columna C 2 :

PISOS	7°	6°	5°	4°	3°	2°	1°
K	.97	1.94	.65	.54	.54	.46	.46
y	.35	.40	.40	.42	.45	.50	.78

Columna C 8 :

PISOS	7°	6°	5°	4°	3°	2°	1°
K	.97	.97	.33	.33	.33	.27	.27
y	.35	.40	.31	.40	.45	.59	.88

CORTES Y MOMENTOS EN PORTICO SECUNDARIO C - C

$h = 2.80 \text{ m.}$  ( en todos los pisos ).

$$M_{\text{abajo}} = Vh y$$

$$M_{\text{arriba}} = V h ( l-y )$$

Columnas : C 3, C 4, C 5, C 6, C 7 :

PISOS	7°	6°	5°	4°	3°	2°	1°
V	3.27	2.98	4.02	4.07	4.51	3.62	4.16
y	.40	.45	.40	.42	.45	.50	.77
l-y	.60	.55	.60	.58	.55	.50	.23
M <sub>abajo</sub>	3.66	3.75	4.73	4.79	5.61	5.07	8.97
M <sub>arriba</sub>	5.49	4.59	6.75	6.61	6.95	5.07	2.68

Columna : C 1

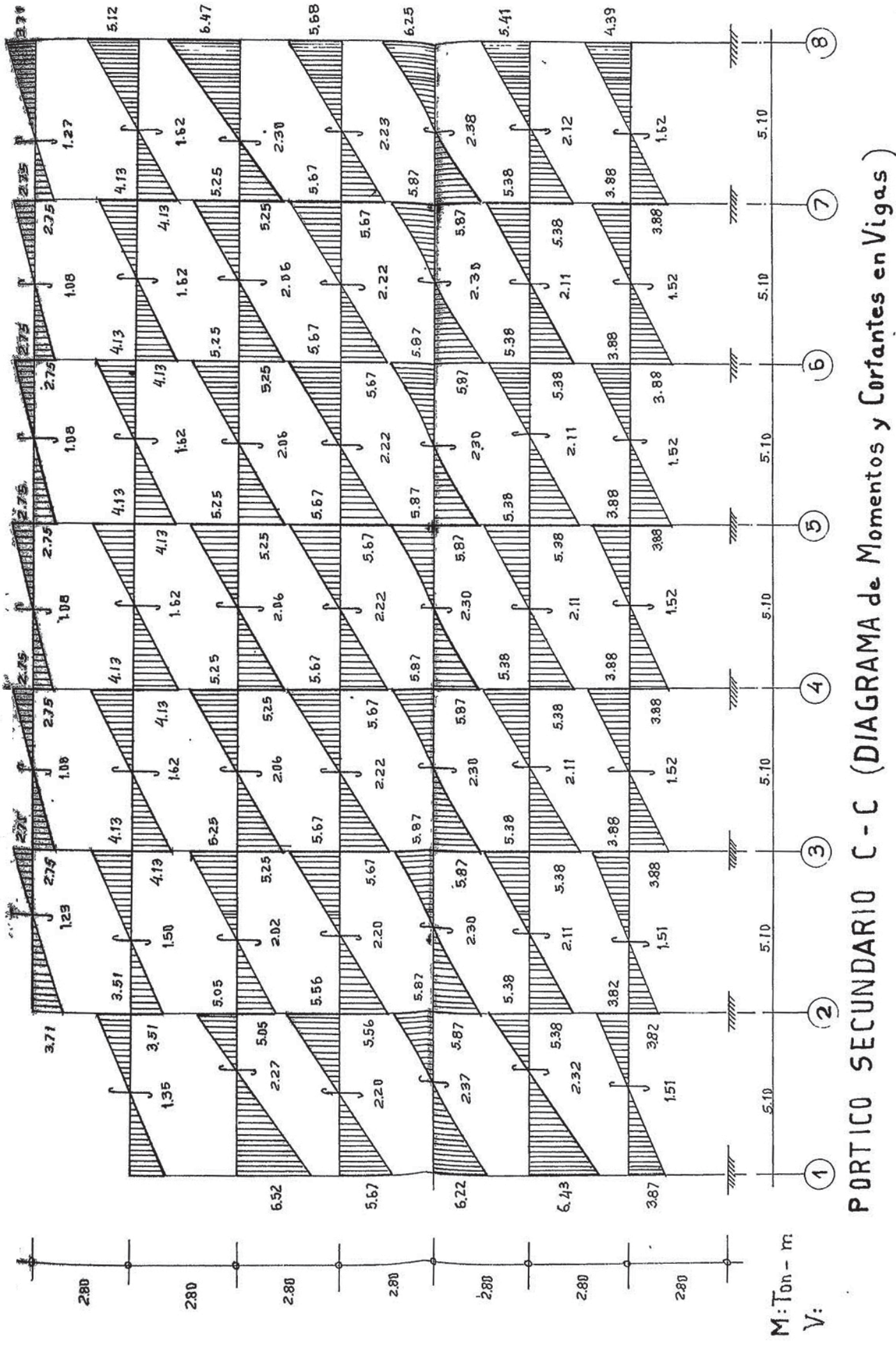
PISOS	6°	5°	4°	3°	2°	1°
V	1.86	2.27	2.21	2.45	2.02	3.12
y	.35	.26	.35	.41	.56	.92
l-y	.65	.74	.65	.59	.64	.08
M <sub>abajo</sub>	1.82	1.65	2.17	2.81	3.17	8.04
M <sub>arriba</sub>	3.39	4.70	4.02	4.05	3.62	.70

COLUMNA : C 2

PISOS	7°	6°	5°	4°	3°	2°	1°
V	2.04	2.98	4.02	4.07	4.51	3.62	4.16
y	.35	.40	.40	.42	.45	.50	.78
1-y	.65	.60	.60	.58	.55	.50	.22
M <sub>abajo</sub>	2.00	3.34	4.50	4.79	5.68	5.07	7.9
M <sub>arriba</sub>	3.71	5.01	6.75	6.61	6.95	5.07	2.56

COLUMNA : C 8

PISOS	7°	6°	5°	4°	3°	2°	1°
V	2.04	1.86	2.27	2.21	2.45	2.02	3.12
y	.35	.40	.31	.40	.45	.59	.88
1-y	.65	.60	.69	.60	.55	.41	.12
M <sub>abajo</sub>	2.00	2.08	1.97	2.48	3.09	3.34	7.60
M <sub>arriba</sub>	3.71	3.12	4.39	3.71	3.77	2.32	1.05



CAPITULO V : ANALISIS ESTRUCTURAL

CAPITULO V

5.80 ANALISIS ESTRUCTURAL

5.10 GENERALIDADES :

Consideraremos en ésta parte de nuestro estudio el análisis por mallas verticales, para lo cual emplearemos el método del Dr. KANI. En adelante lo denominaremos método de "KANI".

Este método tiene las siguientes ventajas :

- 1.- En el caso de nudos fijos (sin considerar desplazamientos), el cálculo en éste método es "correctivo" en cada nudo, pasando luego de éste a otro cualquiera con la cual se ahorra tiempo, y se "eliminan automáticamente los errores", debido a que dicho error desaparece al producirse sucesivas iteraciones.
- 2.- La introducción en el cálculo de la hipótesis de nudos desplazables supone una pequeña variación en el desarrollo del mismo, que no tiene mucha importancia.
- 3.- La comprobación de los resultados puede hacerse en cualquier nudo y en cualquier momento.

5.11 BREVE EXPOSICION DEL METODO DE KANI

- El cálculo estático de una estructura es obtener el equilibrio de la misma, cuando, al cargar sus distintos elementos, si se "se desplazan" los nudos de aquélla.

Con éste método se obtienen los momentos flectores en los extremos de cada una de las barras, quedando determinado el cálculo de la misma, pues los demás valores estáticos, pueden deducirse de éstos en cítes. Por lo tanto el cálculo consistirá esencialmente en la determinación de los momentos en los extremos de cada barra.

- Se considera como positivo el momento flector en el extremo de una barra cuando su sentido de giro es el de las agujas del reloj.
- El proceso de cálculo sería el siguiente :

- 1.- Se calculan los momentos de arrastamiento porfrente :



k ;  $\bar{M}_{k i}$ , para los extremos de todas las barras cargadas y se anotan en el esquema de cálculo. Para los distintos tipos de cargas comúnmente usadas, se pueden encontrar sus valores en los manuales.

3.- Se calculan los momentos de fijación en cada nudo.

El momento de fijación e sujeción en cada nudo está dada por la sgte. relación:

$$\bar{M}_i = \sum_{(i)} \bar{M}_{ik} \quad (\text{Se anota en el círculo dibujado en el centro de cada nudo}).$$

3.- Se calculan las rigideces relativas de las columnas y de las vigas.

Para columnas será:  $K_c = \frac{I_c}{h}$

Para vigas será:  $K_v = \frac{I_v}{L}$

4.- Se calculan las constantes del nudo:  $f_i$ , que está dada por la sgte relación:  $\sum_{j=1}^n K_{ij}$

5.- Se calculan los factores de giro: ( $\mu_{ik}$ )

$\mu_{ik}$ , está dada por la siguiente relación:

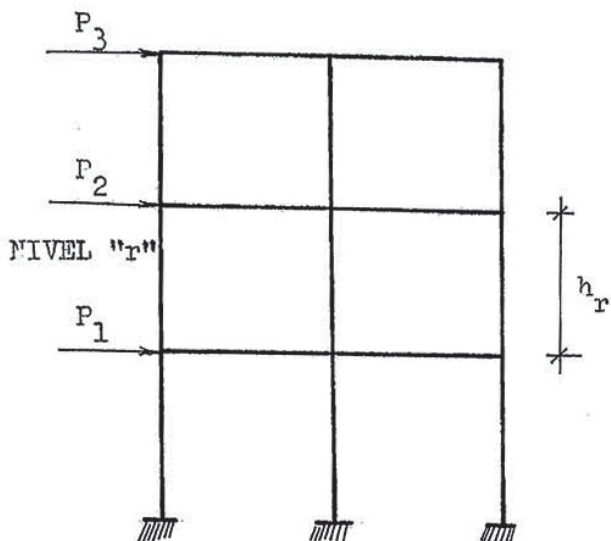
$$\mu_{ik} = - \frac{K_{ik}}{\sum_i K_{ij}} ; k = 1, 2, 3, 4, 5 \dots \dots \dots , n$$

Los factores de giro, se anotan en el esquema de cálculo (dentro del círculo) frente a cada barra.

6.- En caso de que se tenga nudos desplazables se calculan los factores de desplazamiento para columnas ( $t_{ij}$ ); y que estan dadas por la siguiente relación :

$$t_{ij} = - \frac{3}{2} \times \frac{K_{ij}}{\sum_r K_{ij}} , \quad (\text{El factor de } \frac{3}{2} \text{ se considera en el caso de columnas empotradas}).$$

$\sum_{(r)} K_{ij} \Rightarrow$  Se refiere a la suma de las rigideces de todas las columnas del nivel r.



Se calcula el Momento parcial debido a los giros de los extremos de las barras adyacentes al nudo en estudio (nudo i) con la siguiente relación:

$$M'_{ij} = \mu_{ij} \left[ \bar{M}_i + \sum M'_{ji} + (M''_{i \text{ cel.sup.}} + M''_{i \text{ cel.inf.}}) \right]$$

dónde en la anterior relación:

$\bar{M}_i$  = Momento de sujeción del nudo i

$M'_{ji}$  = Momentos en los extremos opuestos de las barras

$M''_{i \text{ cel.sup.}}$ ;  $M''_{i \text{ cel.inf.}}$  = Momentos debidos a los desplazamientos relativos en las columnas superior e inferior al nudo i.

NOTA.— Designaremos como extremo contiguo, el extremo de una barra que concurre en un nudo y como extremo opuesto el otro extremo de la misma o sea, que a cada nudo corresponderá la misma cantidad de extremos contiguos como de extremos opuestos.

Se calculan los momentos parciales debidos a los desplazamientos relativos de los pisos ( $M'_{ij}$ ): (Momentos de entrepiso)

$$M''_{ij} = \left[ \frac{Q_r h_r}{3} + \sum (M'_{\text{sup.}} + M'_{\text{inf.}}) \right]$$

dónde:

$Q_r$  = Resultante de las fuerzas externas.

$h_r$  = Altura del nivel r

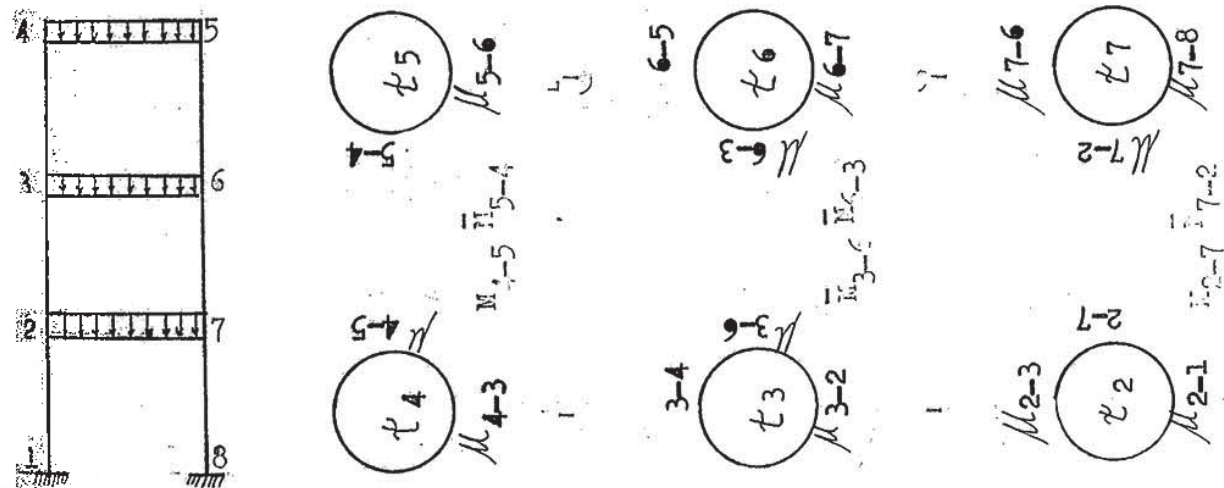
$$\frac{Q_r h_r}{3} = \text{Memento de piso}$$

- 9.- Con iteracciones sucesivas se consiguen los mementos parciales debido a los giros y a los desplazamientos.
- 10.- Finalmente se obtienen los mementos definitivos en los extremos de las barras sumando los mementos de empotramiento  $\bar{M}_{ik}$ , las influencias de los giros  $M'_{ik}$  y las influencias del desplazamiento  $M''_{ik}$ . Así por ejemplo el Memento final para el extremo de la barra i-k será:

$$M_{ik} = \bar{M}_{ik} + 2M'_{ik} + M''_{ik}$$

#### 5.11.10 ESQUEMA DE CALCULO PRACTICO :

Para un cálculo práctico se asume un esquema práctico tal como el que mostramos a continuación, como ejemplo:



#### 5.20 METRADO DE CARGAS PARA VIGAS

##### a) Reducción de sobrecargas:

La reducción de sobrecargas en Vigas la haremos para nuestro pórtico principal en estudio 4-4.

##### VIGAS ENTRE EJES C Y D

Área de influencia para las vigas comprendidas entre los ejes C y D será:

$$= 5.10 \times 5.25 = 26.78 \text{ m}^2 > 15.0 \text{ m}^2$$

El porcentaje de reducción de la sobrecarga; se emplean 3 criterios:

1.-  $R \leq 0.8 \% (A_i)$

$\rightarrow R \leq 0.8 \% (26.78) = 21.4 \%$

2.-  $R \leq \frac{100 (D + L)}{4.33 L}$

$$R \leq \frac{100 (550 + 250)}{4.33 (250)} = 73.9 \%$$

3.-  $R \leq 60 \%$ .

De estos tres criterios se escoge el mayor.

Luego tomanos

$$R = 21.4 \%$$

Por lo tanto la sobrecarga a utilizarse en el diseño será:

$$\frac{s}{c} = w_L = 250 (1 - 0.214) = 250 (.786) = 197 \text{ kg/m}^2$$

La sobrecarga a utilizarse del 1º Nivel al 6º será  $197 \text{ kg/m}^2$

#### VIGAS ENTRE EJES B y C

Del nivel 1º al 6º es igual a la reducción para las vigas entre ejes C y D.

#### VIGAS ENTRE EJES B y A

$$A_i = 5.10 \times 3.70 = 18.87 \text{ m}^2$$

1.-  $R \leq 0.8 \% (18.87) = 15.10 \%$

2.-  $R \leq \frac{100 (550 + 250)}{4.33 (250)} = 73.9 \%$

3.-  $R \leq 60 \%$ .

a utilizarse en el diseño será:

$$w_L = 250 (1 - 0.151) = 212 \text{ kg/m}^2$$

b.- RESUMEN DE CARGAS PARA VIGAS

Ancho de influencia = 5.10 mts. ( perpendicular al pórtico).

VIGAS ENTRE EJES:	Car aligerade	ermanentes piso terminado	k pese propio de vigas	m.L.	tabiquería móvil	$W_d$	s/c reduc da kg/m.L
B C	1785.0	510.0	324.0		510.0	3129.0	1005.0
C D	1785.0	510.0	324.0		510.0	3129.0	1005.0
A B	1785.0	510.0	324.0		510.0	129.0	1081.0

El cuadro resumen anterior es válido para los niveles del 1º al 6º Nivel.

Para la azotea no hay reducción de sobrecarga.

La carga total para la azotea será :  $W_d = 2395.0 \text{ kg/m.L}$ .

5.30 CALCULO DE LOS MOMENTOS FLECTORES POR CARGAS VERTICALES.

Para calcular los momentos flectores utilizamos el método de KANI.

5.31 ANALISIS DEL PORTICO PRINCIPAL 4-4.-

Para nuestro estudio tendremos los siguientes casos:

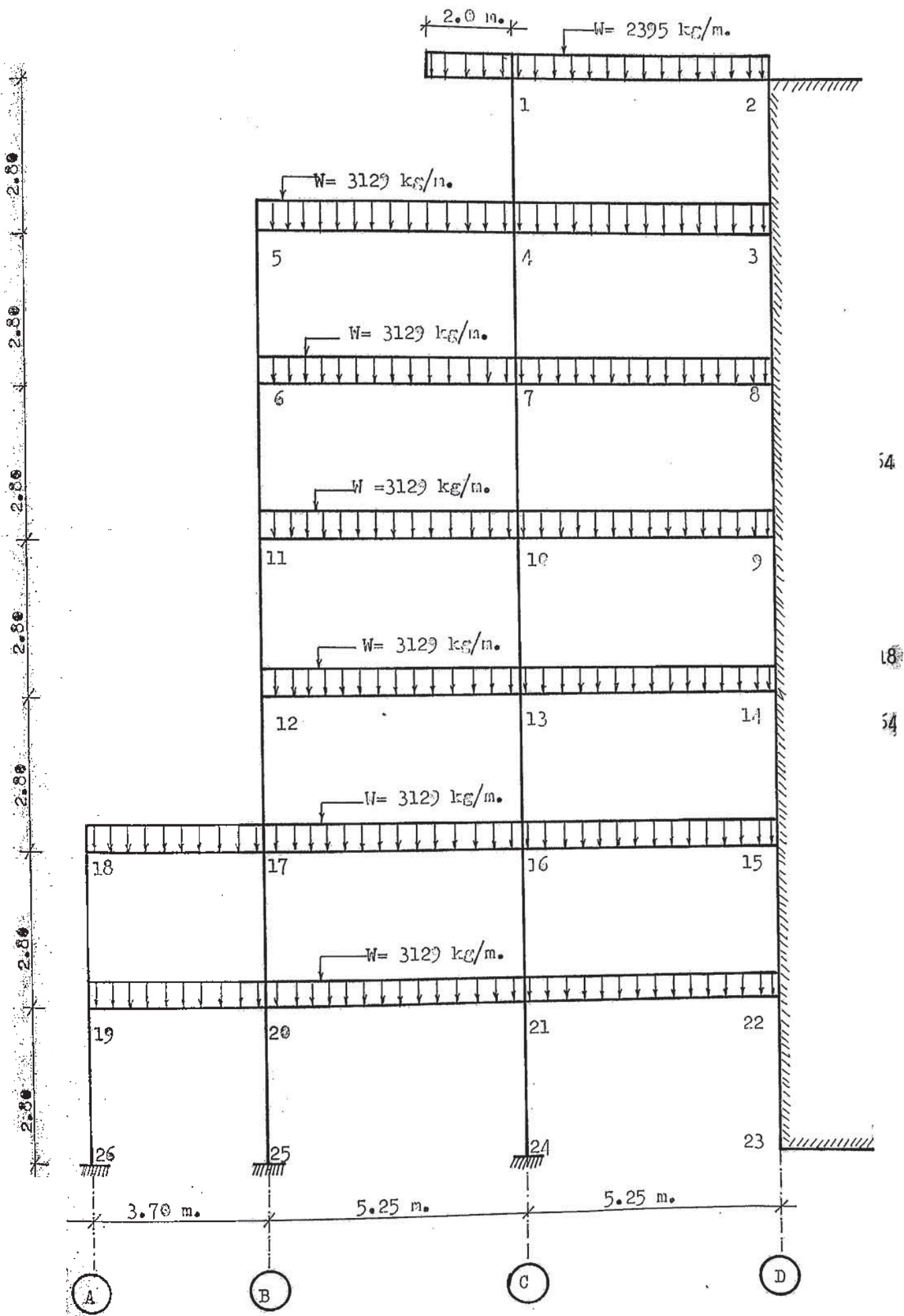
a.- Análisis estructural del pórtico en estudio por carga muerta.

b.- Variación de sobrecarga por el sistema de dameros.

a.- ANALISIS POR CARGA MUERTA TOTAL

Para nuestro estudio del pórtico 4-4 no consideramos desplazamiento de las columnas del pórtico, ya que está restringido por la placa 4.

El modelo matemático sería :



Cálculo de los coeficientes de giro:

Nudo 1

$$\mu_{1-2} = -\frac{1}{2} \times \frac{43}{1.00} = -.215$$

$$\mu_{1-4} = -\frac{1}{2} \times \frac{57}{1.00} = -.285$$

Nudo 5

$$\mu_{5-4} = -\frac{1}{2} \times \frac{43}{1.00} = -.215$$

$$\mu_{5-6} = -\frac{1}{2} \times \frac{57}{1.00} = -.285$$

Nudo 4

$$\mu_{4-1} = -\frac{1}{2} \times \frac{57}{2.0} = -.145$$

$$\mu_{4-5} = -\frac{1}{2} \times \frac{43}{2.00} = -.105$$

$$\mu_{4-3} = -\frac{1}{2} \times \frac{43}{2.00} = -.105$$

$$\mu_{4-7} = -\frac{1}{2} \times \frac{57}{2.00} = -.145$$

Nudo 6

$$\mu_{6-5} = -\frac{1}{2} \times \frac{57}{2.49} = -.114$$

$$\mu_{6-11} = -\frac{1}{2} \times \frac{1.49}{2.49} = -.30$$

$$\mu_{6-7} = -\frac{1}{2} \times \frac{43}{2.49} = -.086$$

Nudo 11

$$\mu_{11-6} = -\frac{1}{2} \times \frac{1.49}{3.41} = -.218$$

$$\mu_{11-12} = -\frac{1}{2} \times \frac{1.49}{3.41} = -.218$$

$$\mu_{11-10} = -\frac{1}{2} \times \frac{43}{3.41} = -.064$$

Nudo 12

$$\mu_{12-11} = -\frac{1}{2} \times \frac{1.49}{3.41} = -.218$$

$$\mu_{12-17} = -\frac{1}{2} \times \frac{1.49}{3.41} = -.218$$

$$\mu_{12-13} = -\frac{1}{2} \times \frac{43}{3.41} = -.064$$

Nudo 7

$$\mu_{7-4} = -\frac{1}{2} \times \frac{57}{2.92} = -.097$$

$$\mu_{7-10} = -\frac{1}{2} \times \frac{1.49}{2.92} = -.255$$

$$\mu_{7-6} = -\frac{1}{2} \times \frac{43}{2.92} = -.074$$

$$\mu_{7-8} = -\frac{1}{2} \times \frac{43}{2.92} = -.074$$

Nude 17

$$\mu 17-12 = - \frac{1}{2} \times \frac{1.49}{5.11} = - .147$$

$$\mu 17-20 = - \frac{1}{2} \times \frac{2.57}{5.11} = - .251$$

$$\mu 17-16 = - \frac{1}{2} \times \frac{.43}{5.11} = - .042$$

$$\mu 17-18 = - \frac{1}{2} \times \frac{.62}{5.11} = - .060$$

Nude 16

$$\mu 16-13 = - \frac{1}{2} \times \frac{2.57}{7.51} = - .171$$

$$\mu 16-15 = - \frac{1}{2} \times \frac{.43}{7.51} = - .028$$

$$\mu 16-17 = - \frac{1}{2} \times \frac{.43}{7.51} = - .028$$

$$\mu 16-21 = - \frac{1}{2} \times \frac{4.08}{7.51} = - .273$$

Nude 18

$$\mu 18-17 = - \frac{1}{2} \times \frac{.67}{1.38} = - .225$$

$$\mu 18-19 = - \frac{1}{2} \times \frac{.76}{1.38} = - .275$$

Nude 19

$$\mu 19-18 = - \frac{1}{2} \times \frac{.76}{2.14} = - .177$$

$$\mu 19-26 = - \frac{1}{2} \times \frac{.76}{2.14} = - .177$$

$$\mu 19-20 = - \frac{1}{2} \times \frac{.62}{2.14} = - .146$$

Nude 20

$$\mu 20-17 = - \frac{1}{2} \times \frac{2.57}{6.19} = - .207$$

$$\mu 20-25 = - \frac{1}{2} \times \frac{2.57}{6.19} = - .207$$

$$\mu 20-19 = - \frac{1}{2} \times \frac{.62}{6.19} = - .051$$

$$\mu 20-21 = - \frac{1}{2} \times \frac{.43}{6.19} = - .035$$

Nude 21

$$\mu 21-20 = - \frac{1}{2} \times \frac{.43}{9.02} = - .024$$

$$\mu 21-22 = - \frac{1}{2} \times \frac{.43}{9.02} = - .024$$

$$\mu 21-16 = - \frac{1}{2} \times \frac{4.08}{9.02} = - .226$$

$$\mu 21-24 = - \frac{1}{2} \times \frac{4.08}{9.02} = - .226$$

Cálculo de los Momentos de empotramiento perfecto:

Azotea:

$$M_{12} = - M_{21} = - \frac{1}{12} W L^2 = \frac{1}{12} (2395) (5.25)^2 = 5501 \text{ kg-m} = 5.50 \text{ tn-m.}$$

Momento en el Voladizo:

$$M = \frac{1}{2} W L^2 = \frac{1}{2} (2395) (2.0)^2 = 4.79 \text{ tn-m.}$$

pisos típicos:

Momentos comprendidos entre los ejes B, C, D:

$$M_{ik} = - M_{ki} = - \frac{1}{12} W L^2 = - \frac{1}{12} (3.129 \text{ ton/m}) (5.25)^2 = - 7.19 \text{ tn-m.}$$

Momentos comprendidos entre los ejes A, B.

$$M_{AB} = - M_{BA} \text{ (Válidos para 1º y 2º nivel)}$$

$$M = - \frac{1}{12} W L^2 = - \frac{1}{12} (3.129 \text{ ton/m}) (3.70)^2 = 3.57 \text{ ton-m.}$$

Luego los momentos serán: ( Ver plane N° — — — )

b) Análisis por variación de sobrecarga ( sistema de dameros )

Los momentos finales para los distintos tipos de variación de sobrecarga se muestran en el plane N°  $\frac{S_1 + S_2}{2}$  — — —

5.32 ANALISIS POR CARGAS VERTICALES EN EL SENTIDO SECUNDARIO

Haremos el estudio en el sentido secundario del vértice secundario representativo C-C.

METRADO DE CARGAS PARA VIGAS:

piso típico:

p. p. de Vigas: . 30 x .40 x 2400 = 288 kg/m.

$\frac{1}{2}$  mt. de influencia a cada

lado de la viga: 1.0 x 350 = 350 kg/m.

sobrecarga:  $1.0 x 250 = 250 \text{ kg/m.}$

Carga total: 888 kg/m.

Luego:

$$W_T \text{ piso típico} = . 89 \text{ Ton/m.L.}$$

Azetas:

$$\text{p. p. de vigas: } .30 \times .40 \times 2400 = 288 \text{ kg/m.}$$

influencia de

$$\text{aligerado (1.0 m): } 1.0 \times 1.0 \times 350 = 350 \text{ kg/m.}$$

$$\begin{aligned} s/c &: 150 \text{ kg/m}^2 \times 1.0 \\ &\quad = 150 \text{ kg/m.} \\ \hline W_T &= 788 \text{ kg/m.} \end{aligned}$$

$$W_T = .79 \text{ t/m.L.}$$

Carga en el Velado:

$$\text{p. p. Viga} = .30 \times .40 \times 2400 = 288.0$$

$$\text{peso de muro} = 864.0 \text{ kg/m.} = 864.0$$

$$\hline W = 1152 \text{ kg/m.}$$

$$W = 1.152 \text{ t/m.}$$

$$s/c \text{ en Velado: } 250 \times 1.0 = 250 \text{ kg/m.}$$

Carga total en el Velado:

$$W_T = 1152 \text{ kg/m} + 250 \text{ kg/m} = 1402 \text{ kg/m.}$$

$$W_T = 1.40 \text{ t/m.}$$

- Coeficientes de giro: Ver plane N° 53

- Factores de cerramiento para columnas

Se considera desplazamiento ya que en éste sentido ningún elemento arriestra el perímetro secundario C-C

Entrepiso 7°

$$c_2 = c_3 = c_4 = c_5 = c_6 = c_7 = c_8 = -\frac{3}{2} \times \frac{32}{2.24} = -214$$

else 6°

$$c_2 = c_3 = c_4 = c_5 = c_6 = c_7 = c_8 = -\frac{3}{2} \times \frac{32}{2.56} = -187$$

else °

$$c_2 = c_3 = c_4 = c_5 = c_6 = c_7 = c_8 = -\frac{3}{2} \times \frac{95}{7.6} = -187.$$

Entrepise 4°

$$C_1 = C_8 = - \frac{3}{2} \times \frac{.95}{8.74} = - . 163$$

$$C_2 = C_3 = C_4 = C_5 = C_6 = C_7 = - \frac{3}{2} \times \frac{1.14}{8.74} = - . 195$$

Entrepise 3°

( Similar al entrepise 4° )

Entrepise 2° = Entrepise 1°

$$C_1 = C_8 = - \frac{3}{2} \times \frac{1.14}{10.32} = - . 165$$

$$C_2 = C_3 = C_4 = C_5 = C_6 = C_7 = - \frac{3}{2} \times \frac{1.34}{10.32} = - . 194$$

La disposición de los calculos así como los momentos finales se muestran en el plane N° S3

CAPITULO VI : ENVOLVENTES DE MOMENTOS FLECTORES  
Y FUERZAS CORTANTES

CAPITULO VI

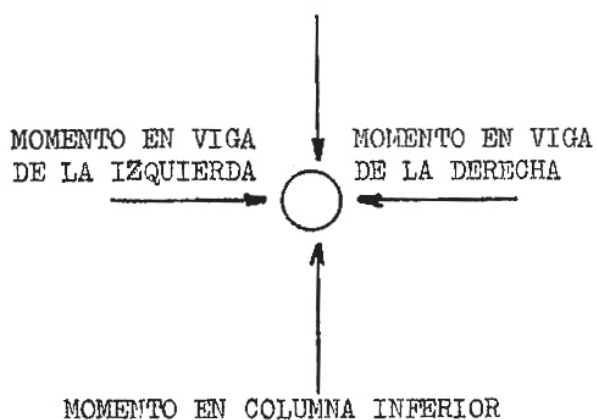
6.00 ENVOLVENTES DE MOMENTOS FLECTORES Y FUERZAS CORTANTES:

6.10 ESTUDIO EN LA DIRECCION PRINCIPAL Y-Y :

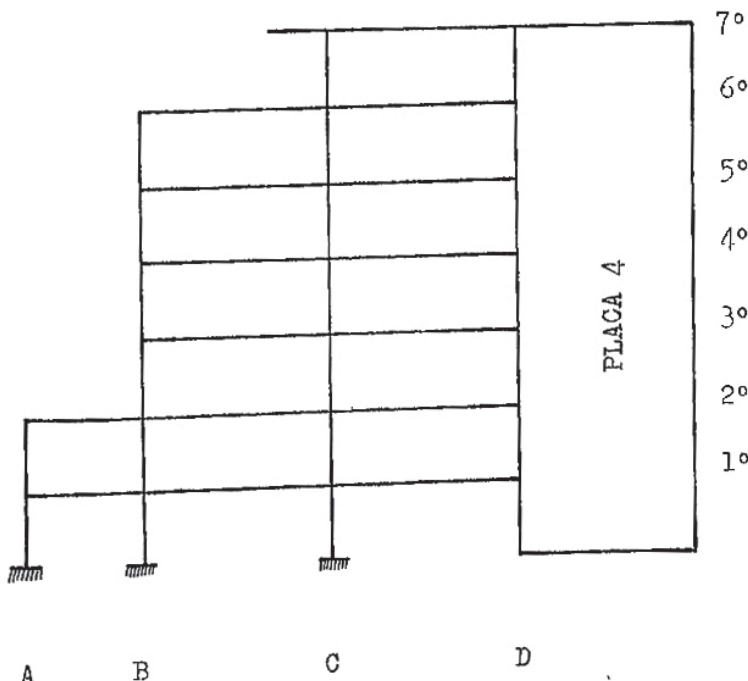
Este estudio lo haremos para el pértilce representativo 4-4 debido a los diferentes tipos de cargas.

En general tendremos, resumido el siguiente esquema de Momentos obtenidos del cálculo, para los distintos sistemas de carga.

MOMENTO EN COLUMNAS SUPERIOR

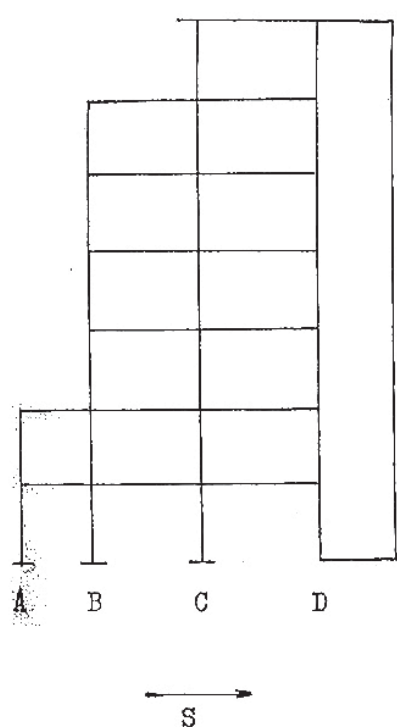


Nuestro esquema típico para el pértilce que estudiaremos será: ( afectado de los respectivos estados de carga: sismo, carga permanente, sobrecarga, etc.)

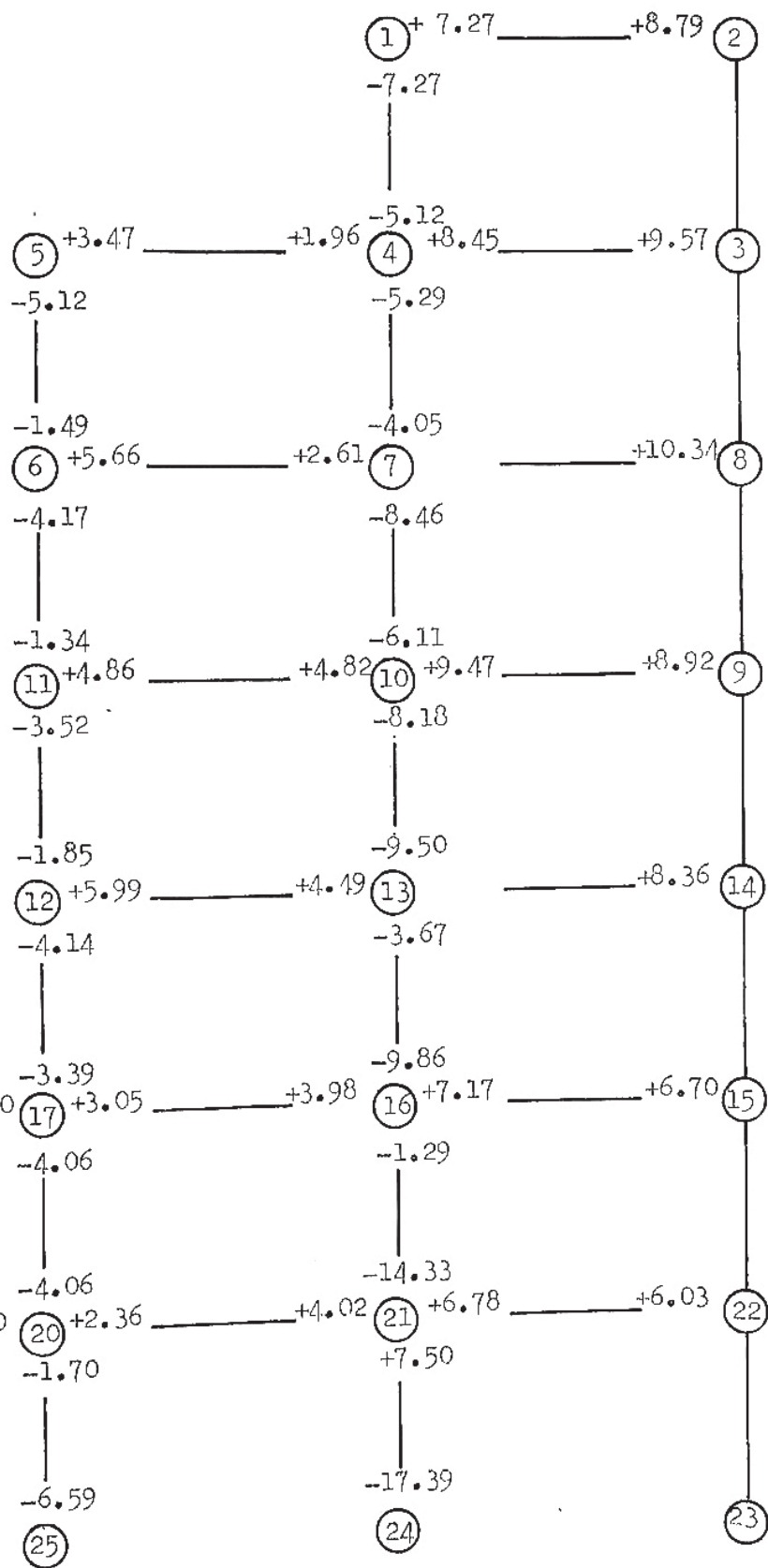


6.11 MOMENTOS FLECTORES OBTENIDOS SEGUN LOS DISTINTOS SISTEMAS  
DE CARGA

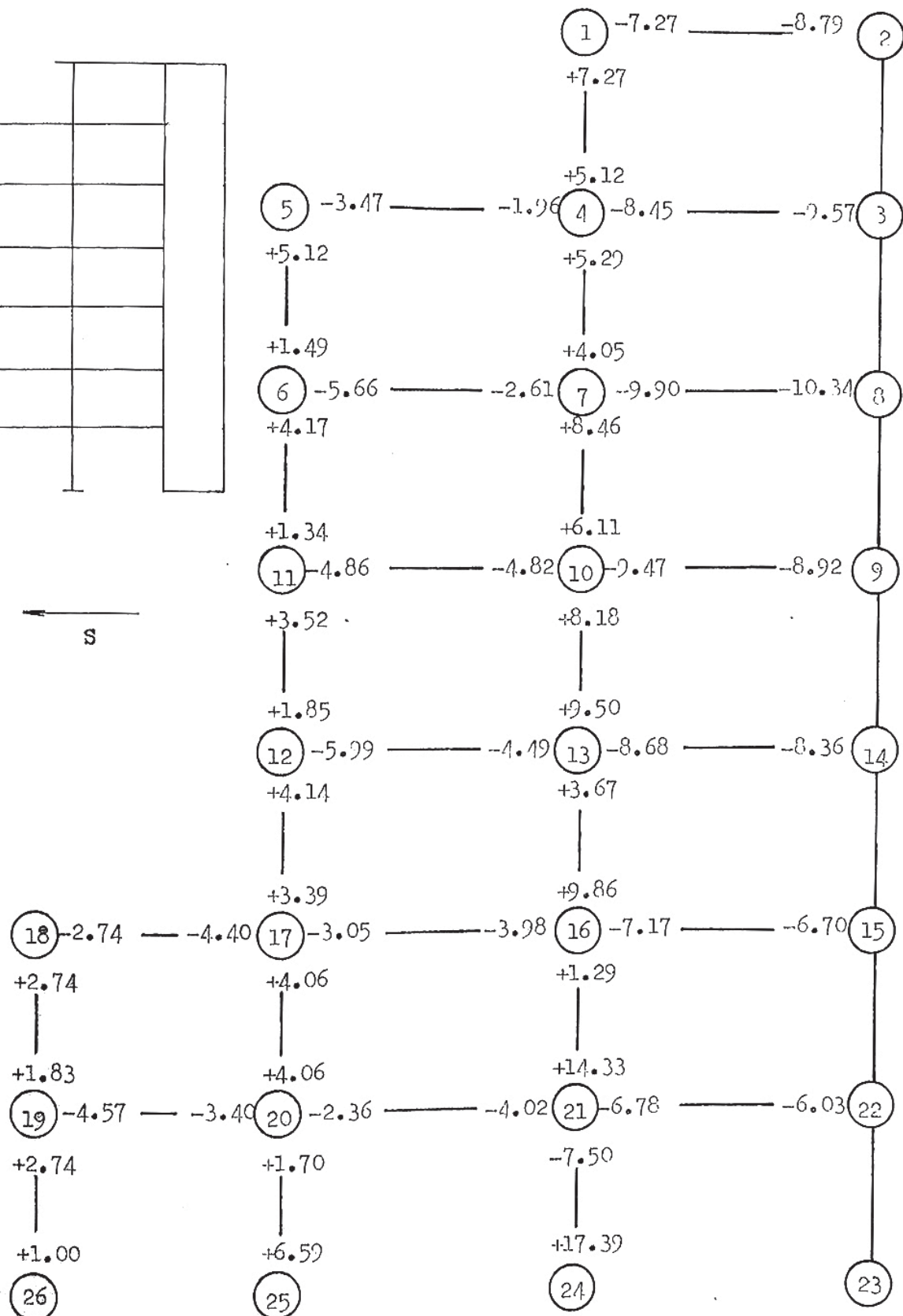
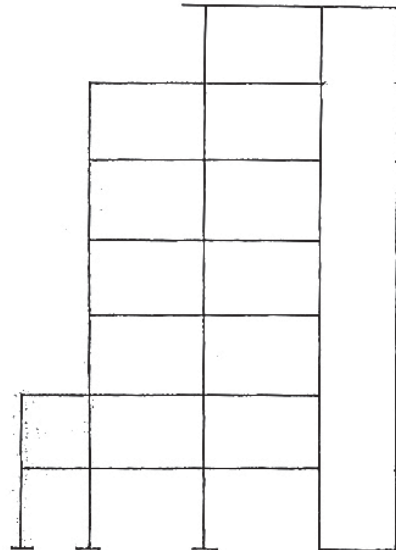
6.11.10 SISTEMA  $\vec{S}$  : SISMO



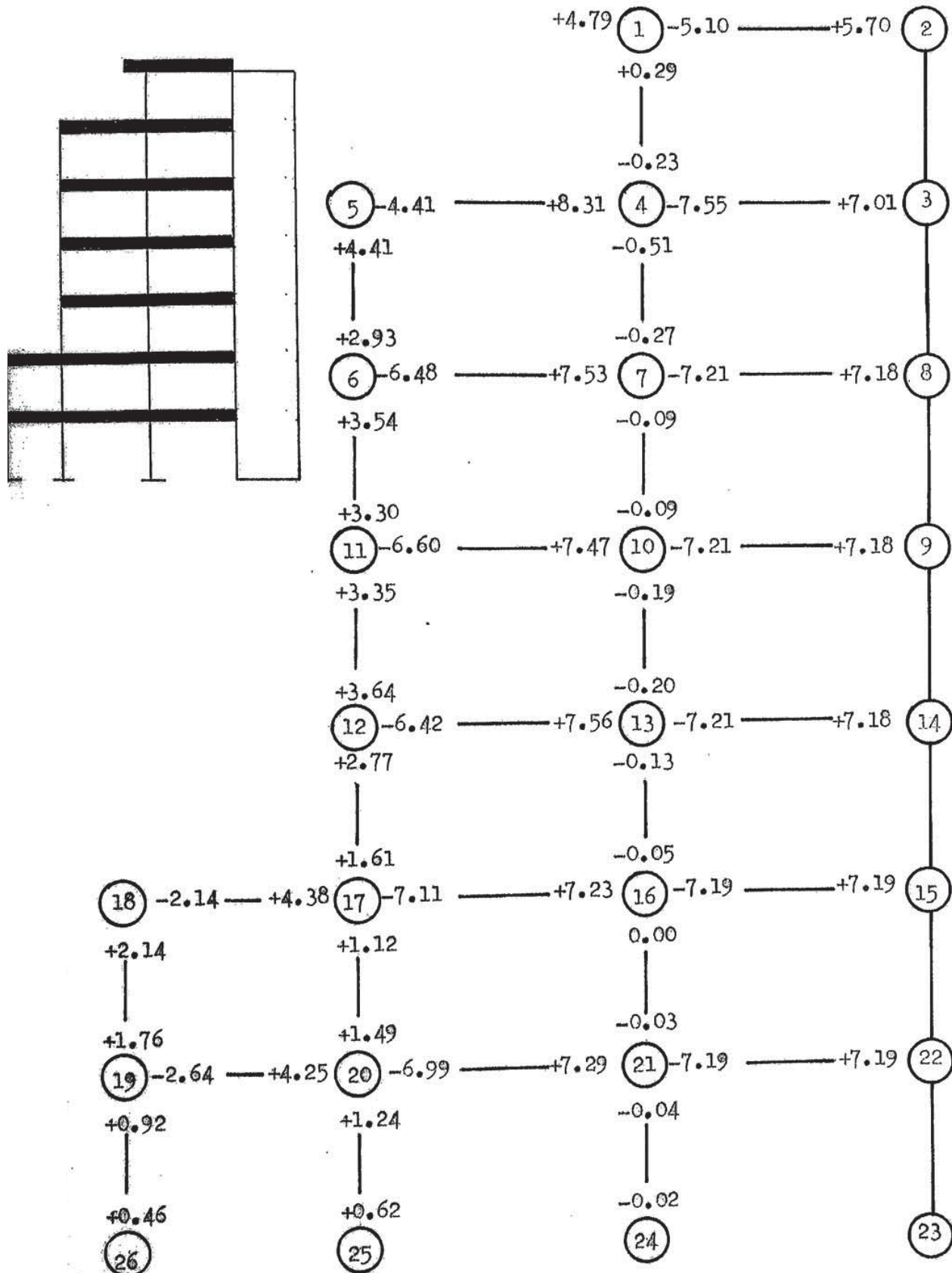
3.70 5.25 5.25 4.60



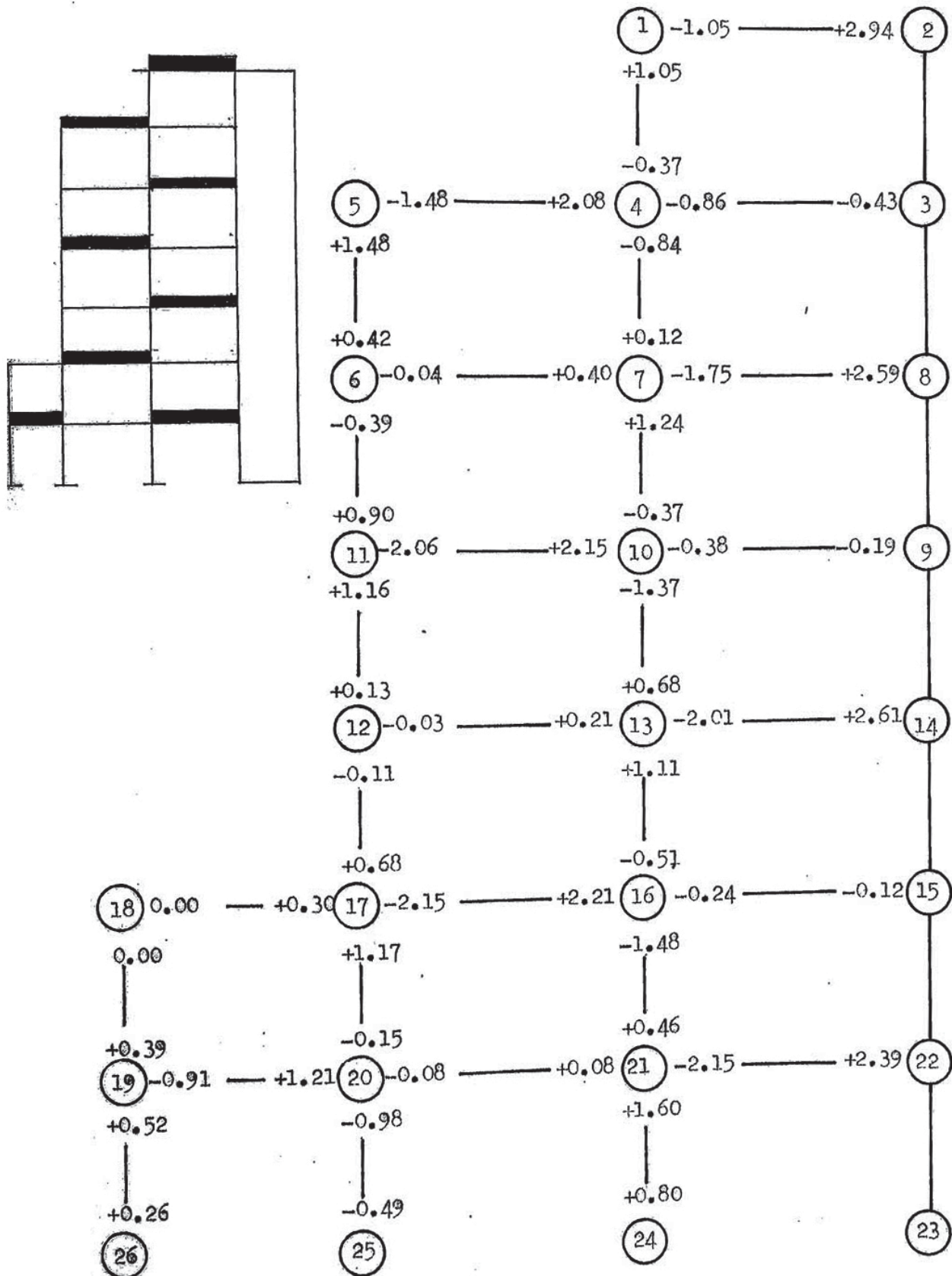
6.11.20 SISTEMA S : SISMO



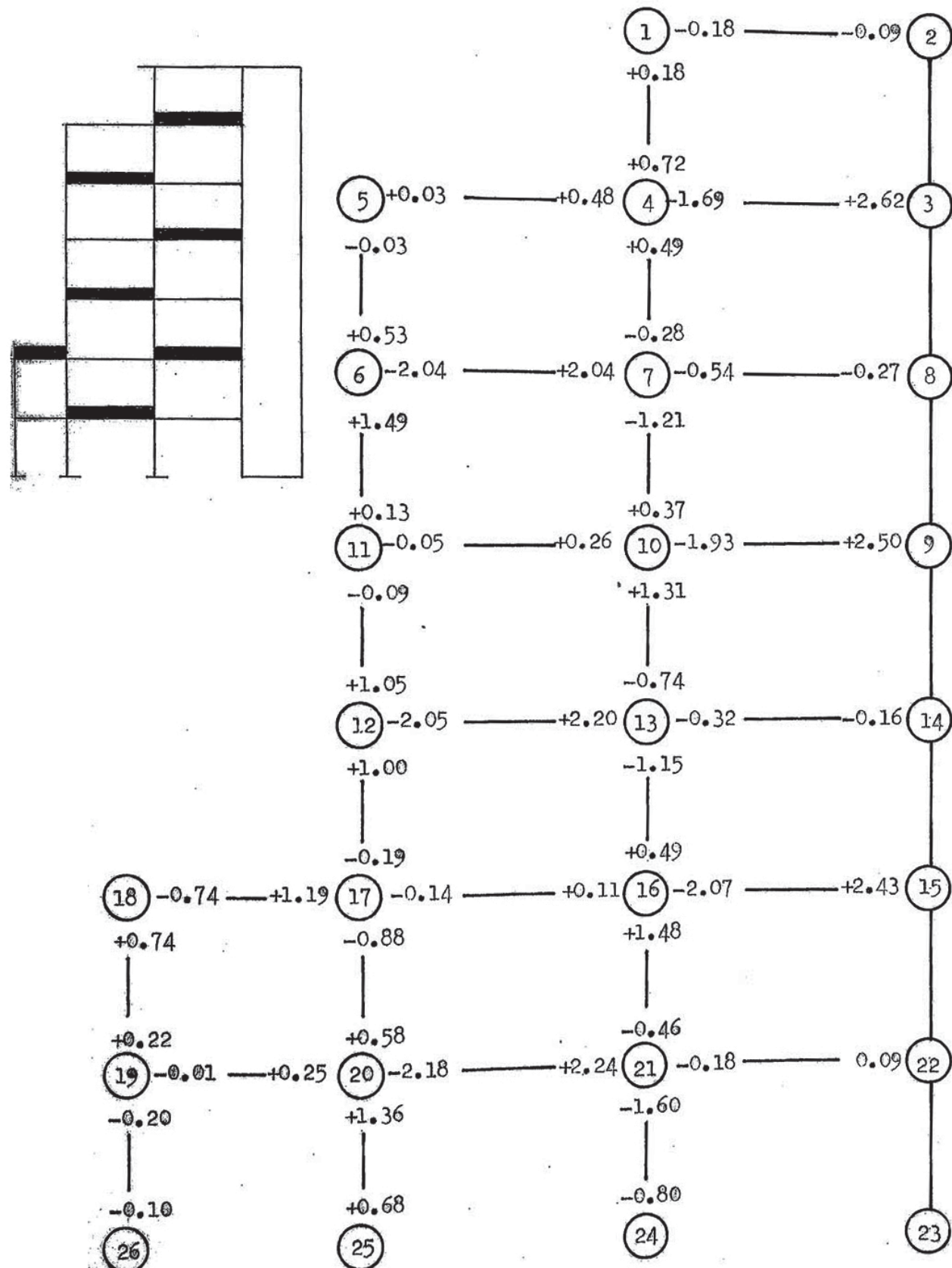
6.11.30 SISTEMA D ( CARGA MUERTA PLENA )



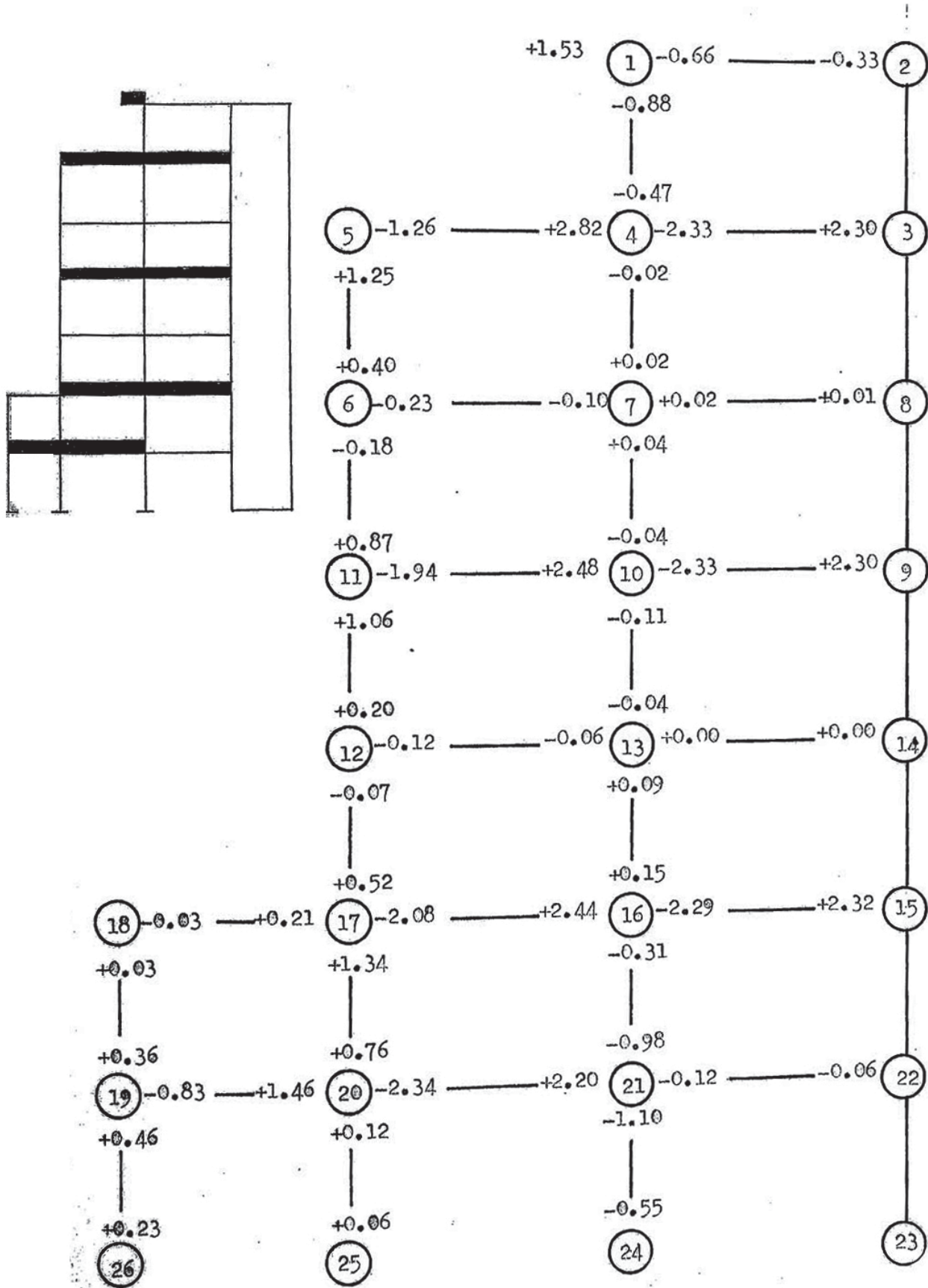
6.11.40 SISTEMA DE SOBRECARGA L 1( tipo damero )



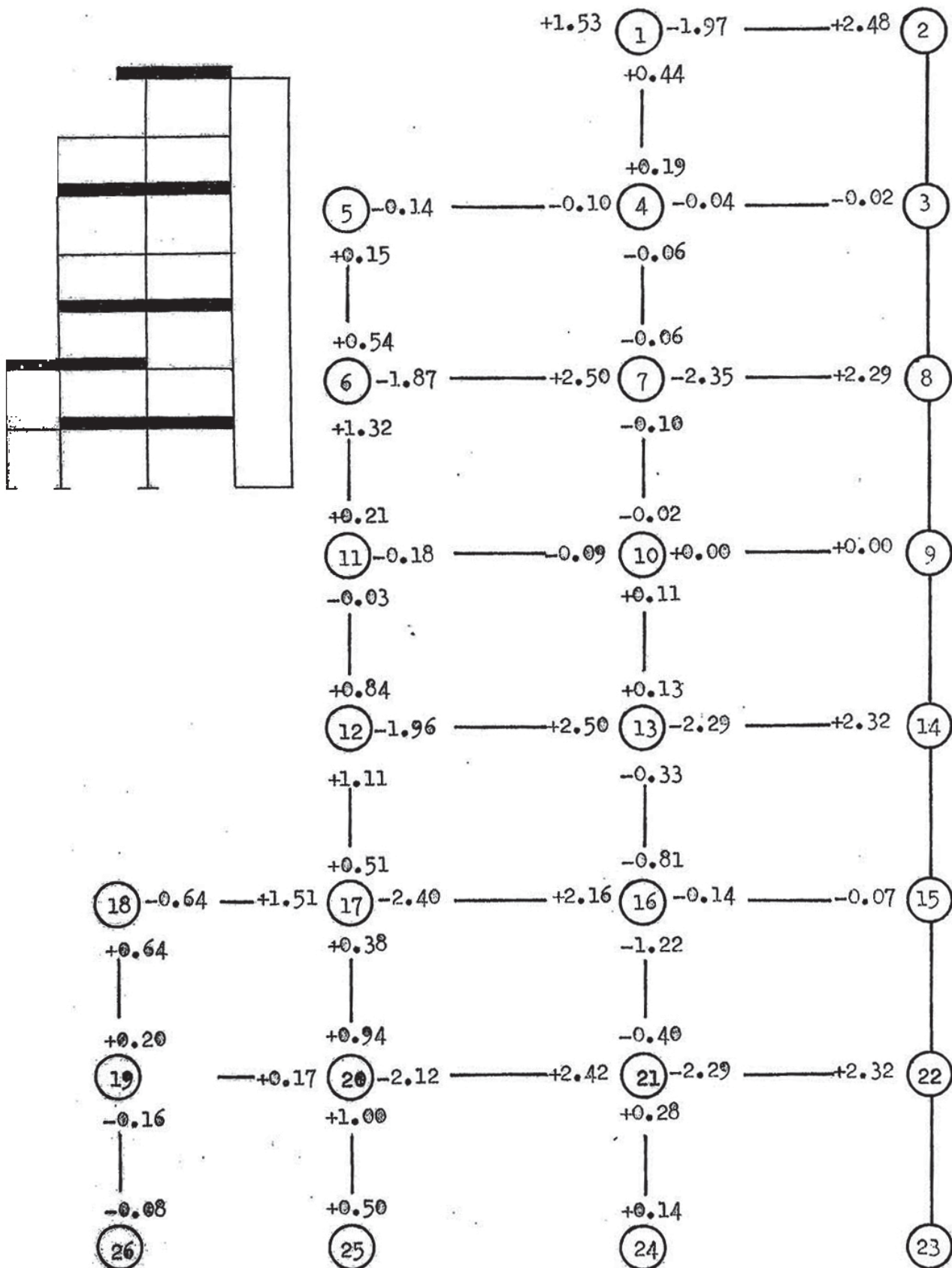
6.11.50. SISTEMA DE SOBRECARGA L 2



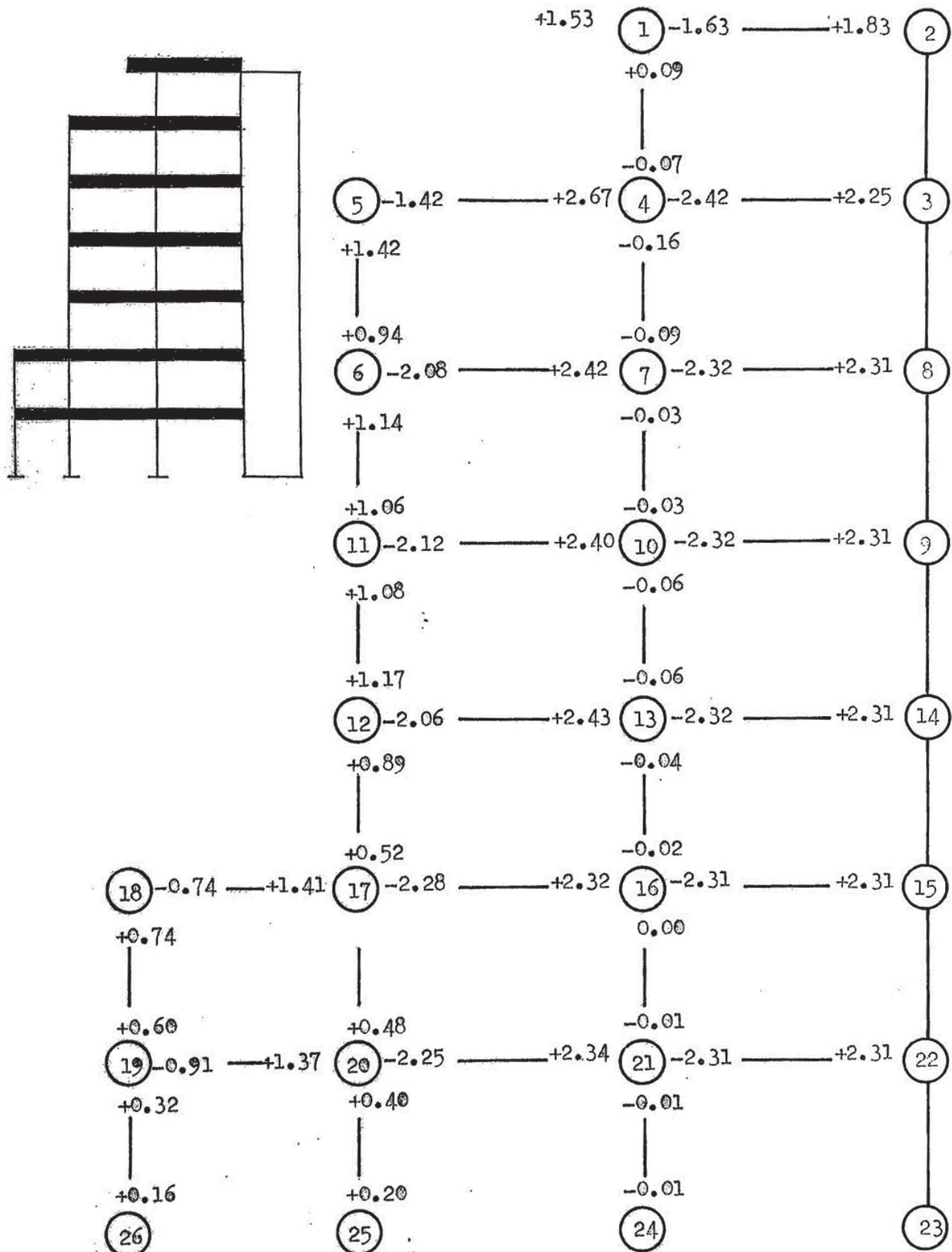
6.11.60 SISTEMA DE SOBRECARGA L 3



6.11.70 SISTEMA DE SOBRECARGA L 4



6.11.80 SISTEMA DE SOBRECARGA L 5



NIVELES →	EXTREMOS EN	DE VIGAS	POR CARGAS	PERMANENTES n.D.n	EJE A		EJE B		IZQUIERDA		DERECHA	
					D	0.9 D	1.25 D	1.5 D	D	0.9 D	1.25 D	1.5 D
7°	—	—	—	—	—	—	—	—	—	—	—	—
6°	—	—	—	—	—	—	—	—	—	—	—	—
5°	—	—	—	—	—	—	—	—	—	—	—	—
4°	—	—	—	—	—	—	—	—	—	—	—	—
3°	—	—	—	—	—	—	—	—	—	—	—	—
2°	-2.14	-1.93	-2.68	-3.21	+4.38	+3.94	+5.48	+6.57	-7.11	-6.40	-8.89	-10.6
1°	-2.64	-2.38	-3.30	-3.96	+4.25	+3.83	+5.31	+6.38	-6.99	-6.29	-8.74	-10.5

MOVIMENTOS ISOSTATICOS:

NIVELES →	TRAMOS ↓	7°				6°				5°				4°				3°				2°				1° Y 2°						
		D	0.9 D	1.25 D	1.5 D	D	0.9 D	1.25 D	1.5 D	D	0.9 D	1.25 D	1.5 D	D	0.9 D	1.25 D	1.5 D	D	0.9 D	1.25 D	1.5 D	D	0.9 D	1.25 D	1.5 D	D	0.9 D	1.25 D	1.5 D			
A-B	—	—	—	—	—	—	—	—	—	—	—	—	—	—	—	—	—	—	—	—	—	—	—	—	—	—	—	—	—	—		
B-C	—	—	—	—	—	—	—	—	—	—	—	—	—	—	—	—	—	—	—	—	—	—	—	—	—	—	—	—	—	—		
C-D	8.25	7.43	10.31	12.38	10.78	9.70	13.48	16.17	10.78	9.70	13.48	16.17	10.78	9.70	13.48	16.17	10.78	9.70	13.48	16.17	10.78	9.70	13.48	16.17	10.78	9.70	13.48	16.17	10.78	9.70	13.48	16.17

SETELE NIVEL	MOMENTOS EN EXTREMOS DE VIGAS POR CARGAS PERMANENTES "D"										EJE D IZQUIERDA	
	EJE C					DERECHA						
	IZQUIERDA					DERECHA						
D	0.9 D	1.25 D	1.5 D	D	0.9 D	1.25 D	1.5 D	D	0.9 D	1.25 D	1.5 D	
7°	+4.79	+4.31	+5.99	+7.19	-5.10	-4.59	-6.38	-7.65	+5.7	+5.13	+7.13 + 8.55	
6°	+8.31	+7.48	+10.4	+12.5	-7.55	-6.80	-9.44	-11.3	+7.01	+6.31	+8.76 +10.5	
5°	+7.53	+6.78	+9.41	+11.3	-7.21	-6.49	-9.01	-10.8	+7.18	+6.46	+8.98 +10.8	
4°	+7.47	+6.72	+9.34	+11.2	-7.21	-6.49	-9.01	-10.8	+7.18	+6.46	+8.98 +10.8	
3°	+7.56	+6.80	+9.45	+11.3	-7.21	-6.49	-9.01	-10.8	+7.18	+6.46	+8.98 +10.8	
2°	+7.23	+6.51	+9.04	+10.9	-7.19	-6.47	-8.99	-10.8	+7.19	+6.47	+8.99 +10.8	
1°	+7.29	+6.56	+9.11	+10.9	-7.19	-6.47	-8.99	-10.8	+7.19	+6.47	+8.99 +10.8	

IV. EXTREMOS DE VIGAS PARA SISTEMA DE S/E :  $L_1$ 

A	EJE B	DERECHA	IZQUIERDA	EJE C		EJE D	
				DERECHA	IZQUIERDA	DERECHA	IZQUIERDA
•25L <sub>1</sub>	.8L <sub>1</sub>	1	1.25L <sub>1</sub> 1.8L <sub>1</sub> L <sub>1</sub>	1.25L <sub>1</sub> 1.8L <sub>1</sub>			
—	—	—	—	—	—	—	—
6°	—	—	—	—	—	-1.05	-1.31 -1.89 +2.94
4°	—	—	—	—	—	—	43.68 +5.29
3°	—	—	—	—	—	-1.05	-1.31 -1.89 +2.94
2° 10.00	—	—	+0.30 +0.38 +0.54 +2.15	-2.69 -3.87 +4.21 +2.76	+0.38 -2.01 -2.51 -3.62	+0.26 +2.61 +3.26	+4.70
1° .0.91 -1.14 -1.64 +1.21 +1.51 +2.18	—	—	+0.08 -0.10 -0.14 +0.08	-0.10 +0.10 +0.14 -2.15	-0.24 -0.30 -0.43 -0.30	-0.12 -0.15 -0.15 -0.15	-0.22
						+2.39 +2.99 +4.30	

MOMENTOS ISOSTÁTICOS

NIVELES —	7°	6° a 3°(alternados)	1° y 2° (alternados)				
			TRAMOS	L <sub>1</sub>	1.25 L <sub>1</sub> 1.8 L <sub>1</sub>	L <sub>1</sub>	1.25 L <sub>1</sub> 1.8 L <sub>1</sub>
A - B	—	—	—	—	—	—	—
B - C	—	—	—	3.46	4.33	6.23	4.33
C - D	2.64	3.29	4.74	3.46	4.33	6.23	4.33

MOMENTOS EN EXTREMOS DE VIGAS POR SISTEMA DE $s/s : L_2$		DIRECHA							
NIVELA SISTEMA	EJE A DERECHA	IZQUIERDA			DIRECHA			EJE B DERECHA	
		$L_2$	$1.25 L_2$	$1.8 L_2$	$L_2$	$1.25 L_2$	$1.8 L_2$		
7°	—	—	—	—	—	—	—	—	—
6°	—	—	—	—	—	—	+0.03	+0.04	+0.05
5°	—	—	—	—	—	—	-2.04	-2.55	-3.67
4°	—	—	—	—	—	—	-0.05	-0.06	-0.09
3°	—	—	—	—	—	—	-2.05	-2.56	-3.69
2°	-0.74	-0.93	-1.33	+1.19	+1.49	+2.14	-0.14	-0.18	-0.25
1°	-0.01	-0.01	-0.02	+0.25	+0.31	+0.45	-2.18	-2.73	-3.92

MOMENTOS EN EXTREMOS DE VIGAS POR SISTEMA DE  $s/e : L_2$

	EJE C				EJE D			
	IZQUIERDA		DERECHA		IZQUIERDA		DERECHA	
	$L_2$	$1.25 L_2$	$1.8 L_2$	$L_2$	$1.25 L_2$	$1.8 L_2$	$L_2$	$1.25 L_2$
$7^\circ$	—	—	—	-0.18	-0.23	-0.32	-0.09	-0.11
$6^\circ$	+0.48	+0.60	+0.86	-1.69	-2.11	-3.04	+2.62	+3.28
$5^\circ$	+2.04	+2.55	+3.67	-0.54	-0.68	-0.97	-0.27	-0.34
$4^\circ$	+0.26	+0.33	+0.47	-1.93	-2.41	-3.47	+2.50	+3.13
$3^\circ$	+2.20	+2.75	+3.96	-0.32	-0.40	-0.58	-0.16	-0.20
$2^\circ$	+0.11	+0.14	+0.20	-2.07	-2.59	-3.73	+2.43	+3.04
$1^\circ$	+2.24	+2.80	+4.03	-0.18	-0.23	-0.32	-0.09	-0.11

MOMENTOS ISOSTATICOS

NIVELES	7°				6° a 3° (alternados)				1° a 2° (alternados)			
	TRAMOS	$L_2$	$1.25 L_2$	$1.8 L_2$	$L_2$	$1.25 L_2$	$1.8 L_2$	$L_2$	$1.25 L_2$	$1.8 L_2$	$L_2$	$1.25 L_2$
A - B	—	—	—	—	—	—	—	—	1.85	2.31	3.33	3.33
B - C	—	—	—	—	3.46	4.33	6.23	3.46	4.33	6.23	6.23	6.23
C - D	—	—	—	—	3.46	4.33	6.23	3.46	4.33	6.23	6.23	6.23

NIVEL	EXCEPCIONES	IDE	POR	IZQUIERDA		DERECHA		EJE C	EJE B	EJE A									
				IZQUIERDA	DERECHA	IZQUIERDA	DERECHA												
7°	-	-	-	•25L	1.8L	L	•25L	1.8L	L	•25L	1.8L	L	1.25L	1.8L					
6°	-	-	-	-	-	-	-	1.53	1.91	+2.75	0.66	-0.83	-1.19	-0.3	-0.41	-0.59			
5°	-	-	-	-	-	-	-	2.27	2.82	3.53	+5.08	2.33	-2.91	+4.19	+2.3	+2.88	+4.14		
4°	-	-	-	-	-	-	-	0.23	0.29	-0.41	•10	•13	+0.18	•02	+0.03	+0.04	+0.0	+0.01	+0.02
3°	-	-	-	-	-	-	-	1.94	2.43	-3.49	2.48	3.10	+4.46	2.33	-2.91	-4.19	+2.3	+2.88	+4.14
2°	-0.03 -0.04	-0.05	•21	+0.26	•38	2.08	2.60	-	-3.74	2.44	3.05	+4.39	2.29	-2.86	-4.12	+2.3	+2.90	+4.18	
1°	-0.83 1.04	-1.49	1.46	41.83	.63	2.34	2.93	-4.21	•20	•75	+3.96	0.12	-0.15	-0.22	-0.	-0.08	-0.11		

1 223-

NIVELES	TRAMOS	7°				6° a 3° (alternados)				1° y 2° (alternados)			
		L <sub>3</sub>	1.25 L <sub>3</sub>	1.8 L <sub>3</sub>	L <sub>3</sub>	1.25 L <sub>3</sub>	1.8 L <sub>3</sub>	L <sub>3</sub>	1.25 L <sub>3</sub>	1.8 L <sub>3</sub>	L <sub>3</sub>	1.25 L <sub>3</sub>	1.8 L <sub>3</sub>
A - B	-	-	-	-	-	-	-	-	-	-	1.85	2.31	3.33
B - C	-	-	-	-	-	3.46	4.33	6.23	3.46	4.33	6.23	-	-
C - D	-	-	-	-	-	3.46	4.33	6.23	3.46	4.33	6.23	-	-

NIVELLES	MOMENTOS EN EXTREMOS DE VIGAS POR SISTEMA DE s/ <sub>e</sub> : L <sub>4</sub>							
	EJE A				EJE B			
	DERECHA		IZQUIERDA		DERECHA		IZQUIERDA	
L <sub>4</sub>	1.25 L <sub>4</sub>	1.8 L <sub>4</sub>	L <sub>4</sub>	1.25 L <sub>4</sub>	1.8 L <sub>4</sub>	L <sub>4</sub>	1.25 L <sub>4</sub>	1.8 L <sub>4</sub>
7°	—	—	—	—	—	—	—	—
6°	—	—	—	—	—	—0.14	-0.18	-0.25
5°	—	—	—	—	—	-1.87	-2.34	-3.37
4°	—	—	—	—	—	-0.18	-0.23	-0.32
3°	—	—	—	—	—	-1.96	-2.45	-3.53
2°	-0.64	-0.80	-1.15	+1.51	+1.89	+2.72	-2.40	-3.00
1°	-0.02	-0.03	-0.04	+0.17	+0.21	+0.31	-2.12	-2.65

MOMENTOS EN EXTREMOS DE VIGAS POR SISTEMA DE $s/a : L_4$						
SETEAÑO	EJE C			DERECHA		EJE D
	IZQUIERDA		DERECHA		IZQUIERDA	
	$L_4$	$1.25 L_4$	$1.8 L_4$	$L_4$	$1.25 L_4$	$1.8 L_4$
7°	+1.53	+1.91	+2.75	-1.97	-2.46	-3.55
6°	-0.10	-0.13	-0.18	-0.04	-0.05	-0.07
5°	+2.50	+3.13	+4.50	-2.35	-2.94	-4.23
4°	-0.09	-0.11	-0.16	0.00	—	—
3°	+2.50	+3.13	+4.50	-2.29	-2.86	-4.12
2°	+2.16	+2.70	+3.89	-0.14	-0.18	-0.25
1°	+2.42	+3.03	+4.36	-2.29	-2.86	-4.12

MOMENTOS ISOSTATICOS

NIVELES	7°	6° a 3° (alternados)	1° y 2° (alternados)				
			TRAMOS	$L_4$	$1.25 L_4$	$1.8 L_4$	$L_4$
A - B	—	—	—	—	—	—	1.85
B - C	—	—	—	3.46	4.33	6.23	2.31
C - D	2.64	3.29	4.74	3.46	4.33	6.23	3.33

MOMENTOS EN EXTREMOS DE VIGAS POR SISTEMA DE s/<sub>e</sub> : L<sub>5</sub>

SISTEMA NIVEL	EJE A		EJE B		DERECHA		IZQUIERDA		DERECHA	
	DERECHA	1.25 L <sub>5</sub>	1.8 L <sub>5</sub>	1.25 L <sub>5</sub>	1.8 L <sub>5</sub>	L <sub>5</sub>	1.25 L <sub>5</sub>	1.8 L <sub>5</sub>	L <sub>5</sub>	1.25 L <sub>5</sub>
7°	—	—	—	—	—	—	—	—	—	—
6°	—	—	—	—	—	—	—	—	—	—
5°	—	—	—	—	—	—	—	—	—	—
4°	—	—	—	—	—	—	—	—	—	—
3°	—	—	—	—	—	—	—	—	—	—
2°	-0.74	-0.93	-1.33	+1.41	+1.76	+2.54	-2.28	-2.85	-4.10	-4.10
1°	-0.91	-1.14	-1.64	+1.37	+1.71	+2.47	-2.25	-2.81	-4.05	-4.05

MOMENTOS EN EXTREMOS DE VIGAS POR SISTEMA DE s/e : L<sub>5</sub>

SECCION	EJE C		DERECHA		IZQUIERDA		EJE D	
	L <sub>5</sub>	1.25 L <sub>5</sub>	1.8 L <sub>5</sub>	L <sub>5</sub>	1.25 L <sub>5</sub>	1.8 L <sub>5</sub>	L <sub>5</sub>	1.25 L <sub>5</sub>
7°	+1.53	+1.91	+2.75	-1.63	-2.04	-2.93	+1.83	+2.29
6°	+2.67	+3.34	+4.81	-2.42	-3.03	-4.36	+2.25	+2.81
5°	+2.42	+3.03	+4.36	-2.32	-2.90	-4.18	+2.31	+2.89
4°	+2.40	+3.03	+4.36	-2.32	-2.90	-4.18	+2.31	+2.89
3°	+2.43	+3.04	+4.68	-2.32	-2.90	-4.18	+2.31	+2.89
2°	+2.32	+2.90	+4.18	-2.31	-2.89	-4.16	+2.31	+2.89
1°	+2.34	+2.93	+4.21	-2.31	-2.89	-4.16	+2.31	+2.89

MOMENTOS ISOSTATICOS

NIVELES	7°			6° a 3°			1° y 2°		
	TRAMOS	L <sub>5</sub>	1.25 L <sub>5</sub>	1.8 L <sub>5</sub>	L <sub>5</sub>	1.25 L <sub>5</sub>	1.8 L <sub>5</sub>	L <sub>5</sub>	1.25 L <sub>5</sub>
A - B	—	—	—	—	—	—	—	—	—
B - C	—	—	—	—	3.46	4.33	6.23	3.46	4.33
C - D	2.64	3.29	4.74	3.46	4.33	6.23	3.46	4.33	6.23

MOMENTOS EN EXTREMOS DE VIGAS POR SISMO :  $\vec{S}$

SETHAIN	EJE A DERECHA		IZQUIERDA			EJE B. DERECHA		
	$\vec{s}$	$1.1 \vec{s}$	$1.25 \vec{s}$	$\vec{s}$	$1.1 \vec{s}$	$1.25 \vec{s}$	$\vec{s}$	$1.1 \vec{s}$
7°	—	—	—	—	—	—	—	—
6°	—	—	—	—	—	—	+3.47	+3.82
5°	—	—	—	—	—	—	+5.66	+6.23
4°	—	—	—	—	—	—	+4.86	+5.35
3°	—	—	—	—	—	—	+5.99	+6.59
2°	+2.74	+3.01	+3.43	+4.40	+4.84	+5.50	+3.05	+3.36
1°	+4.47	+5.03	+5.71	+3.40	+3.74	+4.25	+2.36	+2.60

MOMENTOS EN EXTREMOS DE VIGAS POR SISMO : $\vec{S}$		EJE D			
IZQUIERDA		DERECHA		IZQUIERDA	
NIVELIN	EJE C	$\vec{S}$	$\vec{S}$	$\vec{S}$	$\vec{S}$
7°	—	—	+7.27	+8.00	+8.79
6°	+1.96	+2.16	+2.45	+9.30	+9.57
5°	+2.61	+2.87	+3.26	+9.90	+10.38
4°	+4.82	+5.30	+6.03	9.47	10.42
3°	+4.49	+4.94	+5.61	8.68	9.55
2°	+3.98	+4.38	+4.98	+7.17	+7.89
1°	+4.02	+4.42	+5.03	+6.78	+7.46

SETEA IN	MOMENTOS EN EXTREMOS DE VIGAS POR SISMO : $\leftarrow \overbrace{S}$						
	EJE A		EJE B		DERECHA		
	DERECHA	IZQUIERDA	DERECHA	IZQUIERDA	DERECHA	IZQUIERDA	DERECHA
$\overbrace{S}$	1.1 $\overbrace{S}$	1.25 $\overbrace{S}$	$\overbrace{S}$	1.1 $\overbrace{S}$	1.25 $\overbrace{S}$	$\overbrace{S}$	1.1 $\overbrace{S}$
7°	—	—	—	—	—	—	—
6°	—	—	—	—	—	-3.47	-3.82
5°	—	—	—	—	—	-5.66	-6.23
4°	—	—	—	—	—	-4.86	-5.35
3°	—	—	—	—	—	-5.99	-6.59
2°	-2.74	-3.01	-3.43	-4.40	-4.84	-5.50	-3.05
1°	-4.57	-5.03	-5.71	-3.40	-3.74	-4.25	-2.36

MOMENTOS EN EXTREMOS DE VIGAS POR SISMO : $\overleftarrow{S}$						
SETEA NINIA	EJE C			EJE D		
	IZQUIERDA	DERECHA	IZQUIERDA	IZQUIERDA	DERECHA	IZQUIERDA
$\overleftarrow{S}$	1.1 $\overleftarrow{S}$	1.25 $\overleftarrow{S}$	$\overleftarrow{S}$	1.1 $\overleftarrow{S}$	1.25 $\overleftarrow{S}$	$\overleftarrow{S}$
7°	—	—	-7.27	-8.00	-9.09	-8.79
6°	-1.96	-2.16	-2.45	-8.45	-9.30	-10.56
5°	-2.61	-2.87	-3.26	-9.90	-10.89	-12.38
4°	-4.82	-5.30	-6.03	-9.47	-10.42	-11.84
3°	-4.49	-4.94	-5.61	-8.68	-9.55	-10.85
2°	-3.98	-4.38	-4.98	-7.17	-7.89	-8.96
1°	-4.02	-4.42	-5.03	-6.78	-7.46	-8.48

	MOMENTOS EXTERIORES	JEN	VIGAS DE PORTICO	PRINCIPAL 4-4			
NIV.	A DER.	A-B IZQ.	B DER.	C IZQ.	D DER.	C-D ISOS.	D IZQ.
SISTEMA : (1.5 D + 1.8 L <sub>1</sub> ) en Ton-m.							
7°	—	—	—	+7.19	-9.54	22.40	+ 13.84
6°	—	—	-9.28	22.40	+16.21	-12.88	16.17
5°	—	—	-9.79	16.17	+12.02	-13.97	22.40
4°	—	—	-13.61	22.40	+15.08	-11.50	16.17
3°	—	—	- 9.68	16.17	+11.72	-14.44	22.40
2°	-3.21	+8.03	+7.11	-14.54	22.40	+14.83	-11.22
1°	-5.60	+11.36	+8.56	-10.63	16.17	+11.08	-14.66

MOMENTOS EXTREMOS EN VIGAS DE PORTICO PRINCIPAL 4-4

SISTEMA: ( 1.5 D + 1.8 L<sub>2</sub> ) en Ton- m.

EJES	A DER.	A-B ISOS.	B IZQ.	C DER.	B-C ISOS.	C IZQ.	D DER.	C-D ISOS.	D IZQ.
NIV.	—	—	—	—	—	+ 7.19	- 7.97	16.17	+ 8.39
7°	—	—	—	—	—	—	—	—	—
6°	—	—	—	-6.57	16.17	+13.33	-14.37	22.40	+15.24
5°	—	—	—	-13.39	22.40	+14.97	-11.79	16.17	+10.28
4°	—	—	—	-9.99	16.17	+11.68	-14.29	22.40	+15.27
3°	—	—	—	-13.32	22.40	+15.30	-11.40	16.17	+10.48
2°	-4.54	11.36	+8.71	-10.92	16.17	+11.05	-14.52	22.40	+15.16
1°	-3.98	8.03	+6.83	-14.41	22.40	+14.97	-11.11	16.17	+10.63

## EXTERIEMOS EN VIGAS DE PORTICO PRINCIPAL 4-4.

		SISTEMA : (1.5 D + 1.8 L <sub>3</sub> ) en Ton- m.					
EJES	A	A-B	B	B-C	C	C-D	D
NIV.	DER.	IZQ.	DER.	IZQ.	DER.	IZQ.	IZQ.
7°	—	—	—	—	—	—	+7.96
6°	—	—	—	-8.89	22.40	+ 17.55	-7.14
5°	—	—	—	-10.13	16.17	+ 11.48	-10.78
4°	—	—	—	-13.39	22.40	+ 15.67	-15.01
3°	—	—	—	- 9.85	16.17	+ 11.23	-10.82
2°	-3.26	8.03	+6.95	-14.41	22.40	+ 15.24	-14.91
1°	-5.45	11.36	+9.01	-14.70	22.40	+ 14.90	-11.01

MOMENTOS EXTREMOS EN VIGAS DE PORTICO PRINCIPAL 4-4		SISTEMA : ( 1.5 D + 1.8 L <sub>4</sub> ) en Ton- m.					
EJES	A DER.	A-B ISOS.	B IZQ.	B-C ISOS.	C IZQ. DER.	C-D ISOS.	D IZQ.
7°	—	—	—	—	+ 9.94 -11.20	22.40 22.40	+ 18.30 + 18.30
6°	—	—	-6.87	16.17 +12.29	-11.40 -11.40	16.17 16.17	+ 9.71 + 9.71
5°	—	—	-13.09	22.40 +15.80	-15.05 -15.05	22.40 22.40	+ 19.55 + 19.55
4°	—	—	-10.22	16.17 +11.05	-10.82 -10.82	16.17 16.17	+ 10.43 + 10.43
3°	—	—	-13.16	22.40 +15.84	-14.94 -14.94	22.40 22.40	+ 19.65 + 19.65
2°	-4.36	11.39	9.29	-14.99 22.40	-11.04 -11.04	16.17 16.17	+ 10.44 + 10.44
1°	-4.00	8.03	6.69	-14.31 22.40	-14.91 -14.91	22.40 22.40	+ 19.27 + 19.27

NIV.	EJES	MOMENTOS EXTREMOS DE VIGAS DE PORTICO			PRINCIPAL 4-4		
		A	A-B	B	B-C	C	C-D
SISTEMA: (1.5 D + 1.8 L <sub>5</sub> ) en Ton-m.							
7°	—	DER.	ISOS.	IZQ.	DER.	ISOS.	IZQ.
6°	—	—	—	—	—	+ 9.94	-10.58
5°	—	—	—	- 9.18	22.40	+17.28	-15.69
4°	—	—	—	-13.46	22.40	+15.66	-15.00
3°	—	—	—	-13.72	22.40	+15.57	-15.00
2°	+4.54	11.36	9.11	-14.77	22.40	+15.03	-14.95
1°	+5.60	11.36	8.85	-14.54	22.40	+15.15	-14.95

MOMENTOS		ESTRESSES		VITAS		DE		PORTICO		PRINCIPAL	
				SISTEMA : 1.25 ( D + L <sub>1</sub> + S )		en Ton-m.				4-4	
EJES	A	B	C	D	E	F	G	H	I	J	
NIV.	DER.	ISOS.	TZQ.	DER.	ISOS.	TZQ.	DER.	ISOS.	DER.	ISOS.	TZQ.
7°	—	—	—	—	—	—	+1.40	17.81	+21.80		
6°	—	—	—	-2.98	17.81	+15.44	+0.04	13.48	+20.18		
5°	—	—	—	-1.07	13.48	+13.17	+1.18	17.81	+25.15		
4°	—	—	—	-4.75	17.81	+18.06	+2.35	13.48	+19.89		
3°	—	—	—	-0.58	13.48	+15.32	-0.67	17.81	+22.69		
2°	+0.75	6.69	+11.36	-8.95	17.81	+16.78	-0.33	13.48	+17.22		
1°	+1.27	9.00	+11.07	-5.89	13.48	+14.24	-3.20	17.81	+19.52		

MOMENTOS EXTREMOS		DE VIGAS		DE PORTICO		PRINCIPAL 4-4	
EJES	A	A-B	B	B-C	C	C-D	D
MIV.	DER.	ISOS.	TZQ.	DER.	ISOS.	TZQ.	ISOS.
7°	—	—	—	—	—	+2.48	13.48
6°	—	—	—	-1.13	13.48	+ 9.04	-0.99
5°	—	—	—	-3.57	17.81	+16.20	+2.69
4°	—	—	—	-2.23	13.48	+15.77	+0.42
3°	—	—	—	-3.10	17.81	+17.81	+1.44
2°	-0.18	9.00	+12.47	-5.26	13.48	+14.16	-2.62
1°	+2.40	6.69	+9.87	-8.52	17.81	+16.94	-0.74

SISTEMA: 1.25 (D + L<sub>2</sub> + S) en Ton-m.

MOMENTOS	EXTREMOS	DE	VIGAS	DE	PORTICO	PRINCIPAL	4-4
EJES	A	A-B	B	B-C	C	C-D	D
NIV.	DER.	ISOS.	IQQ.	DER.	ISOS.	IQQ.	DER.
SISTEMA : 1.25 ( D + L3 + S ) en Ton - m.							
7°	—	—	—	—	—	+1.88	13.48
6°	—	—	—	-2.75	17.81	+16.37	-1.79
5°	—	—	—	-1.31	13.48	+12.80	+3.40
4°	—	—	—	-4.60	17.81	+18.47	-0.08
3°	—	—	—	-0.69	13.48	+14.98	+1.84
2°	+0.71	6.69	+11.24	-7.68	17.81	+17.07	-2.89
1°	+1.37	9.00	+11.39	-8.72	17.81	+16.89	-0.66

MOMENTOS ESTEREOSCOPICOS DE VIEJAS DE PORTICO PRINCIPAL 4-4

SISTEMA: 1.25 ( D + 1.4 + S ) en Tonos m.

MIV.	EJES A	A-B	B	B-C	C	C-D	D
	DER.	ISOS.	IZ	DER.	ISOS.	IZ	ISOS.
7°	—	—	—	—	—	+0.25	+21.22
6°	—	—	—	-1.35	13.48	+12.71	+1.07
5°	—	—	—	-3.36	17.81	+15.80	+0.43
4°	—	—	—	-2.40	13.48	+15.26	+2.83
3°	—	—	—	-2.99	17.81	+18.19	-1.02
2°	0.05	9.00	+12.87	-6.91	17.81	+16.72	-0.21
1°	2.38	6.69	+9.77	-8.44	17.81	+17.17	-3.37

MOMENTOS EXTREMOS DE VIGAS DE PORTICO PRINCIPAL 4-4

SISTEMA : 1.25 ( D + L<sub>5</sub> + S ) en flon. m.

NIV.	EJES	A	A-B	B	B-C	C	C-D	D	
	DER.	ISOS.	IZQ.	DER.	ISOS.	IZQ.	DER.	ISOS.	IZQ.
7°	—	—	—	—	—	—	+0.67	17.81	+20.41
6°	—	—	—	-2.95	17.81	+16.18	-1.91	17.81	+23.53
5°	—	—	—	-3.62	17.81	+15.70	+0.47	17.81	+26.07
4°	—	—	—	-4.82	17.81	+18.45	-1.49	17.81	+24.29
3°	—	—	—	-3.12	17.81	+18.10	-1.06	17.81	+22.32
2°	-0.18	9.00	+12.74	-8.69	17.81	+16.92	-2.92	17.81	+20.26
1°	+1.27	9.00	+11.27	-9.19	17.81	+17.07	-4.67	17.81	+19.42

MOVIMIENTOS		EXTREMOS		DE VIGAS		DE PORTICO		PRINCIPAL 4-4	
SISTEMA : 1.025 ( D + L <sub>1</sub> + S ) en Ton-m.									
EJES	A	A-B	B	B-C	C	C-D	D		
MIV.	DER.	IZQ.	DER.	IZQ.	DER.	IZQ.	DER.	IZQ.	IZQ.
7°	—	—	—	—	—	—	-16.78	17.81	-0.18
6°	—	—	-11.70	17.81	+10.54	-21.08	13.48	-3.74	
5°	—	—	-15.23	13.48	+6.65	-23.58	17.81	-0.71	
4°	—	—	-16.91	17.81	+6.00	-21.33	13.48	-2.41	
3°	—	—	-15.56	13.48	+4.10	-22.37	17.81	+1.79	
2°	-5.42	6.69	+0.36	-15.39	17.81	+6.82	-18.25	13.48	+0.46
1°	-8.78	9.00	+2.57	-11.79	13.48	+4.18	-20.16	17.81	+0.44

MOMENTOS EXTREMOS DE VIEAS DE FORJOS PRINCIPAL 4-4

SISTEMA : 1.25 ( D + L<sub>2</sub> + S ) en Ton- m.

EJES	A	A-B	B	B-C	C	C-D	D
NIV.	DER.	ISOS.	TZ.	DER.	ISOS.	DER.	ISOS.
7°	—	—	—	—	—	-15.70	13.48
6°	—	—	—	-9.81	13.48	+8.54	-22.11
5°	—	—	—	-17.73	17.81	+8.70	-22.07
4°	—	—	—	-14.38	13.48	+3.64	-23.26
3°	—	—	—	-18.08	17.81	+6.59	-20.26
2°	-7.04	9.00	+1.47	-12.88	13.48	+4.20	-20.54
1°	-9.02	6.69	+1.37	-14.42	17.81	+6.88	-17.70

MOMENTOS		EXTREMOS		DE VIGAS		DE FORTICO		PRINCIPAL		4-4	
SISTEMA : 1•25 ( D + L <sub>3</sub> + S' )											
EJES	A	A-B	B	B-C	C	C-D	D				
NIV.	DER.	TSOS.	IZQ.	DER.	TSOS.	IZQ.	DER.	TSOS.	DER.	TSOS.	IZQ.
7°	—	—	—	—	—	—	-16•30	13•48	-4•27		
6°	—	—	—	-11•43	17•81	+11•47	-22•91	17•81	-0•32		
5°	—	—	—	-15•47	13•48	+6•28	-21•36	13•48	-3•94		
4°	—	—	—	-16•76	17•81	+6•41	-23•76	17•81	+0•71		
3°	—	—	—	-15•67	13•48	+3•76	-19•86	13•48	-1•47		
2°	-6•15	6•69	+0•24	-15•30	17•81	+7•11	-20•81	17•81	+3•51		
1°	-3•45	9•00	+2•89	-14•62	17•81	+6•83	-17•62	13•48	+1•37		

MOMENTOS EXTREMOS DE VIGAS DE PORTICO PRINCIPAL 4-4

SISTEMA : 1.25 ( D + L<sub>4</sub> + S ) en Ton-m.

NIV.	EJES	A		A-B		B		B-C		C		C-D		D		
		DER.	ISOS.	TZQ.	DER.	ISOS.	TZQ.	DER.	ISOS.	TZQ.	DER.	ISOS.	TZQ.	DER.	ISOS.	TZQ.
7°	—	—	—	—	—	—	—	—	—	—	-17.93	17.81	-0.76			
6°	—	—	—	—	-10.03	13.48	+7.81	-20.05	13.48	-3.23						
5°	—	—	—	—	-17.52	17.81	+9.28	-24.33	17.81	-1.09						
4°	—	—	—	-14.56	13.48	+3.20	-20.85	13.48	-2.17							
3°	—	—	—	-17.97	17.81	+6.97	-22.72	17.81	+1.43							
2°	-6.91	9.00	+1.87	-15.70	17.81	+6.76	-18.13	13.48	+0.52							
1°	-9.04	6.69	+1.27	-14.34	17.81	+7.11	-20.33	17.81	+4.35							

MOMENTOS EXPRESOS DE VIGAS DE PORTICO PRINCIPAL 4-4		SISTEMA: 1.25 ( D + L <sub>5</sub> + S ) en Ton-m.					
EJES	A	A-B	B	B-C	C	C-D	D
NIV.	DER.	ISOS.	IZQ.	DER.	ISOS.	IZQ.	DER.
7°	—	—	—	—	—	—	-17.51 17.81 -1.57
6°	—	—	—	-11.63 17.81 +11.28 -23.03 17.81 -0.39			
5°	—	—	—	-17.78 17.81 +9.19 -24.29 17.81 -1.06			
4°	—	—	-16.98 17.81 +6.34 -23.75 17.81 +0.72				
3°	—	—	-18.10 17.81 +6.88 -22.76 17.81 +1.42				
2°	-7.04 9.00	+1.74 -15.55 17.81 +6.96 -20.84 17.81 +3.70					
1°	-10.15 9.00	+2.77 -14.50 17.81 +7.01 -20.36 17.81 +4.34					

MOVIMIENTOS DE VÍAS DE PORTICO PRINCIPAL 4-4

SISTEMA : ( 0.9 D + 1.1  $\vec{S}$  ) en Ton-m.

EJES	A	A-B	B	C	C-D	D
NIV.	DER.	TSOS.	TZ.	DER.	TSOS.	TZ.
7°	—	—	—	—	—	—
6°	—	—	—	-0.15	9.70	+9.64
5°	—	—	—	+0.40	9.70	+9.65
4°	—	—	—	-0.59	9.70	+12.02
3°	—	—	—	+0.81	9.70	+11.74
2°	+1.08	4.82	+8.78	-3.40	9.70	+10.89
1°	+2.65	4.82	+7.57	-3.69	9.70	+10.98

NUMEROS	ENFERMOS	DE	VIEAS	DE	PERICO	PRINCIPAL	4-4	
							A	A-B
NIV.	DER.	IZOS.	IZ.	DER.	IZOS.	IZ.	DER.	IZOS.
7°	—	—	—	—	—	—	—	—
6°	—	—	—	-7.79	9.70	45.32	-16.10	9.70
5°	—	—	—	-12.06	9.70	43.91	-17.38	9.70
4°	—	—	—	-11.29	9.70	41.42	-16.91	9.70
3°	—	—	—	-12.37	9.70	41.86	-16.04	9.70
2°	-4.94	4.82	-0.09	-9.76	9.70	42.13	-14.36	9.70
1°	-7.41	4.82	+0.09	-8.89	9.70	42.14	-13.93	9.70

1 2 4 8 1

FUERZAS CORTANTES EN VIGAS DE PORTICO PRINCIPAL 4-4 :

( 1.5 D + 1.8 L <sub>1</sub> ) ton.				( 1.5 D + 1.8 L <sub>2</sub> ) ton.			
A	B	C	D	A	B	C	D
DER.	TZQ.	DER.	TZQ.	DER.	TZQ.	DER.	TZQ.
ISOS.	—	—	+ 9.38	+13.04	+13.04	—	—
HIP.	—	—	—	- 0.82	+ 0.82	—	—
7°	—	—	+ 9.38	+12.12	+13.86	—	—
ISOS.	—	—	+17.06	+17.06	+12.31	+12.31	+12.31
HIP.	—	- 1.32	+ 1.32	+ 0.59	- 0.59	—	—
6°	—	-	+15.74	+18.38	+12.90	+11.72	—
ISOS.	—	—	+12.31	+12.31	+17.06	+17.06	+17.06
HIP.	—	—	- 0.42	+ 0.42	- 0.28	+ 0.28	—
5°	—	—	+11.89	+12.73	+16.78	+17.34	—

FUERZAS CORRIENTES EN VIGAS DE PORTICO PRINCIPAL 4-4:

(1.5 D + 1.8 L <sub>1</sub> ) ton.						(1.5 D + 1.8 L <sub>2</sub> ) ton.						
A	B	C	D	A	B	C	D					
DER.	IZQ.	DER.	IZQ.	DER.	IZQ.	DER.	IZQ.	DER.	IZQ.	DER.	IZQ.	
ISOS.	—	—	+17.06	+17.06	+12.31	+12.31	—	—	+12.31	+12.31	+17.06	+17.06
HIP.	—	—	- 0.28	+ 0.28	+ 0.20	- 0.20	—	—	- 1.69	+ 1.69	- 0.18	+ 0.18
4°	—	—	+16.78	+17.34	+12.51	-12.11	—	—	+10.62	+14.00	+16.88	+17.24
ISOS.	—	—	+12.31	+12.31	+17.06	+17.06	—	—	+17.06	+17.06	+12.31	+12.31
HIP.	—	—	- 0.39	+ 0.39	- 0.20	+ 0.20	—	—	- 0.37	+ 0.37	+ 0.18	- 0.18
3°	—	—	+11.92	+12.70	+16.86	+17.26	—	—	+16.69	+17.43	+12.49	+12.13
ISOS.	+ 8.68	+ 8.68	+17.06	+17.06	+12.31	+12.31	+12.28	+12.28	+12.31	+12.31	+17.06	+17.06
HIP.	- 1.30	+ 1.30	- 0.05	+ 0.05	+ 0.12	- 0.12	- 1.12	+ 1.12	- 0.02	+ 0.02	- 0.12	+ 0.12
2°	+ 7.38	+ 9.98	+17.01	+17.11	+12.43	+12.19	+11.16	+13.40	+12.29	+12.33	+16.94	+17.18
ISOS.	+12.28	+12.28	+12.31	+12.31	+17.06	+17.06	+ 8.68	+ 8.68	+17.06	+17.06	+12.31	+12.31
HIP.	- 1.56	+ 1.56	- 0.08	+ 0.08	- 0.08	+ 0.08	- 0.77	+ 0.77	+ 0.01	+ 0.01	+ 0.18	- 0.18
1°	+10.72	+13.84	+12.23	+12.39	+16.98	+17.14	+ 7.91	+ 9.45	+17.05	+17.07	+12.49	+12.13

FUERZAS CORTANTES DE VIGAS DE PORTICO PRINCIPAL 4-4 :

(1.5 D + 1.8 L <sub>3</sub> ) ton.				( 1.5 D + 1.8 L <sub>4</sub> ) ton.			
A	B	C	D	A	B	C	D
DER.	IZQ.	DER.	IZQ.	DER.	IZQ.	DER.	IZQ.
TSOS.	—	—	+12.14	+12.31	+12.31	—	—
HIP.	—	—	—	+ 0.16	- 0.16	—	—
7°	—	—	+12.14	+12.47	+12.15	—	—
TSOS.	—	—	+17.06	+17.06	+17.06	—	+12.31
HIP.	—	—	- 1.64	+ 1.64	- 1.43	+ 1.43	—
6°	—	—	+15.42	+18.70	+15.63	+18.49	—
TSOS.	—	—	+12.31	+12.31	+12.31	—	+17.06
HIP.	—	—	- 0.25	+ 0.25	0.00	0.00	— 0.52
5°	—	—	+12.06	+12.56	+12.31	+12.31	—
							+16.54    +17.58    +16.21    +17.91

**FUERZAS CORINTANAS DE VÍAS DE FORTÍCO PRINCIPAL 4-4 :**

( 1.5 D + 1.8 L <sub>3</sub> ) ton.						( 1.5 D + 1.8 L <sub>4</sub> ) ton.					
A	B	C	D	A	B	C	D	C	D	C	D
DER.	TZQ.	DER.	TZQ.	DER.	TZQ.	DER.	TZQ.	DER.	TZQ.	DER.	TZQ.
TSOS.	-	+17.06	+17.06	+17.06	+17.06	-	-	+12.31	+12.31	+12.31	+12.31
HIP.	-	-	-0.43	+0.43	+0.02	-0.02	-	-	-0.16	+0.16	+0.07
4°	-	-	+16.63	+17.49	+17.08	+17.04	-	-	+12.15	+12.47	+12.38
TSOS.	-	-	+12.31	+12.31	+12.31	+12.31	-	-	+17.06	+17.06	+17.06
HIP.	-	-	-0.43	+0.43	+0.01	-0.01	-	-	-0.51	+0.51	-0.89
3°	-	-	+11.88	+12.74	+12.32	+12.30	-	-	+16.55	+17.58	+16.17
TSOS.	$\div 8.68$	$+8.68$	$+17.06$	$+17.06$	$+17.06$	$+12.68$	$+12.68$	$+17.06$	$+17.06$	$+12.31$	$+12.31$
HIP.	-1.00	+1.00	-0.16	+0.16	+0.01	-0.01	-1.33	+1.33	+0.05	-0.05	-0.11
2°	+7.68	$\div 9.68$	$+17.00$	$+17.22$	$+17.07$	$+17.05$	$+11.35$	$+14.01$	$+17.11$	$+17.01$	$+12.42$
TSOS.	$+12.28$	$+12.28$	$+17.06$	$+17.06$	$+17.06$	$+8.68$	$+8.68$	$+17.06$	$+17.06$	$+17.06$	$+17.06$
HIP.	-0.96	$+0.96$	-0.04	$+0.04$	$+0.06$	$-0.06$	$-0.72$	$+0.72$	$-0.18$	$+0.18$	$-0.83$
1°	+11.32	$+13.24$	$+17.02$	$+17.10$	$+17.12$	$+17.00$	$+7.96$	$+9.40$	$+16.88$	$+17.24$	$+16.23$
											$+17.89$

FUERZAS CORTANTES EN VIGAS DE PORTICO PRINCIPAL 4-4 :

(1.5 D + 1.8 L <sub>5</sub> ) ton.					
	A	B	C	D	
	DER.	I.Z.Q.	DER.	I.Z.Q.	DER.
ISOS.	—	—	+12.14	+17.06	+17.06
HIP.	—	—	—	—	+ 0.24
7°	—	—	+12.14	+16.82	+17.30
ISOS.	—	—	+17.06	+17.06	+17.06
HIP.	—	—	- 1.54	+ 1.54	+ 0.21
6°	—	—	+15.52	+18.60	+17.27
ISOS.	—	—	+17.06	+17.06	+17.06
HIP.	—	—	- 0.42	+ 0.42	+ 0.01
5°	—	—	+16.64	+16.64	+17.07
					+17.05

FUERZAS CORTANTES EN VIGAS DE PORTICO PRINCIPAL 4-4 :

( 1.5 D + 1.8 L <sub>5</sub> ) ton.			
A	B	C	D
DER.	TZQ.	DER.	TZQ.
ISOS.	—	+17.06	+17.06
HIP.	—	- 1.65	+ 1.65
4°	—	+15.41	+18.71
ISOS.	—	+17.06	+17.06
HIP.	—	- 0.89	+ 0.89
3°	—	+16.17	+17.95
ISOS.	+12.28	+12.28	+17.06
HIP.	- 3.69	+ 3.69	- 0.05
2°	+ 8.59	+15.97	+17.01
ISOS.	+12.28	+12.28	+17.06
HIP.	- 3.90	+ 3.90	- 0.11
1°	+ 8.38	+16.18	+16.95

## FUERZAS CORTANTES EN VIGAS DE PORTICO PRINCIPAL 4-4 :

1.25 ( D + L <sub>1</sub> + S ) ton.								1.25 ( D + L <sub>1</sub> + S ) ton.								
A	B	C	D	A	B	C	D	A	B	C	D	A	B	C	D	
DER.	TZQ.	DER.	TZQ.	DER.	TZQ.	DER.	TZQ.	DER.	TZQ.	DER.	TZQ.	DER.	TZQ.	DER.	TZQ.	
ISOS.	-	-	MN	+10.37	+10.37	-	-	-	-	MN	+ 7.85	+ 7.85	-	-	-	-
HIP.	-	-	-	-	-	-	-	-	-	-	+ 3.23	- 3.23	-	-	-	-
7°	-	-	-	+ 5.95	+14.79	-	-	-	-	-	+11.08	+ 4.62	-	-	-	-
ISOS.	-	-	+13.57	+13.57	+10.26	+10.26	-	-	-	+10.26	+10.26	+13.57	+13.57	-	-	
HIP.	-	-	- 2.37	+ 2.37	- 3.85	+ 3.85	-	-	-	+ 0.22	- 0.22	+ 4.73	- 4.73	-	-	
6°	-	-	+11.20	+15.94	+ 6.41	+14.11	-	-	-	+10.48	+10.04	+18.30	+ 8.84	-	-	
ISOS.	-	-	+10.26	+10.26	+13.57	+13.57	-	-	-	+13.57	+13.57	+10.26	+10.26	-	-	
HIP.	-	-	- 2.30	+ 2.30	- 5.02	+ 5.02	-	-	-	+ 1.63	- 1.63	+ 4.63	- 4.63	-	-	
5°	-	-	+ 7.96	+12.56	+ 8.55	+18.59	-	-	-	+15.20	+11.94	+14.89	+ 5.63	-	-	

FUERZAS CORRIENTES EN VIGAS DE PORTICO PRINCIPAL 4-4 :

1.25 ( D + L <sub>1</sub> + $\overrightarrow{S}$ ) ton.						1.25 ( D + L <sub>1</sub> + $\overleftarrow{S}$ ) ton.						
A	B	C	D	A	B	C	D	A	B	C	D	
DER.	TZQ.	DER.	TZQ.	DER.	TZQ.	DER.	TZQ.	DER.	TZQ.	DER.	TZQ.	
TSOS.	—	+13.57	+13.57	+10.26	+10.26	—	—	+10.26	+10.26	+13.57	+13.57	
HIP.	—	- 2.54	+ 2.54	- 4.24	+ 4.24	—	—	+ 2.08	- 2.08	+ 4.52	- 4.52	
4°	—	+11.03	+16.11	+ 6.02	+14.50	—	—	+12.34	+ 8.18	+18.09	+ 9.05	
TSOS.	—	+10.26	+10.26	+13.57	+13.57	—	—	+13.57	+13.57	+10.26	+10.26	
HIP.	—	- 2.81	+ 2.81	- 4.19	+ 4.19	—	—	+ 2.18	- 2.18	+ 3.92	- 3.92	
3°	—	+ 7.45	+13.07	+ 9.38	+17.76	—	—	+15.75	+11.39	+14.18	+ 6.34	
TSOS.	+7.23	+ 7.23	+13.57	+13.57	+10.26	+10.26	+9.73	+9.73	+10.26	+13.57	+13.57	
HIP.	-3.27	+ 3.27	- 1.49	+ 1.49	- 3.22	+ 3.22	+ 1.37	- 1.37	+ 1.63	- 1.63	+ 3.39	- 3.39
2°	+3.96	+10.50	-12.08	+15.06	+ 7.04	+13.48	+11.10	+ 8.36	+11.89	+ 8.63	+16.96	+10.18
TSOS.	+9.73	+ 9.73	+10.26	+10.26	+13.57	+13.57	+ 7.23	+ 7.23	+13.57	+13.57	+10.26	+10.26
HIP.	-3.34	+ 3.34	- 1.59	+ 1.59	- 3.11	+ 3.11	+ 1.68	- 1.68	+ 1.45	- 1.45	+ 0.45	- 0.45
1°	+6.39	+13.07	+ 8.67	+11.85	+10.46	+16.68	+ 8.91	+ 5.55	+15.02	+12.12	+10.71	+ 9.81

FUERZAS CORINTANAS EN VIGAS DE PORTICO PRINCIPAL 4-4 :

1.25 ( D + L <sub>2</sub> + S ) ton.						1.25 ( D + L <sub>2</sub> + S ) ton.							
A	B	C	D	A	B	C	D	DER.	IZQ.	DER.	IZQ.	DER.	IZQ.
TSOS.	—	—	MN	+ 7.85	+ 7.85	—	—	—	—	MN	+ 7.85	+ 7.85	
HIP.	—	—	—	- 4.42	+ 4.42	—	—	—	—	—	+ 3.75	- 3.75	
7°	—	—	—	+ 3.43	+12.27	—	—	—	—	—	+11.60	+ 4.10	
TSOS.	—	—	+10.26	+10.26	+13.57	+13.57	—	—	+10.26	+10.26	+13.57	+13.57	
HIP.	—	—	- 2.37	+ 2.37	- 3.85	+ 3.85	—	—	+ 0.24	- 0.24	+ 4.20	- 4.20	
6°	—	—	+ 7.89	+12.63	+ 9.72	+17.42	—	—	+10.02	+10.02	+17.77	+ 9.37	
TSOS.	—	—	+13.57	+13.57	+10.26	+10.26	—	—	+13.57	+13.57	+10.26	+10.26	
HIP.	—	—	- 2.30	+ 2.30	- 5.02	+ 5.02	—	—	+ 1.72	- 1.72	+ 5.02	- 5.02	
5°	—	—	+11.27	+15.87	+ 7.78	+15.28	—	—	+15.29	+11.85	+15.28	+ 5.24	

FUERZAS CORTANTES EN VIGAS DE PORTICO PRINCIPAL 4-4 :

1.25 ( D + L <sub>2</sub> + $\overrightarrow{S}$ ) ton.								1.25 ( D + L <sub>2</sub> + $\overleftarrow{S}$ ) ton.							
A		B		C		D		A		B		C		D	
DER.	IZQ.	DER.	IZQ.	DER.	IZQ.	DER.	IZQ.	DER.	IZQ.	DER.	IZQ.	DER.	IZQ.	DER.	IZQ.
ISOS.	-	-	+10.26	+10.26	+13.57	+13.57	-	-	+10.26	+10.26	+13.57	+13.57	-	-	
HIP.	-	-	-2.54	+2.54	-4.24	+4.24	-	-	+2.05	-2.05	+4.25	-4.25	-	-	
4°	-	-	+7.72	+12.80	+9.33	+17.81	-	-	+12.31	+8.21	+17.82	+9.32	-	-	
ISOS.	-	-	+13.57	+13.57	+10.26	+10.26	-	-	+13.57	+13.57	+10.16	+10.16	-	-	
HIP.	-	-	-2.81	+2.81	-4.19	+4.19	-	-	+2.19	-2.19	+4.18	-4.18	-	-	
3°	-	-	+10.76	+16.38	+6.07	+14.45	-	-	+15.76	+11.38	+14.44	+6.08	-	-	
ISOS.	9.73	+9.73	+10.26	+10.26	+13.57	+13.57	+9.73	+9.73	+10.26	+10.26	+13.57	+13.57	-	-	
HIP.	-3.32	+3.32	-1.49	+1.49	-3.22	+3.22	+1.06	-1.06	+1.65	-1.65	+3.22	-3.22	-	-	
2°	+6.41	+13.05	+8.77	+11.75	+10.35	+16.79	+10.79	+8.67	+11.91	+8.61	+16.79	+10.35	-	-	
ISOS.	+7.23	+7.23	+13.57	+13.57	+10.26	+10.26	+7.23	+7.23	+13.57	+13.57	+10.26	+10.26	-	-	
HIP.	-2.02	+2.02	-1.59	+1.59	-3.11	+3.11	+1.46	-1.46	+1.44	-1.44	+3.12	-3.12	-	-	
1°	+5.21	+9.25	+11.98	+15.16	+7.15	+13.37	+8.69	+5.77	+15.01	+12.13	+13.38	+7.14	-	-	

FUERZAS CORTANTES EN VIGAS DE PORTICO PRINCIPAL 4-4 :

1.25 ( D + L <sub>3</sub> + S → )						1.25 ( D + L <sub>3</sub> + S ← )						
A	B	C	D	A	B	C	D	A	B	C	D	
DER.	IZQ.	DER.	IZQ.	DER.	IZQ.	DER.	IZQ.	DER.	IZQ.	DER.	IZQ.	
ISOS.	—	—	MIN	+ 7.85	+ 7.85	—	—	—	—	+ 7.85	+ 7.85	
HIP.	—	—	—	- 3.02	+ 3.02	—	—	—	—	+ 3.92	- 3.92	
Σ 7°	—	—	—	+ 4.83	+10.87	—	—	—	—	+11.77	+ 3.93	
ISOS.	—	—	+13.57	+13.57	+13.57	—	—	+13.57	+13.57	+13.57	+13.57	
HIP.	—	—	- 2.59	+ 2.59	- 4.15	+ 4.15	—	—	+ 0.01	- 0.01	+ 4.42	- 4.42
Σ 6°	—	—	+10.98	+16.16	+ 9.42	+17.72	—	—	+13.58	+13.56	+17.99	+ 9.15
ISOS.	—	—	+10.26	+10.26	+10.26	—	—	+10.26	+10.26	+10.26	+10.26	
HIP.	—	—	- 2.19	+ 2.19	- 4.82	+ 4.82	—	—	+ 1.75	- 1.75	+ 4.82	- 4.82
Σ 5°	—	—	+ 8.07	+12.45	+ 5.44	+15.08	—	—	+12.01	+ 8.51	+15.08	+ 5.44

FUERZAS CORTANTES EN VIGAS DE PORTICO PRINCIPAL 4-4:

1.25 ( D + L <sub>3</sub> + S )				1.25 ( D + L <sub>3</sub> + S )			
A	B	C	D	A	B	C	D
DER.	IZQ.	DER.	IZQ.	DER.	IZQ.	DER.	IZQ.
TSOS.	-	+13.57	+13.57	+13.57	-	+13.57	+13.57
HIP.	-	-	-	-	-	+1.97	-1.97
$\Sigma 4^{\circ}$	-	-	-	-	-	+15.54	+11.60
TSOS.	-	-	-	-	-	+10.26	+10.26
HIP.	-	-	-	-	-	+2.27	-2.27
$\Sigma 3^{\circ}$	-	-	-	-	-	+12.53	+7.99
TSOS.	+7.23	+7.23	+13.57	+13.57	+7.23	+7.23	+13.57
HIP.	-3.23	+3.23	-1.79	+1.79	-3.31	+3.31	-1.60
$\Sigma 2^{\circ}$	+4.00	+10.46	+11.78	+11.78	+10.26	+16.88	+8.83
TSOS.	+9.73	+9.73	+13.57	+13.57	+10.26	+10.26	+9.73
HIP.	-2.71	+2.71	-1.56	+1.56	-3.01	+3.01	+0.15
$\Sigma 1^{\circ}$	+7.02	+12.44	+12.01	+15.13	+7.25	+13.27	+9.88

FUERZAS CORTANTES EN VIGAS DE PORTICO PRINCIPAL 4-4 :

1.25 ( D + L <sub>4</sub> + S )				1.25 ( D + L <sub>4</sub> + S )			
A	B	C	D	A	B	C	D
DER.	IZQ.	DER.	IZQ.	DER.	IZQ.	DER.	IZQ.
ISOS.	—	MIN	+13.57	+13.57	—	MIN	+13.57
HIP.	—	—	- 4.09 + 4.09	—	—	—	+ 3.56 - 3.56
Σ 7°	—	+ 9.48	+17.66	—	—	+17.13	+10.01
ISOS.	+10.26	+10.26	+10.26	+10.26	+10.26	+10.26	+10.26
HIP.	- 2.16	+ 2.16	- 4.14 + 4.14	+ 0.42	- 0.42	+ 3.18	- 3.18
Σ 6°	+ 8.10	+12.42	+ 6.12 +14.40	+10.68	+ 9.84	+13.44	+ 7.08
ISOS.	+13.57	+13.57	+13.57	+13.57	+13.57	+13.57	+13.57
HIP.	- 2.37	+ 2.37	- 4.80 + 4.80	+ 1.57	- 1.57	+ 4.84	- 4.84
Σ 5°	+11.20	+15.94	+ 8.77 +18.37	+15.14	+12.00	+18.41	+ 8.73

FUERZAS CORTANTES EN VIGAS DE PORTICO PRINCIPAL 4-4 :

1.25 ( D + L <sub>4</sub> + S )				1.25 ( D + L <sub>4</sub> + S )			
A.	B	C	D	A	B	C	D
DER.	IZQ.	DER.	IZQ.	DER.	IZQ.	DER.	IZQ.
TSOS.	+10.26	+10.26	+10.26	+10.26	+10.26	+10.26	+10.26
HIP.	- 2.45	+ 2.45	- 4.37	+ 4.37	+ 2.16	- 2.16	+ 4.38
$\Sigma 4^\circ$	+ 7.81	+12.71	+ 5.89	+14.63	+12.42	+ 8.10	+14.64
TSOS.	+13.57	+13.57	+13.57	+13.57	+13.57	+13.57	+13.57
HIP.	- 2.90	+ 2.90	- 4.06	+ 4.06	+ 2.10	- 2.10	+ 4.60
$\Sigma 3^\circ$	+10.67	+16.47	+ 9.51	+17.63	+15.67	+11.47	+18.17
TSOS.	+9.73	+9.73	+13.57	+13.57	+9.73	+13.57	+10.26
HIP.	- 3.46	+ 3.46	- 1.87	+ 1.87	+ 1.36	- 1.70	+ 3.35
$\Sigma 2^\circ$	+6.27	+13.19	+11.70	+15.44	+ 7.01	+13.51	+13.57
TSOS.	+7.23	+ 7.23	+13.57	+13.57	+13.57	+13.57	+13.57
HIP.	- 3.28	+ 3.28	- 1.66	+ 1.66	- 3.06	+ 2.10	- 1.38
$\Sigma 1^\circ$	+3.95	+10.51	+11.91	+15.23	+10.51	+ 9.33	+ 5.13
					+14.95	+12.19	+16.61
							+10.53

1.25 ( D + L <sub>5</sub> + S )						1.25 ( D + L <sub>5</sub> + S )					
A	B	C	D	A	B	C	D				
DER.	TZQ.	DER.	TZQ.	DER.	TZQ.	DER.	TZQ.	MIN	MIN	MIN	MIN
ISOS.	—	MIN	+13.57	+13.57	—	—	—	+13.57	+13.57	+13.57	+13.57
HIP.	—	—	- 4.02	+ 4.02	—	—	—	+ 3.63	- 3.63	+ 3.63	- 3.63
Σ 7°	—	—	+ 9.55	+17.59	—	—	—	+17.20	+ 9.94	+17.20	+ 9.94
ISOS.	+13.57	+13.57	+13.57	+13.57	+13.57	+13.57	+13.57	+13.57	+13.57	+13.57	+13.57
HIP.	- 2.52	+ 2.52	- 4.12	+ 4.12	—	+ 0.07	- 0.07	+ 4.46	- 4.46	+ 4.46	- 4.46
Σ 6°	+11.05	+16.09	+ 9.45	+17.69	—	+13.64	+13.50	+18.03	+ 9.11	+18.03	+ 9.11
ISOS.	+13.57	+13.57	+13.57	+13.57	+13.57	+13.57	+13.57	+13.57	+13.57	+13.57	+13.57
HIP.	—	- 2.30	+ 2.30	- 5.06	+ 5.06	+ 1.64	- 1.64	+ 4.83	- 4.83	+ 4.83	- 4.83
Σ 5°	+11.27	+15.87	+ 8.51	+18.63	+15.21	+11.93	+18.40	+ 8.74	+ 8.74	+18.40	+ 8.74

1.25 ( D + L <sub>5</sub> + S )				1.25 ( D + L <sub>5</sub> + S )	
A	B	C	D	A	B
DER.	TZQ.	DER.	TZQ.	DER.	TZQ.
ISOS.		+13.57	+13.57	+13.57	+13.57
HIP.		- 2.60	+ 2.60	- 4.34	+ 4.34
$\Sigma 4^\circ$		+10.97	+16.17	+ 9.23	+17.91
ISOS.		+13.57	+13.57	+13.57	+13.57
HIP.		- 2.85	+ 2.85	- 4.05	+ 4.05
$\Sigma 3^\circ$		+10.72	+16.42	+ 9.52	+17.62
ISOS.	+2.73	+ 9.73	+13.57	+13.57	+13.57
HIP.	-3.39	+ 3.39	- 1.57	+ 1.57	- 3.30
$\Sigma 2^\circ$	+6.34	+13.12	+12.00	+15.14	+10.27
ISOS.	+2.73	+ 9.73	+13.57	+13.57	+13.57
HIP.	-3.39	+ 3.39	- 1.50	+ 1.50	- 2.81
$\Sigma 1^\circ$	+6.34	+13.12	+15.07	+12.07	+10.76

( 0.9 D + 1.1 S )				( 0.9 D + 1.1 S )			
A	B	C	D	A	B	C	D
DER.	IZQ.	DER.	IZQ.	DER.	IZQ.	DER.	IZQ.
TSOS.	—	MIN	+5.67	+5.67	—	MIN	+5.67
HIP.	—	-3.47	+3.47	—	—	+3.26	-3.26
$\Sigma 7^\circ$	—	+2.20	+9.14	—	—	+8.93	+2.41
TSOS.	+7.40	+7.40	+7.40	+7.40	+7.40	+7.40	+7.40
HIP.	-1.81	+1.81	-3.68	+3.68	+0.47	-0.47	+3.87
$\Sigma 6^\circ$	+5.59	+9.21	+3.72	+11.08	+7.87	+6.93	+11.27
TSOS.	+7.40	+7.40	+7.40	+7.40	+7.40	+7.40	+7.40
HIP.	-1.91	+1.91	-4.24	+4.24	+1.56	-1.56	+4.25
$\Sigma 5^\circ$	+5.49	+9.31	+3.16	+11.64	+8.96	+5.84	+11.65

( 0.9 D + 1.1 → S )				( 0.9 D + 1.1 ← S )			
A	B	C	D	A	B	C	D
DER.	TZQ.	DER.	TZQ.	DER.	TZQ.	DER.	TZQ.
ISOS.	+7.40	+7.40	+7.40	+7.40	+7.40	+7.40	+7.40
HIP.	-2.18	+2.18	-3.85	+3.85	+1.88	-1.88	+3.86
Σ 4°	+5.22	+9.58	+3.55	+11.25	+9.28	+5.52	+11.26
ISOS.	+7.40	+7.40	+7.40	+7.40	+7.40	+7.40	+7.40
HIP.	-2.39	+2.39	-3.57	+3.57	+2.00	-2.00	+3.58
Σ 3°	+5.01	+9.79	+3.83	+10.97	+9.40	+5.40	+10.98
ISOS.	+5.22	5.22	+7.40	+7.40	+5.22	+7.40	+7.40
HIP.	-2.66	+2.66	-1.43	+1.43	+2.91	+0.96	+1.45
Σ 2°	+2.56	+7.88	+5.97	+8.83	+10.31	+6.18	+8.85
ISOS.	+5.22	+5.22	+7.40	+7.40	+5.12	+7.40	+7.40
HIP.	-2.76	+2.76	-1.39	+1.39	-2.68	+2.68	+1.43
Σ 1°	+2.46	7.98	+6.01	+8.79	+4.72	+10.08	+6.65

## MOMENTOS MAXIMOS EN COLUMNAS PORTICO PRINCIPAL A-4

SISTEMA	1.5 D + 1.8 L <sub>1</sub>						1.5 D + 1.8 L <sub>2</sub>						1.5 D + 1.8 L <sub>1</sub>					
	EJE A			EJE B			EJE C			EJE A			EJE B			EJE C		
	ARR.	ABJ.	ARR.	ABJ.	ARR.	ABJ.	ARR.	ABJ.	ARR.	ARR.	ABJ.	ABJ.	ARR.	ABJ.	ARR.	ABJ.	ARR.	ABJ.
7°	—	—	—	—	+2.35	-1.02	—	—	—	—	—	—	+0.76	+0.95				
6°	—	—	+9.28	+5.16	-2.28	-0.19	—	—	+6.59	+5.35	+0.11	-0.91						
5°	—	—	+4.61	+6.57	+2.09	-0.81	—	—	+7.99	+5.18	-2.32	+0.32						
4°	—	—	+7.12	+5.69	-2.76	+0.92	—	—	+4.87	+7.35	+2.07	-1.63						
3°	—	—	+3.95	+3.64	+1.80	-1.00	—	—	+5.95	+2.08	+1.87	+0.80						
2°	+3.21	+3.34	+3.78	+1.97	-2.66	+0.78	+4.54	+3.00	+0.10	+3.28	+2.66	-0.88						
1°	+2.32	+1.16	+0.10	+0.05	+2.82	+1.41	+1.02	+0.51	+4.31	+2.15	+2.82	-1.47						

MOMENTOS MAXIMOS EN COLUMNAS		PORTICO PRINCIPAL 4-4									
1.5 D + 1.8 L <sub>3</sub>		1.5 D + 1.8 L <sub>4</sub>									
NIVELLES	EJE A	EJE B		EJE C		EJE A		EJE B		EJE C	
	ARR.	ABJ.	ARR.	ABJ.	ARR.	ABJ.	ARR.	ABJ.	ARR.	ABJ.	ARR.
7°	—	—	—	—	-1.14	-1.19	—	—	—	—	+1.23
6°	—	—	+8.88	+5.12	-0.81	-0.37	—	—	+6.90	+5.37	-0.88
5°	—	—	+4.99	+6.52	-0.07	-0.21	—	—	+7.69	+5.33	-0.32
4°	—	—	+6.94	+5.82	-0.49	-0.37	—	—	+4.80	+6.97	-0.09
3°	—	—	+4.02	+3.14	-0.04	+0.19	—	—	+6.15	+3.34	-0.75
2°	+3.26	+3.09	+4.09	+3.61	-0.56	-1.81	+3.83	+3.00	+2.36	+3.93	-2.20
1°	+2.21	+0.98	+2.08	+1.04	-2.04	-1.02	+0.86	+0.55	+3.66	+1.83	+0.45

MOMENTOS MAXIMOS EN COLUMNAS						PORTICO PRINCIPAL 4-4												
1.5 D + 1.8 L <sub>5</sub>						1.25 ( D + L <sub>1</sub> + S )												
SETEAIN	EJE A			EJE B			EJE C			EJE A			EJE B			EJE C		
	ARR.	ABJ.	ARR.	ARR.	ABJ.	ARR.	ARR.	ABJ.	ARR.	ARR.	ABJ.	ARR.	ARR.	ABJ.	ARR.	ABJ.	ARR.	
7°	—	—	—	—	+0.60	-0.47	—	—	—	—	—	—	—	-7.39	-7.15			
6°	—	—	+9.18	+6.09	-1.06	-0.57	—	—	+0.97	+2.33	-8.30	-5.32						
5°	—	—	+7.36	+6.86	-0.19	-0.19	—	—	-1.27	+3.58	-9.13	-8.21						
4°	—	—	+6.97	+7.56	-0.40	-0.41	—	—	+1.24	+2.40	-12.17	-11.28						
3°	—	—	+5.75	+3.36	-0.27	-0.02	—	—	-1.82	-1.38	-3.20	-13.02						
2°	+4.54	+3.72	+2.32	+3.10	0.00	-0.07	-0.75	+0.40	-2.21	-3.41	-3.46	-17.37						
1°	+1.96	+0.98	+2.58	+1.29	-0.08	-0.05	-1.63	-0.34	-1.81	-8.07	+1.95	-20.76						

MOMENTOS MAXIMOS EN COLUMNAS

PORTICO PRINCIPAL 4-4

SETRAIN	1.25 (D + L <sub>2</sub> + $\vec{S}$ )				1.25 (D + L <sub>3</sub> + $\vec{S}$ )			
	EJE A ARR.	EJE B ARR.	EJE C ARR.	EJE A ABJ.	EJE B ARR.	EJE C ARR.	EJE A ABJ.	EJE B ARR.
7°	—	—	—	-8.49	-5.79	—	—	—
6°	—	-0.90	+2.46	-6.64	-5.79	—	+6.90	+2.30
5°	—	-+1.08	+2.61	-12.19	-7.29	—	-1.01	+3.54
4°	—	-3.20	+3.55	-8.82	-13.06	—	+1.12	+2.49
3°	—	-0.47	-2.47	-3.31	-11.77	—	-1.81	-1.58
2°	+0.18	+0.16	-4.77	-2.49	+0.24	-18.53	-0.71	+0.36
1°	-2.53	-0.80	+1.12	-6.61	+11.38	-22.76	-1.70	-0.38

MOMENTOS MAXIMOS EN COLUMNAS				FORTICO PRINCIPAL 4-4				
1.25 ( D + L <sub>4</sub> + $\vec{S}$ )				1.25 ( D + L <sub>5</sub> + $\vec{S}$ )				
NIVELAIN	EJE A		EJE B		EJE C		EJE A	
	ARR.	ABJ.	ARR.	ABJ.	ARR.	ABJ.	ARR.	ABJ.
7°	—	—	—	—	—	—	—	—
6°	—	—	-0.68	-1.18	-7.33	-5.52	—	+9.10 +2.98
5°	—	—	+0.87	+2.71	-10.81	-7.78	—	+0.65 +3.78
4°	—	—	-0.41	+3.29	-10.32	-11.97	—	+1.14 +3.70
3°	—	—	-0.33	-1.59	-5.16	-13.39	—	-0.61 -1.58
2°	+0.05	+0.16	-3.19	-2.04	-3.13	-18.45	+0.18 +0.66	-3.22 -4.48
1°	-2.48	-0.77	+0.67	-6.83	+9.68	-21.58	-1.88 -0.47	-0.08 -7.21

MOMENTOS MAXIMOS EN COLUMNAS				PORTICO PRINCIPAL 4-4								
1.25 ( D + L <sub>1</sub> + S )				1.25 ( D + L <sub>2</sub> + S )								
SHEDDIN	EJE A		EJE B		EJE C		EJE A		EJE B		EJE C	
	ARR.	ABJ.	ARR.	ABJ.	ARR.	ABJ.	ARR.	ABJ.	ARR.	ABJ.	ARR.	ABJ.
7°	-	-	-	-	+10.77	+5.44	-	-	-	-	+9.67	+7.01
6°	-	-	+13.77	+6.05	+4.92	+4.83	-	-	+11.90	+6.18	+6.58	+4.33
5°	-	-	+9.15	+6.94	+8.05	+7.07	-	-	+11.50	+5.97	+8.95	+7.99
4°	-	-	+10.04	+7.02	+8.27	+12.48	-	-	+8.48	+8.17	+11.62	+10.70
3°	-	-	+8.50	+7.10	+5.82	+11.62	-	-	+9.89	+6.01	+5.87	+12.85
2°	+6.11	+4.98	+7.93	+6.75	-0.24	+18.45	+7.04	+4.74	+5.37	+7.67	+3.46	+17.29
1°	+5.23	+2.16	+2.45	+8.41	-7.43	+22.70	+4.33	+1.70	+5.46	+9.87	-7.43	+20.70

MOMENTOS MAXIMOS EN COLUMNAS

PORTECO PRINCIPAL 4-4

SETEMA	1.25 ( D + L <sub>3</sub> + S )						1.25 ( D + L <sub>4</sub> + S )					
	EJE A	EJE B	EJE C	EJE A	EJE B	EJE C	EJE A	EJE B	EJE C	EJE A	EJE B	EJE C
ARR.	ABJ.	ARR.	ABJ.	ARR.	ABJ.	ARR.	ABJ.	ARR.	ABJ.	ARR.	ABJ.	ARR.
7°	—	—	—	+ 8.34	+ 5.52	—	—	—	—	+ 9.99	+ 6.35	
6°	—	—	+13.49	+6.02	+ 5.94	+ 4.71	—	—	+12.12	+6.20	+ 5.89	+ 4.60
5°	—	—	+ 9.41	+6.90	+10.51	+ 7.48	—	—	+13.29	+6.07	+10.33	+ 7.50
4°	—	—	+ 9.92	+7.11	+9.84	+11.38	—	—	+ 8.39	+7.91	+10.12	+11.79
3°	—	—	+ 8.55	+6.90	+4.54	+12.45	—	—	+10.03	+6.89	+4.02	+11.25
2°	+6.15	+5.54	+ 8.15	+7.89	+1.22	+16.64	+6.91	+4.04	+ 6.95	+8.12	+0.09	+17.37
1°	+5.16	+2.66	+ 3.83	+9.10	-10.81	+21.01	+4.06	+1.73	+ 4.93	+9.65	-9.08	+21.88

## MOMENTOS MAXIMOS EN COLUMNAS

## PORTICO PRINCIPAL 4-4

SETEMAIN	1.25 ( D + L <sub>5</sub> + S )						0.9 D + 1.1 S											
	EJE A			EJE B			EJE C			EJE A			EJE B			EJE C		
	ARR.	ABJ.	ARR.	ARR.	ABJ.	ARR.	ARR.	ABJ.	ARR.	ARR.	ABJ.	ARR.	ARR.	ABJ.	ARR.	ABJ.	ARR.	
7°	—	—	—	—	+ 9.55	+ 6.02	—	—	—	—	—	—	—	—	—	-7.54	-5.84	
6°	—	—	+13.71	+6.70	+ 5.77	+ 4.57	—	—	—	-1.64	+1.00	-6.28	-4.70	—	—	—	—	
5°	—	—	+11.07	+7.14	+10.42	+ 7.42	—	—	-1.42	+1.50	-9.38	-6.80	—	—	—	—	—	
4°	—	—	+ 9.94	+8.32	+ 9.90	+11.55	—	—	-0.85	+1.25	-9.16	-10.63	—	—	—	—	—	
3°	—	—	+ 9.75	+6.90	+ 4.38	+12.23	—	—	-2.06	-2.28	-4.26	-10.89	—	—	—	—	—	
2°	+7.04	+5.04	+ 6.92	+7.54	+ 1.61	+17.86	-1.08	-0.43	-3.46	-3.13	-1.42	-15.79	—	—	—	—	—	
1°	+4.98	+2.03	-4.18	+3.27	- 3.14	+21.67	-2.18	-0.69	-0.75	-6.69	+8.21	-17.14	—	—	—	—	—	

MOMENTOS MAXIMOS EN COLUMNAS		PORTICO PRINCIPAL 4-4							
		0.9 D + 1.1 S							
		EJE A		EJE B		EJE C			
		ARR.	ABJ.	ARR.	ABJ.	ARR.	ABJ.	ARR.	ABJ.
7°	—	—	—	—	—	—	—	+ 8.06	+ 5.42
6°	—	—	—	+ 9.61	+ 4.28	+ 5.36	+ 4.22		
5°	—	—	—	+ 7.76	+ 4.44	+ 9.22	+ 6.64		
4°	—	—	—	+ 9.91	+ 5.31	+ 8.82	+ 10.27		
3°	—	—	—	+ 7.04	+ 5.18	+ 3.92	+ 10.79		
2°	+4.94	+5.17	+ 5.48	+5.81	+ 1.42	+15.73			
1°	+3.84	+1.51	+ 2.99	+7.81	- 8.21	+19.10			

**FUERZAS CORTANTES EN COLUMNAS MAXIMOS EN TONELADAS**

EJE A MAIN	1.5 D + 1.8 L <sub>1</sub>			1.5 D + 1.8 L 2		
	ARR. ABJ.	ARR. ABJ.	ARR. ABJ.	EJE A	EJE B	EJE C
7°	—	—	—	+0.48	-0.48	—
6°	—	—	+5.15	-5.15	-0.88	+0.88
5°	—	—	+3.99	-3.99	+0.46	-0.46
4°	—	—	+4.58	-4.58	-0.65	+0.65
3°	—	—	+2.71	-2.71	+0.29	-0.29
2°	+2.34	-2.34	+2.05	-2.05	-0.67	+0.67
1°	+1.24	-1.24	+0.05	-0.05	+1.51	-1.51

## FUERZAS CONTANTES EN COLUMNAS MAXIMOS EN TONELADAS

FUERZAS CORTANTES EN COLUMNAS MAXIMOS EN TONELADAS									
1.5 D + 1.8 L <sub>3</sub>					1.5 D + 1.8 L <sub>4</sub>				
EJE A		EJE B		EJE C	EJE A		EJE B		EJE C
ARR.	ABJ.	ARR.	ABJ.	ARR.	ARR.	ABJ.	ARR.	ABJ.	ARR.
7°	—	—	—	-0.83	+0.83	—	—	—	+0.44
6°	—	+5.0	-5.0	-0.42	+0.42	—	—	+4.38	-0.50
5°	—	+4.11	-4.11	-0.10	+0.10	—	—	+4.65	-0.18
4°	—	+4.56	-4.56	-0.31	+0.31	—	—	+4.20	-0.06
3°	—	+2.56	-2.56	-0.08	+0.08	—	—	+3.39	-0.82
2°	+2.27	2.27	+2.75	-2.75	-0.85	+0.85	+2.44	-2.44	-2.25
1°	+1.14	-1.14	+1.14	-1.14	-1.09	+1.09	+0.50	-0.50	+1.96

		FUERZAS CORTANTES EN COLUMNAS MAXIMOS EN TONELADAS											
		1.5 D + 1.8 L <sub>5</sub>			1.25 ( D + L <sub>1</sub> + S )								
ESTA NA	ARR.	EJE A		EJE B		EJE C		EJE A		EJE B		EJE C	
		ARR.	ABJ.	ARR.	ABJ.	ARR.	ABJ.	ARR.	ABJ.	ARR.	ABJ.	ARR.	ABJ.
7°	—	—	—	—	+0.05	-0.05	—	—	—	—	—	-5.19	+5.19
6°	—	—	+5.45	-5.45	-0.58	+0.58	—	—	+1.18	—	—	-4.86	+4.86
5°	—	—	+5.08	-5.08	-0.14	+0.14	—	—	+0.83	—	—	-6.19	+6.19
4°	—	—	+5.19	-5.19	-0.29	+0.29	—	—	+1.30	-1.30	—	-8.38	+8.38
3°	—	—	+3.25	-3.25	-0.14	+0.14	—	—	-1.14	+	—	-5.79	+5.79
2°	42.95	-2.95	+1.93	-1.93	-0.03	+0.03	-0.13	+0.13	-2.00	+	-7.44	+7.44	
1°	+1.05	-1.05	+0.92	-0.92	-0.05	+0.05	-0.70	+0.70	-3.53	+	-6.72	+6.72	

FUERZAS CORTANTES EN COLUMNAS MAXIMOS EN TONELADAS																		
1.25 ( $D + L_2 + \vec{S}$ )						1.25 ( $D + L_3 + \vec{S}$ )												
MAIN	EJE A			EJE B			EJE C			EJE A			EJE B			EJE C		
	ARR.	ABJ.	ARR.	ABJ.	ARR.	ABJ.	ARR.	ABJ.	ARR.	ABJ.	ARR.	ABJ.	ARR.	ABJ.	ARR.	ABJ.		
7°	—	—	—	—	—	+5.10	+5.10	—	—	—	—	—	—	—	—	+6.11	+6.11	
6°	—	—	+0.56	+0.56	+4.44	+4.44	+4.44	—	—	+3.29	+3.29	+3.29	+3.29	+3.29	+3.29	+4.53	+4.53	
5°	—	—	+1.32	+1.32	+6.95	+6.95	+6.95	—	—	+0.90	+0.90	+0.90	+0.90	+0.90	+0.90	+6.62	+6.62	
4°	—	—	+0.13	+0.13	+7.81	+7.81	+7.81	—	—	+1.30	+1.30	+1.30	+1.30	+1.30	+1.30	+8.14	+8.14	
3°	—	—	-1.05	+1.05	+5.39	+5.39	+5.39	—	—	-1.21	+1.21	+1.21	+1.21	+1.21	+1.21	+6.01	+6.01	
2°	+0.12	-0.12	-2.59	+2.59	-6.53	+6.53	+6.53	-0.13	+0.13	-1.52	+1.52	+1.52	+1.52	+1.52	+1.52	+7.56	+7.56	
1°	-1.19	+1.19	-1.96	+1.96	-4.06	+4.06	+4.06	-0.74	+0.74	-2.79	+2.79	+2.79	+2.79	+2.79	+2.79	+10.86	+10.86	

ELEM.	FUERZAS CORTANTES EN COLUMNAS MAXIMOS EN TONELADAS						1.25 ( D + L <sub>4</sub> + $\overline{S}$ )						1.25 ( D + L <sub>5</sub> + $\overline{S}$ )					
	EJE A			EJE B			EJE C			EJE A			EJE B			EJE C		
	EJE A	ARR.	ABJ.	EJE B	ARR.	ABJ.	EJE C	ARR.	ABJ.	EJE A	ARR.	ABJ.	EJE B	ARR.	ABJ.	EJE C	ARR.	
7°	-	-	-	-	-	-	-5•22	+5•22	-	-	-	-	-	-	-	-5•50	+5•50	
6°	-	-	-	-0•66	+0•66	-4•59	+4•59	-	-	-	-	+4•31	-4•31	-4•64	-4•64	+4•64	+4•64	
5°	-	-	-1•28	-1•28	-6•64	+6•64	-	-	-	-	+1•58	-1•58	-6•61	-6•61	+6•61	+6•61		
4°	-	-	+1•03	-1•03	-7•96	+7•96	-	-	-	-	+1•73	-1•73	-8•12	-8•12	+8•12	+8•12		
3°	-	-	-0•69	+0•69	-6•63	+6•63	-	-	-	-	-0•78	+0•78	-6•15	-6•15	+6•15	+6•15		
2°	+0•08	-0•08	-1•87	+1•87	-7•71	+7•71	+0•30	-0•30	-0•30	-2•75	+2•75	-2•75	-6•99	-6•99	+6•99	+6•99		
1°	-1•16	+1•16	-2•20	+2•20	-4•25	+4•25	-0•84	+0•84	-0•84	-2•60	+2•60	-2•60	-4•45	-4•45	+4•45	+4•45		

FUERZAS CORTANTES EN COLUMNAS MAXIMOS EN TONELADAS												
1.25 ( D + L <sub>1</sub> + S )					1.25 ( D + L <sub>2</sub> + S )							
TIPO	EJE A		EJE B		EJE C		EJE A		EJE B		EJE C	
	ARR.	ABJ.	ARR.	ABJ.	ARR.	ABJ.	ARR.	ABJ.	ARR.	ABJ.	ARR.	ABJ.
7°	-	-	-	-	+5.79	-5.79	-	-	-	-	+5.96	-5.96
6°	-	-	+7.07	-7.07	+3.48	-3.48	-	-	+6.46	-6.46	+3.90	-3.90
5°	-	-	+5.75	-5.75	+5.40	-5.40	-	-	+6.24	-6.24	+6.05	-6.05
4°	-	-	+6.09	-6.09	+7.41	-7.41	-	-	+5.95	-5.95	+7.97	-7.97
3°	-	-	+5.57	-5.57	+6.23	-6.13	-	-	+5.68	-5.68	+6.69	-6.69
2°	+3.96	-3.96	+5.24	-5.	+6.50	-6.50	+4.20	-4.20	+4.66	-4.66	+7.41	-7.41
1°	+2.64	-2.64	+3.88	-3.88	+5.45	-5.45	+2.15	-2.15	+5.48	-5.48	+4.74	-4.74

FUERZAS CORTANTES EN COLUMNAS MAXIMOS EN TONELADAS

ESTAÑO	1.25 ( D + L <sub>3</sub> + S )						1.25 ( D + L <sub>4</sub> + S )											
	EJE A			EJE B			EJE C			EJE A			EJE B			EJE C		
	ARR.	ABJ.	ARR.	ABJ.	ARR.	ABJ.	ARR.	ABJ.	ARR.	ABJ.	ARR.	ABJ.	ARR.	ABJ.	ARR.	ABJ.	ARR.	ABJ.
7°	—	—	—	—	+4.95	-4.95	—	—	—	—	—	—	+5.84	-5.84	—	—	—	—
6°	—	—	+6.97	-6.97	+3.80	-3.80	—	—	+6.54	-6.54	+3.75	-3.75	—	—	—	—	—	—
5°	—	—	+5.83	-5.83	+6.43	-6.43	—	—	+6.91	-6.91	+6.37	-6.37	—	—	—	—	—	—
4°	—	—	+6.08	-6.08	+7.58	-7.58	—	—	+5.82	-5.82	+7.83	-7.83	—	—	—	—	—	—
3°	—	—	+5.52	-5.52	+6.07	-6.07	—	—	+6.04	-6.04	+5.45	-5.45	—	—	—	—	—	—
2°	+4.18	-4.18	+5.73	-5.73	+6.38	-6.	+3.91	-3.91	+5.38	-5.38	+6.24	-6.24	—	—	—	—	—	—
1°	+2.79	-2.79	+4.62	-4.62	+3.64	-3.64	+2.07	-2.07	+5.21	-5.21	+4.57	-4.57	—	—	—	—	—	—

FUERZAS CORTANTES EN COLUMNAS MAXIMOS EN TONELADAS

SECCION	1.25 (D + L <sub>5</sub> + S )				0.9 D + L <sub>1</sub> S				EJE C
	EJE A	EJE B	EJE C	EJE A	EJE B	EJE C	EJE C	EJE C	
	ARR.	ABJ.	ARR.	ABJ.	ARR.	ABJ.	ARR.	ABJ.	ARR.
7°	—	—	—	+5.56	-5.56	—	—	—	-4.42
6°	—	—	+7.29	-7.29	+3.69	-3.69	—	-0.23	+0.23
5°	—	—	+6.50	-6.50	+6.37	-6.37	—	+0.03	-0.03
4°	—	—	+6.52	-6.52	+7.66	-7.66	—	+0.14	-0.14
3°	—	—	+5.95	-5.95	+5.93	-5.93	—	-1.55	+1.55
2°	+4.31	-4.31	+5.16	-5.16	+6.95	-6.95	-0.54	+0.54	-2.35
1°	+2.50	-2.50	+4.80	-4.80	+4.38	-4.38	-1.03	+1.03	-2.66

**FUERZAS CORTANTES EN COLUMNAS MAXIMOS EN TONELADAS**

EJE HIN	0.9 D + 1.1 S					
	EJE A		EJE B		EJE C	
	ARR.	ABJ.	ARR.	ABJ.	ARR.	ABJ.
7°	—	—	—	—	+4.81	-4.81
6°	—	—	+4.96	-4.36	+3.42	-3.42
5°	—	—	+4.35	-4.35	+5.66	-5.66
4°	—	—	+5.44	-5.44	+6.82	-6.82
3°	—	—	+4.36	-4.36	+5.25	-5.25
2°	+3.61	-3.61	+4.03	-4.03	+6.13	-6.13
1°	+1.91	-1.91	+3.86	-3.86	+3.89	-3.89

MOMENTOS MAXIMOS EN EXTREMOS DE COLUMNAS EN PORTICO SECUNDARIO C - C

- 285 -

SECCION	SISTEMA 1.25 ( D' + S' )												EJE 8							
	EJE 1			EJE 2			EJE 3			EJE 4			EJE 5			EJE 6			EJE 7	
	ARR.	ABJ.	ARR.	ABJ.	ARR.	ABJ.	ARR.	ABJ.	ARR.	ABJ.	ARR.	ABJ.	ARR.	ABJ.	ARR.	ABJ.	ARR.	ABJ.	ARR.	ABJ.
7°	—	—	-3.01	-1.97	-7.04	-4.53	-6.72	-1.48	-6.76	-4.48	-6.81	-4.45	-5.25	-4.29	-6.39	-4.05	-3.96			
6°	-2.57	-1.20	-6.72	-4.43	-5.68	-4.66	-5.80	-4.73	-5.78	-4.72	-5.78	-4.72	-5.69	-4.65	-5.05	-3.58				
5°	-4.42	-0.71	-8.41	-5.66	-8.41	-5.90	-8.41	-5.90	-8.41	-5.90	-8.41	-5.91	-8.30	-5.80	-7.47	-4.12				
4°	-3.74	-1.38	-8.32	-6.02	-8.25	-5.98	-8.26	-6.60	-8.25	-5.98	-8.26	-5.99	-8.18	-5.93	-6.08	-4.64				
3°	-3.80	-2.28	-8.77	-7.14	-8.65	-7.06	-8.69	-7.10	-8.66	-7.09	-8.69	-7.10	-8.61	-7.02	-5.24	-5.29				
2°	-3.09	-2.43	-6.37	-6.31	-6.30	-6.31	-6.30	-6.30	-6.33	-6.33	-6.33	-6.33	-6.25	-6.23	-4.60	-5.97				
1°	4C.18	-9.50	-3.26	-11.37	-3.34	-11.18	-3.34	-11.18	-3.36	-11.20	-3.36	-11.20	-3.30	-11.16	-2.57	-1C.22				

**MOMENTOS MÁXIMOS EN EXTREMOS DE COLUMNAS EN PORTICO SECUNDARIO C - C**

1 286 -

SISTEMA 1.25 ( D' + $\frac{\leftarrow}{S}$ )												EJE 1			EJE 2			EJE 3			EJE 4			EJE 5			EJE 6			EJE 7			EJE 8		
SETRAIN	ARR.	ABJ.	ARR.	ABJ.	ARR.	ARR.	ABJ.	ARR.	ARR.	ABJ.	ARR.	ARR.	ABJ.	ARR.	ABJ.	ARR.	ABJ.	ARR.	ABJ.	ARR.	ABJ.	ARR.	ABJ.	ARR.	ABJ.	ARR.	ABJ.								
7°	—	—	+6.27	+ 3.03	+5.68	+ 4.63	+7.00	+ 4.68	+6.96	+ 4.68	+6.91	+ 4.68	+6.91	+ 4.71	+6.47	+ 4.71	+6.87	+4.89	+2.89	+1.04															
6°	+5.91	+ 3.34	+5.80	+ 3.93	+5.80	+ 4.72	+5.68	+ 4.65	+5.70	+ 4.66	+5.70	+ 4.66	+5.70	+ 4.66	+5.79	+ 4.73	+4.73	+2.75	+1.62																
5°	+7.34	+ 3.41	+8.47	+ 5.60	+8.47	+ 5.92	+8.47	+ 5.92	+8.47	+ 5.92	+8.47	+ 5.92	+8.47	+ 5.91	+8.47	+ 5.91	+6.58	+6.02	+3.51	+1.80															
4°	+6.32	+ 4.04	+8.20	+ 5.96	+8.27	+ 6.00	+8.25	+ 5.98	+8.27	+ 6.00	+8.26	+ 6.00	+8.26	+ 5.99	+8.34	+ 5.99	+6.05	+3.20	+1.56																
3°	+6.32	+ 4.74	+8.61	+ 7.06	+8.73	+ 7.14	+8.69	+ 7.10	+8.72	+ 7.11	+8.69	+ 7.10	+8.69	+ 7.10	+8.77	+ 7.18	+7.18	+3.18	+2.43																
2°	+5.37	+ 5.49	+6.31	+ 6.31	+6.37	+ 6.38	+6.37	+ 6.38	+6.35	+ 6.35	+6.35	+ 6.35	+6.35	+ 6.35	+6.43	+ 6.43	+6.45	+1.20	+2.39																
1°	+1.94	+10.60	+3.14	+11.35	+3.36	+11.24	+3.36	+11.24	+3.34	+11.22	+3.34	+11.22	+3.34	+11.22	+3.40	+11.25	+0.05	+2.00																	

SISTEMA : 1.5 D

SISTEMA : 1.5 D'															
EJE 1		EJE 2		EJE 3		EJE 4		EJE 5		EJE 6		EJE 7		EJE 8	
ARR.	ABJ.	ARR.	ABJ.	ARR.	ABJ.	ARR.	ABJ.	ARR.	ABJ.	ARR.	ABJ.	ARR.	ABJ.	ARR.	ABJ.
7°	—	+1.95	+0.63	-0.21	+0.06	+0.17	+0.12	+0.12	+0.06	+0.15	+1.94	+0.35	-2.10	-1.76	
6°	+2.00	+1.31	-0.56	-0.30	+0.08	+0.03	-0.08	-0.05	-0.05	-0.03	-0.05	+0.05	-1.38	-1.17	
5°	+1.76	+1.62	+0.03	-0.03	+0.03	+0.02	+0.03	+0.02	+0.03	+0.02	+0.03	+0.03	+0.14	-2.37	-2.20
4°	+1.55	+1.59	-0.08	-0.03	+0.02	+0.02	0.0	-0.02	+0.02	+0.02	0.0	+0.09	-0.03	-1.72	-1.35
3°	+1.51	+1.47	-0.09	-0.05	+0.05	0.0	0.00	0.00	0.00	0.00	0.00	+0.09	+0.07	-1.83	-1.71
2°	+1.73	+1.83	+0.03	-0.03	+0.03	+0.05	+0.03	+0.05	+0.02	+0.02	+0.02	+0.11	+0.17	-2.04	-2.15
1°	+1.28	+0.66	-0.08	-0.02	+0.02	+0.03	+0.03	+0.03	-0.02	+0.02	-0.02	+0.06	+0.06	-1.51	-2.74

CAPITULO VII : DISEÑO DE VIGAS

CAPITULO VII

7.00 DISEÑO DE VIGAS

7.10 GENERALIDADES

a.- Materiales: Usaremos concreto y acero con las siguientes características:

$$\text{Concreto : } f'_c = 210 \text{ kg/cm}^2$$

$$\text{Acero : } f_y = 4200 \text{ kg/cm}^2$$

b.- Sección :  $b \times h = 30 \times 45 \Rightarrow$  Para vigas principales.

$b \times h = 30 \times 40 \Rightarrow$  Para vigas secundarias.

c.- Peralte efectivo :  $d_1 = 39 \text{ cm.}$

$$d_2 = 36 \text{ cm.}$$

d.- Ancho "b" mínimo en vigas

	Número de barras en una cara						INCREMENTO
							POR @
							BARRA
	2	5	6	8			ADICIONAL
14.5	18.0	22.0	26.0	29.5	33.0	37.0	4.0 cm.
15.0	19.5	23.0	27.5	31.5	35.5	39.5	4.0 cm.
15.5	20.0	24.5	29.0	33.0	37.5	42.0	4.5 cm.
16.0	21.0	25.5	31.0	35.0	40.0	44.5	5.0 cm.
17.0	22.0	27.0	32.0	37.0	42.0	47.0	5.0 cm.

Para barras de  $\phi$  diferentes, usar el ancho de la tabla para el número de barras del menor diámetro, mas el incremento por cada barra adicional de diámetro.

a tabla anterior:

$$\text{cm. } \Rightarrow A_{s \text{ máx}} = 4 \phi 1" = 20.40 \text{ cm}^2$$

Momento resistente que produce esta área de acero.

$$M_u = \phi A_s f_y (d - a/2)$$

$$a = \frac{A_s f_y}{0.85 f'_e b} = \frac{20.40 \times 4200}{0.85 \times 210 \times 30} = 16.0$$

$$(d - a/2) = (39 - \frac{16}{2}) = 31$$

$$M_u = 0.9 \times 4200 \times 20.40 (31) = 23.90 t - m.$$

Luego :  $M_u = 23.90 t - m$  para viga de sección 30 x 45

De forma análoga para viga de sección 30 x 40 ( $A_s = 20.40 \text{ cm}^2$ )

$$M_u = 20.0 t - m.$$

Para momentos actuantes mayores que estos momentos es necesario distribuir el acero en 2 capas, lo que equivale a disminuir "d" en 2.5 cm.

d) Cuantía máxima (para miembros dúctiles sujetos a flexión)

Tomamos una cuantía máxima (según R.N.C.)

de :

$$p_{\max} = 0.75 p b.$$

$$p_{\max} = 0.75 \times 0.85 \times 0.85 \times \frac{f'_e}{f_y} \left( \frac{6000}{6000 + f_y} \right) = 0.016.$$

$$p_{\max} = 0.016$$

e) Área de acero máxima

$$A_s \max = p_{\max} b d$$

$$As1_{\max} = 0.016 (30) (39) = 18.72 \text{ cm}^2$$

$$As2_{\max} = 0.016 (30) (34) = 16.32 \text{ cm}^2$$

f) Áreas estructurales de acero.

Se calculan por aproximaciones sucesivas en las fórmulas siguientes (tal como hemos visto anteriormente en el capítulo de aligerados)

$$A_s = \frac{M_u}{\phi f_y (d - a/2)}$$

$$a = \frac{A_s f_y}{0.85 f'_e b}$$

Momento máxime para el cual no se necesita acero en compresión (falla ductil)

Sección: 30 x 45

$$a = \frac{18.72 \times 4200}{0.85 \times 210 \times 30} = 14.68 ; (d - a/2) = 31.65$$

$$M_u = 0.9 \times 18.72 \times 4200 (31.65) = 22.39 \text{ tn-m.}$$

Sección: 30 x 40

$$a = \frac{16.32 \times 4200}{0.85 \times 210 \times 30} = 12.80 \text{ cm} ; (d - a/2) = 27.6 \text{ cm.}$$

$$M_u = 0.9 \times 16.32 \times 4200 (27.60) = 17.03 \text{ tn-m.}$$

i) Quantía mínima:

$$p_{min} = \frac{14}{f_y} = \frac{14}{4200} = 0.0033$$

1) Área de acero mínima.

$$\text{Sección: } 30 \times 45 \Rightarrow A_{s_{min}} = 0.0033 \times 30 \times 39 = 3.86 \text{ cm}^2 (2 \phi 5/8")$$

$$\text{Sección: } 30 \times 40 \Rightarrow A_{s_{min}} = 0.0033 \times 30 \times 34 = 3.37 \text{ cm}^2 (2 \phi 5/8")$$

j) Momento mínimo

$$\text{Con } 2 \phi 5/8" \rightarrow A_s = 4.0 \text{ cm}^2$$

$$\text{Sección: } 30 \times 45 \Rightarrow M_{u_{min}} = 5.60 \text{ tn-m.}$$

$$\text{Sección: } 30 \times 40 \Rightarrow M_{u_{min}} = 4.16 \text{ tn-m.}$$

k) Área de acero para flechas

$$p_f = 0.18 \frac{f'_c}{f_y} = 0.18 \frac{210}{4200} = 0.009$$

$$A_{s_flechas} = p_{flechas} (b d)$$

$$\text{Sección: } 30 \times 45 \Rightarrow A_{s_f} = 10.53 \text{ cm}^2$$

$$\text{Sección: } 30 \times 40 \Rightarrow A_{s_f} = 9.18 \text{ cm}^2$$

l) Verificación por flecha

$$\text{Si: } A_{s_{min}} \leq A_s \leq A_{s_f} \Rightarrow \text{No se verifica flecha.}$$

$$A_{s_f} \leq A_s \leq A_{s_{max}} \Rightarrow \text{Se verifica flecha.}$$

ga de sección rectangular con acero en compresión  
acero en compresión se utiliza:

1.- Cuando las dimensiones de la sección transversal están limitadas  
y el concreto no es capaz de desarrollar la fuerza de compresión  
necesaria para resistir un momento dado.

2.- Cuando se quiere limitar las deformaciones que se producen por  
flujo plástico.

3.- Para poder ubicar los estribos dentro de la viga.

En la práctica si la cuantía  $p > p_{\max} = 0.75 p_b$  debe hacerse un  
análisis especial:

- El acero en compresión alcanza la fluencia.

- El acero en compresión no alcanza la fluencia.

En los 2 casos se cuida que el acero en tracción alcance la fluencia.

En nuestro caso tenemos el caso de Viga doblemente reforzada en la  
Zona de entrega de viga a placa en los niveles:

#### 7.20 DISEÑO DE VIGAS PRINCIPALES DE PORTICO 4-4

Haremos el diseño en detalle de la Viga del 7º Nivel del pórtico principal 4-4.

#### 7.21 DISEÑO POR FLEXION.-

Calcularemos las áreas de acero por aproximaciones sucesivas, aplicando las fórmulas conocidas:

$$A_s = \frac{M_u}{\phi f_y (d-a/2)} ; a = \frac{A_s f_y}{0.85 f'_c b}$$

Los Momentos se han obtenido del diagrama total de envolventes de momentos flectores.

- APOYO C (izquierda, hacia C' en Volado) :

$$M_u = 7.90 \text{ t-m.}$$

$$\phi = 0.9, f_y = 4200 \text{ kg/cm}^2 = 4.20 \text{ Ton/cm}^2$$

$$f'_c = 210 \text{ kg/cm}^2 = 0.210 \text{ Ton/cm}^2 ; b = 30 \text{ cm.}$$

$$= 39 \text{ cm.}$$

emplazando Valores:

$$A_s = 26.46 \times \frac{M_u}{(d - a/2)} ; \text{ donde } M_u \text{ en Ton-m.}, \\ a \text{ y } d \text{ en cms.}$$

$$a = 0.7843 A_s$$

probamos  $a = 4.40$  cm.

$$A_s = 26.46 \times \frac{7.90}{(39 - \frac{4.40}{2})} = 5.68 \text{ cm}^2 (2 \phi 3\frac{3}{4}')$$

Comprobación del Valor  $a$  asumido:

$$a = 0.7843 A_s = 0.7843 (5.68) = 4.45 \text{ cm. ; bien !}$$

#### APOYO C ( derecha )

$M_u = 16.50$  ton-m. ; probamos  $a = 10.0$  cm.

$$A_s = \frac{26.46 \times 16.50}{(39 - \frac{10}{2})} = 12.84 \text{ cm}^2 (3 \phi 3\frac{3}{4}' + 2 \phi 5\frac{1}{8}')$$

Comprobación del Valor  $a$  asumido:

$$a = 0.784 A_s = 0.784 (12.84) = 10.0 ; \text{ bien !}$$

#### APOYO D ( extremo izquierdo )

$M_u = 21.80$  t-m.

probamos  $a = 14.10$  cm.

$$A_s = \frac{26.46 \times 21.80}{(39 - \frac{14.10}{2})} = 18 \text{ cm}^2 (3 \phi 3\frac{3}{4}' + 2 \phi 1')$$

$$a = 0.784 (18 \text{ cm}^2) = 14.13 ; \text{ bien !}$$

#### TRAMO C - D

Momento máximo =  $M_u = 13.60$  t-m.

probamos  $a = 8.0$  cm.

$$A_s = \frac{26.46 \times 13.60}{(39 - \frac{8.0}{2})} = 10.28 \text{ cm}^2 (5 \phi 5\frac{1}{8}')$$

Comprobación  $a = 8.06$  ; bien !

#### 7. CORTADO DE VARILLAS Y DESARROLLO DEL REFUERZO

En la figura que a continuación se muestra se indican con una "X"  
"C" las secciones críticas ( Ver fig. 6.1 ).

b.- El reglamento del A.C.I. especifica la prelengación del refuerzo una distancia " d " ó  $12 \phi$  mas allá del punto donde ya no se requiere teóricamente para resistir flexión, puntos " S " y " T " en la fig. 7.1.

No se cortará ninguna barra requerida por flexión en la Zona de tracción a no ser que se satisfaga una de las siguientes condiciones ( Sección 919 del R.N.C: Concreto cielópeo y armado ).

1.- El cortante en el punto donde se interrumpe la armadura no es mayor que la mitad de la que se permitiría normalmente, incluyendo el efecto del refuerzo en el alma, si existe.

2.- Se proporcionen estribos en exceso de los requeridos normalmente a cada lado de la sección de corte, en una longitud igual a tres cuartas partes del peralte de la viga. Los estribos en exceso tendrán por lo menos  $\frac{1}{8}$  una cuantía del 0.15 %. El espaciamiento de estos estribos no excederá  $d/8 r_b$ ; donde  $r_b$  es la relación entre el área de las barras cortadas con el área total de las barras en la sección.

3.- Las barras que se continúan proporcionan el doble del área requerida por flexión en dicho punto, o el doble del perímetro requerido para adherencia por flexión.

c.- En la Zona de compresión, punto " R " de la fig. 7.1, se cortarán varillas solamente para los casos que lleguen más de 2 varillas. El A.C.I 71 en su sección A. 5.1 especifica que el refuerzo superior e inferior debe consistir en no menos de 2 varillas con una cuantía mínima de  $14/f_y$  en toda la longitud del miembro.

d.- Cortado de varillas.

Para el cortado de Varillas nos referimos a la fig. 7.1.

Usaremos la sgte. nomenclatura:

$A_{sa}$  = Área del refuerzo tipo " a "

$A_{sb}$  = Área del refuerzo tipo " b "

$D_{p.i}(+)$  = Distancia de la cara del apoyo al punto de inflexión de momento positivo.

$D_{p.i}(-)$  = Distancia de la cara del apoyo al punto de inflexión de momento negativo.

$L_S$  = Distancia de la cara del apoyo, al punto " S " de corte.

$L_T$  = Distancia de la cara del apoyo, al punto " T " de corte.

$L_{t.e.}$  = Longitud medida de la cara del apoyo al punto teórico de corte.

$M \bar{u} a$  = Momento resistente debido a  $A_{sa}$ .

$M \bar{u} b$  = Momento resistente debido a  $A_{sb}$ .

### CORTADO DE VARILLAS TIPO "b"

- APOYO	$A_{s b}$ (cm <sup>2</sup> )	REFUERZO TIPO "b"	a (cm.)	$M \bar{u} b$ (T-m)	$L_{t.e.}$ (m.)	L S (m.)	$D_{p.i} (-)$ (m.)
C a O		2 $\phi 3/4"$ que pasan en el		Volado			
O a D 5.68	2 $\phi 3/4"$		4.45	7.89	.85	1.25	1.35
D a C 5.68	2 $\phi 3/4"$		4.45	7.89	1.50	2.20	1.92

### CORTADO DE VARILLAS TIPO "a"

TRAMO	$A_{s a}$ (cm <sup>2</sup> )	REFUERZO TIPO "a"	a (cm.)	$M \bar{u} a$ (T-m)	$L_{t.c.}$ (m.)	$L_T = L_{t.c-d}$	$D_{p.i} (+)$ (m.)
C-D 4.0	2 $\phi 5/8"$		3.14	5.66	.60	.21	0.00
D-C 4.0	2 $\phi 5/8"$		3.14	5.66	.55	.16	0.00

### VERIFICACION POR CORTE DE VARILLAS EN ZONA DE TRACCION

Verificaremos la siguiente condición:

$$V_a < \frac{2.6}{2} \phi \sqrt{f_c^t} b d = 1.3 \times 0.85 \sqrt{210} \times 30 \times 39 = 18,735 \text{ kg.}$$

El mayor certante se produce en la Zona de entrega de Viga a placa = 15.70 ten. < 18.7 ten. ¡ bien !

Luego es permitido cortar las varillas en Zona de tracción.

### 23 VERIFICACION POR ADHERENCIA Y FLEXION

El esfuerzo máximo de adherencia por flexión en cualquier sección transversal se calcula por :

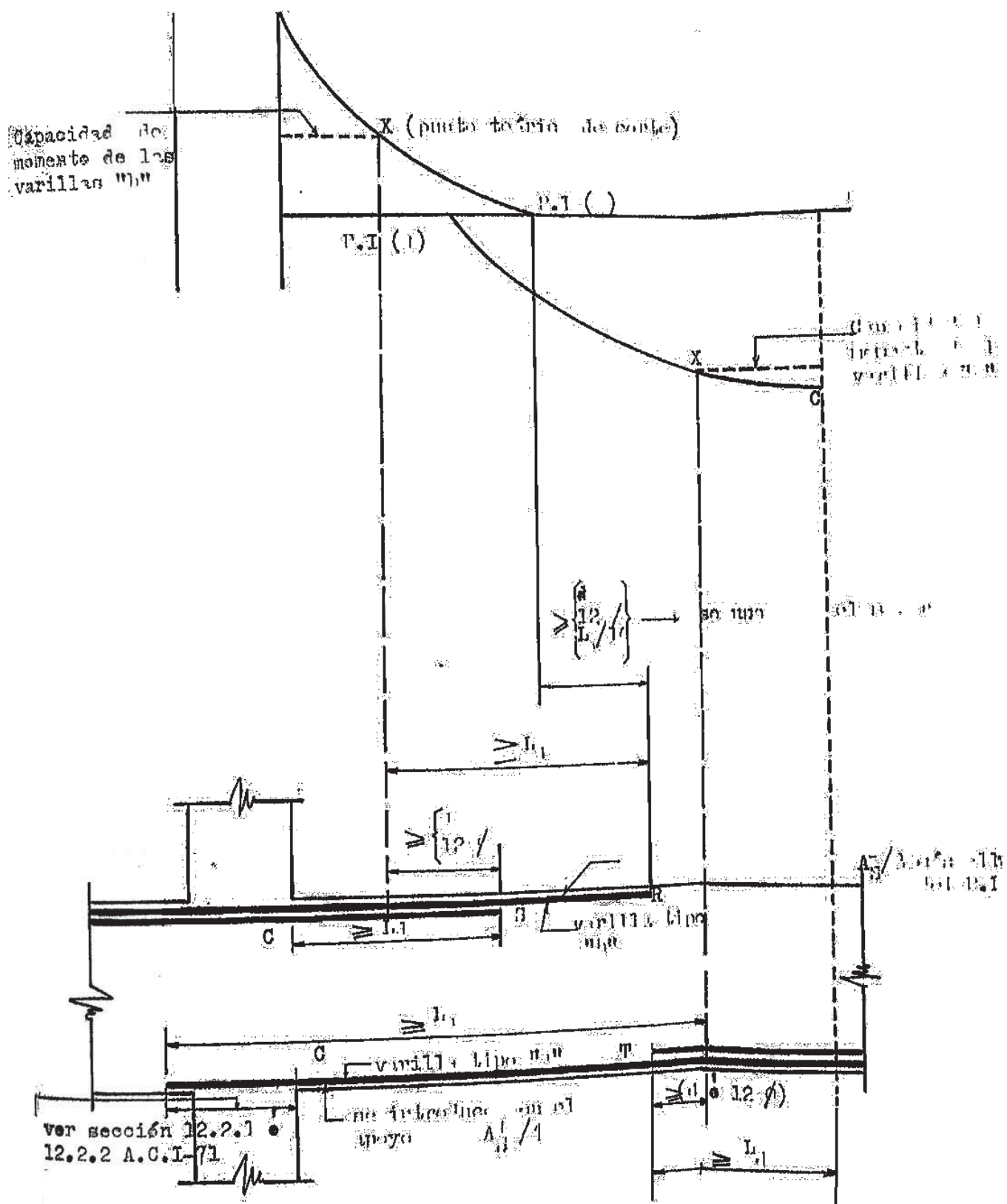


FIG. 71

$$\mu_u = \frac{V u}{\phi \cdot \Sigma e} ; j = 7/8 , \phi = 0.85 ; d = 39 \text{ cm.}$$

$$\mu_u \text{ act.} = 34.47 \frac{V u}{\Sigma e} (\text{kg/cm}^2) ; V u \text{ en ton.}$$

$$\Sigma e = \frac{4 A S}{D_{\text{mayor}}} , \text{ para Varillas de diámetro diferente.}$$

$$\mu_u = 4.50 \frac{f'_c}{D} \leq 39.0 \text{ kg/cm}^2 \text{ para barras de capa superior}$$

$$\mu_u = 6.39 \frac{f'_c}{D} \leq 56.0 \text{ kg/cm}^2 \text{ para barras de capa inferior.}$$

### ANCLAJE DE VARILLAS

El R.N.C. especifica que cuando los esfuerzos por adherencia no son adecuados se desarrollará el esfuerzo en la longitud de anclaje mínima teniendo el 80 % del esfuerzo permisible.

La longitud de anclaje (en partes rectas) se calcula con la expresión:

$$L_d = \frac{A_s f_y}{\Sigma e \times 0.8 \mu_u}$$

Para una Varilla la expresión anterior se convierte en:

$$L_{d\min} = \frac{D f_y}{3.2 \mu_u}$$

### 7.24 ESFUERZOS MAXIMOS Y LARGO DE DESARROLLO MINIMO

BARRA	D (cm.)	Esfuerzos : $\mu_u$			Capa superior	Capa inferior	Largo desarollo minimo cm.	cm.
		$\frac{4.5 \sqrt{f'_c}}{D} \leq 39$	$\frac{6.39 f'_c}{D} \leq 5$					
1/2"	1.270	39.0	56.0				42.7	29.8
1/8"	1.587	39.0	56.0				53.4	37.2
"	1.905	34.2	48.6				73.0	51.4
	2.54	25.6	36.5				129.9	51.4

- Las barras de capa superior son aquellas colocadas de tal manera que existe 30 cm. o mas de concreto por debajo de las barras.
- Barras de capa inferior cuando el concreto por debajo de las barras es menor a 30 cm.

#### SECCIONES CRITICAS PARA ADHERENCIA POR FLEXION.-

Las secciones críticas son las siguientes:

- En cada punto donde terminan las barras de tracción.
- La cara de los apoyos, donde se presentan los esfuerzos cortantes máximos.
- En los puntos de inflexión para momentos positivos.

El refuerzo de adherencia por flexión no requiere considerarse en el caso de varillas en compresión, y en el caso de refuerzos en tracción, en los cuales la longitud de anclaje se ha calculado con el 80 % del esfuerzo máximo de adherencia.

#### VERIFICACION POR ADHERENCIA EN VIGA DE NIVEL 7° ( V P-7° )

TIPO	ON CRIT C EJES	V u (ten.)	REFUERZO	$\Sigma e$ (cm.)	$\mu u_{act.}$ $(kg/cm^2)$	$\mu u_{perm.}$ $kg/cm^2$
Cara de Válvula	C	10.20	2 $\phi$ 3/ " "	12.0	29.3	34.23
	C a D	16.30	3 3/ 4" 2 $\phi$ 5/ 8"	26.28	21.38	34.23
	D a C	18.40	3 3/ 4" 2 $\phi$ 1"	29.48	21.51	34.23
ONA DE	C a D	11.80	2 5/ 8" 2 $\phi$ 3/ "	20.32	20.01	34.23
	D a C	9.70	2 $\phi$ 3/ "	12.0	27.86	34.23
TRACCION	C a D	11.00	2 $\phi$ 3/ 4" 1"	16.98	22.33	25.67
	D a C	8.50	2 $\phi$ 1"	16.06	18.24	25.67
	C a D	14.60	3 $\phi$ 5/ 8"	15.12	33.28	56.0
A DE CION	D a C	17.00	3 $\phi$ 5/ 8"	15.12	38.75.	56.0

El esfuerzo actuante es menor que el esfuerzo permisible en todos los casos, luego no hay problemas de adherencia y los puntos de corte finales son los hallados anteriormente.

#### 7.30 DISEÑO DEL REFUERZO POR CORTANTE

Cortante máximo permisible (  $V_{up}$  )

$$v_{up} = 2.6 \beta \sqrt{f'_c}$$

$$v_{up} = 2.6 \times 0.85 \sqrt{210} = 32.03 \text{ kg/cm}^2$$

$$V_{up} = v_{up} bd = 32.03 \times 30 \times 39 = 37.48 \text{ ton. (sección } 30 \times 45 \text{ )}$$

$$V_{up} = 32.03 \times 30 \times 34 = 32.67 \text{ ton. ( sección } 30 \times 40 \text{ )}$$

El cortante máximo se produce en el nivel  $5^\circ = 18.60$  ton.

Luego como  $18.60$  ton  $< 37.48$  ton, la Viga puede tomar el corte referzando el alma.

Cortante máximo que toma el concreto (  $V_c$  )

$$v_c = \text{cortante unitario} = 0.5 \beta \sqrt{f'_c}$$

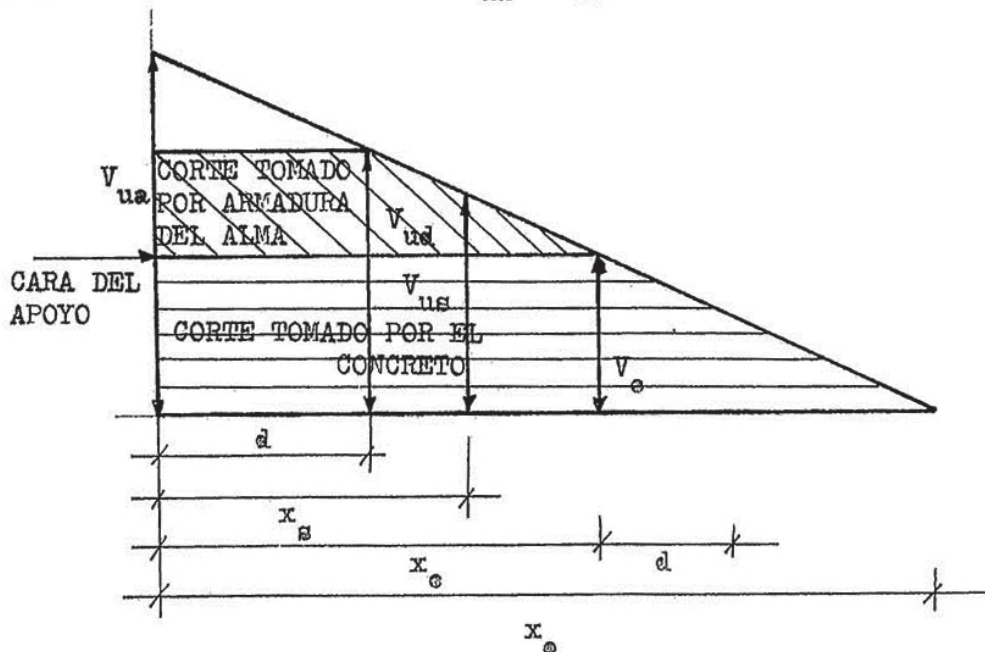
$$v_c = 0.5 \times 0.85 \sqrt{210} = 6.16 \text{ kg/cm}^2$$

$$V_c = ( 6.16 \text{ kg/cm}^2 ) \times 30 \times 39 = 7.21 \text{ ton. ( sección } 30 \times 45 \text{ )}$$

$$V_c = ( 6.16 \text{ kg/cm}^2 ) \times 30 \times 34 = 6.28 \text{ ton ( sección } 30 \times 40 \text{ )}$$

#### 7.31 LONGITUD CON REFUERZO DE ALMA

Se requieren estribos cuando  $V_{ud} > V_c$ .



Sea:

$V_{ua}$  = Certante último en la cara del apoyo.

$V_{ud}$  = Certante último a la distancia "d" de la cara del apoyo

$V_{us}$  = Certante a la distancia  $X_s$  de la cara del apoyo.

$X_e$  = Longitud teórica que necesita estribos.

$X_s$  = Distancia a cualquier punto.

$X_t$  =  $X_e + d$  = Longitud práctica que se debe estribar.

$X_e$  = Distancia desde la cara del apoyo hasta el punto de certante nulo.

De la fig:

$$\frac{X_e}{X_e} = \frac{V_{ua} - V_e}{V_{ua}} \Rightarrow \boxed{X_e = X_e \left( \frac{V_{ua} - V_e}{V_{ua}} \right)} \quad (\alpha)$$

$$\frac{X_e - X_s}{V_{us} - V_e} = \frac{X_e}{V_{ua}} \Rightarrow \boxed{X_s = X_e - X_e \left( \frac{V_{us} - V_e}{V_{ua}} \right)} \quad (\beta)$$

### 7.32 SEPARACION DE ESTRIBOS:

a) Los requisitos estructurales tendremos que:

a la distancia "d" de la cara del apoyo:

$$S_d = \frac{\phi A_v f_y d}{V_{ud} - V_e}$$

Si usamos estribos de 2 ramas con  $\phi = 3/8$ , tendremos que:

$$A_v = 2 \times 0.71 = 1.42 \text{ cm}^2$$

$$\phi = 0.85 \text{ (tracción diagonal)}$$

$$f_y = 4200 \text{ kg/cm}^2 = 4.20 \text{ Ton/cm}^2; d = 39 \text{ cm.}$$

reemplazando Valores tendremos que:

$$S_d = \frac{197.71}{V_{ud} - V_e}; V_{ud}, V_e \text{ en toneladas.}$$

Para una distancia cualquiera después de la distancia "d"

$$\frac{V_{us} - V_e}{V_{us} - V_e} = \frac{\phi A_v f_y d}{s} = \frac{197.91}{s} \quad (\theta)$$

Reemplazando la expresión ( $\theta$ ) en ( $\beta$ ) tendremos que:

$$X_s = X_e - X_e \quad (\underline{197.91})$$

Vua x S

c) Cálculo de la separación máxima:

- Per cuantía mínima:

$$S_{\max} = \frac{Av}{0.0015 b} ; \quad Av = 1.42 \text{ cm}^2$$

$$b = 30 \text{ cm.}$$

$$\text{Luego: } S_{\max} = \frac{1.42}{0.0015 \times 30} = 31.6 \text{ cm.}$$

- Criterio de grietas:

$$Vud \leq 1.6 \phi \sqrt{f'_e} bd \Rightarrow S_{\max} = d/2 = 19.5 \text{ cm.}$$

$$Vud > 1.6 \phi \sqrt{f'_e} bd \Rightarrow S_{\max} = d/4 = 9.75 \text{ cm.}$$

$$1.6 \phi \sqrt{f'_e} bd = 1.6 (0.85) (\sqrt{210}) \times 30 \times 39 = 23.06 \text{ ton.}$$

### DISEÑO POR CORTANTE DE LA VIGA DEL 8º NIVEL

1.- Longitud que necesita estribos y separación:

TRAMO	X <sub>e</sub> (m.)	Vua (Ton.)	V <sub>e</sub> (Ton.)	X <sub>e</sub> (m.)	X <sub>r</sub> (m.)	S <sub>max</sub> (cm.)	Vud (Ton.)	S <sub>d</sub> (cm.)
C - C'	1.80	10.20	7.21	0.53	0.92	19.5	8.10	222
C - D	3.84	16.30	7.21	2.14	2.53	19.5	14.40	27.52
D - C	4.35	18.40	7.21	2.64	3.03	19.5	15.70	23.31

### ESPACIAMIENTO DE ESTRIBOS

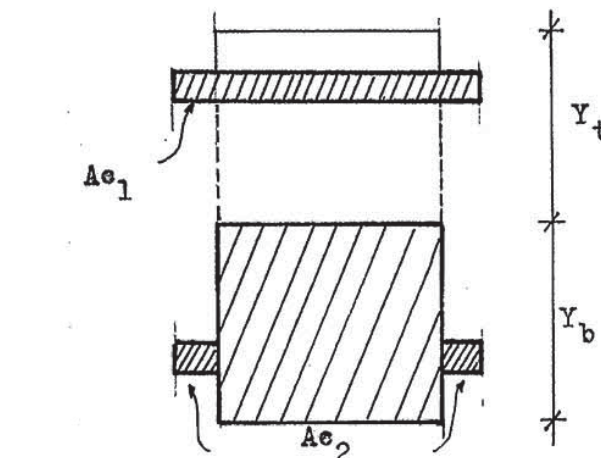
Aceptamos una distribución de estribos práctica (ya que la separación estructural S<sub>d</sub>, es mayor que la separación máxima especificada por el reglamento):

TRAMO	X <sub>r</sub> (m.)	Estríblos de 2 ramas, cerrado, $\phi 3/8"$
C a C'	0.92	1 @ 0.05, 3 @ .10, 3 @ .15 Rte. @ .20
C a D	2.53	1 @ 0.05, 2 @ .10, 2 @ .15, Rte. @ .20
D a C	3.03	1 @ 0.05, 3 @ .10, 2 @ .15 Rte. @ .20

#### 7.40 CONTROL DE DEFLEXIONES

- Las deflexiones se calculan en el rango elástico.
- Se verifican deflexiones cuando  $f_y$  excede de  $2,800 \text{ kg/cm}^2$
- Cuando  $p f_y \leq 35 \text{ kg/cm}^2$  se usará la sección total para calcular el momento de Inercia, si es mayor se usará la sección agrietada transformada.
- En tramos continuos puede considerarse el momento de Inercia promedio de los Valores obtenidos para las secciones críticas de momento negativo y positivo.

#### MOMENTO DE INERCIA PARA UNA SECCION AGRIETADA



$$E_s = 2 \times 10^6 \text{ kg/cm}^2$$

$$E_c = 15000 \sqrt{f'_c}$$

$$E_c = 15000 \sqrt{210} = 2.17 \times 10^{11} / \text{cm}^2$$

$$n = \frac{E_s}{E_c} = \frac{2 \times 10^6}{2.17 \times 10^5} = 9$$

$$Acl = n As = 9 As$$

$$Ac2 = (n-1) A'_s = 8 A'_s$$

$$I_t = \sum I_e + \sum A_y^2$$

$$I_g = I_t - \sum A_t Y_b^2$$

$$A = A_e + Acl + Ac2$$

En las expresiones anteriores:

$n$  = relación modular.

$E_s$  = módulo de elastecidad del acero.

$E_c$  = módulo de elastecidad del concreto.

$I_t$  = Momento de Inercia respecto a la fibra inferior.

$I_g$  = Momento de Inercia respecto al eje neutro.

Para el caso de una sección sin agrietar transformada:

$$Acl = (n-1) As$$

$$Ac2 = (n-1) A'_s$$

VERIFICACION DE SECCION AGRIETADA EN VIGA PRINCIPAL DEL PORTICO

PRINCIPAL 4-4 ( NIVEL 7° )

EXTREMO LIBRE ( C' )

$$A_s = 5.68 \text{ cm}^2 ( 2 \phi 3/4")$$

$$p = \frac{5.68}{30 \times 39} = 0.00478$$

$$p f_y = 0.00478 \times 4200 = 20.10 \text{ kg/cm}^2 < 35 \text{ kg/cm}^2$$

( Sección transformada no agrietada)

APOYO C :

$$A_s = 12.52 \text{ cm}^2 ( 2 \phi 5/8" + 3 \phi 3/4" )$$

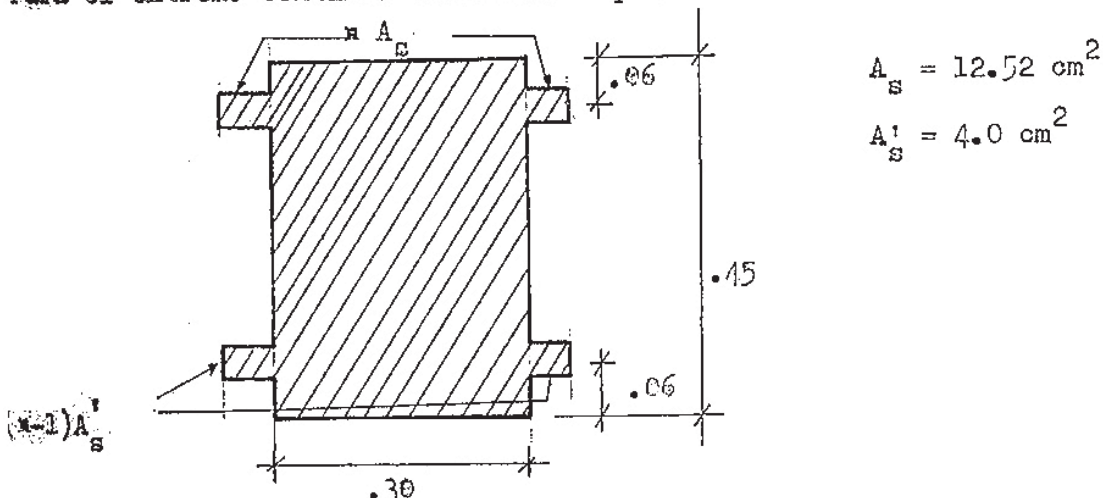
$$p = \frac{12.52}{30 \times 39} =$$

$$p f_y = 0.0107 \times 4200 = 44.94 > 35.0 \text{ kg/cm}^2$$

( Sección transformada agrietada)

A continuación verificamos la flecha en el Voladizo:

Para el extremo continuo tendremos que:



Tabulando tendremos que:

$\Sigma A$ ( $\text{cm}^2$ )	$y$ (cm.)	$A(y)$	$A_y^2$	$I_o$ ( $\text{cm}^4$ )
1350	22.5	30375	683438	227812
113	39.0	4407	171873	—
32	6.0	192	1152	—
1495		34974	856463	227812

$$y_b = \frac{\sum A y}{\sum A}$$

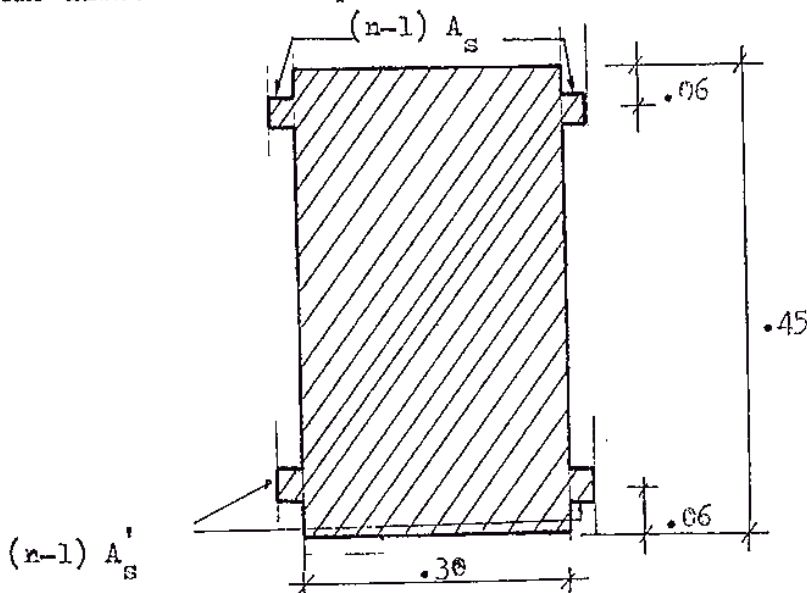
$$y_b = \frac{34,974}{1495} = 23.39 \text{ cm.}$$

$$I_t = \sum I_o + \sum A_y^2 = 227812 + 856,463 = 1'084,275 \text{ cm}^4$$

$$I_G = I_t - (\sum A) y_b^2 = 1'084275 - (1495) (23.39)^2$$

$$I_G = 1'084,275 - 817903 = 266,372 \text{ cm}^4$$

Para el extremo libre tendremos que:



TIPO AREA	A (cm <sup>2</sup> )	y (cm.)	A (y)	A <sub>y</sub> <sup>2</sup>	I <sub>o</sub> (cm <sup>4</sup> )
A <sub>s</sub>	1350	22.5	30375	683438	227812
A <sub>el</sub>	45	39.0	1755	68445	-----
A <sub>e2</sub>	32	6.0	192	1152	-----
$\Sigma$	1427		32322	753035	227812

$$y_b = \frac{\sum A y}{\sum A} = \frac{32322}{1427} = 22.65$$

$$I_t = \sum I_o + \sum A_y^2 = 227812 + 753035$$

$$I_t = 980847 \text{ cm}^4$$

$$I_G = I_t - (\sum A) y_b^2$$

$$I_G = 980,847 - (1427) (22.65)^2 = 248,403 \text{ cm}^4$$

mento de Inercia premedio será:

$$\frac{266,372 \text{ cm}^4 + 248,403 \text{ cm}^4}{2} = \frac{514,775}{2}$$

$$I_G = 257,388 \text{ cm}^4$$

$$E_s = 15,000 \quad \sqrt{f_e} = 15,000 \quad \sqrt{210} = 2.17 \times 10^5 \text{ kg/cm}^2$$

$$I_G E_s = 257,388 (2.17 \times 10^5) = 5585 \text{ T-m}^2$$

Flecha instantánea por sobrecarga:  $\Delta_i^L$

$$\Delta_i^L = \frac{1}{8} \frac{WL^4}{Ec I_G}$$

dónde: W por s/<sub>e</sub> = 765 kg/m = 7.65 kg/cm.

$$L = 1.80 \text{ m.} = 180 \text{ cm.}$$

$$Ec I_G = 5585 \times 10^7 \text{ kg-cm}^2$$

$$\Delta_i^L = \frac{1}{8} \frac{(7.65)(180)^4}{5585 \times 10^7}$$

$$\Delta_i^L = 0.0179 \text{ cm.}$$

Flecha instantánea por carga permanente.

$$W = 2,395 \text{ kg/m.}$$

Por proporciones tendremos que:

$$\Delta_i^D = \left( \frac{2395 \text{ kg/m.}}{765 \text{ kg/m.}} \right) \times 0.0179 = 0.056 \text{ cm.}$$

Flecha diferida por carga permanente  $\Delta_d^D$

$$\Delta_d^D = A \Delta_i^D$$

dónde A se obtiene de la tabla siguiente:

VALORES DE "A"		
DURACIÓN DE LA CARGA	A <sub>s</sub>	A' <sub>s</sub>
1 mes	.6	.4
6 meses	1.2	1.0
1 año	1.4	1.1
5 años & más	2.0	1.2

De la tabla anterior tomamos  $A = 1.2$  ( ya que tenemos asere en la capa superior e inferior )

Luego:  $\Delta_d D = 1.2 ( 0.056 ) = 0.0672$

Flecha total :  $\Delta_i L + \Delta_i D + \Delta_d D$

$\Delta_t = 0.0179 + 0.056 + 0.0672$

$\boxed{\Delta_t = 0.14 \text{ cm.}}$

Flecha máxima =  $\frac{L}{360} = \frac{180}{360} = 0.50 \text{ cm.}$

$\Delta_t = 0.14 \text{ cm} \quad \leftarrow \quad \Delta_{\max} = 0.50 \text{ cm.} \quad ; \underline{\text{bien!}}$

RESUMEN DE DISEÑO DE VIGAS

1.- DISEÑO POR FLEXION

VIGA	SECCION (APOYOS ó TRAMOS )	Mu (T-m)	REFUERZO POR TRACCION		REFUERZO POR COMPRESION	
			As (cm <sup>2</sup> )	REFUERZO	As (cm <sup>2</sup> )	REFUERZO
6º VP-4	B	8.90	7.68	1 $\phi$ 5/8" + 2 $\phi$ 3/4"	—	—
	C	19.30	15.50	2 $\phi$ 3/4" + 2 $\phi$ 1"	—	—
	D	24.00	20.01	4 $\phi$ 1"	1.28	1 $\phi$ 5/8"
	B - C	10.50	7.72	1 $\phi$ 5/8" + 2 $\phi$ 3/4"	—	—
	C - D	11.70	8.70	3 $\phi$ 3/4"	—	—
5º VP-4	B	14.70	11.24	4 $\phi$ 3/4"	—	—
	C	12.60	9.44	2 $\phi$ 5/8" + 2 $\phi$ 3/4"	—	—
	D	26.00	21.56	4 $\phi$ 1"	2.88	1 $\phi$ 3/4"
	B - C	9.00	6.53	4 $\phi$ 5/8"	—	—
	C - D	9.30	6.76	4 $\phi$ 5/8"	—	—
4º VP-4	B	14.40	10.98	4 $\phi$ 3/4"	—	—
	C	19.40	15.6	2 $\phi$ 3/4" + 2 $\phi$ 1"	—	—
	D	24.30	20.40	4 $\phi$ 1"	1.52	1 $\phi$ 5/8"
	B - C	7.40	5.30	2 $\phi$ 3/4"	—	—
	C - D	8.80	6.38	1 $\phi$ 5/8" + 2 $\phi$ 3/4"	—	—

VIGA	SECCION (APOYO o TRAMO )	Mu (T-m.)	REFUERZO POR TRACCION		REFUERZO POR COMINCIACION	
			As (cm <sup>2</sup> )	REFUERZO	As (cm <sup>2</sup> )	REFUERZO
3º VF-4	B	14.40	10.98	4 φ 3/4"	—	—
	C	17.70	13.96	5 φ 3/4"	—	—
	D	22.70	18.72	3 φ 3/4" + 2φ 1"	—	—
	B - C	8.50	6.14	2 φ 5/8" + 1φ 3/4"	—	—
	C - D	8.90	6.45	2 φ 5/8" + 1φ 3/4"	—	—
2º VP-4	A	5.20	minimo	2 φ 5/8"	—	—
	B	12.50	9.36	2 φ 5/8" + 2φ 3/4"	—	—
	C	16.80	13.13	1 φ 5/8" + 4φ 3/4"	—	—
	D	20.40	16.64	4 φ 3/4" + 1 φ 1"	—	—
	A - B	6.20	4.40	3 φ 5/8"	—	—
	B - C	7.60	5.45	3 φ 5/8"	—	—
	C - D	9.30	6.77	2 φ 5/8" + 1φ 3/4"	—	—
1º VP-4	A	7.50	5.38	2 φ 3/4"	—	—
	B	9.70	7.00	1 φ 5/8" + 2φ 3/4"	—	—
	C	9.50	6.92	1 φ 5/8" + 2φ 3/4"	—	—
	D	19.50	15.70	2 φ 3/4" + 2φ 1"	—	—
	A - B	5.70	minimo	2 φ 5/8"	—	—
	B - C	7.70	5.53	3 φ 5/8"	—	—
	C - D	8.00	5.76	3 φ 5/8"	—	—

CORTADO DE VARILLAS.-

Para el corte de varillas, Ver plano de vigas.

DISEÑO POR CORTE

Cortante que toma el concreto: 6.28 ton.

VIGA	TRAMO	Vna (Ton.)	Vud (Ton.)	Xr (m.)	Estríbeas cerradas de 2 ramas $\phi : 3/8"$				
	B a C	12.40	10.10	1.54	1	Φ 05, 3	Φ 10, 3	Φ 15,Rte.	Φ 20
	C a B	17.80	15.00	1.99	1	Φ 05, 4	Φ 10, 4	Φ 15,Rte.	Φ 20
6º VP-4	C a D	17.70	15.70	2.65	1	Φ 05, 4	Φ 10, 3	Φ 15,Rte.	Φ 20
	D a C	18.50	16.60	2.31	2	Φ 05, 5	Φ 10, 5	Φ 15,Rte.	Φ 20
	B a C	15.70	13.00	1.89	1	Φ 05, 3	Φ 10, 3	Φ 15,Rte.	Φ 20
7º VF-4	C a B	16.20	13.70	2.01	1	Φ 05, 3	Φ 10, 4	Φ 15,Rte.	Φ 20
	C a D	18.20	16.00	2.60	1	Φ 05, 3	Φ 10, 3	Φ 15,Rte.	Φ 20
	D a C	18.60	15.00	2.54	3	Φ 05, 5	Φ 10, 5	Φ 15,Rte.	Φ 20
4º VF-4	B a C	16.30	13.90	1.89	1	Φ 05, 3	Φ 10, 1	Φ 15,Rte.	Φ 20
	C a B	18.00	15.30	2.06	1	Φ 05, 3	Φ 10, 1	Φ 15,Rte.	Φ 20
	C a D	17.00	15.20	2.48	1	Φ 05, 3	Φ 10, 3	Φ 15,Rte.	Φ 20
	D a C	17.90	16.00	2.65	2	Φ 05, 5	Φ 10, 5	Φ 15,Rte.	Φ 20
	B a C	14.80	13.00	1.96	1	Φ 05, 3	Φ 10, 4	Φ 15,Rte.	Φ 20
	C a B	16.0	1.20	2.11	1	Φ 0	Φ 10	Φ 1 Rte.	Φ 20
3º VP-4	C a D	1.00	<u>14.80</u>	2.	1	Φ 0	Φ 10	Φ 1 Rte.	Φ 20
	D a C	18.00	1.60	2.1	2	Φ 0	Φ 10	Φ 1 Rte.	Φ 20
	A a B	10.20	8.00	1.	1	Φ 0	2	Φ 10	Φ 1 Rte.
2º VP-4	B a	1.80	11.20	1.6	1	Φ 0	2	Φ 10	Φ 1 Rte.
	B a C	1.0	12.0	1.	1	Φ 0	2	Φ 10, 3	Φ 15,Rte.
	B a B	1.10	12.0	1.1	1	Φ 0	3	Φ 10	Φ 1 Rte.
	C a D	1.80	13.80	2.1	1	Φ 0	Φ 10	2	Φ 15,Rte.
	C a C	1.20	1.60	2.	2	Φ 05, 5	Φ 10, 5	Φ 15,Rte.	Φ 20
	B a B	10.10	8.0	1.	1	Φ 05, 2	Φ 10, 3	Φ 15,Rte.	Φ 20
	B a A	1.60	<u>11.80</u>	1.59	1	Φ 05, 2	Φ 10, 3	Φ 15,Rte.	Φ 20
1º VF-4	B a C	1.70	12.20	1.77	1	Φ 05, 2	Φ 10, 4	Φ 15,Rte.	Φ 20
	C a E	15.60	12.80	1.77	1	Φ 05, 3	Φ 10, 4	Φ 15,Rte.	Φ 20
	C a D	14.70	12.00	1.77	1	Φ 05, 2	Φ 10, 2	Φ 15,Rte.	Φ 20
	D a C	17.90	16.40	2.37	2	Φ 05, 5	Φ 10, 5	Φ 15,Rte.	Φ 20

### 7.50 DISEÑO DE VIGAS DEL PORTICO SECUNDARIO C - C

Diseñaremos la Viga del 3º Nivel que es la mas representativa.

#### Datos de diseño:

- Materiales: concreto  $f'_c = 210 \text{ kg/cm}^2$
- acero  $f_y = 4200 \text{ kg/cm}^2$
- Sección:  $b \times h = 30 \times 40$ ;  $d = 34 \text{ cm}$ .
- Cuantía máxima = 0.75;  $p_b = 0.016$ .
- $A_s \text{ máx} = 16.32 \text{ cm}^2$  (hallado anteriormente)
- Momento máximo: 17.02 tn-m.
- $A_s \text{ min} = 0.0033 \times 30 \times 34 = 3.37 \text{ cm}^2$  ( $2 \phi 5/8"$ )
- Momento mínimo (correspondiente a  $2 \phi 5/8"$ )  
 $b = 30 \quad A_s = 4 \text{ cm}^2$   
 $d = 34 \text{ cm.} \quad a = \frac{4 \times 4200}{0.85 \times 210 \times 30} = 3.13$

$$(d - a/2) = 32.43$$

$$M_u = \phi A_s f_y (d - a/2) = 0.9 \times 4200 \times 4 (32.43) = 4.90 \text{ tn-m.}$$

Luego como los momentos positivos son menores que 4.90 tn-m. a lo largo de toda la viga, usamos  $2 \phi 5/8"$  en todos los tramos.

#### Cálculo del acero negativo:

- Apoyo 1 :

$$M_u = 10.0 \text{ tn-m.}$$

$$\text{probamos } a = 6.77 \text{ cm.}$$

$$A_s = \frac{10.0 \times 10^5 \text{ kg-cm}}{0.9 \times 4200 (34 - \frac{6.77}{2})} = 8.64 \text{ cm}^2$$

$$a = \frac{8.64 \times 4200}{0.85 \times 210 \times 30} = 6.77 \text{ cm. ; bien !}$$

Usamos :  $3 \phi 5/8" + 1 \phi 3/4"$

#### RESUMEN DE ÁREAS DE ACERO :

APOYO 2 :  $M_u = 10.20 \text{ tn-m} \Rightarrow \text{Use } 3 \phi 5/8" + 1 \phi 3/4"$

APOYO 3 :  $M_u = 9.80 \text{ tn-m} \Rightarrow \text{Use } 3 \phi 5/8" + 1 \phi 3/4"$

APOYO 4 :  $M_u = 10.10 \text{ tn-m} \Rightarrow \text{Use } 3 \phi 5/8" + 1 \phi 3/4"$

APOYO 5 :  $M_u = 9.90 \text{ tn-m} \Rightarrow \text{Use } 3 \phi 5/8" + 1 \phi 3/4"$

APOYO 6 :  $M_u = 9.60 \text{ tn-m} \Rightarrow \text{Use } 3 \phi 5/8" + 1 \phi 3/4"$

APOYO 7 :  $M_u = 9.80 \text{ tn-m} \Rightarrow \text{Use } 3 \phi 5/8" + 1 \phi 3/4"$

APOYO 8 :  $M_u = 10.10 \text{ tn-m} \Rightarrow \text{Use } 3 \phi 5/8" + 1 \phi 3/4"$

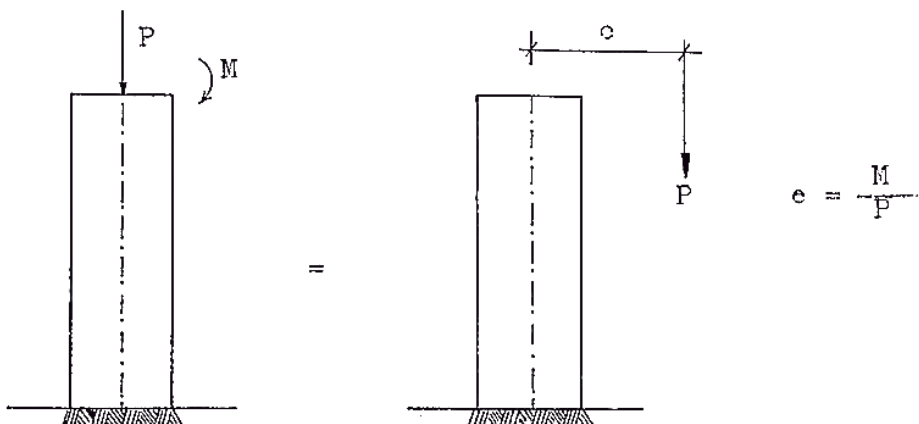
CAPITULO VIII DISEÑO DE COLUMNAS

## CAPITULO VIII

### 8.00 DISEÑO DE COLUMNAS.

#### 8.10 GENERALIDADES

En estructuras de concreto armado es casi imposible encontrar columnas con carga axial solamente, las vigas transmiten un momento de modo que ocurre "flexoempresión":

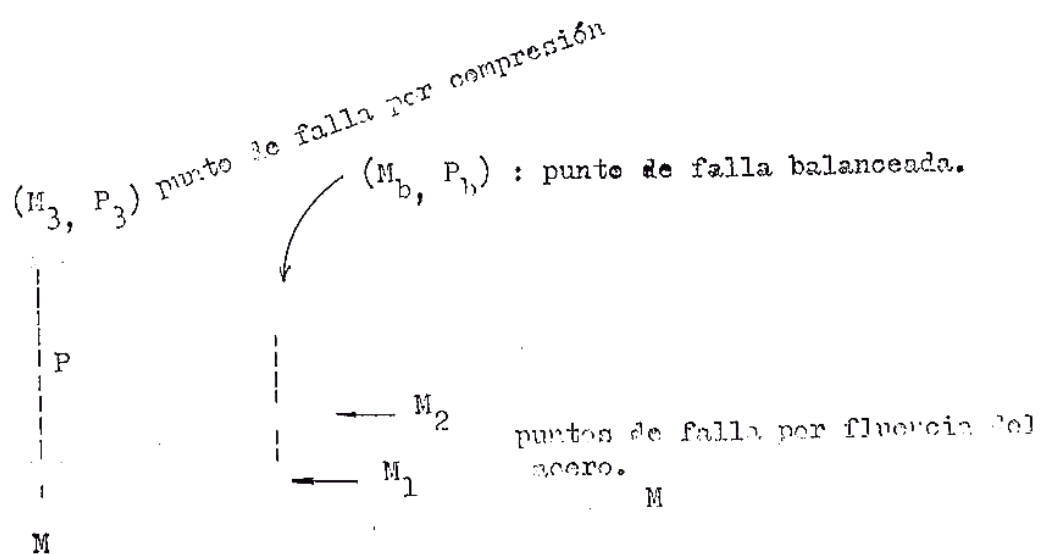


#### 8.11 DIAGRAMA DE INTERACCION

Para un elemento sujeto a flexoempresión, se denomina diagrama de interacción al lugar geométrico de las cargas axiales y de los momentos correspondientes a la carga última del elemento.

Para cada valor de "P" existe un valor de "M"

Un esquema de un diagrama de interacción sería el siguiente:



graficamente la inversa de la excentricidad es la pendiente de la

$$\text{recta: } \frac{l}{e} = \frac{P}{M} \longrightarrow e = \frac{M}{P}$$

Como en el caso de flexión existen los sgtes. tipos de falla:

- a ) Falla por fluencia del acero: Se presenta para valores altos del momento e para valores altos de la excentricidad.
- b ) Falla por aplastamiento del concreto: Consiste en el aplastamiento de la zona del concreto en compresión y corresponde a valores altos de la carga P.
- c ) Falla por condición balanceada aquella que se presenta simultáneamente por fluencia del acero y por aplastamiento del concreto.

El A.C.I. especifica que la cuantía mínima para elementos en flexocompresión debe de ser el 1 % y la cuantía máxima el 8 %. Si se necesita mas acero, debe aumentarse la sección.

#### 8.20 METRADO DE CARGAS PARA COLUMNAS.-

Haremos el metrado de cargas en detalle para la columna C 4 - C en todos los niveles.

$$\text{área de influencia 7º piso} = 5.10 \frac{(20 + 5.25)}{2} = 18.48 \text{ m}^2 > 15.0 \text{ m}^2$$

$$\text{área de influencia 6º a 1º piso} = 5.10 \times 5.25 = 26.78 \text{ m}^2 > 15.0 \text{ m}^2$$

#### 8.21 REDUCCION DE SOBRECARGAS EN COLUMNAS:

##### 8.21.10 Cálculo del coeficiente de reducción "f"

$$R_1 = 0.8 A_{t,a}$$

$$R_2 = 100 \frac{D + L}{4.33 L} \leq 60 \%$$

$$f = 1 - R$$

Se considera reducción de sobrecarga, cuando  $A_{t,a} > 15.0 \text{ m}^2$

En las expresiones anteriores:

$R_1, R_2$  : porcentajes de reducción de sobrecarga.

$R$  : Es el porcentaje de reducción final y es el menor valor entre  $R_1$  y  $R_2$ .

$A_{t,a}$  = área tributaria.

$A_{t,a}$  = área tributaria acumulada.

tabulando tendremos que:

LEVEL	A <sub>t</sub>	A <sub>t a</sub>	R <sub>1</sub> (%)	D	L	R <sub>2</sub> (%)	R %	r
7	18.48	—	—	—	—	—	—	1.00
6	26.78	45.26	36.20	550	250	60	36	0.64
5	26.78	72.04	57.60	550	250	60	57	0.43
4	26.78	98.82	79.06	550	250	60	60	0.40
3	26.78	125.60	100.55	550	250	60	60	0.40
2	26.78	152.38	121.90	550	250	60	60	0.40
1	26.78	179.16	143.3	550	250	60	60	0.40

SERVICIOS

$$C.P. = 350 + 100 \times 1.0 = 831$$

$$V.P. = [0.30 \times 0.45 \times \frac{(5.25 + 2.0)}{2}] \times 2400 = 1175$$

$$V.A. = [0.30 \times 0.40 \times 5.10] \times 2400 = 1469$$

C.V. = carga equivalente

a tabiquería  $(100 \times 18.48) = 1848$

m&gt;vil

Columna	$(0.30 \times 0.40 \times \frac{2.65}{2} \times 2400) = 382$	1.5 x 13190
---	---	19785
7º PISO	$\frac{13,190}{2}$	13190
C.P.	$350 + 100 \times 26.78$	= 12,051
V.P.	$(0.30 \times 0.45 \times 5.25) \times 2400$	= 1,701
V.A.	$(0.30 \times 0.40 \times 5.10) \times 2400$	= 1,469
C.V.	$(100 \times 26.78)$	= 2,678

Carga lineal sobre vigas:

$(5.10 \times 1.275 \times 150) +$	$(5.10 \times 1.375 \times 200)$	$= 975 + 1402$	= 2,377
Columna	$0.30 \times 0.40 \times 2.65 \times 2400$	$\frac{763}{=}$	1.5 x 34229
6º PISO	---	21,039	34229
		51344	

	SERVICIO DE SERVICIO (kg)	SERVICIO ULTIMA (kg)	SERVICIO DE SERVICIO (kg)	SERVICIO ULTIMA (kg)
--	------------------------------------	----------------------------	------------------------------------	----------------------------

	<u>A</u> SIGNIFICATIVAS (kg.)	DE ULTIMA (kg.)
C.P.	-----	12051
V.P.	-----	1701
V.A.	-----	1469
C.V.	-----	2678
COLUMNAS	-----	1272
		<u>1.5 x 53400</u>
		53400
		80100
C.P.	-----	12051
V.P.	-----	1701
V.A.	-----	1469
C.V.	-----	2678
COLUMNAS	-----	<u>1526</u>
		<u>1.5 x 72825</u>
		72825
		<u>109238</u>
5º PISO	-----	-----
4º PISO	-----	-----

NIVEL	S O B R E C A R G A S				GARGA TOTAL REDUCIDA	
	PARCIAL DE SERVICIO (kg)	ACUMULADA DE SERVICIO (kg)	REDUCIDA ACUMULADA DE SERVICIO (kg)	ULTIMA (kg)	DE SERVICIO (kg)	ULTIMA (kg)
5º PISO	250 x 26.78 6695	15238	1.8 x 15238 27428	.43 x 15238 6552	.43 x 27428 11,794	59952
4º PISO	250 x 26.78 6695	21933	1.8 x 21933 39479	.40 x 21933 8773	.40 x 39479 15792	81598
						125030

CARGAS PERMANENTES.		ACUMULADAS DE SERVICIO (kg)	ULTIMA (kg)
	PARCIAL DE SERVICIO (kg)		
C.P.	-----	12051	
V.P.	-----	1701	
V.A.	-----	1469	
C.V.	-----	2678	
Columnas	-----	1526	
	-----	19,425	92250
3º PISO			138375
C.P.	-----	12051	
V.P.	-----	1701	
V.A.	-----	1469	
C.V.	-----	2678	
Columnas	-----	1781	
	-----	19,680	111,930
2º PISO			167895

**S O B R E C A R G A S**

<b>FACULTAL DE SERVICIO (kg.)</b>	<b>ACUMULADA DE SERVICIO (kg.)</b>	<b>ULTIMA SERVICIO (kg.)</b>	<b>ULTIMA REDUCIDA ACUMULADA DE SERVICIO (kg.)</b>	<b>DE SERVICIO (kg.)</b>	<b>ULTIMA (kg.)</b>
250 x 26.78		1.8 x 28628	.40 x 28628	.40 x 51530	
6695	28628	51530	11451	20612	103701
3º PISO					158987
2º PISO	6695	35323	63581	14129	25432
					126059
					193327

C I S P	A N E	A C U M U L A D A S
PARCIAL DE SERVICIO	DE SERVICIO	(kg )
(kg )	(kg )	(kg )

( Similar al 2º piso )

$$1.5 \times \\ 131610 = \\ 197415$$

1º PISO ----- 19680

NIVEL	S O B R E C A R G A S					CARGA TOTAL REDUCIDA	
	PARCIAL	ACUMULADA	REDUCIDA ACUMULADA	DE SERVICIO (kg)	ULTIMA (kg)		
				DE SERVICIO (kg)	ULTIMA (kg)	DE SERVICIO (kg)	ULTIMA (kg)
250 x 26.78				1.8 x 42018	• 40 x 42018	• 40 x 75632	
1º PISO	6695	42018	75632	16807	30253	148417	227668

DE CARGAS Y MOMENTOS EN COLUMNAS DE PORTICO PRINCIPAL

MOMENTOS Y CARGAS DE DISEÑO PARA COLUMNAS.

EJE A	EJE B			EJE C				
y m-m)	P axial (ton.)	Mx x (ton-m)	My y (ton-m)	P axial (ton.)	Mx x (ton-m)	My y (ton-m)	P axial (ton.)	Mx x (ton-m)
	—	—	—	—	—	10.77	23.11	6.9
	—	—	13.77	21.13	6.74	8.30	61.19	5.7
	—	—	13.29	46.03	9.72	12.19	91.89	8.4
	—	—	10.04	70.22	8.96	12.48	125.03	8.3
	—	—	10.03	92.11	10.40	13.39	158.98	8.7
01	16.67	9.37	8.15	118.63	7.51	19.18	193.32	6.3
	35.62	8.03	9.87	149.43	11.31	22.76	227.70	11.2

Obtiene del cuadro de Momentos máximos de columnas

axiales se obtiene del cuadro de cargas para columnas.

Obtiene directamente de la carga por sismo, pues los momentos obtenidos con carga vertical son despreciables.

25 M<sub>x</sub> x ( sismo )

COLUMNAS COMO MIEMBROS EN FLEXOCOMPRESION

PARA DETERMINAR SI EL PORTICO ES ARRIESTRADO:

Se dice que un piso está arriestrado cuando mediante algún sistema de trámite o sujeción en su plane, no se le permite el desplazamiento del mismo.

I - 71 ( sección 10. 11.3) señala el criterio siguiente para determinar si las columnas están arriestradas ó no.

Miembro en compresión arriestrado lateralmente es un miembro en el que los momentos de arrastre pueden ser muros de corteante, con una rigidez que resiste los movimientos laterales de un piso, de por lo menos 6 mas la suma de las rigideces de todas las columnas, que resisten el movimiento lateral en el nivel considerado, de tal modo que las deflexiones laterales del piso no serán lo suficiente grandes para afectar significativamente la resistencia de la columna".

Resumiende si  $6 \sum D_{col.} < \sum D_{placas}$ .  $\Rightarrow$  Las columnas se consideran arriestadas.

donde:

$\sum D_{col.}$ : Suma de rigideces de todas las columnas del nivel considerado.

$\sum D_{placas}$  : Suma de rigideces de los muros de corte en el nivel considerado.

#### 8.32 ESBELTEZ EFECTIVA

$$\frac{kL}{r} = \text{relación de esbeltez efectiva}$$

r

$$r = 0.30 t.$$

K se calcula utilizando nemogramas (Ver A.C.I - 71 - sección 10-11)

#### 8.33 VERIFICACION DE ARRIOSTRAMIENTO DE LA COLUMNA EN LA DIRECCION PRINCIPAL

RIGIDECES	NIVELES						
	7	6	5	4	3	2	1
$\sum D_{col.}$	3.012	4.345	5.64	6.04	6.759	9.978	22.99
$6 \sum D_{col.}$	18.07	26.07	33.84	36.26	40.554	59.868	137.94
$\sum D_{ple.}$	1.268	3.485	5.94	8.287	12.191	18.452	43.77

Del cuadro anterior se deduce que:

$$6 \sum D_{col.} > \sum D_{ple.}$$

Por lo tanto las columnas no se consideran arriestadas en todos los niveles.

#### 8.34 CALCULO DE LA ESBELTEZ EFECTIVA :

##### A.- Elementos en compresión arriestados:

El R.N.C. especifica que para elementos en compresión arriestados contra desplazamientos laterales, los efectos de esbeltez se pueden ignorar cuando  $k h/r$  es menor que  $(34 - 12 M_1/M_2)$

donde:

$h$  = longitud de la columna considerada entre el piso y la viga que proporciona apoyo lateral.

$r$  = radio de giro =  $0.30 t$  para secciones rectangulares.

$M_1$  = Momento flexionante menor de diseño en el extremo de la columna,

es positivo si el miembro está flexionado con curvatura simple y

y cuando la curvatura es déble.

momento flexionante mayor de diseño en el extremo de la columna,  
e es positivo.

Elementos en compresión no arriestados.

Para elementos no arriestados en compresión se desprecian los e-  
fectos de esbeltez cuando  $\frac{k \cdot h}{r} < 22$

D.- Cálculo del factor "k" y la relación de esbeltez efectiva:

$$G_A = \left[ \frac{\sum K_c}{\sum K_v} \right] \text{ para el nudo A}$$
$$G_B = \left[ \frac{\sum K_c}{\sum K_v} \right] \text{ para el nudo B}$$

= rigidez relativa de columna.

v = rigidez relativa de viga.

Con los valores de  $G_A$  y  $G_B$  se entra en la carta de alineamiento y  
se encuentra "k".

la columna está empotrada G = 1.0

la columna en estudio 4 - C tendremos que:

7	4 - G	40	4	0.57	.43	1.33	1.33	1.42	235	12	27.8
6	4 - G	40	4	1.14	.86	1.33	2.40	1.55	235	12	30.4
5	4 - G	50	5	2.06	.86	2.40	4.72	1.90	235	15	29.8
4	4 - G	60	6	4.06	.86	4.72	5.98	2.12	235	18	27.7
3	4 - G	60	6	5.14	.86	5.98	7.73	2.28	235	18	29.8
2	4 - G	70	7	6.65	.86	7.73	9.49	2.80	235	21	31.3
1	4 - G	70	7	8.16	.86	9.49	1.00	1.90	235	21	21.3

\* La excentricidad mínima  $e_{min}$ , en flexocompresión para el diseño a la retorta el R.N.C establece una  $e_{min}$ , cuando la columna es estribada y es igual a 0.1 t.

$$e_{min} = 0.1 t.$$

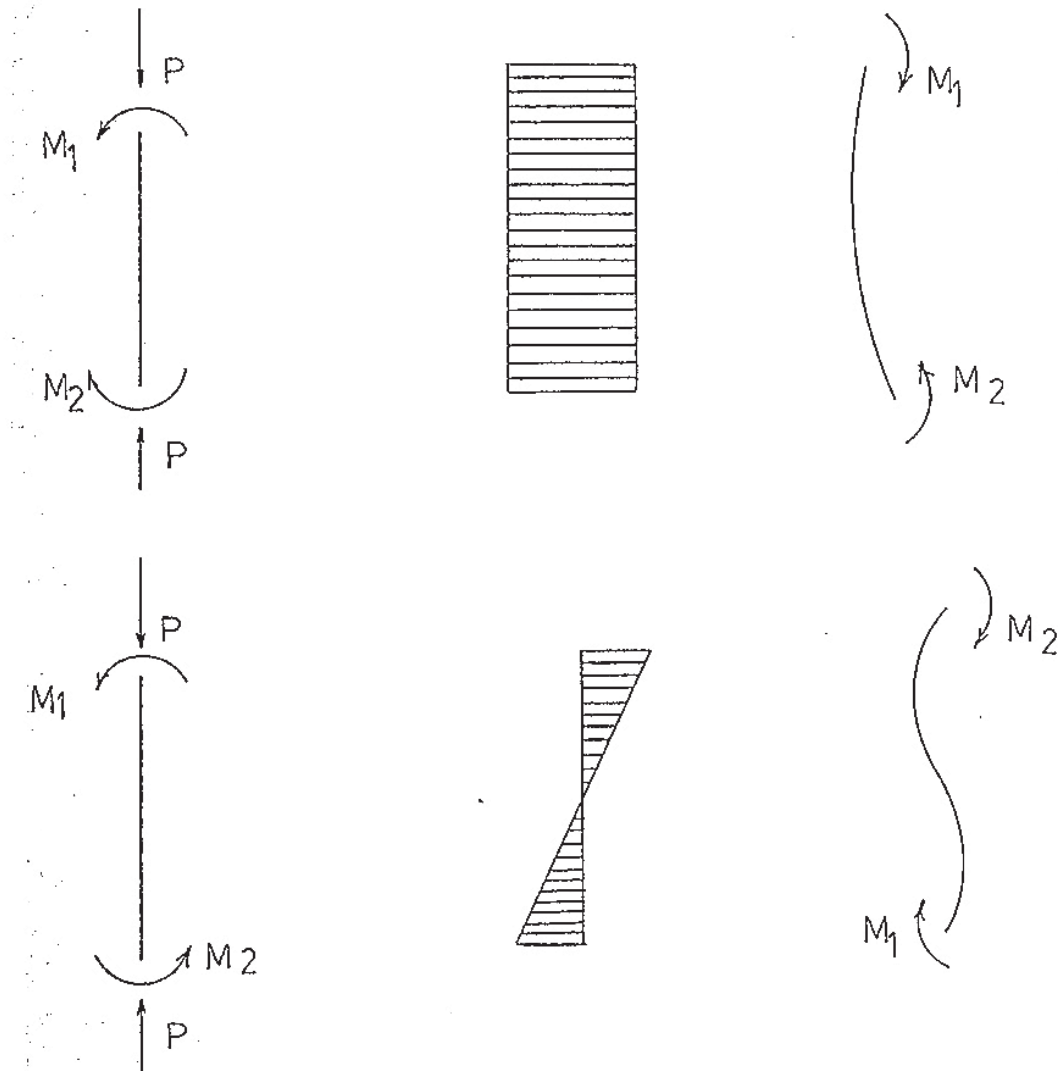
- Como  $k_h/r > 22$  en todos los casos, se considera esbeltez.

NIV.	GOL.	$t$ (em.)	$e_{\text{min.}}$ (em.)	$\sum K_s$	$\sum K_v$	$G_A$	$G_B$	$K$	$K_h$ (em.)	$\bar{x}$ (em.)	$k_h/r$
7	4 - C	30	3	.32	.62	.52	1.03	1.22	240	9	32.5
6	4 - C	30	3	.64	.62	1.03	2.05	1.45	240	9	38.7
5	4 - C	40	4	1.27	.62	2.05	3.37	1.73	240	12	34.6
4	4 - C	40	4	2.09	.62	3.37	3.68	1.90	240	12	38.0
3	4 - C	40	4	2.28	.62	3.68	4.0	1.96	240	12	39.2
2	4 - C	40	4	2.48	.62	4.0	4.32	2.05	240	12	41.0
1	4 - C	40	4	2.68	.62	4.32	1.00	1.65	240	12	33.0

Como en la dirección secundaria  $k_h/r$  es mayor que 22, también consideramos los efectos de esbeltez en todos los niveles.

### TIPOS DE CURVATURA

Tenemos 2 casos : curvatura simple y curvatura doble.



M<sub>1</sub> : es positivo (+) si la curvatura es simple

M<sub>1</sub> : es negativo (-) si la curvatura es doble.

M<sub>2</sub> : siempre es positivo.

Se calcula el factor : E = (34 - 12 M<sub>1</sub>/M<sub>2</sub>)

si k<sub>h/r</sub> < E, los efectos de la esbeltez se ignoran.

### CALCULO DEL MOMENTO AMPLIFICADO

Usaremos el método del momento amplificado para el diseño de columnas esbeltas (columnas largas).

En el caso de columnas esbeltas, se presenta en ambas direcciones, lo tanto las columnas se diseñarán usando la carga axial más

un momento amplificado  $M_e$ .

$$\text{Memento amplificado} = M_e = \delta M_2$$

$$\delta = \frac{C_m}{1 - P_u/P_{cr}} \geq 1$$

$P_{cr}$  = carga crítica.

$$P_{cr} = \frac{\gamma^2 E I}{(k h)^2}$$

- Valer de  $E I$

$E I$  para simplificar se toma conservaderamente como:

$$E I = \frac{E_c I_g / 2.5}{1 + R_m}; \text{ tenemos } R_m = 0; \text{ ya que } M_1 \ll M_2$$

- Valer de  $C_m$

Para elementos arriestrados contra desplazamientos laterales y sin cargas transversales en los apoyos:  $C_m = 0.6 + 0.4 M_1/M_2 \geq 0.4$

Para columnas con desplazamiento lateral  $C_m = 1.0$

En las expresiones anteriores:

$M_e$  = Memento amplificado usado en el diseño de un miembro en compresión.

$\delta$  = Factor de amplificación de momentos.

$C_m$  = Factor que relaciona el diagrama real de momento a un diagrama equivalente de momento uniforme.

$P_{cr}$  = carga crítica.

$E I$  = Rigididad a la flexión de los miembros en compresión.

$E_c$  = módulo de elasticidad del concreto ( $\text{kg}/\text{cm}^2$ )

$I_g$  = momento de inercia de la sección total del concreto con respecto al eje central (despreciando el refuerzo.)

$R_m$  = Relación del máximo momento de diseño debida a cargas muertas, al momento máximo debida a todas las cargas, siempre es positiva.

### 8.36 CALCULO DE LA RIGIDEZ A LA FLEXION ( E I )

( dirección secundaria X - X )

$$E \cdot I = \frac{Ee \cdot Ig / 2.5}{1 + Rm.}$$

$$Ee = 15,000 \quad \sqrt{f_e'} = 15,000 \quad \sqrt{210} = 217370 \text{ kg/cm}^2.$$

$$Ee = 217 \text{ Ton/cm}^2.$$

$$Ig = \frac{b \cdot h^3}{12}$$

NIVELES	SECCION b x h	$Ig \times 10^4$ $\text{cm}^4$	$Ee$ (T/cm <sup>2</sup> )	$E \cdot I \times 10^6$ (T - cm <sup>2</sup> )
7°, 6°	40 x 30	9.0	217	7.81
5°	50 x 40	26.67	217	23.15
4°, 3°	60 x 40	32.0	217	27.78
2°, 1°	70 x 40	37.33	217	32.40

$$8.37 \text{ Carga critica: } Per = \frac{\pi^2 E I}{(k h)^2}$$

NIVEL	COLUMNA	$(k h)^2 \times 10^4$ $(\text{cm}^2)$	$E \cdot I \times 10^6$ (T - cm <sup>2</sup> )	Per (Ton.)
7°	4 - C	8.57	7.81	899.0
6°	4 - C	12.11	7.81	636.5
5°	4 - C	17.24	23.15	1325.3
4°	4 - C	20.79	27.78	1318.8
3°	4 - C	22.13	27.78	1238.9
2°	4 - C	24.21	32.40	1320.8
1°	4 - C	15.68	32.40	2039.4

8.38 FACTOR "f"

$$f = \frac{C_m}{1 - P_u/P_{er}} ; C_m = 1.0 \text{ ( Para elementos no arriestados).}$$

NIVEL	COLUMNA	P <u>u</u>	1 - P <u>u</u> /P <u>er</u>	f
7°	4 - C	23.11	0.97	1.03
6°	4 - C	61.19	0.90	1.11
5°	4 - C	91.89	0.93	1.08
4°	4 - C	125.03	0.91	1.10
3°	4 - C	158.98	0.87	1.15
2°	4 - C	193.33	0.85	1.17
1°	4 - C	227.67	0.89	1.12

8.39 VALOR DE Me :

$$M_e = f M_2$$

NIVEL	COLUMNA	M <sub>2</sub> (ton-m)	M <sub>e</sub> (ton-m)
7°	4 - C	7.00	7.21
6°	4 - C	5.70	6.33
5°	4 - C	8.50	9.18
4°	4 - C	8.30	9.13
3°	4 - C	8.70	10.00
2°	4 - C	6.40	7.49
1°	4 - C	11.20	12.54

8.40 DIRECCION PRINCIPAL (Y - Y)

Cálculo de la rigidez a la flexión (E I )

$$E_I = \frac{E_e I_g / 2.5}{1 + R_m}; R_m \approx 0 \quad (M_{carga\ muerta} \ll M_{carga\ total})$$

$$E_e = 15000 \sqrt{f'_e} = 217 \text{ ton/cm}^2$$

$$I_g = \frac{b h^3}{12}$$

NIVELES	SECCION b x h	$I_g \times 10^4$ ( $\text{cm}^4$ )	$E_e$ ( $\text{T/cm}^2$ )	$T - \text{cm}^2$
7°, 6°	30 x 40	16.00	217	13.89
5°	40 x 50	41.67	217	36.17
4°, 3°	40 x 60	72.00	217	62.50
2°, 1°	40 x 70	114.34	217	99.25

$$8.41 \text{ Garga critica } Per = \frac{\pi^2 E I}{(k h)^2}$$

NIVELES	COLUMNA	$(k h)^2 \times 10^4$ ( $\text{cm}^2$ )	$E I \times 10^6$ ( $\text{Ton - cm}^2$ )	Per (ton.)
7°	4 - C	11.14	13.89	1231
6°	4 - C	13.27	13.89	1033
5°	4 - C	19.94	36.17	2690
4°	4 - C	24.82	62.50	2148
3°	4 - C	28.71	62.50	2149
2°	4 - C	43.30	99.25	2262
1°	4 - C	19.93	99.25	4914

8.42 Factor "J" de amplificación de Momentos

$$J = \frac{C_m}{1 - \frac{P_u}{P_{er}}} ; C_m = 1.0 \text{ (para elementos no arriestrados)}$$

NIVEL	COLUMNA	P <sub>u</sub>	1 - P <sub>u</sub> /P <sub>er</sub> .	J
7°	4 - C	23.11	0.98	1.02
6°	4 - C	61.19	0.94	1.06
5°	4 - C	91.89	0.97	1.03
4°	4 - C	125.03	0.94	1.06
3°	4 - C	158.98	0.925	1.08
2°	4 - C	193.33	0.917	1.09
1°	4 - C	227.67	0.952	1.05

8.43 Valor de M<sub>e</sub> : (M<sub>2</sub> se obtiene del cuadro de momentos máximos en columnas)

NIVEL	COLUMNA	M <sub>2</sub>	M <sub>e</sub> = J M <sub>2</sub>
7	4 - C	10.77	10.98
6	4 - C	8.30	8.80
5	4 - C	12.19	12.55
4	4 - C	12.48	13.23
3	4 - C	13.39	14.46
2	4 - C	19.18	20.90
1	4 - C	22.76	23.90

DISEÑO DEL REFUERZO LONGITUDINAL

- Excentricidad (e)

- dirección principal :  $e_y = M_e / P_u$

- dirección secundaria:  $e_x = M_e / P_u$ .

- Excentricidad mínima:  $e_{min} = 0.10 t$  (Cuando  $e < e_{min}$  se usará ésta última.

NIVEL	$e_y$ (em.)	$e_x$ (em.)
7°	46.60	31.19
6°	13.56	10.34
5°	13.26	9.99
4°	9.98	7.30
3°	8.42	6.29
2°	9.92	3.87 (Use 4.0 )
1°	9.99	5.51

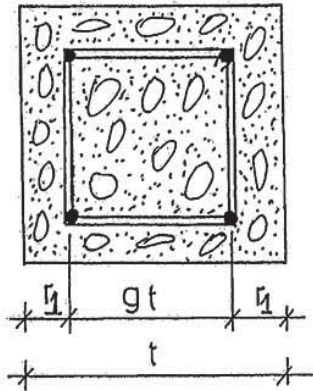
Tipo de falla :

Cuando :  $e/t < e_b/t$  --- Falla por compresión C

$e/t > e_b/t$  --- Falla

- Valer de "g"

Para usar les ábaces es necesario determinar les valeres "g" definidas de acuerdo a la figura mostrada:



Para refuerzes longitudinales de diámetro 1" y estribos de diámetro  $\phi 3/8"$  el

Valer de  $r_1$  será:

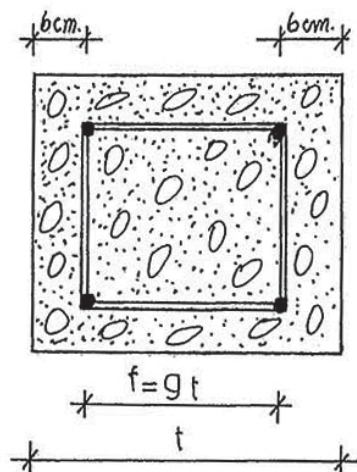
$$r_1 = \text{recubrimiento} + \text{diámetro del estribo} \\ + \frac{1}{2} \text{ diámetro longitudinal}$$

$$r = 4 + 1 + \frac{1}{2} \times 2.5 = 6.25 \text{ em.}$$

$$g \cdot t = t - 2 r_1 \implies$$

$$g = 1 - \frac{12.50}{t}$$

En la práctica se usa :



$$f = g t$$

$$f = t - 12 \text{ cm.}$$

Luego:

$$g = \frac{f}{t}$$

DIRECCION PRINCIPAL				DIRECCION SECUNDARIA		
NIVEL	$t$ (em.)	$f = g t$ (em.)	$g$	$t$ (em.)	$f = g t$ (em.)	$g$
7°	40	28	0.70	30	18	0.60
6°	40	28	0.70	30	18	0.60
5°	50	38	0.80	40	28	0.70
4°	60	48	0.80	40	28	0.70
3°	60	48	0.80	40	28	0.70
2°	70	58	0.80	40	28	0.70
1°	70	58	0.80	40	28	0.70

#### C.- FLEXO COMPRESSION BIAXIAL

Para resolver éste caso se usan procedimientos aproximados, el R.N.C. presenta la siguiente fórmula de las inversas (método del Dr. Bresler).

$$\frac{1}{P_u} = \frac{1}{P_{ux}} + \frac{1}{P_{uy}} - \frac{1}{P_{ue}} \quad (\alpha) ; P_u \geq 0.1 P_{ue}$$

En la relación ( $\alpha$ ) anterior:

$P_u$  = carga última con excentricidades,  $e_x$ ,  $e_y$ .

$P_{ux}$  = carga última con excentricidad  $e_x$ .

$P_{uy}$  = carga última con excentricidad  $e_y$ .

$P_{ue}$  = carga última con excentricidad nula ( $e_x = e_y = 0$ ).

función de los valores "K"

$$\frac{1}{K_u} = \frac{1}{K_{ux}} + \frac{1}{K_{uy}} - \frac{1}{K_{ue}} \quad (\beta)$$

Siende :  $P_u = K_u f'_c b_t \geq P_u$  actuante.

$$k_{ux} = \frac{P_{ux}}{f'_c b_x t_y} ; \quad K_{uy} = \frac{P_{uy}}{f'_c b_y t_x} ; \quad K_{ue} = \frac{P_{ue}}{f'_c b_t}$$

$$P_{ue} = \phi (0.85 b_t f'_c + A_s f_y) \phi = 0.7 \text{ (columna estribada).}$$

#### PROCEDIMIENTO

- a) Por tratarse de un procedimiento iterativo se empieza asumiendo una cuantía  $p_t$  y se calcula:

$$p_t m = p_t \left( \frac{f_y}{0.85 f'_c} \right)$$

- b) Con  $p_t m$ ,  $g$ ,  $\frac{e_x}{t}$ ,  $\frac{e_y}{t}$  entramos en las cartas 49, 50, 51, 52 del

S P - 7 y encontramos los valores de  $k_{ux}$ ,  $k_{uy}$ , respectivamente.

- c) Se calcula  $k_{ue}$

- d) Con las fórmulas de las inversas se calcula  $K_u$ .

- e) Se halla  $P_u$ .

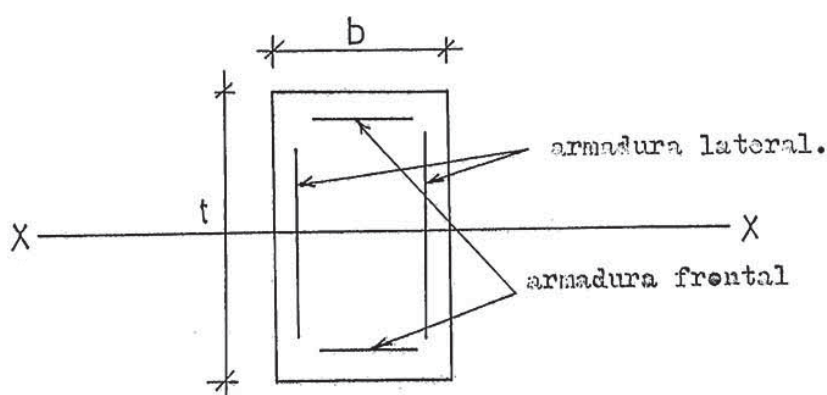
- f) Se verifica las relaciones  $P_u \geq 0.1 P_{ue}$  e  $k_u \geq 0.1 K_{ue}$ .

- g) Si  $P_u < 0.10 P_{ue}$  verificamos con el sgte. método

$$\frac{M_x}{M_{uy}} + \frac{M_y}{M_{uy}} \leq 1.0 \quad (\theta)$$

$M_x$ ;  $M_y$  = momentos de flexión.

$M_{ux}$ ;  $M_{uy}$  = momentos resistentes según los ejes coordenados.



$$M_y = \phi \left[ A_s \text{ frontal } f_y \left( d_x - \frac{a_x}{2} \right) \right]$$

$$M_y = \phi \left[ A_s \text{ lateral } f_y \left( d_y - \frac{a_y}{2} \right) \right]$$

La formula ( 0 ) se usa cuando se tiene cargas pequeñas y momentos grandes. En nuestro caso se presenta en el 7º Nivel de la columna C 4 - C en estudio.

Haremos el diseño en detalle para la columna C 4 - C, 1º Nivel:

#### 8.10.10 DISEÑO DE COLUMNA 1º 4 - C

Sección: 40 cm. x 70 cm.  $\Rightarrow A_g = 40 \times 70 = 2800 \text{ cm}^2$

Asumimos un refuerzo de  $6 \phi 1'' + 6 \phi 3/4'' = 30.60 + 17.04 = 47.64 \text{ cm}^2$

$$\text{La cuantía } p_t = \frac{47.64}{40 \times 60} = 0.017.$$

Cálculo de  $k_{ux}$  ( uniaxial )

b = 40 cm.

t = 70 cm.

P<sub>u</sub> = 227.7 ton.

M<sub>u</sub> = 11.31 t - m.

$$m = \frac{f_y}{0.85 f'_e} = \frac{4200}{0.85 \times 210} = 23.529$$

$$p_t m = 0.017 (23.529) = 0.399 \approx 0.40$$

$$e = \frac{M_u}{P_u} = \frac{1120}{227.7} \text{ t - cm} = 4.91 > e_{\min} = 0.10 t = 0.10 \times 40 = 4 \text{ cm.}$$

$$\frac{e}{t} = \frac{4.96}{70} = 0.07$$

$$g = \frac{f}{t} = \frac{28}{40} = 0.7$$

Luego con g = 0.7; f<sub>y</sub> = 60 Ksi ; f'<sub>e</sub> = 3 Ksi , entraremos al ábaco

Nº 50 del S P - 7

encontraremos que para:

$$\left. \begin{array}{l} p_t m = 0.40 \\ \frac{e}{t} = 0.07 \end{array} \right\} \Rightarrow e_b/t = 0.50$$

$$\text{Dado } \frac{e}{t} = 0.07 < \frac{e_b}{t} = 0.50 \text{ (Falla por compresión)}$$

De igual forma en el mismo abase N° 50, encontramos que

$$\left. \begin{array}{l} \frac{e}{t} = 0.07 \\ p_t m = 0.40 \end{array} \right\} \Rightarrow k_{ux} = 0.67$$

## 2.- Cálculo de $k_{uy}$ ( uniaxial)

$$P_u = 227.7 \text{ ton.}$$

$$M_{uy} = 22.76 \text{ ton.}$$

$$e = \frac{2276}{227.7} \text{ ton} = em = 9.99$$

$$\frac{e}{t} = \frac{9.99}{70} = 0.14$$

$$g = \frac{58}{70} = 0.8$$

$$\left. \begin{array}{l} g = 0.8 \\ \frac{e}{t} = 0.14 \end{array} \right\} \text{Del abase N° 51 (S P -7)}$$

$$\left. \begin{array}{l} \frac{e}{t} = 0.14 \\ p_t m = 0.40 \end{array} \right\} \frac{e_b}{t} = 0.50 \quad \frac{e}{t} = 0.14 \text{ (falla por compresión)}$$

$$\left. \begin{array}{l} \frac{e}{t} = 0.14 \\ p_t m = 0.40 \end{array} \right\} k_{uy} = 0.45$$

## 3.- Cálculo de $K_{ue}$

$$P_{ue} = \phi (0.85 f'_c A_g + A_s f_y)$$

$$P_{ue} = 0.7 (0.85 \times 0.21 \frac{\text{ton}}{\text{cm}^2} \times 2800 \text{ cm}^2 + 47.64 \times 4.2 \frac{\text{ton}}{\text{cm}^2}) = 489.92 \text{ ton.}$$

$$\frac{P_{ue}}{f'_c b t} = \frac{489.92}{0.21 \times 2800} = 0.833$$

VERIFICACION DE LA CUANTIA ASUMIDA

$$\frac{1}{K_u} = \frac{1}{K_{u\max}} + \frac{1}{K_{u\min}} - \frac{1}{K_{ue}}$$

$$\frac{1}{K_u} = \frac{1}{0.67} + \frac{1}{0.45} - \frac{1}{0.83} = 1.49 + 2.22 - 1.20$$

$$\frac{1}{K_u} = 2.51$$

$$K_u = \frac{1}{2.51}$$

$$P_u = K_u f'_c b t.$$

$$P_u = \left( \frac{1}{2.51} \right) \times 0.210 \frac{\text{ton}}{\text{cm}^2} \times 40 \times 70 = 234.3 \text{ ton.}$$

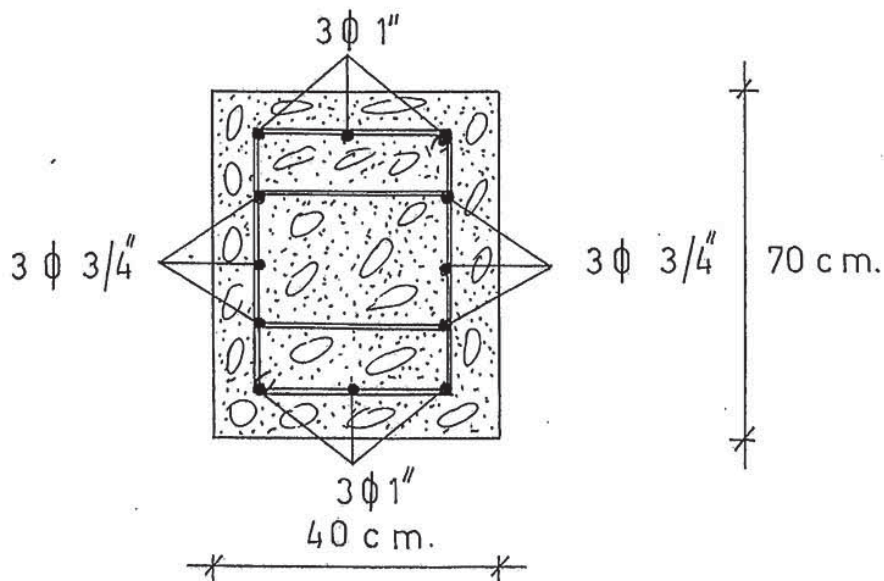
Luego :  $P_u = 234.3 \text{ ton.}$

$$0.10 P_{ue} = 0.10 (489.92) = 48.99 \text{ ton.}$$

$$P_u = 234.3 \text{ ton} > 0.10 P_{ue} = 48.99 \text{ ton} ; \underline{\text{bien!}}$$

$$P_u = 234.3 \text{ ton} > P_u \text{ actuante} = 227.7 \text{ ton.}$$

Luego use:  $6 \phi \frac{3}{4}'' + 6 \phi 1''$



### REFUERZO TRANSVERSAL

#### Refuerzo cortante Nominal permisible ( $v_e$ )

$$v_e = 0.5 ( 1 + 0.07 \frac{N_u}{A_g} ) \sqrt{f'_e}$$

$$v_e \leq 0.9 \sqrt{f'_e} \sqrt{1 + 0.0285 \frac{N_u}{A_g}}$$

$N_u$  = carga de diseño normal a la sección transversal.

$A_g$  = área total de la sección.

#### REQUERIMIENTO DE REFUERZO TRANSVERSAL ESPECIAL

Cuando  $\frac{P}{A_g} \leq 0.12 f'_e$  No se requiere refuerzo especial.

$$0.12 f'_e = 0.12 \times 210 = 25.2 \text{ kg/cm}^2$$

$P$  = máxima carga axial que se espera actuará sobre el miembro durante un sismo.

Para nuestro caso:

$$\frac{P_u}{A_g} = \frac{227,670 \text{ kg}}{40 \times 70} = 81.3 \text{ kg/cm}^2 > 25.2 \text{ kg/cm}^2$$

Luego la columna requiere estribos especiales.

#### Diseño de estribos para confinamiento.

Longitud a confinar a partir de la cara de conexión : (h)

$h = 70 \text{ cm.}$

#### Área del refuerzo $A_{sh}$

$$A_{sh} = \frac{l_h \delta_s s_h}{2} \quad \dots \dots \dots \quad (1)$$

dónde:

$$\delta_s = 0.45 \left( \frac{A_g}{A_e h} - 1 \right) \frac{f'_e}{f_y} \geq 0.12 \frac{f'_e}{f_y}$$

$\delta_s$  = relación volumétrica.

$l_h$  = longitud máxima no separada del anillo cerrado rectangular, medida entre las ramas perpendiculares del anillo.

= Área del núcleo de una columna medida entre las caras exteriores del estribo cerrado.

espaciamente centro a centro de estribos cerrados.

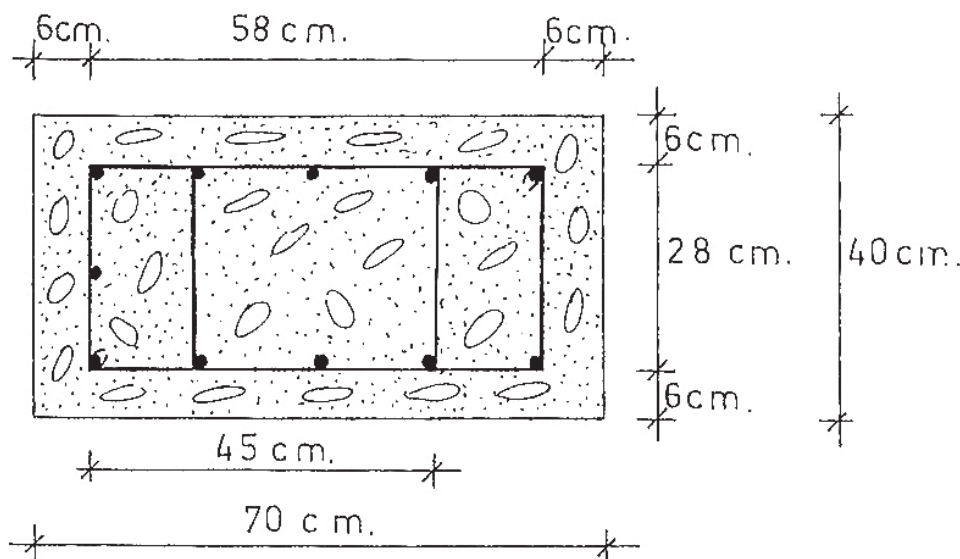
$$(1) : s_h = \frac{l}{I_h} \left[ \frac{2 A_{sh} h}{0.45 \left( \frac{A_g}{A_e h} - 1 \right) \frac{F_c}{F_y}} \right]$$

a nuestra columna en estudio tendremos que :

1º

Usando estribos cerrados de  $3/8"$

$$A_{sh} = 2 \times 0.79 = 1.58 \text{ cm}^2$$



$$I_h = 45 \text{ cm.}$$

$$s_h = \frac{1}{45} \left[ \frac{2 \times 1.58}{0.45 \left( \frac{40 \times 70}{58 \times 28} - 1 \right) \left( \frac{210}{4200} \right)} \right] = 4.31 \text{ cm.}$$

la parte central de la columna el espaciamiento será :

$$s \leq \begin{cases} 16 D_L = 16 \times 2.54 = 40 \text{ cm.} \\ 48 D_e = 48 \times 0.95 = 45.6 \text{ cm.} \\ b = 40 \text{ cm.} \end{cases}$$

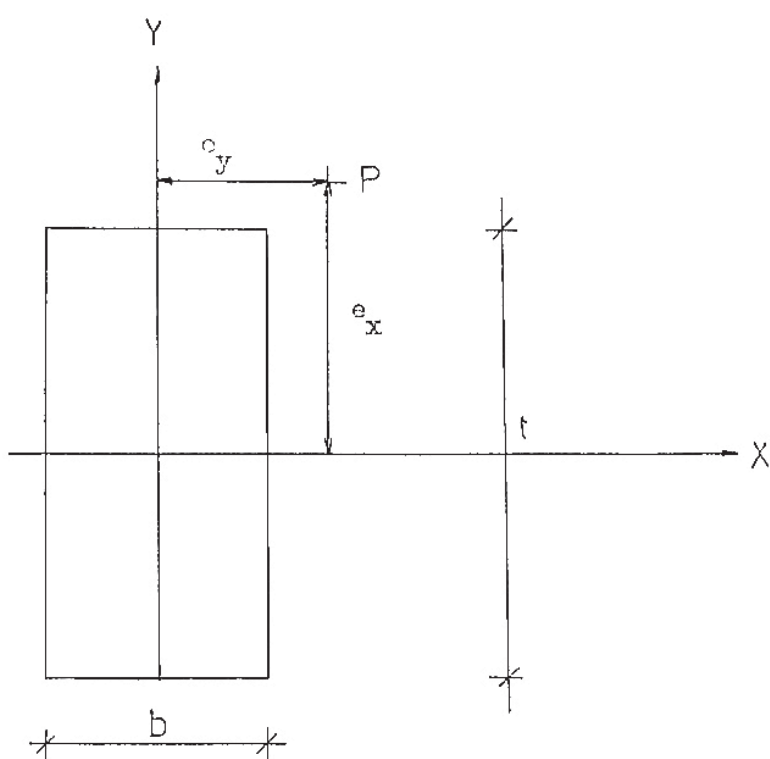
sea menor.

Usaremos la siguiente disposición de estribos:

Use   $\phi \frac{3}{8}''$  2 @ .05, 6 @ .10 Rto. @ .30

RESUMEN DEL DISEÑO PARA COLUMNA C 4 - C EN ESTUDIO

NIVEL	$P_t$	$P_t$ m	DIRECCION PRINCIPAL Y-Y			DIRECCION SECUNDARIA: X-X		
			(asumida)	$g$	$e_y/b$	$k_{uy}$	$g$	$e_x/t$
7°	.027	.645		.70	1.55	—	.60	.78
6°	.027	.645		.70	.45	.34	.60	.26
5°	.011	.267		.80	.33	.34	.70	.20
4°	.012	.278		.80	.25	.41	.70	.12
3°	.012	.278		.80	.21	.49	.70	.10
2°	.017	.399		.80	.25	.45	.70	.05
1°	.017	.399		.80	.14	.45	.70	.08



NIVEL	$1/k_{ux}$	$1/k_{uy}$	$1/k_{u\theta}$	$k_u$	$0.1 k_{u\theta}$	$f'_c b_t$	$P_u$	$P_{u \text{ act.}}$
7°	—	—	—	—	—	252	—	23.11
6°	2.17	2.94	1.02	0.23	0.10	252	62.20	61.19
5°	2.22	2.94	1.32	0.26	0.08	420	109.0	91.89
4°	2.22	2.44	1.31	0.30	0.08	504	150.0	125.03
3°	1.69	2.04	1.31	0.42	0.08	504	208.0	158.98
2°	1.49	2.22	1.20	0.40	0.08	588	234.3	193.3
1°	1.49	2.22	1.20	0.40	0.08	588	234.3	227.7

- AREAS DE ACERO Y SELECCION DE VARILLAS DE REFUERZO

NIVEL	COLUMNA	SECCION ( $\text{cm}^2$ )	$p_t$	$A_s$ ( $\text{cm}^2$ )	REFUERZO LONGITUDINAL
7°	C : 4 - C	30 x 40	.027	32.92	$8 \phi 3/4" + 2 \phi 1"$
6°	C : 4 - C	30 x 40	.027	32.92	$8 \phi 3/4" + 2 \phi 1"$
5°	C : 4 - C	40 x 50	.011	22.72	$8 \phi 3/4"$
4°	C : 4 - C	40 x 60	.011	28.40	$10 \phi 3/4"$
3°	C : 4 - C	40 x 60	.011	28.40	$10 \phi 3/4"$
2°	C : 4 - C	40 x 70	.017	47.64	$6 \phi 3/4" + 6 \phi 1"$
1°	C : 4 - C	40 x 70	.017	47.64	$6 \phi 3/4" + 6 \phi 1"$

RESUMEN DE ESTRIBOS PARA COLUMNA 4 - C

Nivel 7° :  $\phi 3/8"$  2 @. 05, 3 @. 10, Rte. @. 30

Nivel 6° :  $\phi 3/8"$  2 @. 05, 3 @. 10, Rte. @. 30

Nivel 5° :  $\phi 3/8"$  2 @. 05, 4 @. 10, Rte. @. 30

Nivel 4º :  $\phi \frac{3}{8}$ " 2 @ . 05, 5 @ . 10, Rte. @ . 30  
Nivel 3º :  $\phi \frac{3}{8}$ " 2 @ . 05, 5 @ . 10, Rte. @ . 30  
Nivel 2º :  $\phi \frac{3}{8}$ " 2 @ . 05, 6 @ . 10, Rte. @ . 30  
Nivel 1º :  $\phi \frac{3}{8}$ " 2 @ . 05, 6 @ . 10, Rte. @ . 30.

A continuación presentamos tabulados el diseño para la columna  
del eje 4 - B y A - 4.

RESUMEN DE DISEÑO PARA COLUMNA 4 - B

Areas de acero y selección de varillas de refuerzo:

NIVEL	COLUMNA	SECCION (cm <sup>2</sup> )	p <sub>t</sub>	A <sub>s</sub> (cm <sup>2</sup> )	REFUERZO LONGITUDINAL
6º	C : 4-B	30 x 40	0.033	39.76	14 $\phi \frac{3}{4}$ "
5º	C : 4-B	40 x 50	0.019	39.76	14 $\phi \frac{3}{4}$ "
4º	C : 4-B	40 x 50	0.017	34.08	12 $\phi \frac{3}{4}$ "
3º	C : 4-B	40 x 50	0.017	34.08	12 $\phi \frac{3}{4}$ "
2º	C : 4-B	40 x 60	0.014	34.08	12 $\phi \frac{3}{4}$ "
1º	C : 4-B	40 x 60	0.019	45.44	16 $\phi \frac{3}{4}$ "

Resumen de estribos

Nivel 6º :  $\phi \frac{3}{8}$ " : 2 @ . 05, 3 @ . 10 Rte. @ . 30.

Nivel 5º, 4º, 3º :  $\phi \frac{3}{8}$ " : 2 @ . 05, 4 @ . 10 Rte. @ . 30.

Nivel 2º, 1º :  $\phi \frac{3}{8}$ " 2 @ . 05, 5 @ . 10 Rte. @ . 30.

RESUMEN DE DISEÑO PARA COLUMNA 4-A

Areas de acero y selección de varillas de refuerzo:

NIVEL	COLUMNA	SECCION (cm <sup>2</sup> )	p <sub>t</sub>	A <sub>s</sub> (cm <sup>2</sup> )	REFUERZO LONGITUDINAL
2°	C : 4-A	40 x 40	0.014	22.72	8 ø 3/4"
1°	C : 4-A	40 x 40	0.014	22.72	8 ø 3/4"

- Resumen de estribos:

$$\frac{P_u}{A_g} = \frac{35.62 \times 10^3 \text{ kg}}{40 \times 40} = 22.26$$

Como  $\frac{P_u}{A_g} = 22.26 \frac{\text{kg}}{\text{cm}^2} < 25.2 \text{ kg/cm}^2$  La columna no necesita

estribaje por confinamiento.

Use ø 3/8" 2 @ .10, Rte. @ .30 en ambos niveles (1° y 2° ).

CAPITULO IX DISEÑO DE PLACAS

CAPITULO IX

9.00 DISEÑO DE PLACAS

9.10 .- GENERALIDADES

Estudiaremos la placa "4" en la dirección principal.

En la dirección secundaria, haremos el estudio de la placa de la saja de ascensores.

9.20 DISEÑO DE LA PLACA "4"

9.21 REDUCCION DE SOBRECARGAS Y METRADO DE CARGAS

NIVEL	A <sub>t</sub> (m <sup>2</sup> )	A <sub>ta</sub> (m <sup>2</sup> )	R <sub>1</sub>	D	L	R <sub>2</sub>	R (%)	f
7º	13.40	13.40	—	—	—	—	—	1.00
6º	13.40	26.80	21.4	550	250	60	21.4	.78
5º	13.40	40.20	32.2	550	250	60	32.2	.68
4º	13.40	53.60	43.0	550	250	60	43.0	.47
3º	13.40	67.00	56.5	550	250	60	56.5	.44
2º	13.40	80.40	64.4	550	250	60	60	.40
1º	13.40	93.80	75.0	550	250	60	60	.40

Metrado de cargas

• NIVEL 7º

Cargas muertas:

$$\text{Losa : } 1.60 \times 4.60 \times 58 \text{ t/m}^2 = 4.27 \text{ ton.}$$

$$\text{Vigas principales : } 2.395 \frac{\text{ton}}{\text{m}} \times \frac{5.25}{2} = 6.28 \text{ ton.}$$

$$\text{Vigas secundarias : } .638 \text{ t/m} \times 5.10 = 3.25 \text{ ton.}$$

$$\text{propio : } .20 \times 2.80 \times 4.60 \times 2400 = 6.18 \text{ ton.}$$

$$\text{escaleras : } \dots = 6.20 \text{ ton.}$$

$$\text{elevada : } \dots = 22.980 \text{ ton.}$$

$$\text{total carga muerta : } 49.16 \text{ ton.}$$

Carga viva :

$$\text{Pesa} : 1.60 \times 4.60 \times 1.150 \text{ t/m}^2 = 1.10 \text{ ton.}$$

$$\text{Viga} : .765 \text{ T/m} \times \frac{5.25}{2} = 2.00 \text{ ton.}$$

Niveles 6°, 5°, 4°, 3°, 2°, 1°.

Carga muerta total ----- 26.18 ton.

Carga viva total ----- 4.48 ton.

### 9.22 CALCULO DE LA CARGA AXIAL ACTUANTE

NIVEL	C.M. (ACUM.)	1.5 C.M.	C.V (ACUM.)	f	C.V. (RED.)	1.8 C.V. (RED.)	P.servicio (Ton.)	Pu (Ton)
7°	49.16	73.74	3.10	1.00	3.10	5.58	52.26	79.32
6°	75.34	113.01	7.58	0.786	5.96	10.73	81.30	123.74
5°	101.52	152.28	12.06	.678	8.18	14.72	109.70	167.0
4°	127.70	191.55	16.54	.470	7.77	13.99	135.47	205.54
3°	153.88	230.82	21.02	.435	9.14	16.45	163.02	247.27
2°	180.06	270.09	25.50	.400	10.20	18.36	190.26	288.45
1°	206.24	309.36	29.98	.400	11.99	21.58	218.23	330.94

### 9.23 ESPECIFICACIONES PARA EL DISEÑO DE PLACAS

- Los muros que tengan la resultante dentro del tercio medio de su sección pueden considerarse que están cargados céntricamente y pueden diseñarse empíricamente, siempre y cuando se cumpla que :

$$P_u = 0.55 \phi f'_c A_g \left[ 1 - \left( \frac{L_c}{40 h} \right)^2 \right] ; \phi = 0.70$$

dónde en la fórmula anterior :

$A_g$  = área total de la sección en  $\text{cm}^2$

$h$  = espesor del muro en cm.

$P_u$  = carga axial de compresión.

$D$  = ancho de la placa

$L_c$  = distancia vertical entre apoyos.

- Los muros en que la carga resultante cae fuera del tercio medio de la sección deben diseñarse a flexo-compresión.

Verificación de la zona de acción de la resultante.

$$\frac{D}{6} = \frac{4.60}{6} = 0.77 \text{ m.}$$

Si  $e < \frac{D}{6}$ , la resultante se encuentra dentro del tercio medio.

A continuación, calcularemos la excentricidad.

el Momento fultime :  $M_u = 1.25 \text{ M. (per sismo)}$

Luego :

NIVEL	V (ton.)	h (mts.)	V x h	M (t-m)	Pu (ton.)	Mu (ton-m)	e (m)
7°	7.40	2.80	20.72	20.72	79.32	25.90	0.33
6°	18.91	2.80	52.95	73.67	123.74	92.09	0.74
5°	29.99	2.80	83.97	157.64	167.00	197.05	1.18
4°	40.50	2.80	113.40	271.04	205.54	338.80	1.65
3°	53.09	2.80	148.65	419.69	247.27	524.61	2.12
2°	58.94	2.80	165.03	584.72	288.45	730.90	2.53
1°	63.38	2.80	177.46	762.18	330.94	952.73	2.87

Como  $e = 2.87 > \frac{D}{6} = 0.77 \text{ m.}$ , debe diseñarse la placa principalmente por flexocompresión.

Diseño por Compresión :

Capacidad de carga del muro :

$$P_u = 0.55 \phi f'_e A_g \left[ 1 - \left( \frac{L_e}{40 h} \right)^2 \right]$$

donde :

$$A_g = 460 \text{ cm} \times 20 \text{ cm} = 9200 \text{ cm}^2.$$

$$\phi = 0.7$$

$$f'_e = 0.21 \text{ ton/cm}^2$$

Lc = 2.80 m = 280 cm.

h = 20 cm.

Luego :  $P_u = 0.55 \times 0.7 \times 0.21 \times 9200 \left[ 1 - \left( \frac{280}{40 \times 20} \right)^2 \right]$

$$P_u = 743.82 \left[ 1 - (0.35)^2 \right] = 652.7 \text{ ton.}$$

Como  $P_u = 652.7 \text{ ton} > 330.94 \text{ ton}$  ; bien!

#### Armadura mínima :

a.- Refuerzo horizontal.

El A.C.I. especifica que la cuantía mínima sera de 0.0025.

Luego :  $A_{sh} = 0.0025 \times 100 \times 20 = 5 \text{ cm}^2$

Usamos varillas de  $\phi 3/8"$  distribuidas en 2 capas .

$$\phi 3/8" @ \frac{2 \times 71 \times 100}{5.0} = 28.4 \text{ cm.}$$

$\phi 3/8"$  @ 25 cm. en 2 capas.

b.- Refuerzo vertical :

$$A_{sv} = 0.0025 \times 100 \times 20 = 5 \text{ cm}^2$$

$\phi 3/8"$  @ 25 cm. en 2 capas.

c.- Diseño por corte.

$$v_u = \frac{V_u}{\phi h d.} ; V_u = \text{fuerza cortante total de diseño aplicada en la sección.}$$

h = espesor de la placa.

$l_w$  = longitud horizontal del muro.

$$V_u = 1.25 \times 63.38 = 79.2 \text{ ton.}$$

$$v_u = \frac{79.230}{0.85 \times 20 \times 0.8 \times 460} = 12.67 \text{ kg/cm}^2.$$

Corte que tema el concreto :  $v_u$ .

$$v_u = 0.9 f'_c + \frac{N_u}{4 l_w h} = 0.9 210 + \frac{330940}{4 \times 460 \times 20} = 22.03 \text{ kg/cm}^2$$

Luego como  $v_u = 22.03 \text{ kg/cm}^2 > 12.67 \text{ kg/cm}^2$  ¡bien! no se requiere estribos estructuralmente.

### DISEÑO POR FLEXO COMPRENSION

#### 1.- Excentricidad :

Para el 1º Nivel, tenemos el momento y carga axial máximas, luego :

$$M_u = 952.7 \text{ ton-m}; P_u = 330.94 \text{ ton-m}.$$

$$e = \frac{M_u}{P_u} = \frac{952.7}{330.94} = 2.88 \text{ mts.}$$

$$\frac{D}{6} = \frac{460}{6} = 0.77 \text{ m.}$$

$e > \frac{D}{6}$ ; la resultante cae fuera del tercio medio de la sección.

#### 2.- DISEÑO POR FLEXION

Calcularemos la curva de interacción, considerando los diferentes tipos de falla.

##### Punto de falla balanceado (punto b)

Deformaciones máximas :

Concrete :  $\epsilon_{eu} = 0.003$

Acero :  $\epsilon_y = \frac{4200}{2.1 \times 10^6} = 0.021$

$$\frac{c_b}{\epsilon_{eu}} = \frac{4.50}{\epsilon_{eu} + \epsilon_{ey}}$$

$$c_b = \left( \frac{\epsilon_{eu}}{\epsilon_{eu} + \epsilon_{ey}} \right) \times 4.50$$

$$c_b = 4.50 \left( \frac{0.003}{0.003 + 0.0021} \right)$$

$$c_b = 2.65 \text{ m.}$$

Altura del bloque de Whitney :

$$a = 0.85 c_b = 0.85 \times 2.65 = 2.25 \text{ mts.}$$

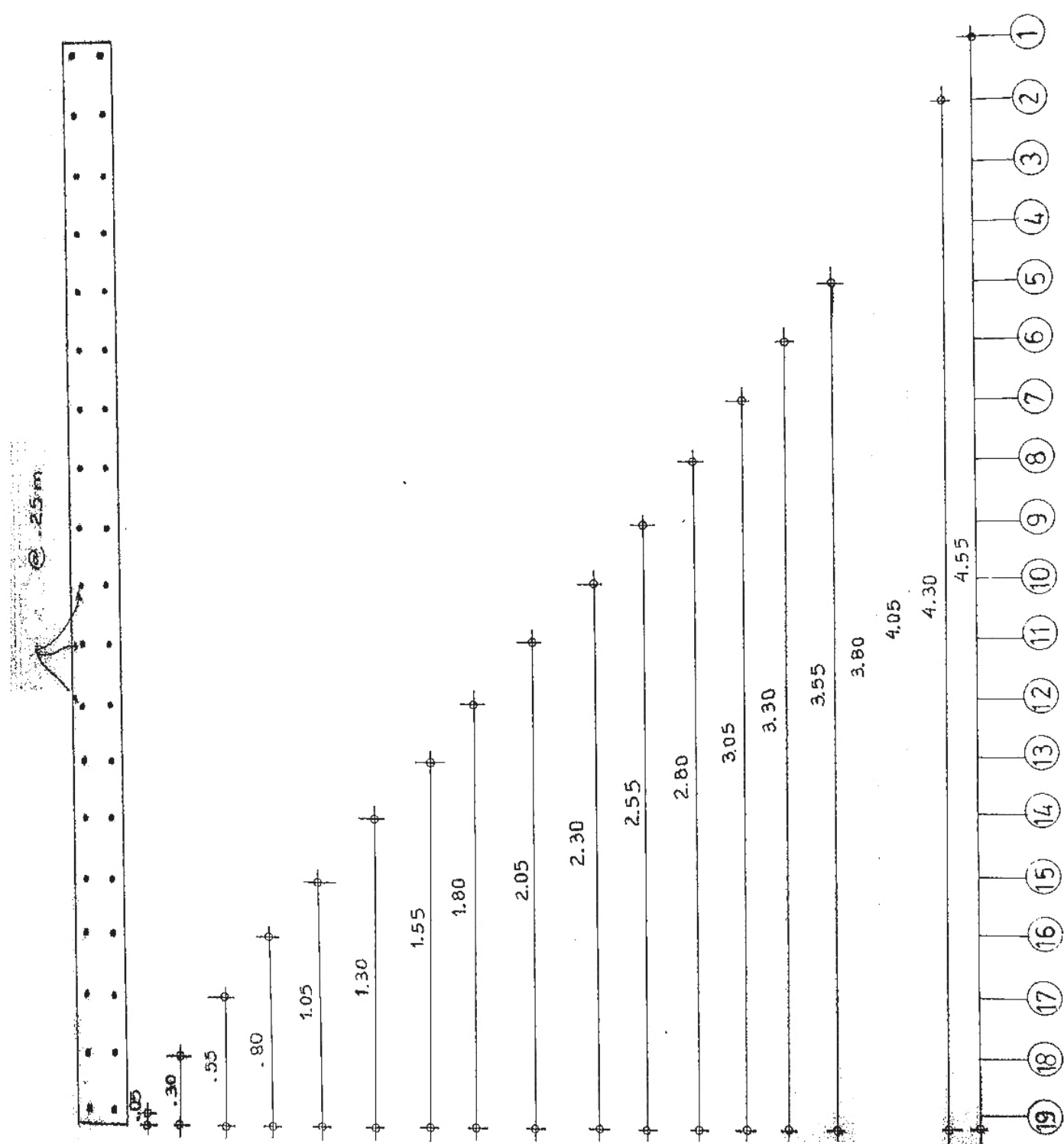
Fuerza de compresión  $C_c$  :

$$C_c = 0.85 f'_c a b$$

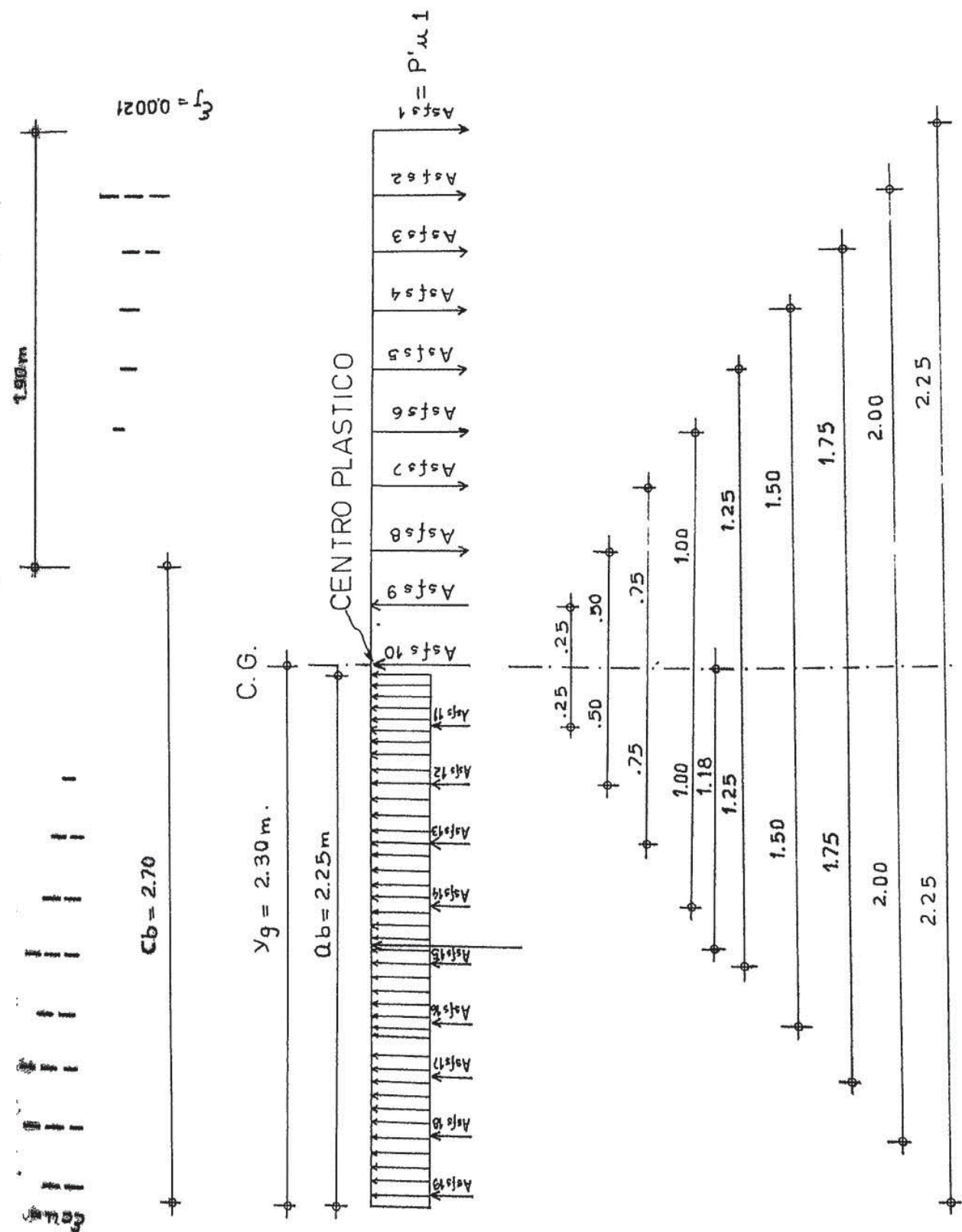
$$C_c = 0.85 \times 0.21 \text{ ton/cm}^2 \times 225 \times 20 = 803.25 \text{ ton.}$$

cule de la car a resistente Pu memento último resistente Mu

PLACA "4"



PUNTO DE FALLA BALANCEADA



$$\varepsilon_{si} = \varepsilon_{eu} \left(1 - \frac{y_i}{b}\right)$$

$$f_{si} = \varepsilon_{si} / E_s$$

$$P_{ui} = A_s f_{si}$$

$$P_u = \sum A_s f_{si} + c_c$$

$$M_u = \sum P_{ui} X_i + c_o X_i$$

tabulando tendremos que :

i	$y_i$ (mts.)	$\varepsilon_{si}$	$f_{si}$ $T \text{ cm}^2$	$P_{ui}$	$x_i$	$M_{ui}$
1	4.55	-0.0022	-4.62	-4.62 As	-2.25	+ 10.40 As
2	4.30	-0.0019	-3.99	-3.99 As	-2.00	+ 7.98 As
3	4.05	-0.0016	-3.36	-3.36 As	-1.75	+ 5.88 As
4	3.80	-0.0013	-2.73	-2.73 As	-1.50	+ 4.09 As
5	3.55	-0.0010	-2.10	-2.10 As	-1.25	+ 2.62 As
6	3.30	-0.0007	-1.47	-1.47 As	-1.00	+ 1.47 As
7	3.05	-0.0004	-0.84	-0.84 As	-0.75	+ 0.63 As
8	2.80	-0.0002	-0.42	-0.42 As	-0.50	+ 0.21 As
9	2.55	+0.0001	+0.21	+0.21 As	-0.25	- 0.05 As
0	2.30	+0.0004	+0.84	+0.84 As	0.00	0.00
1	2.05	+0.0007	+1.47	+1.47 As	+0.25	+ 0.37 As
2	1.80	+0.0010	+2.10	+2.10 As	+0.50	+ 1.05 As
3	1.55	+0.0012	+2.52	+2.52 As	+0.75	+ 1.89 As
4	1.30	+0.0015	+3.15	+3.15 As	+1.00	+ 3.15 As
5	1.05	+0.0018	+3.78	+3.78 As	+1.25	+ 4.72 As
6	0.80	+0.0021	+4.41	+4.41 As	+1.50	+ 6.61 As
7	0.55	+0.0024	+5.04	+5.04 As	+1.75	+ 8.82 As
8	0.30	+0.0027	+5.67	+5.67 As	+2.00	+ 11.34 As
9	0.05	+0.0029	+6.09	+6.09 As	+2.25	+ 13.70 As
			15.75 As			84.88 As

Para 2  $\phi 3/8"$  : As =  $1.42 \text{ cm}^2$ .

$$= \sum P_{ui} + Gc$$

$$= 15.75 \times 1.42 + 803.25 = 825.62 \text{ ton.}$$

$$\bar{M}_u = \sum M_{ui} + C_e X_i$$

$$\bar{M}_u = 84.88 \times 1.42 + 803.25 \times 1.18 = 1068.4$$

Punto A ( compresión concéntrica)

$$\bar{M} = 0 \quad (\text{por definición})$$

$$\bar{P}_e = 0.85 f'_e A_g + \sum A_s f_y .$$

$$\bar{P}_e = 0.85 \times 0.21 \times 9200 + 26.98 \times 4.2$$

$$\bar{P}_e = 1642.2 + 113.32 = 1755.5$$

Punto de falla por flexión pura

$$P_u = 0$$

asumimos  $e = 0.15 \text{ m}$  como posición del eje neutro.

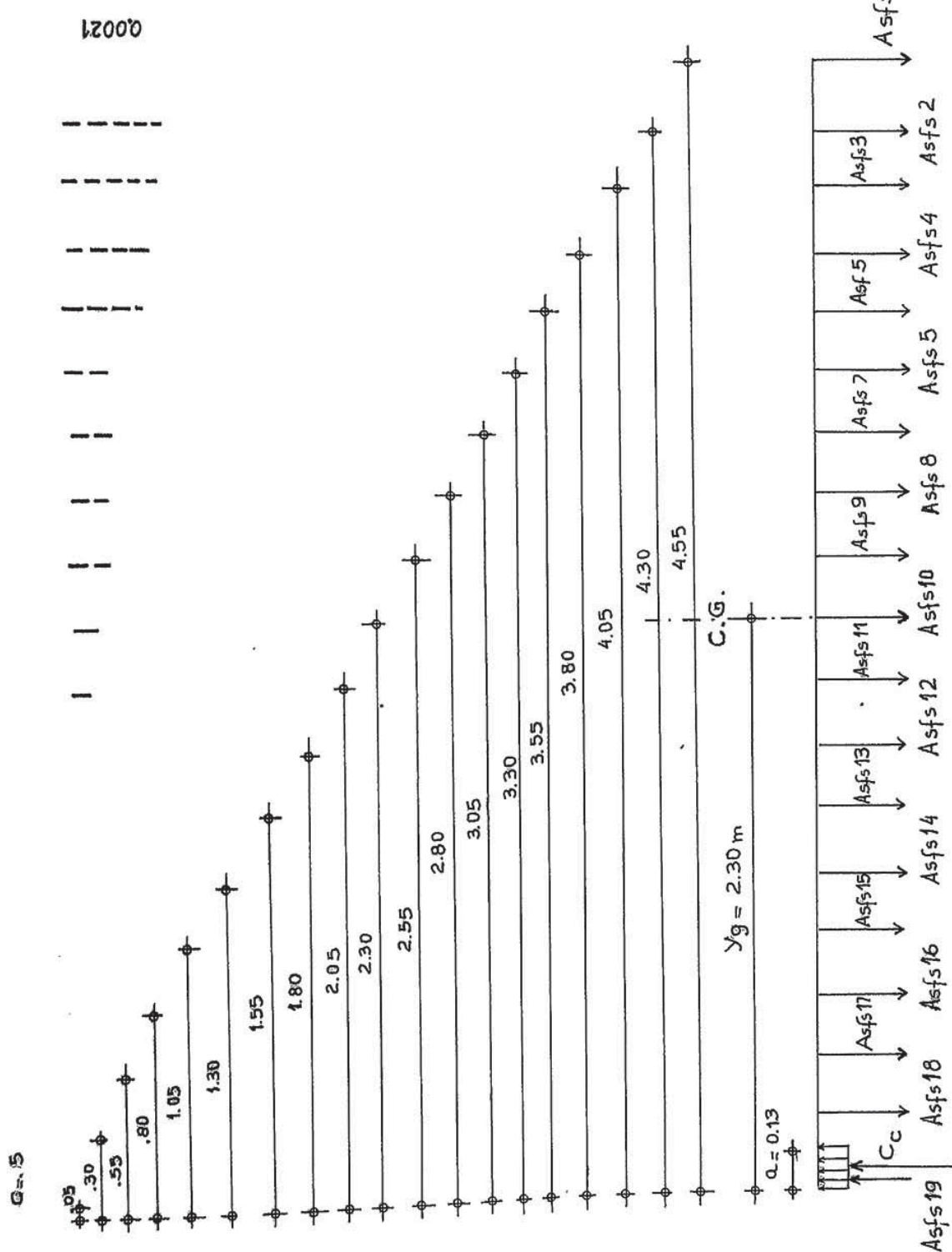
$$a = 0.85 e = 0.85 \times 0.15 = 0.13 \text{ m.}$$

Fuerzas en las varillas :

$$\varepsilon_{si} = 0.0021 \times \frac{yi-C}{4.55-C} ; \quad F_{si} = \varepsilon_{si} E_s A_s ; \quad E = 2.1 \times 10^6 \text{ kg/cm}^2 . \\ = 2100 \text{ tn/cm}^2$$

tabulando tendremos que :

PUNTO DE FALLA POR FLEXION PURA



	1	2	3	4	5	6	7	8	9
Yi	4.55	4.30	4.05	3.80	3.55	3.30	3.05	2.80	2.55
E si	.0021	.0020	.0019	.0017	.0016	.0015	.0014	.0013	.0011
Rs1	4.41 As	4.20 As	3.99 As	3.57 As	3.36 As	3.15 As	2.94 As	2.73 As	2.31 As
Fsi Yi	20.06 As	18.06 As	16.16 As	13.57 As	11.93 As	10.40 As	8.97 As	7.64 As	5.89 As

i	10	11	12	13	14	15	16	17	18
Yi	2.30	2.05	1.80	1.55	1.30	1.05	.80	.55	.30
ε si	.0010	.0009	.0008	.0007	.0005	.0004	.0003	.0002	.0001
Fsi	2.10 As	1.89 As	1.68 As	1.47 As	1.05 As	.84 As	.63 As	.42 As	.21 As
Fsi Yi	4.83 As	3.87 As	3.02 As	2.28 As	1.36 As	0.88 As	0.50 As	0.23 As	0.06 As

- Centro de gravedad de las barras traccionadas respecto a la fibra mas comprimida.

$$Y_{G.G.} = \frac{\sum F_{si} Y_i}{\sum F_{si}} = \frac{129.71 \text{ As}}{40.95 \text{ As}} = 3.16 \text{ m.}$$

$$- Val\bar{o} de F_s 19 : \quad \epsilon_s 19 = .0021 \left( \frac{.05 - .15}{4.55} \right) = -.000046$$

$$F_s 19 = -.000046 \times 2100 \times \text{As} = -.0.10 \text{ As}$$

- Comprobación del valor de "e" asumido :

$$\sum_{i=1}^{18} F_{si} = C_e + F_s \cdot 19$$

$$C_e = 0.85 f'_e \quad a \cdot b = 0.85 \times 0.21 \times 20 \times a = 3.57 a.$$

Reemplazando :

$$40.95 As = 3.57 a + 0.10 As$$

$$\frac{(40.95 - 0.10)}{3.57} \times 1.42 = a = 16 \text{ cm.}$$

$$a = 0.85 e \quad \Rightarrow \quad e = \frac{a}{0.85}$$

$$e = \frac{16 \text{ cm}}{0.85} = 18.8 \text{ cm} \cong 15 \text{ cm.} ; \underline{\text{bien!}}$$

El Memento Resistente será :

$$Mu = T (a - a/2) = 40.95 \times 1.42 (3.16 - \frac{0.16}{2}) = 179 \text{ ten-mts.}$$

Punto auxiliar de falla por tracción :

Tomamos un valor menor a Cb

$$e = 1.80 \text{ m.}$$

$$a = 0.85 \times 1.80 = 1.53 \text{ m.}$$

Fuerza de compresión Ce :

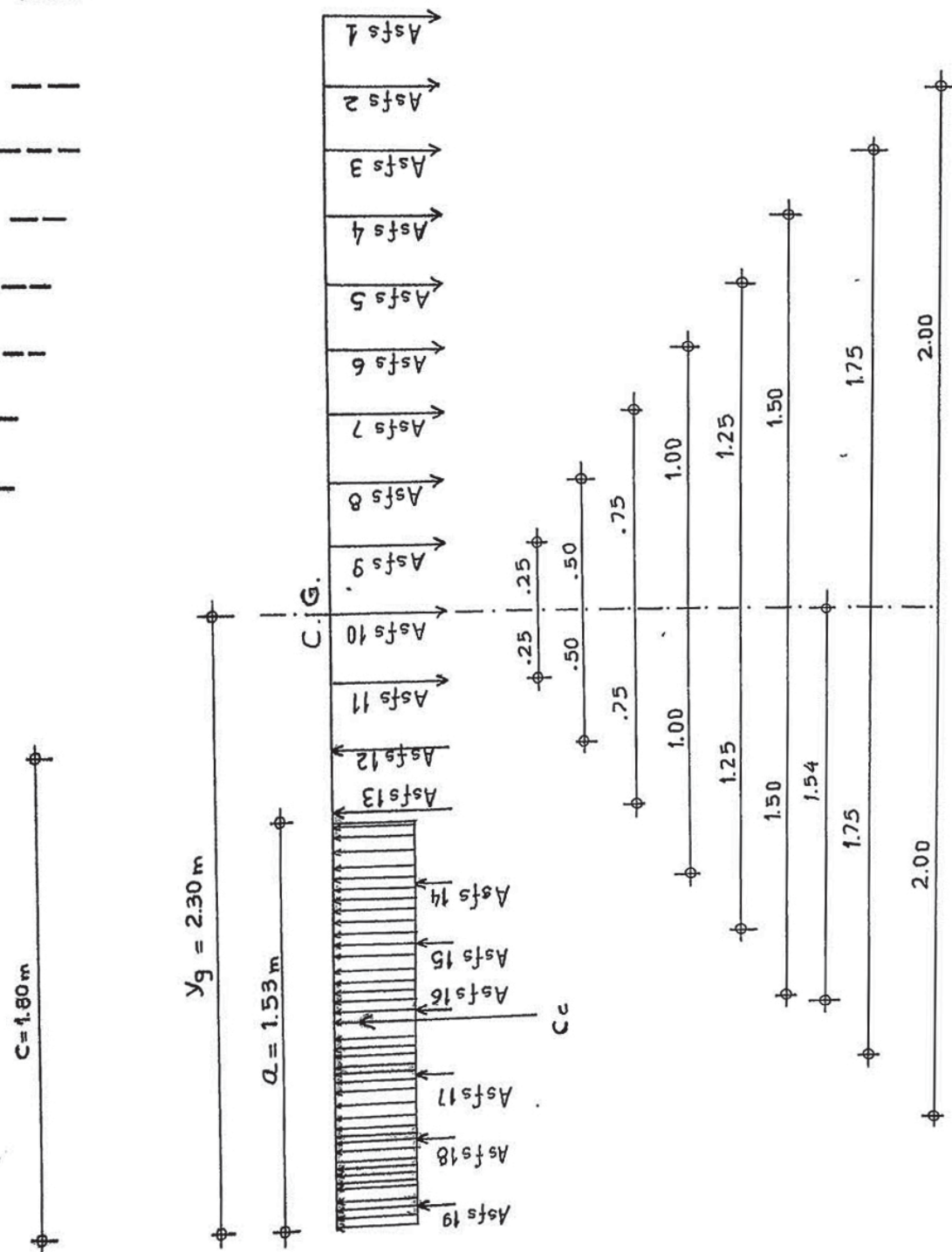
$$C_e = 0.85 \times 0.21 \times 153 \times 20 = 546.2 \text{ ten.}$$

deformación :

$$\varepsilon_{si} = .0021 \left( \frac{y_i - e}{4.55 - e} \right)$$

## PUNTO DE FALLA POR TRACCION

0.0021



Carga resistente y Momento Último.

i	y <sub>i</sub>	s <sub>i</sub>	f <sub>s<sub>i</sub></sub>	P <sub>ui</sub>	X <sub>i</sub>	M <sub>ui</sub>
1	4.55	.0021	4.41	4.41 As	- 2.25	- 9.92 As
2	4.30	.0019	3.99	3.99 As	- 2.00	- 7.98 As
3	4.05	.0017	3.57	3.57 As	- 1.75	- 6.25 As
4	3.80	.0015	3.15	3.15 As	- 1.50	- 4.73 As
5	3.55	.0013	2.73	2.73 As	- 1.25	- 3.41 As
6	3.30	.0011	2.31	2.31 As	- 1.00	- 2.31 As
7	3.05	.0009	1.89	1.89 As	- .75	- 1.42 As
8	2.80	.0008	1.68	1.68 As	- .50	- .84 As
9	2.55	.0006	1.26	1.26 As	- .25	- .32 As
10	2.30	.0004	.84	.84 As	0	0
11	2.05	.0002	.42	.42 As	+ .25	+ .11 As
12	1.80	0	0	0	+ .50	0
13	1.55	-.0002	-.42	-.42 As	+ .75	- .32 As
14	1.30	-.0004	-.84	-.84 As	+ 1.00	- .84 As
15	1.05	-.0006	-1.26	-1.26 As	+ 1.25	- 1.58 As
16	.80	-.0008	-1.68	-1.68 As	+ 1.50	- 2.52 As
17	.55	-.0010	-2.10	-2.10 As	+ 1.75	- 3.68 As
18	.30	-.0011	-2.31	-2.31 As	+ 2.00	- 4.62 As
19	.05	-.0013	-2.73	- 2.73 As	+ 2.25	- 6.14 As
$\Sigma$				14.91 As		-56.77 As

$$u = 14.91 \text{ As} + 546.2 = 14.91 \times 1.42 + 546.2$$

$$u = 567.4 \text{ ton.}$$

$$= - 56.77 \text{ As} + 546.2 \times 1.54$$

$$= 76.05 \text{ ton.}$$

Resumen : Mu en Iin y Pu en ton.

TIPOS DE FALLA	Esfuerzos	$\phi \frac{3}{8}''$	$\phi \frac{1}{2}''$	$\phi \frac{5}{8}''$
BALANCEADA	Mu	1068.4	1166.8	1287.4
	Pu	825.6	843.9	866.3
COMPRESSION PURA	Mu	0	0	0
	Pu	1755.5	1848.0	1961.4
FLEXION PURA	Mu	179.0	325.0	504.5
	Pu	0	0	0
PUNTO AUXILIAR DE FALLA POR TRACCION	Mu	760.5	694.7	614.0
	Pu	567.4	584.7	605.8

SELECCION DE LA ARMADURA :

Entrando a las curvas de intersección con los momentos y cargas últimas actuantes y uniformizando resultados, obtenemos :

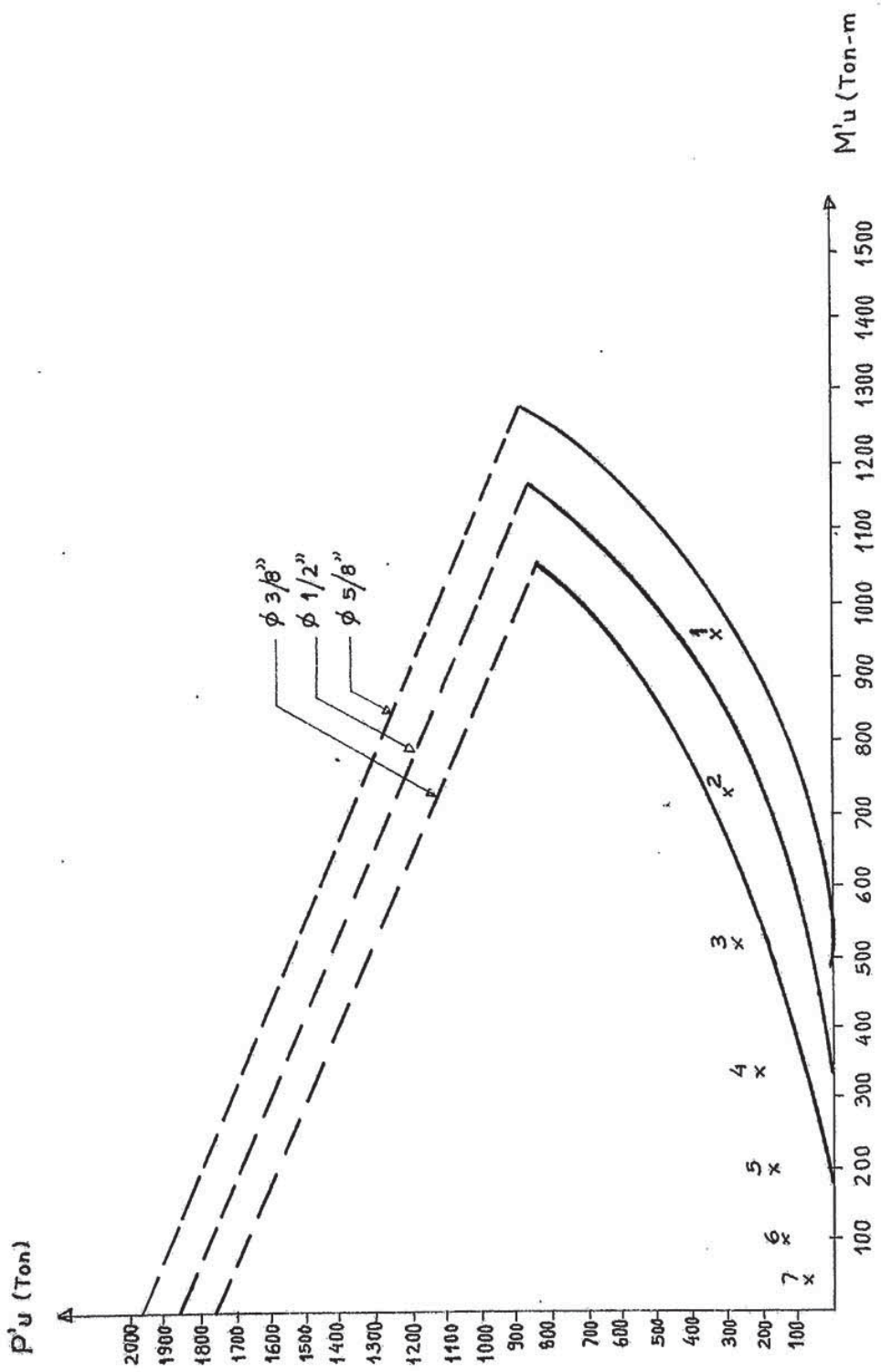
$\phi \frac{5}{8}''$  : 1º y 2º pisos

$\phi \frac{1}{2}''$  : 3º y 4º pisos

$\phi \frac{3}{8}''$  : En los pisos restantes.

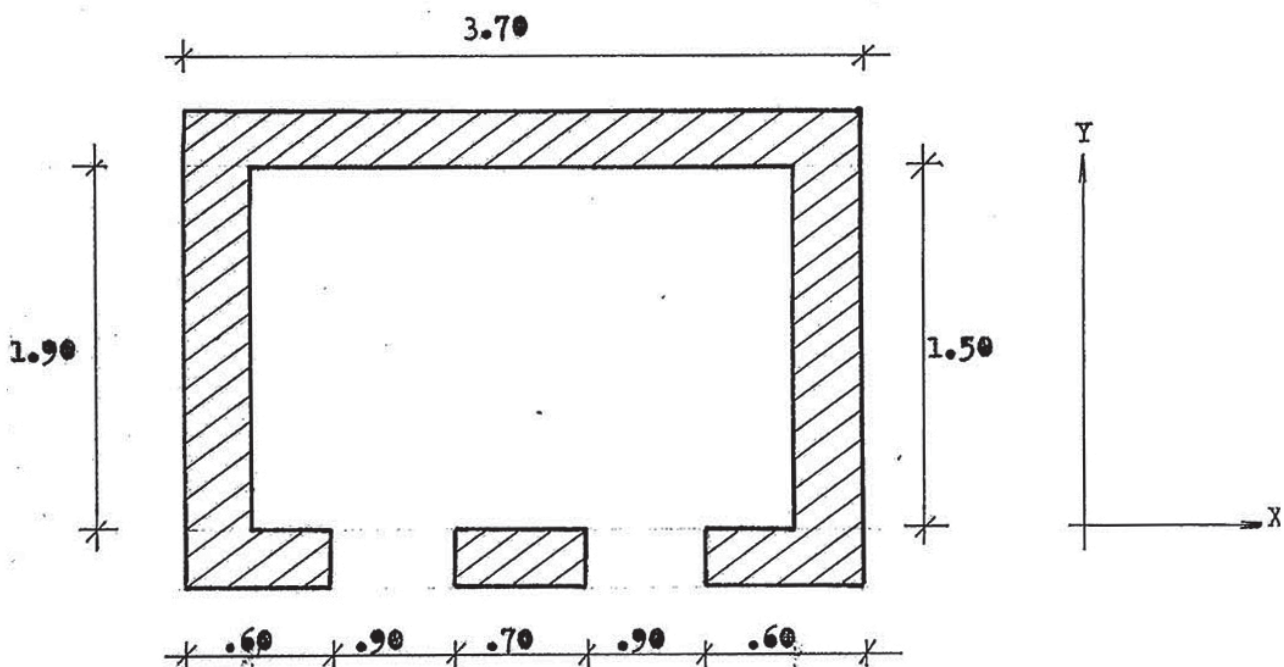
## CURVAS DE INTERACCION (PLACA A)

- 360 -



### 9.30 DISEÑO DE LA CAJA DE ASCENSORES

En el diseño de la caja de ascensores tendremos en cuenta las mismas hipótesis hechas en el análisis sísmico, es decir que la caja forma un todo rígido y se comporta como una columna hueca, éste por facilidad para buscar el modelo matemático; la armadura que hallaremos la usaremos para la placa "5" por continuidad estando en el lado conservador ya que los momentos mayores se producen en el sentido secundario.



Área de la sección :

$$A_g = (370 \times 20) + 2(150 \times 20) + 2(60 \times 20) + (70 \times 20)$$

$$A_g = 7400 + 6000 + 2400 + 1400 = 17,200 \text{ cm}^2$$

$$A_g = 17,200 \text{ cm}^2$$

COEFICIENTE DE REDUCCION DE SOBRECARGA (f)

NIVEL	A <sub>t</sub> (m <sup>2</sup> )	A <sub>ta</sub> (m <sup>2</sup> )	R <sub>1</sub> (%)	D	L	R <sub>2</sub> %	R %	f
elementos sobre azotea	21.91	21.91	-----	-----	-----	-----	-----	1.0
7°	21.91	43.82	35.01	550	250	60	35	
6°	21.91	65.73	52.58	550	250	60	53	
5°	21.91	87.64	70.11	550	250	60	60	
4°	21.91	109.55	87.64	550	250	60	60	
3°	21.91	131.46	105.17	550	250	60	60	
2°	21.91	153.37	122.70	550	250	60	60	
1°	21.91	175.28	140	550	250	60	60	

METRADO DE CARGAS

- peso de elementos sobre azotea :

Cargas muertas :

- cajeta de máquinas :

paredes laterales : 9.60 x .20 x 2.40 x 2400 = 11.06 ton.

techo : 4.42 ton.

piso : 4.42 ton.

- tanque elevado :

paredes laterales : 0.5 x 15.80 x 2.40 x 0.20 x 2400 = 9.10 ton.

tapa : 0.5 x 5.40 x 2.90 x 0.15 x 2400 = 2.82 ton.

fondo : 0.5 x 5.40 x 2.90 x 0.20 x 2400 = 3.76 ton.

total C. M. = 35.58 ton.

Cargas vivas :

Casetas de máquinas :  $2.95 \times 3.30 \times 500$  = 4.87 ton.

Tanque de agua:  $0.5 \times 2.50 \times 5.0 \times 1.80 \times 1000$  = 11.25 ton.

TOTAL C.V. = 16.12 ton.

NIVEL 7°

Cargas muertas

Lesa aligerada :  $21.91 (350 + 100)$  = 9.86 ton.

Peso escaleras : 6200 kg. = 6.20 ton.

Paredes laterales caja ascensores =  $0.20 \times 2.30 \times 9.60 \times 2400$  = 10.60 ton.

Total C.M. = 26.67 ton.

Cargas vivas :

Lesa aligerada - - - - -  $21.91 \times 150$  = 3.28 ton.

= 1.60 ton.

4.88 ton.

NIVEL 6°, 5°, 4°, 3°, 2°, 1°

Carga muerta - - - - - 26.67 ton..

Carga viva total - - - - - 7.08 ton.

CARGA AXIAL ACTUANTE

NIVEL	C.M. (asum.)	1.5 C.M.	C.V. (acum.)	f	C.V. (reduc.)	1.8 C.V (reduc.)	P.servicio (Ton.)	Pu (ton)
elementos sobre azotea	35.58	53.37	16.12	1.00	16.12	29.02	51.70	82.39
7°	62.25	93.38	21.00	1.00	21.00	37.80	83.25	131.18
6°	88.92	133.38	28.08	0.65	18.25	32.85	107.17	166.23
5°	115.59	173.39	35.16	0.47	16.52	29.74	132.11	203.13
4°	142.26	213.39	42.24	0.40	16.90	30.42	159.16	243.81
3°	168.93	253.40	49.32	0.40	19.73	35.51	188.66	288.91
2°	195.60	293.40	56.40	0.40	22.56	40.61	218.16	334.01
1°	222.27	333.40	63.48	0.40	25.39	45.70	247.66	379.10

Memento actuante ultimo.

$M_u = 1.25 M.$  ( por sismo).

NIVEL	V (ton.)	h (mts.)	V x h	M (t-m)	Pu (ton)	Mu Ton-m.
7°	14.33	2.80	40.12	40.12	83.25	50.15
6°	42.83	2.80	119.92	153.04	107.97	191.30
5°	62.97	2.80	176.32	329.36	132.11	411.70
4°	98.76	2.80	276.53	605.89	159.16	757.36
3°	125.91	2.80	352.55	958.44	188.66	1198.05
2°	142.79	2.80	399.81	1086.6	218.16	1358.25
1°	140.89	280	394.49	1226.8	247.66	1533.65

Diseño por compresión

Capacidad de carga :

$$A_g = 350 \times 20 + 2 \times 60 \times 20 + 70 \times 20$$

$$A_g = 7000 + 2400 + 1400 = 10,800 \text{ cm}^2$$

$$P_u = 0.55 \phi f'_e A_g \left[ 1 - \left( \frac{L_e}{40 h} \right)^2 \right]$$

$$\phi = 0.7$$

$$f'_e = 0.21 \text{ ton/cm}^2.$$

$$A_g = 10,800 \text{ cm}^2.$$

$$L_e = 2.80$$

$$h = 20 \text{ cm.}$$

$$P_u = 0.55 \times 0.7 \times 0.21 \times 10,800 \left[ 1 - \left( \frac{280}{40 \times 20} \right)^2 \right]$$

$$P_u = 873.18 (0.875) = 766.22 \text{ ton.}$$

$$P_u = 766.22 \text{ ton} > 247.6 \text{ ton} ; \underline{\text{bien!}}$$

armadura mínima

Refuerzo horizontal :

$$A_{sh} = 0.0025 \times 100 \times 20 = 5 \text{ cm}^2$$

Usamos varillas de  $\phi 3/8"$  distribuidas en 2 capas.

$$\phi 3/8" @ \frac{2 \times 71 \times 100}{50} = 28.4 \text{ cm.}$$

Usar  $\phi 3/8"$  @ 25 cm.

Refuerzo vertical

$$A_{sv} = 0.0025 \times 100 \times 20 = 5.0 \text{ cm}^2$$

Use  $\phi 3/8"$  @ .25.

DISEÑO POR FLEJO COMPRESSION

$$e = \frac{M_u}{P_u} = \frac{1533.65}{247.66} = 6.19$$

$$\frac{D}{6} = \frac{3.70}{6} = .62$$

$e > \frac{D}{6} \implies$  la excentricidad está fuera del tercio medio.

DISEÑO POR FLEXION

El diseño se hará en base de curvas de interacción, entre cargas y momentos fijos, para una cuantía de 84  $\phi 3/8"$  (Ver diagrama).

Punto de falla balanceada (punto b)

- Deformaciones máximas :

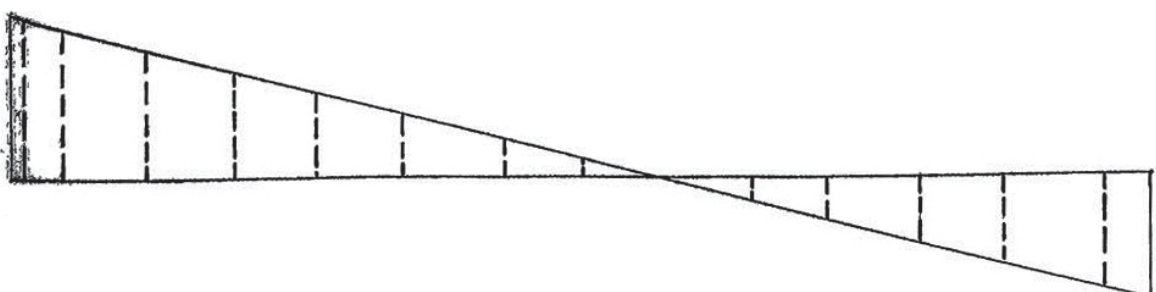
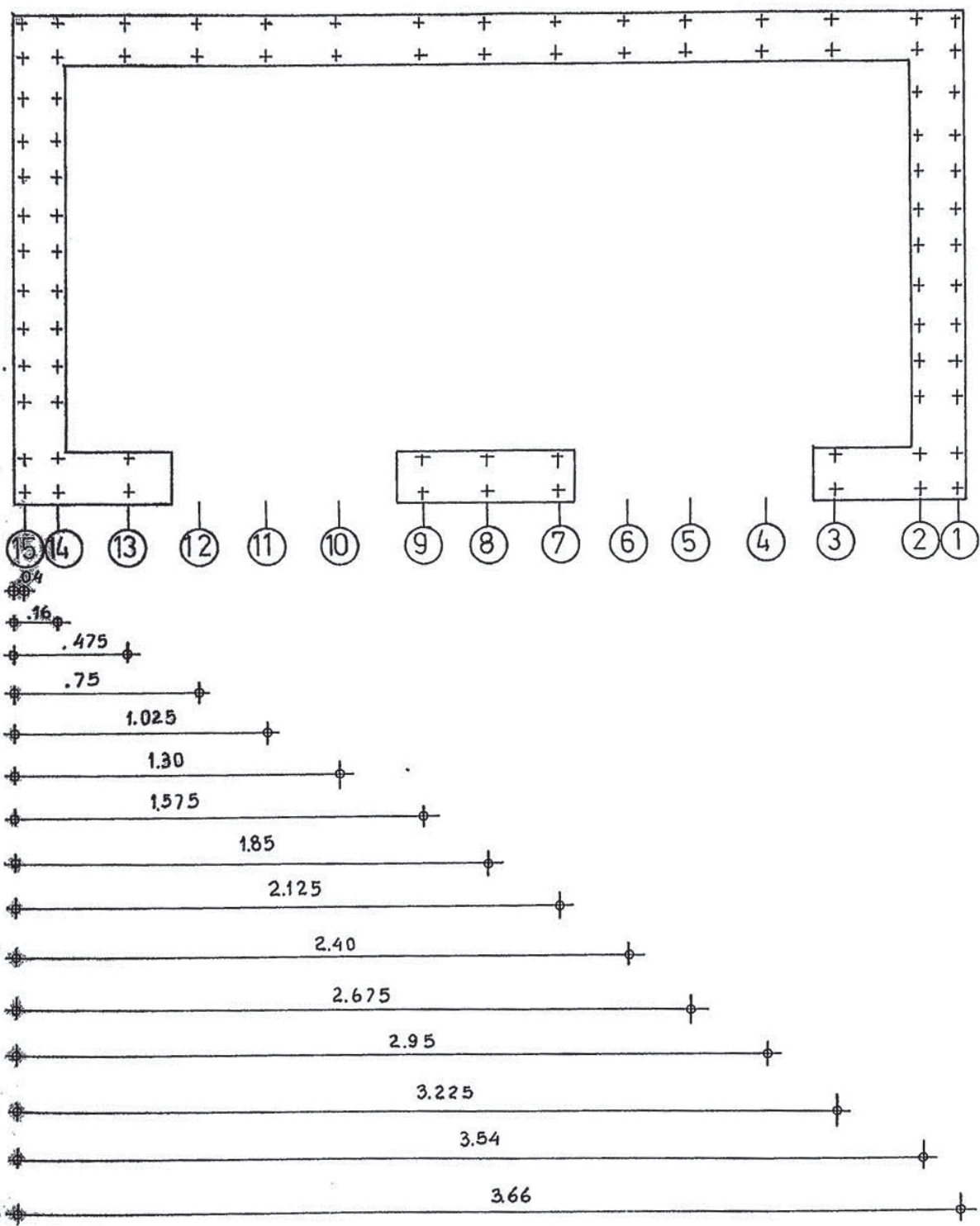
Concrete :  $\varepsilon_{eu} = 0.003$

Acero :  $\varepsilon_y = .0021$

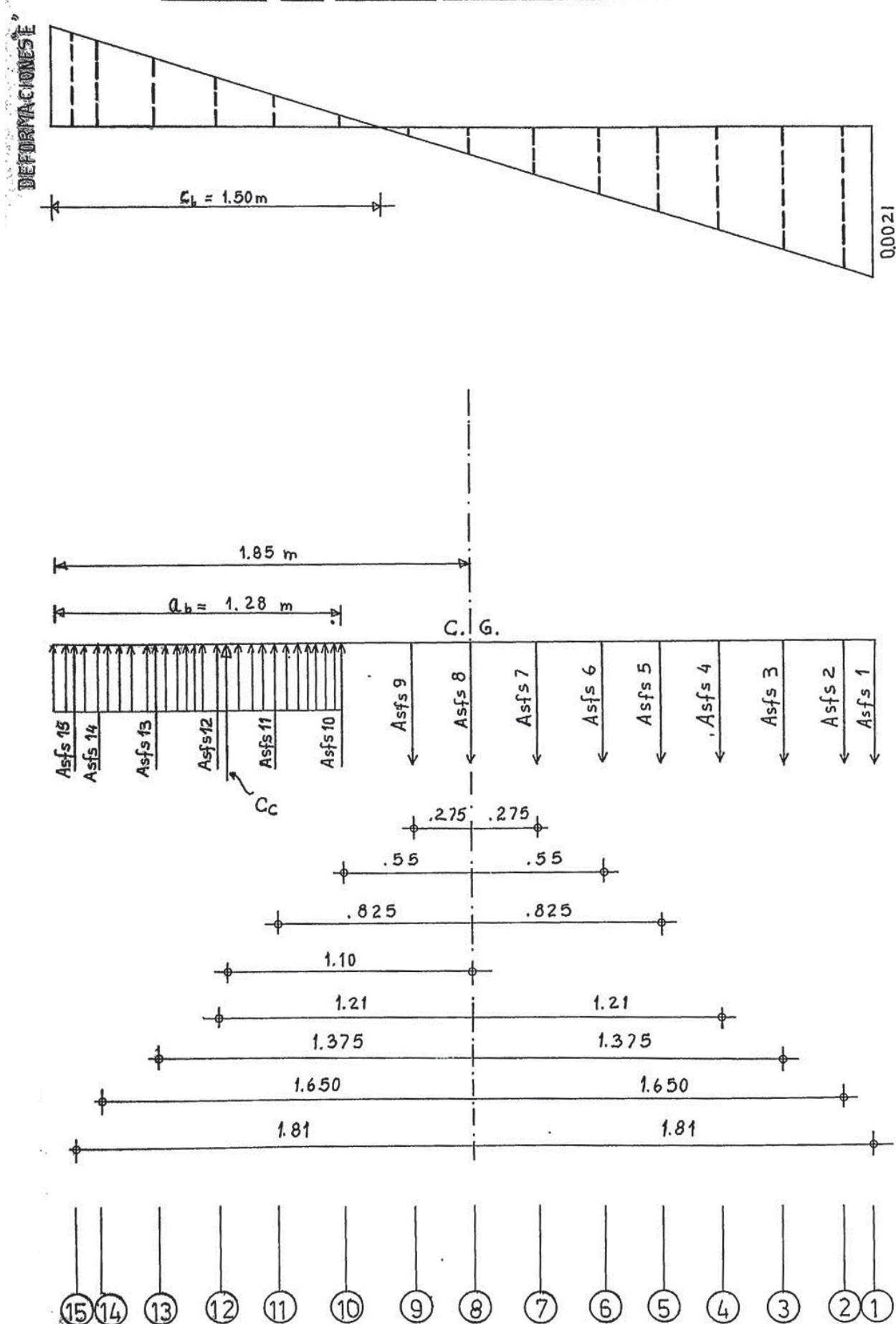
$$C_b = \frac{\varepsilon_{eu}}{\varepsilon_{eu} + \varepsilon_y} \times 3.62$$

$$C_b = 2.13 \text{ mts}$$

CAJA DE ASCENSORES



PUNTO DE FALLA BALANCEADA



altura del bloque de Whitney : a

$$a = 0.85 C_b = 0.85 \times 2.13 = 1.81$$

### Fuerza de Compresión C<sub>e</sub>

$$C_e = 0.85 f'_e a b = 0.85 \times 0.21 \times 181 \times 20 = 646 \text{ ton.}$$

### Carga resistente P<sub>u</sub>, y Momento último P<sub>u</sub>

i	y <sub>i</sub> (m.)	$\varepsilon_{si}$	$f_{si} (\text{t/cm}^2)$	P <sub>ui</sub>	X <sub>i</sub>	M <sub>ui</sub>
1	3.66	.0022	- 4.62	- 30.03 As	- 1.81	+54.35 As
2	3.54	.0020	- 4.20	- 27.30 As	- 1.69	+46.14 As
3	3.225	.0015	- 3.15	- 6.30 As	- 1.375	+ 8.66 As
4	2.95	.0011	- 2.13	- 2.13 As	- 1.100	+ 2.34 As
5	2.675	.0007	- 1.47	- 1.47 As	- .825	+ 1.21 As
6	2.40	.0004	- .84	- .84 As	- .55	+ 0.46 As
7	2.125	-.00001	+ .021	+ .042 As	- .275	- 0.01 As
8	1.85	-.0004	+ .84	+ 1.68 As	0.00	0.00
9	1.575	-.0008	+ 1.68	+ 3.36 As	+ .275	+ 0.92 As
10	1.30	-.0011	+ 2.31	+ 2.31 As	+ .55	+ 1.27 As
11	1.025	-.0014	+ 2.94	+ 2.94 As	+ .825	+ 2.43 As
12	.750	-.0019	+ 3.99	+ 3.99 As	+1.10	+ 4.39 As
13	.475	-.0023	+ 4.83	+ 9.66 As	+1.375	+13.28 As
14	.160	-.0027	+ 5.67	+36.85 As	+1.69	+62.27 As
15	.040	-.0029	+ 6.09	+39.58 As	+1.81	+71.64 As
$\Sigma$				32.34 As		269.36 As

para 2  $\phi 5/8"$ ,  $A_s = 4.0 \text{ cm}^2$

$$\bar{P}_u = 32.34 \times 4 + 646 = 775.36 \text{ ton.}$$

$$\bar{M}_u = 269.36 \times 4 + 646 \times .945 = 1687.9 \text{ ton-m.}$$

Punto A ( compresión concéntrica )

$\bar{M} = 0$  ( por definición).

$$\bar{P}_e = 0.85 f'_e A_g + \sum A_s f_y$$

$$P_e = 0.85 \times 0.21 \times 10800 + 84 \times 2 \times 4.2 = 2633.40$$

Punto de falla por flexión pura ( como viga ).

Corresponde a  $P_u = 0$

posición del eje neutro :

asumimos :  $e = 0.95 \text{ m.}$

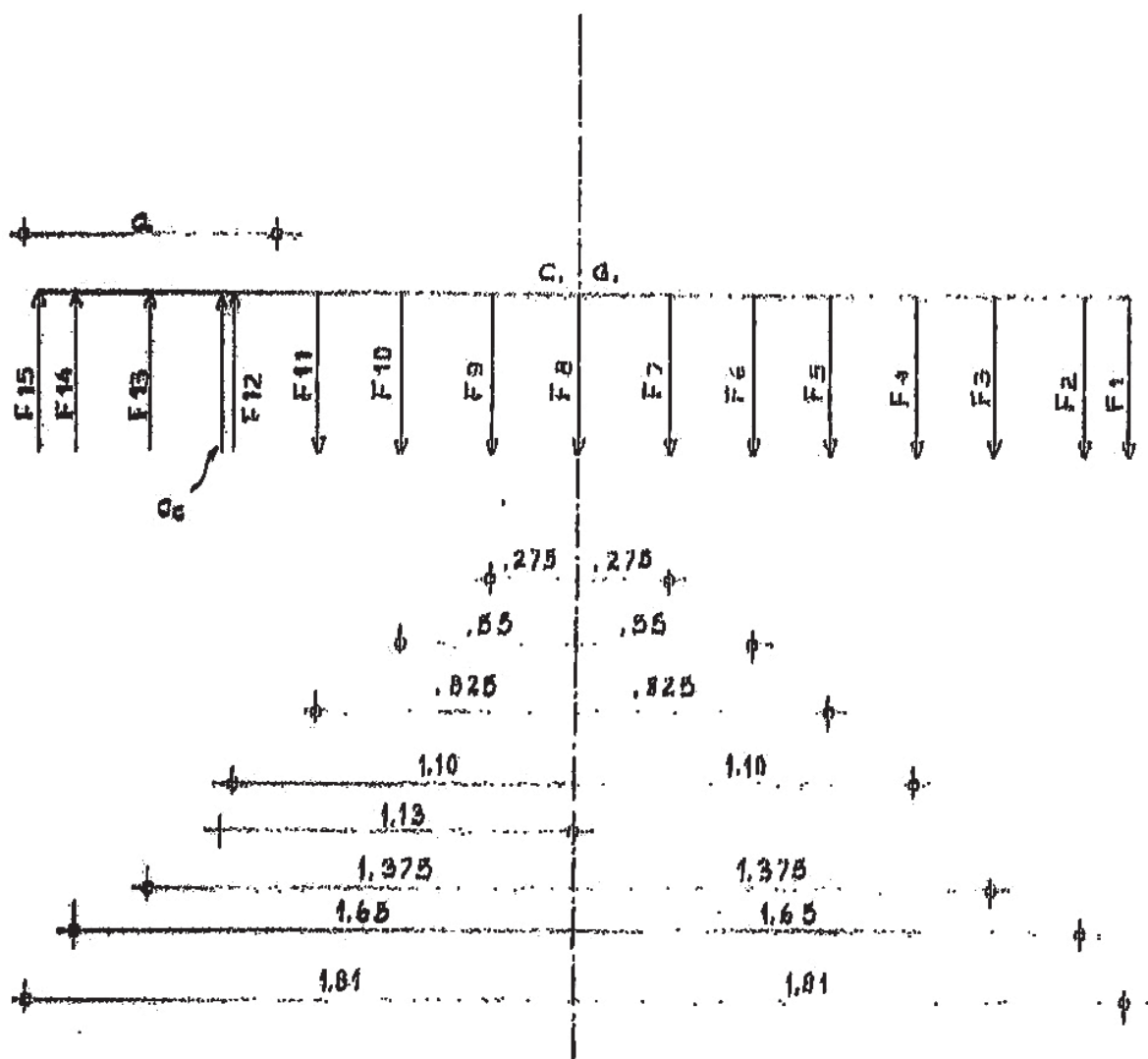
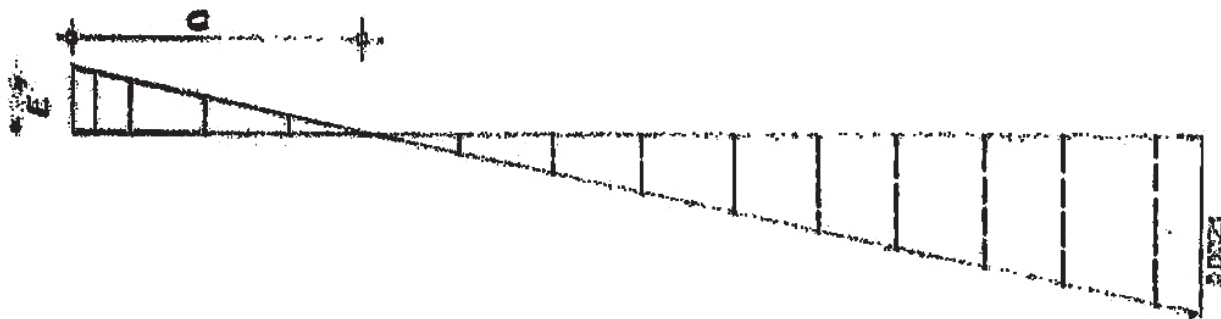
$$a = 0.85 \times 0.95 = 0.80$$

- Fuerzas en las varillas.

$$\varepsilon_{si} = .0021 \cdot \frac{(y_i - e)}{(3.66 - e)} ; F_{si} = \varepsilon_{si} E_s A_s$$

$$E = 2.1 \times 10^6 \text{ kg/cm}^2 = 2100 \text{ ton/cm}^2.$$

PUNTO DE FALLA POR FLEXION



i	1	2	3	4	5	6	7	8	9	10	11
y <sub>i</sub>	3.66	3.54	3.225	2.95	2.675	2.400	2.125	1.85	1.575	1.30	1.025
$\epsilon_{si}$	.0021	.0020	.0018	.0015	.0013	.0011	.0009	.0007	.0005	.0003	.00006
F <sub>si</sub>	28.67 As	27.30 As	7.56 As	3.15 As	2.73 As	2.31 As	3.78 As	2.94 As	2.10 As	.63 As	.126 As
F <sub>si</sub> y <sub>i</sub>	104.93 As	96.64 As	24.38 As	9.29 As	7.30 As	5.54 As	8.03 As	5.44 As	3.31 As	.82 As	.13 As

- Centro de gravedad de las barras traccionadas respecto a la fibra mas comprimida.

$$Y_{e.g.} = \frac{\sum F_{si} y_i}{\sum F_{si}} = \frac{265.81 \text{ As}}{81.29 \text{ As}} = 3.26 \text{ m.}$$

Valer de s 12, s 13, s 14, s 15.

$$\epsilon_{s 12} = 0.0021 \left( \frac{0.04 - 0.95}{2.71} \right) = 0.0007$$

$$\epsilon_{s 13} = 0.0021 \left( \frac{0.16 - 0.95}{2.71} \right) = 0.0006$$

$$\epsilon_{s 14} = 0.0021 \left( \frac{0.475 - 0.95}{2.71} \right) = 0.0004$$

$$\epsilon_{s15} = .0021 \quad \frac{0.75 - 0.95}{2.71} = .0002.$$

Las fuerzas que corresponden a éstas deformaciones serán :

$$F_{s12} = 0.007 \times 2100 \times A_s = 1.47 A_s.$$

$$F_{s13} = 1.26 A_s.$$

$$F_{s14} = 0.84 A_s.$$

$$F_{s15} = 0.42 A_s.$$

Luego :

$$\sum_{i=1}^n F_{si} = C_e + \sum_{i=12}^{i=15} F_{si}$$

$$81.29 A_s = 3.57 a + (1.47 + 1.26 + 0.84 + 0.42) A_s.$$

$$a = \frac{(81.29 - 3.99)}{3.57} = 86 \text{ cm.}$$

$$a = 86 \text{ cm.} \approx 80 \text{ cm. } ; \underline{\text{bien!}}$$

Tomamos como valer de  $a = .86 \text{ m.}$

Memento resistente

$$M_u = T (d - a/2) = 81.29 \times 4 (3.26 - \frac{86}{2}) = 920 \text{ ton-mt.}$$

PUNTO AUXILIAR DE FALLA POR TRACCION

Asumimos en valer de  $C < C_b$

Sea  $\epsilon = 1.50 < C_b = 2.13 \text{ mts.}$

$$a = 0.85 \epsilon = 0.85 (1.50) = 1.275$$

- Fuerza de Compresión  $C_e$ .

$$C_e = 0.85 \times 0.21 \times 1.28 \times 20 = 457.0 \text{ ton.}$$

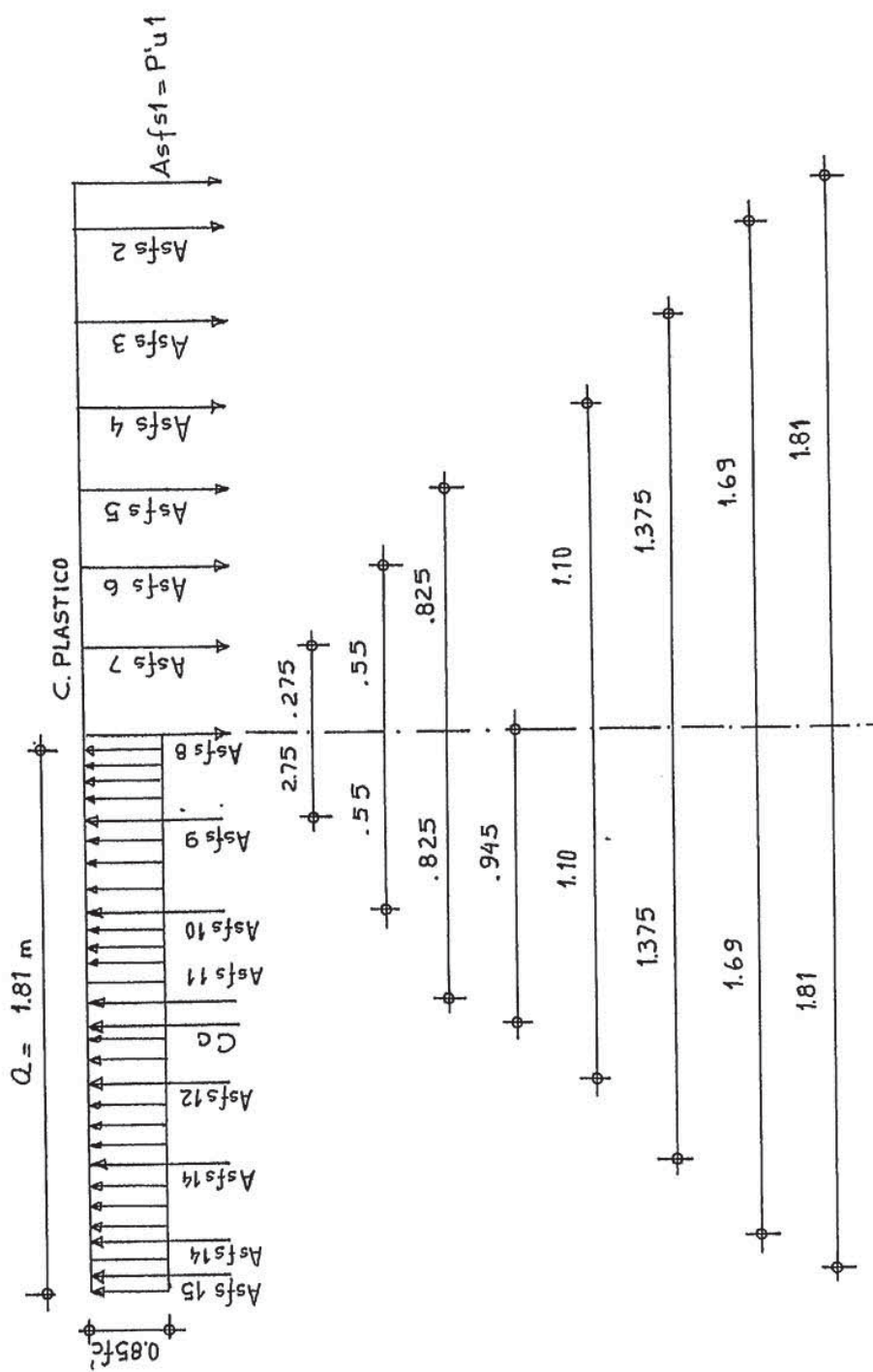
- deformación

$$\epsilon_{si} = 0.0021 \left( \frac{y_i - \epsilon}{2.16} \right)$$

$$\epsilon_{si} = 0.0021 \left( \frac{y_i - 1.50}{2.16} \right)$$

PUNTO DE FALLA POR TRACCION

$$y_g = 1.85 \text{ m}$$



Carga Resistente y Momento Último.

i	y <sub>i</sub>	$\xi_{si}$	f <sub>si</sub>	P <sub>ui</sub>	X <sub>i</sub>	M <sub>ui</sub>
1	3.66	-.0021	-28.665	-28.665 As	-1.81	+51.88 As
2	3.54	-.0020	-27.30	-27.30 As	-1.65	+45.04 As
3	3.225	-.0017	- 7.14	- 7.14 As	-1.375	+ 9.82 As
4	2.95	-.0014	- 2.94	- 2.94 As	-1.100	+ 3.23 As
5	2.675	-.0011	- 2.31	- 2.31 As	- .825	+ 1.91 As
6	2.400	-.0009	- 1.89	- 1.89 As	- .550	+ 1.04 As
7	2.125	-.0006	- 2.52	- 2.52 As	- .275	+ 0.69 As
8	1.85	-.0003	- 1.26	- 1.26 As	0.00	0.00
9	1.575	-.00007	- .294	- .294 As	+ .275	- 0.08 As
10	1.30	+.00019	+ .399	+ .399 As	+ .55	+ .22 As
11	1.025	+.0005	+1.05	+1.050 As	+ .825	+ 0.87 As
12	.75	+.0007	+1.47	+1.47 As	+1.10	+ 1.62 As
13	.475	+.0010	+4.20	+4.20 As	+1.375	+ 5.77 As
14	.16	+.0013	+17.74	+17.74 As	+1.65	+29.27 As
15	.04	+.0014	+19.11	+19.11 As	+1.81	+34.58 As
$\Sigma$				-30.35 As		+186.03 As

$$P_u = - 30.35 \text{ As} + 457 = - 30.35 \times 4 + 457$$

$$P_u = 121.40 + 457 = 335.6 \text{ ton.}$$

$$M_u = + 186.03 \text{ As} + 457 \times 1.21$$

$$M_u = 1297.09 \text{ ton - mts.}$$

Resumen : Mu en T-m y Pu en ton.

TIPO DE FALLA	ESFUERZOS	$\phi \frac{3}{8}''$	$\phi \frac{1}{2}''$	$\phi \frac{5}{8}''$	$\phi \frac{3}{4}''$
BALANCEADA	Mu	992.9	1305.4	1687.9	2140
	Pu	691.9	729.4	775.4	829.69
COMPRESION PURA	Mu	0	0	0	0
	Pu	2324.5	2467	2633.4	2929.75
FLEXION PURA	Mu	326.7	593.5	920	1306.7
	Pu	0	0	0	0
PUNTO AUXILIAR DE FALLA POR TRACCION	Mu	817.30	1032.9	1297.0	1609.6
	Pu	413.9	378.7	335.6	284.6

SELECCION DE LA ARMADURA :

Entrando a las curvas de intersección en los momentos y cargas últimas, vemos que se requiere :

$\phi \frac{3}{4}''$  : 1º piso

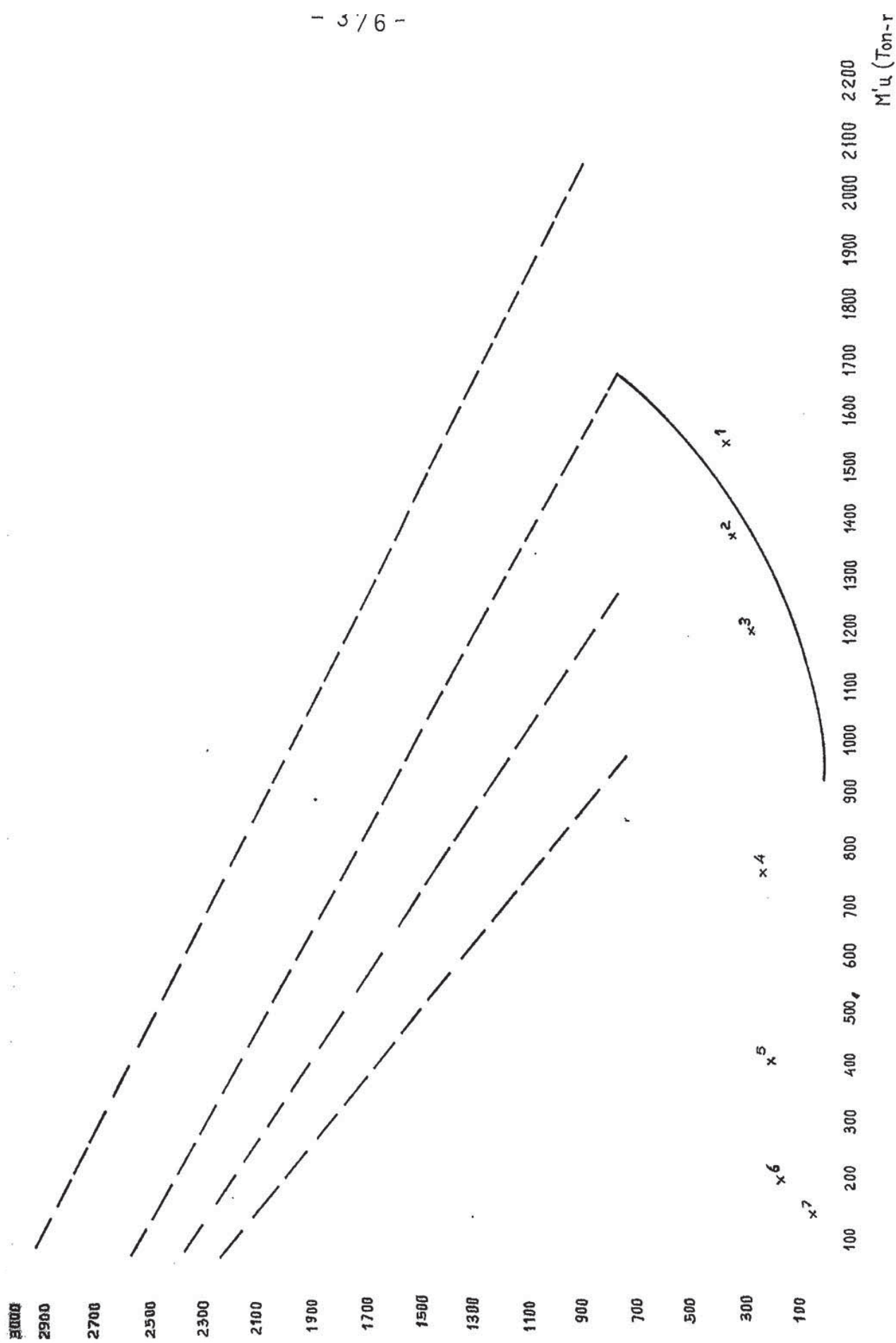
$\phi \frac{5}{8}''$  : 2º y 3º piso

$\phi \frac{1}{2}''$  : 4º y 5º piso

$\phi \frac{3}{8}''$  : En los pisos restantes.

Verificación por corte :

$$\frac{v_u}{v_e} = \frac{V_a}{\phi h d} = \frac{1.25 \times 140,890}{0.85 \times 20 \times 6.8 \times 2 \times 370} = 17.49 \text{ kg/cm}^2 \leq v_e = 17.22 \text{ kg/cm}^2 \text{ ¡bien!}$$



CAPITULO X : DISEÑO DE ESTRUCTURAS COMPLEMENTARIAS

## CAPITULO X

### 10.00 DISEÑO DE ESTRUCTURAS COMPLEMENTARIAS

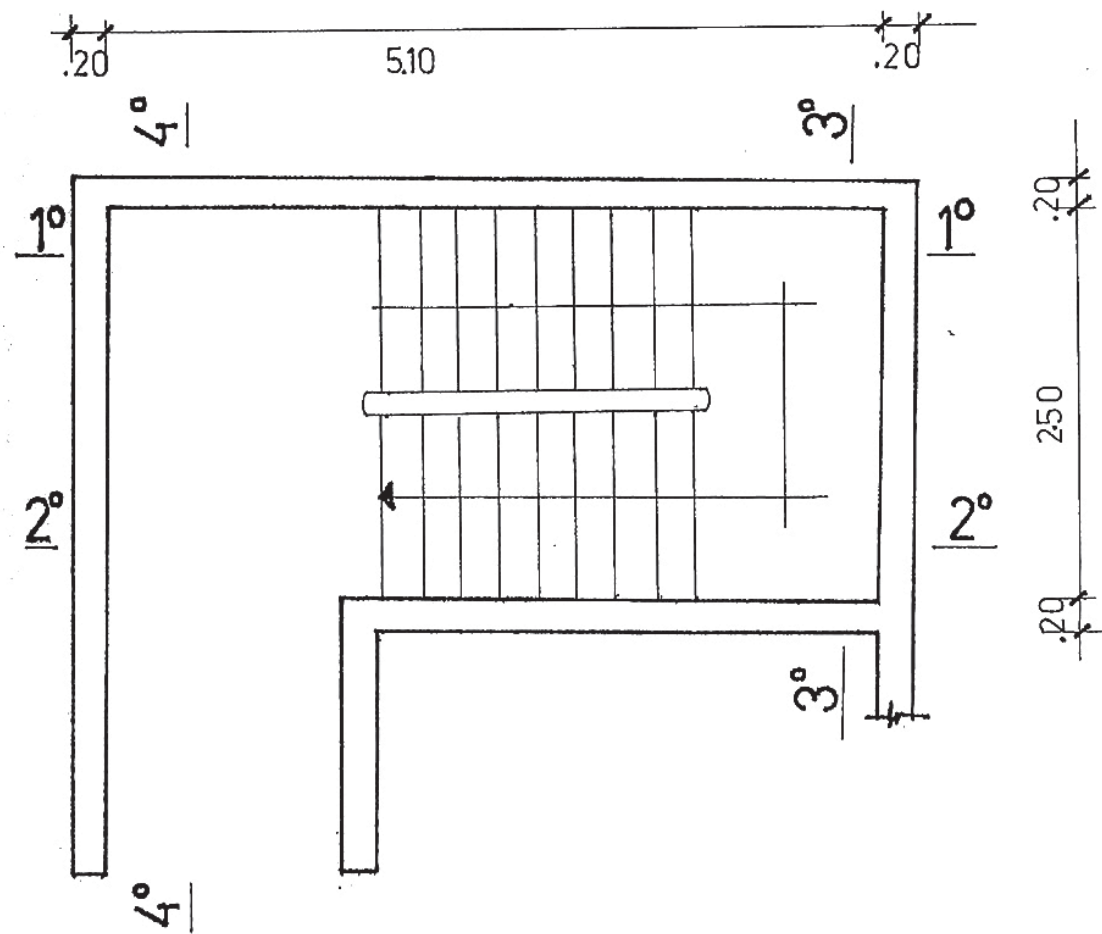
#### 10.10 GENERALIDADES:

Dentro de las estructuras complementarias a diseñar tenemos:

las escaleras, el tanque elevado y el tanque cisterna.

Concrete a emplear:  $f'_c = 210 \text{ kg/cm}^2$ .

Acero :  $f_y = 4200 \text{ kg/cm}^2$ .



#### 10.20 DISEÑO DE ESCALERAS

Haremos el diseño de la escalera principal tipo 1, ubicada en la zona de ascensores que va desde el 1º Nivel hasta el 7º Nivel.

#### 10.21 DIMENSIONAMIENTO

- a) pasos: 25 cm.
- b) contrapases: 17.5 cm.
- c) Espesor de la lesa (h).

La escalera se diseñará por tramos en un solo sentido.

Para lesa armada en un sentido:  $h = \frac{L}{24}$

1º y 2º tramos:

$$h = \frac{5.10}{24} = 0.21 \text{ m.}$$

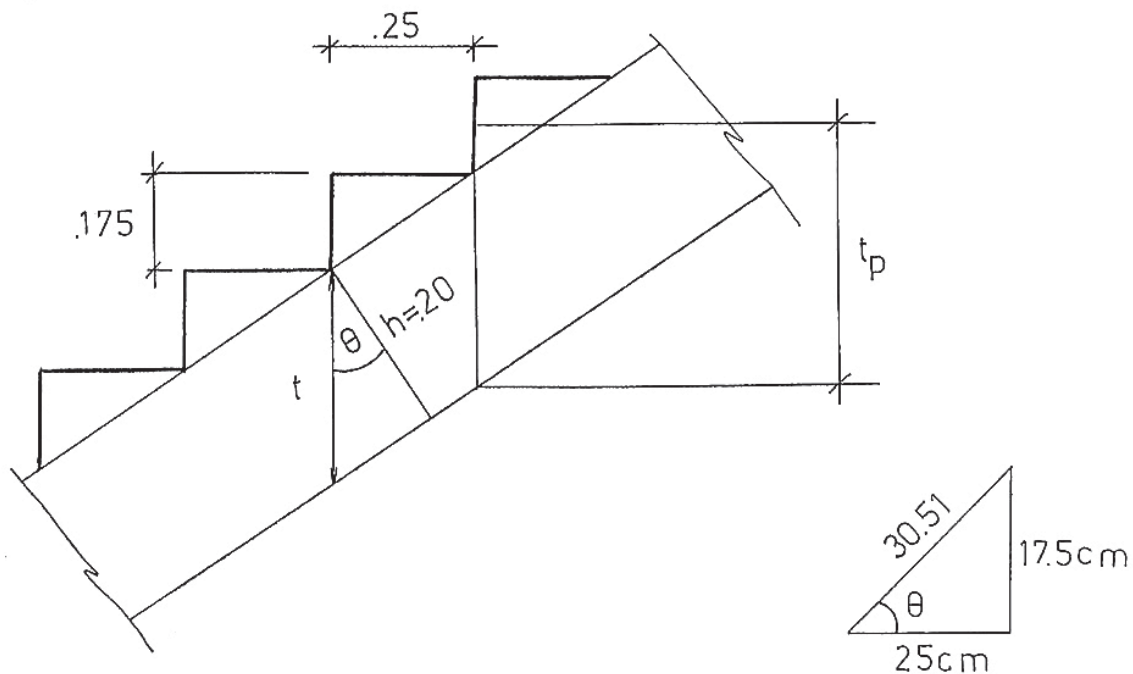
3º tramo: (descanso)

$$\frac{2.50}{24} = 0.10 \text{ m.}$$

4º tramo:

$$h = \frac{4.20}{24} = 0.175 \text{ m. (descanso)}$$

Aceptaremos:  $h = 0.20 \text{ m.}$  como espesor de la lesa en todos los tramos.



$$t_p = t + \frac{e.p.}{2} = h \sec 0 + \frac{e.p.}{2}$$

$$t_p = 0.20 \times \frac{0.3051}{0.25} + \frac{.175}{2}$$

$$t_p = 0.244 + 0.087 = 0.331 \text{ mts.}$$

$$t_p = 33.10 \text{ em.}$$

#### 10.22 Metrada de cargas:

tramos 1º y 2º

- Carga muerta:

$$\begin{aligned} \text{peso propio} &= 0.331 \times 2400 = 794.4 \text{ kg/m}^2 \\ \text{piso terminado} &= \frac{100 \text{ kg/m}^2}{894.4 \text{ kg/m}^2} \end{aligned}$$

$$\text{Carga viva: } s/\epsilon = 500 \text{ kg/m}^2.$$

- Carga última de retira:

$$W_u = 1.5 W_D + 1.8 W_L = 1.5 (894.4) + 1.8 (500)$$

$$W_u = 2,241.6 \text{ kg/m} = 2.24 \text{ t/m.}$$

tramos 2º y 4º (descansos).

$$\begin{aligned} \text{p.p.} &= 0.20 \times 2400 = 480 \text{ kg/m}^2 \\ \text{p.t.} &= \frac{100 \text{ kg/m}^2}{580 \text{ kg/m}^2} \end{aligned}$$

$$\text{Carga viva} = s/\epsilon = 500 \text{ kg/m}^2$$

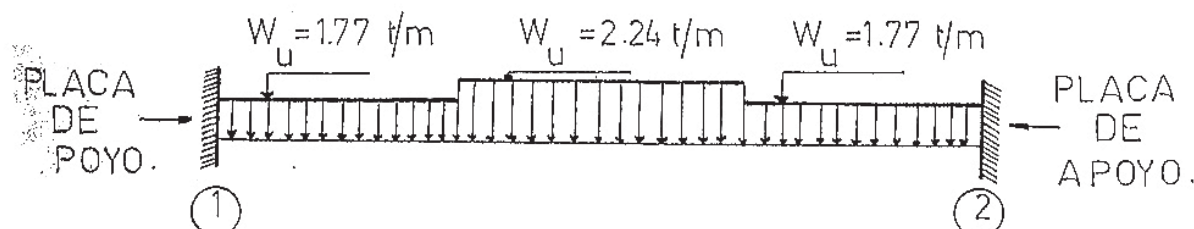
Carga última de retira:

$$W_u = 1.5 W_D + 1.8 W_L$$

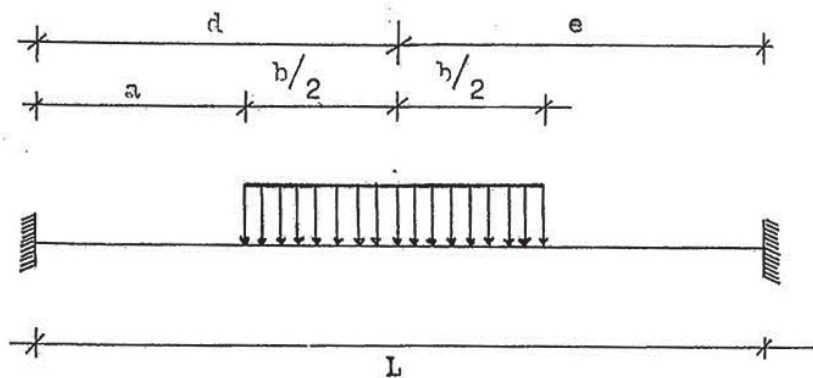
$$W_u = 1.5 (580) + 1.8 (500) = 870 + 900 = 1770 \text{ kg/m.}$$

$$W_u = 1.77 \text{ t/m.}$$

- El modelo idealizado sería el siguiente:



Para el cálculo de los momentos flectores hacemos uso de las tablas extraídas del " DESIGN MANUAL FOR STEEL " de H.M. Priest, para el caso siguiente:

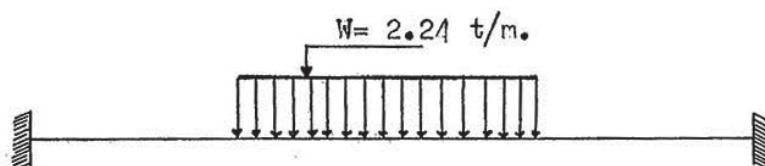


Para la idealización de los apoyos consideramos:

simplemente apoyados en cimentación  $\frac{1}{0}$  viga; empotrados en los muros de concreto armado.

El caso general lo podemos descomponer por facilidad para el diseño en los sgtes 3 casos:

CASO A



dónde:

$$a = 1.55 \text{ m.}$$

$$e = 2.55 \text{ m.}$$

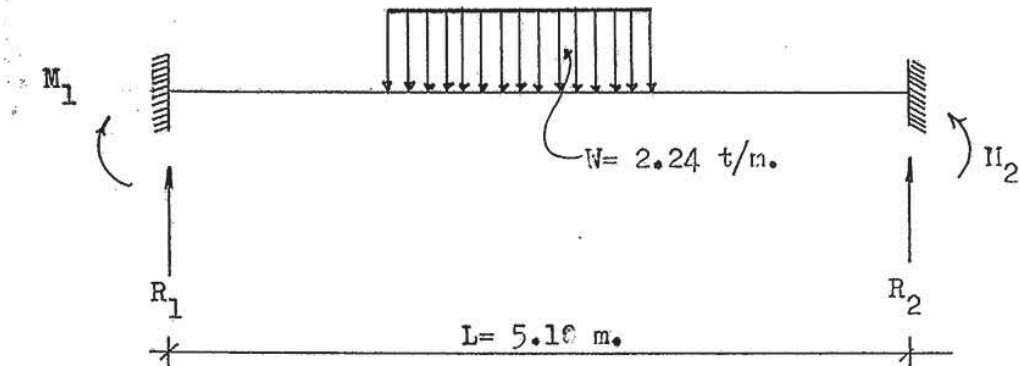
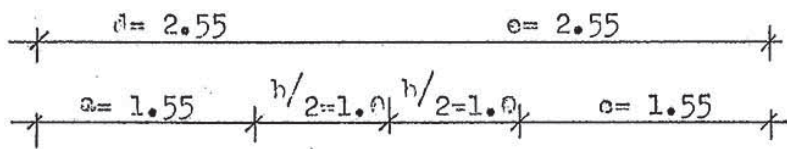
$$b = 2.0 \text{ m.}$$

$$L = 5.10 \text{ m.}$$

$$c = 1.55 \text{ m.}$$

$$W = 2.24 \text{ t/m.}$$

$$d = 2.55 \text{ m.}$$



De las tablas:

$$R_1 = \frac{W}{4L^3} \left[ 4e^2(L + 2a) - b^2(e-a) \right]$$

$$R_1 = \frac{2.24}{4(5.10)^3} \left\{ 4(2.55)^2 \left[ 5.10 + 2(2.55) \right] - (2.0)^2(1.55-1.55) \right\} \\ = 0.0042 (265.302)$$

$$R_1 = 1.12 \text{ ton.}$$

$$M_1 = \frac{W}{24L^2} \left\{ b^2 \left[ L + 3(e-a) \right] - 24e^2a \right\}$$

$$M_1 = \frac{2.24}{24(5.10)} \left\{ (2.0)^2 \left[ 5.10 + 3(1.55-1.55) \right] - 24(2.55)^2(2.55) \right\}$$

$$M_1 = 0.00358 (377.953) = -1.35$$

$$M_1 = -1.35$$

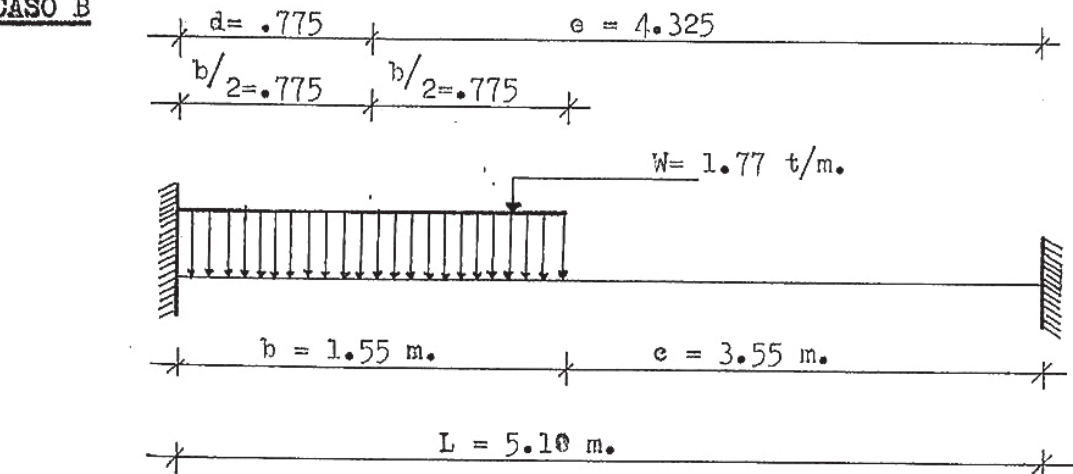
$$M_2 = R_1 L - We + M_1$$

$$M_2 = 1.12(5.10) - 2.24(2.55) + (-1.35)$$

$$M_2 = 5.712 - 5.712 - 1.35 = -1.35$$

$$M_2 = -1.35$$

CASO B



$$\begin{aligned} a &= 0 \\ b &= 1.55 \\ c &= 3.55 \\ d &= .775 \end{aligned}$$

$$\begin{aligned} e &= 4.325 \\ L &= 5.10 \\ W &= 1.77 \text{ t/m.} \end{aligned}$$

$$R_1 = \frac{W}{4L^3} [4e^2(L + 2d) - b^2(e - a)]$$

$$R_1 = \frac{1.77}{4(5.10)^3} \left\{ 4(4.325)^2(5.10 + 2 \times 0.775) - 1.55^2(3.55 - 0) \right\}$$

$$R_1 = 0.0033 \left\{ 489.038 \right\} = 1.613$$

$$R_1 = 1.613 \text{ ton.}$$

$$M_1 = \frac{W}{24L^2} \left\{ b^2 [L + 3(e - a)] - 24e^2 d \right\}$$

$$M_1 = \frac{1.77}{24(5.10)^2} \left\{ (1.55)^2 [5.10 + 3(3.55 - 0)] - 24(4.325)^2 (0.775) \right\}$$

$$M_1 = 2.835 \times 10^{-3} \left\{ 37.8315 \right\} = -0.879 \text{ ton-m.}$$

$$M_1 = -0.88 \text{ ton-m.}$$

$$M_2 = R_1 - L - We + M_1$$

$$M_2 = (1.613) (5.10) - 1.77 (4.325) = 0.879 = - 0.307$$

$$M_2 = - 0.31 t - m.$$

CASO C

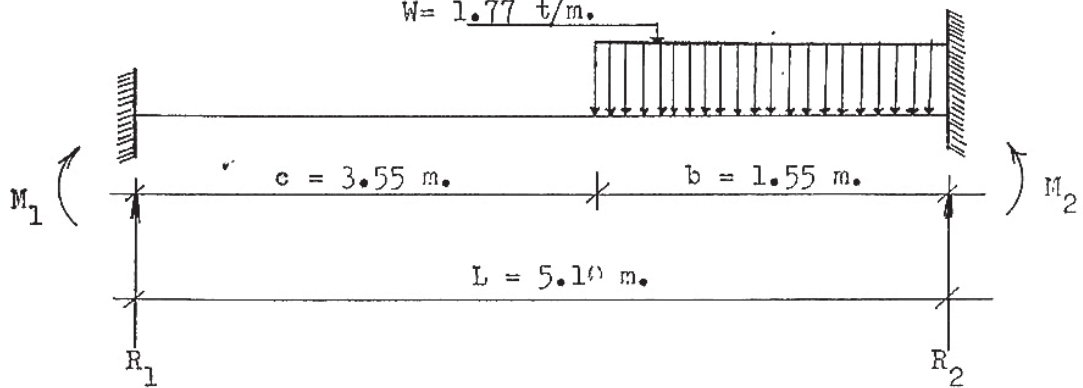
$$e = 4.325$$

$$d = .775$$

$$h/2 = .775$$

$$b/2 = .775$$

$$W = 1.77 t/m.$$



Observando el caso C, vemos que es similar al caso B ..

Luego por continuidad:

$$M_1 = 0.31 t - m.$$

$$M_2 = 0.88 t - m.$$

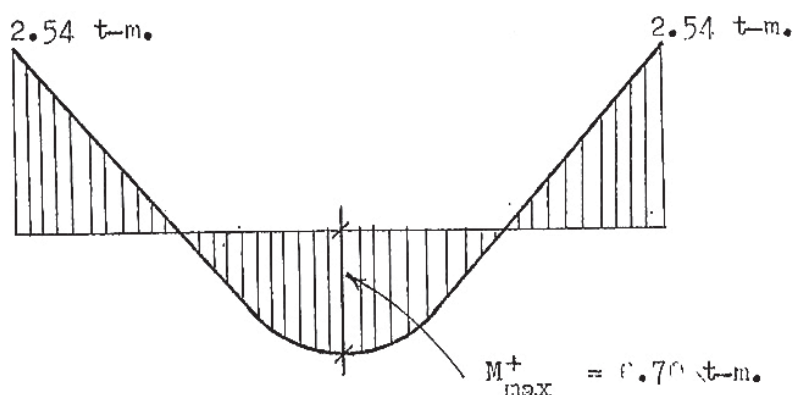
Superponiendo efectos tendremos que:

$$M_1 = 1.35 t - m - 0.88 t - m - 0.31 t - m = - M_2$$

$$M_1 = -2.54 t - m = - M_2$$

#### Cálculo del Momento flector máximo positivo

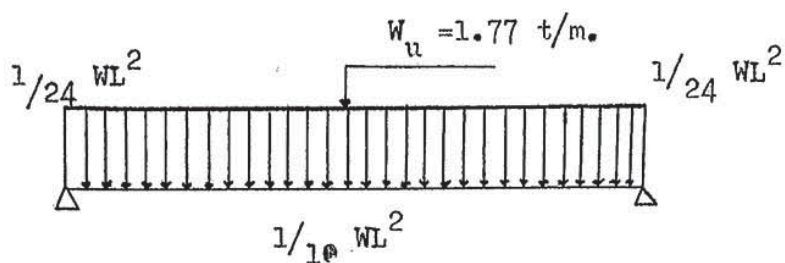
Lo obtenemos gráficamente.



TRAMO 4°

La diseñaremos como una lesa maciza armada en un sentido.

Modelo :



4.40 m.

$$M_{\text{máx}}^+ = \frac{1}{10} W_L^2 = \frac{1}{10} (1.77) (4.40)^2 = 3.42 \text{ ton-m.}$$

$$M_{\text{máx}}^- = \frac{1}{24} W_L^2 = \frac{1}{24} (1.77) (4.40)^2 = \frac{1}{24} (1.77) (19.36) = 1.42 \text{ t-m.}$$

10.23 CALCULO DE LAS AREAS DE ACERO

- Área de acero mínimo:

$$A_s \text{ min} = 0.017 bd$$

$$A_s \text{ min} = 0.017 \cdot 100 \times 17 = 2.89 \text{ cm}^2/\text{m.}$$

- Refuerzo por temperatura y contracción

Para lesas de espesor uniforme el refuerzo mínimo en la dirección del clare, no debe ser menor que la requerida por contracción y temperatura.

$$A_s t = 0.0018 b h.$$

$$A_s t = 0.0018 \times 100 \times 20 = 3.60 \text{ cm}^2/\text{m.}$$

Como  $A_s \text{ min} < A_s t$ .

Usamos  $A_s t$  como refuerzo mínimo:

Usando  $\phi 3/8"$ :

$$s = \frac{a}{A_s} \times 100 = \frac{0.71}{3.60} \times 100 = 19.7 \text{ cm.}$$

Use  $\phi 3/8"$  @. 20 m.

- Momento mínimo.

$$a = \frac{A_s f_y y}{0.85 f'_e b} = \frac{3.60 \times 4200}{0.85 \times 210 \times 100} = 0.84$$

$$M_{\text{min}} = \phi A_s f_y (d - a/2)$$

$$M_{\text{min}} = 0.9 \times 3.60 \times 4200 (17 - \frac{0.84}{2}) = 2.25 \text{ t-m.}$$

- Las áreas de acero serán:

tramos 1° y 2°:

$$M_{\text{máx}} = 2.54 \text{ t-m.}$$

$$\text{probamos } a = 0.95 \text{ m.}$$

$$A_s = \frac{2.54 \times 10^5}{0.9 \times 4200 (17 - 0.95)} = 4.06$$

$$a = \frac{4.06 \times 4200}{0.85 \times 210 \times 100} = 0.95 \text{ m ; bien !}$$

separación s : Usando  $\phi 1/2"$

$$s = \frac{a}{A_s} \times 100 = \frac{1.29}{4.06} \times 100$$

Use  $\phi 1/2"$  @. 30 m.

$M_{\text{máx}}^+ = 0.70 \text{ t-m} < M_{\text{min}}$ ; Use  $A_s \text{ min.}$  ( $\phi 3/8" @. 20 \text{ m.}$ )

tramo 4°

$$M_{\text{máx}}^+ = 3.42 \text{ t-m.}$$

probamos  $a = 1.29$  cm.

$$A_s = \frac{3.42 \times 10^5}{0.9 \times 4200 \left(17 - \underline{1.29}\right)^2} = 5.53 \text{ cm}^2/\text{m.}$$

$$a = \frac{5.53 \times 4200}{0.85 \times 210 \times 100} = 1.30 \text{ bien}$$

separación: Usando  $\phi 1/2"$

$$s = \frac{1.29}{5.53} \times 100 = 23 \text{ cm.}$$

Use  $\phi 1/2"$  @. 20 m.

$$M_{\max} = 1.42 t-m < M_{\min} = 2.25 t-m \longrightarrow \text{Use } A_s \min \\ (\phi 3/8" @. 20 \text{ m.})$$

#### - Separación máxima

Losa armada en una dirección

$$3 h = 3 \times 20 = 60 \text{ cm.}$$

En nuestro caso separación máxima 30 cm < 60 cm. ¡ bien !

#### NOTA.-

- Para el tramo 4º Usamos la misma armadura hallada en el tramo 4º (en la luz mayor) por seguridad por ser zona de descanso.

Para la escalera tipo 2 usaremos armadura mínima (luces pequeñas).

#### 10.30 DISEÑO DE LA CISTERNA

#### 10.31 CARACTERISTICAS

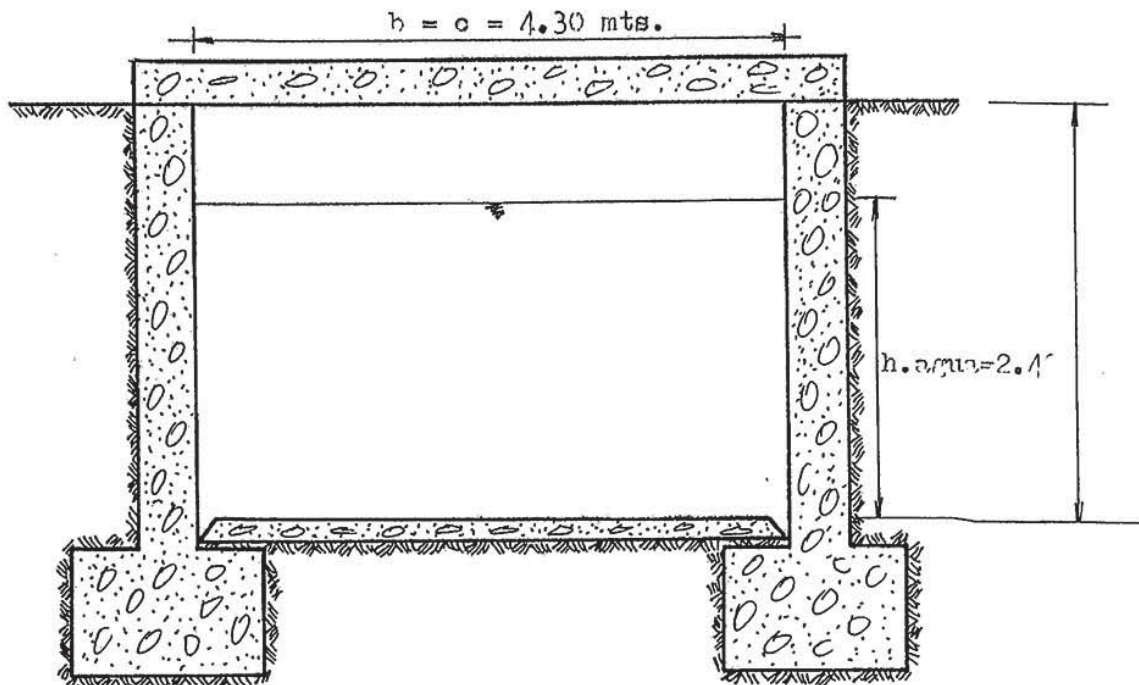
Consideramos una cisterna cuadrada de lado: 4.30 m; del dimensionamiento, el volumen de agua de la cisterna es  $V = 43.90 \text{ m}^3$ , correspondiéndole una altura de agua de:  $h = \frac{43.90}{4.30 \times 4.30} = 2.37 \text{ m.} \approx 2.40 \text{ m.}$

$$h = 2.60 \text{ m.}$$

La altura total será:

$$h_t = h (\text{agua}) + h (\text{rebese})$$

$$h_T = 2.40 + 0.20 = 2.60 \text{ mts.}$$



#### 10.32 Diseño de la tapa.

Se diseñará como losa armada en dos sentidos

- espesor ( t )

El espesor mínimo  $t = 12 \text{ cm}$ .

asumimos  $t = 20 \text{ cm}$ .

#### METRADO DE CARGAS

$$\text{peso propio: } 0.20 \times 2400 = 480 \text{ kg/m}^2.$$

$$\text{sobrecarga: } 100 \text{ kg/m}^2.$$

Carga última de retiro:

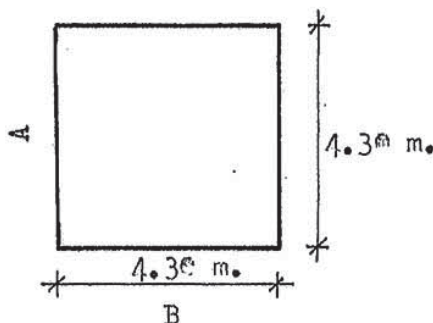
$$W_u = 1.5 W_D + 1.8 W_L$$

$$W_u = 1.5 (480 \text{ kg/m}^2) + 1.8 (100 \text{ kg/m}^2)$$

$$W_u = 720 + 180 = 900 \text{ kg/m}^2$$

#### - Cálculo de los Momentos

Para el cálculo de los momentos emplearemos el método 3 tabla 2 del A.C.I para el siguiente paño ( apoyos articulados ):



relación de lados :

$$m = \frac{A}{B} = \frac{4.3^2}{4.3} = 1.$$

De la tabla:

$$\left. \begin{array}{l} C_A^+ = 0.036 \\ C_B^+ = 0.036 \end{array} \right\} \text{Coeficientes para carga muerta.}$$

Los momentos serán:

$$M_A^+ = (\text{coef. C.M.}) W A^2 = 0.036 (900) (4.30)^2 = 599 \text{ kg-m/m.L.}$$

$$M_B^+ = (\text{coef. C.M.}) W B^2 = 0.036 (900) (4.30)^2 = 599 \text{ kg-m/m.L.}$$

- Momentos negativos; según normas se debe tomar  $\frac{1}{3}$  del momento positivo.

Luego:

$$M_A^- = M_A^+ / \frac{1}{3} = \frac{599}{3} = 200 \text{ kg-m/m.L.}$$

$$M_B^- = M_A^+ / \frac{1}{3} = 200 \text{ kg-m/m.L.}$$

- Cálculo del corte

De la tabla 4 del mismo método 3

$$V_A = V_B = 0.50 \times 900 \times \frac{4.30}{2} = 968 \text{ kg.}$$

- Momento mínimo.

$$A_s \text{ min} = 0.018 bd = 0.0018 \times 100 \times 20 = 3.60 \text{ cm}^2/\text{m.}$$

$$a = \frac{3.60 \times 4200}{.85 \times 210 \times 100} = 0.84 \text{ cm.}$$

$$M_u \text{ min} = \phi A_s f_y (d - a/2) = 0.9 \times 3.06 \times 4200 (17 - \frac{0.84}{2}) =$$

$$M_u \text{ min} = 2255 \text{ kg-m/m.L.}$$

Vemos que los momentos hallados son menores que el momento último, luego.

tomamos el área de acero correspondiente al momento mínimo.

Usando  $\phi 3/8"$

$$s = \frac{A_s}{A_s + b} \times 100 = \frac{0.71}{3.60} \times 100 = 0.197$$

Usamos  $\phi 3/8"$        $\theta .20\text{m.}$

- Verificación por corte:

$$v_u = \frac{968}{100 \times 17} = 0.56 \text{ kg/cm}^2 < v_c = 6.16 \text{ kg/cm}^2 ; \text{ bien!}$$

10.33 DISEÑO DE LA LOSA DE FONDO:

Consideramos espesor de 20 cm.

- Netrada de cargas:

$$\begin{aligned} \text{peso propio} &= 0.20 \times 2400 = 480 \text{ kg/m}^2 \\ \text{acabado} &= \dots \dots \dots 100 \text{ kg/m}^2 \\ \text{peso del agua} &= 2.40 \text{ m} \times 1000 \frac{\text{kg}}{\text{m}^3} 2400 \frac{\text{kg}}{\text{m}^2} \\ &\qquad\qquad\qquad \text{m}^3 \qquad\qquad\qquad \text{m}^2 \\ W_D &= 2980 \text{ kg/m}^2 \end{aligned}$$

Carga última de retiro:  $W_u = 1.5 W_D$

$$W_u = 1.5 (2980) = 4,470 \text{ kg/m}^2$$

La losa de fondo es de similares características a la tapa, luego:

$$\begin{aligned} M_u^+ &= (\text{coef.C.M.}) W_A^2 = 0.036 (4470) (4.30)^2 = 2975 \text{ kg-m/m.L.} \\ M_u^- &= \frac{1}{3} M_u^+ = \frac{1}{3} (2975 \text{ kg-m/m.L.}) = 991.7 \text{ kg-m/m.L.} < M_u \text{ min.} \end{aligned}$$

- Areas de acero:

$$M_u^+ = 2975 \text{ kg-m/m.L.}$$

probamos  $a = 1.12 \text{ cm.}$

$$A_s = \frac{2975 \times 10^2}{0.9 \times 4200(17 - 0.56)} = 4.79 \text{ cm}^2$$

$$a = \frac{4.79 \times 4200}{0.85 \times 210 \times 100} = 1.12 \text{ cm} ; \text{ bien!}$$

Usando  $\phi 1/2"$ :

$$s = \frac{1.29}{4.79} \times 100 = 26 \text{ cm.} \longrightarrow \text{Use } \phi 1/2" @. 25 \text{ m.}$$

Para Momento negativo: Use  $\phi 3/8"$  @. 20m.

10.34 DISEÑO DE LAS PAREDES DEL TANQUE CISTERNA

Consideramos 2 casos:

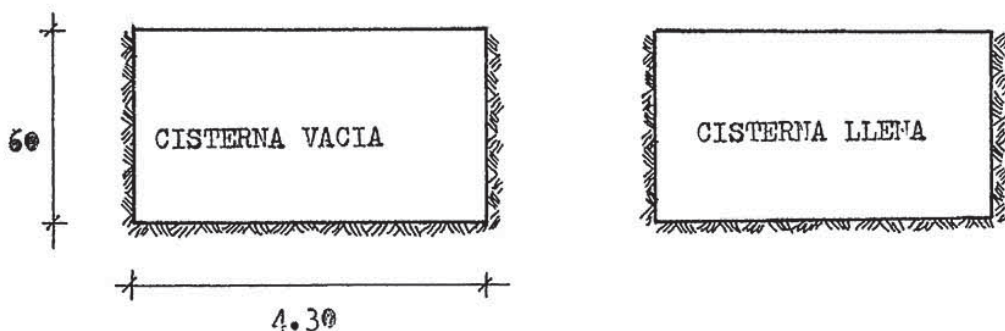
1º CASO: Cuando la cisterna está vacía

En este caso las paredes están sometidas a presiones de tierra y se producen los mayores momentos en las aristas, por lo tanto para el

diseño pueden considerarse como paredes empotradas en sus extremos continuas.

2º CASO: Cuando la cisterna está llena.

Para éste caso los momentos en los extremos superior e inferior son pequeños, y pueden ser considerados como apoyos simples.



- PRESIONES SOBRE LAS PAREDES

Empuje de agua:  $E = 2.40 \times 1000 = 2400 \text{ kg/m}^2$

Empuje de tierras:

$h'$  = altura equivalente a la sobrecarga ( $250 \text{ kg/m}^2$ )

$$h' = \frac{250}{\gamma_s} = \frac{250}{1800} = 0.14 \text{ m.}$$

La presión por sobrecarga,  $W_u L$  uniformemente distribuida es:

$$W_u L = 1.8 \gamma_s h' K_a = 1.8 (1800) \times 0.14 \times K_a$$

Considerando un ángulo de fricción interna de  $\phi = 35^\circ$  un coeficiente de seguridad de 1.3,  $K_a = 0.35$

Luego:

$$W_u L = 1.8 (1800) (0.14) (0.35) = 159 \text{ kg/m}^2$$

- La presión triangular en el punto más abajo es:

$$W_u D = 1.5 \gamma_s h' K_a = 1.5 \times 1800 \times 2.80 \times 0.35 = 2646 \text{ kg/m}^2$$

Cargas a considerar:

Cisterna vacía:

$$W_u L = 159 \text{ kg/m}^2 \text{ (distribución uniforme)}$$

$$W_u D = 2646 \text{ kg/m}^2 \text{ (distribución triangular).}$$

Cisterna llena:

$$W_u L = 159 \text{ kg/m}^2$$

$$W_u D = 2646 - 2400 = 246 \text{ kg/m}^2$$

$W_u D = 246 \text{ kg/m}^2$  tiene distribución triangular por razón práctica la distribuimos uniformemente.

$$W_u D = \frac{246}{2.80} = 87.8 \text{ kg/m}^2.$$

Coefficiente para los momentos en el caso de cisterna vacía:

$$m = A/B = \frac{2.60}{4.30} = 0.60 \quad (\text{A.C.I.}) ; m = B/A = 1.65 \quad (\text{P.C.A.})$$

TIPO COEFICIENTE	CARGA UNIFORME DISTRIBUIDA (A.C.I.)		CARGA CON DISTRIBUCIÓN TRIANGULAR (P.C.A.)		Momento en kg-m/..	
	A	B	A	B	A	B
c (-)	0.080	0.018	.010	.052	1516	2418
c (+)	0.048	0.007	.016	.025	1017	1162

Coefficientes para el caso de cisterna llena:

$$c_+ = .036 \Rightarrow M_B^+ = 0.036 (159 + 246) (4.30)^2 = 269.6 \text{ kg-m/m.}$$

$$c_- = .078 \Rightarrow M_B^- = 0.078 (159 + 246) (4.30)^2 = 584.0 \text{ kg-m/m.}$$

$$c_+ = .031 \Rightarrow M_A^+ = 0.031 (159 + 246) (2.60)^2 = 84.9 \text{ kg-m/m.}$$

$$c_- = .012 \Rightarrow M_A^- = 0.012 (159 + 246) (2.60)^2 = 32.9 \text{ kg-m/m.}$$

Acero mínimo:

$$A_{s \min} = 0.0018 b \times h = 0.0018 \times 100 \times 20 = 3.6 \text{ cm}^2/\text{m.}$$

- Momento mínimo:

$$a = \frac{A_s f_y}{0.85 f'_c b} = \frac{3.6 \times 4200}{0.85 \times 210 \times 100} = 0.84 \text{ cm.}$$

$$M_{\min} = \phi A_s f_y (d - a/2) = 0.9 \times 3.6 \times 4200 (17 - \underline{0.84}) = 2.26 \text{ t-m.}$$

2

Vemos que solamente el Momento en B cuando la cisterna está vacía sobrepasa el Momento mínimo. En los otros casos, por ser los momentos menores al mínimo, usamos la armadura mínima.

Luego:

$$M_u = 2.41 \text{ ton-m.}$$

$$\text{Sea } a = 0.90 \text{ cm.}$$

$$A_s = \frac{2.41 \times 10^5}{0.9 \times 4200(17 - \frac{0.09}{2})} = 3.76 \text{ cm}^2$$

$$a = \frac{3.76 \times 4200}{0.85 \times 210 \times 100} = 0.88 \text{ cm} ; \underline{\text{bien!}}$$

$$A_s = 3.76 \text{ cm}^2$$

distribución del acero: en 2 capas:

$$\frac{3.76}{2} = 1.88 \text{ cm}^2$$

$$\phi 3/8": s = \frac{0.71}{1.88} \times 100 = 37 \text{ cm} \implies \text{Use } \phi 3/8" \text{ en 2 capas } @. 30 \text{ m.}$$

La distribución del área de acero mínima será:

$$A_{s \min} = 3.6 \text{ cm}^2/\text{m.}$$

$$\text{En 2 capas: } 1.8 \text{ cm}^2/\text{m.}$$

Usando  $\phi 3/8"$ :

$$s = \frac{0.71}{1.8} \times 100 = 39 \text{ cm.} \quad (\phi 3/8" @. 30 \text{ en 2 capas})$$

Resumen:

Use  $\phi 3/8"$  @. 30 en 2 capas en todos los casos. (para las paredes)

- Comprobación del Corteante:

Corte por carga triangular :  $V = 2 W_u L \times a/s$

Corte por carga uniforme :  $V = 5 W_u D \times a/8$

Entonces:

$$V = 2 (2646) \times 2.60 \times \frac{1.00}{5} + 5 \times 246 \times 2.60 \times \frac{1.0}{8}$$

$$V = 2752 + 399 = 3151 \text{ kg.}$$

$$v = \frac{3151}{100 \times 17} = 1.85 \text{ kg/cm}^2 < 6.16 \text{ kg/cm}^2 ; \underline{\text{bien!}}$$

- Cimentación de cisterna:

$$\text{peso pared} = 0.20 \times 2.60 \times 2400 = 1248 \text{ kg/m.L.}$$

peso tapa (con s/ <sub>g</sub> ) : $580 \times 4.30 \times 1.0$	= 2494 kg/m.
peso de agua : $2.40 \times \frac{1000}{2} \times (4.3) \times 1.0$	= 5160 kg/m.L.
peso de losa inferior: $\frac{0.20 \times 4.30 \times 2400}{2}$	= 1032 kg/m.
	9934 kg/m.

Ancho de zapata:

$$T = 2.5 \text{ kg/cm}^2 ; a = \frac{9934}{2.5} = 3973 \text{ cm}^2 \quad \rightarrow B = 60 \text{ cm.}$$

Usaremos zapata corrida de .60 x .40 con armadura mínima ya que el momento es pequeño

$$A_{s \min} = 0.0018 \text{ bd}$$

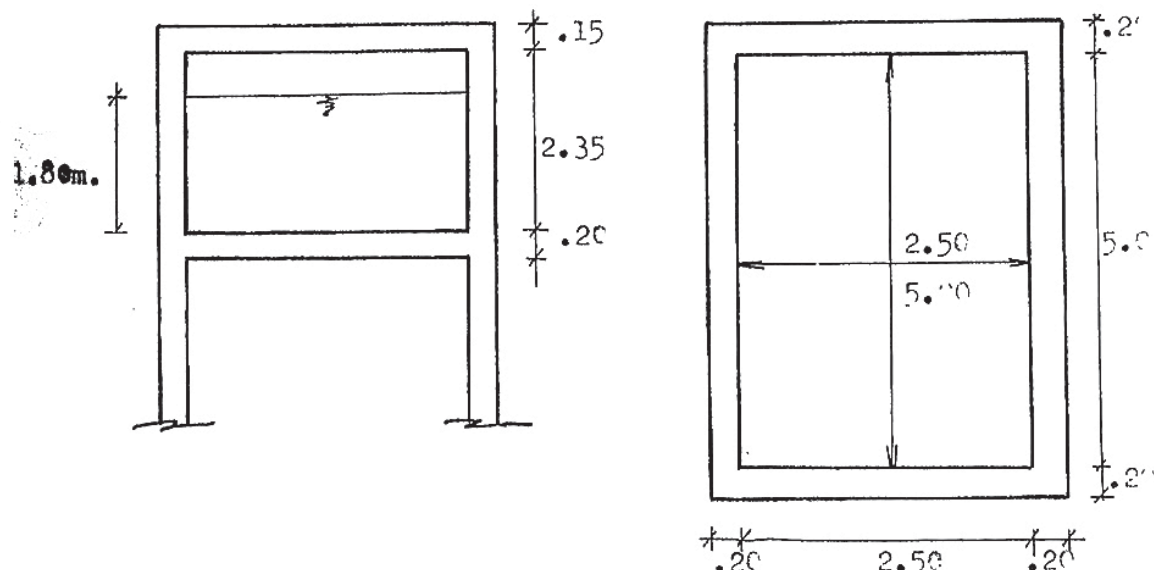
$$A_{s \min} = 0.0018 \times 100 \times 30 = 5.4 \text{ cm}^2/\text{m.}$$

Usando  $\phi 1/2''$ :

$$s = \frac{1.29}{5.4} \times 100 = 23.4 \text{ cm.}$$

Use  $\phi 1/2'' @. 23 \text{ m.}$

#### 10.40 DISEÑO DEL TANQUE ELEVADO



#### 10.41 Diseño de la tapa.

La diseñaremos como lesa armada en un sentido.

##### - Metrada de cargas:

$$\begin{aligned} \text{peso propio} &= 0.15 \times 2400 = 360 \text{ kg/m}^2 \\ s/c &= 100 \text{ kg/m}^2. \end{aligned}$$

##### - Carga última de retiro:

$$W_u = 1.5 W_D + 1.8 W_L$$

$$W_u = 1.5 (360) + 1.8 (100) = 540 + 180 = 720 \text{ kg/m}^2.$$

##### - Momentos flexionantes (para una franja de 1.0 mts)

$$M_u (+) = \frac{1}{10} W_u L^2 = \frac{1}{10} (720) (2.50)^2 = 450 \text{ kg-m.}$$

$$M_u (-) = \frac{1}{24} W_u L^2 = \frac{1}{24} (720) (2.50)^2 = -187.5 \text{ kg-m.}$$

##### - Acero mínimo por refuerzo principal y temperatura.

$$A_{s \min} = 0.0018 b_h = 0.0018 \times 100 \times 15 = 2.70 \text{ cm}^2 / \text{m.}$$

$$a_s = \frac{2.70 \times 4200}{0.85 \times 210 \times 100} = 0.63$$

$$M_u = \phi A_s f_y (d - a_s/2) = 0.9 \times 2.16 \times 4200 (12 - \frac{0.63}{2}) = 1192 \text{ kg-m.}$$

Como los momentos hallados son menores al momento mínimo, usamos  $A_{s \ min}$ .

Con  $\phi 3/8"$ :

$$s = \frac{a_s}{A_s} \times 100 = \frac{0.71}{2.72} \times 100 = 26 \text{ cm.}$$

Use  $\phi 3/8"$  @ 25 m.

##### Verificación por corte:

$$V_u = \frac{720 \times 2}{2} = 720 \text{ kg.}$$

$$v_u = \frac{720}{100 \times 12} = 0.6 \text{ kg/cm}^2 < v_u \text{ admisible ; bien !}$$

#### 10.42 Diseño de la lesa de fondo:

La diseñaremos como lesa armada en 2 sentidos, empotrada en sus cuatro bordes. Escogemos un espesor de  $e = .20 \text{ m.}$

Se diseñará con el método 3 del A.C.I.

Metraje de cargas:

- peso propio - - - - -  $0.20 \times 2400 = 480 \text{ kg/m}^2$ .

- acabados - - - - -  $100 \text{ kg/m}^2$ .

peso del agua  $1.80 \times 1000$  - - - - -  $= 1800 \text{ kg/m}^2$ .

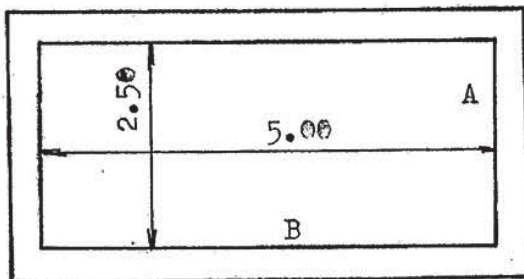
$$u_D = 2380 \text{ kg/m}^2.$$

Carga última de retiro:

$$W = 1.5 \times 2380 = 3570 \text{ kg/m}^2.$$

Coeficientes de momentos:

$$m = A/B = \frac{2.50}{5.00} = 0.50$$



de las tablas:

$$c_A (-) = 0.088$$

$$c_A (+) = 0.038$$

$$c_B (-) = 0.003$$

$$c_B (+) = 0.002$$

Momentos de flexión:

$$M_A (-) = 0.088 \times 3570 \times (2.50)^2 = 1963.5 \text{ kg-m/m.}$$

$$M_B (-) = 0.003 \times 3570 \times (5.0)^2 = 267.8 \text{ kg-m/m.}$$

$$M_A (+) = 0.038 \times 3570 \times (2.50)^2 = 847.9 \text{ kg-m/m.}$$

$$M_B (+) = 0.002 \times 3570 \times (5.0)^2 = 178.5 \text{ kg-m/m.}$$

Momento mínimo:

$$M_{u \min} = 2.25 \text{ t-m, que corresponde a un } A_{s \ min} = 3.60 \text{ cm}^2/\text{m.}$$

Luego: Use  $A_s \ min$  en todos los casos.

Separación: ( $\phi 3/8"$ )

$$s = \frac{0.71}{3.60} \times 100 = 19.7 \text{ cm.}$$

Luego: Use  $\phi 3/8"$  @. 20 m. para los dos sentidos.

Fuerzas cortantes.

Coeficientes:  $c_A = 0.97$

$$c_B = 0.07$$

$$V_A = 0.97 \times 2380 \times 2.50 \times 1.0/2 = 2886 \text{ kg.}$$

$$V_B = 0.07 \times 2380 \times 5.0 \times 1.0/2 = 417 \text{ kg.}$$

$$V_{ad} = 0.50 \times 0.85 \sqrt{210} \times 100 \times 17 = 10,470 \text{ kg.} > 2886 \text{ kg. ; bien !}$$

10.43 Diseño de las paredes.

Se diseñarán por el método de los coeficientes indicados en las tablas del PORTLAND CEMENT ASSOCIATION.

$$a = 2.35 \text{ m.}$$

$$b = 2.50 \text{ m.}$$

$$e = 5.00 \text{ m.}$$

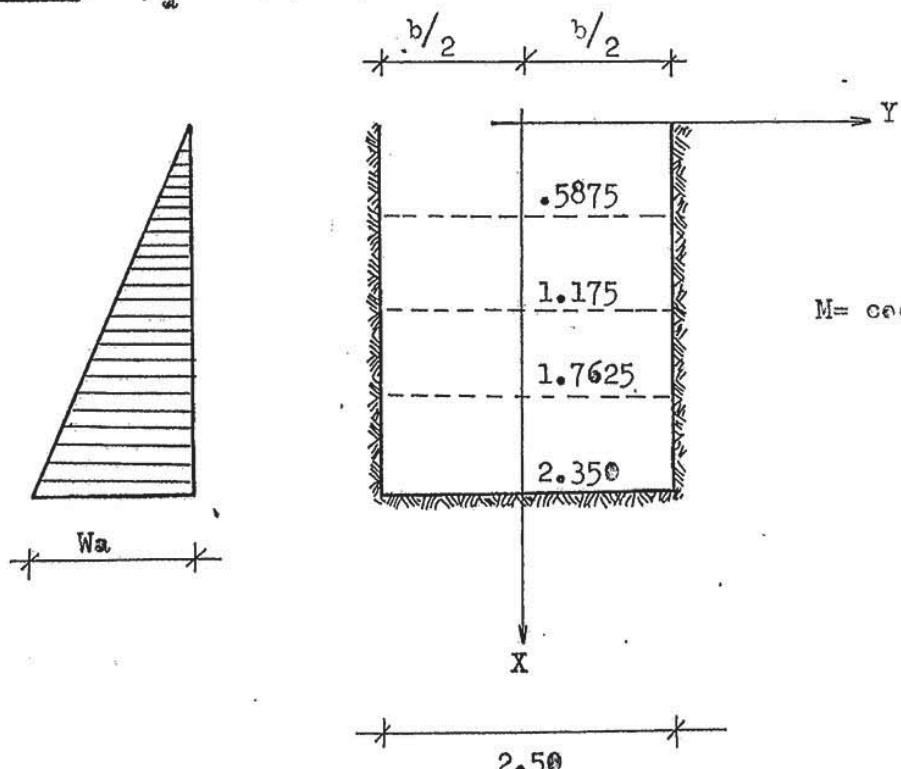
$$\frac{b}{3} = \frac{2.50}{3} = 0.83 \text{ m.}$$

$$\frac{e}{3} = \frac{5.00}{3} = 1.67 \text{ m.}$$

Como:  $a > \frac{b}{3}$  debe armarse en 2 sentidos.

$a > \frac{e}{3}$  debe armarse en 2 sentidos.

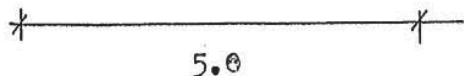
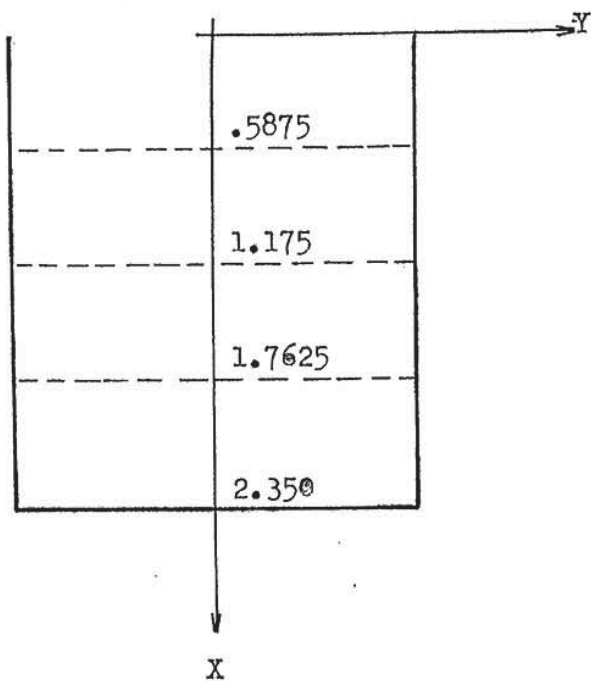
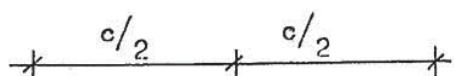
Lado corto:  $b/a = 2.50/2.35 = 1.06$



$\frac{y}{b}$	$x/c$	$y=0$		$y = b/4$		$y = b/2$	
		Mx	My	Mx	My	Mx	Iy
1.50	0	0	+.009	0	+.002	0	-. .018
	$1/4$	+.02	+.011	+.009	+.003	-. 005	-. .023
	$1/2$	+.09	+.013	+.005	+.005	-. 006	-. .023
	$3/4$	+.08	+.008	+.005	+.004	-. 004	-. .020
	1.0	-.035	-.007	-.022	-.005	0	0

Lade large:

$$\frac{\bullet}{\bullet} = \frac{5.00}{2.35} = 2.10$$



$\frac{c}{a}$	$\frac{x}{a}$	$y = 0$		$y = \frac{c}{4}$		$y = \frac{c}{2}$	
		Mx	My	Mx	My	Mx	My
2.10	0	0	+.027	0	+.003	0	-0.060
	$\frac{1}{4}$	+.013	+.023	+.006	+.010	-.012	-.050
	$\frac{1}{2}$	+.015	+.016	+.010	+.010	-.010	-.049
	$\frac{3}{4}$	-.006	+.003	-.002	+.003	-.005	-.027
	1.0	-.085	-.017	-.059	-.012	0	0

Distribución de Momentos en arista común:

Ejm:

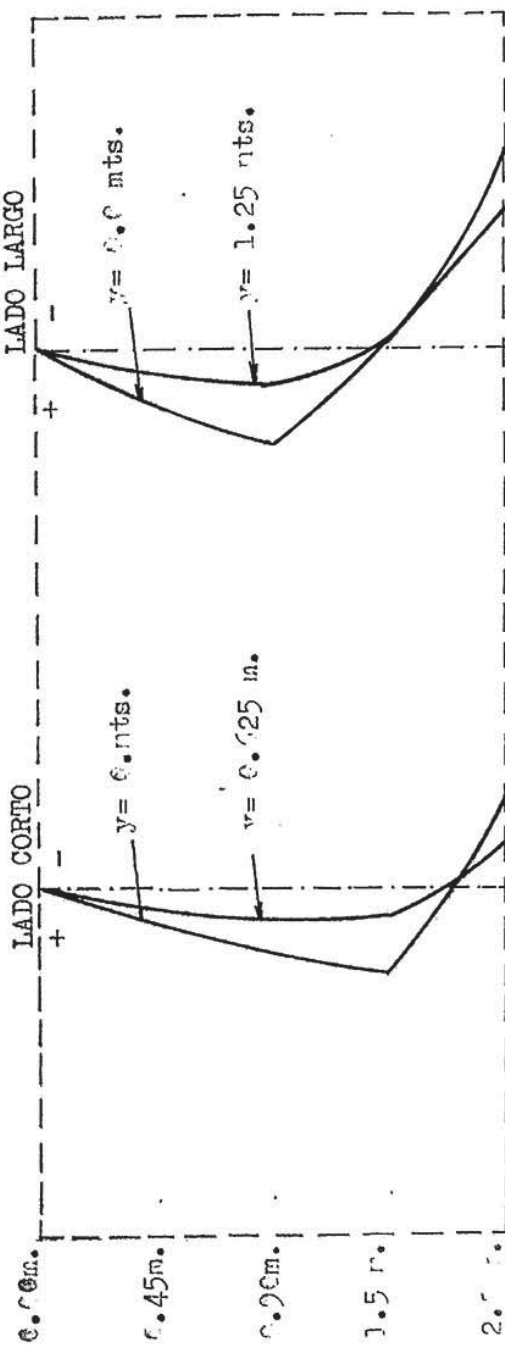
$D_1 = 0.34$	$D_2 = 0.66$ ( Factor de distribución)
-.018	-.060
$+.078 \times 0.34$	$+.078 \times 0.66$
0.009	0.009

Luego:

$y = \frac{b}{2} = \frac{c}{2}$	
Mx	My
0	-0.009
-0.001	-0.003
-0.001	-0.003
-0.001	-0.003
0	0

$\pi = 3.145 \times 1000 \text{ m.}$   $\pi \text{ dist.} = 8.748 \text{ m. rads.}$

$x/a$	NIVEL	LADO CORTO			ARTISTA			LADO LARGO		
		MOMENTO A	COEF.	MOMENTO	COEF.	MOMENTO	COEF.	MOMENTO	COEF.	MOMENTO
0	0.0 m.	0	0	0	0	0	0	0	0	0
$1/4$	0.45 m.	.02	+175	.009	+.78	-.001	9	.013	+114	.006
$1/2$	0.90 m.	.09	+787	.005	+.44	-.001	9	.015	+131	.010
$3/4$	1.35 m.	.08	+700	.005	+.44	-.001	9	-.006	-52	-.002
1	1.80 m.	-.035	-306	-.022	-192	0.	0	-.085	-744	-.059
$y$			$y = 0.0 \text{ m.}$	$y = 0.625 \text{ m.}$	$y = 1.25 \text{ m.}$	$y = 2.50 \text{ m.}$			$y = 1.25 \text{ m.}$	$y = 1.25 \text{ m.}$



Momento mínimo debido al acero mínimo:

$$A_{s \min} = 0.0018 b_h$$

$$A_{s \min} = 0.0018 \times 100 \times 20 = 3.60 \text{ cm}^2.$$

$$M_{u \ min} = 0.9 \times 3.60 \times 4200 \left(17 - \frac{0.84}{2}\right) = 2255 \text{ kg-m.}$$

Comparando los momentos hallados con el momento mínimo, vemos que todos son menores que el momento mínimo.

Por lo tanto use: refuerzo mínimo:

$$\phi 3/8" \text{ en 2 capas: } s = \frac{2 \times 0.71}{3.60} \times 100 = 39 \text{ cm.}$$

Usamos  $\phi 3/8"$  @. 30 para la dirección vertical y también en la dirección horizontal.

Verificación por corte:

El corte actuante será :

$$V = \frac{2}{5} W_a^2 = 0.40 (1000) (1.80)^2 = 1296 \text{ kg.}$$

$$v_u = \frac{1296 \text{ kg.}}{100 \times 17} = 0.76 \text{ kg/cm}^2 < v_c = 6.16 \text{ kg/cm}^2 ; \text{ bien!}$$

CAPITULO XI : DISEÑO DE LAS CIMENTACIONES

## CAPITULO XI

### 11.00 DISEÑO DE LAS CIMENTACIONES

#### 11.10 GENERALIDADES :

En éste capítulo diseñaremos la cimentación de los elementos mas representativas de nuestro edificio en estudio.

Es decir diseñaremos la cimentación correspondiente a las columnas B 4 y C 4 ( similar a B 5 y C 5 )

La cimentación que se ha adoptado para éstas columnas es de " zapatas conectadas ", para absorver mediante una viga de conexión los fuertes momentos que se producen en la base por sismo.

Hemos adoptado para el caso de la caja de ascensores una zapata combinada y para las placas 4 y 5, una cimentación corrida.

El concreto a emplear para todos los casos es de  $f_c' = 210 \text{ kg/cm}^2$  la armadura :  $f_y = 4200 \text{ kg/cm}^2$ .

#### 11.20 DISEÑO DE LA CIMENTACION PARA COLUMNAS

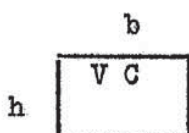
Haremos el diseño de la cimentación que corresponden a las columnas B 4 y C 4 por ser éstos los casos mas desfavorables.

Adoptamos la cimentación conectada.

Cuando las zapatas están unidas por una viga se dice que la cimentación es conectada.

La viga de conexión permite controlar las rotaciones de las zapatillas cuando se producen fuertes momentos.

Para que la viga de conexión absorba los momentos es necesario que sea lo suficientemente rígida, para lo cual se recomienda que sus dimensiones se obtengan de la sgte. manera :



$$h = \frac{L}{8}$$

$$b = \left\{ \begin{array}{l} \frac{P_e}{24L} \\ \frac{n_B}{50} \end{array} \right.$$

dende :

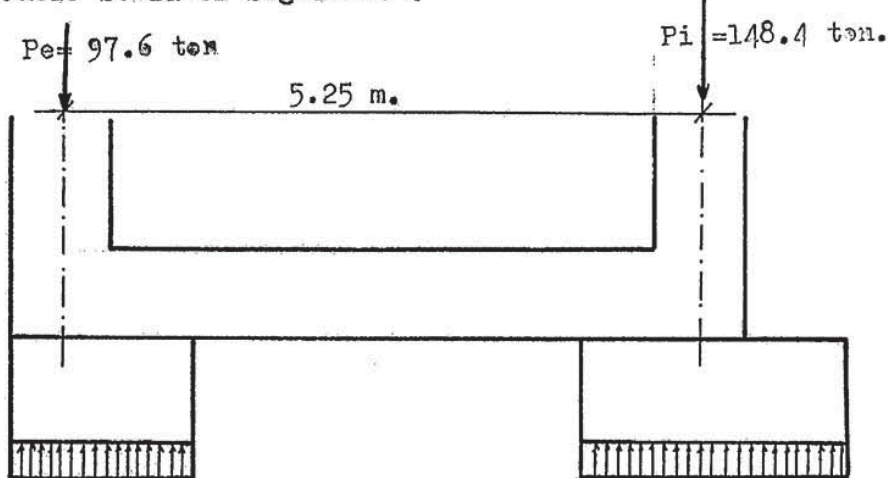
n = número de pisos.

B = espacioamiento transversal promedio de las columnas.

P<sub>e</sub> = carga total de servicio de la columna sobre la zapata excentrica.

L = espacioamiento entre las columnas cuyas zapatas se conectan.

Nuestro modelo sería el siguiente :



### 11.21 DIMENSIONES PRELIMINARES

#### 11.21.10 ZAPATA EXTERIOR ( Z C -4 )

Pedemos tomar la reacción exterior  $R_e$  como :

$$R_e = 1.25 P_e$$

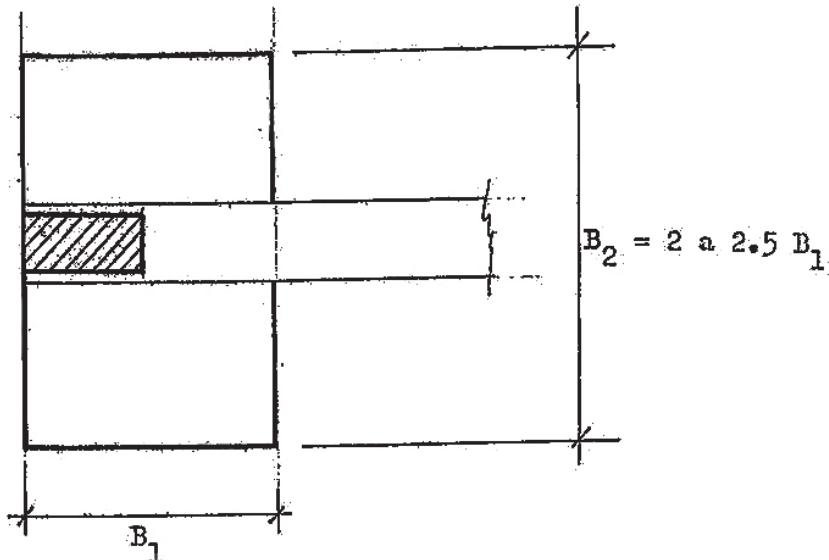
$$R_e = 1.25 (97.6 \text{ ton.}) = 122 \text{ ton.}$$

$$\Gamma = 2.5 \text{ kg/cm}^2 = 25 \text{ ton/m}^2.$$

primera aproximación :

$$A_Z = \frac{R_e}{\Gamma} = \frac{122 \text{ ton.}}{25 \text{ ton/m}^2} = 4.88 \text{ m}^2$$

Para un diseño económico :



Tenemos :  $B_1 = 1.40\text{m}$  ;  $B_2 = 3.50\text{ m.}$

#### 11.21.20 VIGA DE CONEXION

$$h = \frac{L}{8} \quad \longrightarrow \quad h = \frac{5.25}{8} = 0.656\text{ m.}$$

$$b_1 = \frac{97.6}{24 \times 5.10} = 0.797\text{ m.}$$

$$b_2 = \frac{7 \times 5.10}{50} = 0.71\text{ m.}$$

Tenemos :  $b = 0.80\text{ m}$  ;  $h = 0.70\text{ m.}$

peso propio de viga =  $.80 \times .70 \times 1 \times 2.4 = 1.34\text{ ton/m.}$

peso propio de zapata = 6 % de Re

p. p. z. =  $0.06 \times 122 = 7.32\text{ ton.}$

Tenemos momentos con respecto al eje de la columna interior : (C 4-C)

$$Re = \left[ 7.32 (5.55 - 0.70) + 97.6 (5.25) + 1.34 \times 5.25 \times \frac{5.25}{2} \right] / (5.55 - 0.70)$$

$$Re = \frac{35.50 + 512.40 + 18.47}{4.85}$$

$$Re = \frac{566.37}{4.85} = 116.77$$

$$Az = \frac{116.77}{25} = 4.67\text{ m}^2$$

Usaremos zapata : Z B-4 de  $1.40 \times 3.40$

#### 11.22 DISEÑO DE LA VIGA DE CONEXION

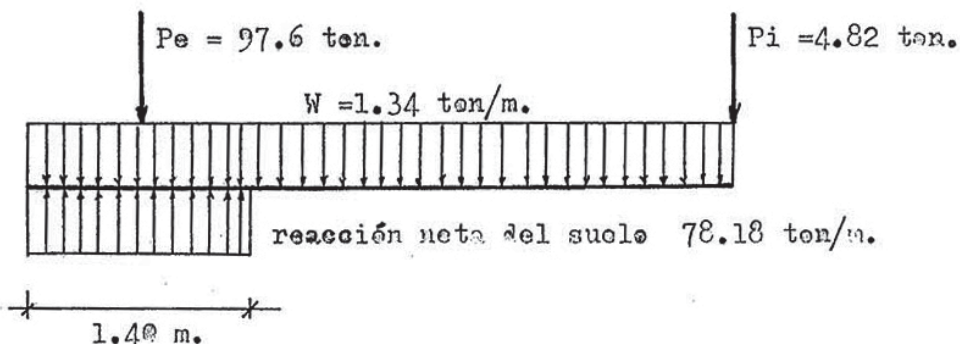
Reacción neta de la zapata exterior :

$$R_{en} = 116.77 - 7.32 = 109.45 \text{ ton.}$$

$$W_n = \frac{109.45 \text{ ton}}{1.40 \text{ m.}} = 78.18 \text{ ton/m.}$$

$$P_i = 109.45 \text{ ton} - 97.6 \text{ ton} - 1.34 \times 5.25 = 4.82 \text{ ton.}$$

Diagrama de cuerpo libre de la viga :



Momento máximo :

Ocurre para  $V=0.$

$$V_x = 97.6 - (78.18 - 1.34) x$$

$$V_x = 0 \Rightarrow x = \frac{97.6}{(78.18 - 1.34)} = 1.27 \text{ m. (del extremo izquierdo).}$$

$$M_x = 97.6 (1.27 - 0.30) - \frac{1}{2} (78.18 - 1.34) \times 1.27^2 = 32.70 \text{ ton-m.}$$

Luego :

$$d = (M/K b)^{1/2}$$

$$d = \sqrt{\frac{32.70 \times 10^5}{12.30 \times 80}} = 57.6 \text{ cm.}$$

$$h = d + r + \frac{d \cdot l}{2} + d \text{ estribo.}$$

$$h = 57.6 + 5 + 1.3 + 1.0 = 64.9 \text{ cm.}$$

La altura h supuesta = 0.70 m > 649 m ; bien !  
como la diferencia no es demasiada nos quedamos con la viga de dimensiones iniciales o sea : 0.80 x 0.70

Corte máximo :

$$V = 97.6 - (0.60 + 0.627) (78.18 - 1.34)$$

$$V = 3.31 \text{ ton.}$$

En la cara de la zapata exterior :

$$V = 4.82 + 1.34 (5.55 - 1.40) = 10.38 \text{ ton.}$$

$$v = \frac{10,380 \text{ kg}}{80 \times 62.7} = 2.06 \text{ kg/cm}^2 < v_c = 0.29 \sqrt{f'_c} = 4.2 \text{ kg/cm}^2.$$

Entonces la viga no requiere estribos estructuralmente.

Cálculo de la armadura.

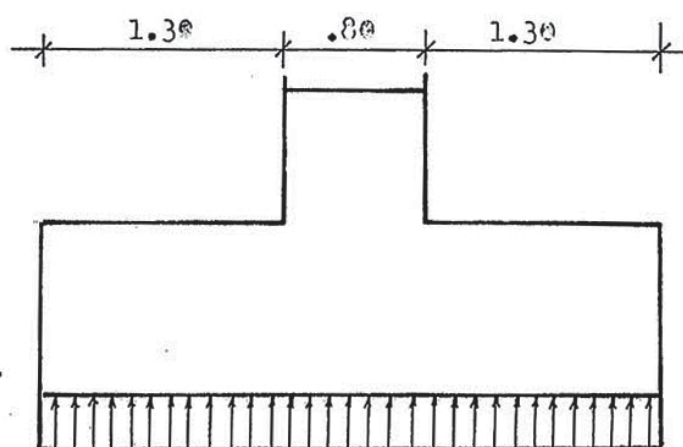
$$A_s = \frac{M_s}{f_s \text{ j.d.}}$$

$$A_s = \frac{32.70}{2.1 \times 0.904 \times .627} = 27.47 \text{ cm}^2$$

Use : 6  $\phi 1$ " (30.60  $\text{cm}^2$ ).

La mitad se cortará aproximadamente, a un tercio de la distancia entre la zapata exterior (Z B -4) y la columna interior.

DISEÑO DE LA ZAPATA : Z B -4 ( ZAPATA EXTERIOR )



$$W = \frac{109.45}{3.40} = 32.19 \text{ ton/m.}$$

$$M = \frac{1}{2} \times 32.19 \times 1.30^2 = 27.20 \text{ t-m.}$$

$$d = \frac{27.20 \times 10^5}{12.3 \times 140}^{1/2} = 39.74 \text{ cm.}$$

$$h = 39.74 + 7.5 + 1.0 = 48.24 \text{ cm.}$$

Use  $h = 50 \text{ cm.}$

Fuerza cortante

$$V = 32.19 (1.30 - .415) = 28.48 \text{ ton.}$$

$$v = \frac{28480}{140 \times 41.5} = 4.90 \text{ kg/cm}^2 > 0.29 \sqrt{210} = 4.2 \text{ kg/cm}^2.$$

Luego tomamos  $h = 55 \text{ cm.}$

$$V = 32.19 (1.30 - .465) = 26.87 \text{ ton.}$$

$$v = \frac{26870}{140 \times 46.5} = 4.12 \text{ kg/cm}^2 < 4.2 \text{ kg/cm}^2 ; \underline{\text{bien!}}$$

Refuerzo principal :

$$A_s = \frac{26.87}{2.1 \times 0.904 \times .465} = 30.43 \text{ cm}^2 (11 \phi 3/4")$$

peso propio :  $1.40 \times 3.40 \times 55 \times 2400 = 6.28 \text{ ton.}$

peso asumido de zapata :  $7.32 \text{ ton} > 6.28 \text{ ton} ; \underline{\text{bien!}}$

Refuerzo en la dirección secundaria.

Usamos  $\phi 1/2"$

$$M = \frac{1}{2} (78.18) \times (35)^2 = 4.79 \text{ ton-m.}$$

$$A_s = \frac{4.79}{2.1 \times .904 \times .465} = 5.42 \text{ cm}^2 (\phi 1/2" @. 30).$$

(Ver plano de cimentaciones).

DISEÑO DE LA ZAPATA Z-4-C (Zapata interior)

dimensionamiento en planta :

$$p.p. = 0.06 \times (148.4 - 4.82) = 8.61 \text{ ton.}$$

$$P = 148.4 - 4.82 + 8.61 = 152.19 \text{ ton.}$$

$$A_z = \frac{152.19 \text{ ton.}}{25 \text{ ton/ m}^2} = 6.08 \text{ m}^2, (2.50 \text{ m.} \times 2.50 \text{ m.})$$

$$W_n = \frac{143.58 \text{ ton.}}{2.50 \times 2.50} = 22.97 \text{ ton/m}^2.$$

$$M = \frac{1}{2} \times 22.97 \times 2.50 \times (0.9)^2 = 23.2 \text{ t-m.}$$

Corte por punzonamiento.

Para uniformizar las alturas de las zapatas se probará  $h = 55 \text{ cm.}$

$$d = 46.5 \text{ em.}$$

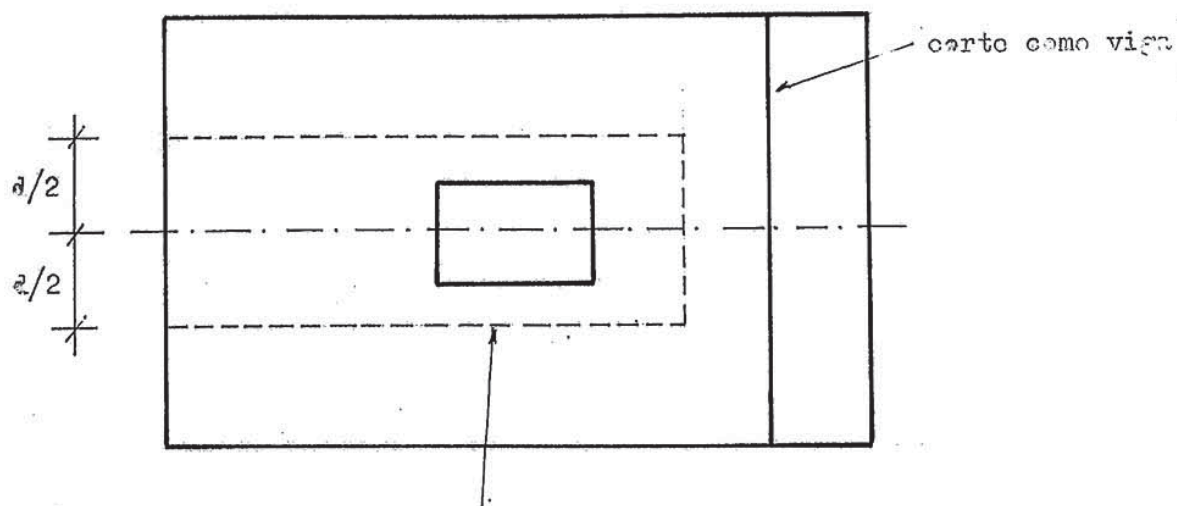
$$V_e = 143.58 - 22.97 (.40 + .465) (1.60 + .233)$$

$$V_e = 107.16 \text{ ton.}$$

$$b_e = 2 (1.60 + .233) + (.40 + .465) = 4.53 \text{ m.} = 453 \text{ cm.}$$

$$\frac{107,160 \text{ kg}}{453 \times 46.5} = 5.08 \text{ kg/cm}^2 < 0.53 \sqrt{f'_c} = 0.53 \sqrt{210} = 7.68 \text{ kg/cm}^2 ; \text{ bien!}$$

a continuación presentamos la figura de secciones para verificaciones por corte para la zapata Z-C-4.



Corte como viga.

$$V = 22.97 \times 2.5 (.90 -.465) = 24.98 \text{ ton.}$$

$$v_u = \frac{V}{bd} = \frac{24,980}{250 \times 46.5} = 2.14 \text{ kg/cm}^2 < 0.29 \sqrt{f'_c} = 4.2 \text{ kg/cm}^2. ; \text{ bien!}$$

Cálculo de la armadura

$$M = \frac{1}{2} \times 22.97 \times 2.50 \times 0.9^2 = 23.25 \text{ ton-m.}$$

$$A_s = \frac{M}{f_s j \cdot d} = \frac{23.25}{2.1 \times 0.904 \times .465} = 26.33 \text{ cm}^2.; \text{ Use } 10 \phi 3/4" (28.40 \text{ cm}^2).$$

11.30 DISEÑO DE CIMENTACION CORRIDA PARA LA PLACA 5.

1.- Datos.

a) Materiales :

Concreto :  $f'_c = 210 \text{ kg/cm}^2.$

armadura :  $f_y = 4200 \text{ kg/cm}^2.$

b) Capacidad portante del terreno :  $\sigma_t = 2.5 \text{ kg/cm}^2.$

c) Cargas por metro lineal de mure :

En servicio :  $128.0 \text{ ton} \rightarrow W_s = 128.0 \text{ ton}/2.70 = 47.40 \text{ t/m.L.}$

En retiro :  $192.0 \text{ ton} \rightarrow W_u = 192.0 \text{ ton}/2.70 = 71.11 \text{ t/m.L.}$

2.- Dimensionamiento en planta :

Asumiendo 0.05 Ps como peso propio de la zapata corrida y considerando un metro lineal de mure se tiene :

$$A_z = B \times 1.0 = \frac{1.05 W_s}{1.00 \times \sigma_t} = \frac{1.05 \times 47.40}{25} = 1.99 \text{ m.}$$

Usar  $B = 2.0 \text{ mts.}$

$$\text{Longitud de volado : } x = \frac{2.0 - 1.20}{2} = 0.90 \text{ mts.}$$

3.- Carga neta de retiro.

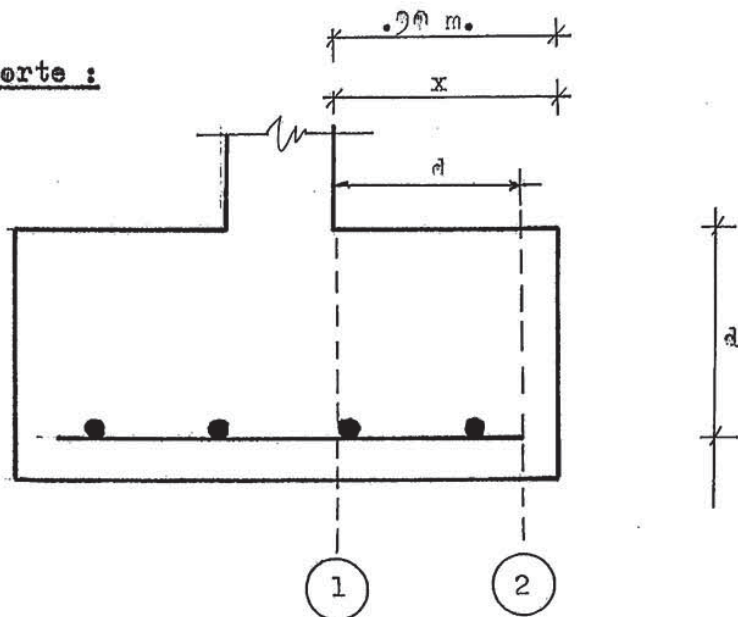
$$W_n = \frac{W_u}{100 \times B} = \frac{7111.0}{100 \times 200} = 3.55 \text{ kg/cm}^2/\text{m.L.}$$

4.- Dimensionamiento en altura.

Asumimos  $d = 0.50 \text{ mts.}$

$h = 0.60 \text{ mts.}$

Verificación por corte :



La sección crítica por corte está ubicada a una distancia "d" de la cara del mure.

$$V_{ud} = 100 \text{ Wn} (x - 50)$$

$$V_{ud} = 100 \times 3.55 (90 - 50) = 14,200 \text{ kg.}$$

$$\text{Cortante permisible } V_{uc} = 0.5 \phi \sqrt{f'_c} bd.$$

$$V_{uc} = 0.5 \times 0.85 \sqrt{210} \times 100 \times 50 = 30,794 \text{ kg.}$$

$$V_{ud} < V_{uc} ! \text{ bien !}$$

Verificación por flexión

$$M_{11} = \frac{W_u x^2}{2} = \frac{35.5(90)^2}{2} = 14.37 \text{ T-m/m.L.}$$

$$M_u = 370.44 bd^2 \quad (\text{Con una cuantía de deflexiones } p = 0.001)$$

$$d = \sqrt{\frac{14.37}{370.44 \times 1.0}} = 0.20 \text{ m} < d = 0.50 \text{ m} ; \text{ bien !}$$

5.- Comprobación del peso propio por metro lineal de muro.

$$p.p = 2.00 \times 0.60 \times 2.4 = 2.88 \text{ T/m.L.} \cong p.p. \text{ asumido : } 0.05 W_s = 2.37 \text{ T/m.}$$

6.- Refuerzo por flexión

$$A_s = \frac{M_u}{\phi f_y (d - a/2)} ; a = \frac{A_s f_y}{0.85 f'_c b.}$$

Probamos  $a = 1.8$  cm.

$$A_s = \frac{14.37 \times 10^5}{0.9 \times 4200 (50 - \frac{1.0}{2})} = 7.7 \text{ cm}^2 ; a = \frac{7.74 \times 4200}{0.85 \times 210 \times 100} = 1.82 \text{ cm} ; \text{ bien !}$$

Luego  $A_s = 7.74 \text{ cm}^2$ .

Acero mínimo :

$$A_{s\min} = 0.0020 \text{ b d.}$$

$$A_{s\min} = 0.0020 \times 100 \times 50 = 10 \text{ cm}^2.$$

$$\text{Usando : } \phi 5/8" \quad s = \frac{2.0}{10} \times 100 = 20 \text{ cm.}$$

Use  $\phi 5/8"$  20 m.

Verificación per adherencia

$$\text{para } 1 \phi 5/8" : \mu = \frac{6.4 \sqrt{210}}{1.587} = 58.44 \text{ kg/cm}^2 > 56 \text{ kg/cm}^2.$$

Use 56 kg/cm<sup>2</sup>.

Longitud de desarollo requerido :

$$L_d = \frac{2.0 \times 4200}{0.85 \times 5 \times 56} = 35.3 \text{ cm.}$$

Longitud disponible = X - reebimiento = 0.75 - 0.05 = 0.70 > Ld ; bien !

Verificación per aplastamiento .

$$f_{ue} = \frac{W_u}{100 \times t} = \frac{71930}{100 \times 20} = 35.96 \text{ kg/cm}^2$$

$$f_{ue} = 0.85 \phi \sqrt{f_c'} = 0.85 \times 0.7 \sqrt{210} = 124.9 \text{ kg/cm}^2 \quad f_{ue} ; \text{ bien !}$$

9.- Acero de repartición

$$A_{s_t} = 0.0018 \text{ b' h}$$

$$A_{s_t} = 0.0018 \times 200 \times 60 = 21.6 \text{ cm}^2.$$

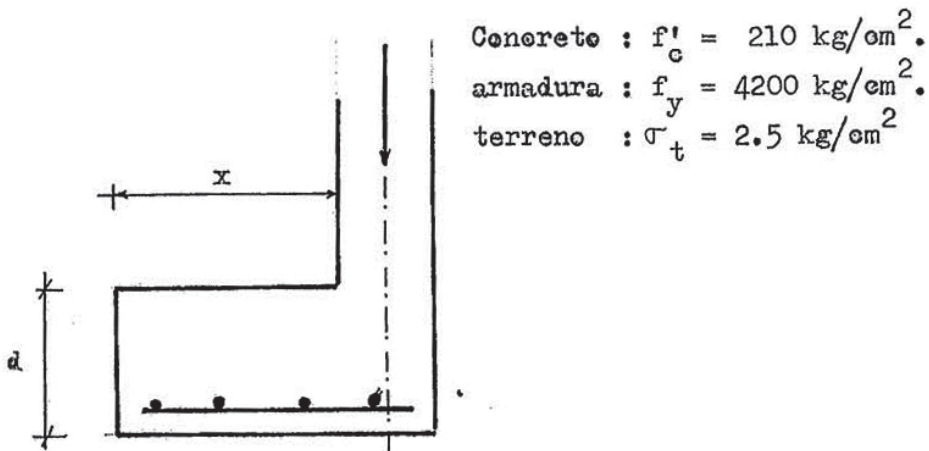
$$\text{Con } \phi 5/8" : s = \frac{2.0}{21.6} \times 100 = 9.25 \text{ cm.}$$

Con  $\phi \frac{3}{4}$ " :  $s = \frac{2.84}{21.6} \times 100 = 1.310$  cm.

Use  $\phi \frac{3}{4}$ " @ 12.5 cm.

Resumen : usamos  $\phi \frac{3}{4}$ " @ 12.5 cm tanto para el acero principal como para el acero por temperatura.

#### 11.4 DISEÑO DE LA CIMENTACION CORRIDA PARA LA PLACA 4



##### Cargas por metro lineal de muro :

En servicio : 218.2 ton.  $\rightarrow W_s = 218.2 \text{ ton}/4.60 = 46.13 \text{ ton/m.}$

En rotura : 330.9 ton.  $\rightarrow W_u = 330.9 \text{ ton}/4.60 = 71.93 \text{ ton/m.}$

##### Dimensionamiento en planta

$$A_Z = B \times 1.0 = \frac{1.05 W_s}{1.00 \times \sigma_t} = \frac{1.05 \times 46.13}{25} = 1.93 \text{ mts.}$$

Usar  $B = 1.80 \text{ m.}$

Lengitud de voladizo  $X = 1.80 - 0.20 = 1.60 \text{ m.}$

##### Carga neta de rotura :

$$W_n = \frac{W_u}{100 \times B} = \frac{71930}{100 \times 180} = 3.90 \text{ kg/cm}^2/\text{m.L.}$$

##### Dimensionamiento en altura.

Tomaremos  $h = 0.90 \text{ m.}$

$d = 0.80 \text{ m.}$

##### Verificación por corte.

$$Vud = 100 \times 3.90 (1.60 - 0.80) = 31200 \text{ kg.}$$

$$Vue = 0.5 \times 0.85 \sqrt{210 \times 100 \times 50} = 30794 \text{ kgs.}$$

Como  $Vud \leq Vue$  consideramos como correcto la altura  $h = 0.90 \text{ m.}$

Verificación por flexión :

$$M_{ll} = \frac{W_u X^2}{2} = \frac{39.0 (1.60)^2}{2} = 49.92 \text{ t-m/m.L.}$$

$$d = \sqrt{\frac{M_u}{370.44 b}} = \sqrt{\frac{49.92}{370.44 \times 1.0}} = 37 \text{ cm.} < 90 \text{ ; bien !}$$

Refuerzo por flexión :

$$A_s = \frac{M_u}{\phi f_y (d-a/2)} ; a = \frac{A_s f_y}{0.85 f_c' b}$$

$$\text{Sea } a = 4.0 \text{ cm} \Rightarrow A_s = \frac{49.92 \times 10^5}{0.9 \times 4200 (80-\frac{4}{2})} = 16.93 \text{ cm}^2 \rightarrow a = 3.98 \text{ cm ; bien !}$$

acero mínimo :  $A_{smin} = 0.0020 bd$

$$A_{smin} = 0.0020 \times 100 \times 80 = 16 \text{ cm}^2/\text{m.}$$

$$\phi 3/4": s = \frac{2.84}{16} \times 100 = 17 \text{ cm} \rightarrow \phi 3/4" @ 17$$

Verificación por adherencia :

$$\phi 3/4" \Rightarrow \mu = \frac{6.4}{1.905} \frac{210}{210} = 48.61$$

$$L_d = \frac{2.84 \times 4200}{0.85 \times 6 \times 48.6} = 48 \text{ cm.}$$

Lengüedad disponible =  $X - \text{rec.} = 1.60 - 0.05 = 1.55 > 48 \text{ cm. ; bien !}$

Verificación por aplastamiento :

$$f_{ua} = \frac{W_u}{100 \times t} = \frac{71930}{100 \times 20} = 35.96 \text{ kg/cm}^2 < f_{ue} = 0.85 \times 0.7 \sqrt{210} = 124.9 \text{ kg/cm}^2 \\ ; \text{ bien !}$$

Acero de repartición :

$$A_s t = 0.0018 b h = 0.0018 \times 180 \times 90 = 29.16 \text{ cm}^2$$

Use  $\phi 3/4" @ 10 \text{ m.}$

Resumen : Usamos  $\phi 3/4" @ 10$  tanto para la armadura principal como la armadura por temperatura.

### 1.35 CIMENTACION DE LA CAJA DE ASCENSORES

Hemos adoptado una cimentación combinada, resultando eficiente debido a consideraciones sísmicas.

Del metraje de cargas de ascensores :

$P_s$  = carga total de servicio : 247.7 ton.

$P_u$  = carga última de rotura : 379.10 ton.

ademas para el diseño :

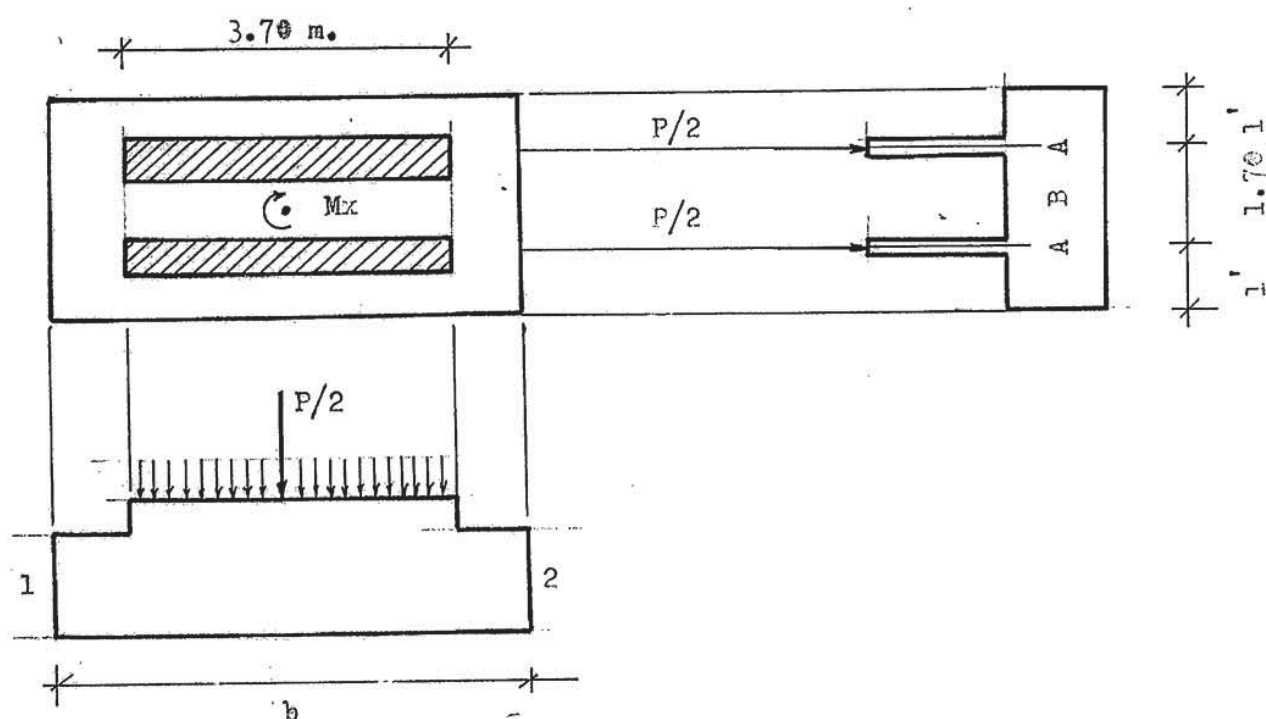
$$f_c' = 210 \text{ kg/cm}^2$$

$$f_y = 4200 \text{ kg/cm}^2$$

$$\sigma_t = 2.5 \text{ kg/cm}^2$$

Muro de .20 m. reforzado con  $\phi 3/4"$

Per facilidad para definir el tipo de cimentación, consideramos el sgte. modelo :



#### Dimensionamiento de la zapata :

Consideraremos que el momento produce un aumento del 20 % de la presión sobre el terreno debido solo a cargas verticales.

$$\text{Luego : } A_Z = \frac{P_s (1.20 \times 1.06)}{\sigma_t} = \frac{247.7 (1.20 \times 1.06)}{25} = 12.60 \text{ m}^2$$

$$A_Z = b ( L + 2 L' ) \quad \dots \dots \quad (1)$$

Tomamos como un criterio práctico  $L' = 0.30 L$

$$\Rightarrow L' = 0.30 \times 1.70 = 0.51 \text{ m.} \rightarrow \text{digamos } 0.60 \text{ m.}$$

$$A_Z = 12.60 = b (1.70 + 2 \times 0.60)$$

$$b = \frac{12.60}{2.90} = 4.35 \text{ m.}$$

Las dimensiones preliminares de la zapata son :

$$2.90 \times 4.35$$

#### Verificación del dimensionamiento y de la capacidad soportante del suelo.

Por sismo, la zapata tratará de levantarse a menos que :

$$\sigma_1 \geq 0$$

$$\sigma_1 = \frac{2 (P_s/2)}{(L + 2 L')b} \left(1 - 6 \frac{e}{b}\right) = 0 \Rightarrow b_{\min} = 6 e.$$

$$\text{siendo } e = \frac{20 \% M_x}{P_s} = \frac{0.20 \times 1226.8}{247.7} = 0.99 \text{ m} \approx 1.00 \text{ m.}$$

Asumimos que el terreno toma el 20 % del momento actuante, el resto es tomado por los elementos rígidos de la superestructura tales como vigas y placas que se encuentran por encima del nivel de cimentación.

$$b_{\min} = 6 e = 6 \times 1.00 = 6.0 \text{ mts} > b_{\text{preliminar}} = 4.50 \text{ m.}$$

Las nuevas dimensiones de la zapata serán : 6.0 m. x 2.90 m. = 17.40 m<sup>2</sup>

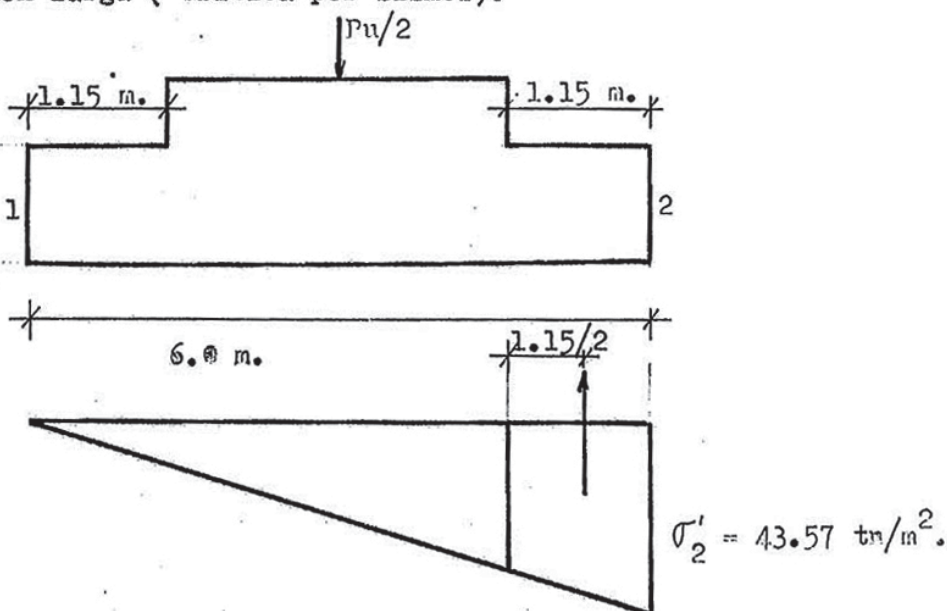
#### VERIFICACION DE LA PRESION EN EL PUNTO 2

$$\sigma_2 = \frac{2 (P_s/2)}{(L + 2 L')b} \left(1 + 6 \frac{e}{b}\right) = 2 \frac{P_s}{A_Z} = \frac{2 \times 247.7}{6.0 \times 2.90} = 2.84 \text{ kg/cm}^2$$

presión admisible del terreno :  $1.33 \times 2.5 = 3.32 \text{ kg/cm}^2$ .

DISEÑO DE LA ZAPATA.- Emplearemos el método a la rotura.

a) Dirección larga ( crítica por sismos).



$$\sigma'_2 = \frac{2 (\text{Pu}/2)}{(L + 2L)b} \left( 1 + 6 \frac{e}{b} \right) = 2 (\text{Pu}/A_z)$$

$$\sigma'_2 = \frac{2 \times 379.10}{6.0 \times 2.90} = 43.57 \text{ tn/m}^2$$

presión en la cara de apoyo :  $\sigma = 43.57 \frac{4.85}{6.00} = 35.21 \text{ ton/m}^2$

presión media  $\sigma_m = \frac{43.57 + 35.21}{2} = 39.39 \text{ ton/m}^2$ .

Carga por metro lineal :

$$W' = \sigma_m (L + 2L')$$

$$W' = 39.39 (2.90) = 114.23 \text{ ton/m.L.}$$

$$\text{actuando a } \frac{1.15}{2} = 0.575 \text{ m.}$$

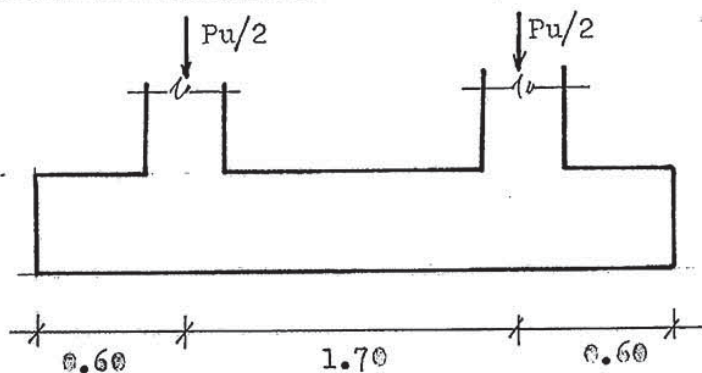
Momento en la cara del apoyo :

$$M' = W' (0.575)^2 / 2$$

$$M' = 114.23 \frac{(0.575)^2}{2} = 18.88 \text{ Tn.m.}$$

$$d = \sqrt{\frac{18.88}{370.44 \times 2.90}} = 0.13 \text{ mts. (para cuantía } p = 0.01)$$

Dirección corta (crítica por cargas verticales)



$$\text{Carga unitaria } w_u = \frac{2 (\text{Pu}/2)}{b(L + 2L')}$$

$$w_u = \frac{379.10 \text{ ton}}{6.0 \times 2.90} = 21.79 \text{ ton/m}^2$$

$$\text{Carga por metro lineal : } W' = \frac{\text{Pu}}{L + 2L'} = \frac{379.10}{2.90} = 130.7 \text{ ton/m.}$$

$$M = M_A = M_B = \text{Memento de flexión} = W' L_{1/2}^2 = \frac{130.7 (0.60)^2}{2} = 23.5 \text{ ton-m.}$$

$$d = \sqrt{\frac{23.5}{370.44 \times 6.0}} = 0.10 \text{ mts.}$$

Tenemos  $h = 0.45$  m.

$d = 0.35$  m.

Comprobación de la sección por corte :

En dirección larga :

Corte en la cara de apoyo :

$$V = 114.23 (1.15) = 131.36 \text{ ton.}$$

Corte a la distancia " $d$ " de la cara del apoyo .

$$V_d = 131.36 \times \frac{0.80}{1.15} = 91.38 \text{ ton.}$$

En la dirección corta :

al extremo de A :

$$V_A = (130.7) (0.60) = 78.4 \text{ ton.}$$

Hacia el interior de A :

$$V_A = 130.7 \times \frac{1.70}{2} = 111.09 \text{ ton.}$$

Corte crítico a la distancia " $d$ " de la cara del apoyo.

$$V_L = 111.09 \times \frac{.35}{.60} = 64.80 \text{ ton.}$$

Corte unitario máximo actuante :

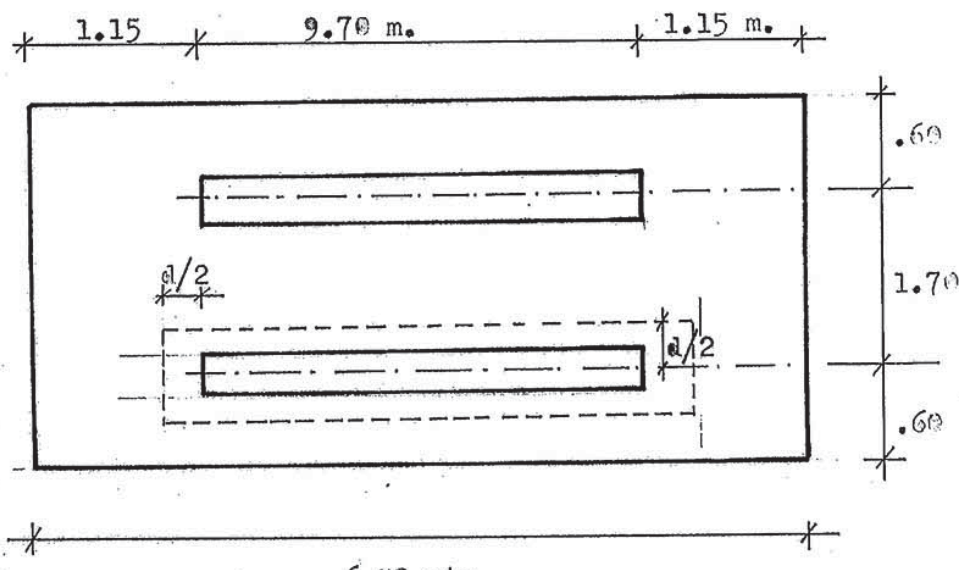
$$v = \frac{91,380 \text{ kg}}{600 \times 35} = 4.35 \text{ kg/cm}^2$$

$$v = \frac{64,800}{290 \times 35} = 6.38 \text{ kg/cm}^2$$

$$v = 0.53 \phi \sqrt{f_e} = 0.53 \times 0.85 \times \sqrt{210} = 6.52 \text{ kg/cm}^2$$

$6.52 \text{ kg/cm}^2 > 6.38 \text{ kg/cm}^2$  correcto.

Verificación por punzonamiento



perímetro de punzonamiento :

$$p = 2 (3.70 + .35 + .20 + .35) = 9.20 \text{ mts.}$$

área de punzonamiento :  $.35 \times 9.20 = 3.22 \text{ m}^2$

presión mínima promedio (debido a cargas verticales).

$$\sigma_{\min p.} = 21.79 \text{ ton/m}^2.$$

El corte por punzonamiento será :

$$V_p = P_u/2 - 21.79 \times 3.22$$

$$V_p = \frac{379.10}{2} - 70.16 = 119.39 \text{ ton.}$$

Verificación de corte por punzonamiento.

$$v_p = \frac{119.39 \times 10^3}{3.22 \times 10^4} = 3.70 \text{ kg/cm}^2 < v_{up} = 1.06 \phi \sqrt{f'_c} = 12.3 \text{ kg/cm}^2. \text{ ¡bien!}$$

Verificación por aplastamiento :

$$f_e = \frac{(P_u/2) 10^3}{20 \times 370} = \frac{(379.10)/2 (10)^3}{20 \times 370} = 25.6 \text{ kg/cm}^2$$

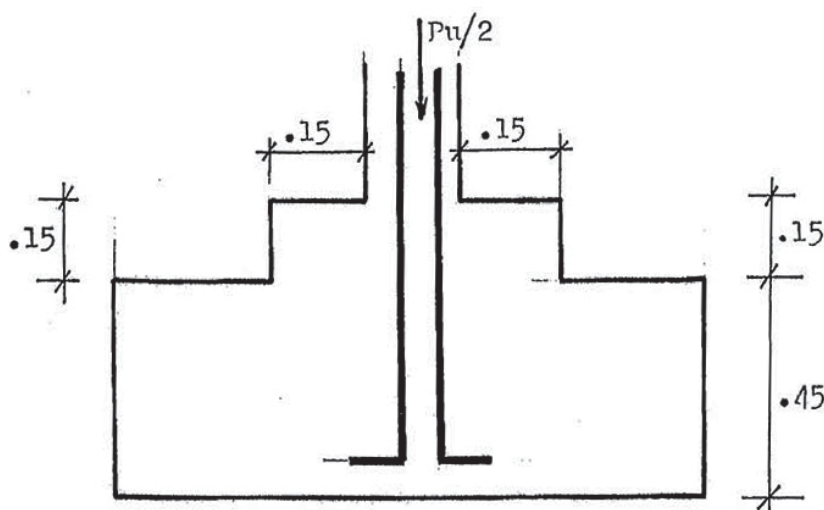
$$f_{ue} = 0.85 \phi f'_e = 0.85 \times 0.7 \times 210 = 124.9 \text{ kg/cm}^2.$$

Lengüedad de anclaje de las varillas de la placa en su penetración a la zapata.

$$\text{Para } \phi 3/4": L_d = \frac{A_s f_y}{\phi \sum \mu u} = \frac{2.84 \times 4200}{0.85 \times 6.0 \times 49.2} = 47.5 \text{ cm.}$$

Luego :  $47.5 \text{ cm.} > 35 \text{ cm, no cumple.}$

Luego elejimos un pedestal de  $.15 \text{ m}$  de alto.



Aereo paralelo a la dirección larga :

$$b = 290 \text{ cm.}$$

$$d = 35 \text{ cm.}$$

$$M_u = 18.88 \text{ tn-m.}$$

$$a = 1.17 \text{ cm.} \quad A_s = \frac{18.88 \times 10^5}{0.9 \times 4200(35 - \frac{1.17}{2})} = 14.51 \text{ cm}^2 \quad a = 1.17 ; \text{ bien !}$$

$$A_{s\min} = 0.002 b \times d = 0.002 \times 280 \times 35 = 19.6 \text{ cm}^2$$

Con  $\phi 5/8"$  : Use  $\phi 5/8"$  @. 25 m.

dirección corta :

$$b = 600 \text{ cm.}$$

$$d = 35 \text{ cm.}$$

$$M = 23.5 \text{ ton-m.}$$

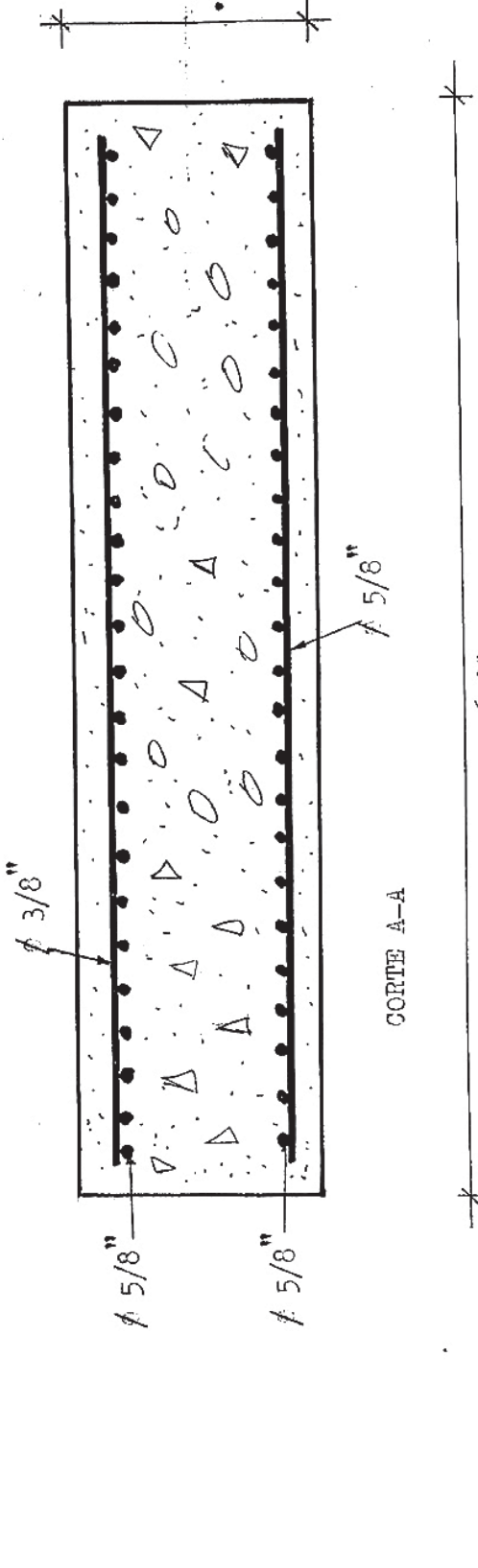
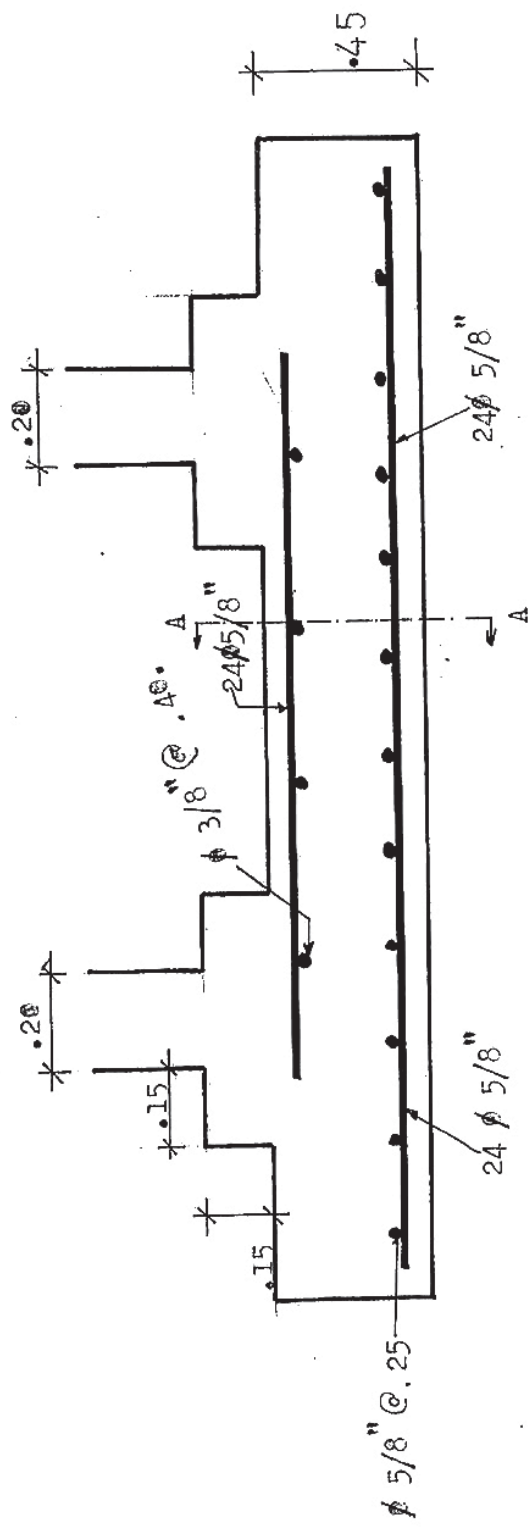
$$A_s = 15.35 \text{ cm}^2$$

Usamos  $A_{s\min}$  :

$$A_{s\min} = 0.002 \times 600 \times 35 = 42 \text{ cm}^2$$

Use  $\phi 5/8"$  @. 25m.

F-419



### CONCLUSIONES

Es necesario tener en cuenta las siguientes recomendaciones:

- a.- Durante el proceso constructivo es muy importante que la estructura se construya tal y como fué diseñada para que trabajara de tal manera que nuestros modelos estructurales se asemejan bastante a lo que realmente ocurre en la práctica. Si podemos lograr ésta diremos que nuestro diseño ha sido satisfactorio.
- b.- Hemos usado concreto de  $f'c: 210 \text{ Kg/cm}^2$  para todos los elementos estructurales que conforman nuestra estructura, inclusive en las lesas aligeradas de los techos, de tal manera que entre las vigas y los aligerados se forme un todo monolítico y no se produzca empotramiento imperfecto.
- c.- Para estructuras similares a la expuesta en éste trabajo, armadas en base de pórticos en las dos direcciones principales, con placas sole en la zona de ascensores y escaleras, el diseño resulta óptimo, para edificios de un número menor de pisos, necesariamente deberá diseñarse la estructura además de las placas de la zona de ascensores y escaleras, con placas adicionales, las cuales absorverán un gran porcentaje de cortante, y por lo tanto del momento flector total, en caso de que se produzca un sismo.

De lo expuesto anteriormente se puede deducir, que al aplicar los procedimientos para el pre-dimensionamiento de vigas y columnas, debemos tomar las dimensiones con un criterio de uniformizar las dimensiones para disminuir el corte por torsión.

d.- Para la cimentación hemos tenido que adoptar - el tipo de cimentación mas conveniente, tanto para las placas como para las columnas, según se detalla en el capítulo respectivo. Se ha usado también concreto de  $f'c: 210 \text{ Kg/cm}^2$ .

La cimentación de una estructura muchas veces - presenta un gran problema al Ingeniero en cuan-  
to a su solución y por lo tanto para buscar el  
modelo estructural, en éstos casos el Ingenie-  
ro deberá reunir muchas veces a su experiencia  
e "intuición" para dar la solución más adecua-  
da.

Un buen estudio del suelo donde se apoyará -  
nuestra estructura, debe ser el primer paso en  
todo proyecto antes de buscar "modelos" para -  
el diseño.

e.- En un país como el nuestro, ubicado en una zo-  
na de alta sismicidad, obligatoriamente deberá  
exigirse que se diseñen las estructuras con -  
criterios sísmicos y de acuerdo al Reglamento  
de diseño Sismo-Resistente ya que para un mis-  
mo tipo de concreto, la armadura que resulta -  
sin considerar sismo es muy diferente comparán-  
do a la armadura que resulta aplicando el  
diseño sismo-resistente.